

Análisis Exploratorio de Datos

Análisis Univariado

Autor: Sistema Automatizado

Organización: Mortality AMI Predictor

Fecha: 11 de January de 2026

Placeholder for table of contents

0

1. Resumen del Dataset

Fecha del análisis: 11 de January de 2026

Número de registros: 3,112

Variables numéricas: 151

Variables categóricas: 44

Métrica	Valor
Total de registros	3,112
Total de variables	195
Variables numéricas	151
Variables categóricas	44
Valores faltantes (total)	143,324
Porcentaje de completitud	76.38%

2. Variables Numéricas

Esta sección presenta el análisis detallado de las 151 variables numéricas del dataset. Para cada variable se incluyen:

- Estadísticas descriptivas completas
- Test de normalidad (Shapiro-Wilk)
- Detección de outliers (método IQR)
- Histograma con media y mediana
- Boxplot para identificar outliers

Variable: numero

Estadísticas Descriptivas

Estadística	Valor
Observaciones	3,112
Valores faltantes	0 (0.00%)
Media	109.3442
Mediana	77.0000
Desviación estándar	111.1660
Mínimo	1.0000
Q1 (25%)	34.7500
Q3 (75%)	142.0000
Máximo	666.0000
Asimetría	1.9109
Curtosis	3.5727

Test de Normalidad (Shapiro-Wilk)

Error al calcular test de normalidad: 'UnivariateStats' object has no attribute 'shapiro'

Detección de Outliers (Método IQR)

Métrica	Valor
Q1 (25%)	34.7500
Q3 (75%)	142.0000
IQR	107.2500
Límite inferior	-126.1250
Límite superior	302.8750
Número de outliers	254 (8.16%)

Visualizaciones

Distribution of numero

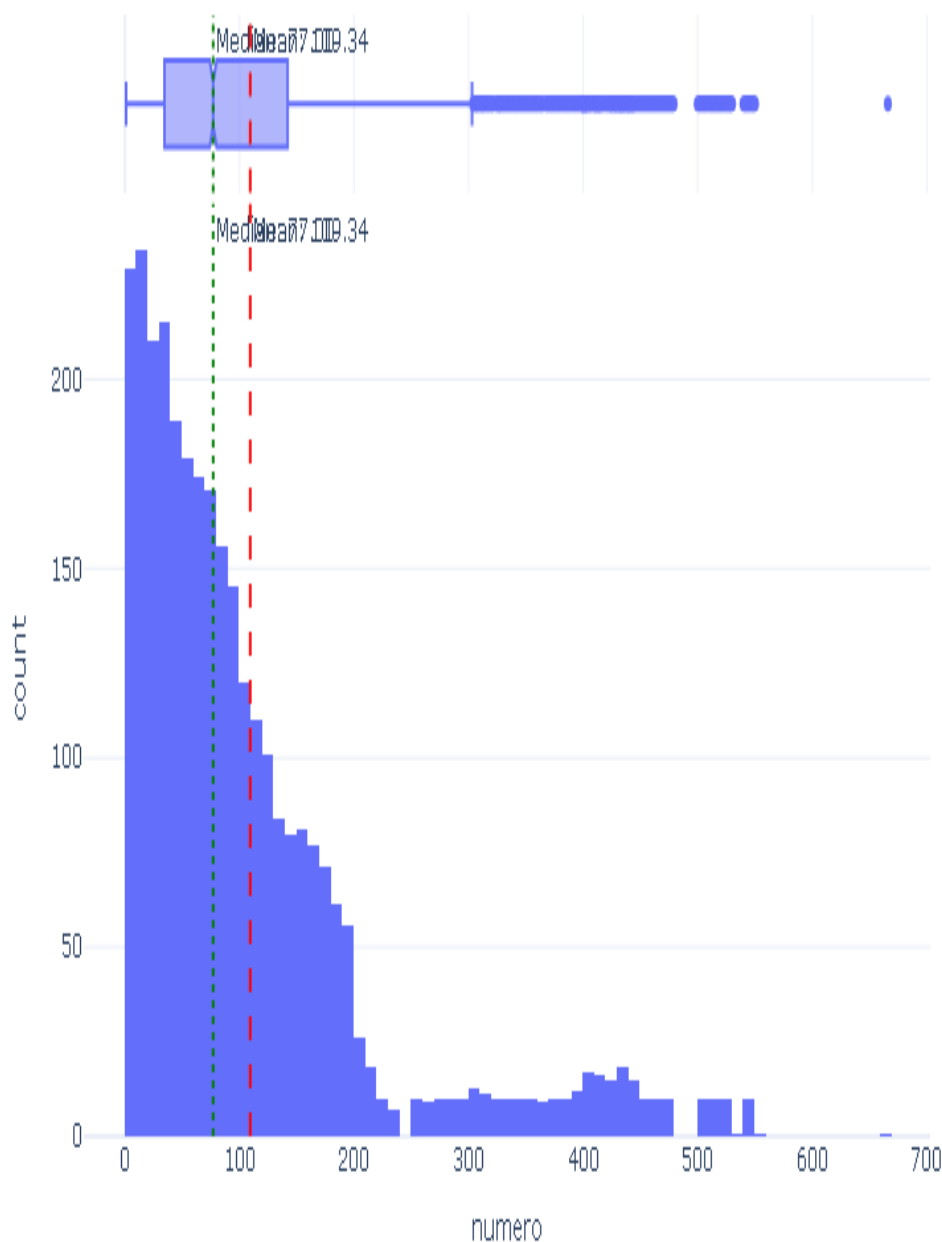


Figura: Distribución de numero

Boxplot of numero

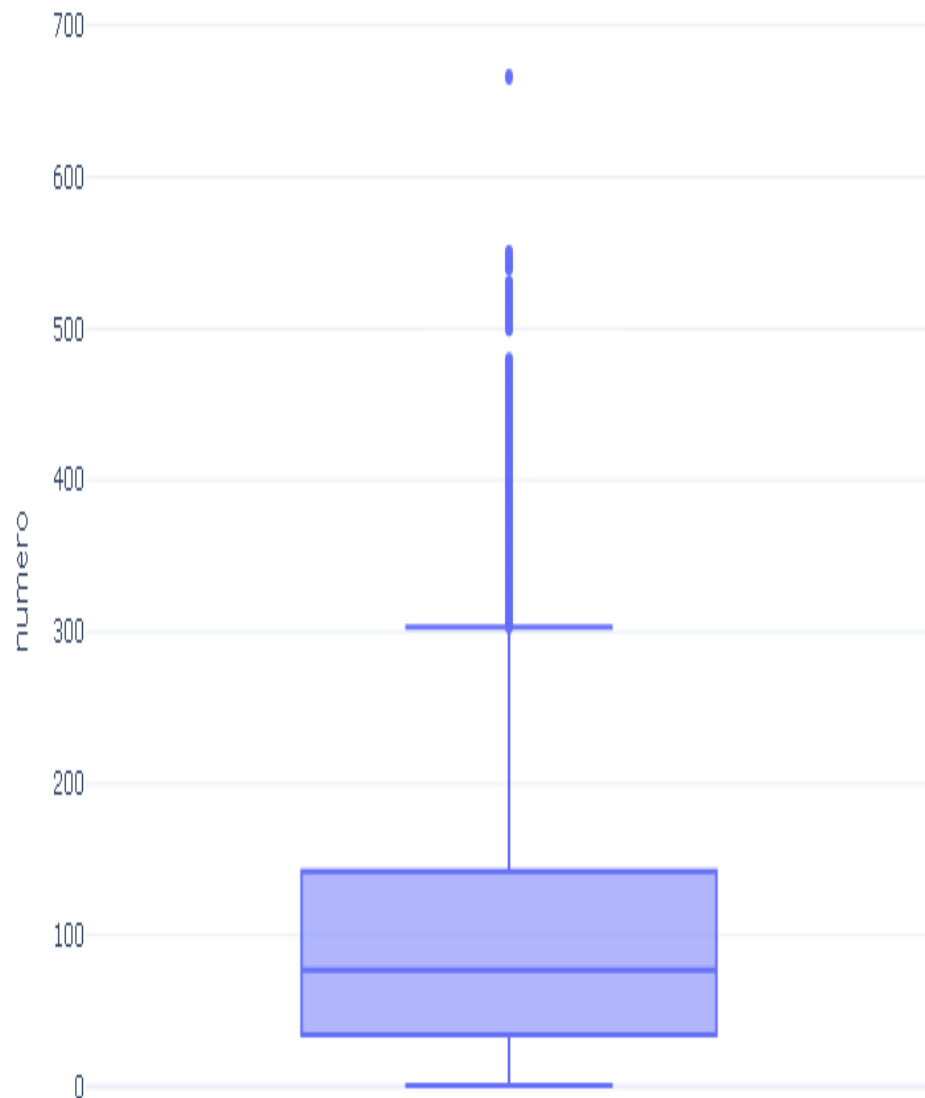


Figura: Boxplot de numero

Variable: anno

Estadísticas Descriptivas

Estadística	Valor
Observaciones	3,112
Valores faltantes	0 (0.00%)
Media	2020.2310
Mediana	2020.0000
Desviación estándar	1.7740
Mínimo	2018.0000
Q1 (25%)	2019.0000
Q3 (75%)	2021.2500
Máximo	2025.0000
Asimetría	0.4637
Curtosis	-0.7519

Test de Normalidad (Shapiro-Wilk)

Error al calcular test de normalidad: 'UnivariateStats' object has no attribute 'shapiro'

Detección de Outliers (Método IQR)

Métrica	Valor
Q1 (25%)	2019.0000
Q3 (75%)	2021.2500
IQR	2.2500
Límite inferior	2015.6250
Límite superior	2024.6250
Número de outliers	6 (0.19%)

Visualizaciones

Distribution of anno

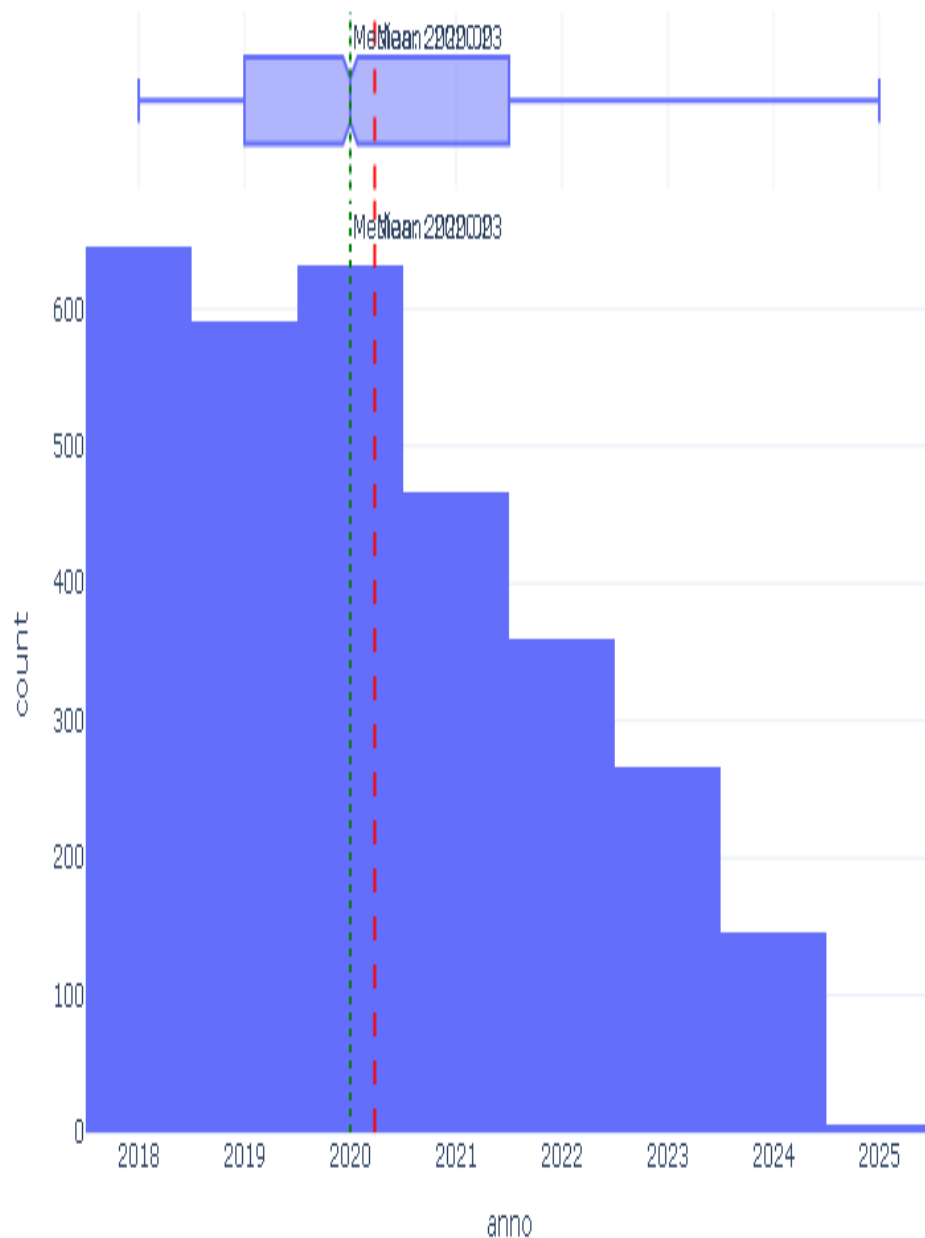


Figura: Distribución de anno

Boxplot of anno

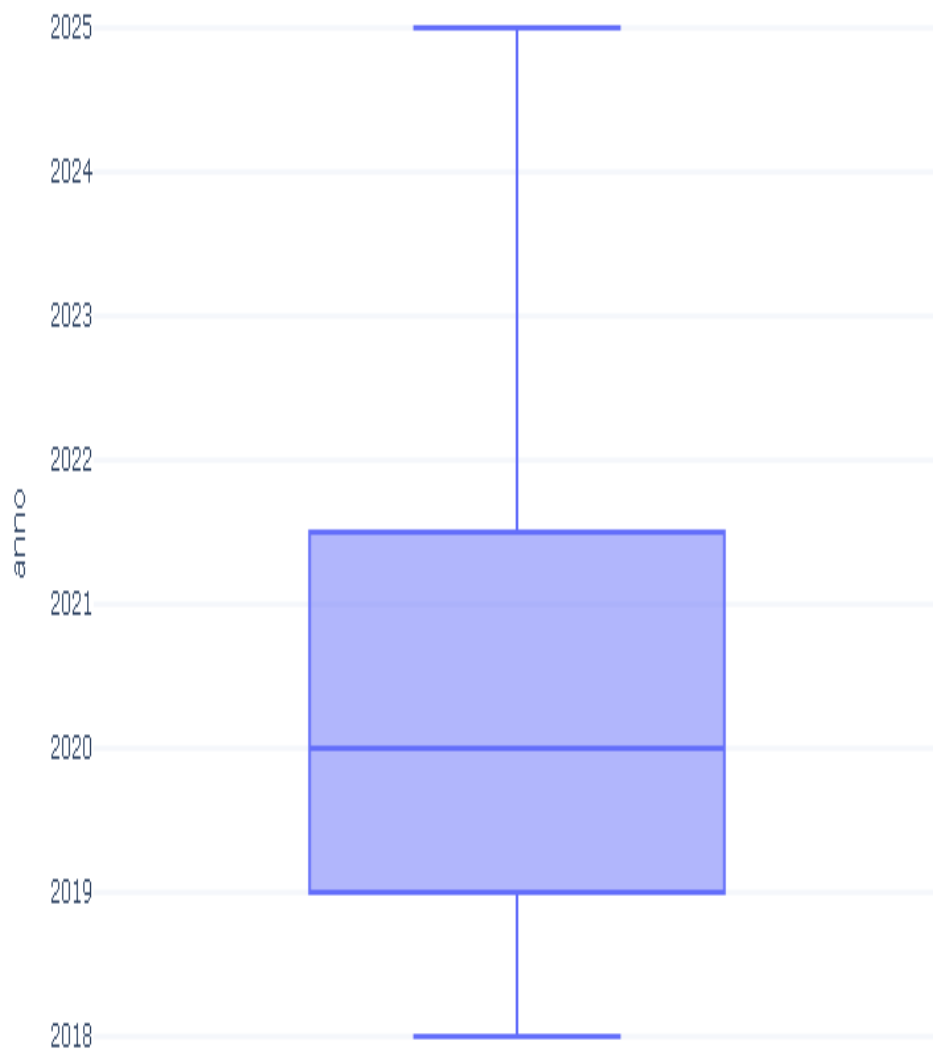


Figura: Boxplot de anno

Variable: unidad

Estadísticas Descriptivas

Estadística	Valor
Observaciones	3,112
Valores faltantes	0 (0.00%)
Media	444.6799
Mediana	441.0000
Desviación estándar	98.5198
Mínimo	1.0000
Q1 (25%)	342.0000
Q3 (75%)	567.0000
Máximo	785.0000
Asimetría	0.1520
Curtosis	-0.2476

Test de Normalidad (Shapiro-Wilk)

Error al calcular test de normalidad: 'UnivariateStats' object has no attribute 'shapiro'

Detección de Outliers (Método IQR)

Métrica	Valor
Q1 (25%)	342.0000
Q3 (75%)	567.0000
IQR	225.0000
Límite inferior	4.5000
Límite superior	904.5000
Número de outliers	3 (0.10%)

Visualizaciones

Distribution of unidad

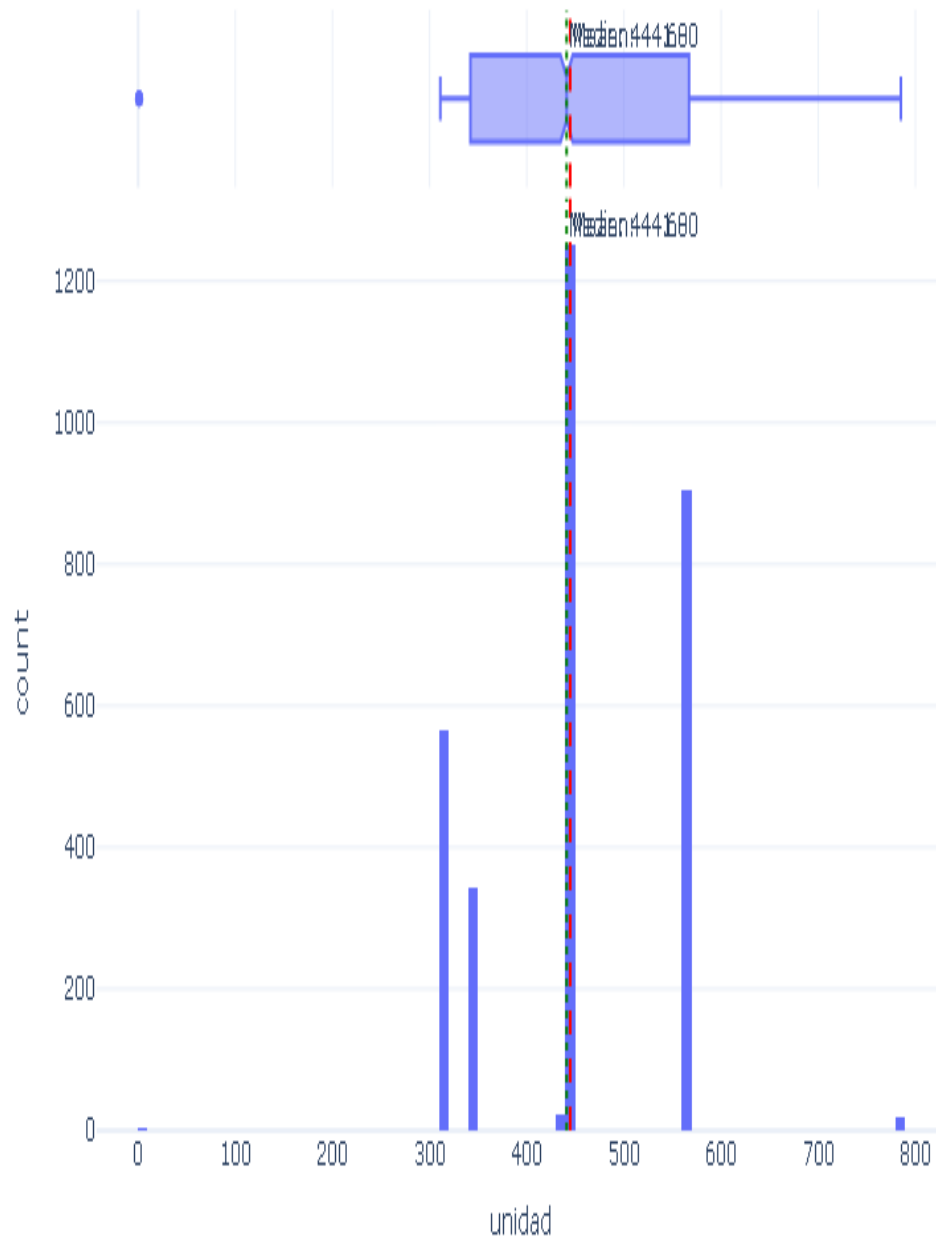


Figura: Distribución de unidad

Boxplot of unidad

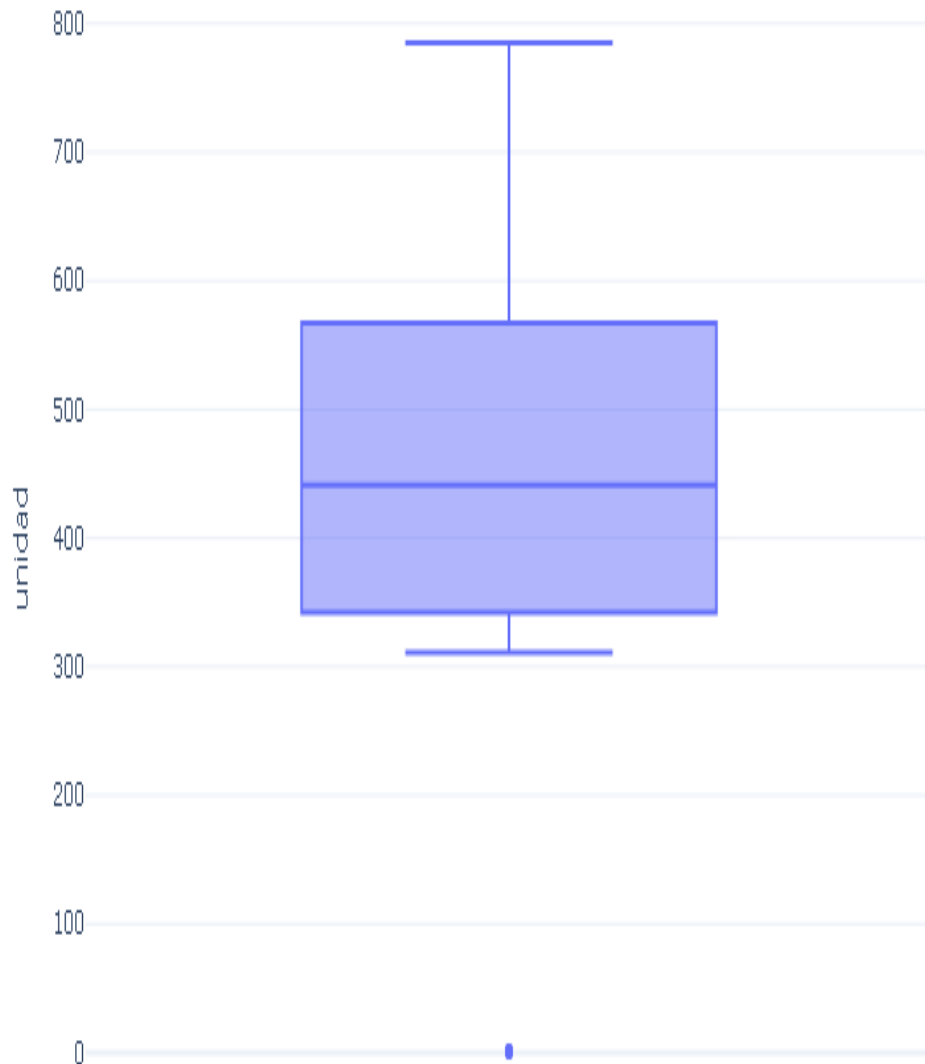


Figura: Boxplot de unidad

Variable: edad

Estadísticas Descriptivas

Estadística	Valor
Observaciones	3,112
Valores faltantes	0 (0.00%)
Media	65.1989
Mediana	65.0000
Desviación estándar	12.4089
Mínimo	N/A
Q1 (25%)	57.0000
Q3 (75%)	74.0000
Máximo	98.0000
Asimetría	-0.2531
Curtosis	0.3578

Test de Normalidad (Shapiro-Wilk)

Error al calcular test de normalidad: 'UnivariateStats' object has no attribute 'shapiro'

Detección de Outliers (Método IQR)

Métrica	Valor
Q1 (25%)	57.0000
Q3 (75%)	74.0000
IQR	17.0000
Límite inferior	31.5000
Límite superior	99.5000
Número de outliers	26 (0.84%)

Visualizaciones

Distribution of edad

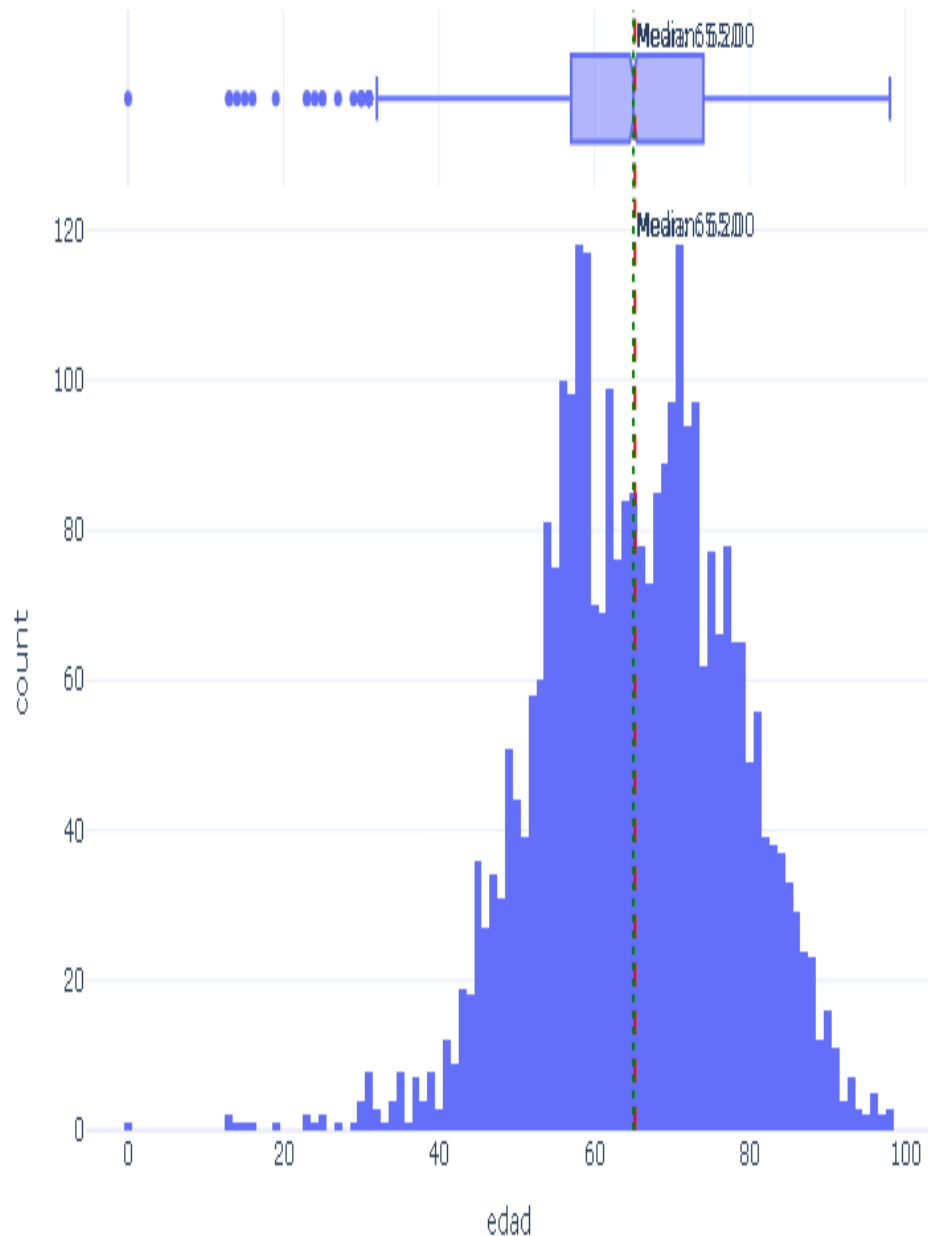


Figura: Distribución de edad

Boxplot of edad

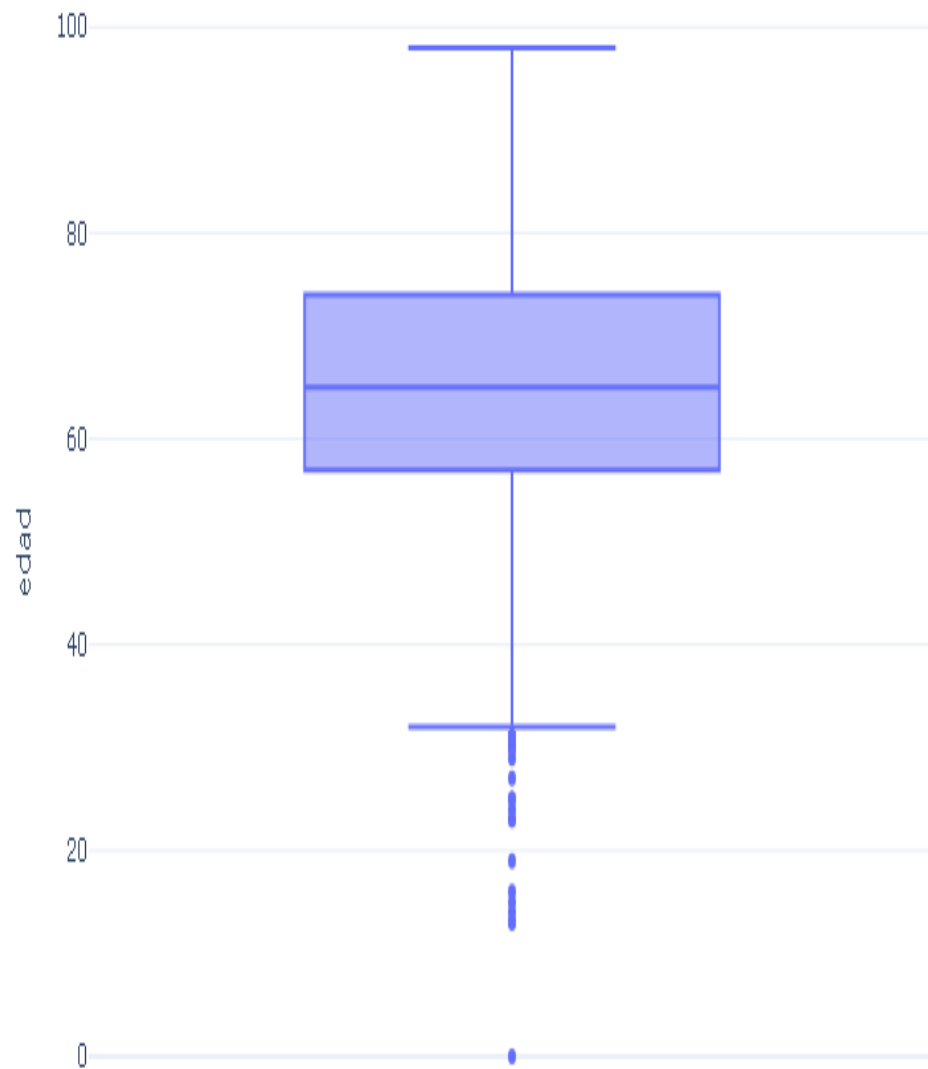


Figura: Boxplot de edad

Variable: peso

Estadísticas Descriptivas

Estadística	Valor
Observaciones	3,112
Valores faltantes	0 (0.00%)
Media	73.7545
Mediana	72.0000
Desviación estándar	13.9740
Mínimo	38.0000
Q1 (25%)	65.0000
Q3 (75%)	80.0000
Máximo	174.0000
Asimetría	1.8180
Curtosis	10.0437

Test de Normalidad (Shapiro-Wilk)

Error al calcular test de normalidad: 'UnivariateStats' object has no attribute 'shapiro'

Detección de Outliers (Método IQR)

Métrica	Valor
Q1 (25%)	65.0000
Q3 (75%)	80.0000
IQR	15.0000
Límite inferior	42.5000
Límite superior	102.5000
Número de outliers	59 (1.90%)

Visualizaciones

Distribution of peso

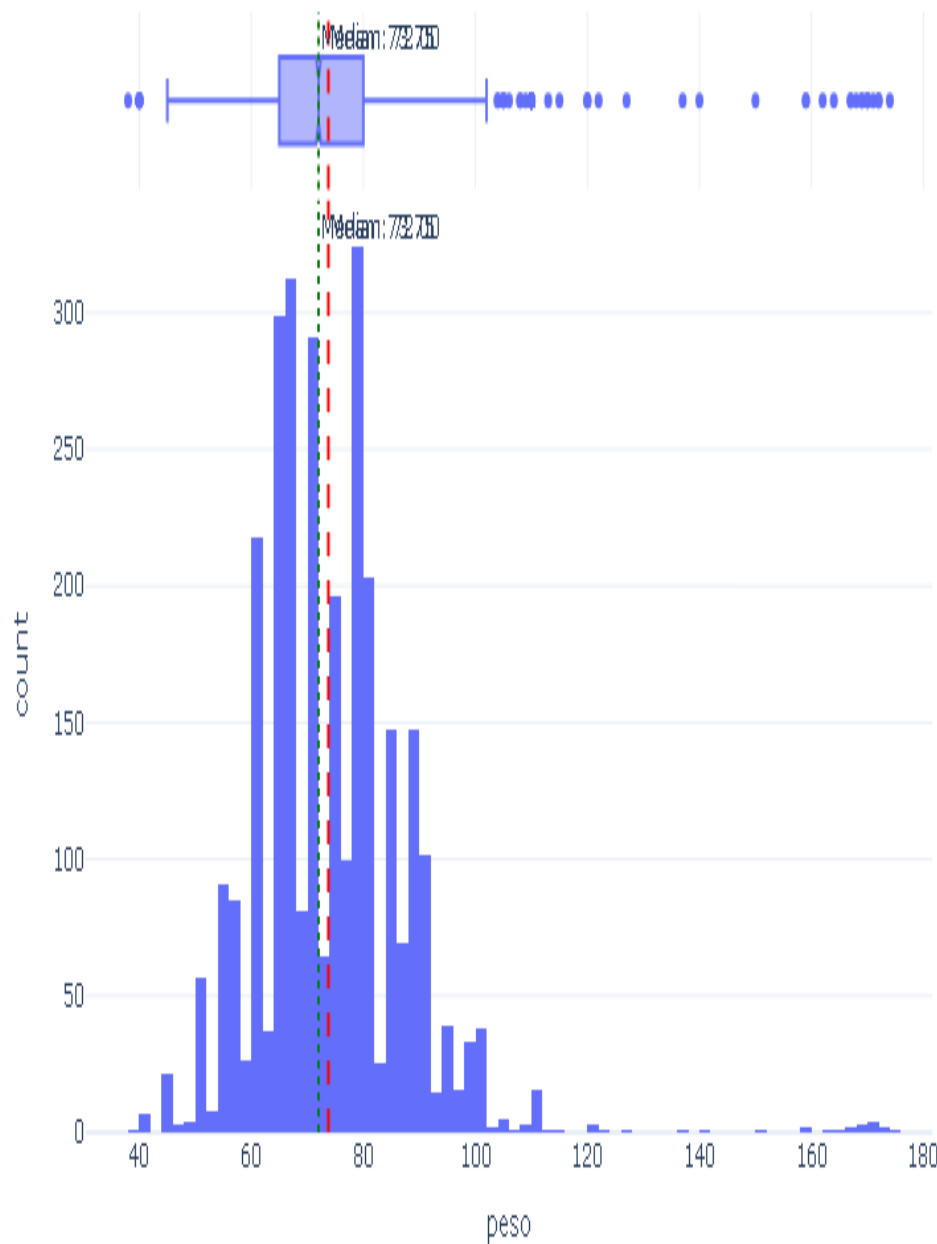


Figura: Distribución de peso

Boxplot of peso

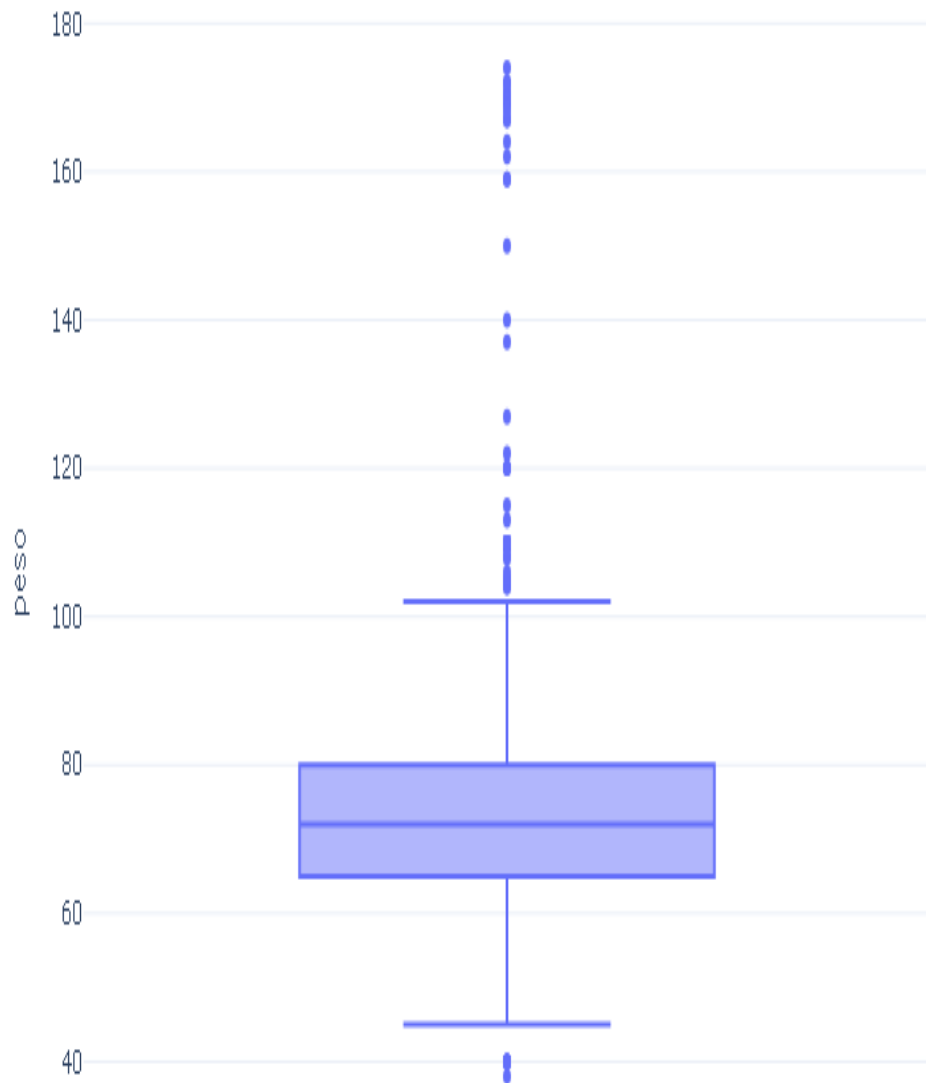


Figura: Boxplot de peso

Variable: talla

Estadísticas Descriptivas

Estadística	Valor
Observaciones	3,112
Valores faltantes	0 (0.00%)
Media	168.1089
Mediana	168.0000
Desviación estándar	10.9508
Mínimo	1.0000
Q1 (25%)	164.0000
Q3 (75%)	174.0000
Máximo	197.0000
Asimetría	-4.6315
Curtosis	52.5214

Test de Normalidad (Shapiro-Wilk)

Error al calcular test de normalidad: 'UnivariateStats' object has no attribute 'shapiro'

Detección de Outliers (Método IQR)

Métrica	Valor
Q1 (25%)	164.0000
Q3 (75%)	174.0000
IQR	10.0000
Límite inferior	149.0000
Límite superior	189.0000
Número de outliers	39 (1.25%)

Visualizaciones

Distribution of talla

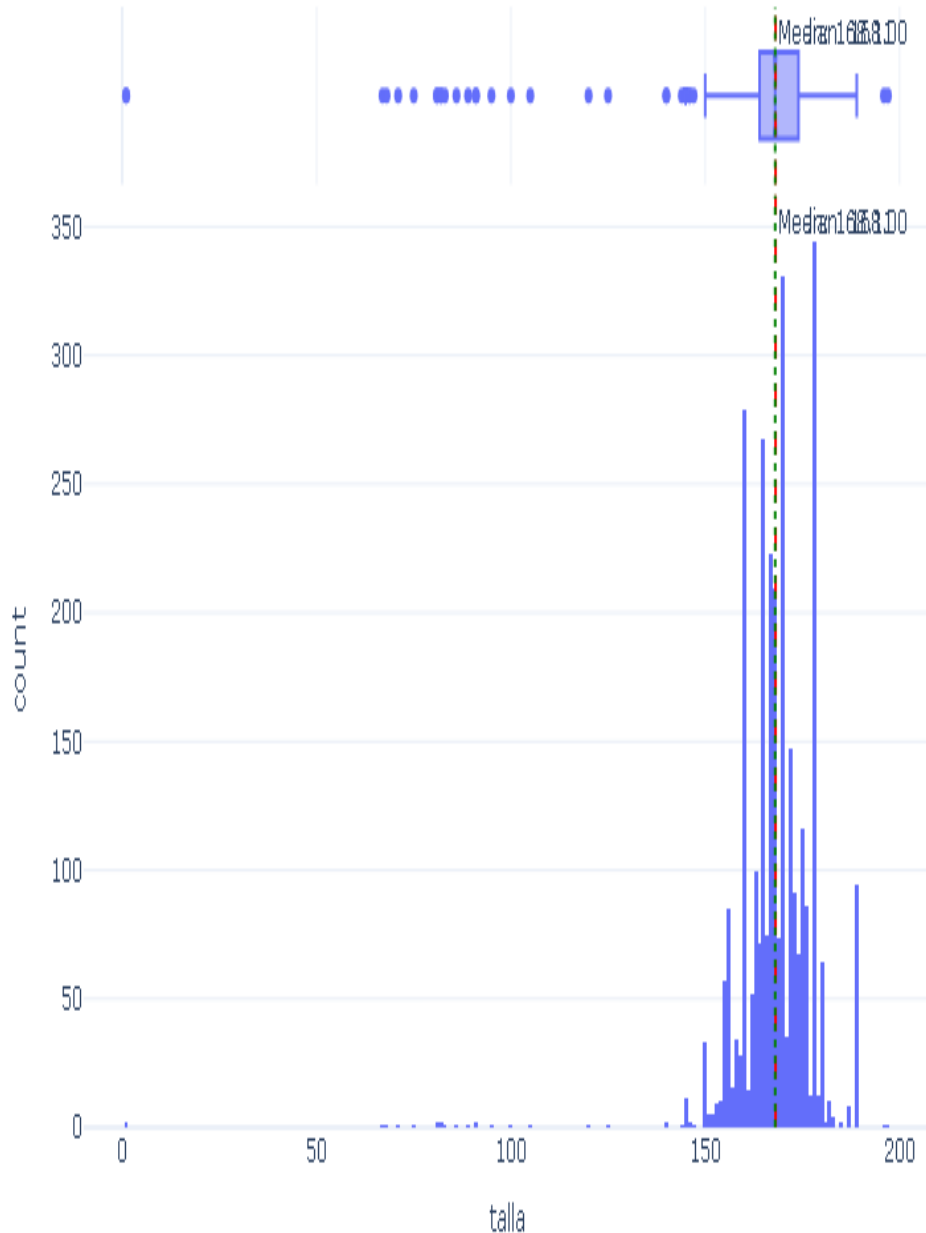


Figura: Distribución de talla

Boxplot of talla

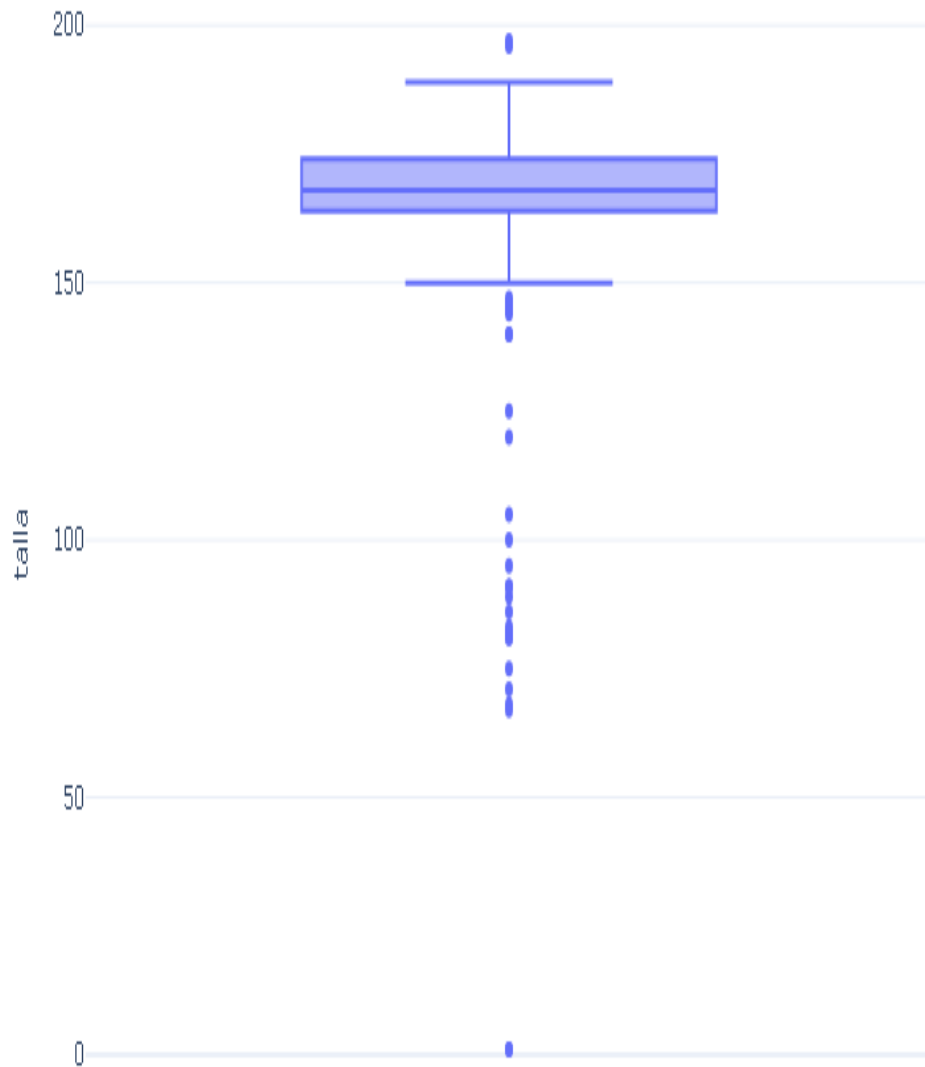


Figura: Boxplot de talla

Variable: imc

Estadísticas Descriptivas

Estadística	Valor
Observaciones	3,112
Valores faltantes	0 (0.00%)
Media	495.9948
Mediana	25.3910
Desviación estándar	18502.5868
Mínimo	15.6250
Q1 (25%)	23.0375
Q3 (75%)	27.9225
Máximo	730000.0000
Asimetría	39.4271
Curtosis	1553.4949

Test de Normalidad (Shapiro-Wilk)

Error al calcular test de normalidad: 'UnivariateStats' object has no attribute 'shapiro'

Detección de Outliers (Método IQR)

Métrica	Valor
Q1 (25%)	23.0375
Q3 (75%)	27.9225
IQR	4.8850
Límite inferior	15.7100
Límite superior	35.2500
Número de outliers	79 (2.54%)

Visualizaciones

Distribution of imc

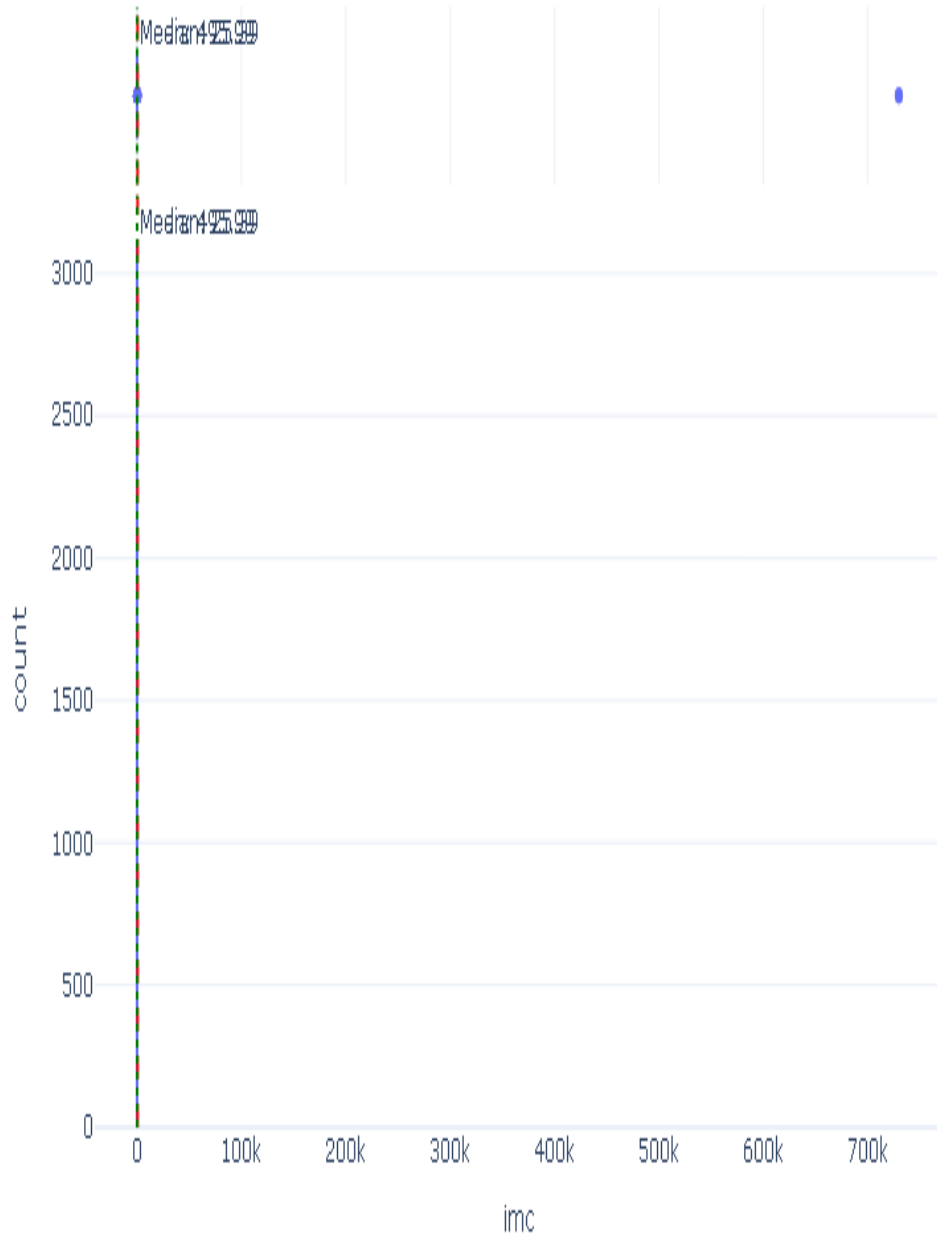


Figura: Distribución de *imc*

Boxplot of imc

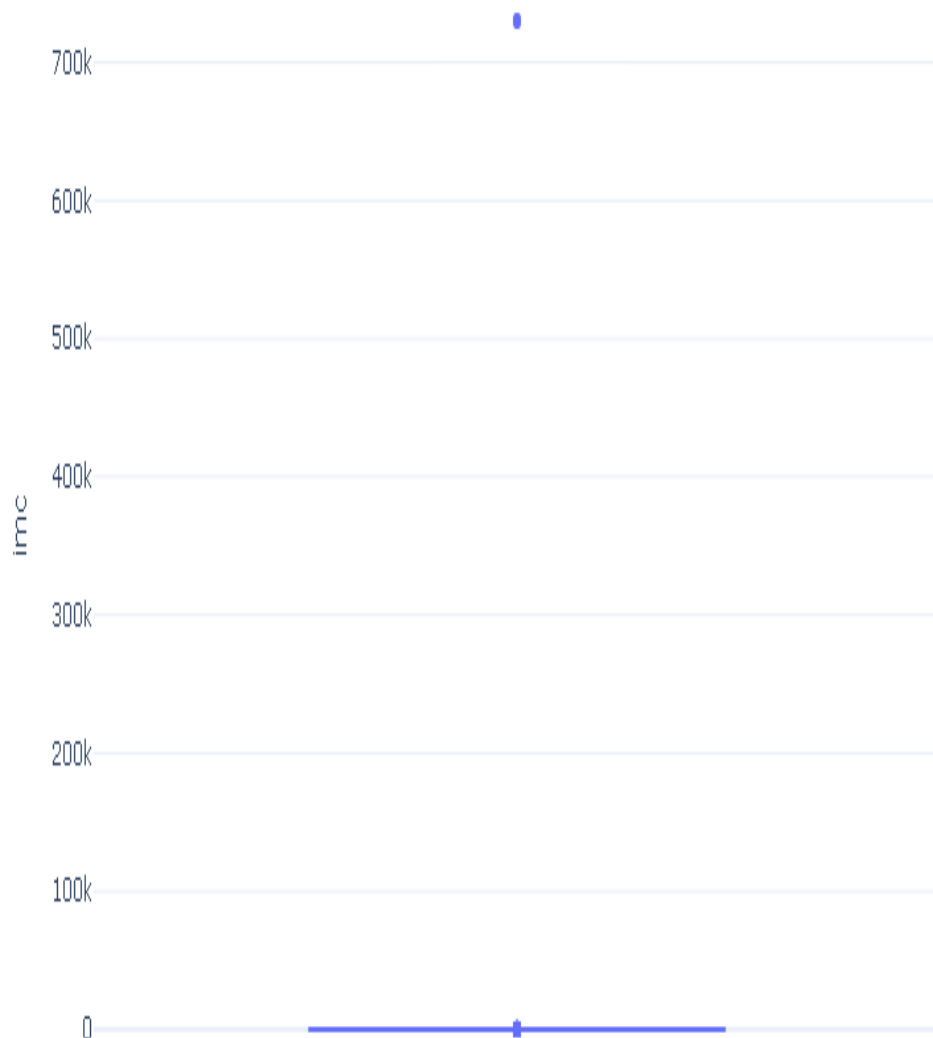


Figura: Boxplot de imc

Variable: ecg

Estadísticas Descriptivas

Estadística	Valor
Observaciones	2,967
Valores faltantes	145 (4.66%)
Media	11.5767
Mediana	10.0000
Desviación estándar	13.0831
Mínimo	N/A
Q1 (25%)	8.0000
Q3 (75%)	13.0000
Máximo	420.0000
Asimetría	18.5252
Curtosis	468.0447

Test de Normalidad (Shapiro-Wilk)

Error al calcular test de normalidad: 'UnivariateStats' object has no attribute 'shapiro'

Detección de Outliers (Método IQR)

Métrica	Valor
Q1 (25%)	8.0000
Q3 (75%)	13.0000
IQR	5.0000
Límite inferior	0.5000
Límite superior	20.5000
Número de outliers	142 (4.79%)

Visualizaciones

Distribution of ecg

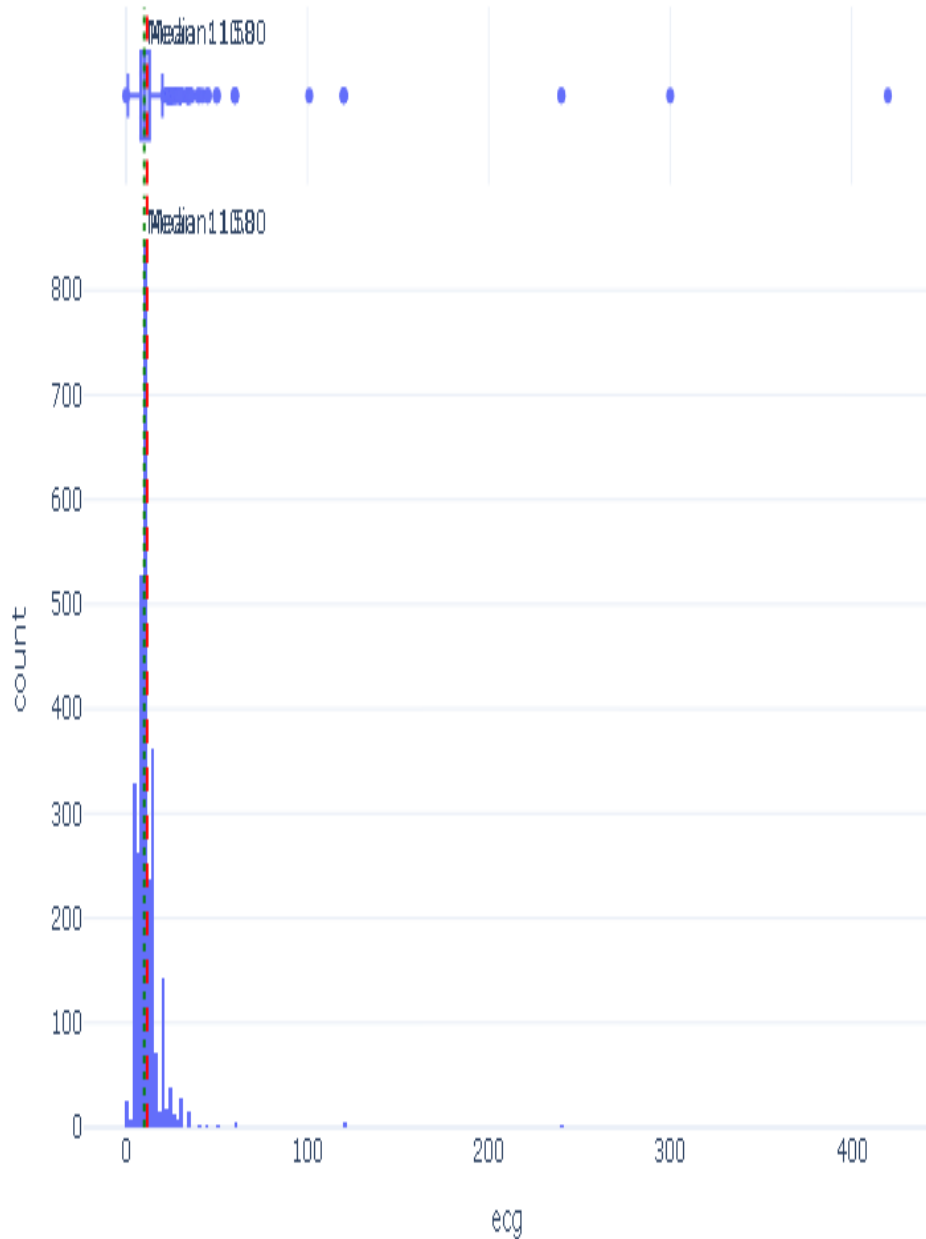


Figura: Distribución de ecg

Boxplot of ecg

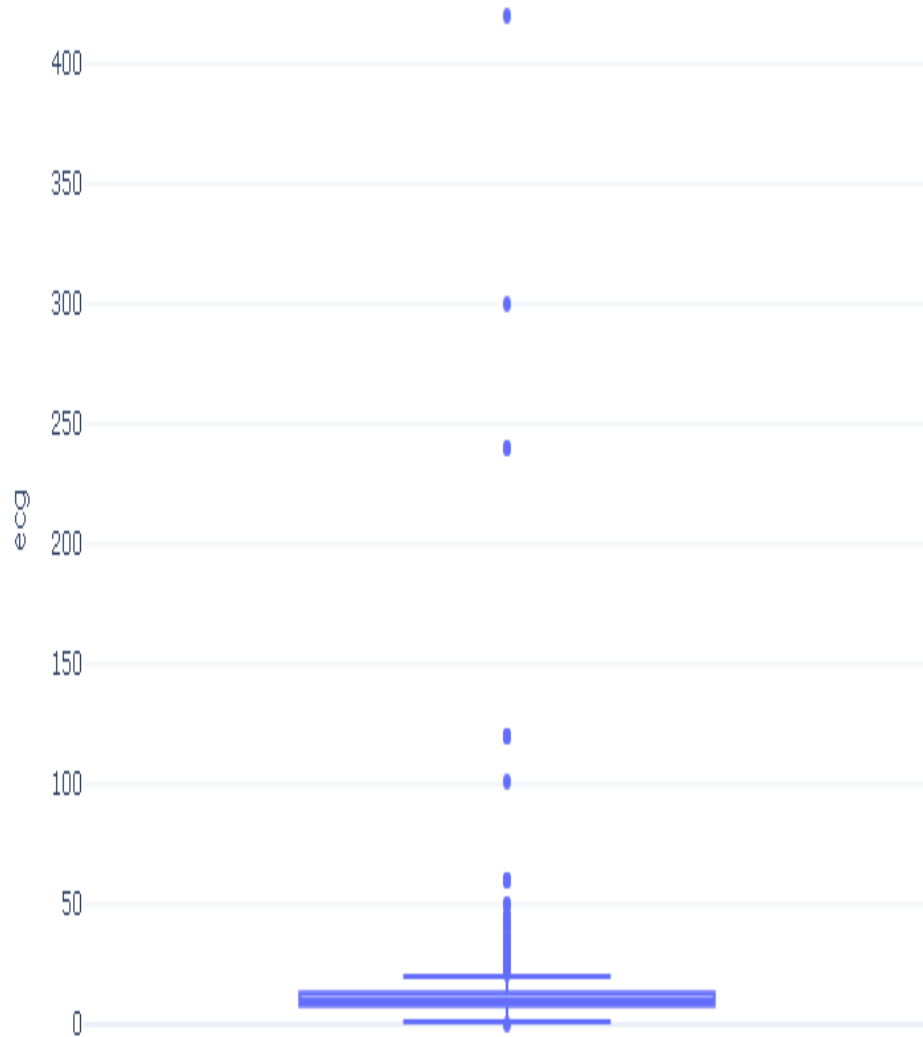


Figura: Boxplot de ecg

Variable: asa

Estadísticas Descriptivas

Estadística	Valor
Observaciones	3,034
Valores faltantes	78 (2.51%)
Media	3.0267
Mediana	1.0000
Desviación estándar	4.4344
Mínimo	N/A
Q1 (25%)	1.0000
Q3 (75%)	4.0000
Máximo	72.0000
Asimetría	5.3858
Curtosis	54.6729

Test de Normalidad (Shapiro-Wilk)

Error al calcular test de normalidad: 'UnivariateStats' object has no attribute 'shapiro'

Detección de Outliers (Método IQR)

Métrica	Valor
Q1 (25%)	1.0000
Q3 (75%)	4.0000
IQR	3.0000
Límite inferior	-3.5000
Límite superior	8.5000
Número de outliers	258 (8.50%)

Visualizaciones

Distribution of asa

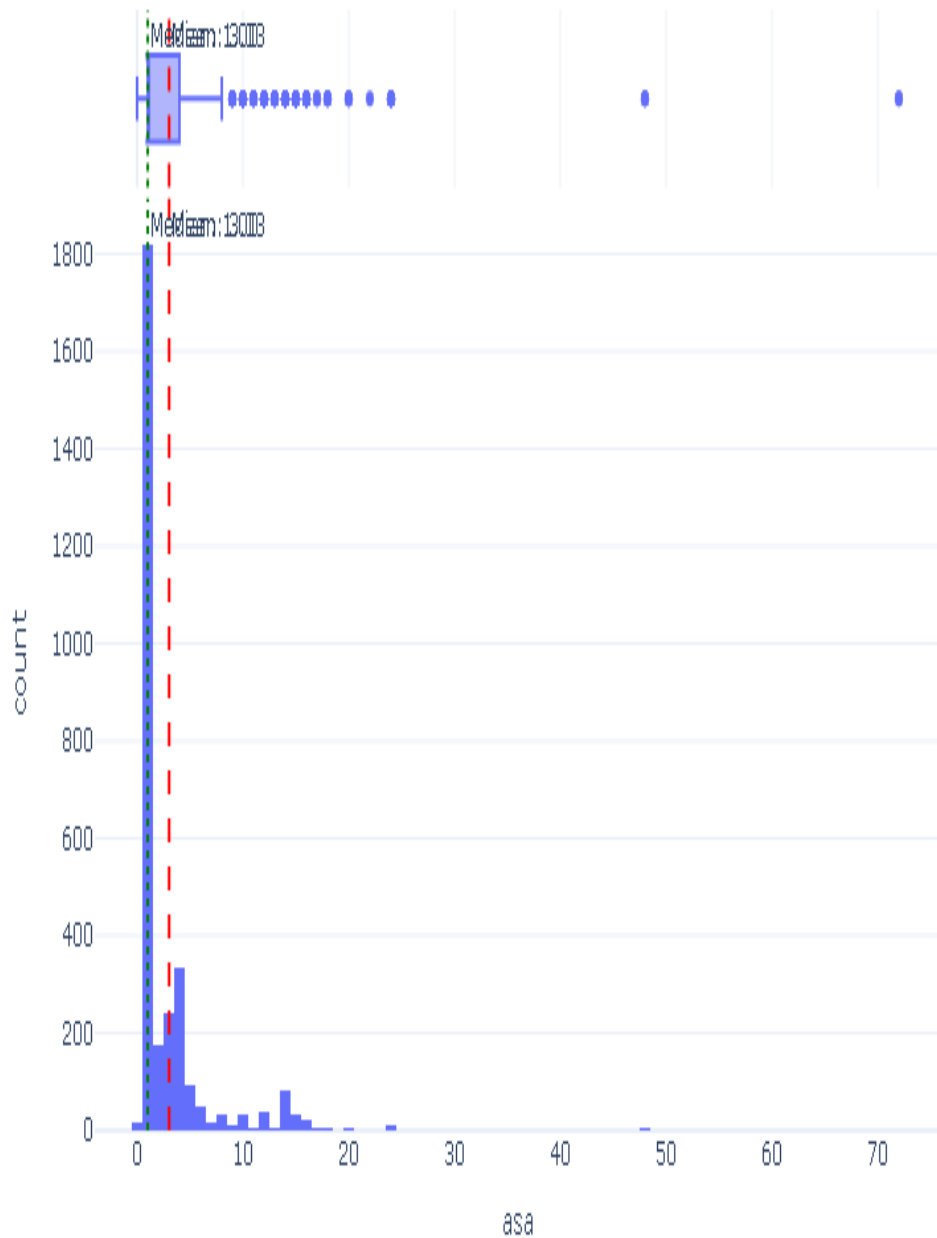


Figura: Distribución de asa

Boxplot of asa

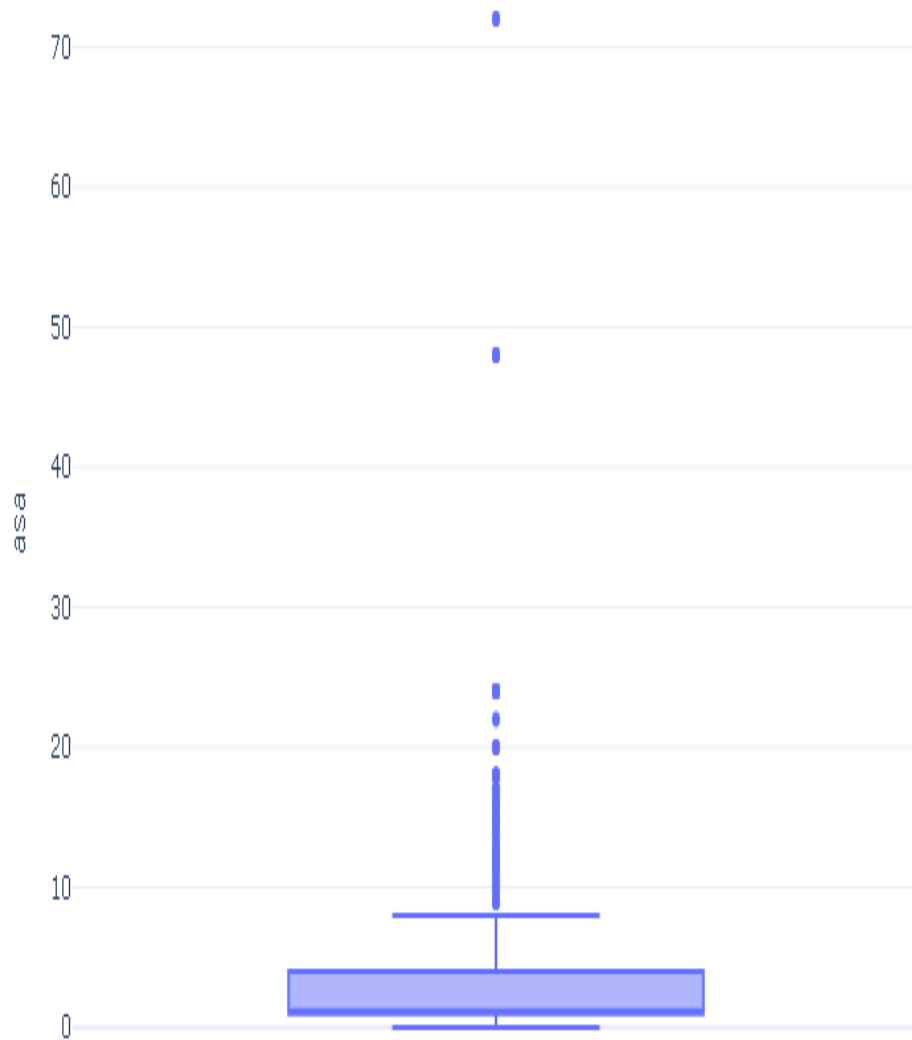


Figura: Boxplot de asa

Variable: betabloqueadores

Estadísticas Descriptivas

Estadística	Valor
Observaciones	2,402
Valores faltantes	710 (22.81%)
Media	20.5008
Mediana	12.0000
Desviación estándar	22.4716
Mínimo	N/A
Q1 (25%)	1.0000
Q3 (75%)	24.0000
Máximo	99.0000
Asimetría	1.3377
Curtosis	1.4012

Test de Normalidad (Shapiro-Wilk)

Error al calcular test de normalidad: 'UnivariateStats' object has no attribute 'shapiro'

Detección de Outliers (Método IQR)

Métrica	Valor
Q1 (25%)	1.0000
Q3 (75%)	24.0000
IQR	23.0000
Límite inferior	-33.5000
Límite superior	58.5000
Número de outliers	176 (7.33%)

Visualizaciones

Distribution of betabloqueadores

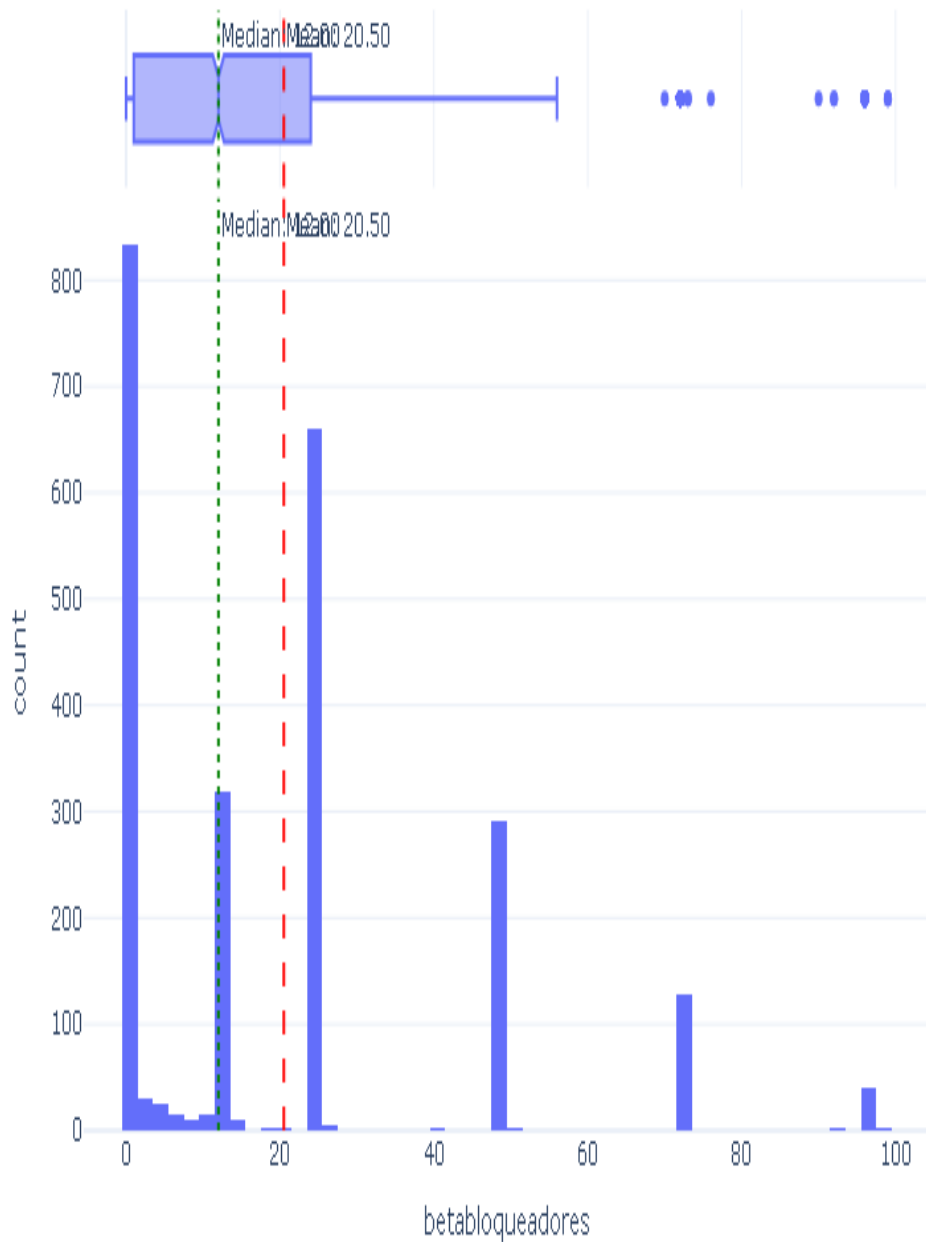


Figura: Distribución de betabloqueadores

Boxplot of betabloqueadores

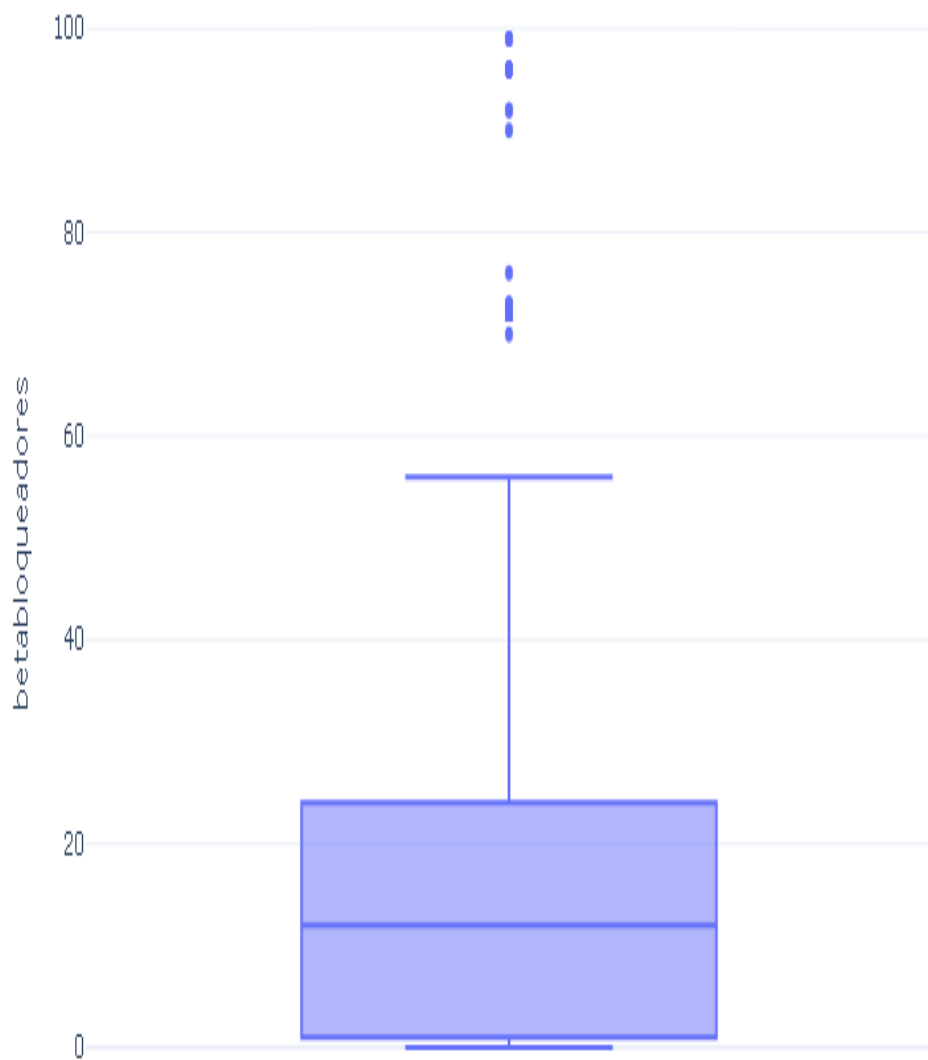


Figura: Boxplot de betabloqueadores

Variable: tiempo_puerta_aguja

Estadísticas Descriptivas

Estadística	Valor
Observaciones	1,663
Valores faltantes	1449 (46.56%)
Media	62.2796
Mediana	40.0000
Desviación estándar	65.2546
Mínimo	N/A
Q1 (25%)	29.0000
Q3 (75%)	60.0000
Máximo	700.0000
Asimetría	3.1866
Curtosis	16.4139

Test de Normalidad (Shapiro-Wilk)

Error al calcular test de normalidad: 'UnivariateStats' object has no attribute 'shapiro'

Detección de Outliers (Método IQR)

Métrica	Valor
Q1 (25%)	29.0000
Q3 (75%)	60.0000
IQR	31.0000
Límite inferior	-17.5000
Límite superior	106.5000
Número de outliers	323 (19.42%)

Visualizaciones

Distribution of tiempo_puerta_aguja

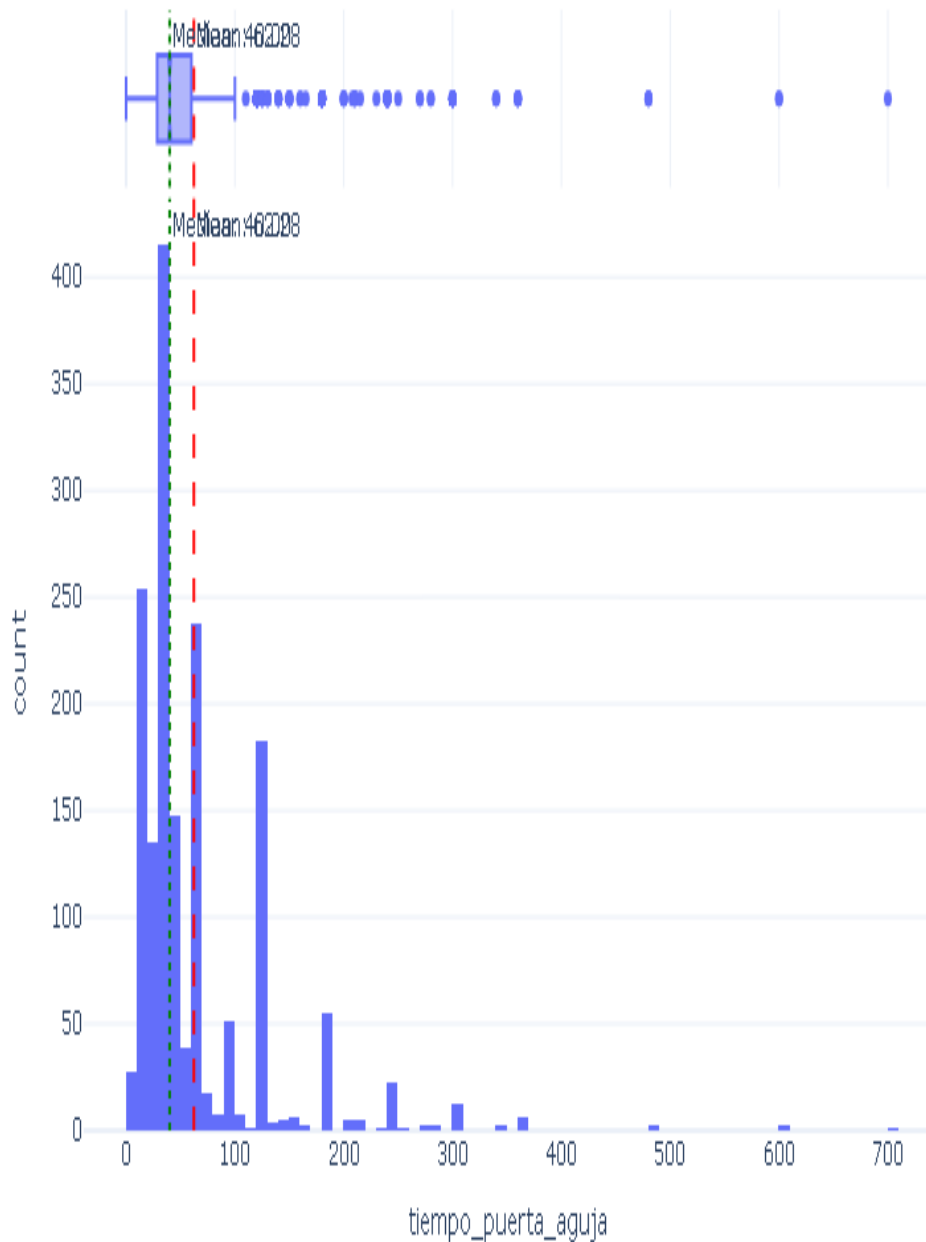


Figura: Distribución de tiempo_puerta_aguja

Boxplot of tiempo_puerta_aguja

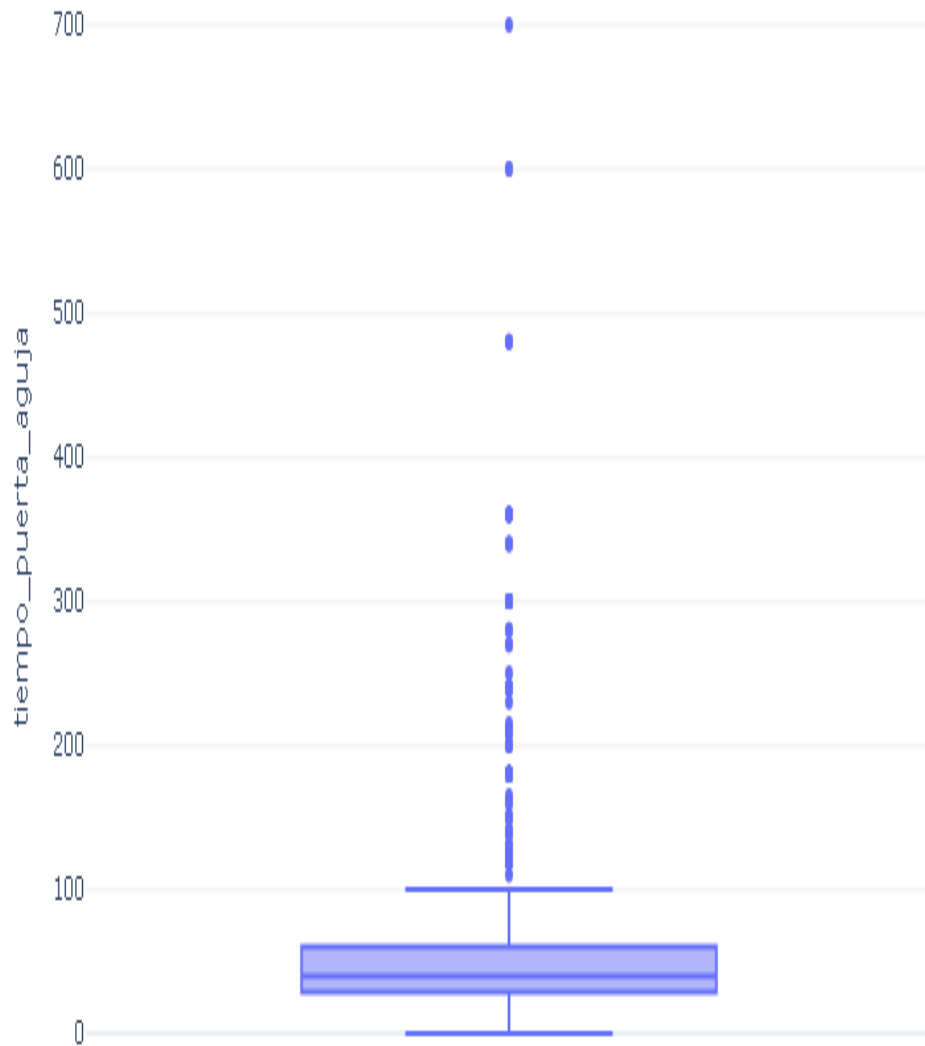


Figura: Boxplot de tiempo_puerta_aguja

Variable: tiempo_isquemia

Estadísticas Descriptivas

Estadística	Valor
Observaciones	1,117
Valores faltantes	1995 (64.11%)
Media	357.6124
Mediana	240.0000
Desviación estándar	450.9446
Mínimo	N/A
Q1 (25%)	150.0000
Q3 (75%)	420.0000
Máximo	9999.0000
Asimetría	10.3919
Curtosis	195.2445

Test de Normalidad (Shapiro-Wilk)

Error al calcular test de normalidad: 'UnivariateStats' object has no attribute 'shapiro'

Detección de Outliers (Método IQR)

Métrica	Valor
Q1 (25%)	150.0000
Q3 (75%)	420.0000
IQR	270.0000
Límite inferior	-255.0000
Límite superior	825.0000
Número de outliers	111 (9.94%)

Visualizaciones

Distribution of tiempo_isquemia

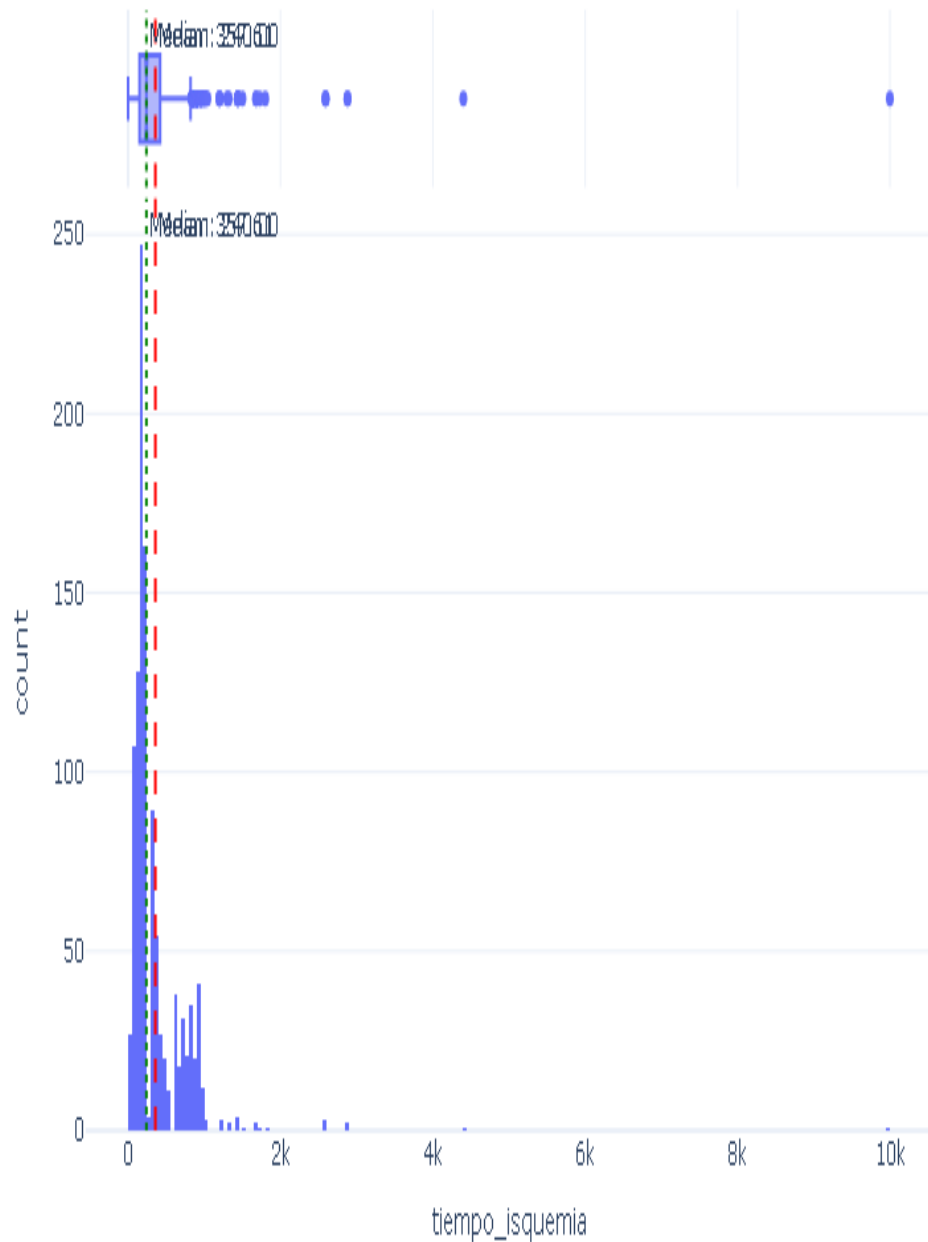


Figura: Distribución de tiempo_isquemia

Boxplot of tiempo_isquemia

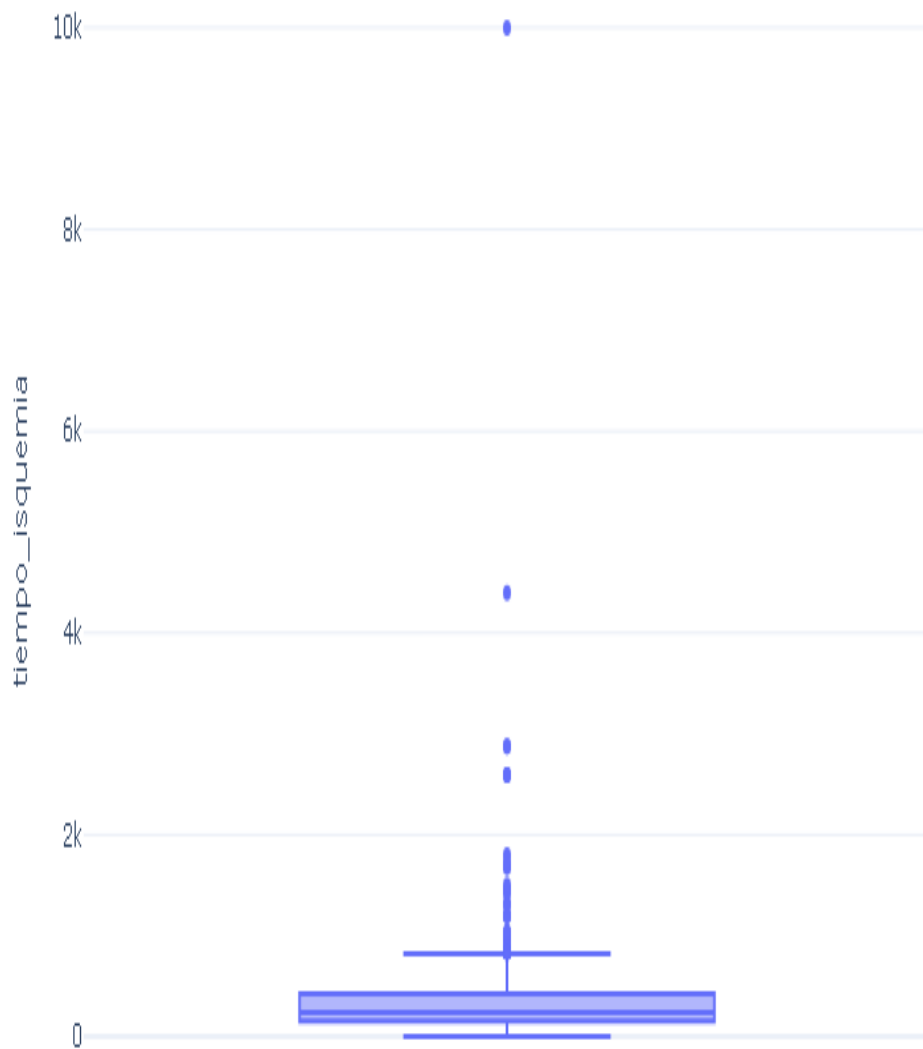


Figura: Boxplot de `tiempo_isquemia`

Variable: escala_grace

Estadísticas Descriptivas

Estadística	Valor
Observaciones	2,972
Valores faltantes	140 (4.50%)
Media	107.2264
Mediana	108.0000
Desviación estándar	25.9681
Mínimo	34.0000
Q1 (25%)	89.0000
Q3 (75%)	126.0000
Máximo	193.0000
Asimetría	0.0684
Curtosis	-0.2472

Test de Normalidad (Shapiro-Wilk)

Error al calcular test de normalidad: 'UnivariateStats' object has no attribute 'shapiro'

Detección de Outliers (Método IQR)

Métrica	Valor
Q1 (25%)	89.0000
Q3 (75%)	126.0000
IQR	37.0000
Límite inferior	33.5000
Límite superior	181.5000
Número de outliers	5 (0.17%)

Visualizaciones

Distribution of escala_grace

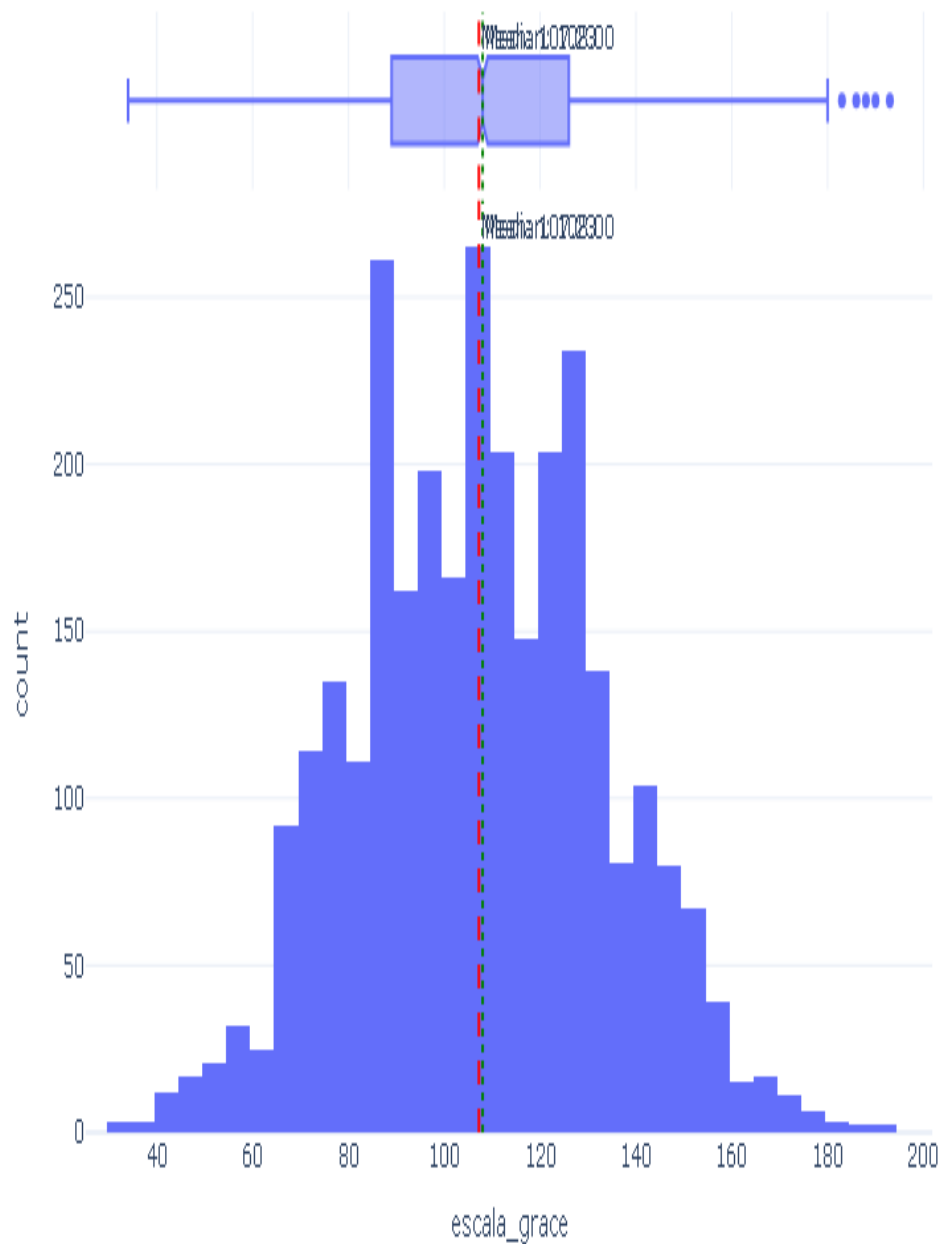


Figura: Distribución de `escala_grace`

Boxplot of escala_grace

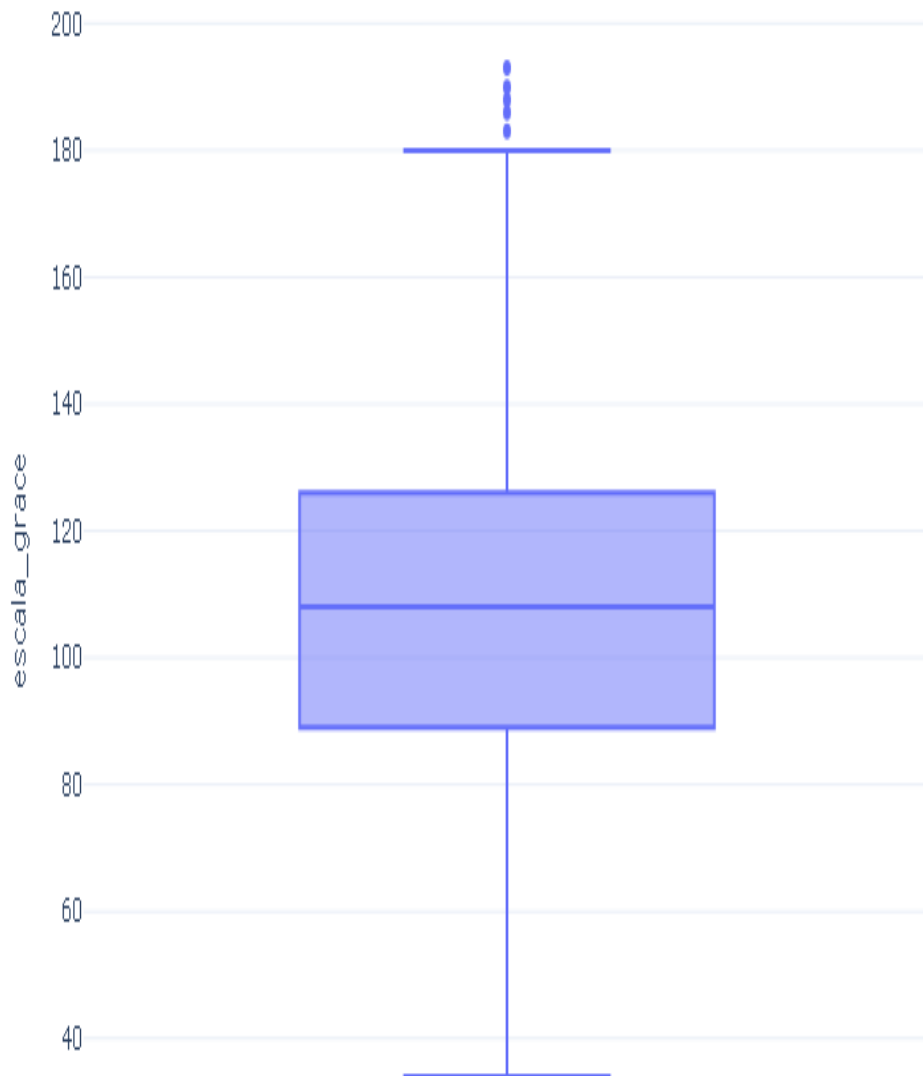


Figura: Boxplot de escala_grace

Variable: avc

Estadísticas Descriptivas

Estadística	Valor
Observaciones	3,112
Valores faltantes	0 (0.00%)
Media	0.0803
Mediana	N/A
Desviación estándar	0.2719
Mínimo	N/A
Q1 (25%)	N/A
Q3 (75%)	N/A
Máximo	1.0000
Asimetría	3.0894
Curtosis	7.5494

Test de Normalidad (Shapiro-Wilk)

Error al calcular test de normalidad: 'UnivariateStats' object has no attribute 'shapiro'

Detección de Outliers (Método IQR)

Métrica	Valor
Q1 (25%)	0.0000
Q3 (75%)	0.0000
IQR	0.0000
Límite inferior	0.0000
Límite superior	0.0000
Número de outliers	250 (8.03%)

Visualizaciones

Distribution of avg

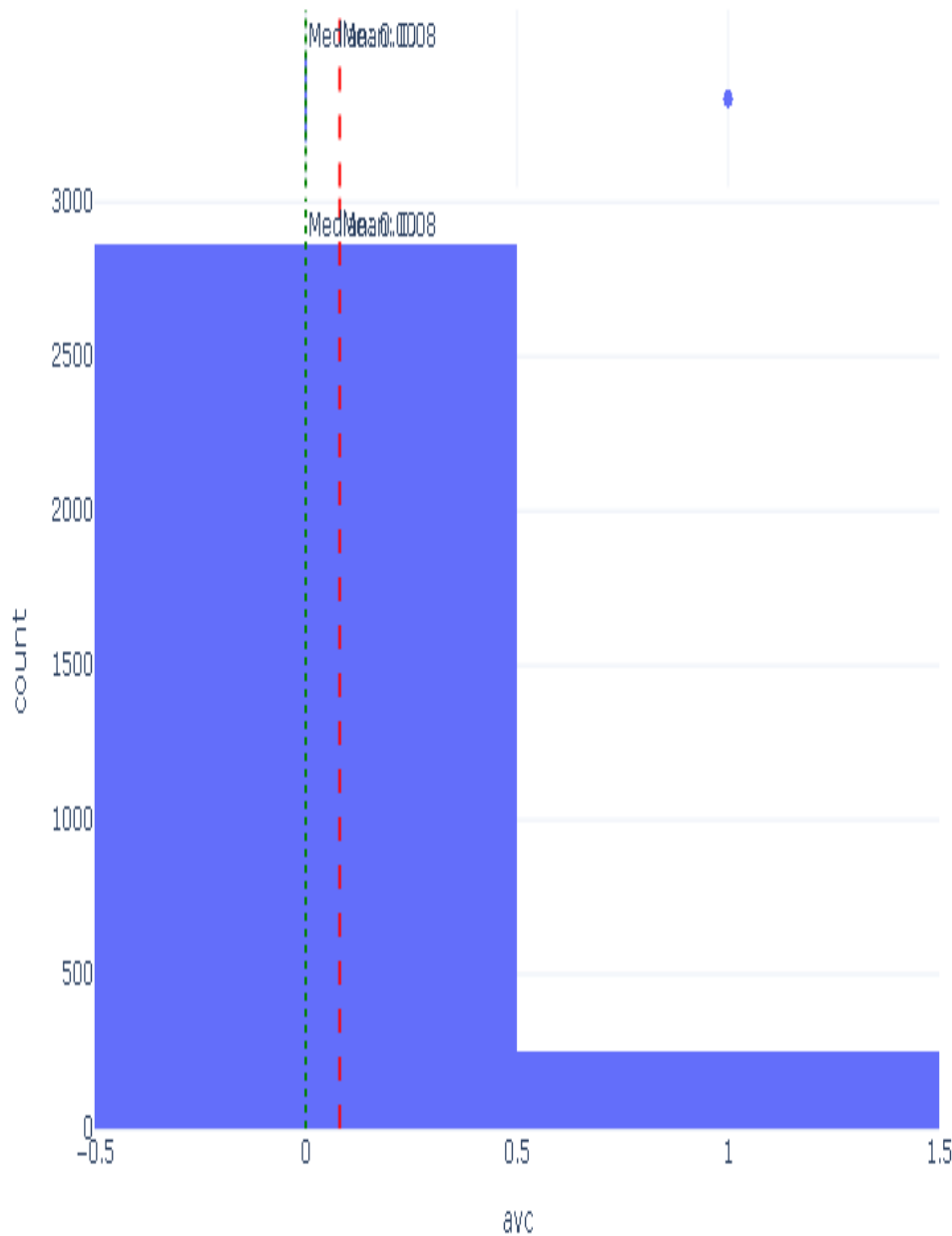


Figura: Distribución de avg

Boxplot of avg

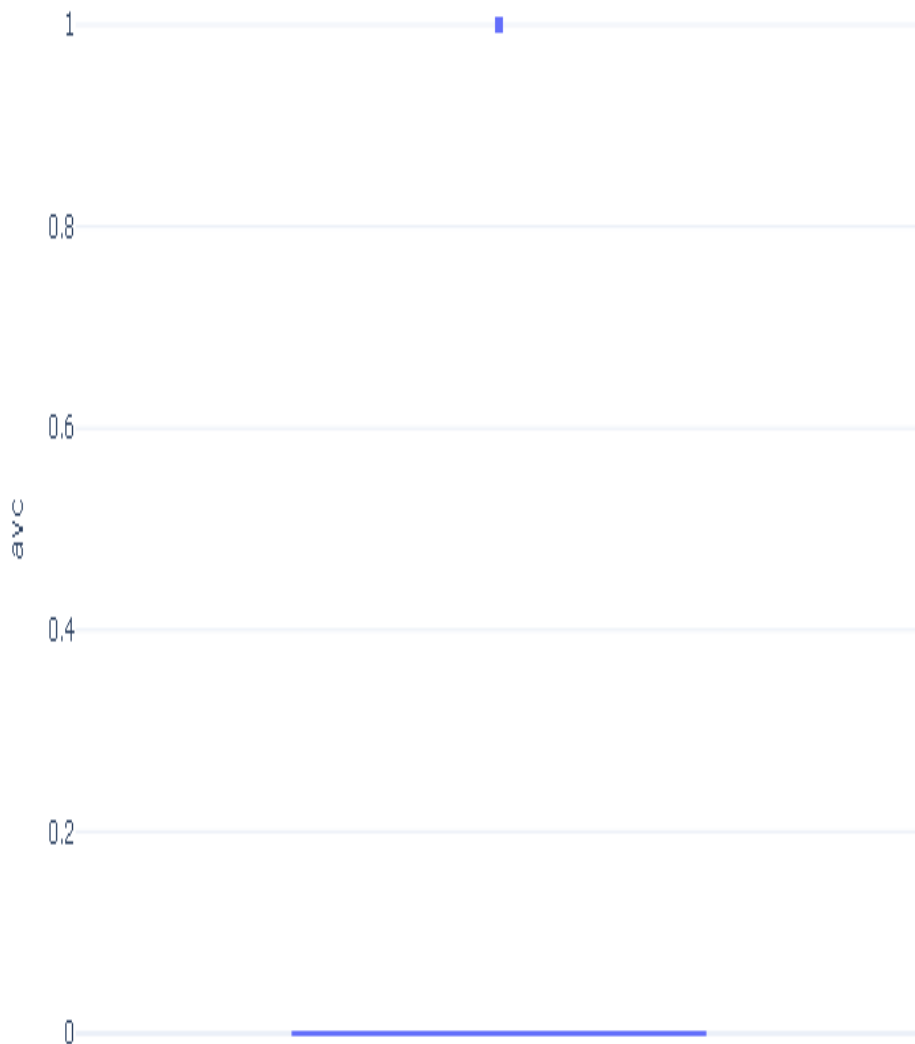


Figura: Boxplot de avg

Variable: mpt

Estadísticas Descriptivas

Estadística	Valor
Observaciones	3,112
Valores faltantes	0 (0.00%)
Media	0.0244
Mediana	N/A
Desviación estándar	0.1544
Mínimo	N/A
Q1 (25%)	N/A
Q3 (75%)	N/A
Máximo	1.0000
Asimetría	6.1651
Curtosis	36.0322

Test de Normalidad (Shapiro-Wilk)

Error al calcular test de normalidad: 'UnivariateStats' object has no attribute 'shapiro'

Detección de Outliers (Método IQR)

Métrica	Valor
Q1 (25%)	0.0000
Q3 (75%)	0.0000
IQR	0.0000
Límite inferior	0.0000
Límite superior	0.0000
Número de outliers	76 (2.44%)

Visualizaciones

Distribution of mpt

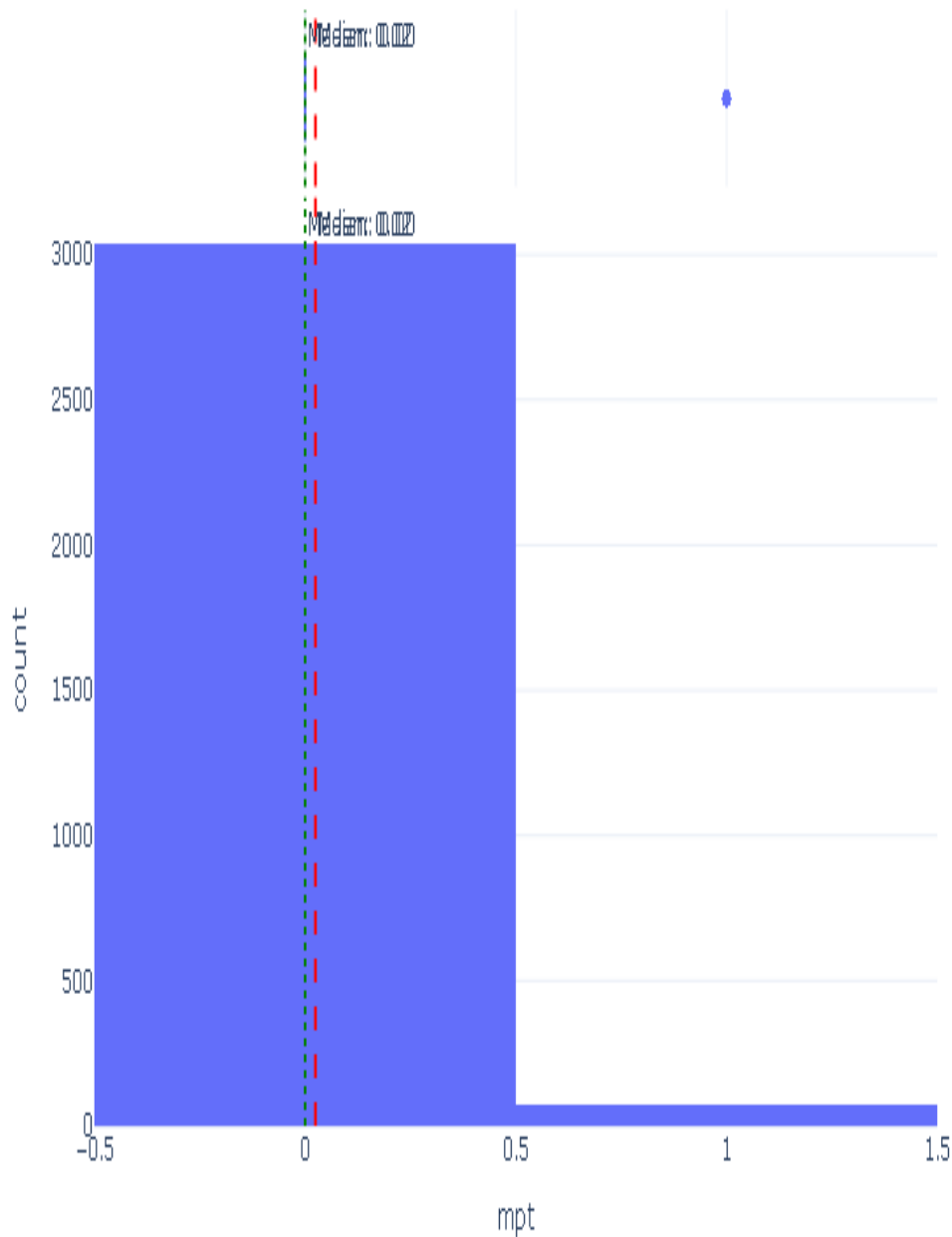


Figura: Distribución de *mpt*

Boxplot of mpt

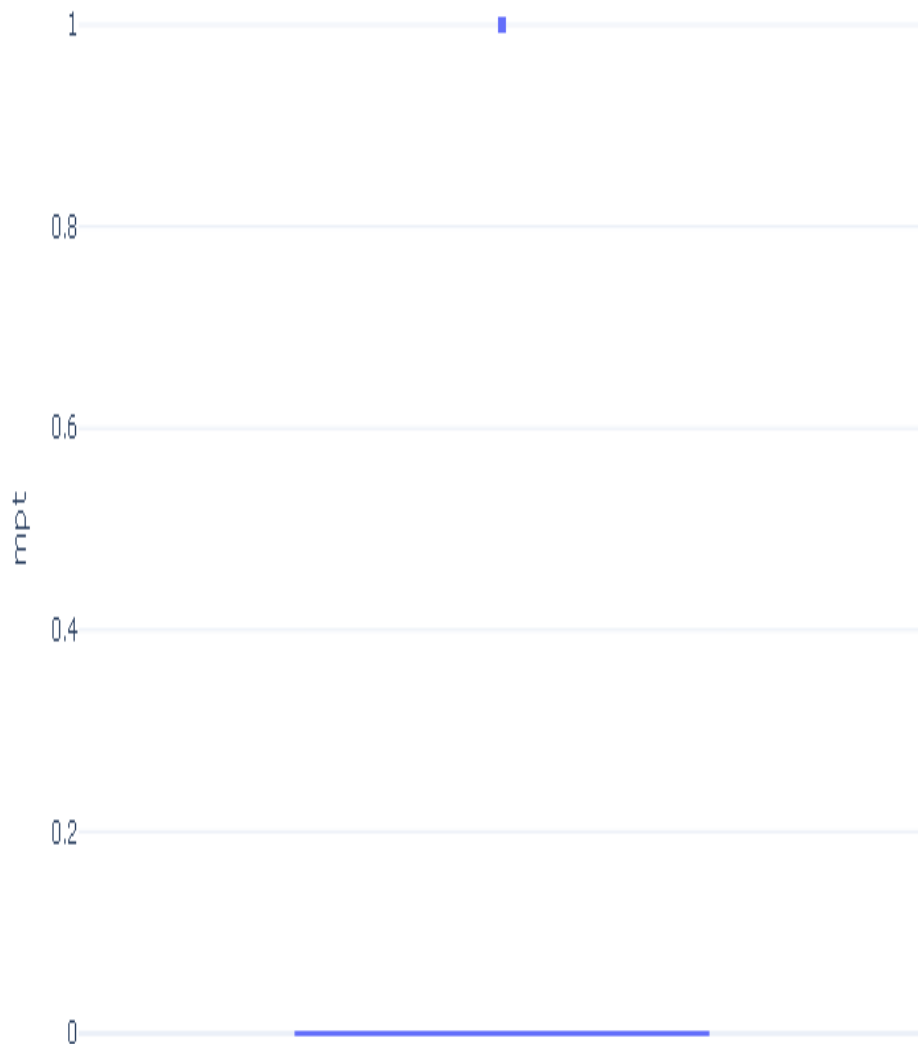


Figura: Boxplot de mpt

Variable: vam

Estadísticas Descriptivas

Estadística	Valor
Observaciones	3,112
Valores faltantes	0 (0.00%)
Media	0.0379
Mediana	N/A
Desviación estándar	0.1910
Mínimo	N/A
Q1 (25%)	N/A
Q3 (75%)	N/A
Máximo	1.0000
Asimetría	4.8410
Curtosis	21.4487

Test de Normalidad (Shapiro-Wilk)

Error al calcular test de normalidad: 'UnivariateStats' object has no attribute 'shapiro'

Detección de Outliers (Método IQR)

Métrica	Valor
Q1 (25%)	0.0000
Q3 (75%)	0.0000
IQR	0.0000
Límite inferior	0.0000
Límite superior	0.0000
Número de outliers	118 (3.79%)

Visualizaciones

Distribution of vam

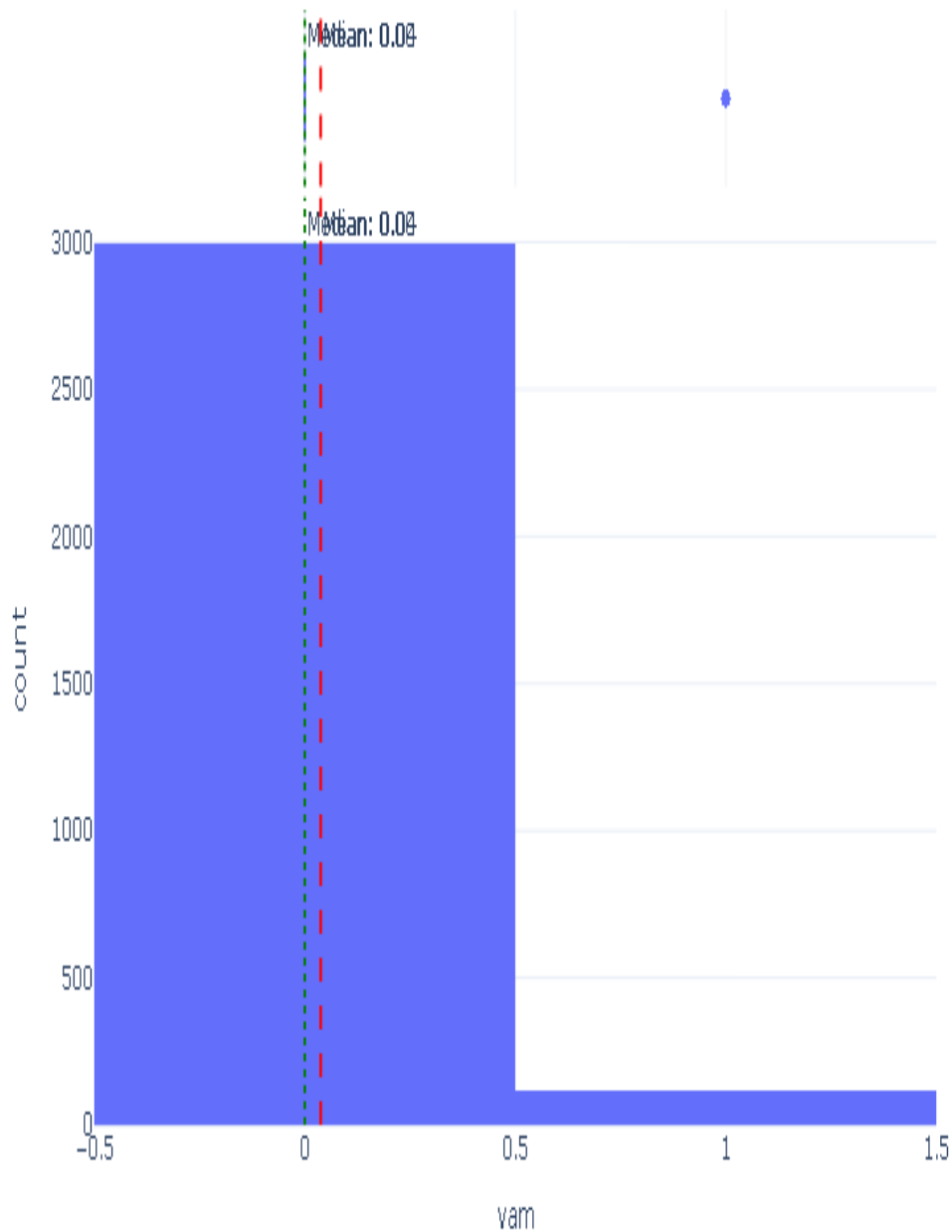


Figura: Distribución de *vam*

Boxplot of vam

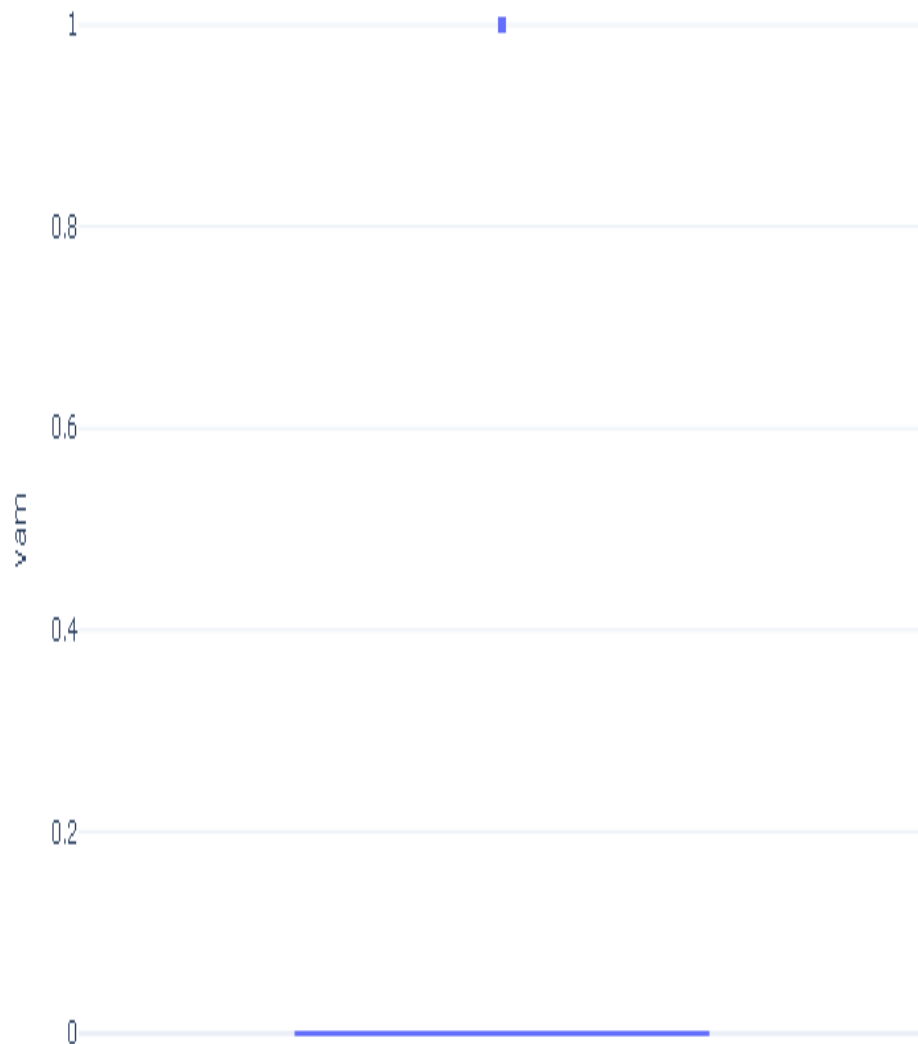


Figura: Boxplot de vam

Variable: mpp

Estadísticas Descriptivas

Estadística	Valor
Observaciones	3,112
Valores faltantes	0 (0.00%)
Media	0.0042
Mediana	N/A
Desviación estándar	0.0645
Mínimo	N/A
Q1 (25%)	N/A
Q3 (75%)	N/A
Máximo	1.0000
Asimetría	15.3824
Curtosis	234.7678

Test de Normalidad (Shapiro-Wilk)

Error al calcular test de normalidad: 'UnivariateStats' object has no attribute 'shapiro'

Detección de Outliers (Método IQR)

Métrica	Valor
Q1 (25%)	0.0000
Q3 (75%)	0.0000
IQR	0.0000
Límite inferior	0.0000
Límite superior	0.0000
Número de outliers	13 (0.42%)

Visualizaciones

Distribution of mpp

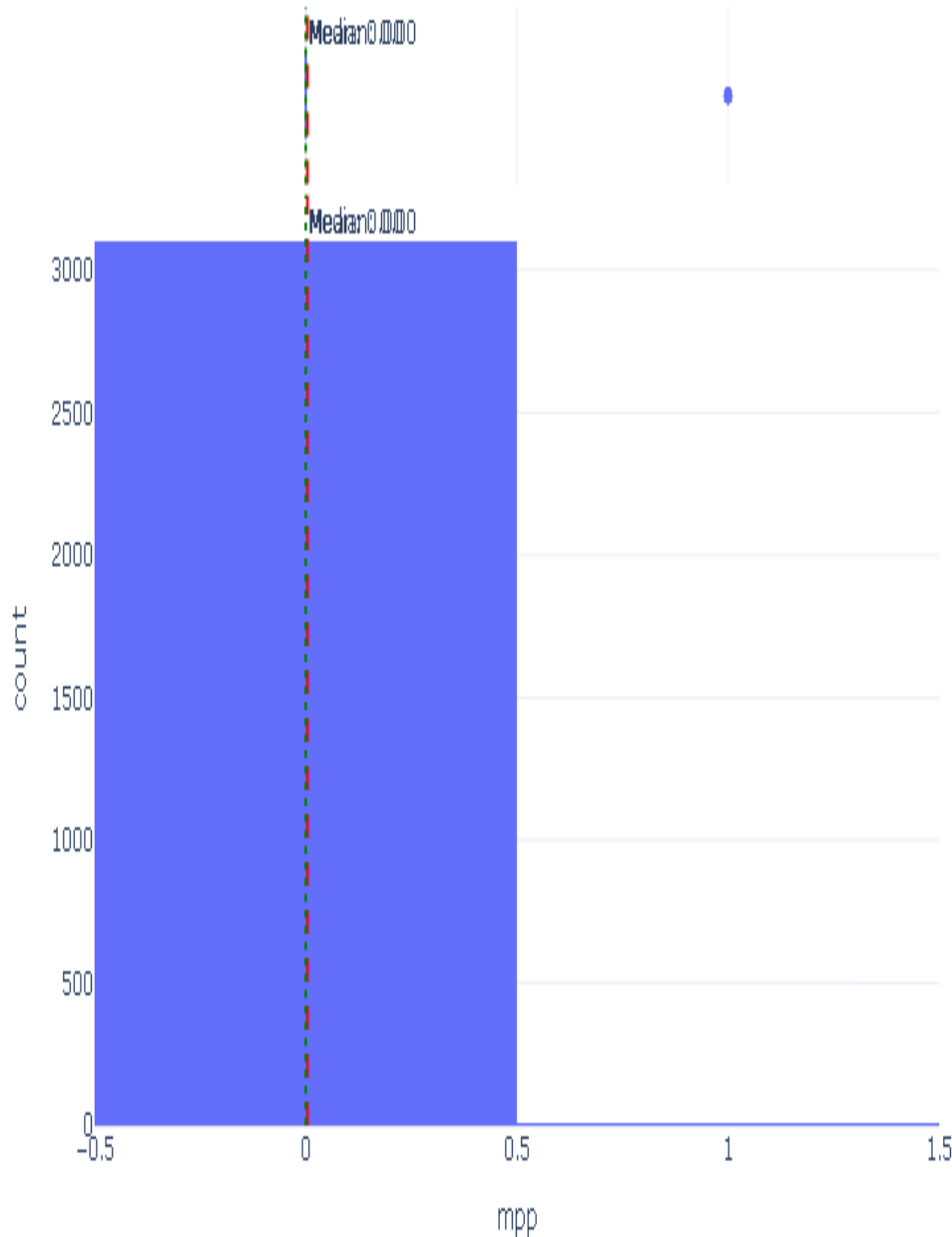


Figura: Distribución de *mpp*

Boxplot of mpp

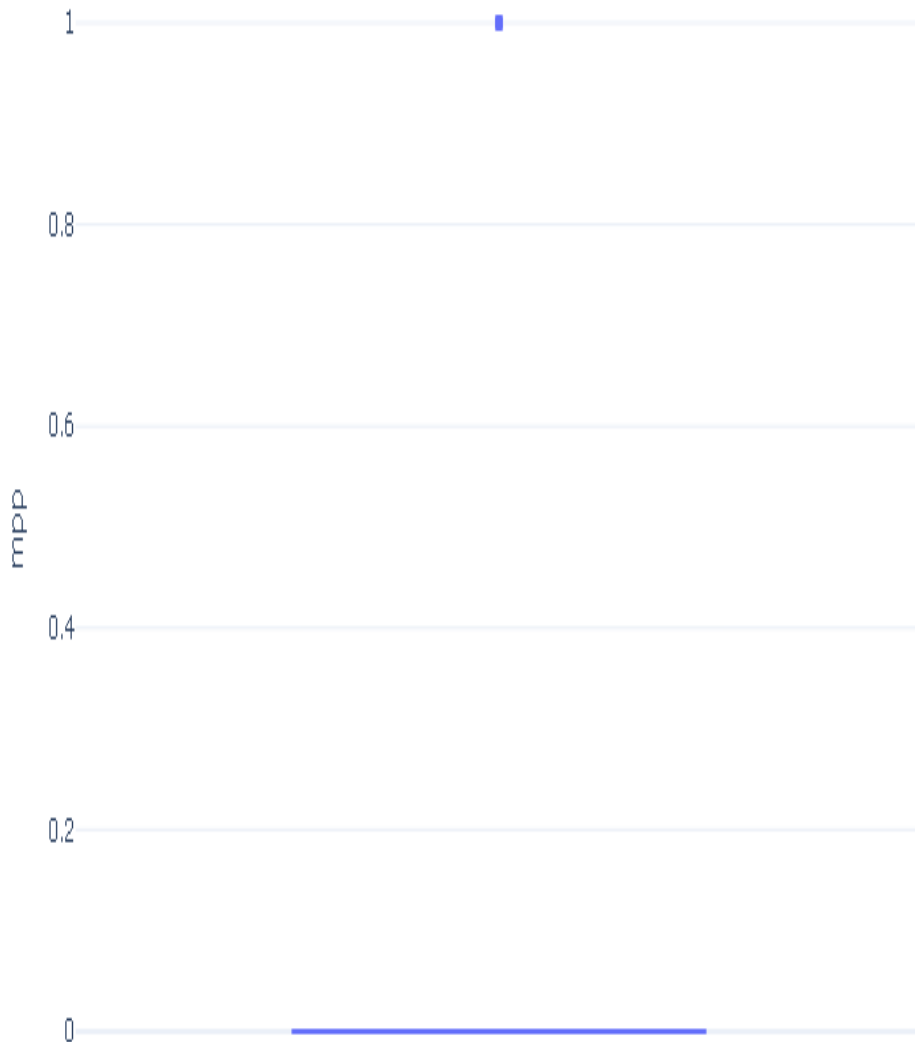


Figura: Boxplot de mpp

Variable: aminas

Estadísticas Descriptivas

Estadística	Valor
Observaciones	3,112
Valores faltantes	0 (0.00%)
Media	0.0951
Mediana	N/A
Desviación estándar	0.2934
Mínimo	N/A
Q1 (25%)	N/A
Q3 (75%)	N/A
Máximo	1.0000
Asimetría	2.7615
Curtosis	5.6296

Test de Normalidad (Shapiro-Wilk)

Error al calcular test de normalidad: 'UnivariateStats' object has no attribute 'shapiro'

Detección de Outliers (Método IQR)

Métrica	Valor
Q1 (25%)	0.0000
Q3 (75%)	0.0000
IQR	0.0000
Límite inferior	0.0000
Límite superior	0.0000
Número de outliers	296 (9.51%)

Visualizaciones

Distribution of aminas

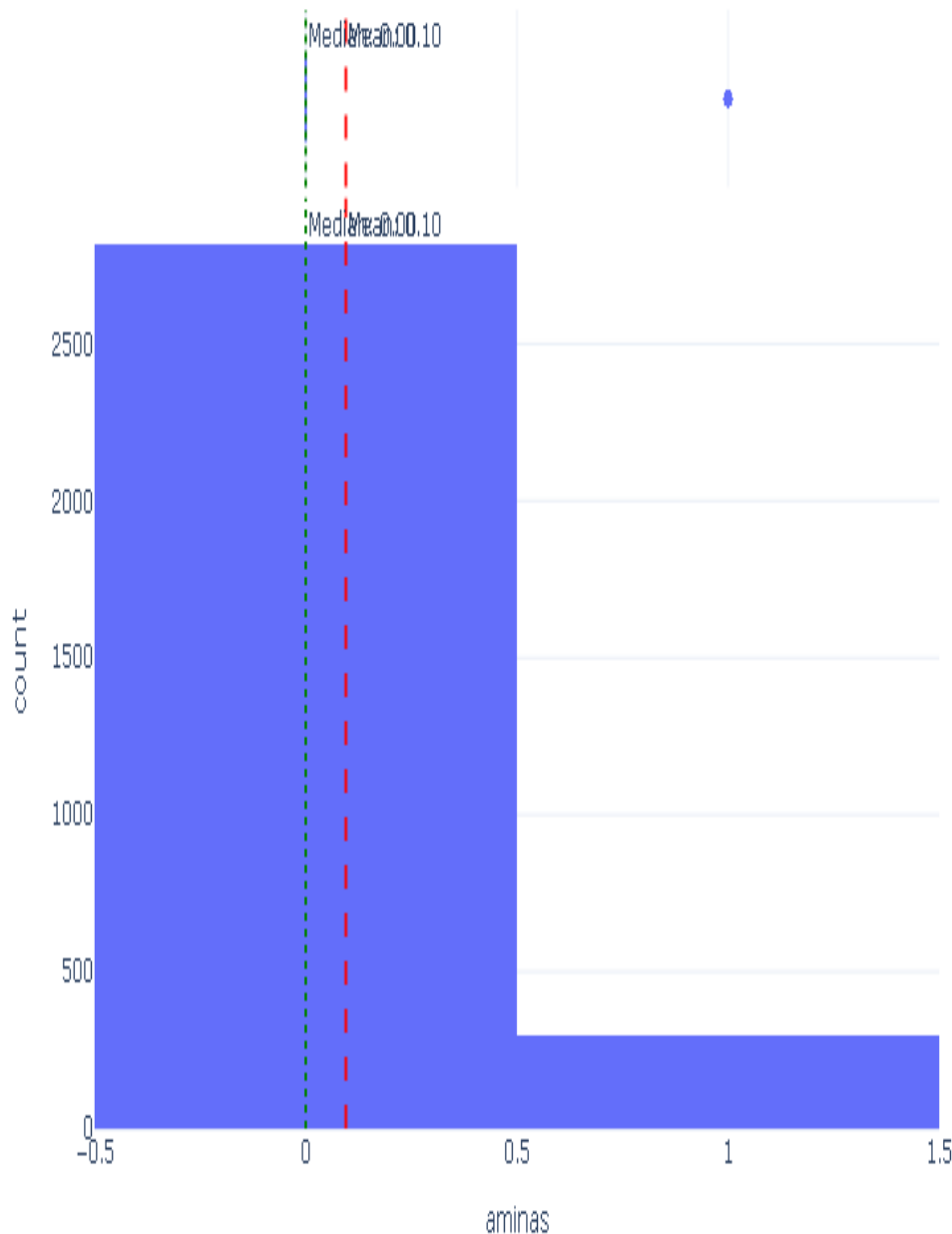


Figura: Distribución de aminas

Boxplot of aminas



Figura: Boxplot de aminas

Variable: balon

Estadísticas Descriptivas

Estadística	Valor
Observaciones	3,112
Valores faltantes	0 (0.00%)
Media	N/A
Mediana	N/A
Desviación estándar	N/A
Mínimo	N/A
Q1 (25%)	N/A
Q3 (75%)	N/A
Máximo	N/A
Asimetría	N/A
Curtosis	N/A

Test de Normalidad (Shapiro-Wilk)

Error al calcular test de normalidad: 'UnivariateStats' object has no attribute 'shapiro'

Detección de Outliers (Método IQR)

Métrica	Valor
Q1 (25%)	0.0000
Q3 (75%)	0.0000
IQR	0.0000
Límite inferior	0.0000
Límite superior	0.0000
Número de outliers	0 (0.00%)

Visualizaciones

Distribution of balon

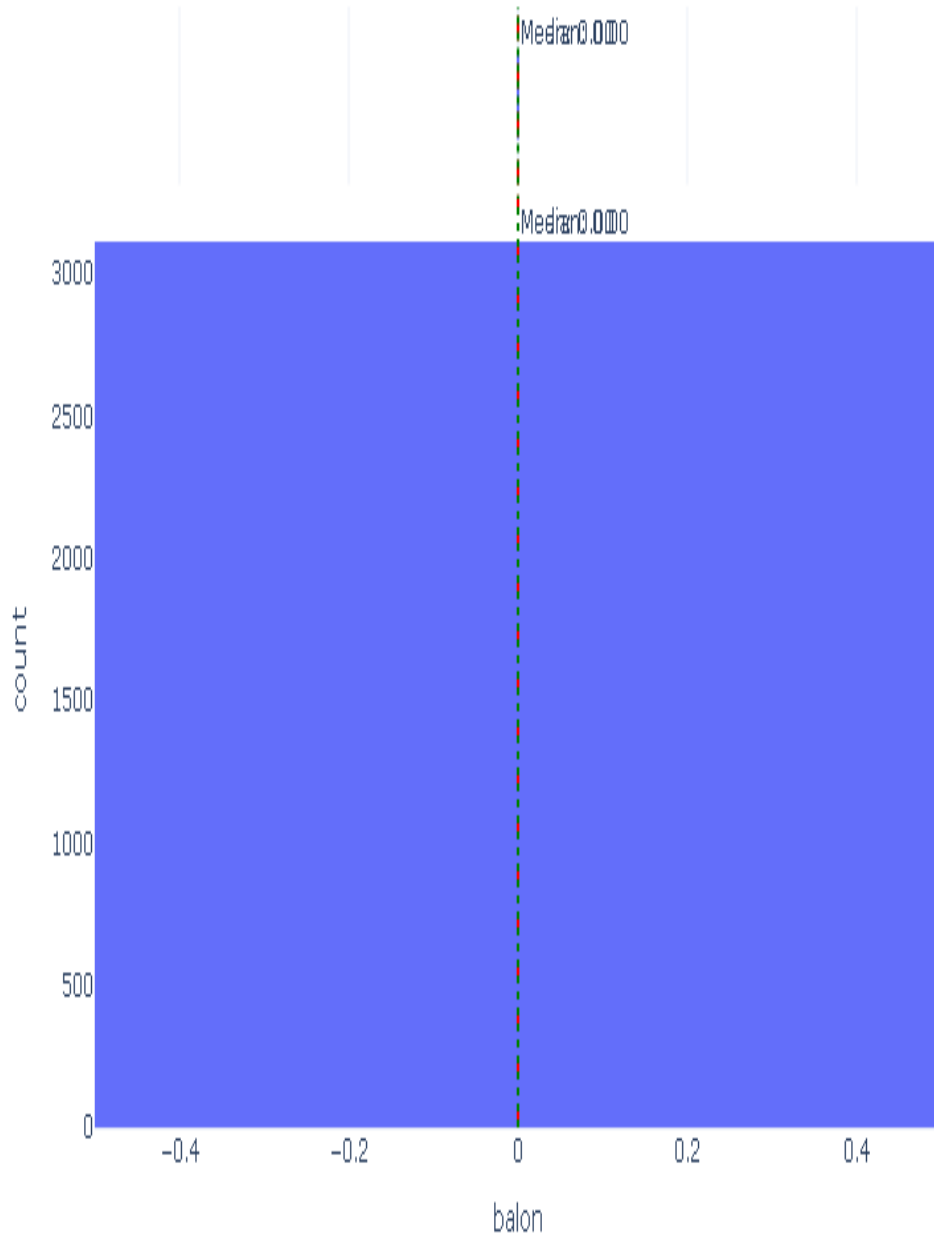


Figura: Distribución de balon

Boxplot of balon

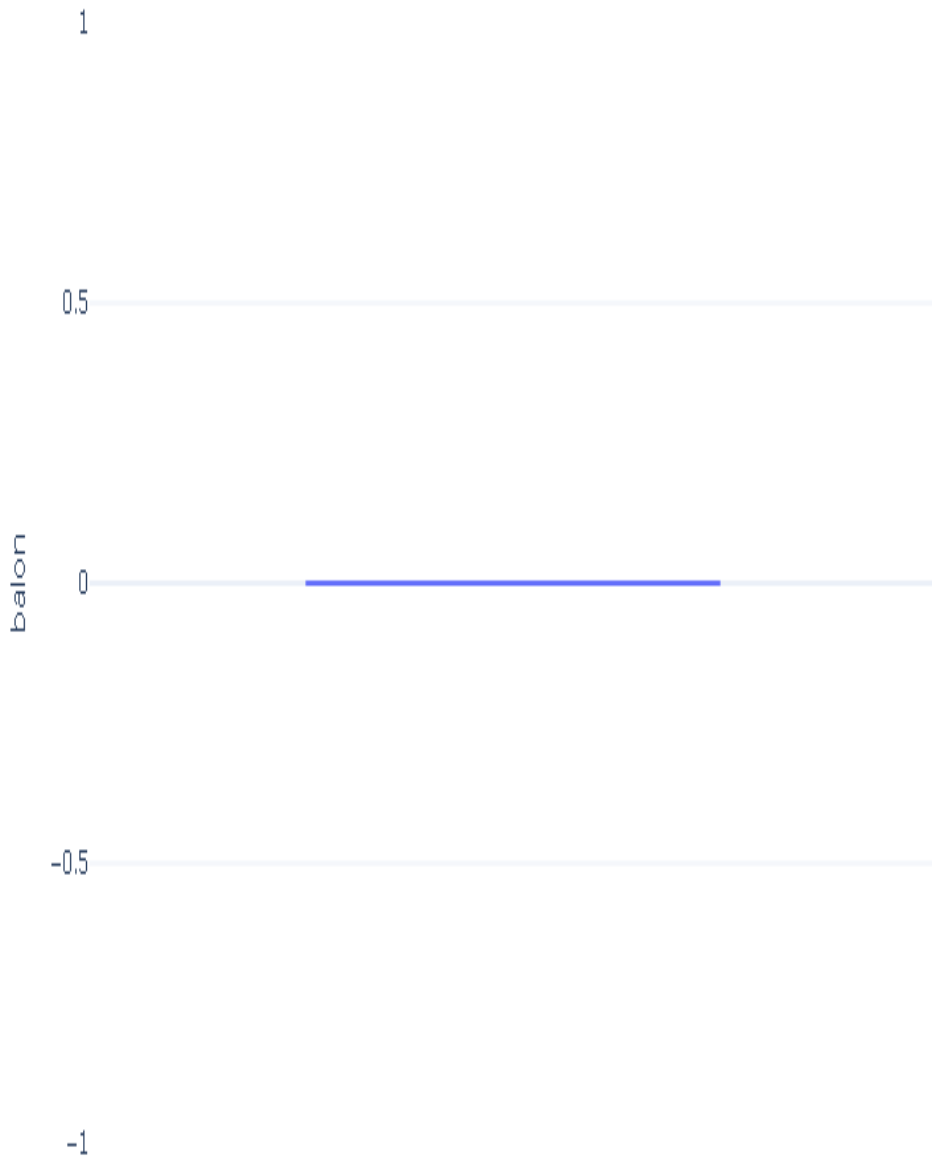


Figura: Boxplot de balon

Variable: provincia

Estadísticas Descriptivas

Estadística	Valor
Observaciones	3,112
Valores faltantes	0 (0.00%)
Media	26.9325
Mediana	28.0000
Desviación estándar	2.9025
Mínimo	21.0000
Q1 (25%)	23.0000
Q3 (75%)	28.0000
Máximo	35.0000
Asimetría	-0.0845
Curtosis	-1.0561

Test de Normalidad (Shapiro-Wilk)

Error al calcular test de normalidad: 'UnivariateStats' object has no attribute 'shapiro'

Detección de Outliers (Método IQR)

Métrica	Valor
Q1 (25%)	23.0000
Q3 (75%)	28.0000
IQR	5.0000
Límite inferior	15.5000
Límite superior	35.5000
Número de outliers	0 (0.00%)

Visualizaciones

Distribution of provincia

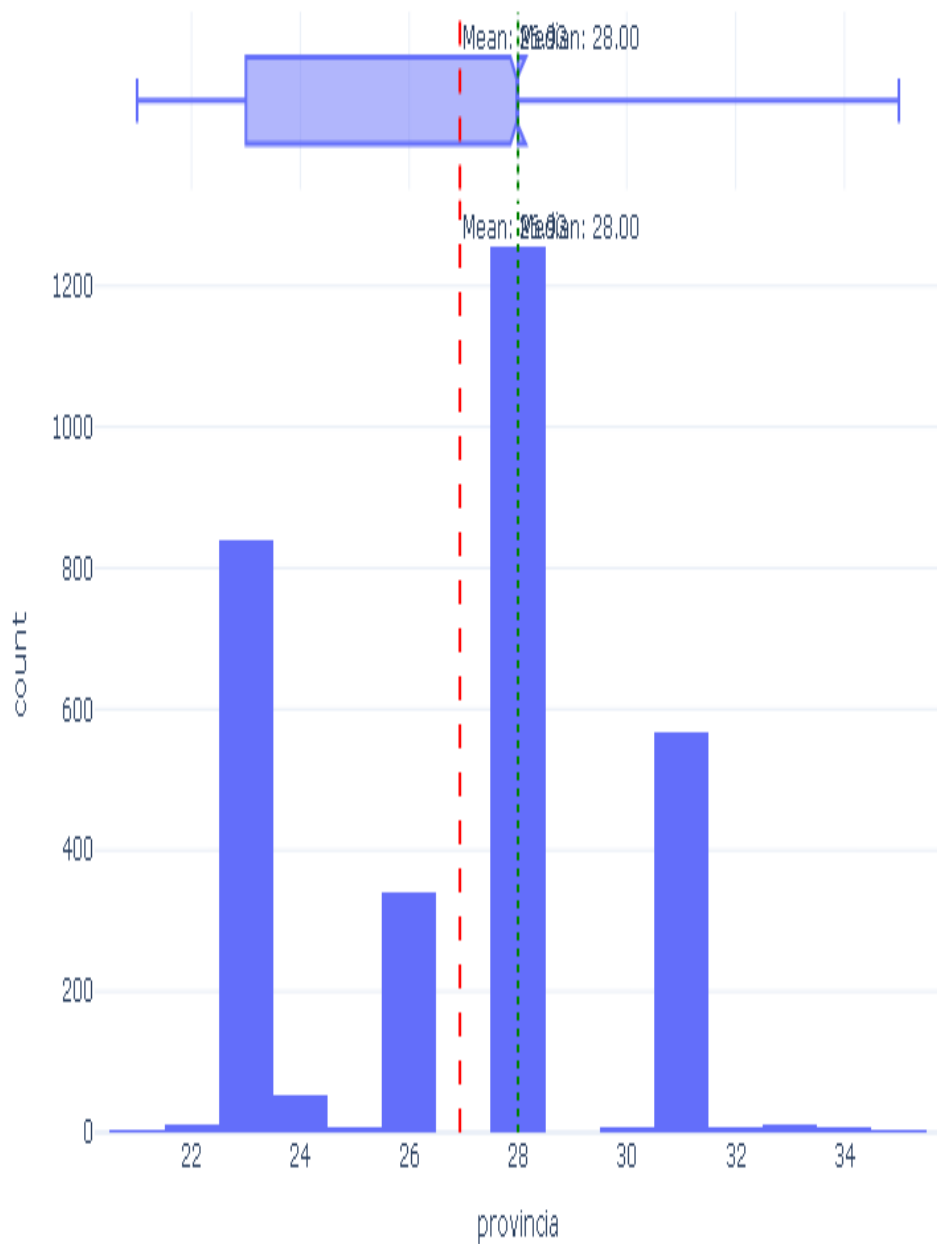


Figura: Distribución de provincia

Boxplot of provincia

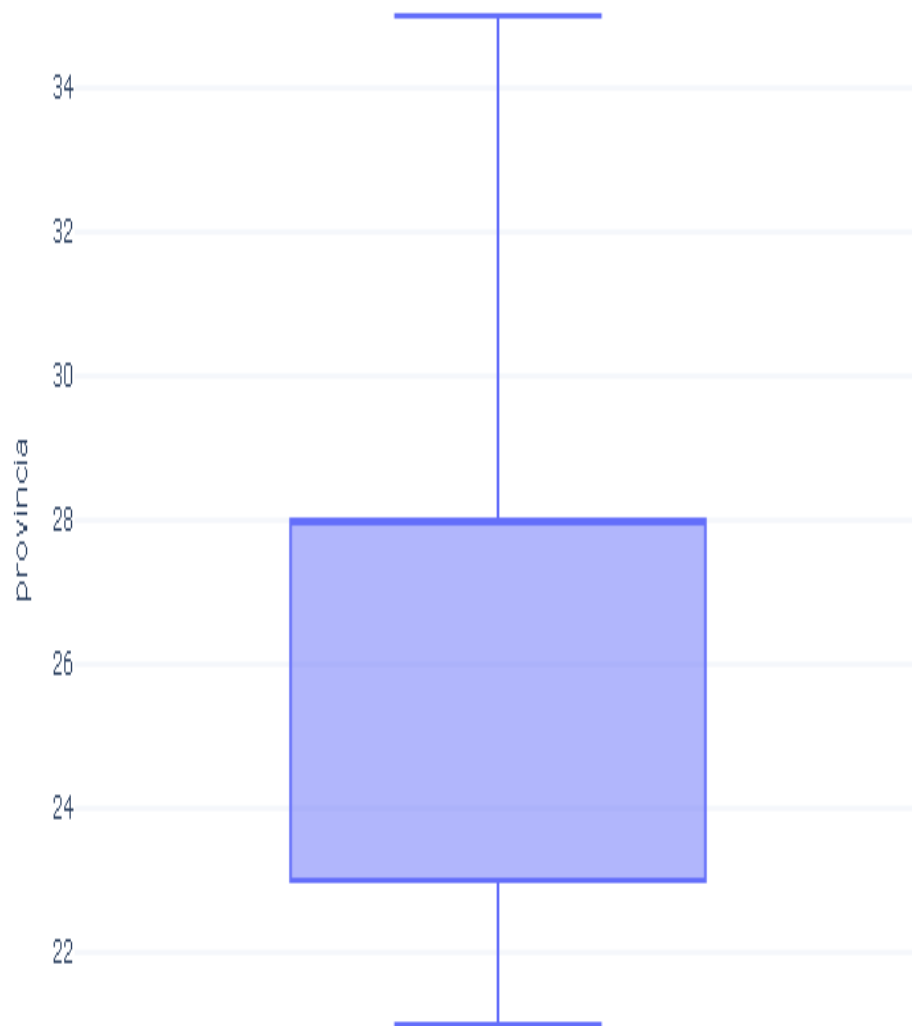


Figura: Boxplot de provincia

Variable: municipio

Estadísticas Descriptivas

Estadística	Valor
Observaciones	3,112
Valores faltantes	0 (0.00%)
Media	7.0350
Mediana	7.0000
Desviación estándar	3.9524
Mínimo	1.0000
Q1 (25%)	4.0000
Q3 (75%)	10.0000
Máximo	15.0000
Asimetría	0.4737
Curtosis	-0.9501

Test de Normalidad (Shapiro-Wilk)

Error al calcular test de normalidad: 'UnivariateStats' object has no attribute 'shapiro'

Detección de Outliers (Método IQR)

Métrica	Valor
Q1 (25%)	4.0000
Q3 (75%)	10.0000
IQR	6.0000
Límite inferior	-5.0000
Límite superior	19.0000
Número de outliers	0 (0.00%)

Visualizaciones

Distribution of municipio

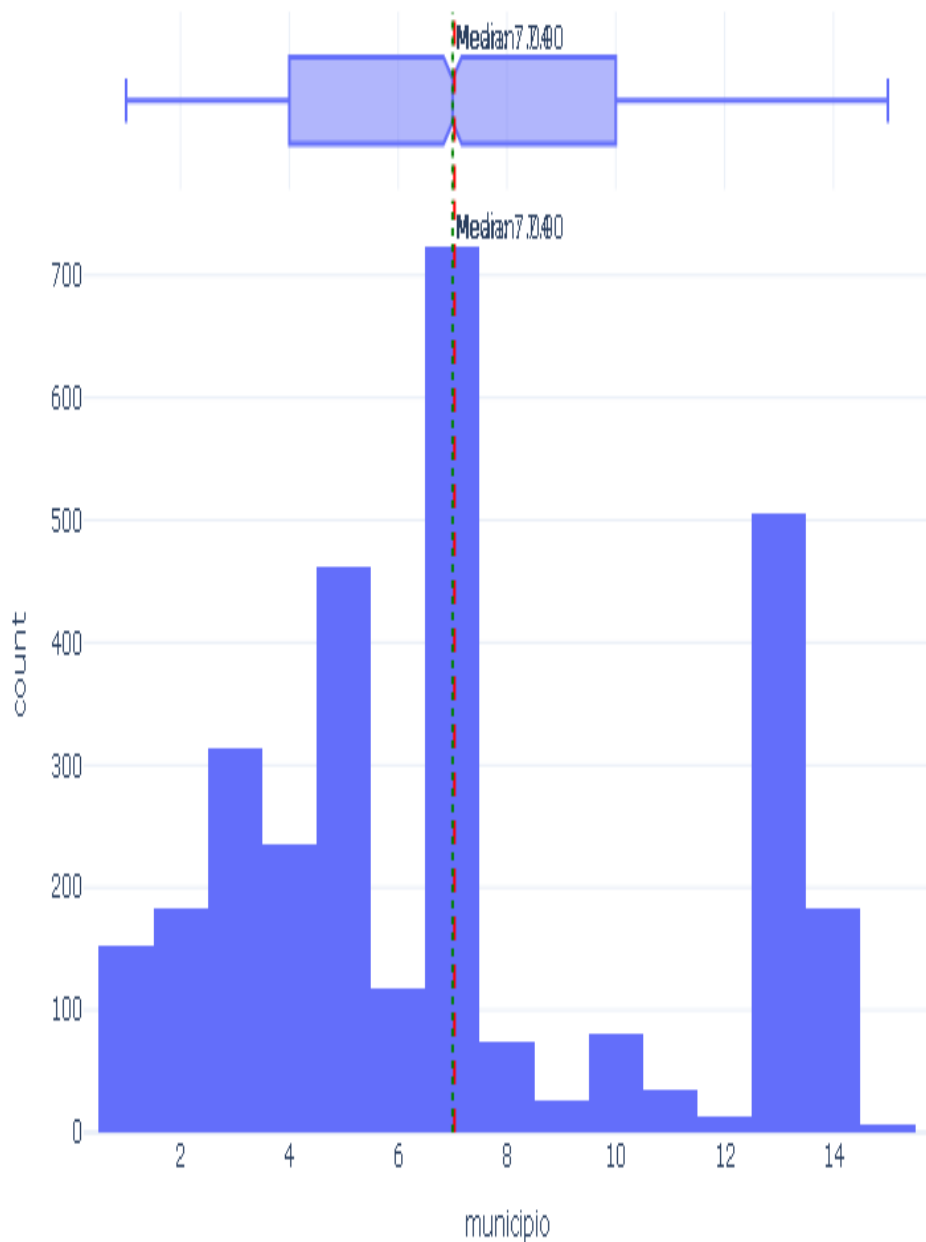


Figura: Distribución de municipio

Boxplot of municipio

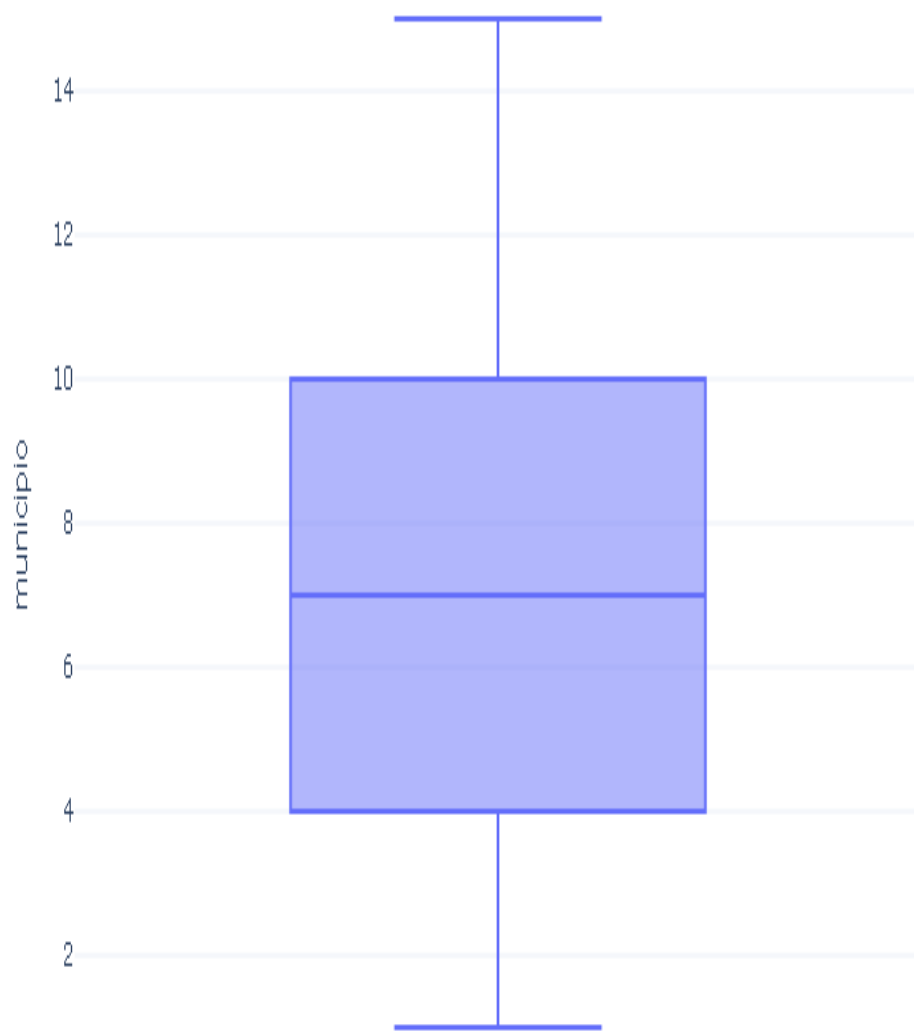


Figura: Boxplot de municipio

Variable: area_salud

Estadísticas Descriptivas

Estadística	Valor
Observaciones	1,238
Valores faltantes	1874 (60.22%)
Media	11.5630
Mediana	12.0000
Desviación estándar	4.5654
Mínimo	1.0000
Q1 (25%)	8.0000
Q3 (75%)	14.0000
Máximo	23.0000
Asimetría	-0.0560
Curtosis	-0.3136

Test de Normalidad (Shapiro-Wilk)

Error al calcular test de normalidad: 'UnivariateStats' object has no attribute 'shapiro'

Detección de Outliers (Método IQR)

Métrica	Valor
Q1 (25%)	8.0000
Q3 (75%)	14.0000
IQR	6.0000
Límite inferior	-1.0000
Límite superior	23.0000
Número de outliers	0 (0.00%)

Visualizaciones

Distribution of area_salud

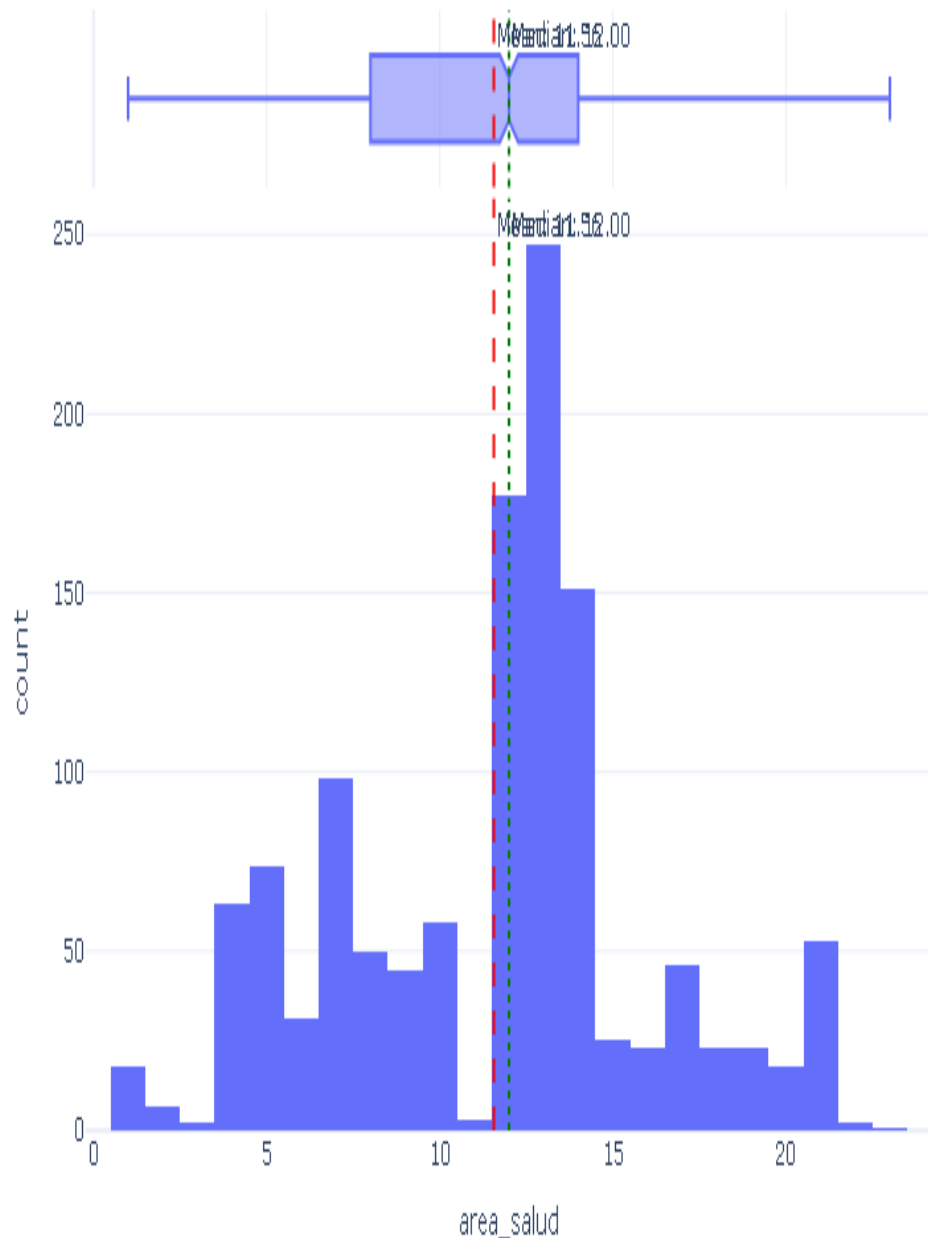


Figura: Distribución de area_salud

Boxplot of area_salud

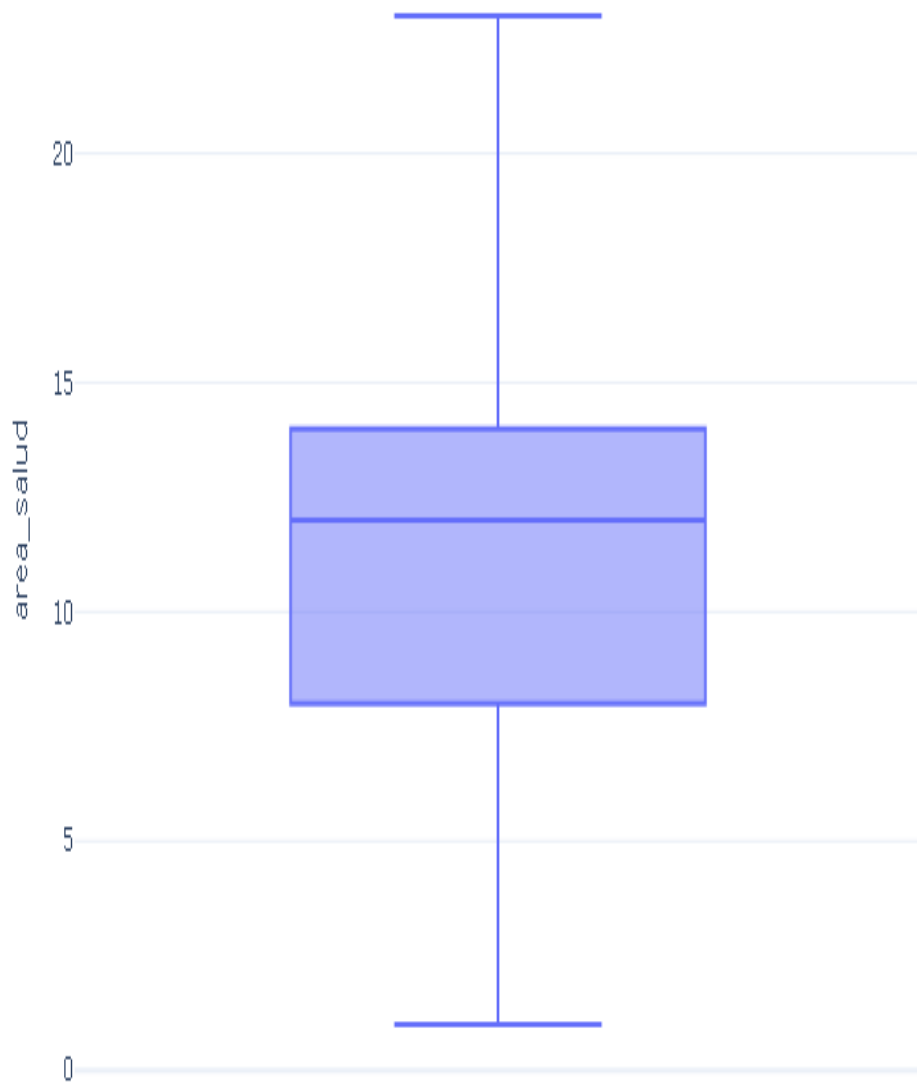


Figura: Boxplot de area_salud

Variable: scacest

Estadísticas Descriptivas

Estadística	Valor
Observaciones	3,112
Valores faltantes	0 (0.00%)
Media	0.8853
Mediana	1.0000
Desviación estándar	0.3187
Mínimo	N/A
Q1 (25%)	1.0000
Q3 (75%)	1.0000
Máximo	1.0000
Asimetría	-2.4192
Curtosis	3.8548

Test de Normalidad (Shapiro-Wilk)

Error al calcular test de normalidad: 'UnivariateStats' object has no attribute 'shapiro'

Detección de Outliers (Método IQR)

Métrica	Valor
Q1 (25%)	1.0000
Q3 (75%)	1.0000
IQR	0.0000
Límite inferior	1.0000
Límite superior	1.0000
Número de outliers	357 (11.47%)

Visualizaciones

Distribution of scacest

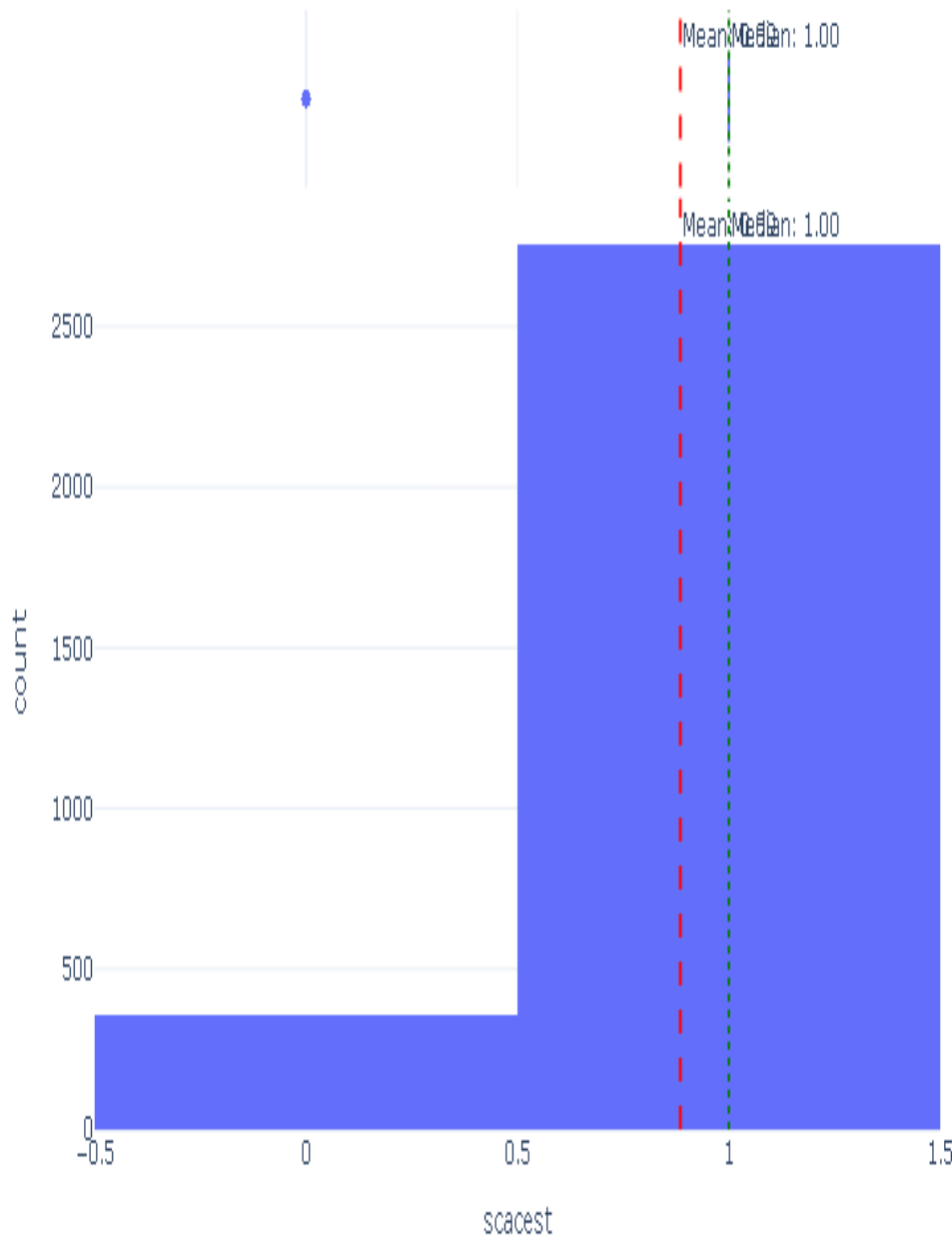


Figura: Distribución de scacest

Boxplot of scacest



Figura: Boxplot de scacest

Variable: scacest_secundario

Estadísticas Descriptivas

Estadística	Valor
Observaciones	3,112
Valores faltantes	0 (0.00%)
Media	0.0042
Mediana	N/A
Desviación estándar	0.0645
Mínimo	N/A
Q1 (25%)	N/A
Q3 (75%)	N/A
Máximo	1.0000
Asimetría	15.3824
Curtosis	234.7678

Test de Normalidad (Shapiro-Wilk)

Error al calcular test de normalidad: 'UnivariateStats' object has no attribute 'shapiro'

Detección de Outliers (Método IQR)

Métrica	Valor
Q1 (25%)	0.0000
Q3 (75%)	0.0000
IQR	0.0000
Límite inferior	0.0000
Límite superior	0.0000
Número de outliers	13 (0.42%)

Visualizaciones

Distribution of scacest_secundario

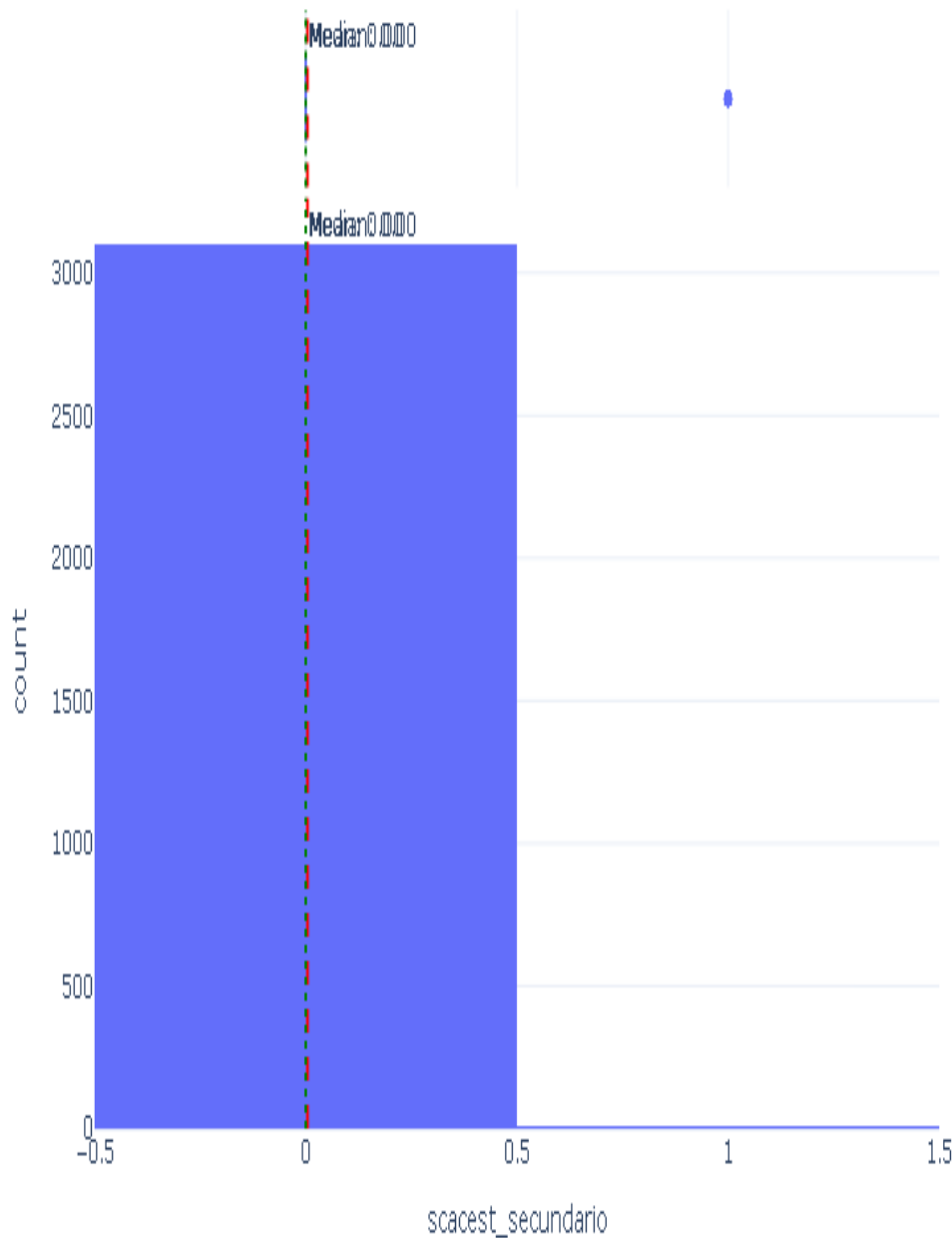


Figura: Distribución de `scacest_secundario`

Boxplot of scacest_secundario

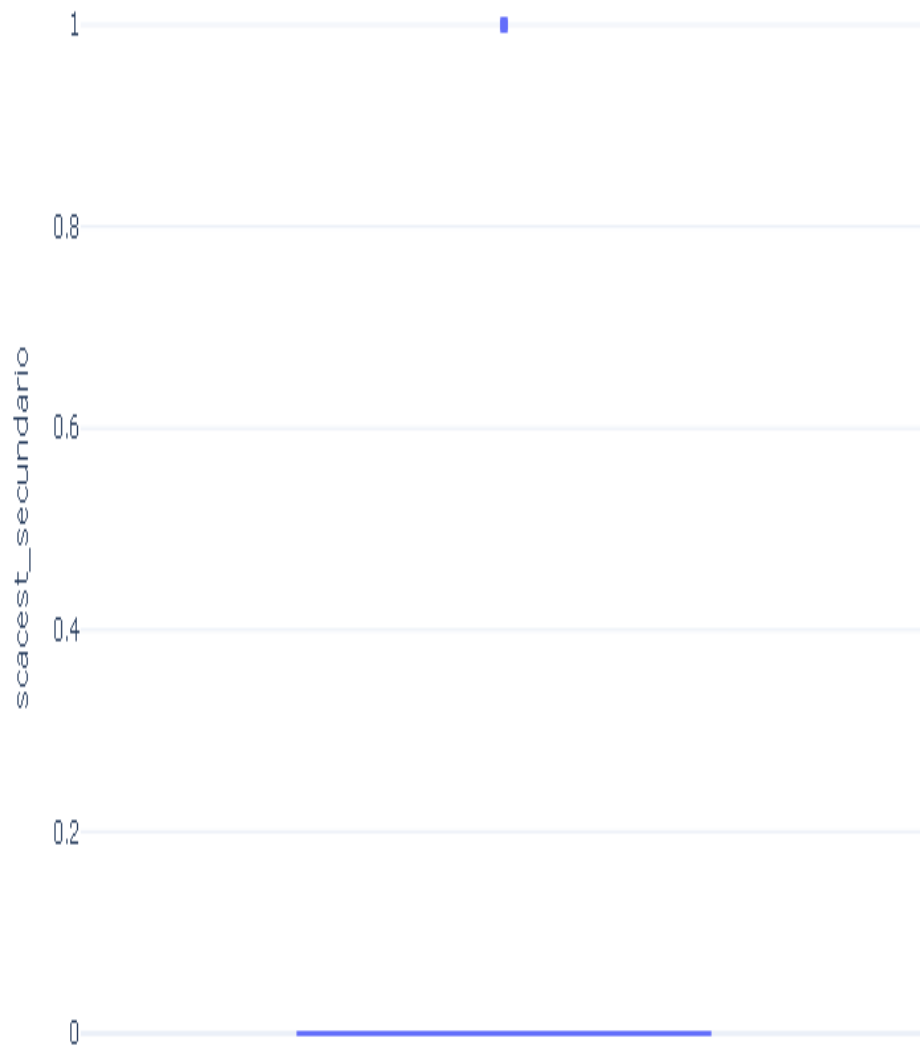


Figura: Boxplot de scacest_secundario

Variable: depresion_ondat

Estadísticas Descriptivas

Estadística	Valor
Observaciones	3,112
Valores faltantes	0 (0.00%)
Media	0.1334
Mediana	N/A
Desviación estándar	0.3400
Mínimo	N/A
Q1 (25%)	N/A
Q3 (75%)	N/A
Máximo	1.0000
Asimetría	2.1580
Curtosis	2.6589

Test de Normalidad (Shapiro-Wilk)

Error al calcular test de normalidad: 'UnivariateStats' object has no attribute 'shapiro'

Detección de Outliers (Método IQR)

Métrica	Valor
Q1 (25%)	0.0000
Q3 (75%)	0.0000
IQR	0.0000
Límite inferior	0.0000
Límite superior	0.0000
Número de outliers	415 (13.34%)

Visualizaciones

Distribution of depression_ondat

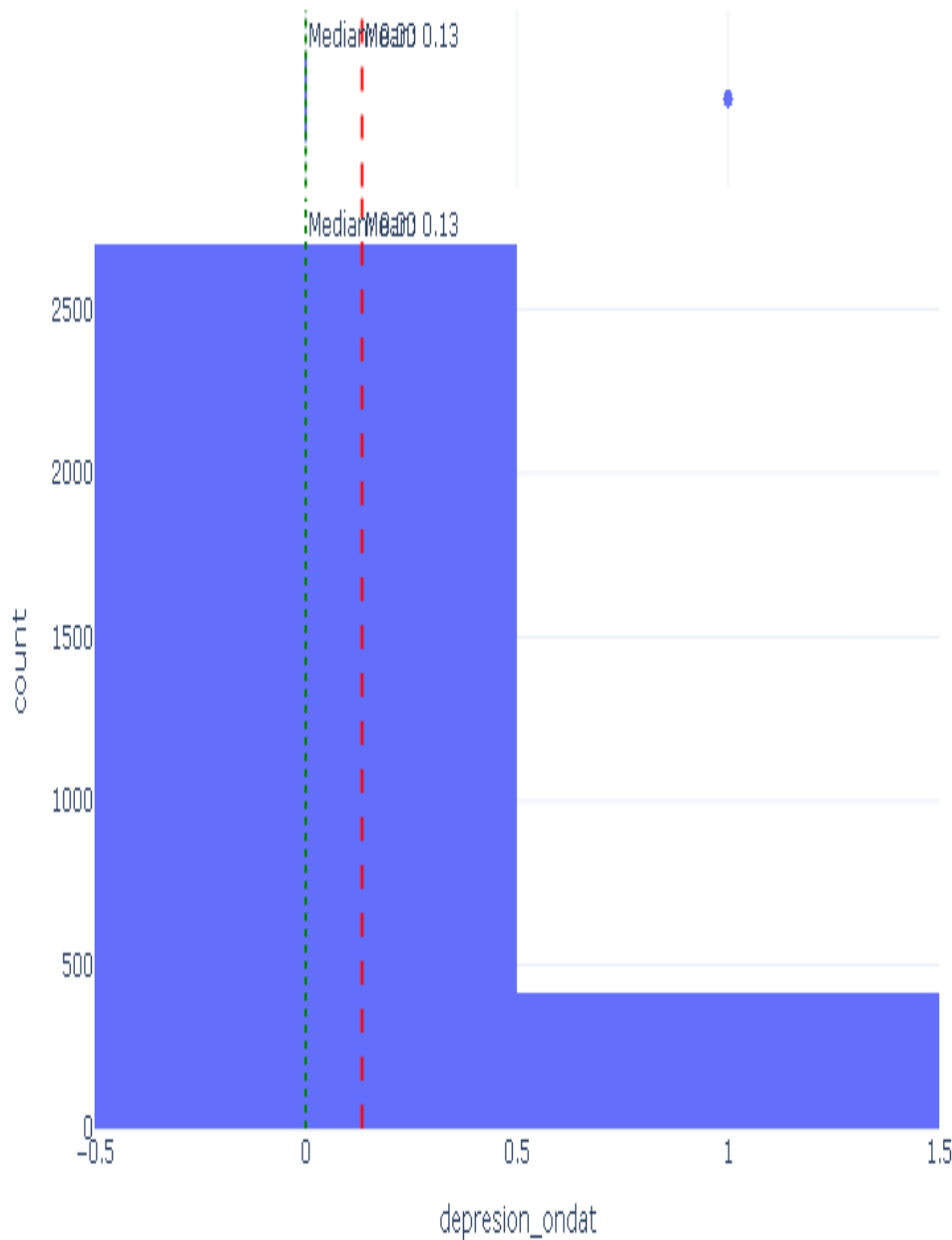


Figura: Distribución de depression_ondat

Boxplot of depression_ondat

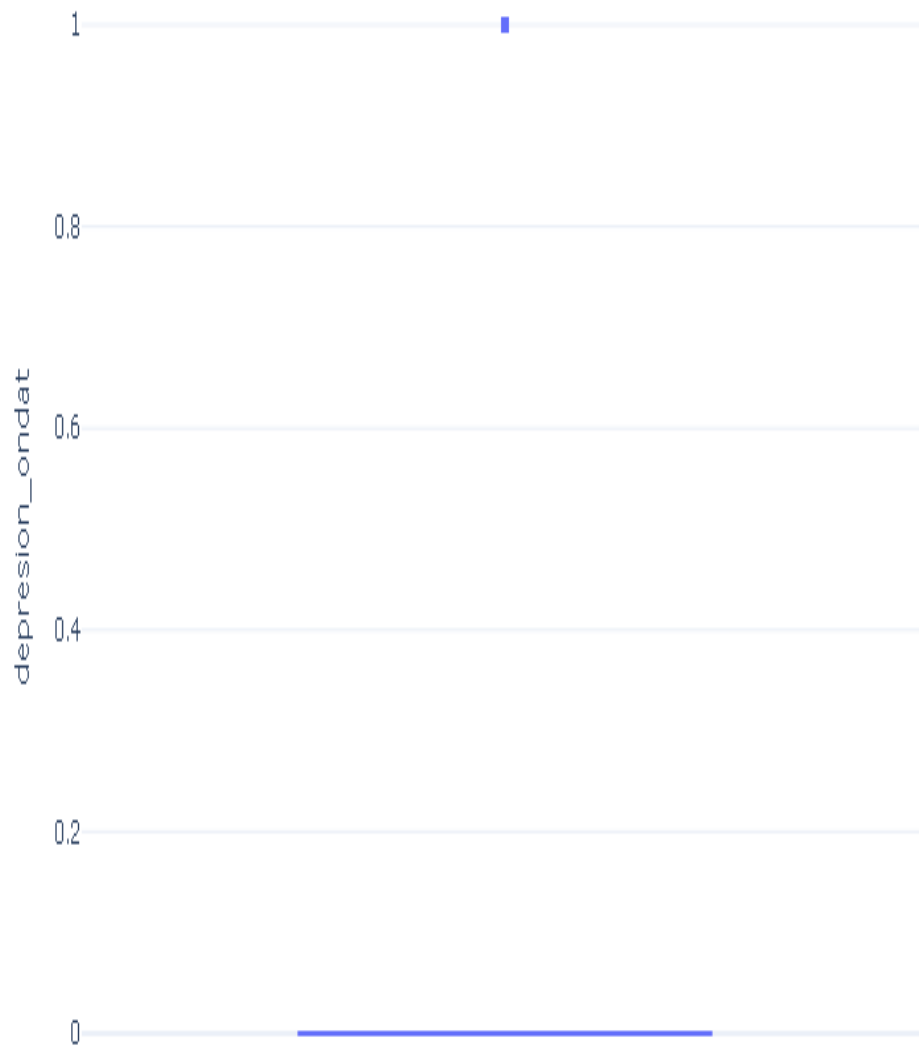


Figura: Boxplot de depression_ondat

Variable: presion_arterial_sistolica

Estadísticas Descriptivas

Estadística	Valor
Observaciones	3,112
Valores faltantes	0 (0.00%)
Media	131.0353
Mediana	130.0000
Desviación estándar	27.7022
Mínimo	N/A
Q1 (25%)	120.0000
Q3 (75%)	140.0000
Máximo	270.0000
Asimetría	0.3764
Curtosis	1.3297

Test de Normalidad (Shapiro-Wilk)

Error al calcular test de normalidad: 'UnivariateStats' object has no attribute 'shapiro'

Detección de Outliers (Método IQR)

Métrica	Valor
Q1 (25%)	120.0000
Q3 (75%)	140.0000
IQR	20.0000
Límite inferior	90.0000
Límite superior	170.0000
Número de outliers	379 (12.18%)

Visualizaciones

Distribution of presion_arterial_sistolica

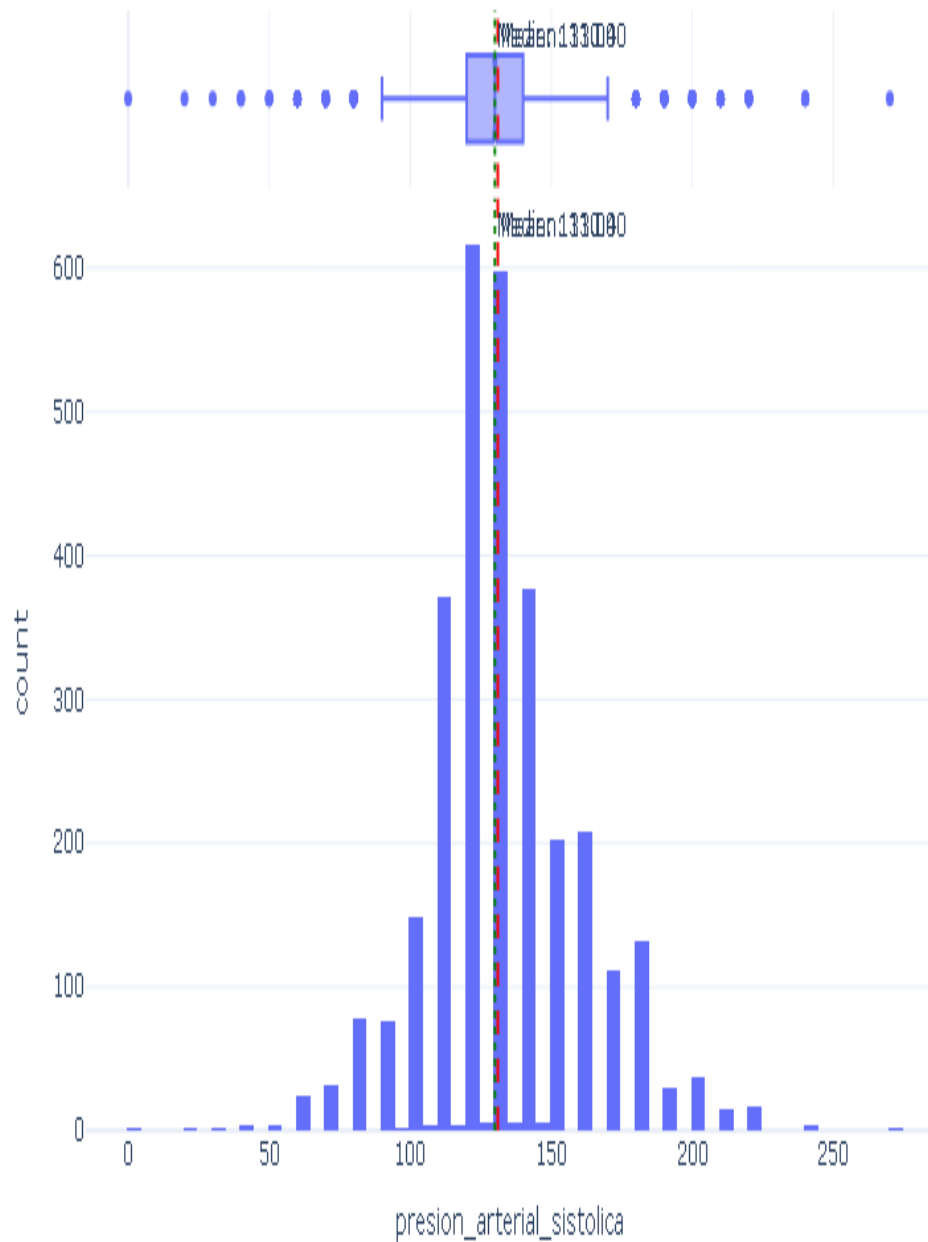


Figura: Distribución de presion_arterial_sistolica

Boxplot of presion_arterial_sistolica

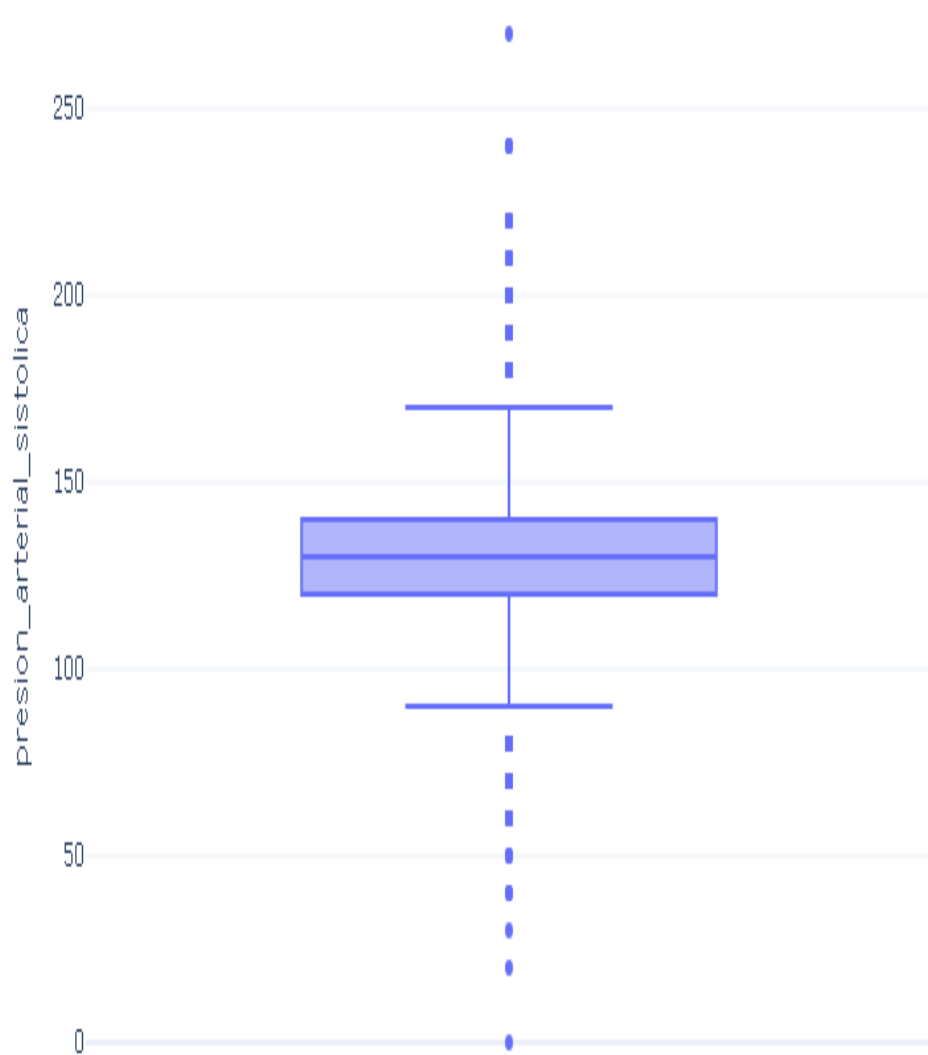


Figura: Boxplot de presion_arterial_sistolica

Variable: presion_arterial_diastolica

Estadísticas Descriptivas

Estadística	Valor
Observaciones	3,112
Valores faltantes	0 (0.00%)
Media	79.1128
Mediana	80.0000
Desviación estándar	16.5905
Mínimo	N/A
Q1 (25%)	70.0000
Q3 (75%)	90.0000
Máximo	180.0000
Asimetría	0.1413
Curtosis	1.7071

Test de Normalidad (Shapiro-Wilk)

Error al calcular test de normalidad: 'UnivariateStats' object has no attribute 'shapiro'

Detección de Outliers (Método IQR)

Métrica	Valor
Q1 (25%)	70.0000
Q3 (75%)	90.0000
IQR	20.0000
Límite inferior	40.0000
Límite superior	120.0000
Número de outliers	32 (1.03%)

Visualizaciones

Distribution of presion_arterial_diastolica

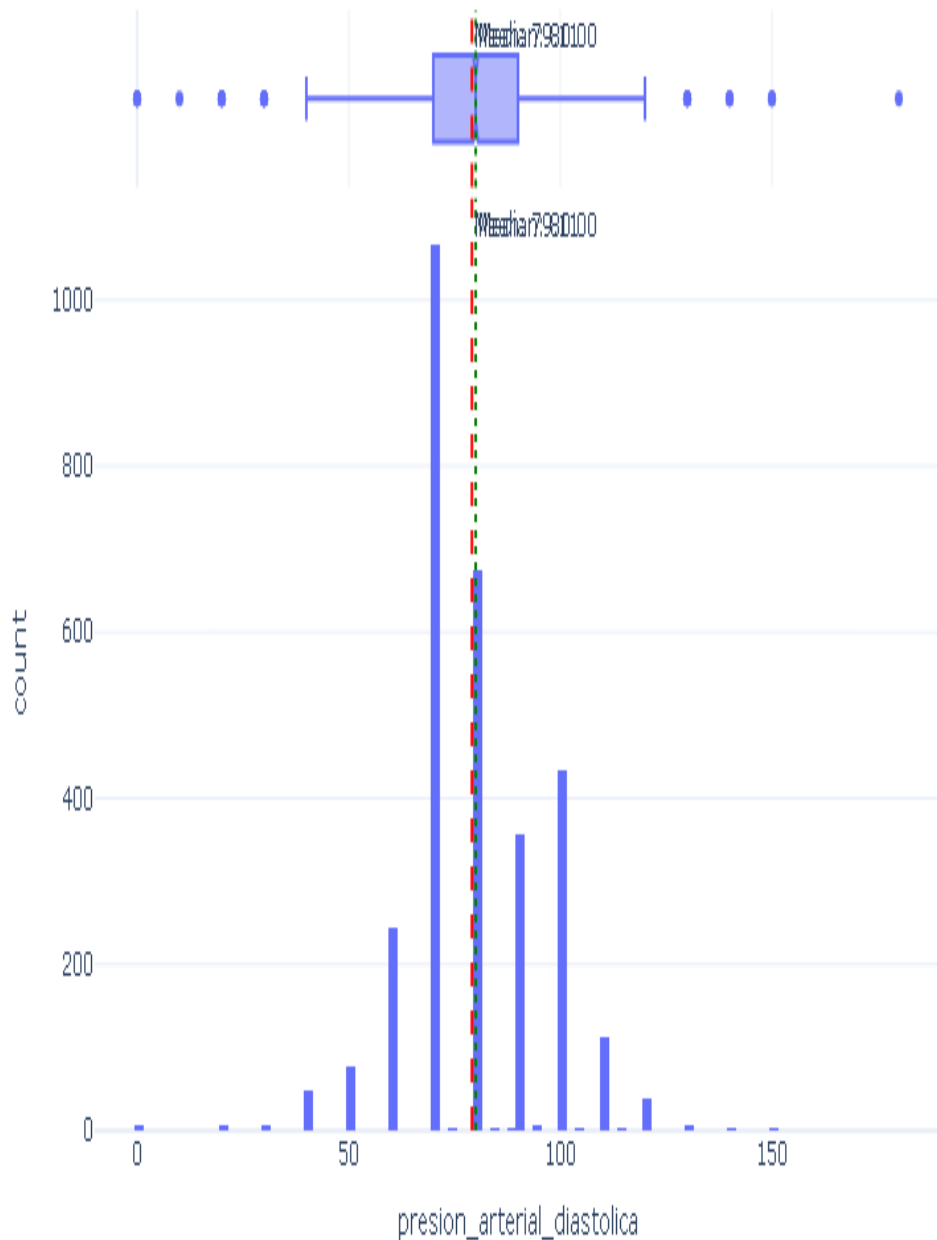


Figura: Distribución de presion_arterial_diastolica

Boxplot of presion_arterial_diastolica

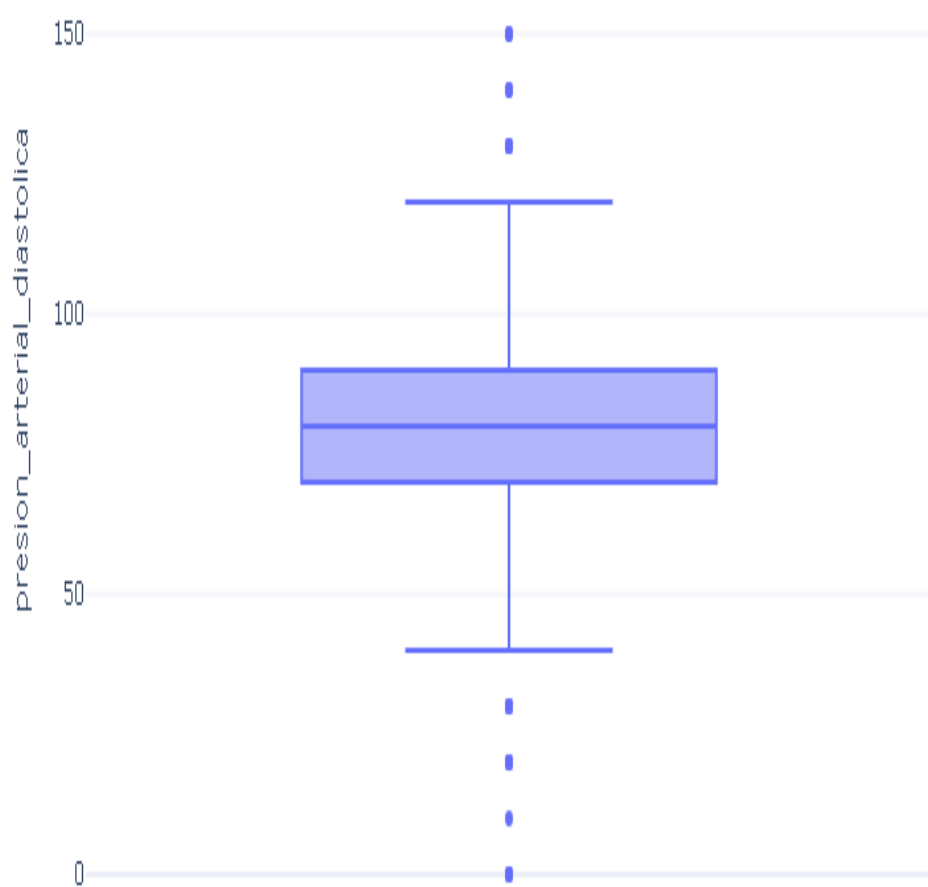


Figura: Boxplot de presion_arterial_diastolica

Variable: shock

Estadísticas Descriptivas

Estadística	Valor
Observaciones	3,112
Valores faltantes	0 (0.00%)
Media	0.0151
Mediana	N/A
Desviación estándar	0.1220
Mínimo	N/A
Q1 (25%)	N/A
Q3 (75%)	N/A
Máximo	1.0000
Asimetría	7.9554
Curtosis	61.3285

Test de Normalidad (Shapiro-Wilk)

Error al calcular test de normalidad: 'UnivariateStats' object has no attribute 'shapiro'

Detección de Outliers (Método IQR)

Métrica	Valor
Q1 (25%)	0.0000
Q3 (75%)	0.0000
IQR	0.0000
Límite inferior	0.0000
Límite superior	0.0000
Número de outliers	47 (1.51%)

Visualizaciones

Distribution of shock

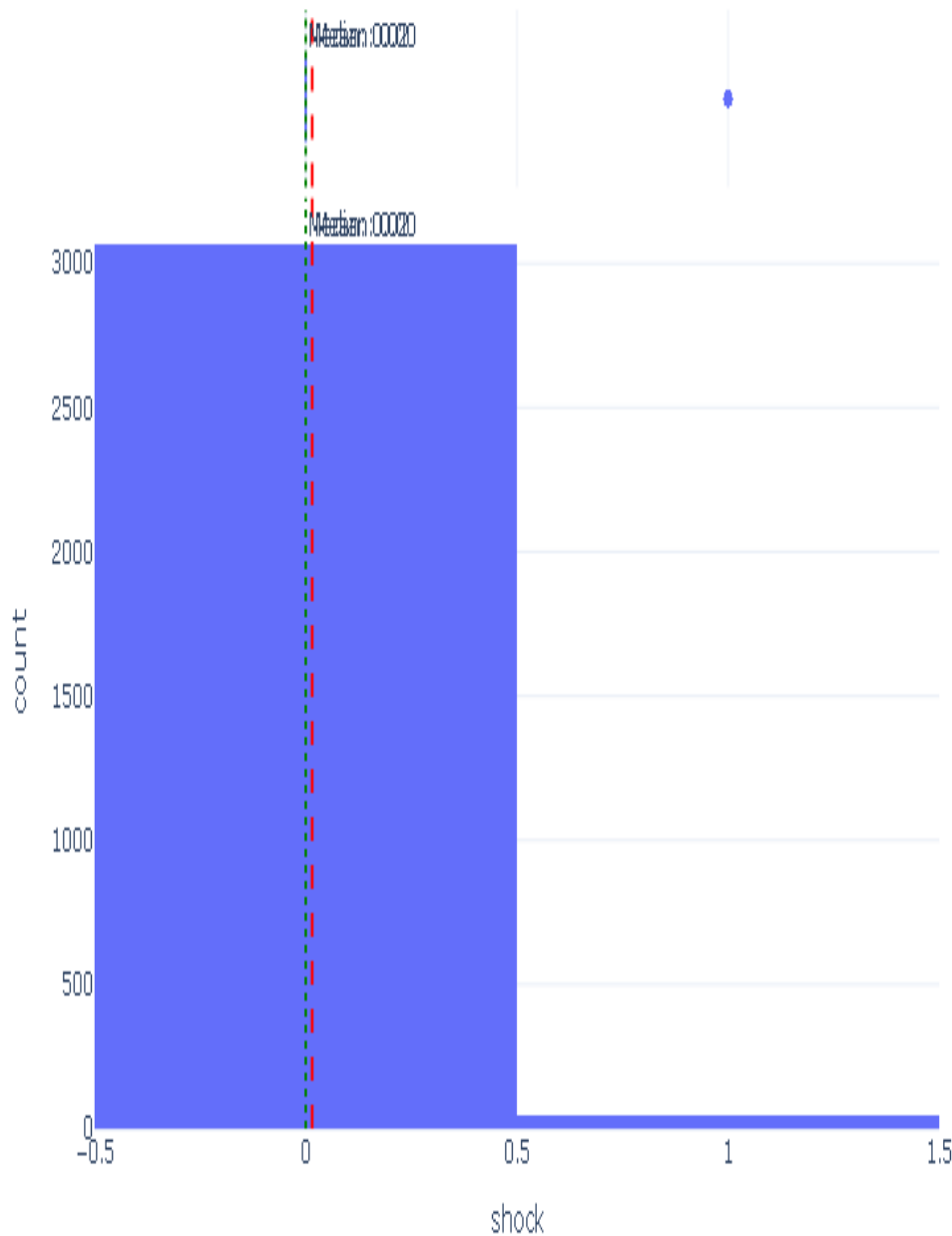


Figura: Distribución de shock

Boxplot of shock

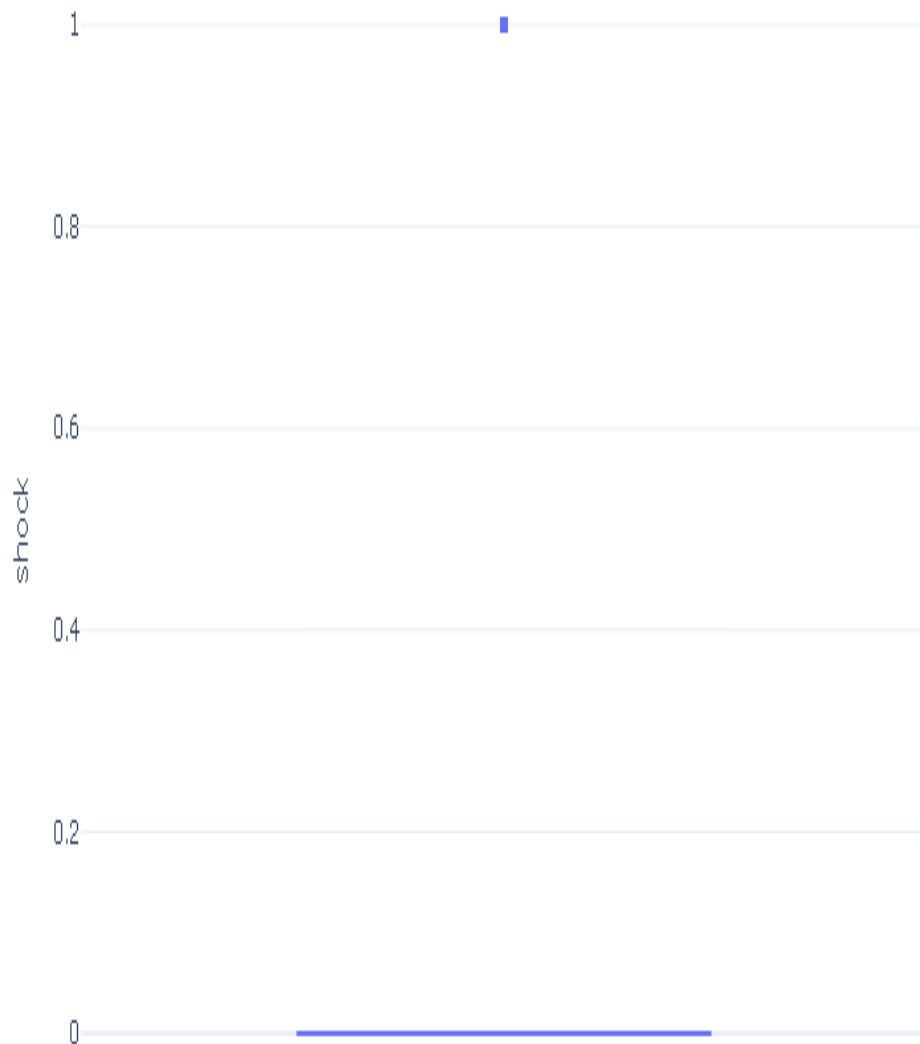


Figura: Boxplot de shock

Variable: frecuencia_cardiaca

Estadísticas Descriptivas

Estadística	Valor
Observaciones	3,112
Valores faltantes	0 (0.00%)
Media	82.1960
Mediana	84.0000
Desviación estándar	16.0792
Mínimo	30.0000
Q1 (25%)	73.0000
Q3 (75%)	88.0000
Máximo	200.0000
Asimetría	0.5464
Curtosis	3.2826

Test de Normalidad (Shapiro-Wilk)

Error al calcular test de normalidad: 'UnivariateStats' object has no attribute 'shapiro'

Detección de Outliers (Método IQR)

Métrica	Valor
Q1 (25%)	73.0000
Q3 (75%)	88.0000
IQR	15.0000
Límite inferior	50.5000
Límite superior	110.5000
Número de outliers	234 (7.52%)

Visualizaciones

Distribution of frecuencia_cardiaca

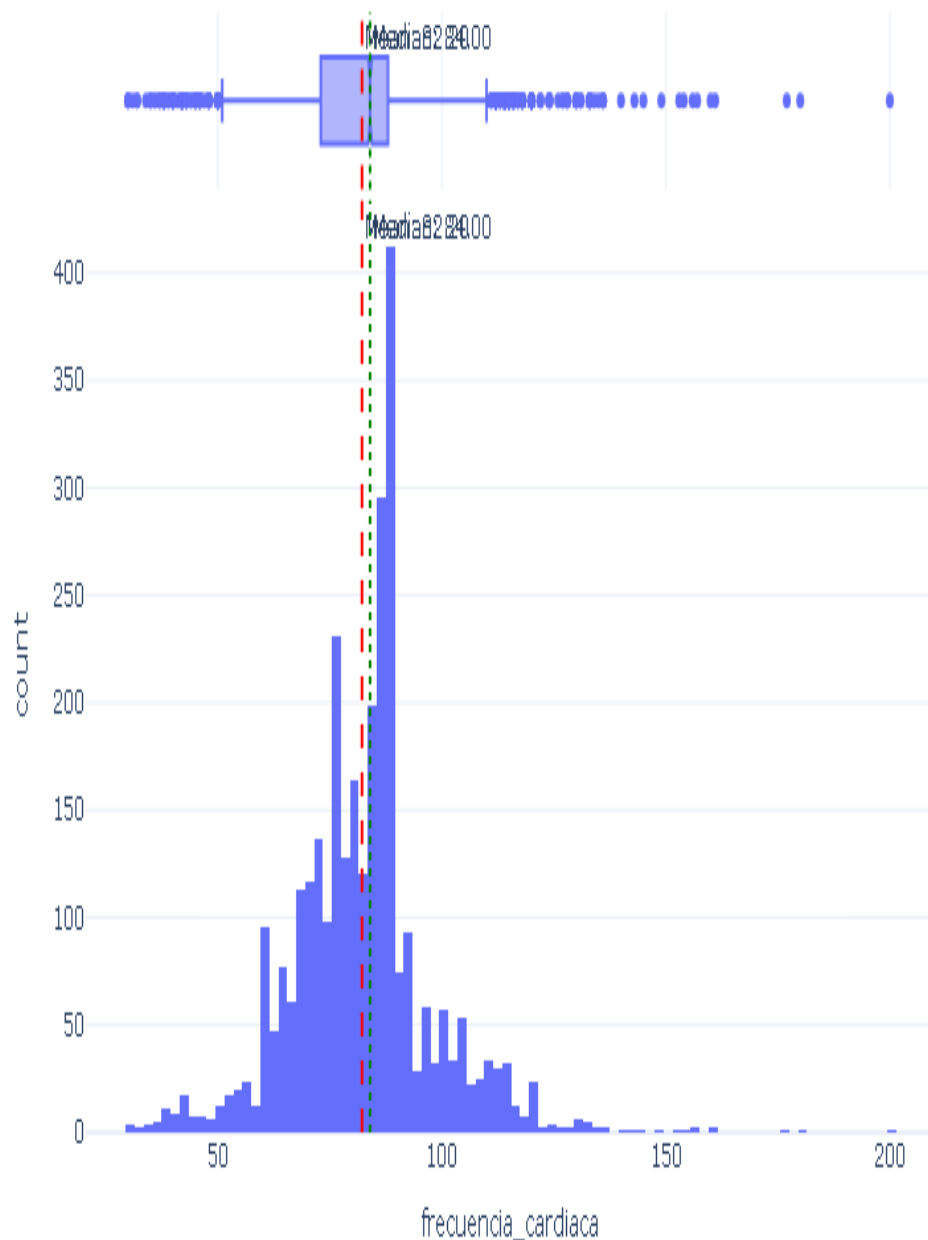


Figura: Distribución de frecuencia_cardiaca

Boxplot of frecuencia_cardiaca

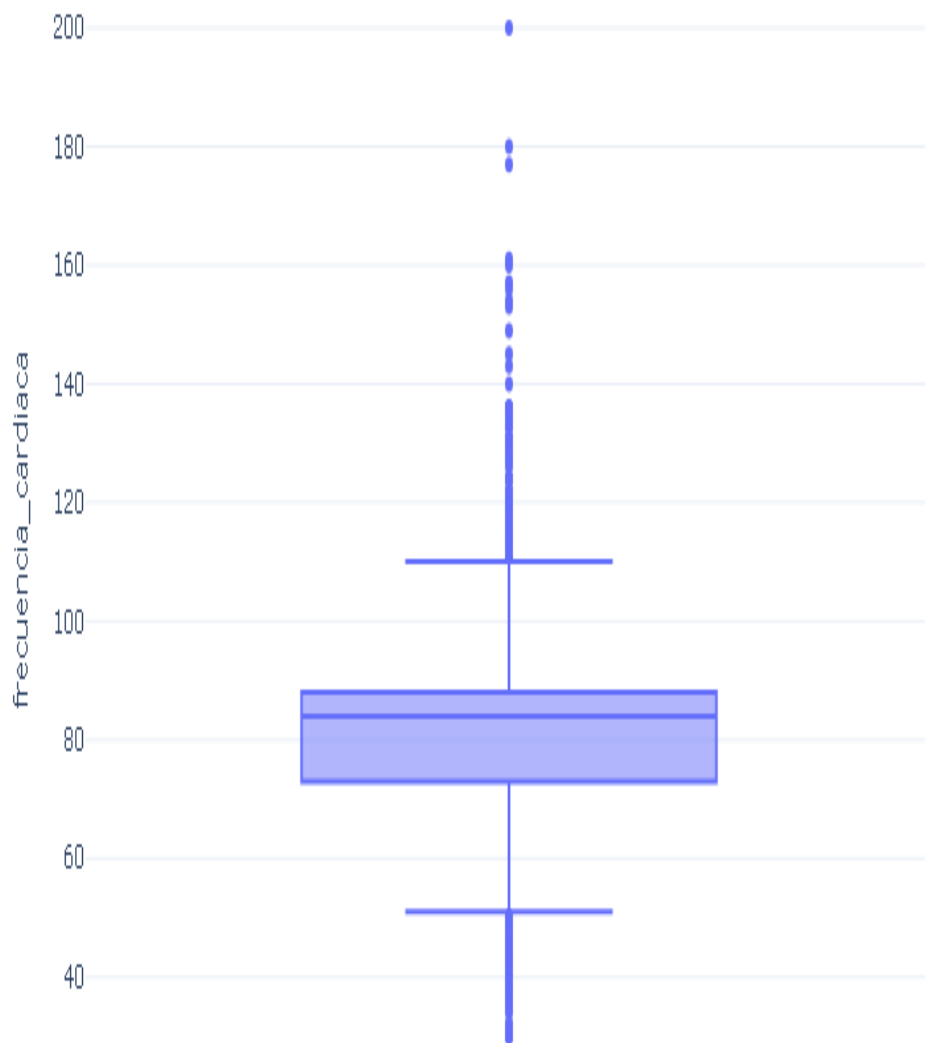


Figura: Boxplot de frecuencia_cardiaca

Variable: ingresos_anteriores

Estadísticas Descriptivas

Estadística	Valor
Observaciones	682
Valores faltantes	2430 (78.08%)
Media	0.0601
Mediana	N/A
Desviación estándar	0.2724
Mínimo	N/A
Q1 (25%)	N/A
Q3 (75%)	N/A
Máximo	2.0000
Asimetría	4.9350
Curtosis	25.9351

Test de Normalidad (Shapiro-Wilk)

Error al calcular test de normalidad: 'UnivariateStats' object has no attribute 'shapiro'

Detección de Outliers (Método IQR)

Métrica	Valor
Q1 (25%)	0.0000
Q3 (75%)	0.0000
IQR	0.0000
Límite inferior	0.0000
Límite superior	0.0000
Número de outliers	35 (5.13%)

Visualizaciones

Distribution of ingresos_anteriores

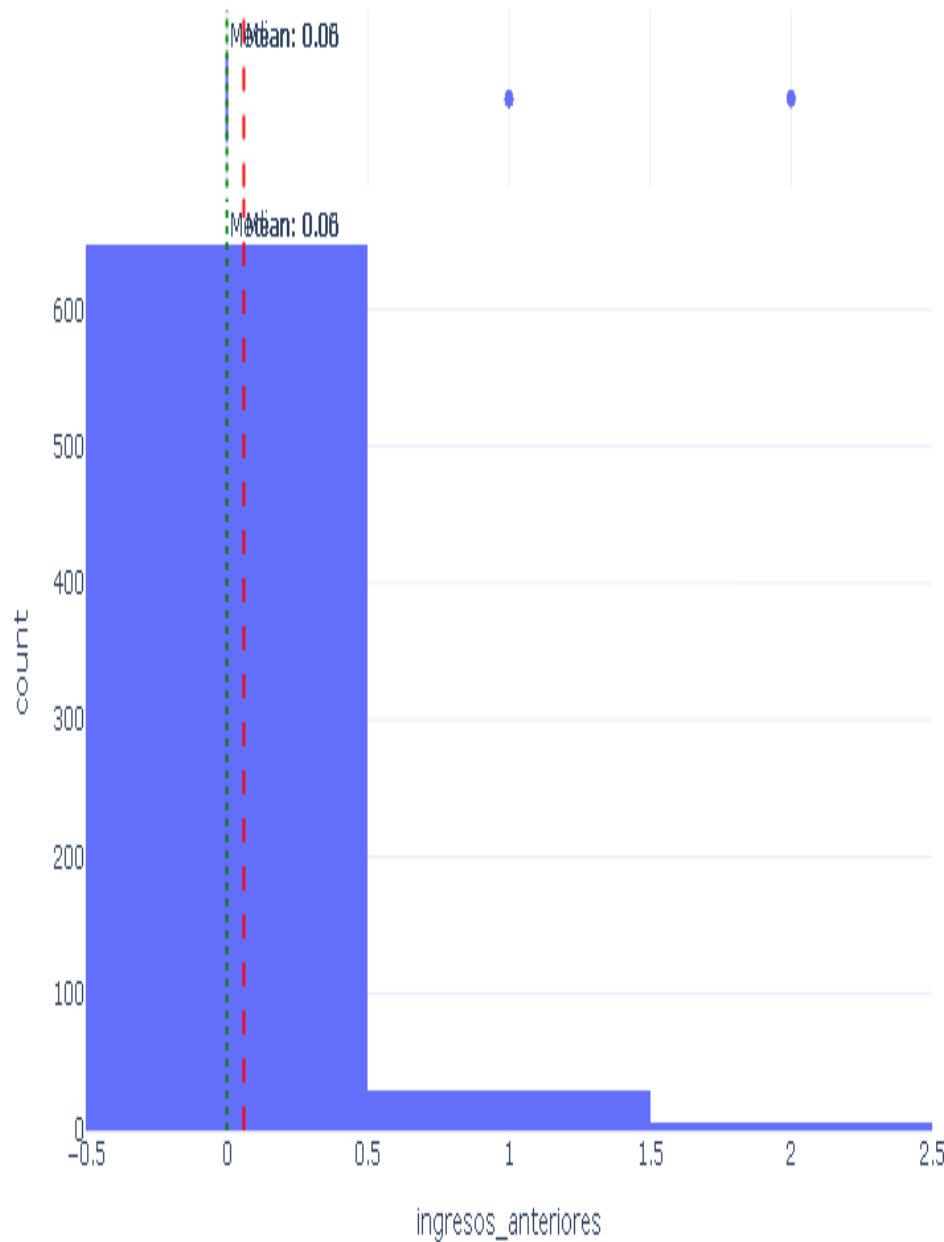


Figura: Distribución de `ingresos_anteriores`

Boxplot of ingresos_anteriores

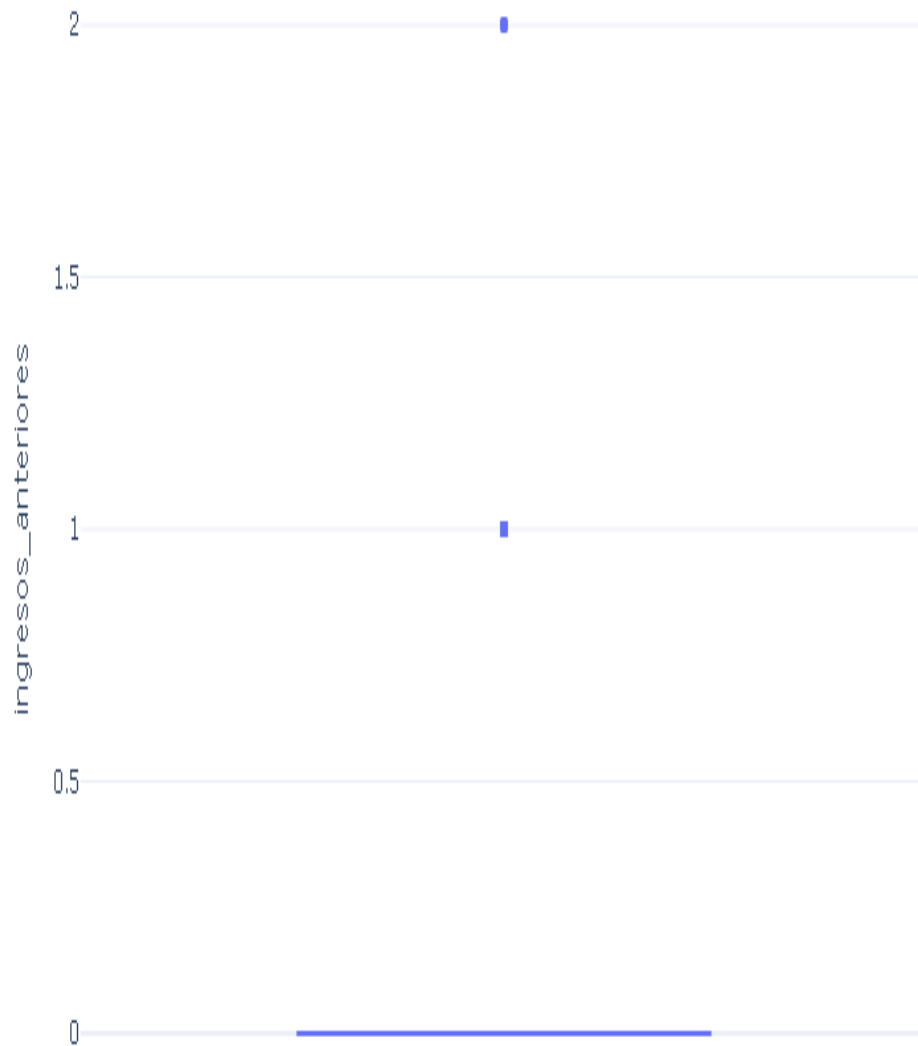


Figura: Boxplot de ingresos_anteriores

Variable: supradesnivel

Estadísticas Descriptivas

Estadística	Valor
Observaciones	2,663
Valores faltantes	449 (14.43%)
Media	9.6425
Mediana	8.0000
Desviación estándar	7.0072
Mínimo	N/A
Q1 (25%)	6.0000
Q3 (75%)	12.0000
Máximo	69.0000
Asimetría	2.6170
Curtosis	11.3122

Test de Normalidad (Shapiro-Wilk)

Error al calcular test de normalidad: 'UnivariateStats' object has no attribute 'shapiro'

Detección de Outliers (Método IQR)

Métrica	Valor
Q1 (25%)	6.0000
Q3 (75%)	12.0000
IQR	6.0000
Límite inferior	-3.0000
Límite superior	21.0000
Número de outliers	153 (5.75%)

Visualizaciones

Distribution of supradesnivel

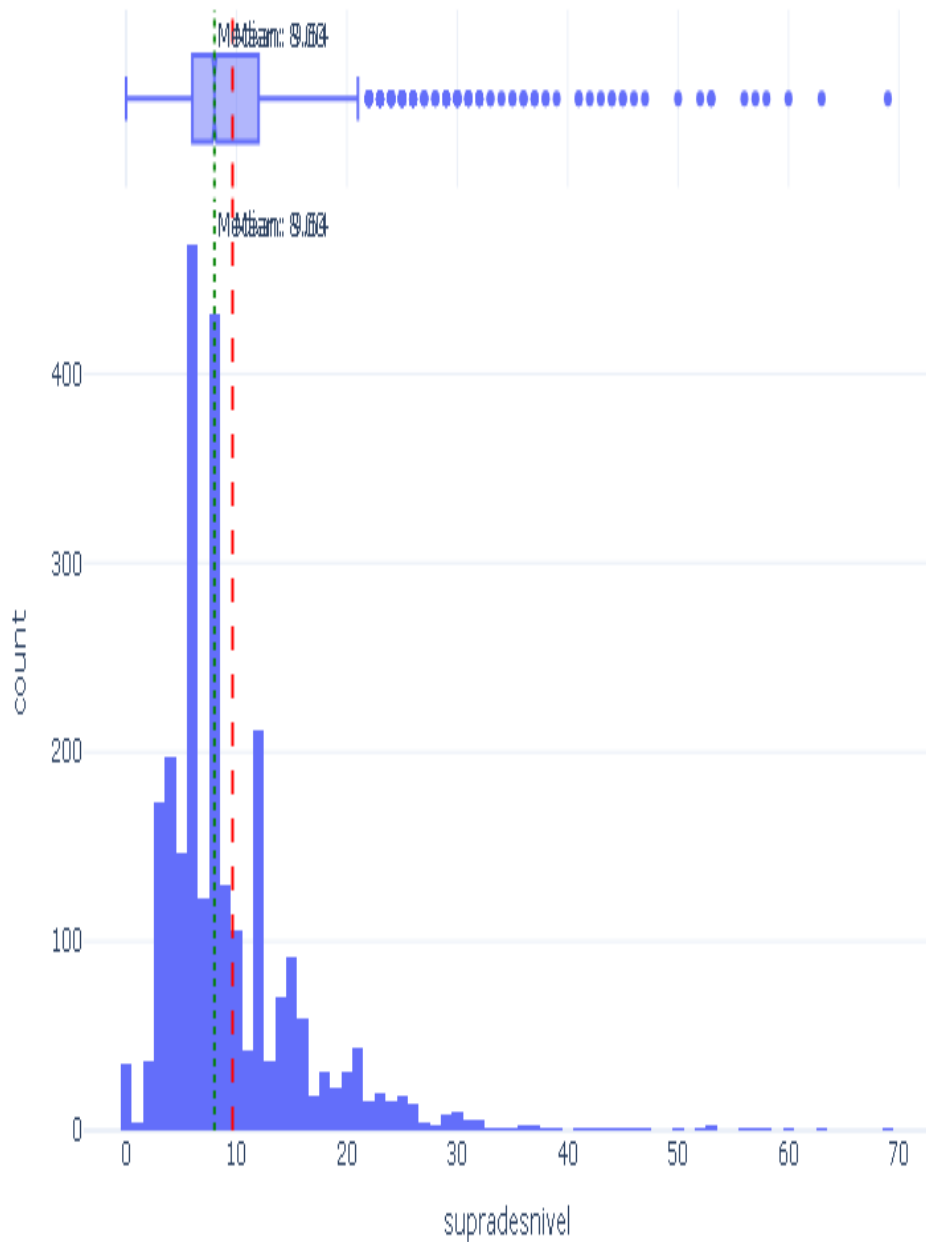


Figura: Distribución de supradesnivel

Boxplot of supradesnivel

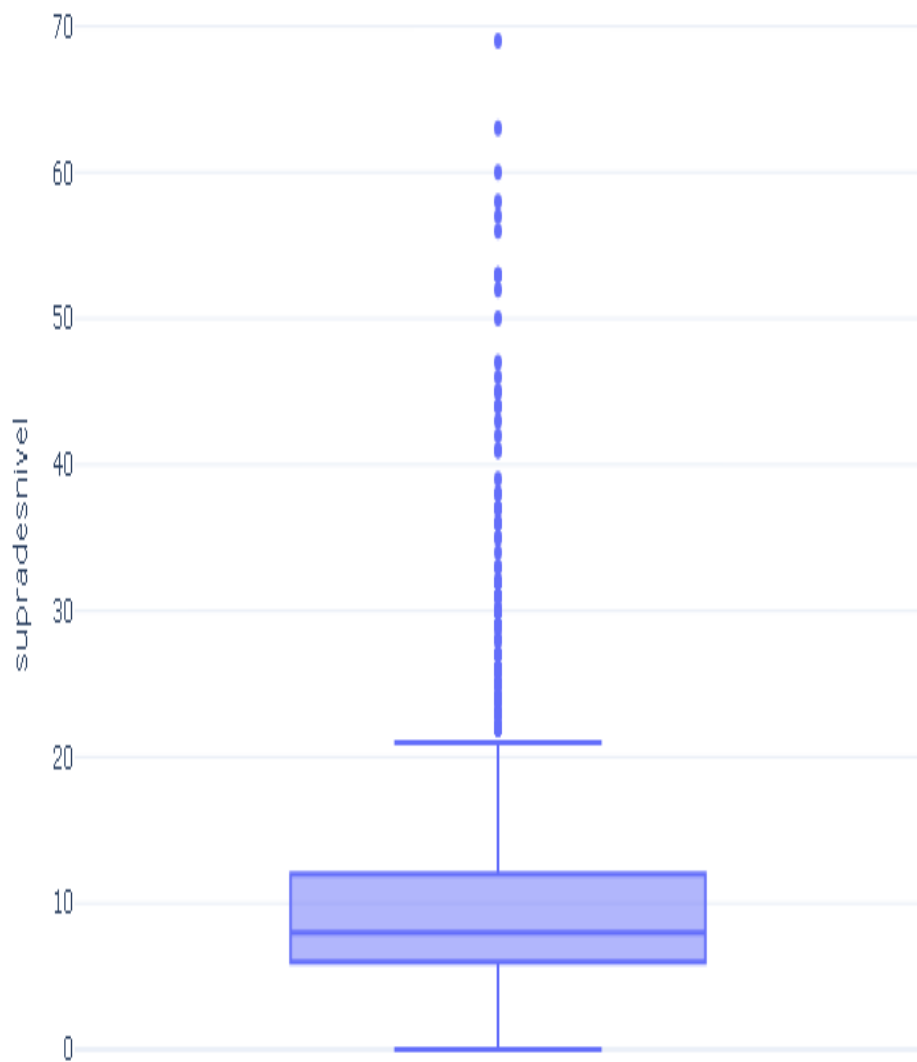


Figura: Boxplot de supradesnivel

Variable: infradesnivel

Estadísticas Descriptivas

Estadística	Valor
Observaciones	2,489
Valores faltantes	623 (20.02%)
Media	6.2214
Mediana	6.0000
Desviación estándar	4.6305
Mínimo	N/A
Q1 (25%)	3.0000
Q3 (75%)	8.0000
Máximo	44.0000
Asimetría	1.9899
Curtosis	7.8342

Test de Normalidad (Shapiro-Wilk)

Error al calcular test de normalidad: 'UnivariateStats' object has no attribute 'shapiro'

Detección de Outliers (Método IQR)

Métrica	Valor
Q1 (25%)	3.0000
Q3 (75%)	8.0000
IQR	5.0000
Límite inferior	-4.5000
Límite superior	15.5000
Número de outliers	99 (3.98%)

Visualizaciones

Distribution of infradesnivel

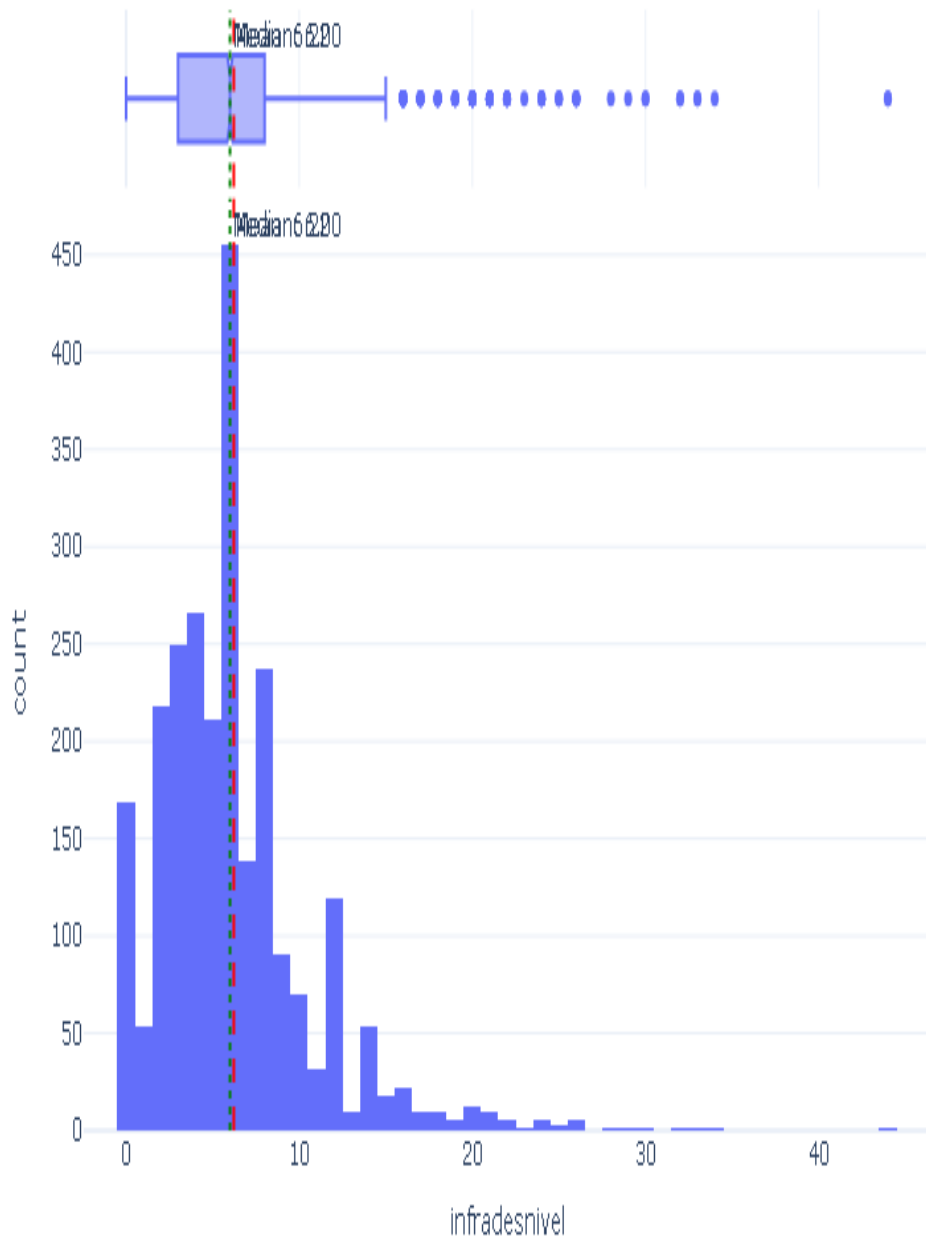


Figura: Distribución de infradesnivel

Boxplot of infradesnivel

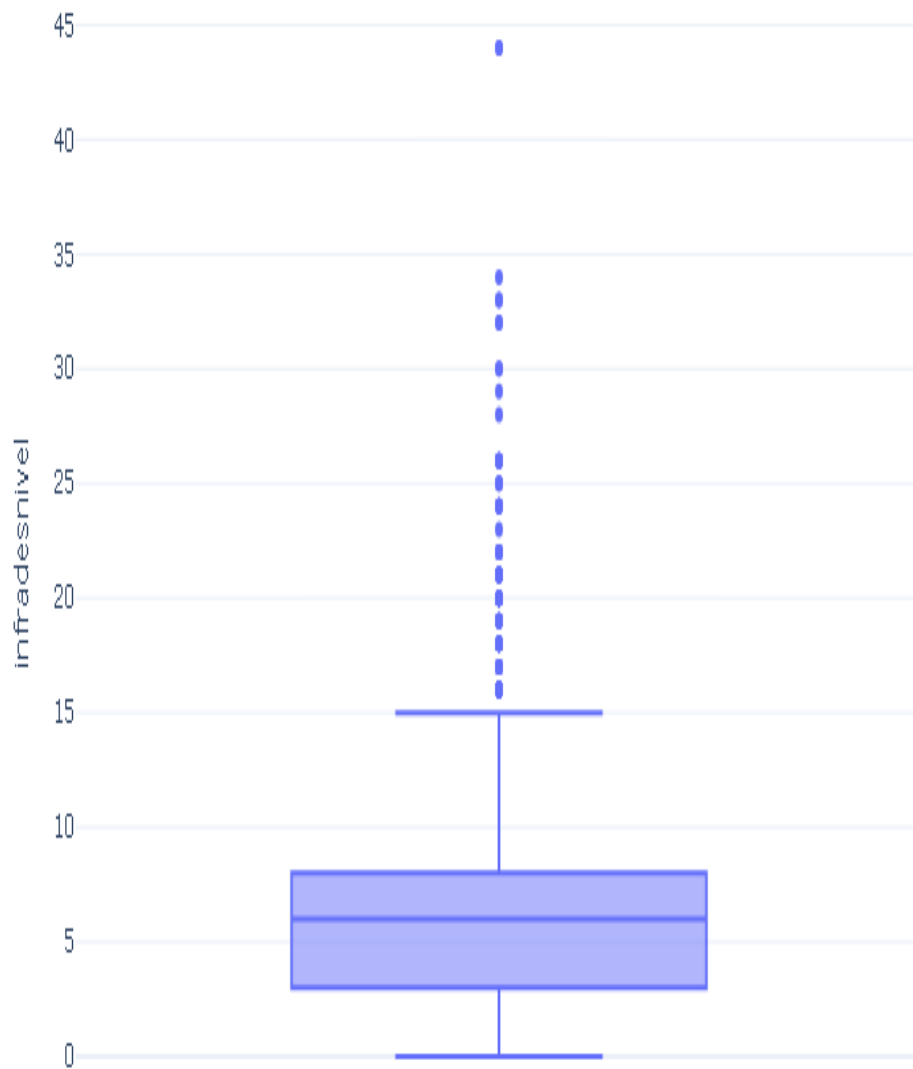


Figura: Boxplot de infradesnivel

Variable: v1

Estadísticas Descriptivas

Estadística	Valor
Observaciones	3,057
Valores faltantes	55 (1.77%)
Media	0.2260
Mediana	N/A
Desviación estándar	0.4183
Mínimo	N/A
Q1 (25%)	N/A
Q3 (75%)	N/A
Máximo	1.0000
Asimetría	1.3106
Curtosis	-0.2824

Test de Normalidad (Shapiro-Wilk)

Error al calcular test de normalidad: 'UnivariateStats' object has no attribute 'shapiro'

Detección de Outliers (Método IQR)

Métrica	Valor
Q1 (25%)	0.0000
Q3 (75%)	0.0000
IQR	0.0000
Límite inferior	0.0000
Límite superior	0.0000
Número de outliers	691 (22.60%)

Visualizaciones

Distribution of v1

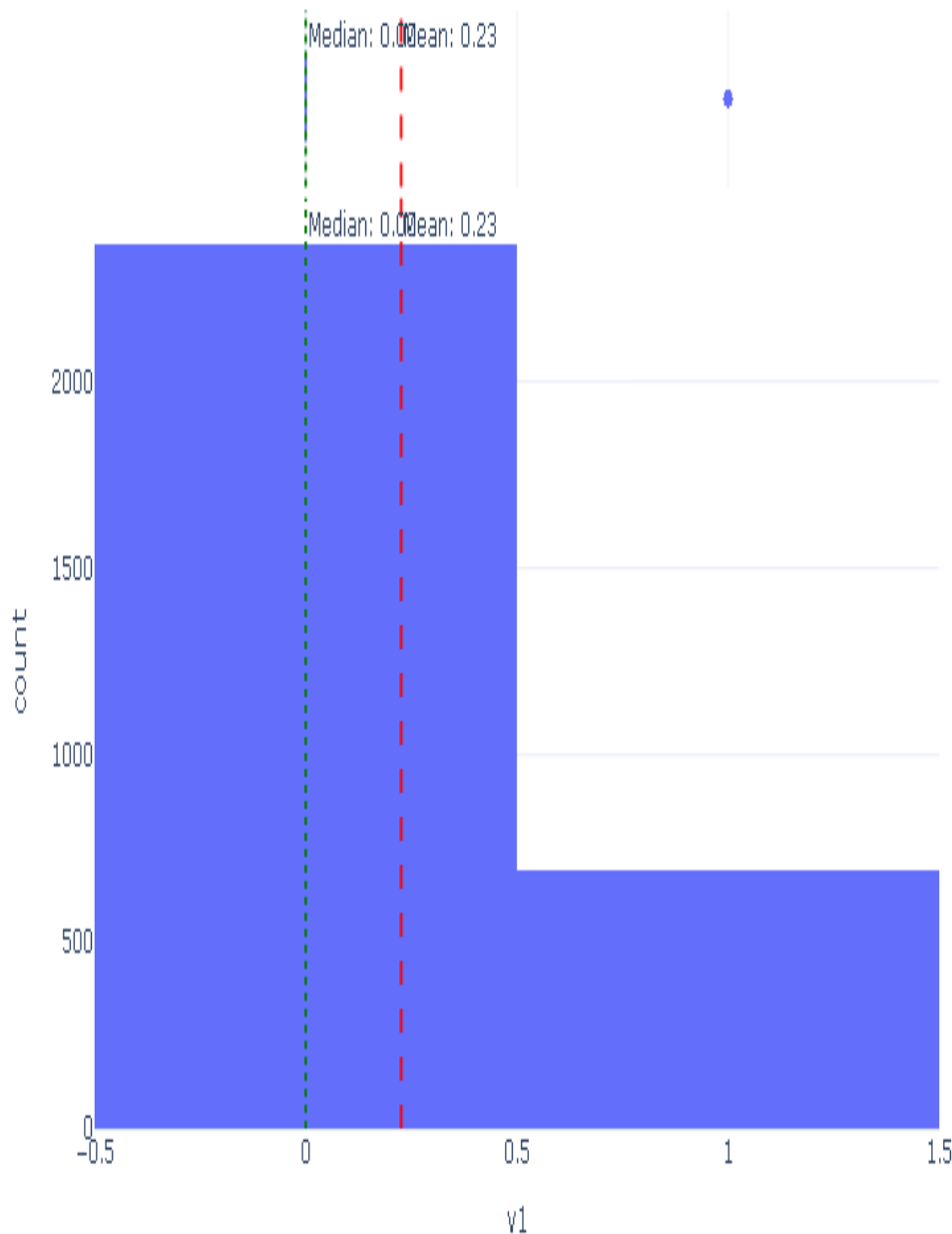


Figura: Distribución de $v1$

Boxplot of v1

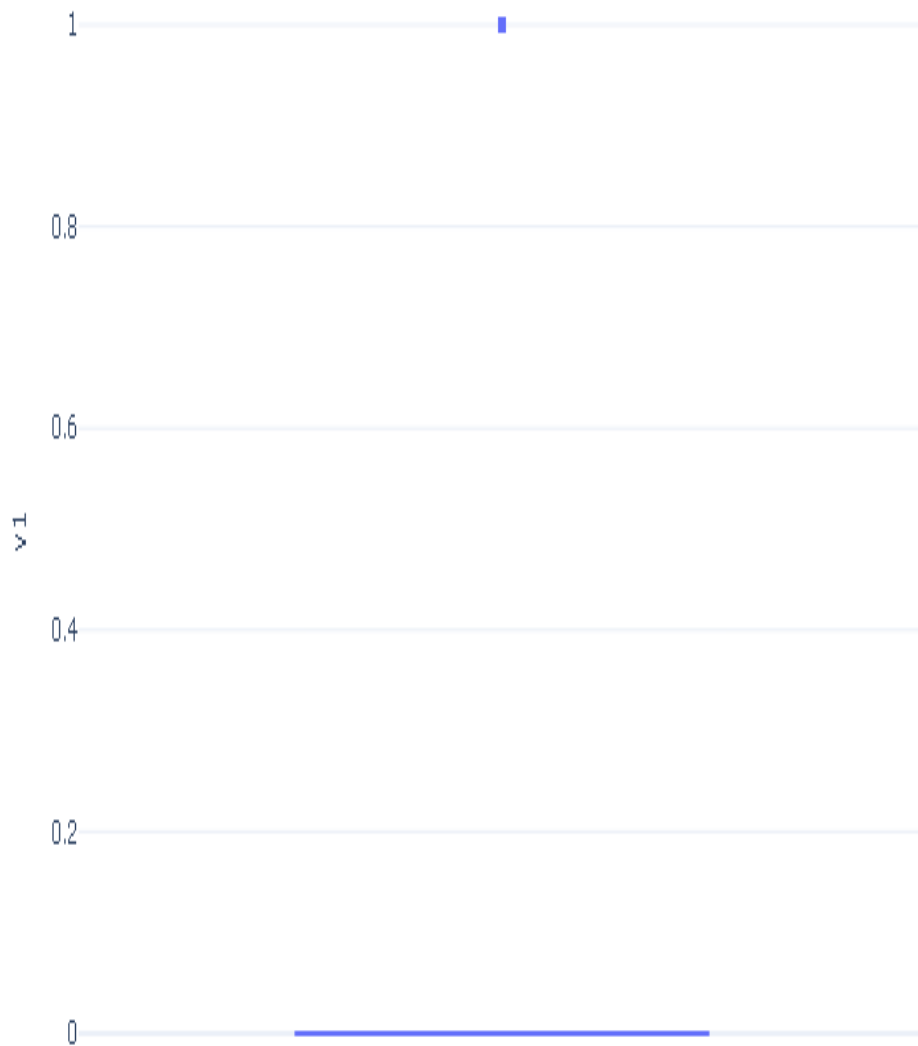


Figura: Boxplot de v1

Variable: v2

Estadísticas Descriptivas

Estadística	Valor
Observaciones	3,057
Valores faltantes	55 (1.77%)
Media	0.2951
Mediana	N/A
Desviación estándar	0.4561
Mínimo	N/A
Q1 (25%)	N/A
Q3 (75%)	1.0000
Máximo	1.0000
Asimetría	0.8992
Curtosis	-1.1923

Test de Normalidad (Shapiro-Wilk)

Error al calcular test de normalidad: 'UnivariateStats' object has no attribute 'shapiro'

Detección de Outliers (Método IQR)

Métrica	Valor
Q1 (25%)	0.0000
Q3 (75%)	1.0000
IQR	1.0000
Límite inferior	-1.5000
Límite superior	2.5000
Número de outliers	0 (0.00%)

Visualizaciones

Distribution of v2

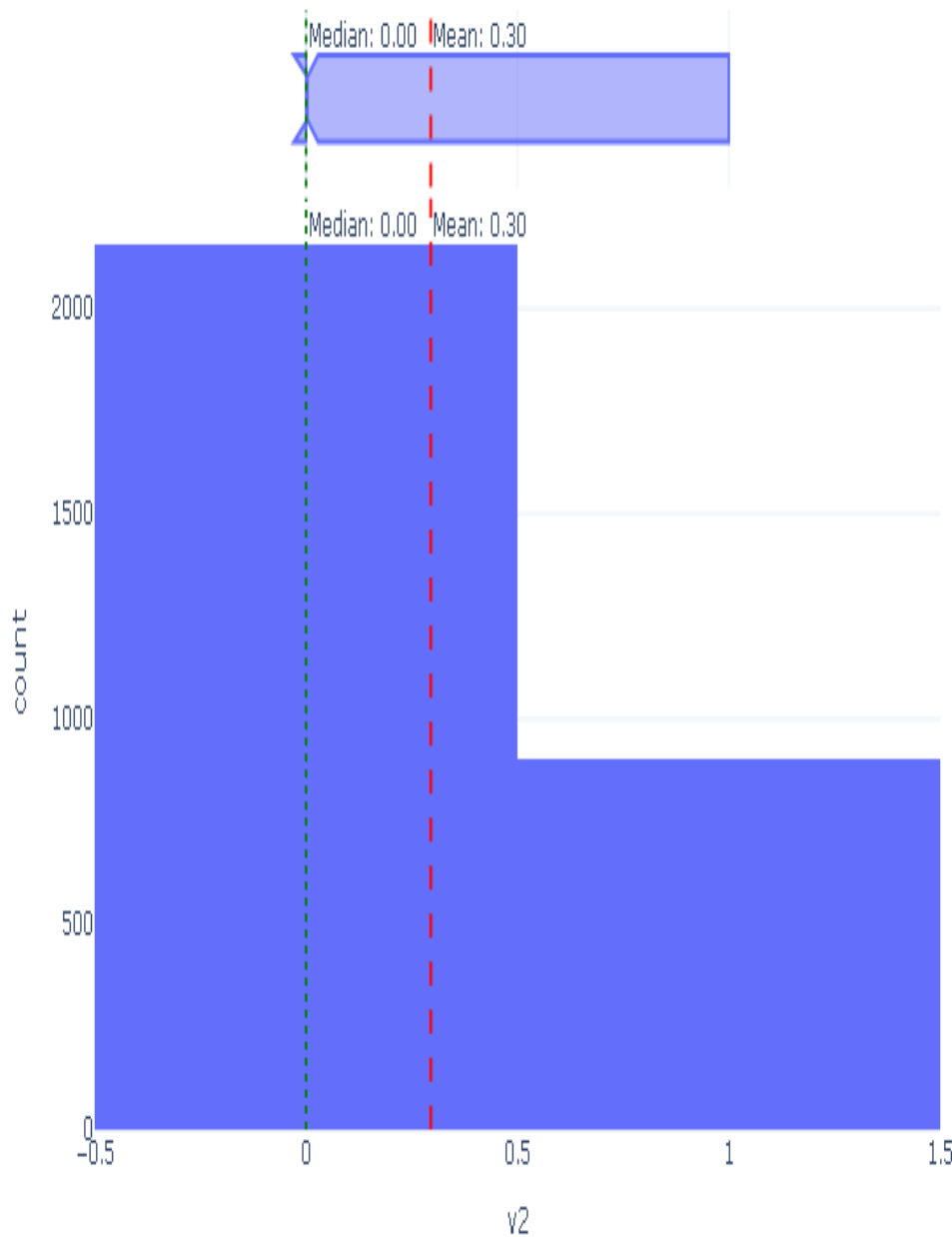


Figura: Distribución de $v2$

Boxplot of v2

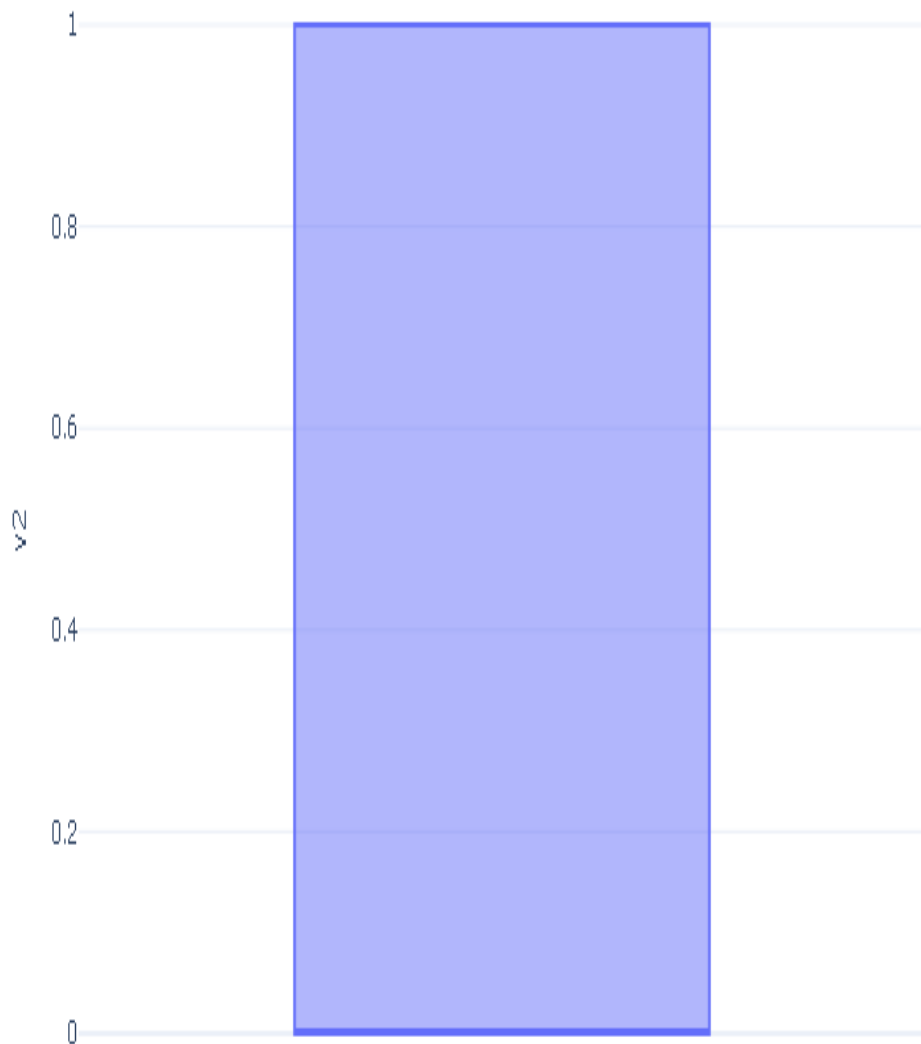


Figura: Boxplot de v2

Variable: v3

Estadísticas Descriptivas

Estadística	Valor
Observaciones	3,057
Valores faltantes	55 (1.77%)
Media	0.3238
Mediana	N/A
Desviación estándar	0.4680
Mínimo	N/A
Q1 (25%)	N/A
Q3 (75%)	1.0000
Máximo	1.0000
Asimetría	0.7533
Curtosis	-1.4335

Test de Normalidad (Shapiro-Wilk)

Error al calcular test de normalidad: 'UnivariateStats' object has no attribute 'shapiro'

Detección de Outliers (Método IQR)

Métrica	Valor
Q1 (25%)	0.0000
Q3 (75%)	1.0000
IQR	1.0000
Límite inferior	-1.5000
Límite superior	2.5000
Número de outliers	0 (0.00%)

Visualizaciones

Distribution of v3

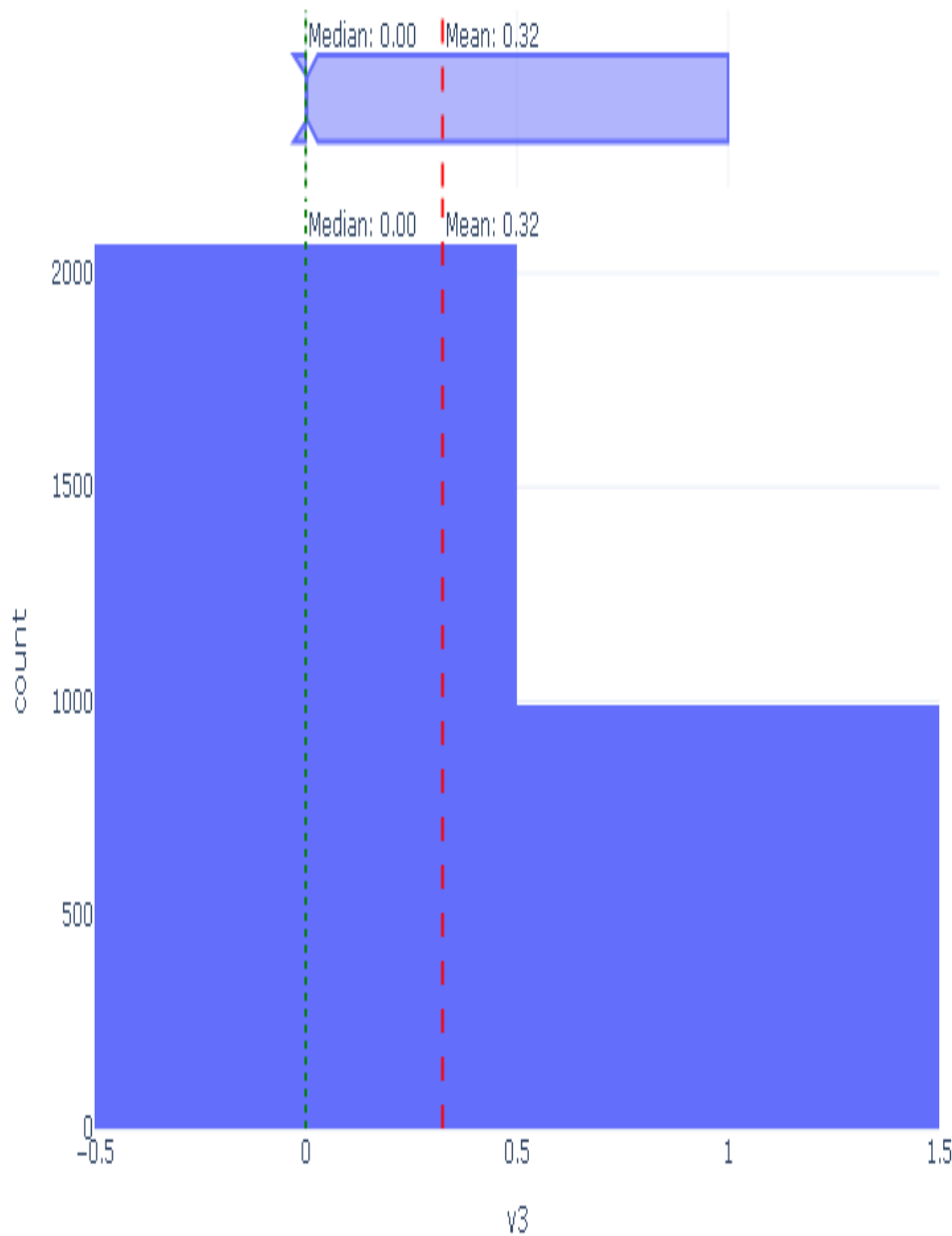


Figura: Distribución de $v3$

Boxplot of v3

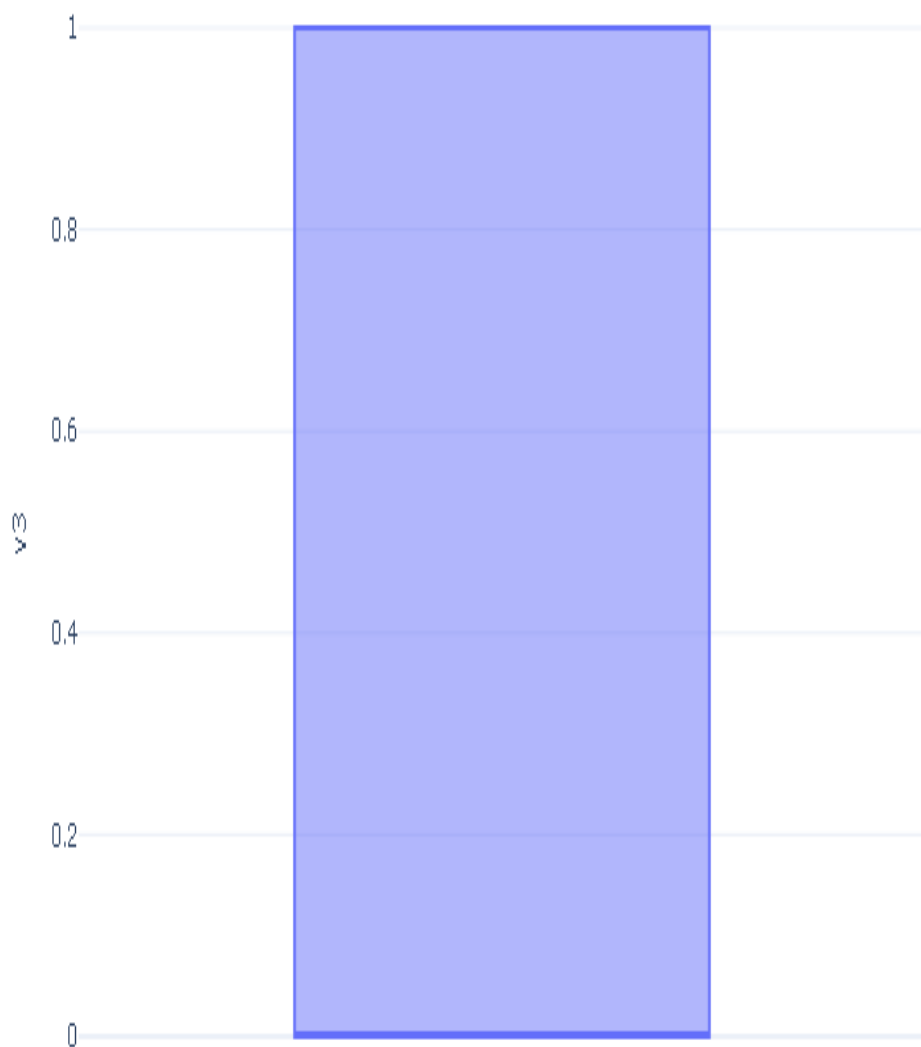


Figura: Boxplot de v3

Variable: v4

Estadísticas Descriptivas

Estadística	Valor
Observaciones	3,057
Valores faltantes	55 (1.77%)
Media	0.3418
Mediana	N/A
Desviación estándar	0.4744
Mínimo	N/A
Q1 (25%)	N/A
Q3 (75%)	1.0000
Máximo	1.0000
Asimetría	0.6672
Curtosis	-1.5558

Test de Normalidad (Shapiro-Wilk)

Error al calcular test de normalidad: 'UnivariateStats' object has no attribute 'shapiro'

Detección de Outliers (Método IQR)

Métrica	Valor
Q1 (25%)	0.0000
Q3 (75%)	1.0000
IQR	1.0000
Límite inferior	-1.5000
Límite superior	2.5000
Número de outliers	0 (0.00%)

Visualizaciones

Distribution of v4

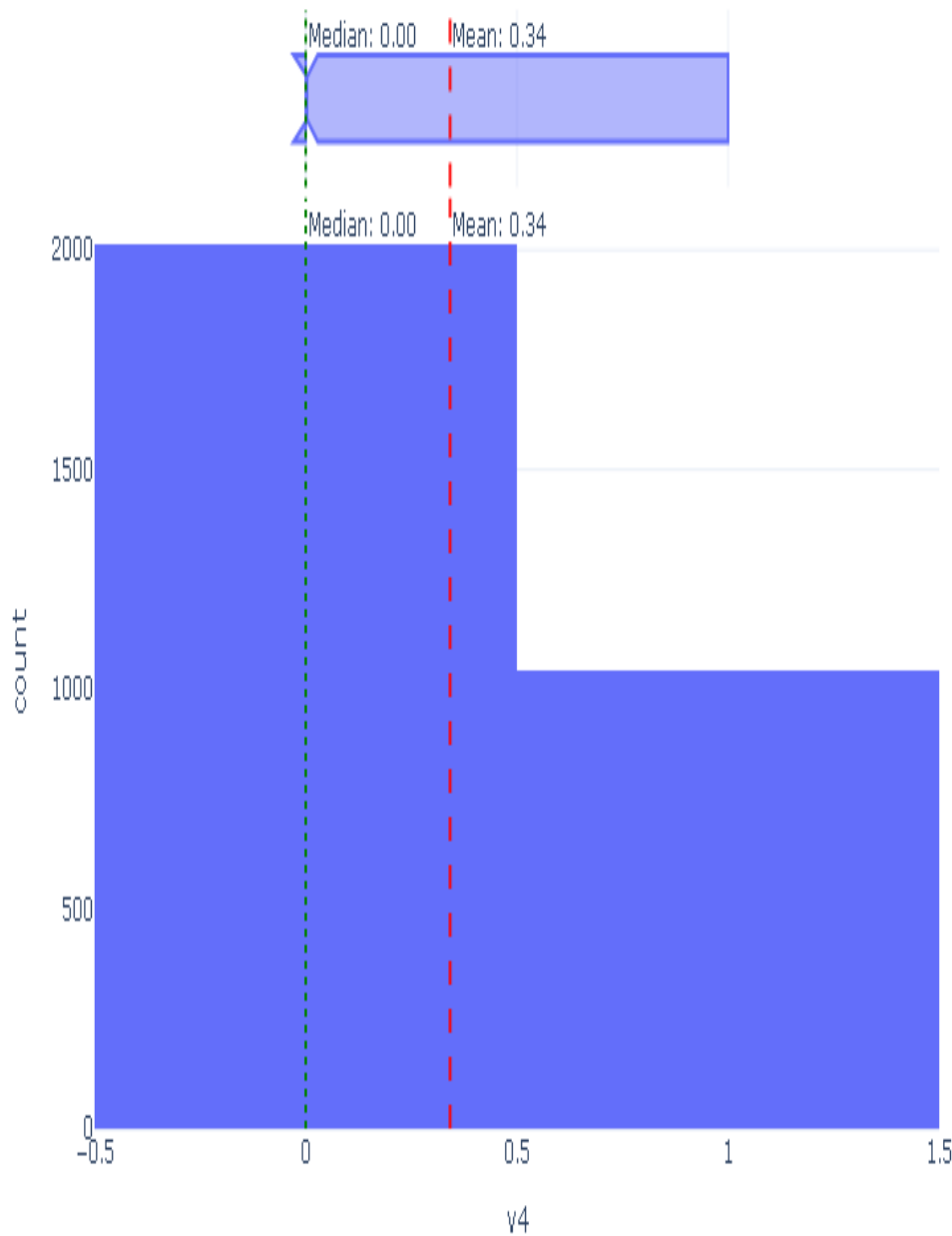


Figura: Distribución de v4

Boxplot of v4

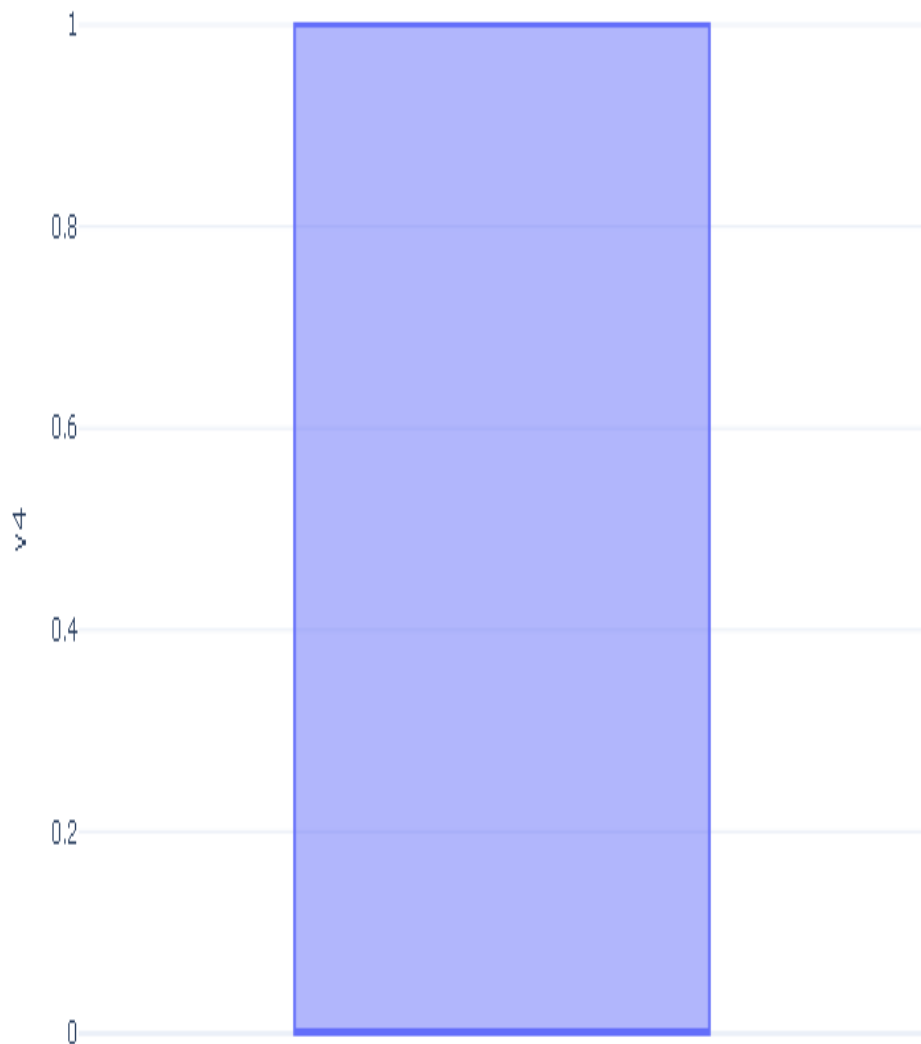


Figura: Boxplot de v4

Variable: v5

Estadísticas Descriptivas

Estadística	Valor
Observaciones	3,057
Valores faltantes	55 (1.77%)
Media	0.3389
Mediana	N/A
Desviación estándar	0.4734
Mínimo	N/A
Q1 (25%)	N/A
Q3 (75%)	1.0000
Máximo	1.0000
Asimetría	0.6811
Curtosis	-1.5372

Test de Normalidad (Shapiro-Wilk)

Error al calcular test de normalidad: 'UnivariateStats' object has no attribute 'shapiro'

Detección de Outliers (Método IQR)

Métrica	Valor
Q1 (25%)	0.0000
Q3 (75%)	1.0000
IQR	1.0000
Límite inferior	-1.5000
Límite superior	2.5000
Número de outliers	0 (0.00%)

Visualizaciones

Distribution of v5

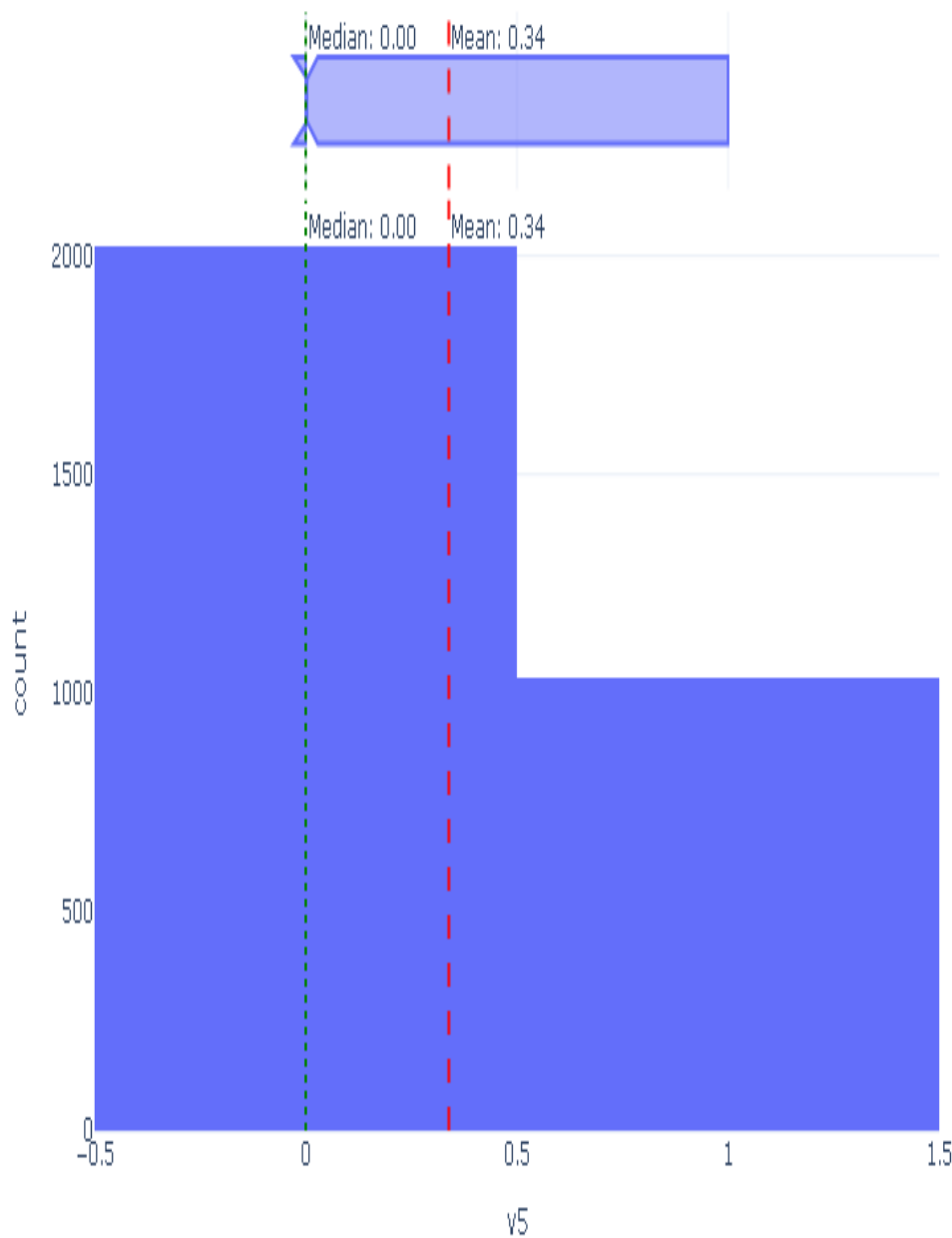


Figura: Distribución de $v5$

Boxplot of v5

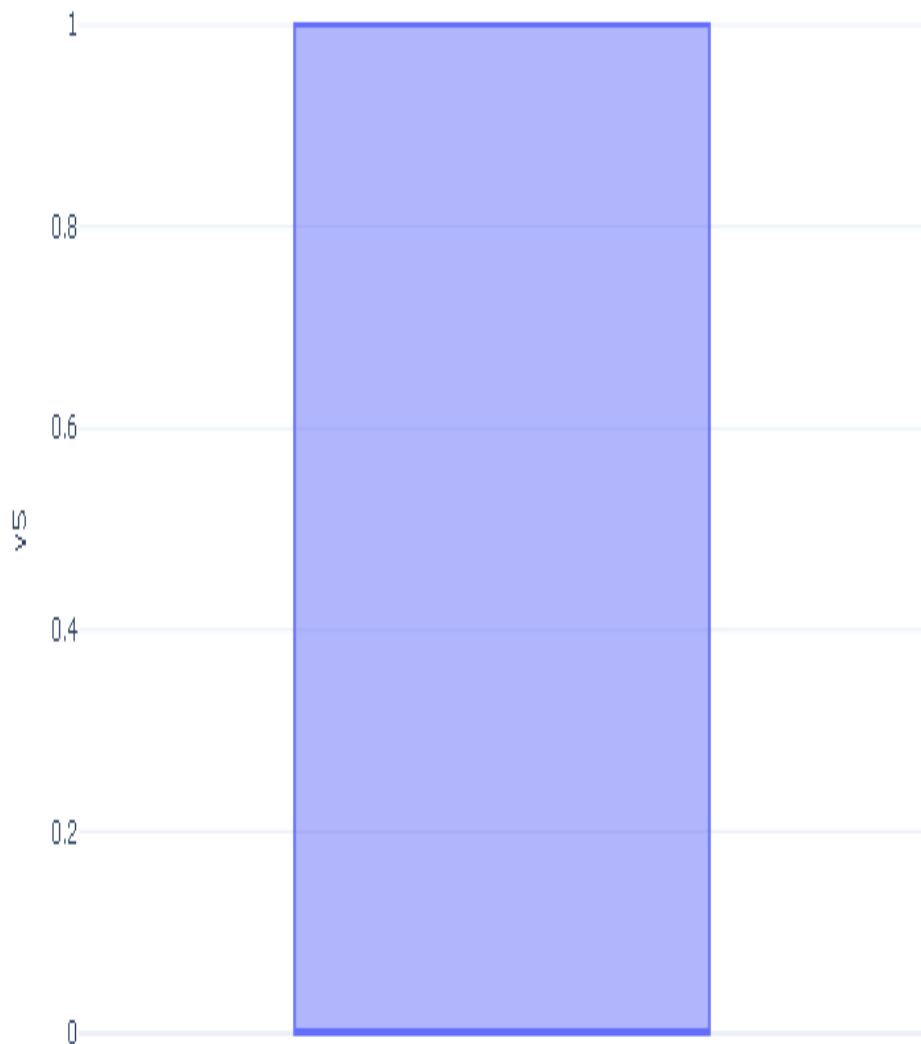


Figura: Boxplot de v5

Variable: v6

Estadísticas Descriptivas

Estadística	Valor
Observaciones	3,057
Valores faltantes	55 (1.77%)
Media	0.2941
Mediana	N/A
Desviación estándar	0.4557
Mínimo	N/A
Q1 (25%)	N/A
Q3 (75%)	1.0000
Máximo	1.0000
Asimetría	0.9043
Curtosis	-1.1829

Test de Normalidad (Shapiro-Wilk)

Error al calcular test de normalidad: 'UnivariateStats' object has no attribute 'shapiro'

Detección de Outliers (Método IQR)

Métrica	Valor
Q1 (25%)	0.0000
Q3 (75%)	1.0000
IQR	1.0000
Límite inferior	-1.5000
Límite superior	2.5000
Número de outliers	0 (0.00%)

Visualizaciones

Distribution of v6

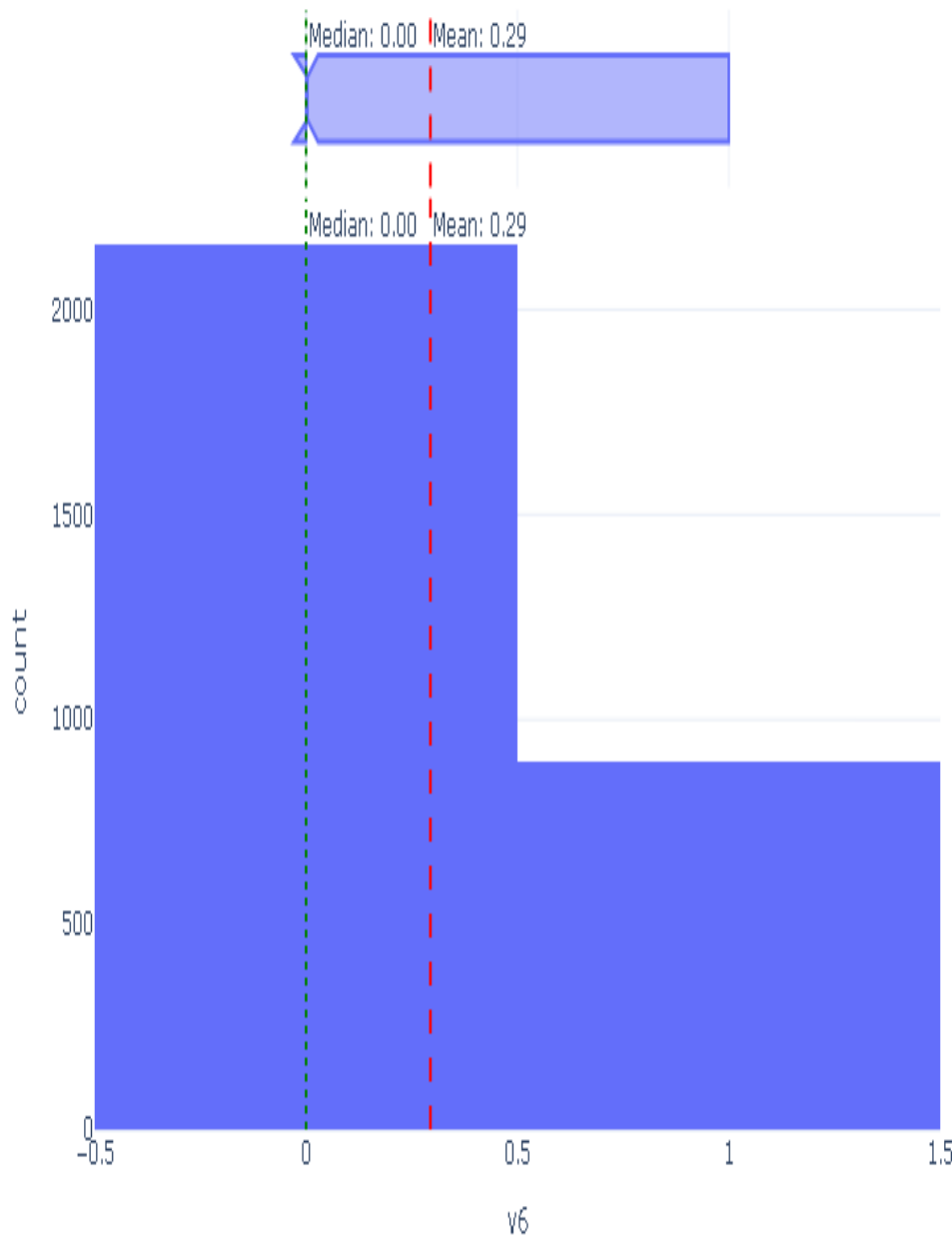


Figura: Distribución de v6

Boxplot of v6

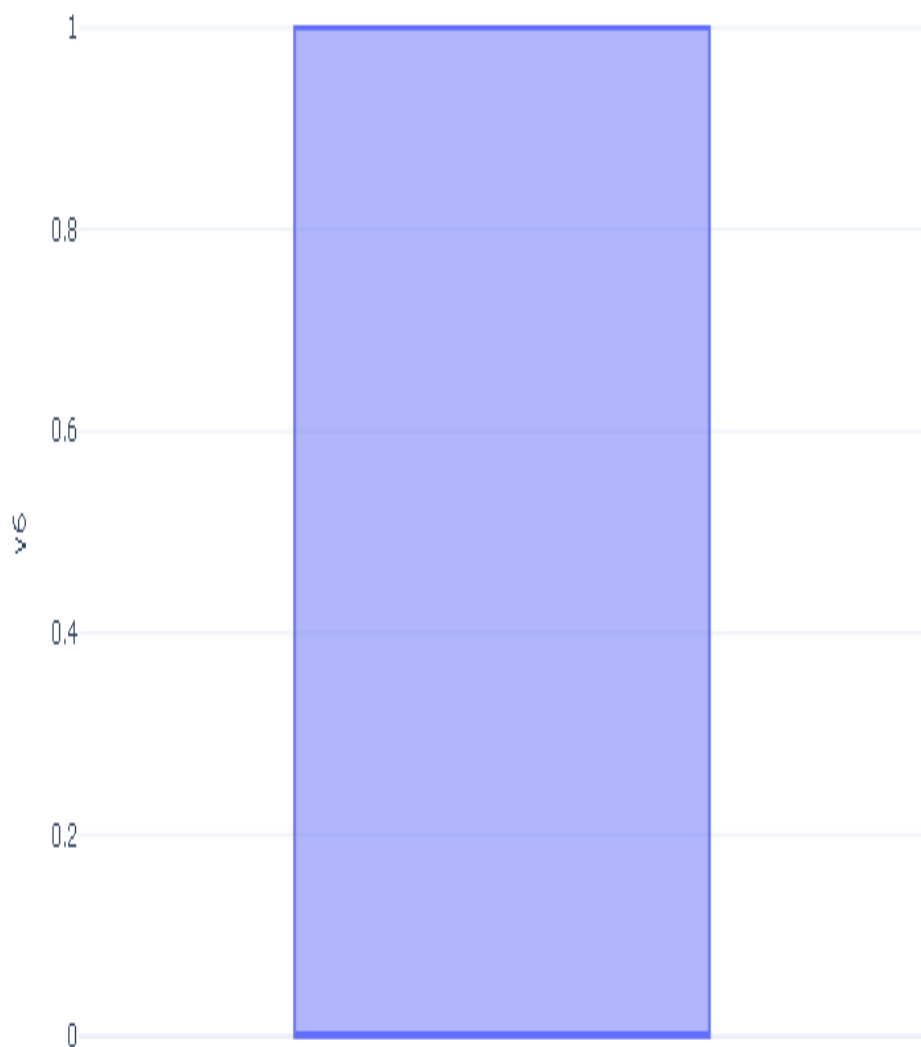


Figura: Boxplot de v6

Variable: v7

Estadísticas Descriptivas

Estadística	Valor
Observaciones	3,057
Valores faltantes	55 (1.77%)
Media	0.0245
Mediana	N/A
Desviación estándar	0.1547
Mínimo	N/A
Q1 (25%)	N/A
Q3 (75%)	N/A
Máximo	1.0000
Asimetría	6.1500
Curtosis	35.8457

Test de Normalidad (Shapiro-Wilk)

Error al calcular test de normalidad: 'UnivariateStats' object has no attribute 'shapiro'

Detección de Outliers (Método IQR)

Métrica	Valor
Q1 (25%)	0.0000
Q3 (75%)	0.0000
IQR	0.0000
Límite inferior	0.0000
Límite superior	0.0000
Número de outliers	75 (2.45%)

Visualizaciones

Distribution of v7

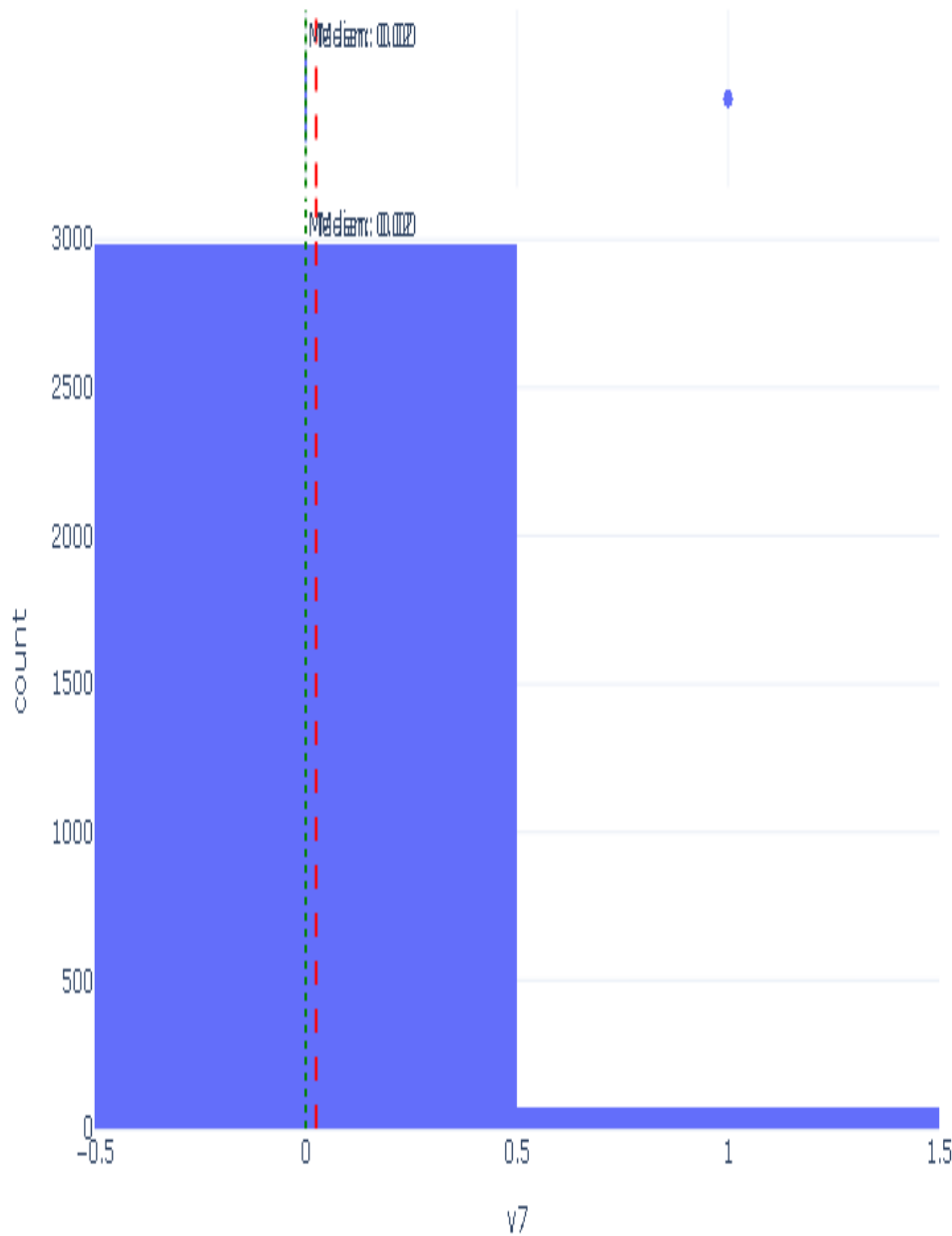


Figura: Distribución de v7

Boxplot of v7

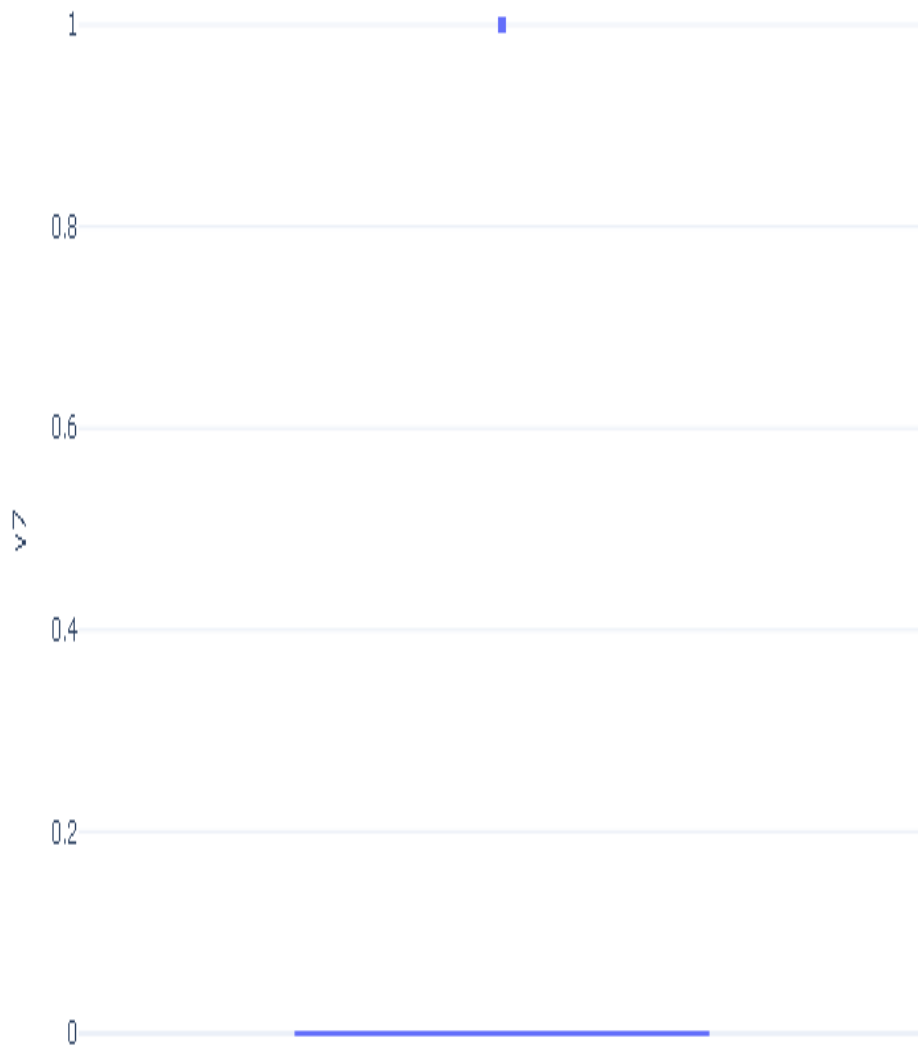


Figura: Boxplot de v7

Variable: v8

Estadísticas Descriptivas

Estadística	Valor
Observaciones	3,057
Valores faltantes	55 (1.77%)
Media	0.0245
Mediana	N/A
Desviación estándar	0.1547
Mínimo	N/A
Q1 (25%)	N/A
Q3 (75%)	N/A
Máximo	1.0000
Asimetría	6.1500
Curtosis	35.8457

Test de Normalidad (Shapiro-Wilk)

Error al calcular test de normalidad: 'UnivariateStats' object has no attribute 'shapiro'

Detección de Outliers (Método IQR)

Métrica	Valor
Q1 (25%)	0.0000
Q3 (75%)	0.0000
IQR	0.0000
Límite inferior	0.0000
Límite superior	0.0000
Número de outliers	75 (2.45%)

Visualizaciones

Distribution of v8

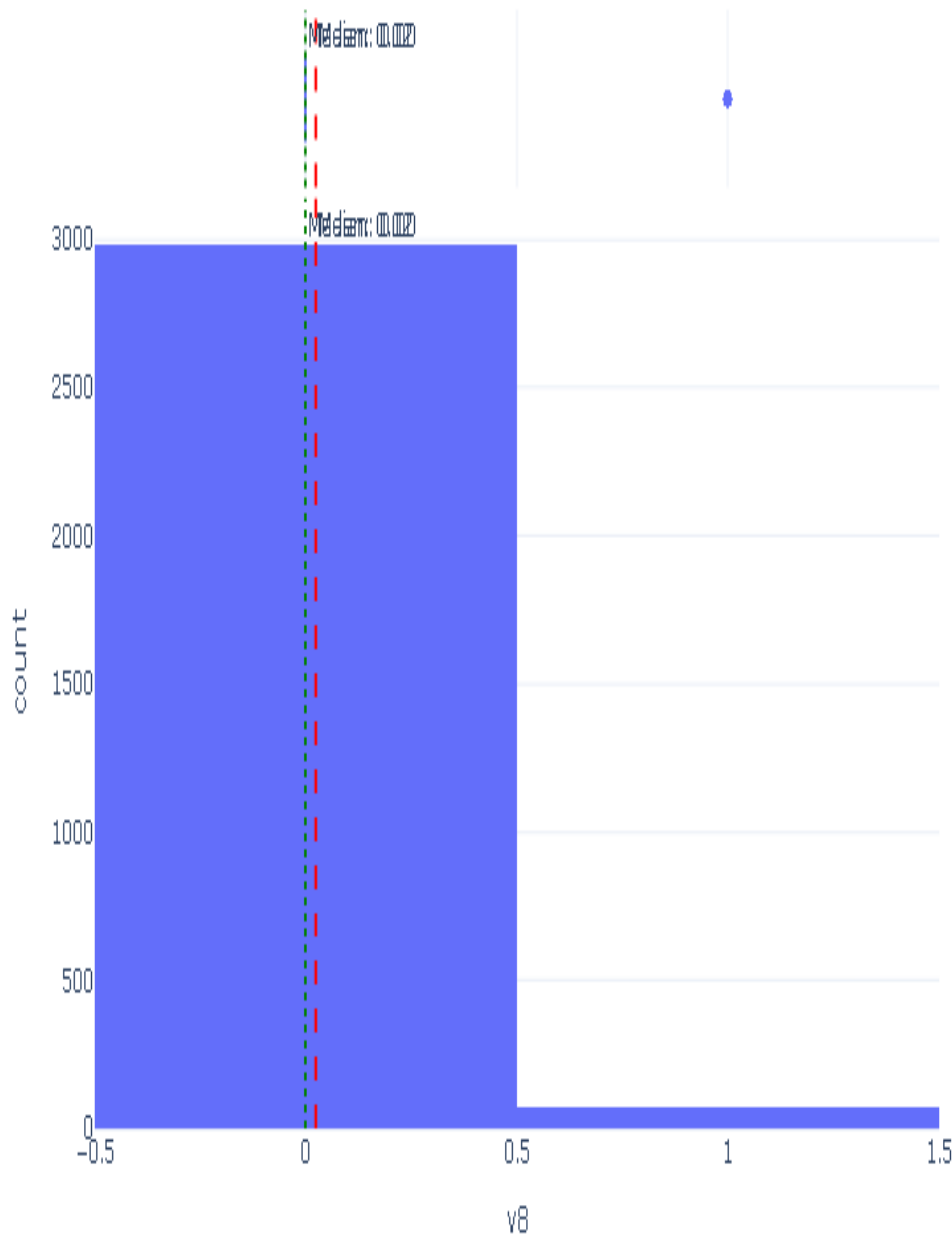


Figura: Distribución de v8

Boxplot of v8

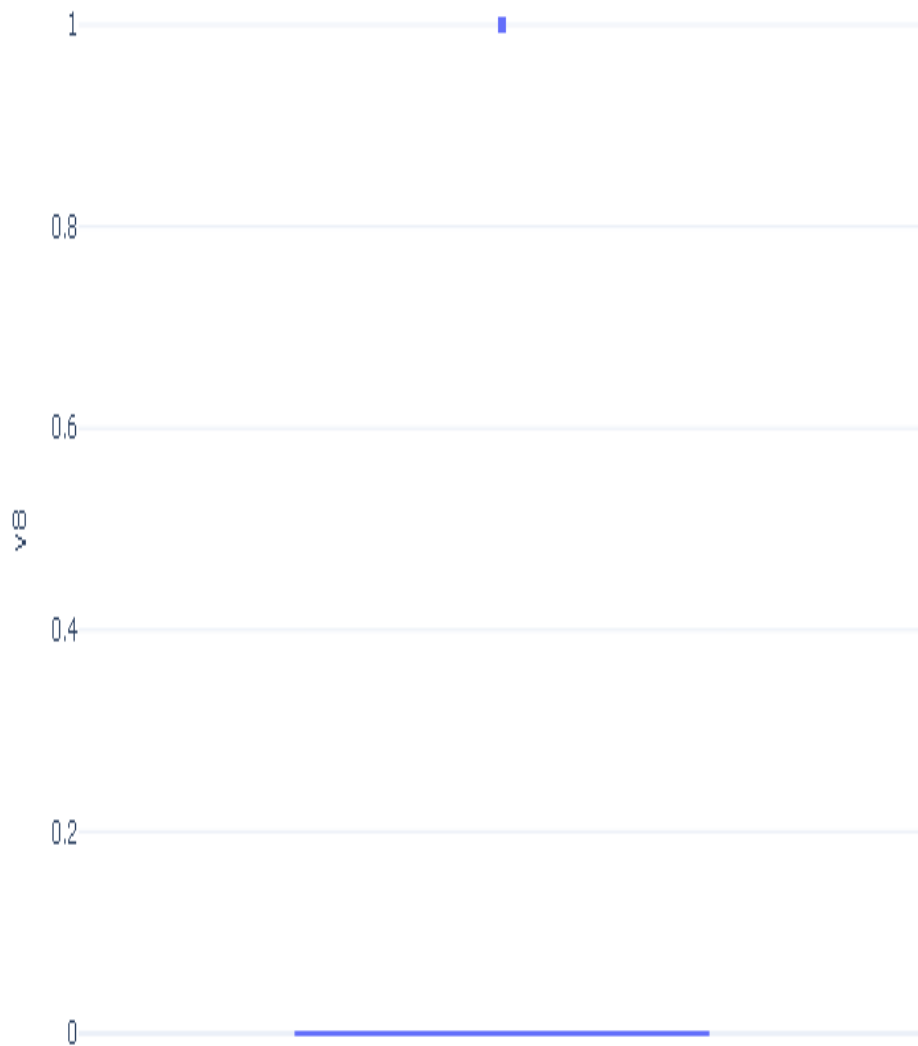


Figura: Boxplot de v8

Variable: v9

Estadísticas Descriptivas

Estadística	Valor
Observaciones	3,057
Valores faltantes	55 (1.77%)
Media	0.0206
Mediana	N/A
Desviación estándar	0.1421
Mínimo	N/A
Q1 (25%)	N/A
Q3 (75%)	N/A
Máximo	1.0000
Asimetría	6.7520
Curtosis	43.6181

Test de Normalidad (Shapiro-Wilk)

Error al calcular test de normalidad: 'UnivariateStats' object has no attribute 'shapiro'

Detección de Outliers (Método IQR)

Métrica	Valor
Q1 (25%)	0.0000
Q3 (75%)	0.0000
IQR	0.0000
Límite inferior	0.0000
Límite superior	0.0000
Número de outliers	63 (2.06%)

Visualizaciones

Distribution of v9

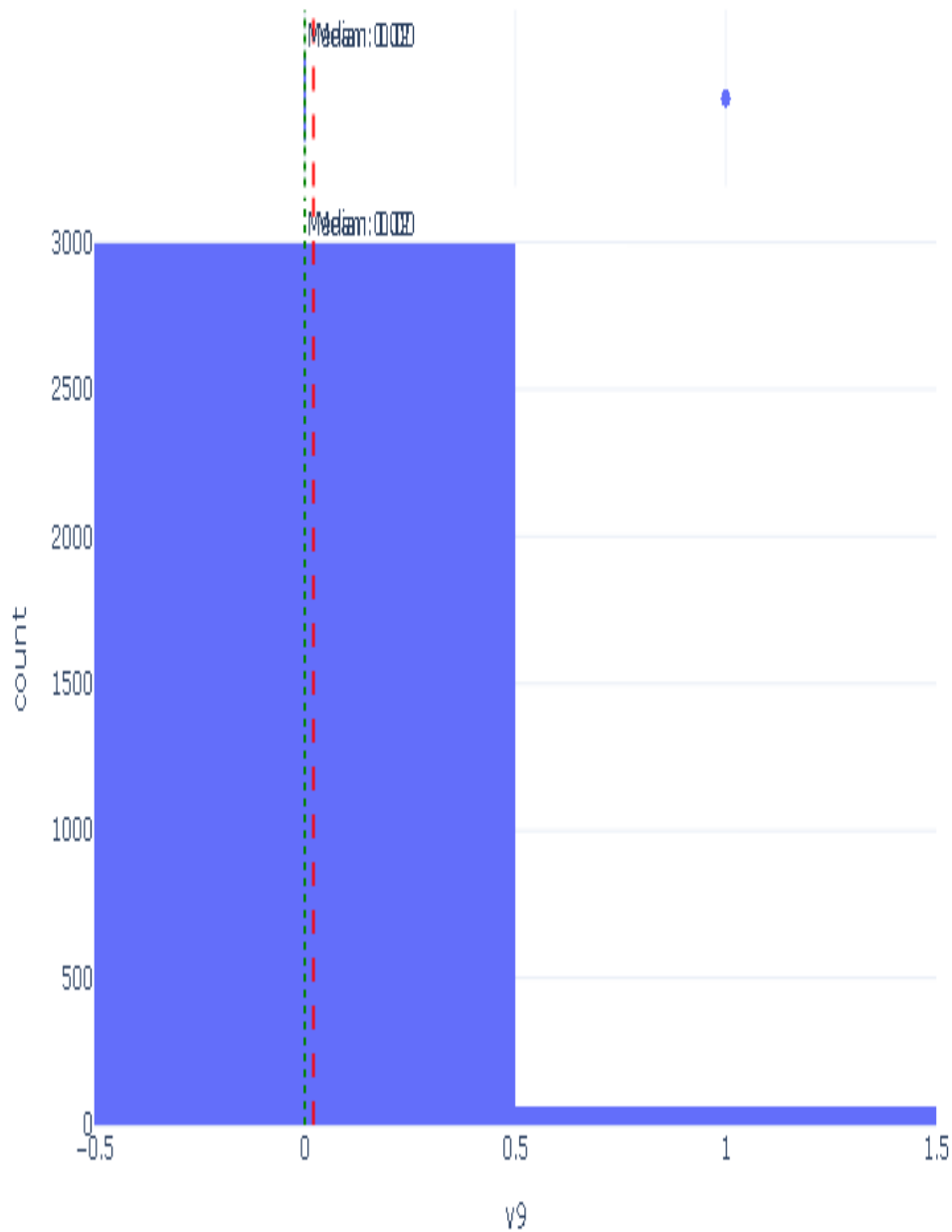


Figura: Distribución de v9

Boxplot of v9

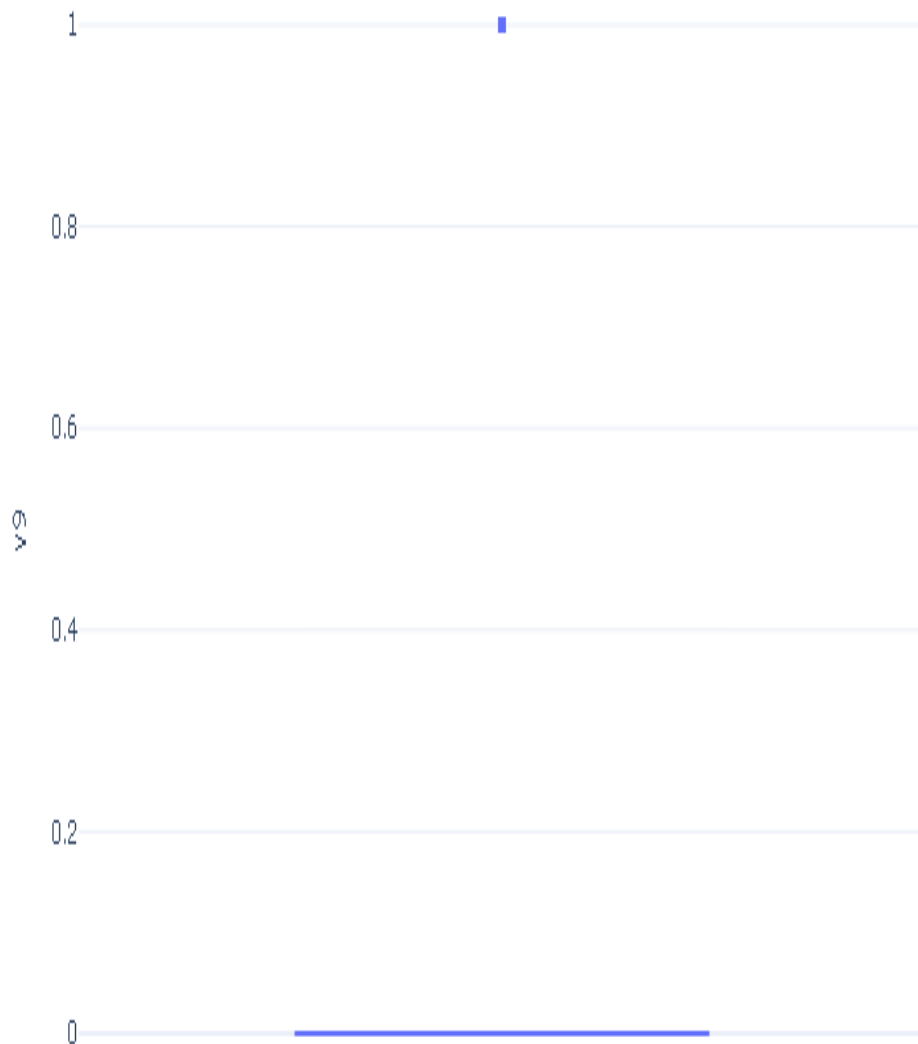


Figura: Boxplot de v9

Variable: d1

Estadísticas Descriptivas

Estadística	Valor
Observaciones	3,057
Valores faltantes	55 (1.77%)
Media	0.1629
Mediana	N/A
Desviación estándar	0.3693
Mínimo	N/A
Q1 (25%)	N/A
Q3 (75%)	N/A
Máximo	1.0000
Asimetría	1.8266
Curtosis	1.3373

Test de Normalidad (Shapiro-Wilk)

Error al calcular test de normalidad: 'UnivariateStats' object has no attribute 'shapiro'

Detección de Outliers (Método IQR)

Métrica	Valor
Q1 (25%)	0.0000
Q3 (75%)	0.0000
IQR	0.0000
Límite inferior	0.0000
Límite superior	0.0000
Número de outliers	498 (16.29%)

Visualizaciones

Distribution of d1

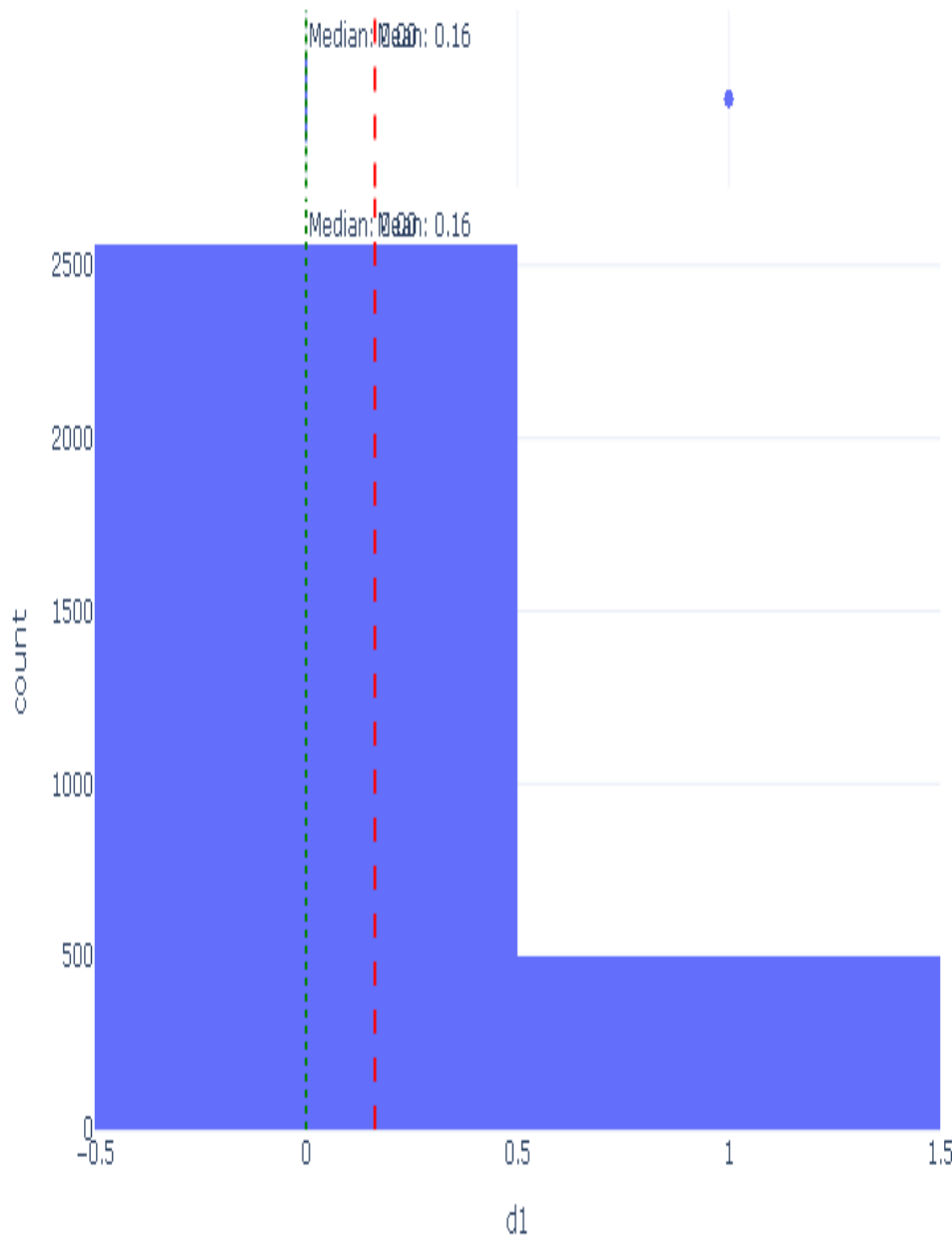


Figura: Distribución de $d1$

Boxplot of d1

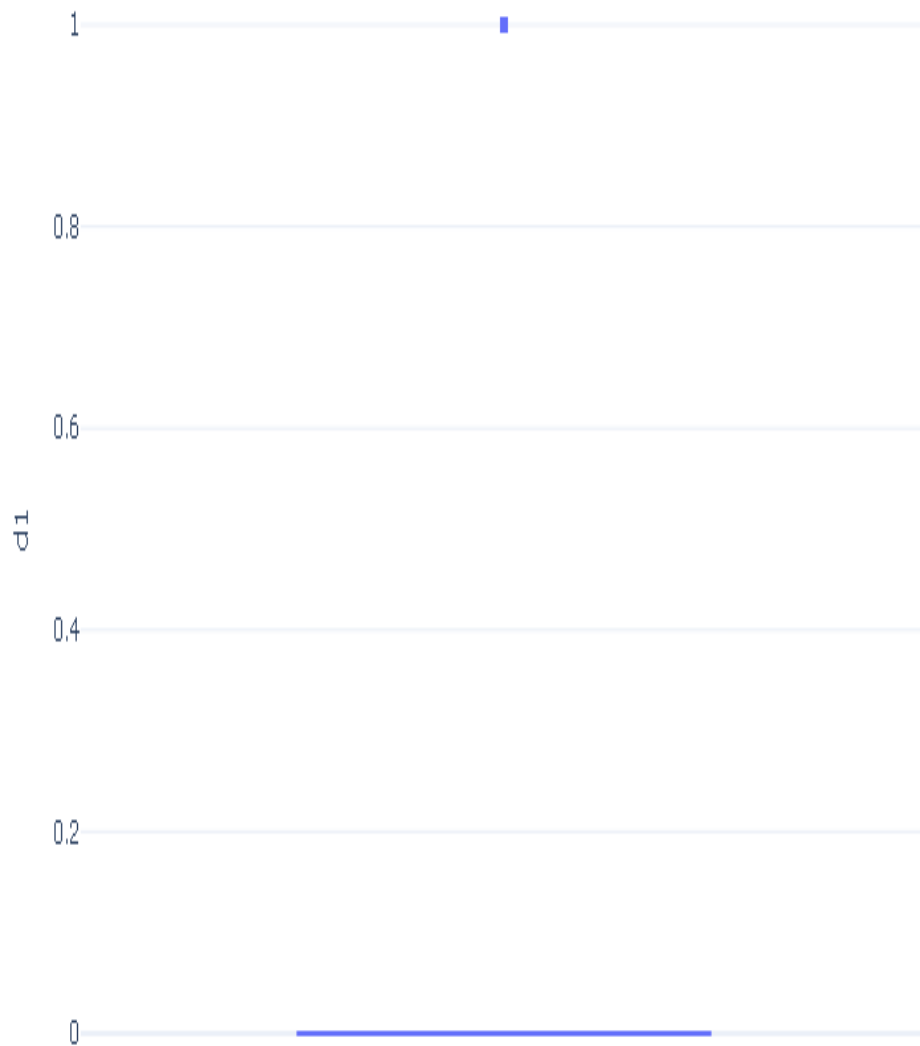


Figura: Boxplot de $d1$

Variable: d2

Estadísticas Descriptivas

Estadística	Valor
Observaciones	3,057
Valores faltantes	55 (1.77%)
Media	0.4593
Mediana	N/A
Desviación estándar	0.4984
Mínimo	N/A
Q1 (25%)	N/A
Q3 (75%)	1.0000
Máximo	1.0000
Asimetría	0.1635
Curtosis	-1.9746

Test de Normalidad (Shapiro-Wilk)

Error al calcular test de normalidad: 'UnivariateStats' object has no attribute 'shapiro'

Detección de Outliers (Método IQR)

Métrica	Valor
Q1 (25%)	0.0000
Q3 (75%)	1.0000
IQR	1.0000
Límite inferior	-1.5000
Límite superior	2.5000
Número de outliers	0 (0.00%)

Visualizaciones

Distribution of d2

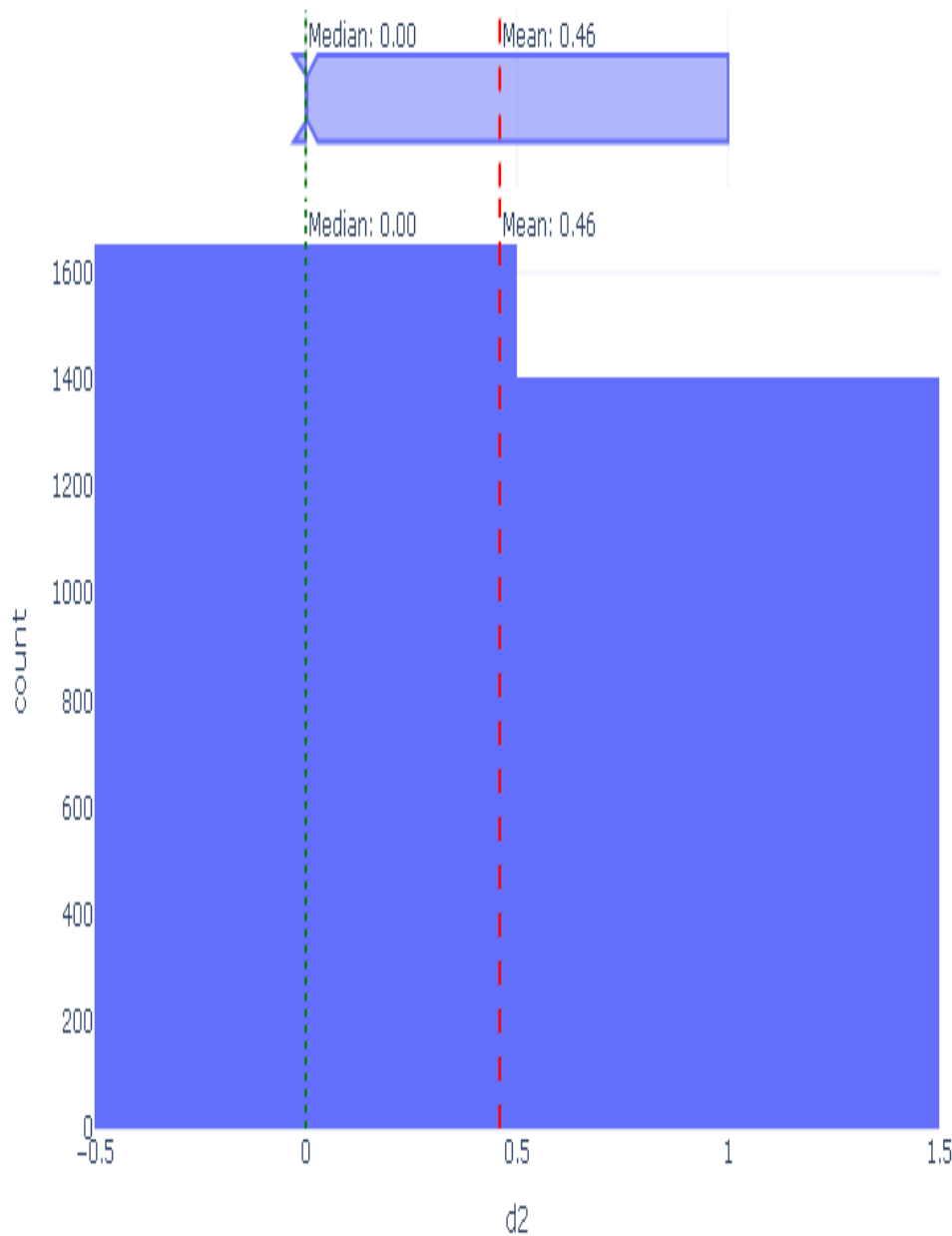
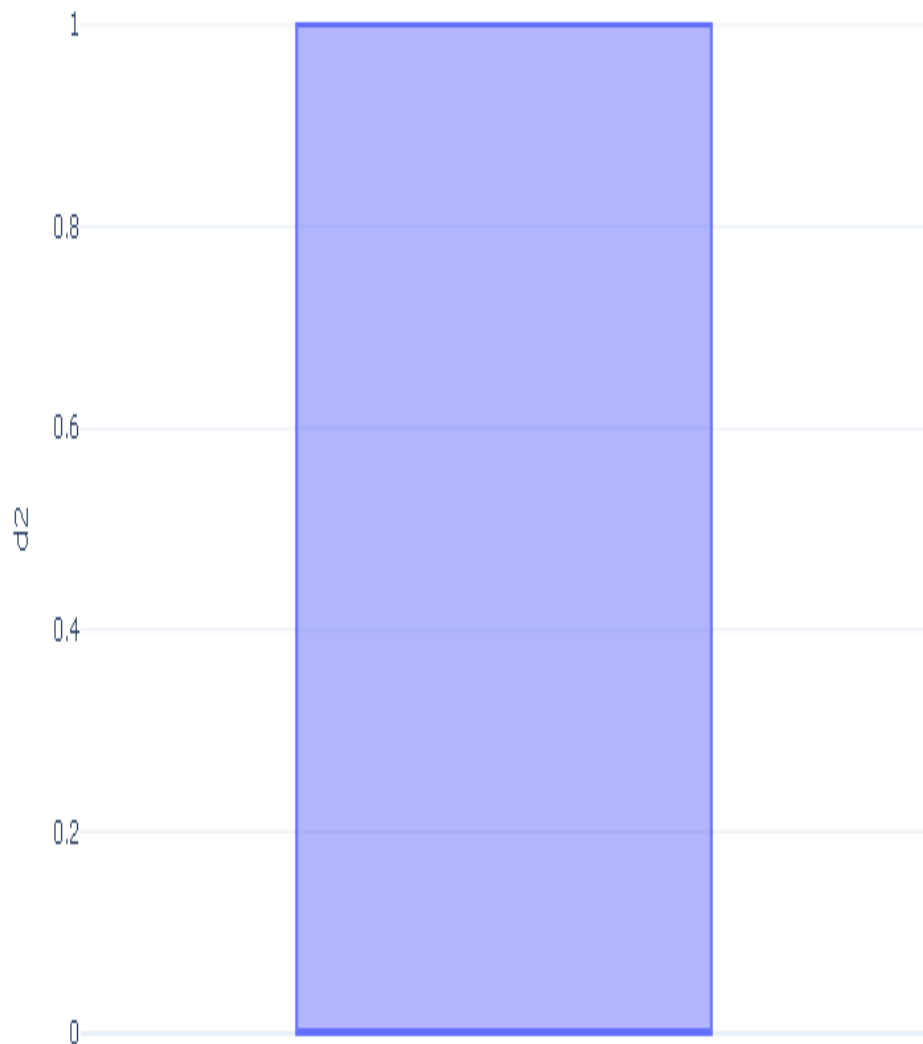


Figura: Distribución de $d2$

Boxplot of d2

Figura: Boxplot de $d2$

Variable: d3

Estadísticas Descriptivas

Estadística	Valor
Observaciones	3,057
Valores faltantes	55 (1.77%)
Media	0.4596
Mediana	N/A
Desviación estándar	0.4984
Mínimo	N/A
Q1 (25%)	N/A
Q3 (75%)	1.0000
Máximo	1.0000
Asimetría	0.1622
Curtosis	-1.9750

Test de Normalidad (Shapiro-Wilk)

Error al calcular test de normalidad: 'UnivariateStats' object has no attribute 'shapiro'

Detección de Outliers (Método IQR)

Métrica	Valor
Q1 (25%)	0.0000
Q3 (75%)	1.0000
IQR	1.0000
Límite inferior	-1.5000
Límite superior	2.5000
Número de outliers	0 (0.00%)

Visualizaciones

Distribution of d3

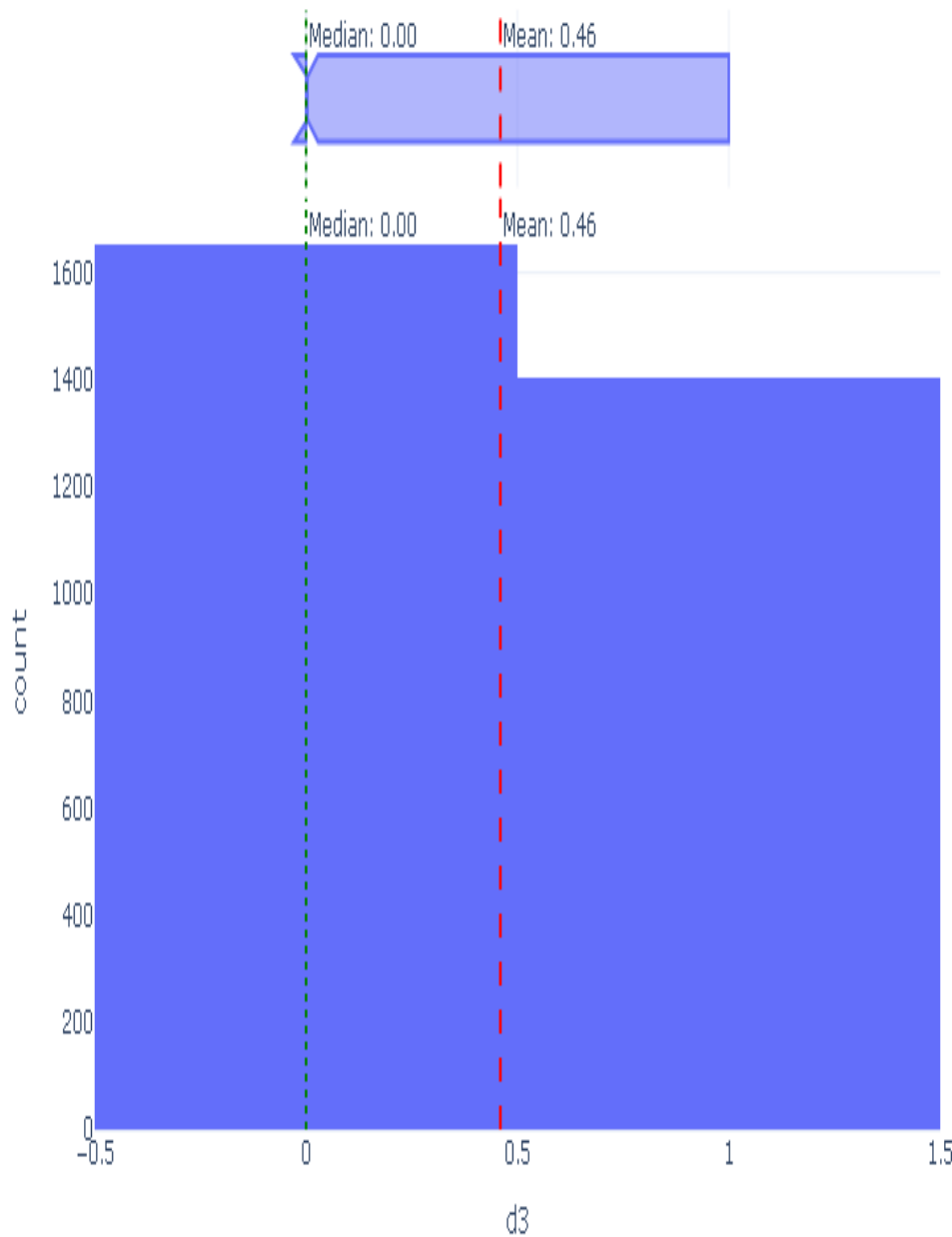


Figura: Distribución de $d3$

Boxplot of d3

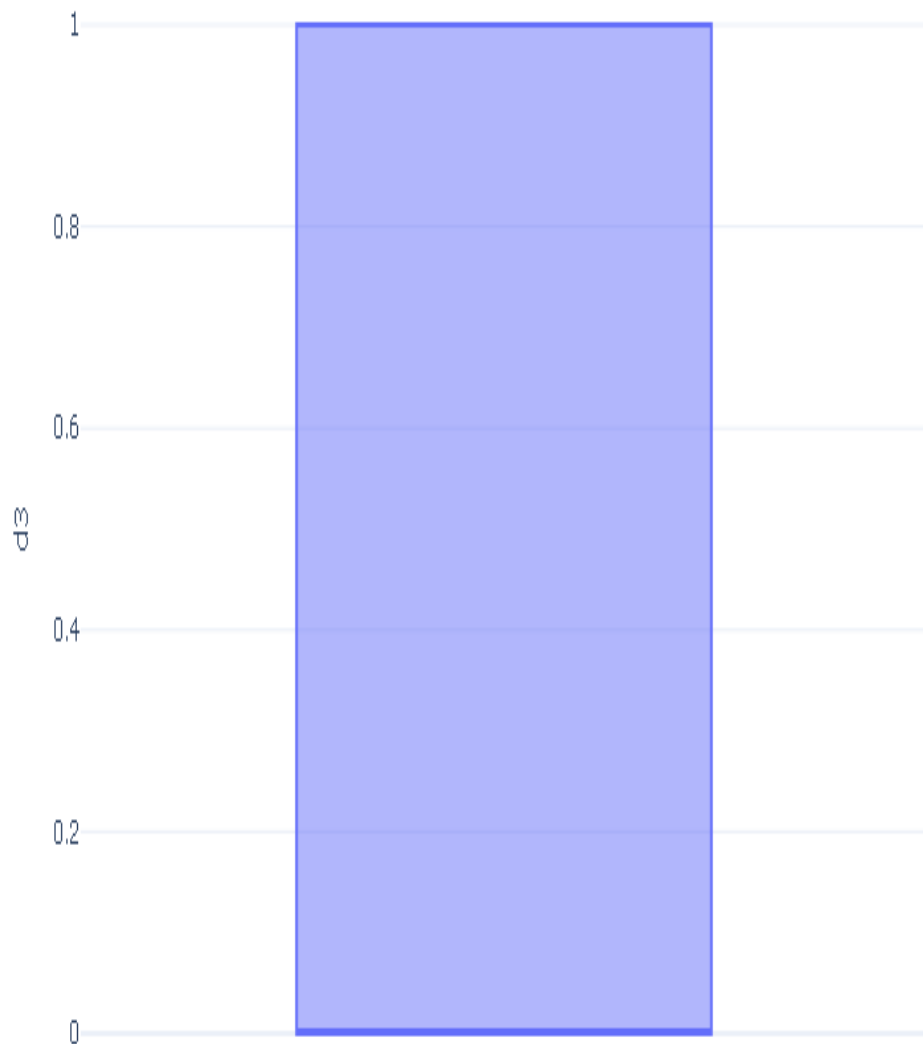


Figura: Boxplot de d3

Variable: avl

Estadísticas Descriptivas

Estadística	Valor
Observaciones	3,057
Valores faltantes	55 (1.77%)
Media	0.1655
Mediana	N/A
Desviación estándar	0.3717
Mínimo	N/A
Q1 (25%)	N/A
Q3 (75%)	N/A
Máximo	1.0000
Asimetría	1.8008
Curtosis	1.2439

Test de Normalidad (Shapiro-Wilk)

Error al calcular test de normalidad: 'UnivariateStats' object has no attribute 'shapiro'

Detección de Outliers (Método IQR)

Métrica	Valor
Q1 (25%)	0.0000
Q3 (75%)	0.0000
IQR	0.0000
Límite inferior	0.0000
Límite superior	0.0000
Número de outliers	506 (16.55%)

Visualizaciones

Distribution of avl

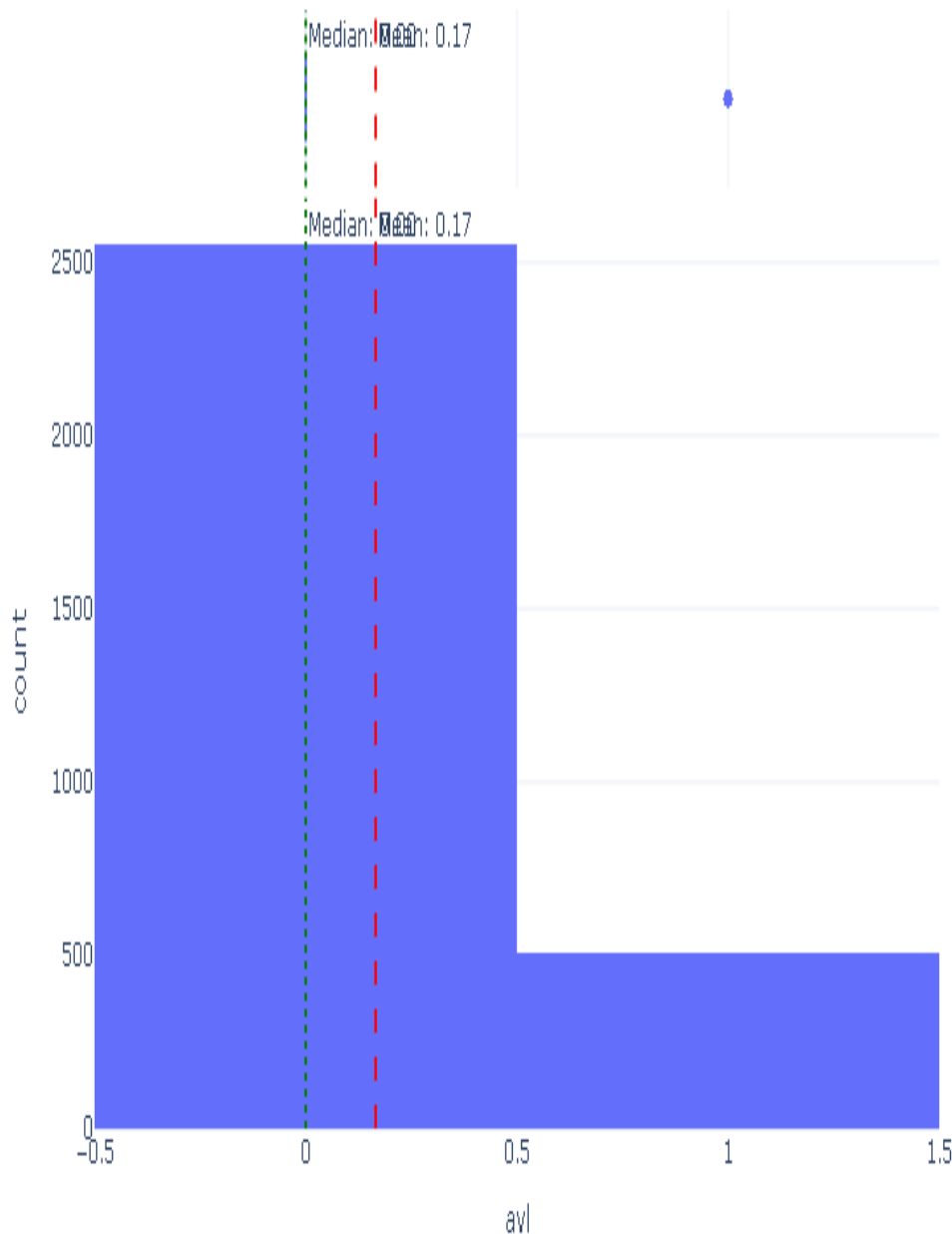


Figura: Distribución de avl

Boxplot of avl

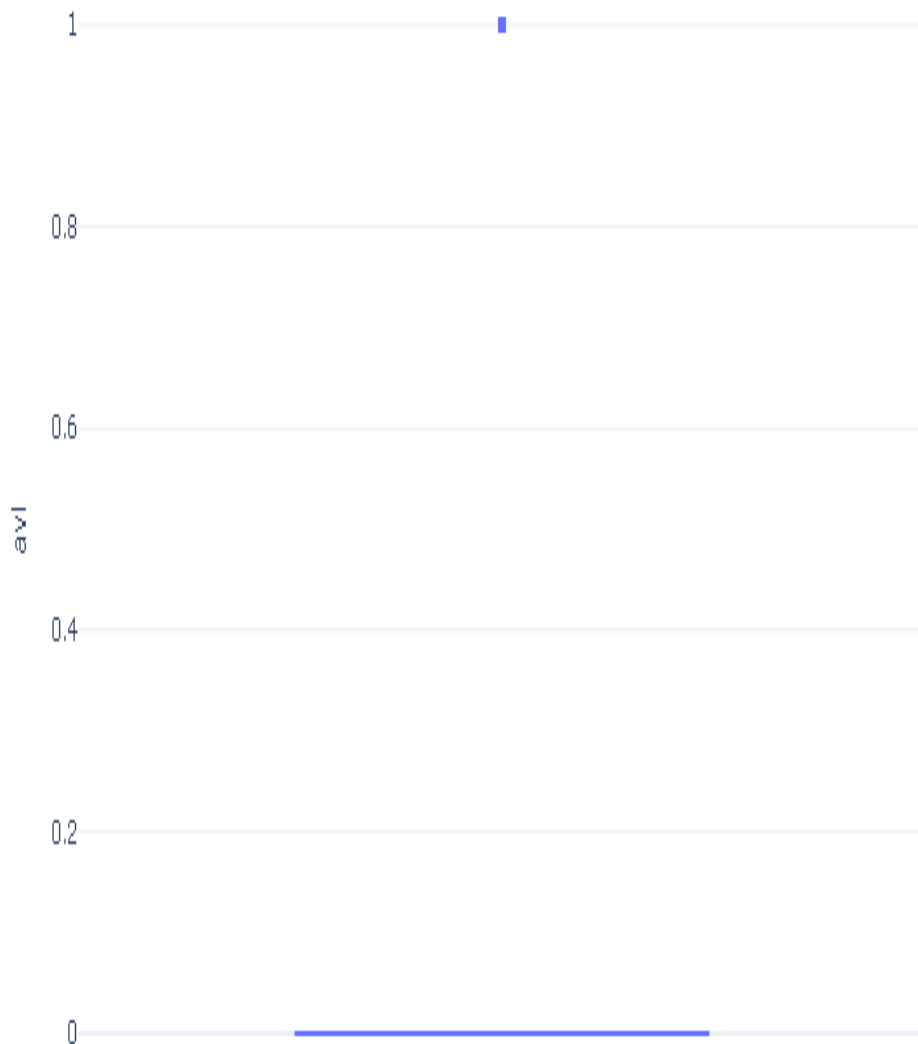


Figura: Boxplot de avl

Variable: avf

Estadísticas Descriptivas

Estadística	Valor
Observaciones	3,057
Valores faltantes	55 (1.77%)
Media	0.4570
Mediana	N/A
Desviación estándar	0.4982
Mínimo	N/A
Q1 (25%)	N/A
Q3 (75%)	1.0000
Máximo	1.0000
Asimetría	0.1728
Curtosis	-1.9714

Test de Normalidad (Shapiro-Wilk)

Error al calcular test de normalidad: 'UnivariateStats' object has no attribute 'shapiro'

Detección de Outliers (Método IQR)

Métrica	Valor
Q1 (25%)	0.0000
Q3 (75%)	1.0000
IQR	1.0000
Límite inferior	-1.5000
Límite superior	2.5000
Número de outliers	0 (0.00%)

Visualizaciones

Distribution of avf

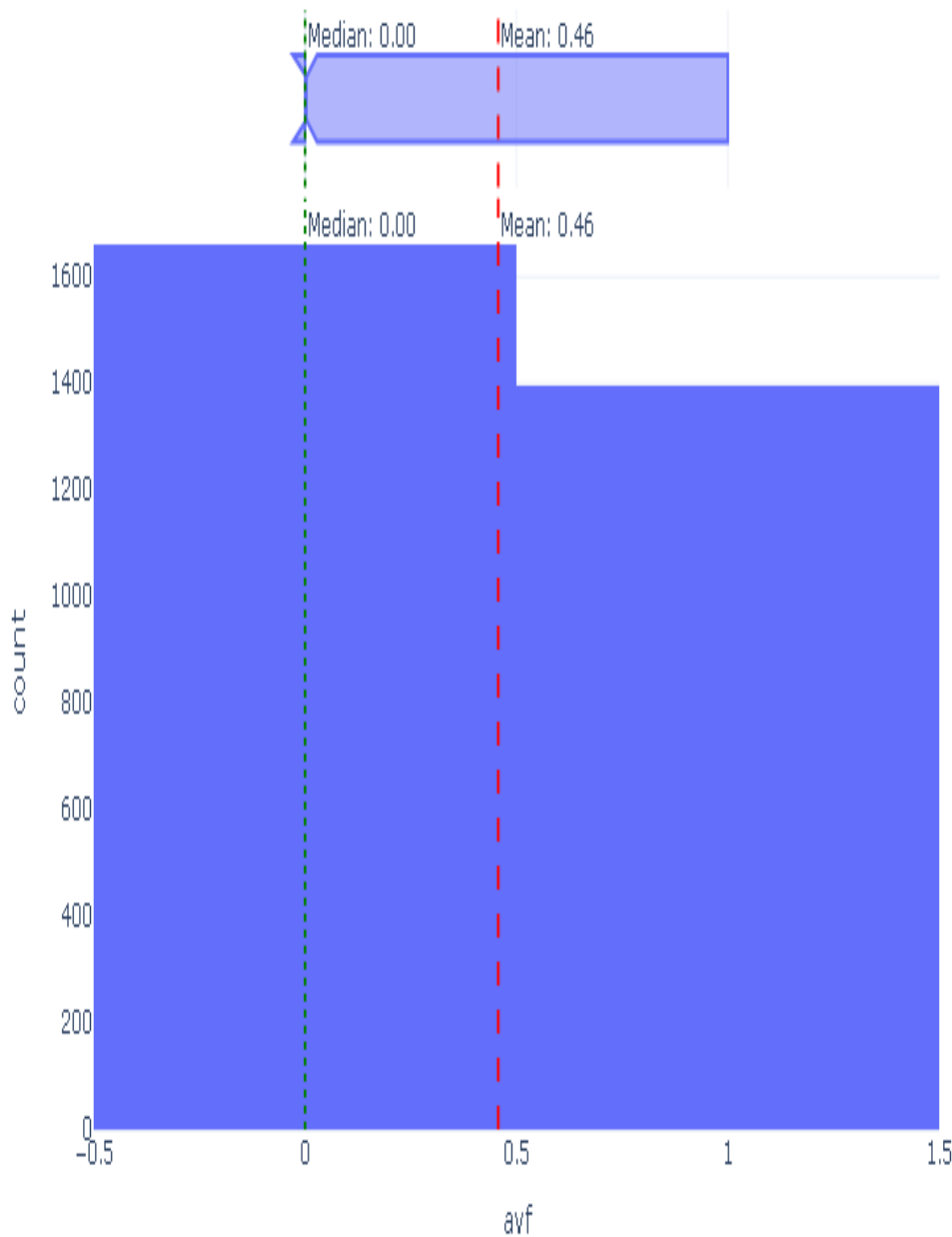


Figura: Distribución de *avf*

Boxplot of avf

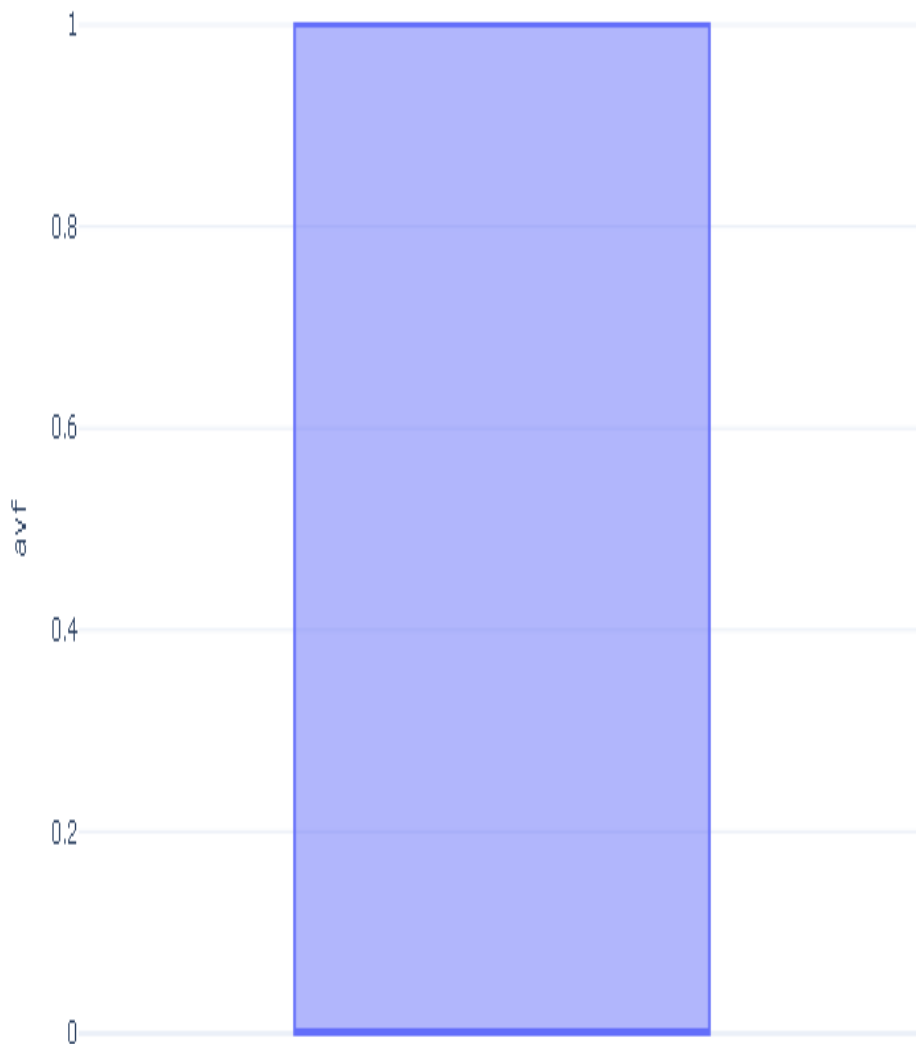


Figura: Boxplot de avf

Variable: avr

Estadísticas Descriptivas

Estadística	Valor
Observaciones	3,057
Valores faltantes	55 (1.77%)
Media	0.0020
Mediana	N/A
Desviación estándar	0.0443
Mínimo	N/A
Q1 (25%)	N/A
Q3 (75%)	N/A
Máximo	1.0000
Asimetría	22.5166
Curtosis	505.3301

Test de Normalidad (Shapiro-Wilk)

Error al calcular test de normalidad: 'UnivariateStats' object has no attribute 'shapiro'

Detección de Outliers (Método IQR)

Métrica	Valor
Q1 (25%)	0.0000
Q3 (75%)	0.0000
IQR	0.0000
Límite inferior	0.0000
Límite superior	0.0000
Número de outliers	6 (0.20%)

Visualizaciones

Distribution of avr

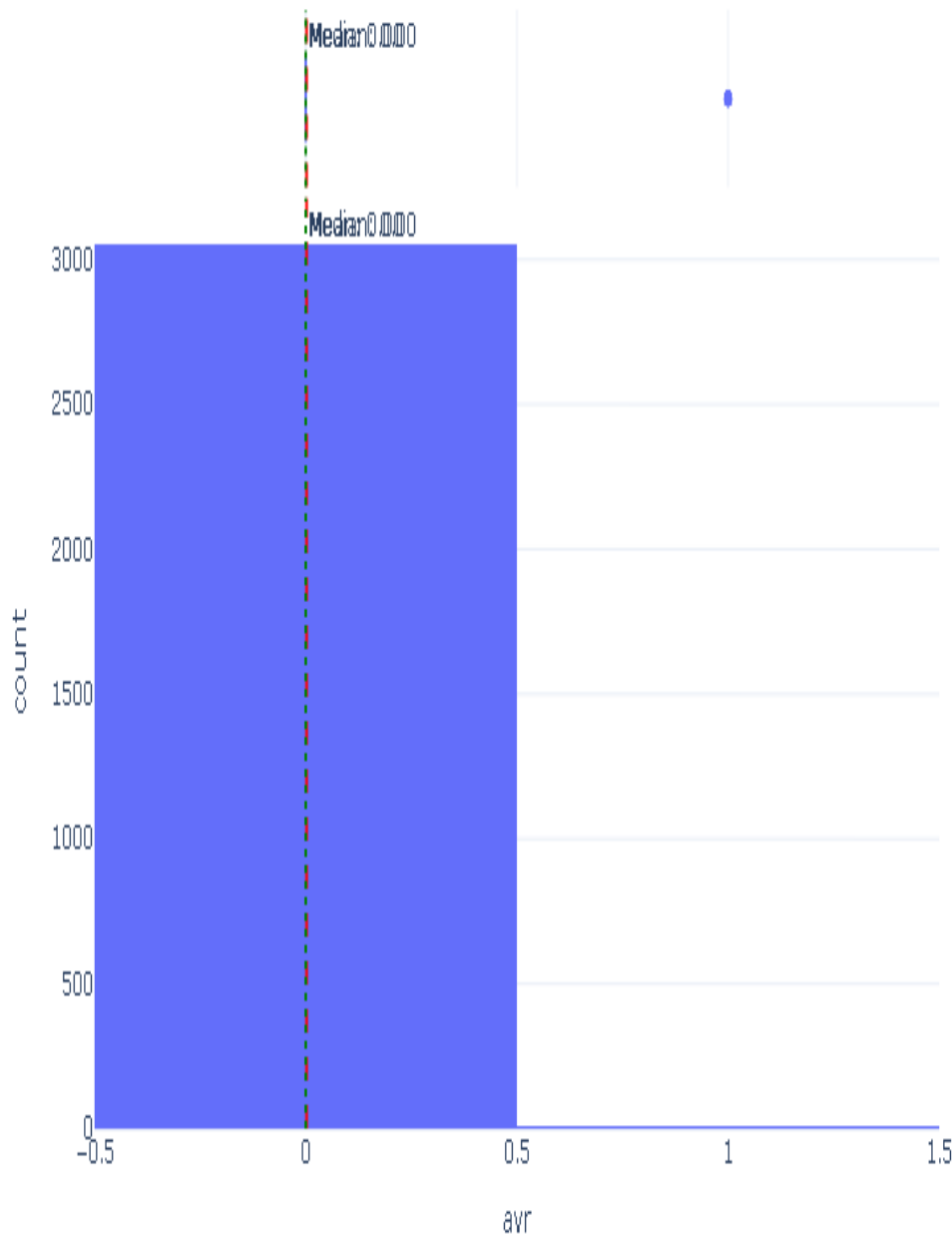


Figura: Distribución de `avr`

Boxplot of avr

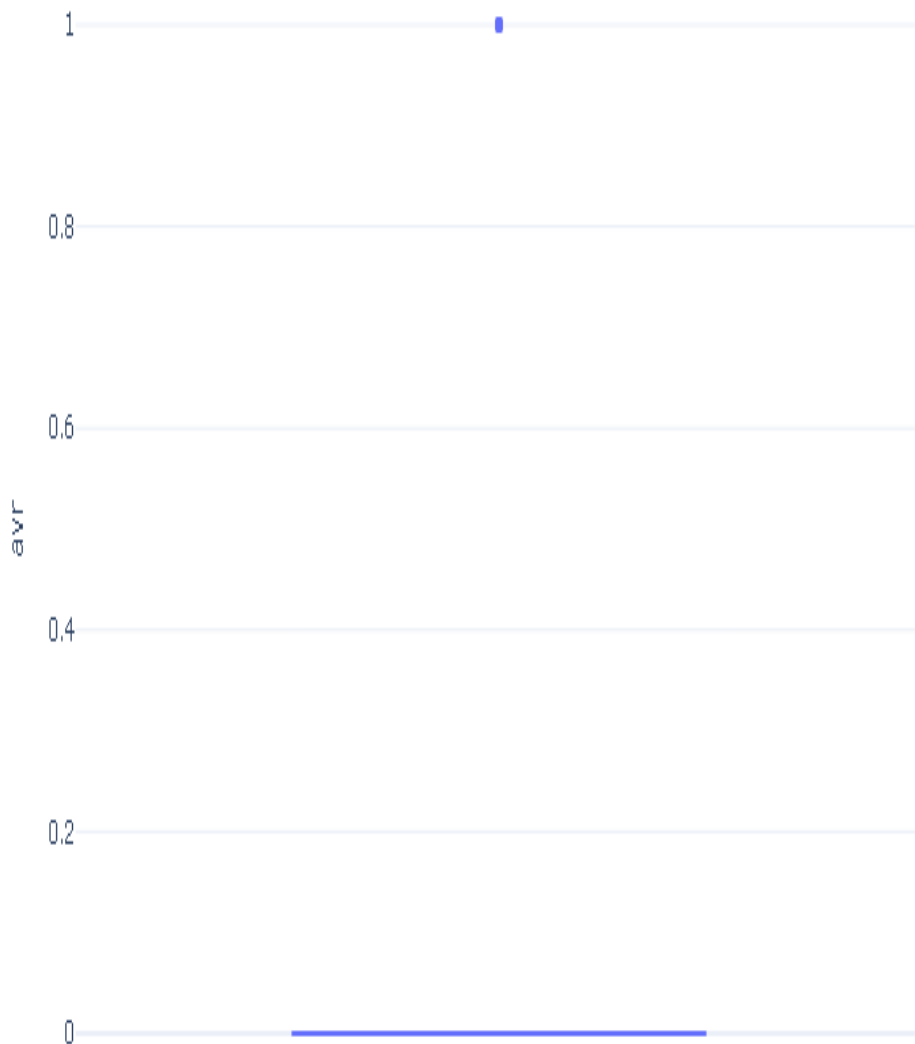


Figura: Boxplot de avr

Variable: v3r

Estadísticas Descriptivas

Estadística	Valor
Observaciones	3,057
Valores faltantes	55 (1.77%)
Media	0.0281
Mediana	N/A
Desviación estándar	0.1654
Mínimo	N/A
Q1 (25%)	N/A
Q3 (75%)	N/A
Máximo	1.0000
Asimetría	5.7103
Curtosis	30.6275

Test de Normalidad (Shapiro-Wilk)

Error al calcular test de normalidad: 'UnivariateStats' object has no attribute 'shapiro'

Detección de Outliers (Método IQR)

Métrica	Valor
Q1 (25%)	0.0000
Q3 (75%)	0.0000
IQR	0.0000
Límite inferior	0.0000
Límite superior	0.0000
Número de outliers	86 (2.81%)

Visualizaciones

Distribution of v3r

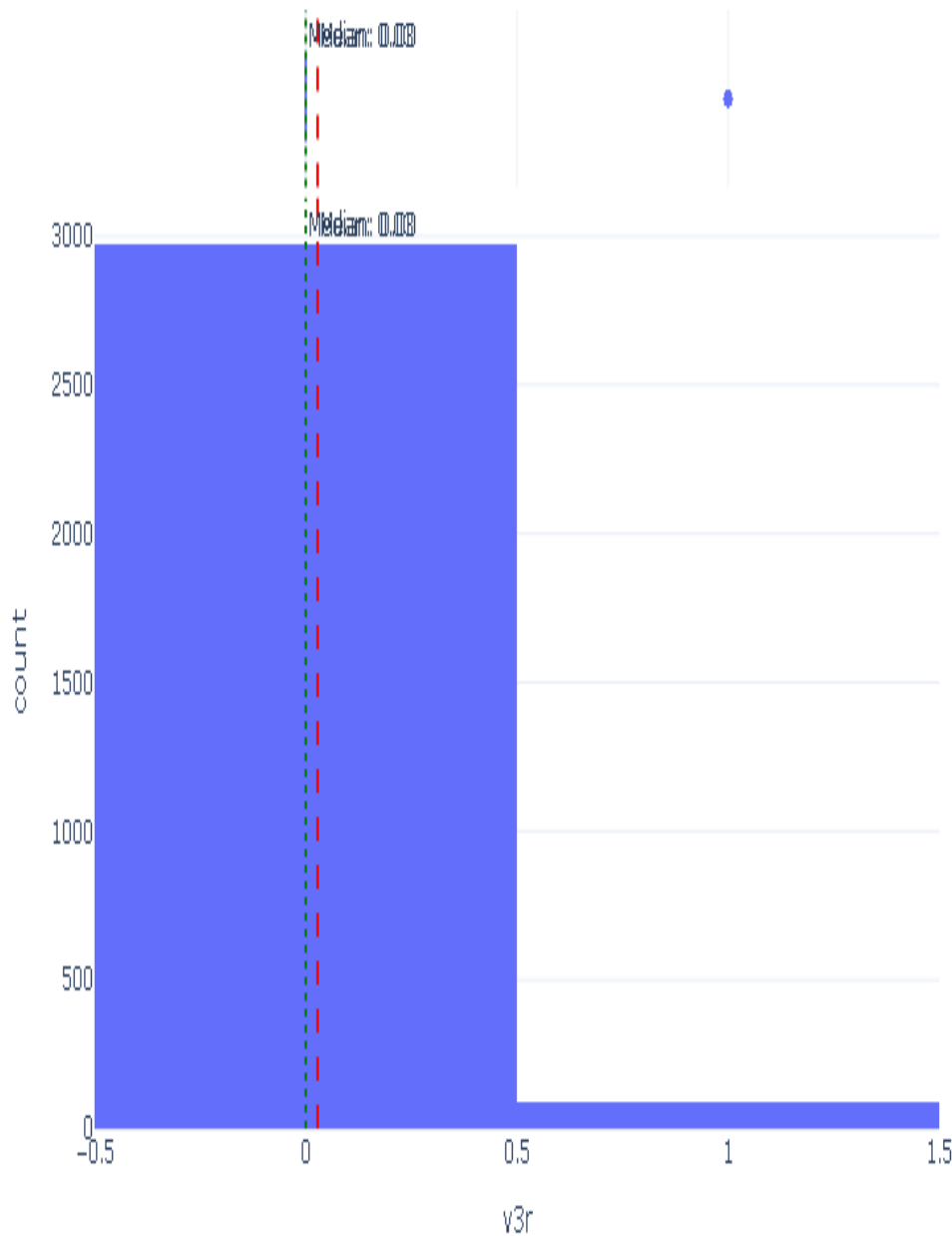


Figura: Distribución de $v3r$

Boxplot of v3r

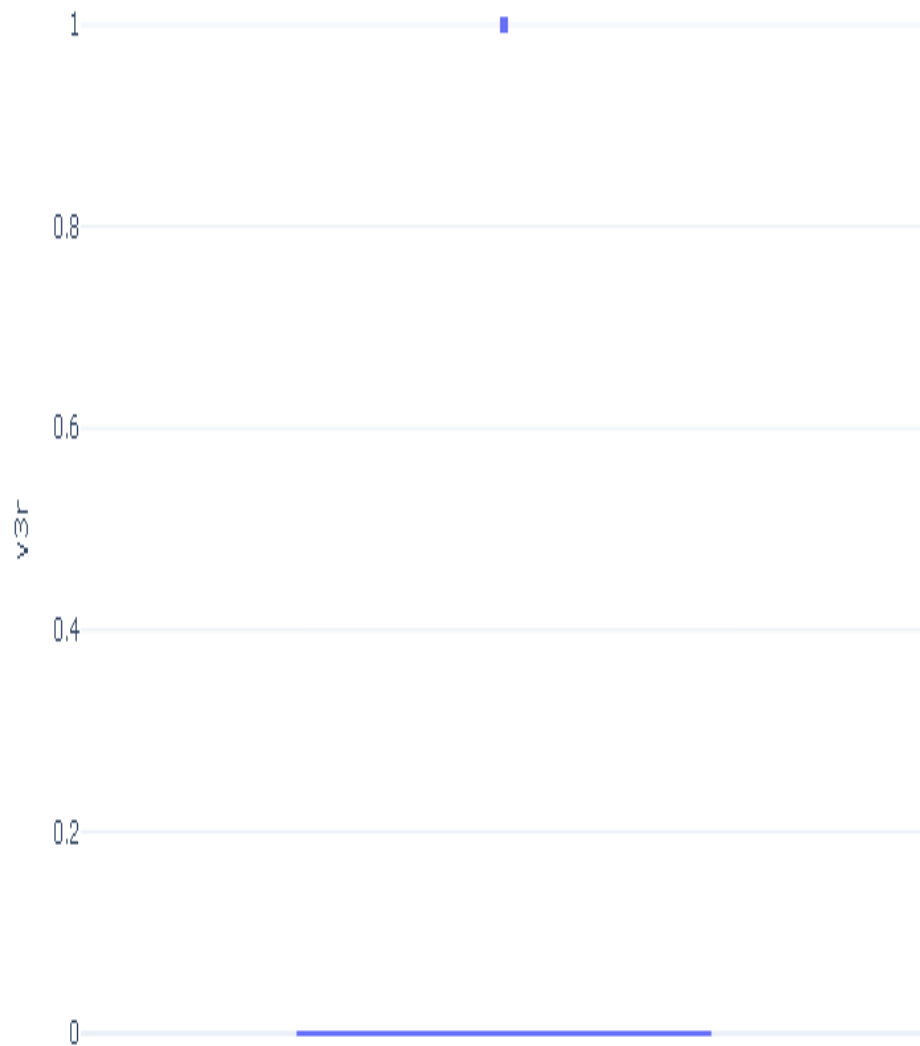


Figura: Boxplot de v3r

Variable: v4r

Estadísticas Descriptivas

Estadística	Valor
Observaciones	3,057
Valores faltantes	55 (1.77%)
Media	0.0288
Mediana	N/A
Desviación estándar	0.1672
Mínimo	N/A
Q1 (25%)	N/A
Q3 (75%)	N/A
Máximo	1.0000
Asimetría	5.6391
Curtosis	29.8190

Test de Normalidad (Shapiro-Wilk)

Error al calcular test de normalidad: 'UnivariateStats' object has no attribute 'shapiro'

Detección de Outliers (Método IQR)

Métrica	Valor
Q1 (25%)	0.0000
Q3 (75%)	0.0000
IQR	0.0000
Límite inferior	0.0000
Límite superior	0.0000
Número de outliers	88 (2.88%)

Visualizaciones

Distribution of v4r

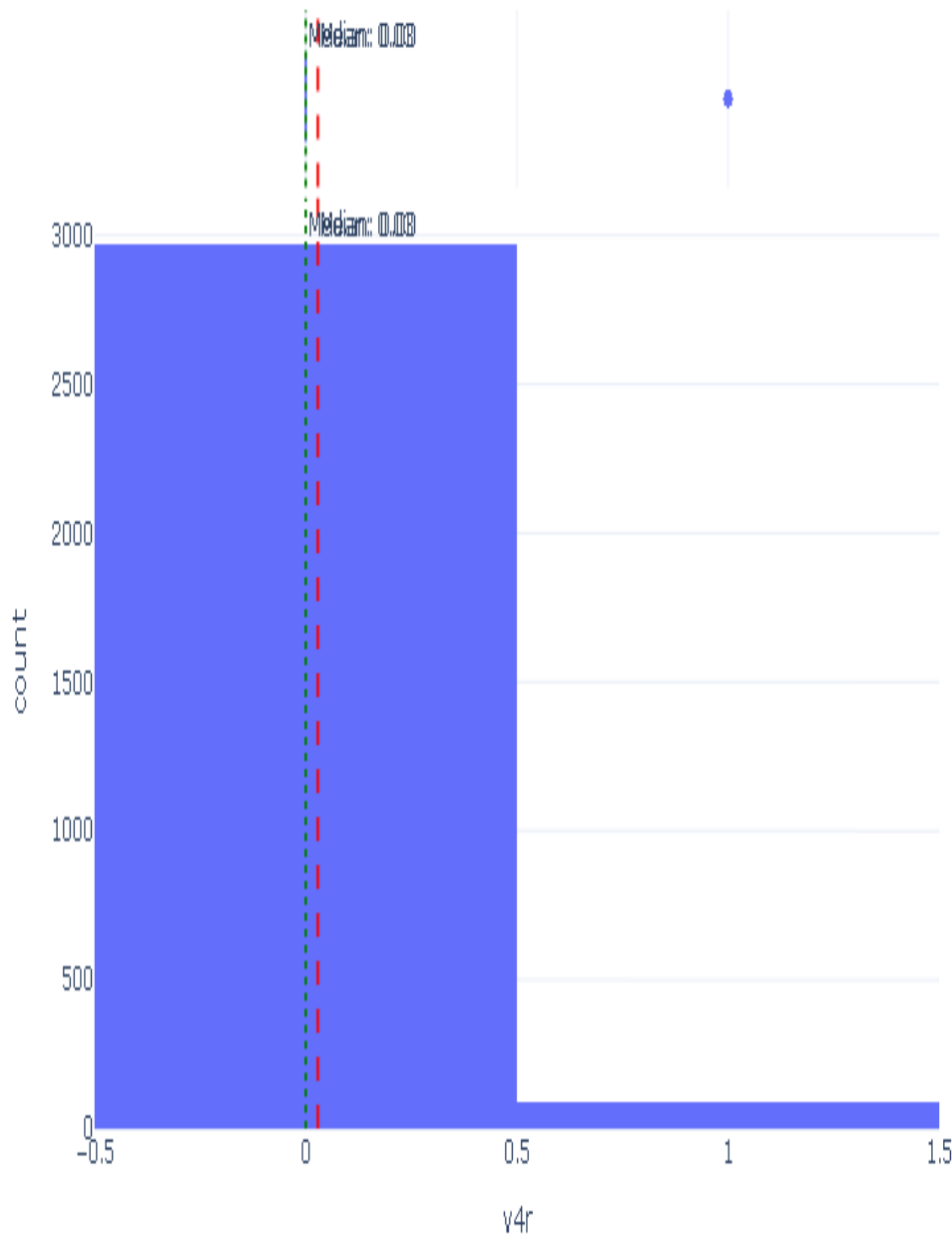


Figura: Distribución de v4r

Boxplot of v4r

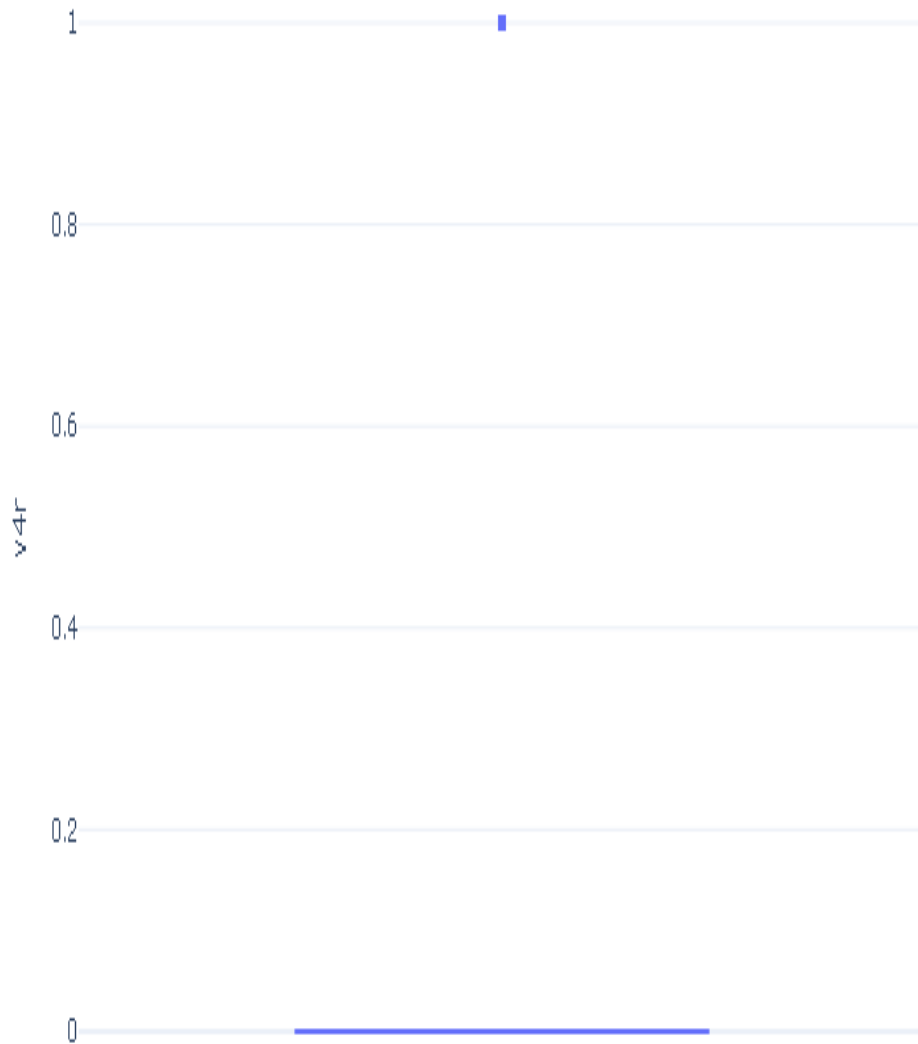


Figura: Boxplot de v4r

Variable: diabetes_mellitus

Estadísticas Descriptivas

Estadística	Valor
Observaciones	3,112
Valores faltantes	0 (0.00%)
Media	0.2709
Mediana	N/A
Desviación estándar	0.4445
Mínimo	N/A
Q1 (25%)	N/A
Q3 (75%)	1.0000
Máximo	1.0000
Asimetría	1.0316
Curtosis	-0.9365

Test de Normalidad (Shapiro-Wilk)

Error al calcular test de normalidad: 'UnivariateStats' object has no attribute 'shapiro'

Detección de Outliers (Método IQR)

Métrica	Valor
Q1 (25%)	0.0000
Q3 (75%)	1.0000
IQR	1.0000
Límite inferior	-1.5000
Límite superior	2.5000
Número de outliers	0 (0.00%)

Visualizaciones

Distribution of diabetes_mellitus

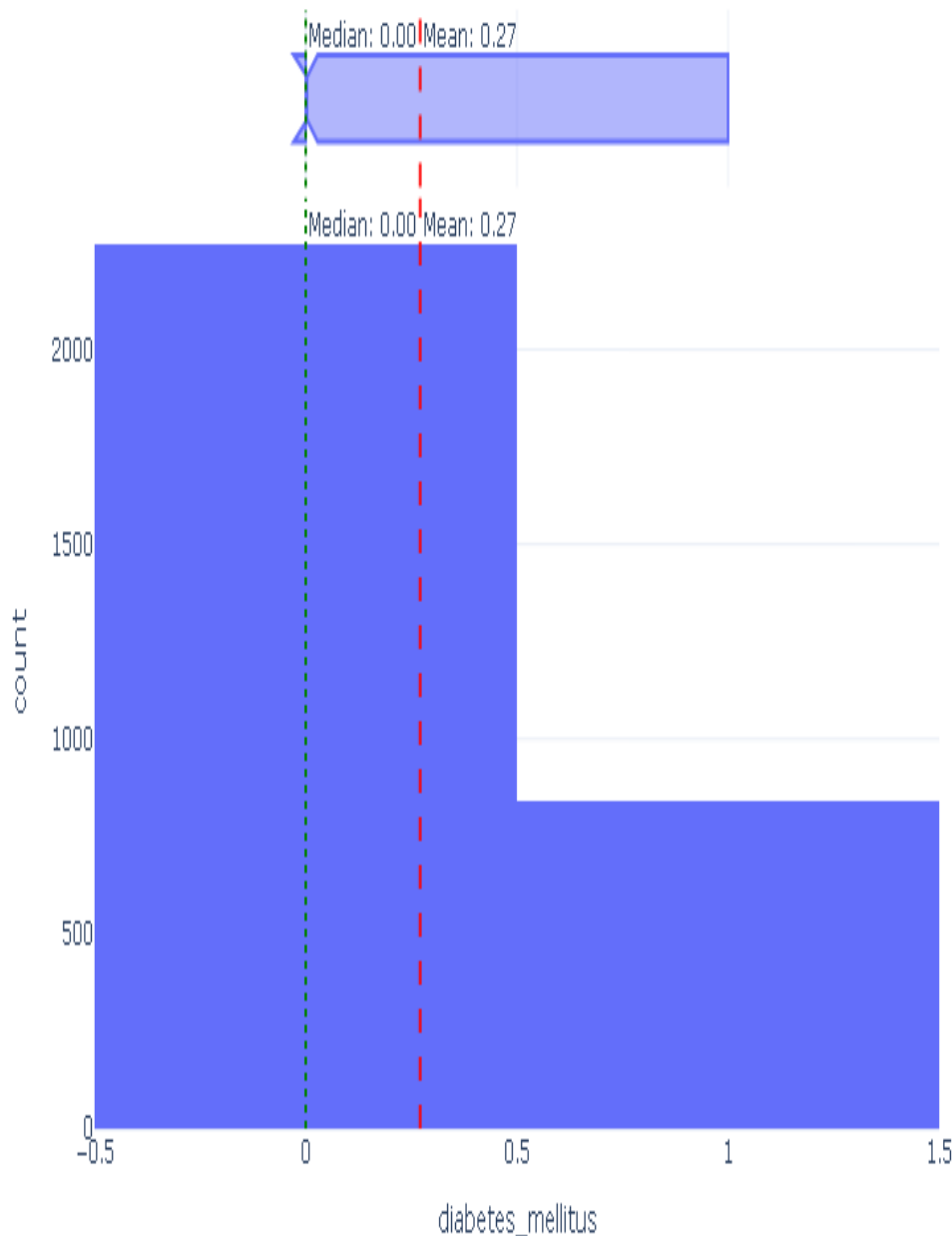


Figura: Distribución de `diabetes_mellitus`

Boxplot of diabetes_mellitus

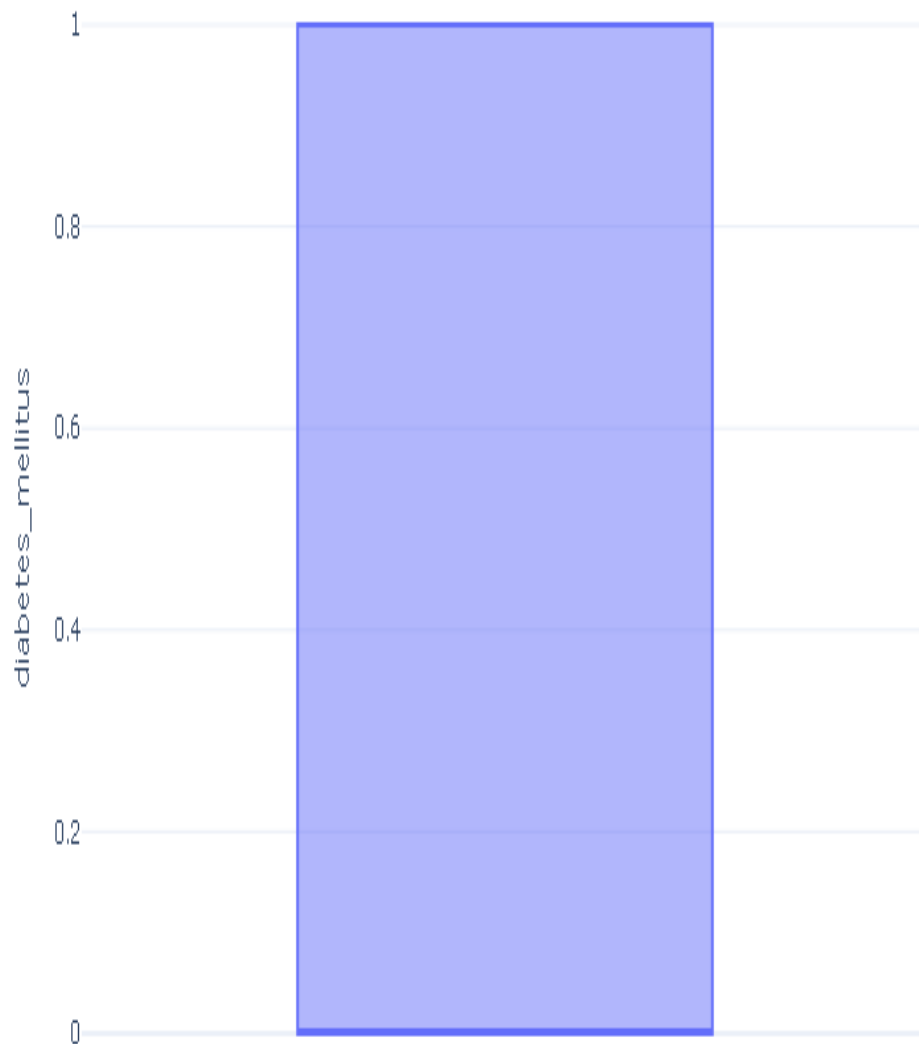


Figura: Boxplot de diabetes_mellitus

Variable: insulina

Estadísticas Descriptivas

Estadística	Valor
Observaciones	521
Valores faltantes	2591 (83.26%)
Media	5.1958
Mediana	4.0000
Desviación estándar	5.7809
Mínimo	N/A
Q1 (25%)	N/A
Q3 (75%)	7.0000
Máximo	45.0000
Asimetría	2.2681
Curtosis	8.1760

Test de Normalidad (Shapiro-Wilk)

Error al calcular test de normalidad: 'UnivariateStats' object has no attribute 'shapiro'

Detección de Outliers (Método IQR)

Métrica	Valor
Q1 (25%)	0.0000
Q3 (75%)	7.0000
IQR	7.0000
Límite inferior	-10.5000
Límite superior	17.5000
Número de outliers	20 (3.84%)

Visualizaciones

Distribution of insulina

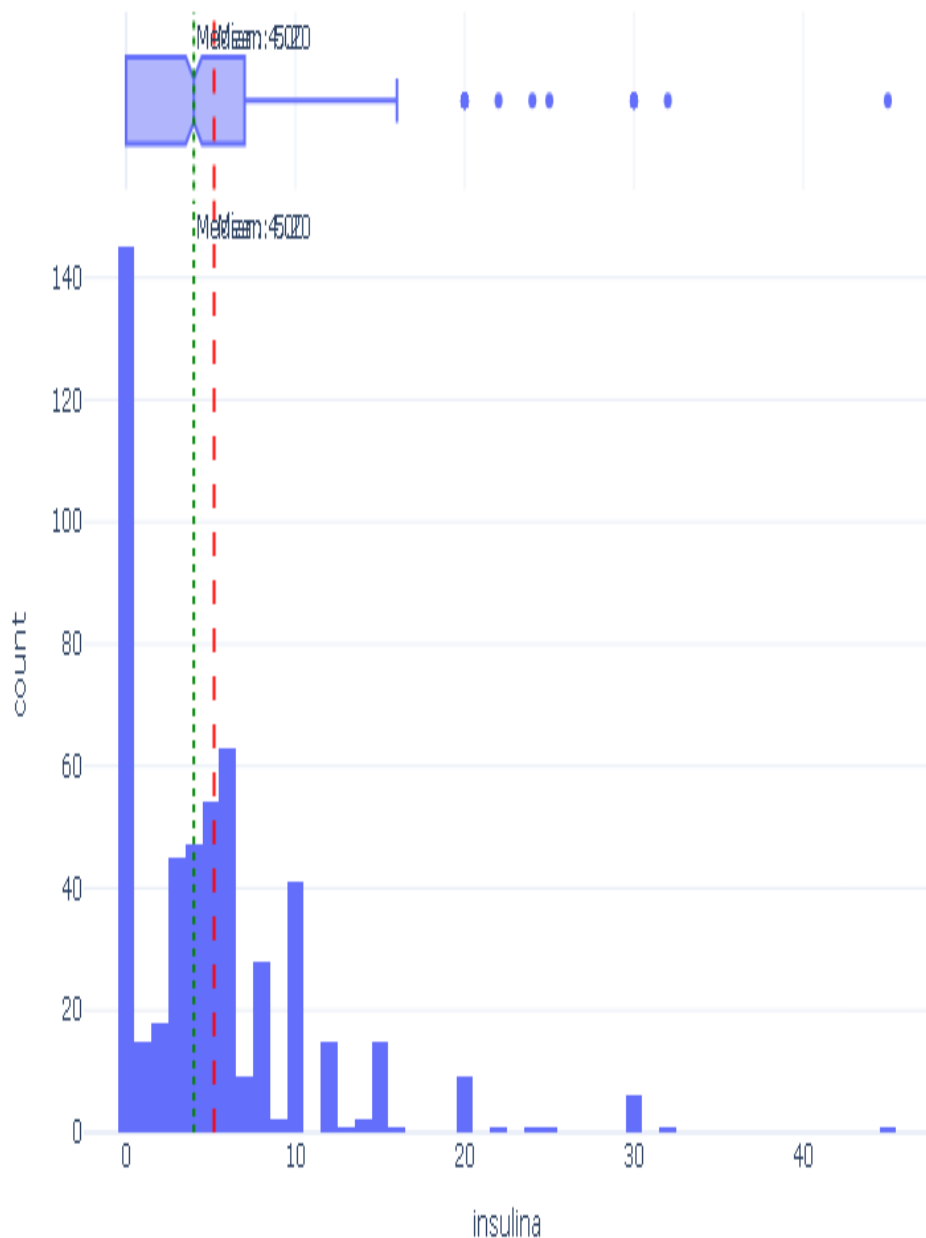


Figura: Distribución de insulina

Boxplot of insulina

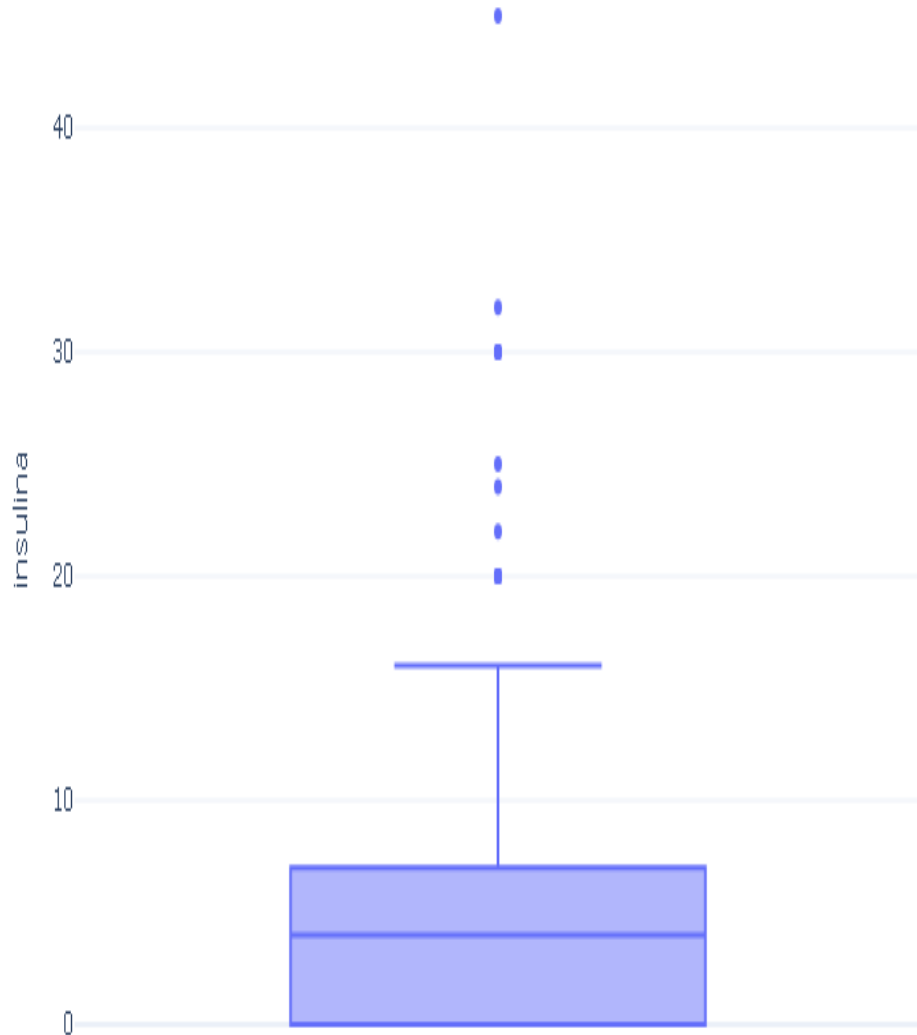


Figura: Boxplot de insulina

Variable: insuficiencia_cardiaca_congestiva

Estadísticas Descriptivas

Estadística	Valor
Observaciones	3,112
Valores faltantes	0 (0.00%)
Media	0.0164
Mediana	N/A
Desviación estándar	0.1270
Mínimo	N/A
Q1 (25%)	N/A
Q3 (75%)	N/A
Máximo	1.0000
Asimetría	7.6218
Curtosis	56.1283

Test de Normalidad (Shapiro-Wilk)

Error al calcular test de normalidad: 'UnivariateStats' object has no attribute 'shapiro'

Detección de Outliers (Método IQR)

Métrica	Valor
Q1 (25%)	0.0000
Q3 (75%)	0.0000
IQR	0.0000
Límite inferior	0.0000
Límite superior	0.0000
Número de outliers	51 (1.64%)

Visualizaciones

Distribution of insuficiencia_cardiaca_congestiva

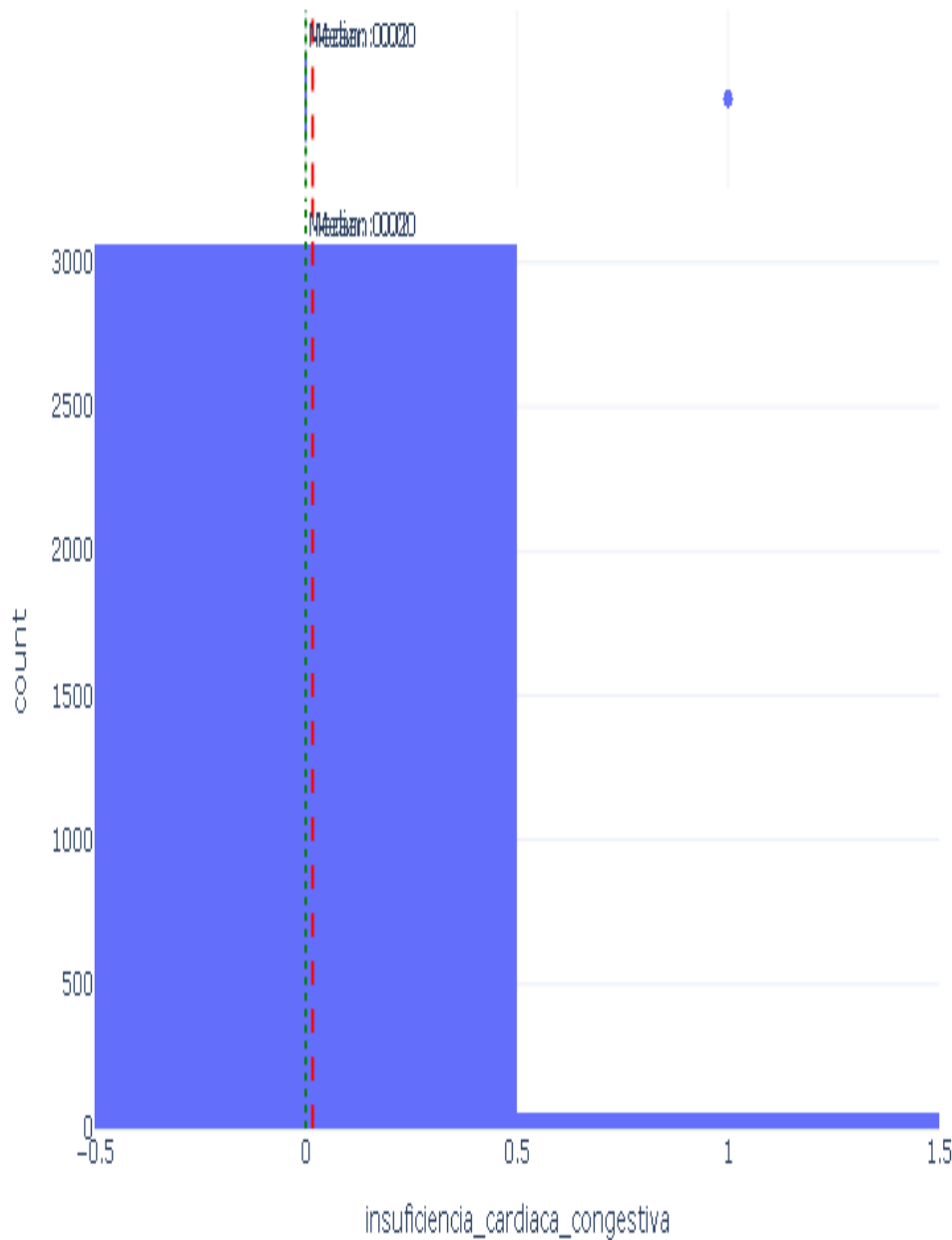


Figura: Distribución de insuficiencia_cardiaca_congestiva

Boxplot of insuficiencia_cardiaca_congestiva

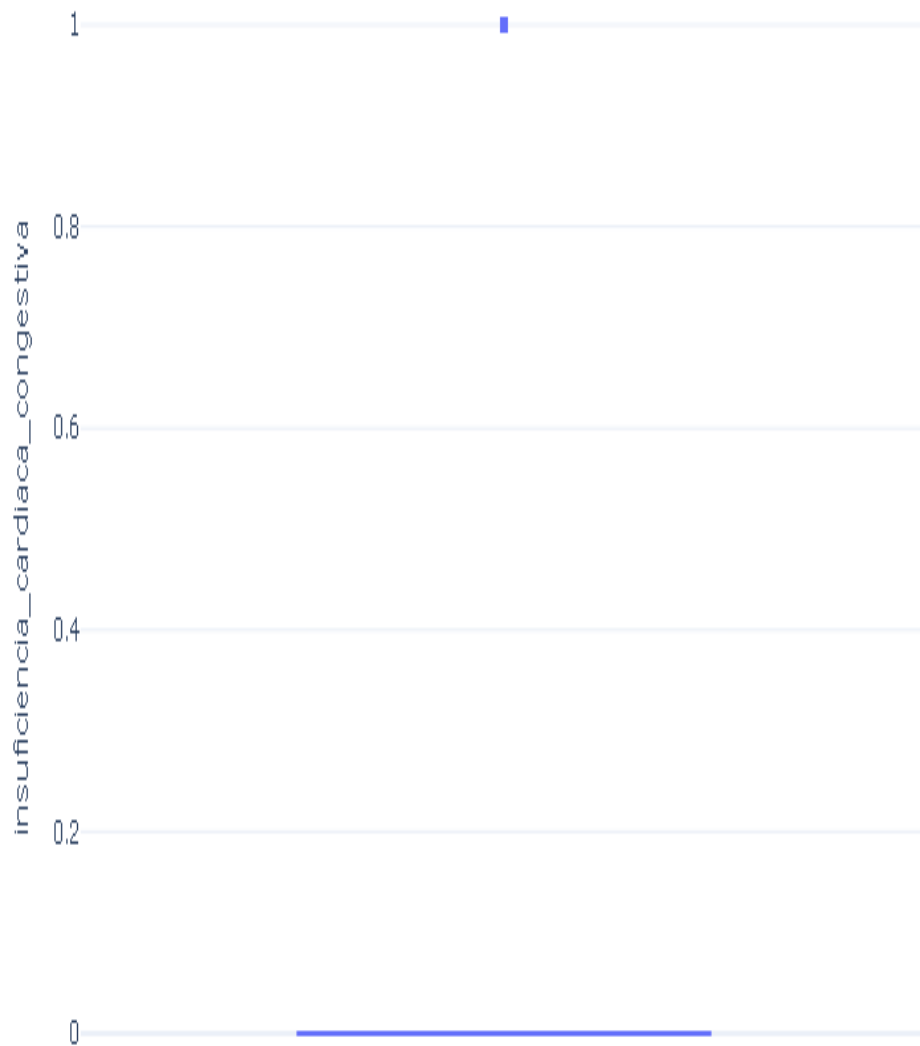


Figura: Boxplot de insuficiencia_cardiaca_congestiva

Variable: hypertension_arterial

Estadísticas Descriptivas

Estadística	Valor
Observaciones	3,112
Valores faltantes	0 (0.00%)
Media	0.7844
Mediana	1.0000
Desviación estándar	0.4113
Mínimo	N/A
Q1 (25%)	1.0000
Q3 (75%)	1.0000
Máximo	1.0000
Asimetría	-1.3837
Curtosis	-0.0855

Test de Normalidad (Shapiro-Wilk)

Error al calcular test de normalidad: 'UnivariateStats' object has no attribute 'shapiro'

Detección de Outliers (Método IQR)

Métrica	Valor
Q1 (25%)	1.0000
Q3 (75%)	1.0000
IQR	0.0000
Límite inferior	1.0000
Límite superior	1.0000
Número de outliers	671 (21.56%)

Visualizaciones

Distribution of hypertension_arterial

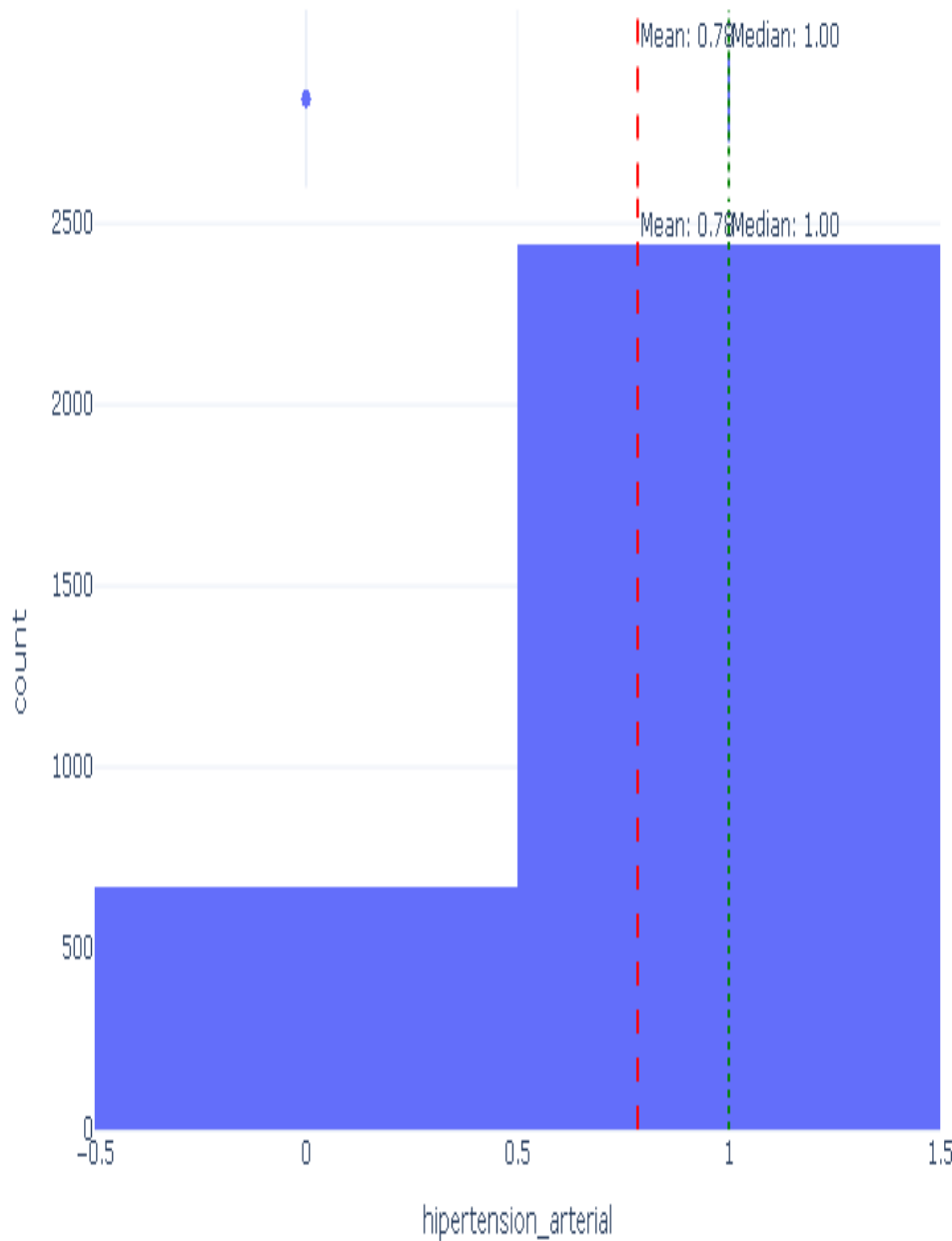


Figura: Distribución de `hypertension_arterial`

Boxplot of hypertension_arterial

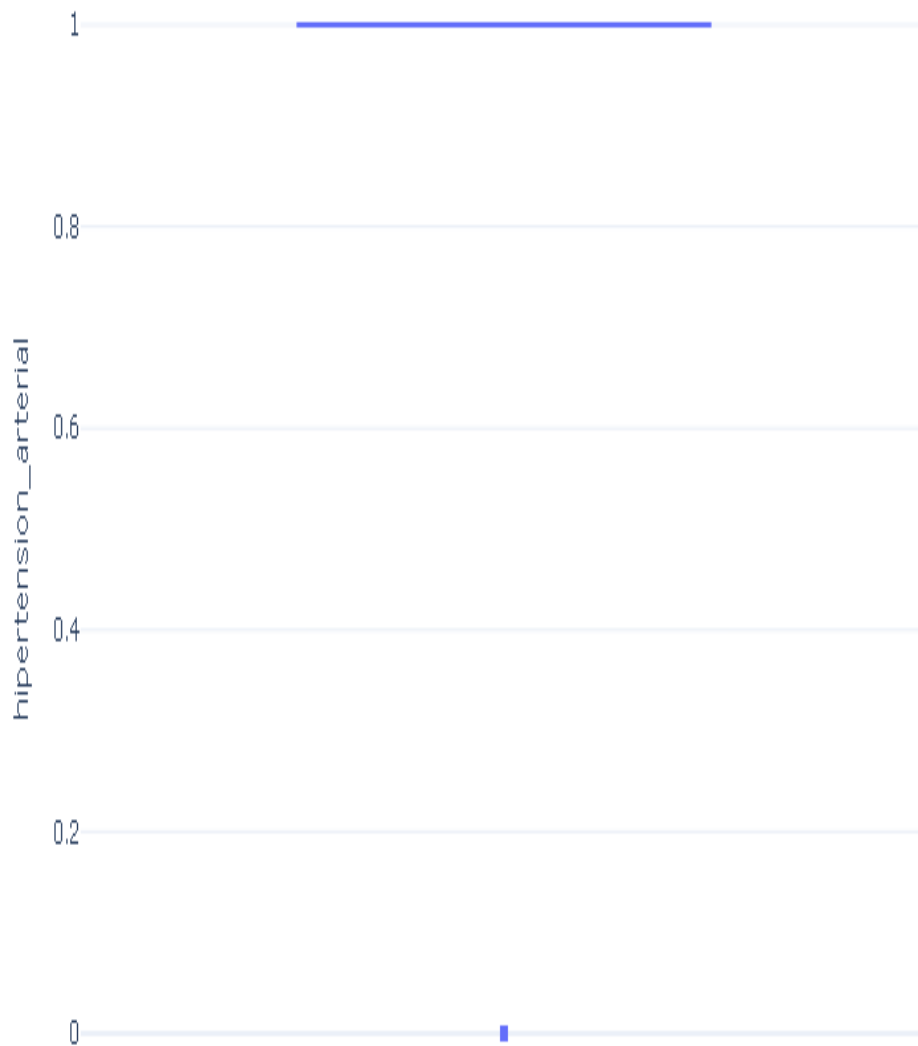


Figura: Boxplot de hypertension_arterial

Variable: hiperlipoproteinemia

Estadísticas Descriptivas

Estadística	Valor
Observaciones	3,112
Valores faltantes	0 (0.00%)
Media	0.0604
Mediana	N/A
Desviación estándar	0.2383
Mínimo	N/A
Q1 (25%)	N/A
Q3 (75%)	N/A
Máximo	1.0000
Asimetría	3.6920
Curtosis	11.6381

Test de Normalidad (Shapiro-Wilk)

Error al calcular test de normalidad: 'UnivariateStats' object has no attribute 'shapiro'

Detección de Outliers (Método IQR)

Métrica	Valor
Q1 (25%)	0.0000
Q3 (75%)	0.0000
IQR	0.0000
Límite inferior	0.0000
Límite superior	0.0000
Número de outliers	188 (6.04%)

Visualizaciones

Distribution of hiperlipoproteinemia

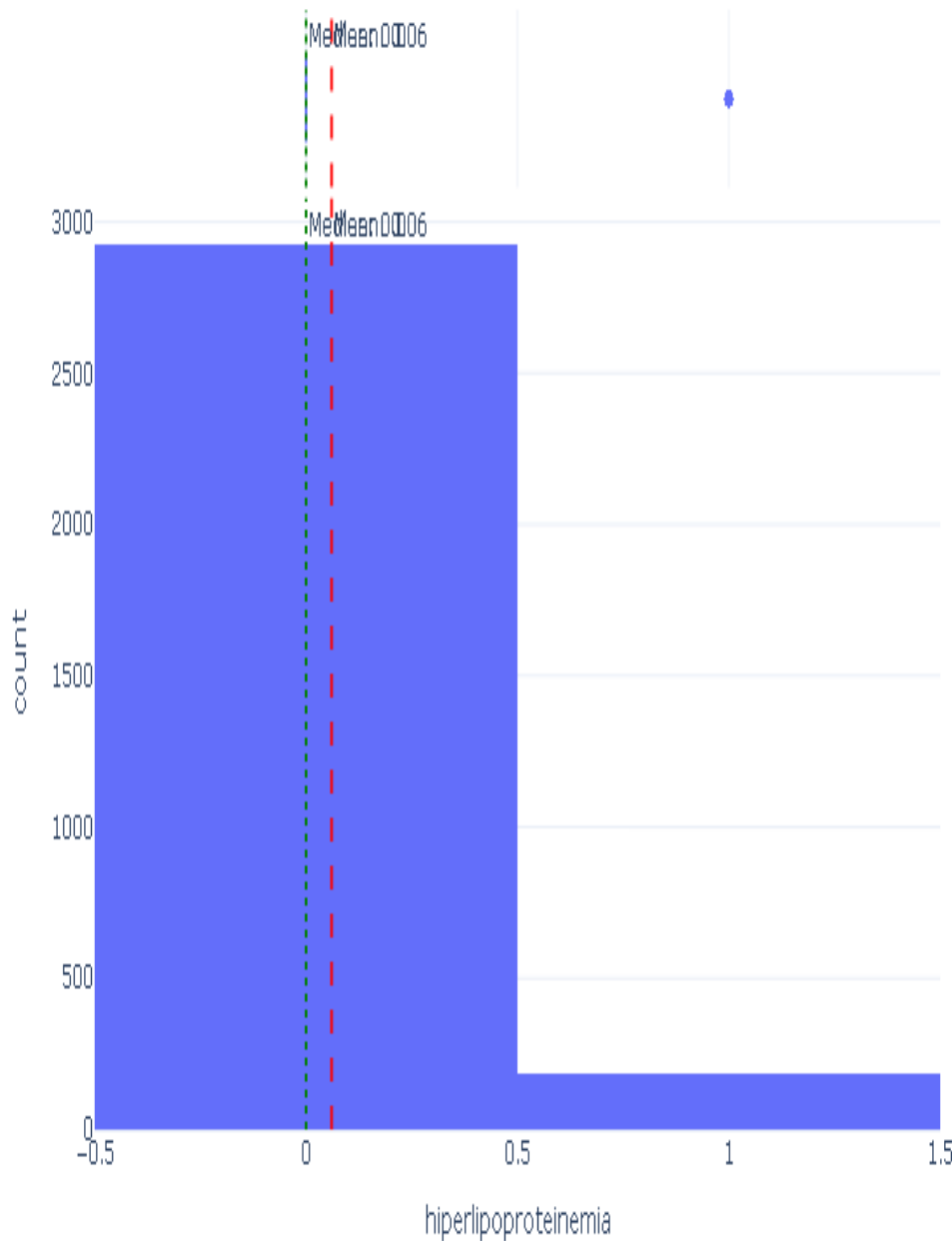


Figura: Distribución de hiperlipoproteinemia

Boxplot of hiperlipoproteinemia

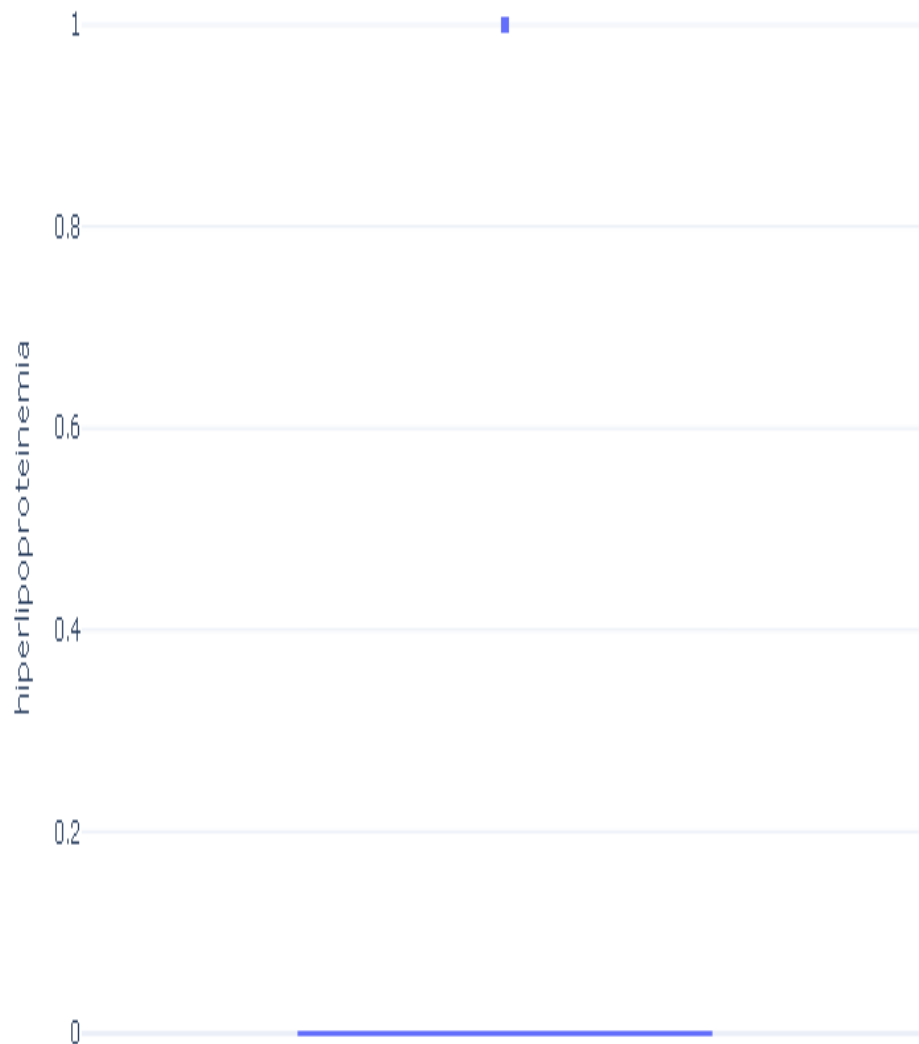


Figura: Boxplot de hiperlipoproteinemia

Variable: enfermedad_arterias_coronarias

Estadísticas Descriptivas

Estadística	Valor
Observaciones	3,112
Valores faltantes	0 (0.00%)
Media	0.2336
Mediana	N/A
Desviación estándar	0.4232
Mínimo	N/A
Q1 (25%)	N/A
Q3 (75%)	N/A
Máximo	1.0000
Asimetría	1.2597
Curtosis	-0.4133

Test de Normalidad (Shapiro-Wilk)

Error al calcular test de normalidad: 'UnivariateStats' object has no attribute 'shapiro'

Detección de Outliers (Método IQR)

Métrica	Valor
Q1 (25%)	0.0000
Q3 (75%)	0.0000
IQR	0.0000
Límite inferior	0.0000
Límite superior	0.0000
Número de outliers	727 (23.36%)

Visualizaciones

Distribution of enfermedad_arterias_coronarias

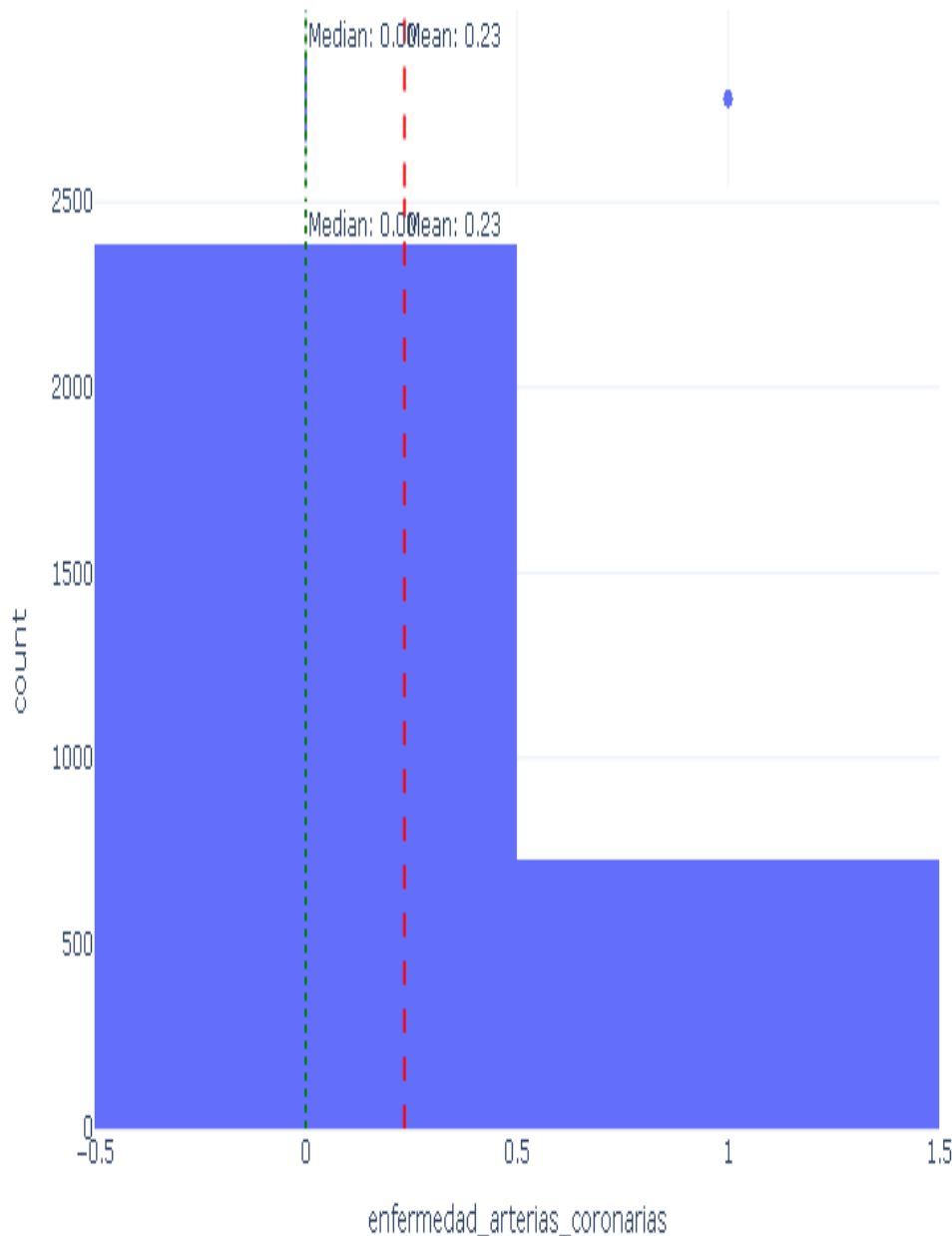


Figura: Distribución de enfermedad_arterias_coronarias

Boxplot of enfermedad_arterias_coronarias

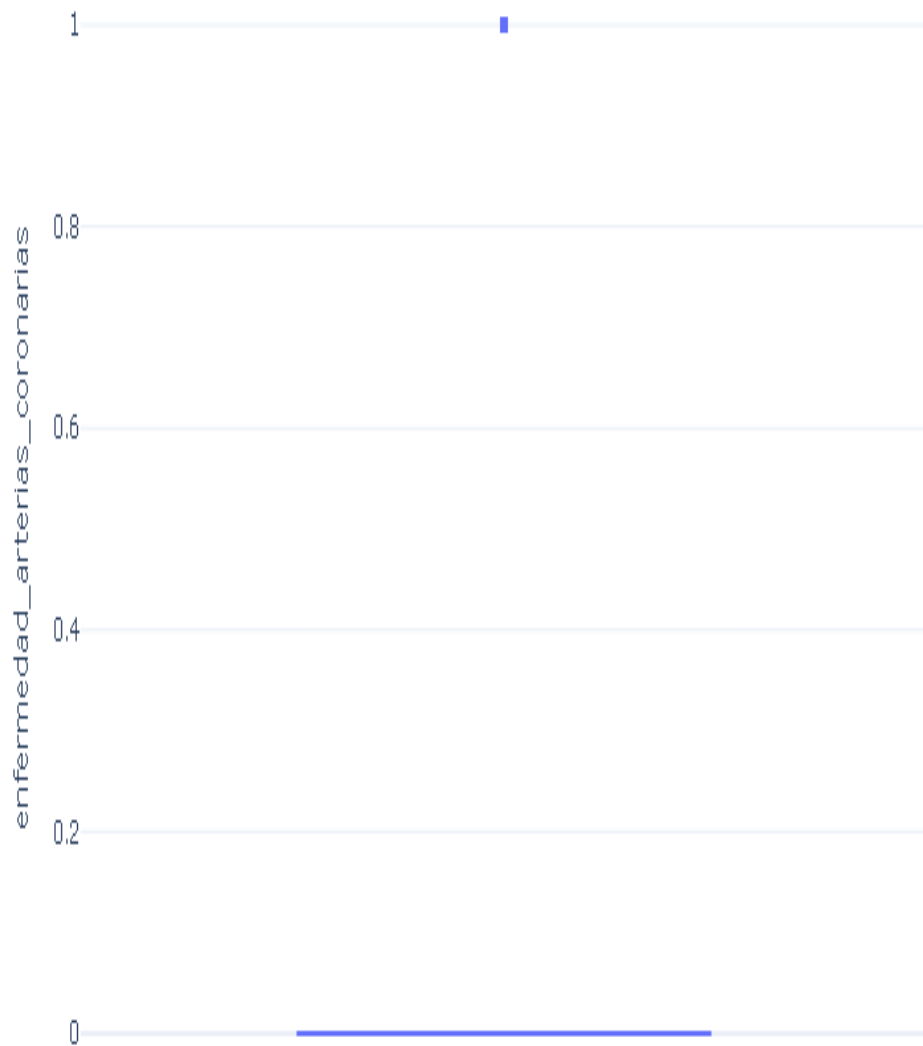


Figura: Boxplot de enfermedad_arterias_coronarias

Variable: infarto_miocardio_agudo

Estadísticas Descriptivas

Estadística	Valor
Observaciones	3,112
Valores faltantes	0 (0.00%)
Media	0.0749
Mediana	N/A
Desviación estándar	0.2632
Mínimo	N/A
Q1 (25%)	N/A
Q3 (75%)	N/A
Máximo	1.0000
Asimetría	3.2322
Curtosis	8.4527

Test de Normalidad (Shapiro-Wilk)

Error al calcular test de normalidad: 'UnivariateStats' object has no attribute 'shapiro'

Detección de Outliers (Método IQR)

Métrica	Valor
Q1 (25%)	0.0000
Q3 (75%)	0.0000
IQR	0.0000
Límite inferior	0.0000
Límite superior	0.0000
Número de outliers	233 (7.49%)

Visualizaciones

Distribution of infarto_miocardio_agudo

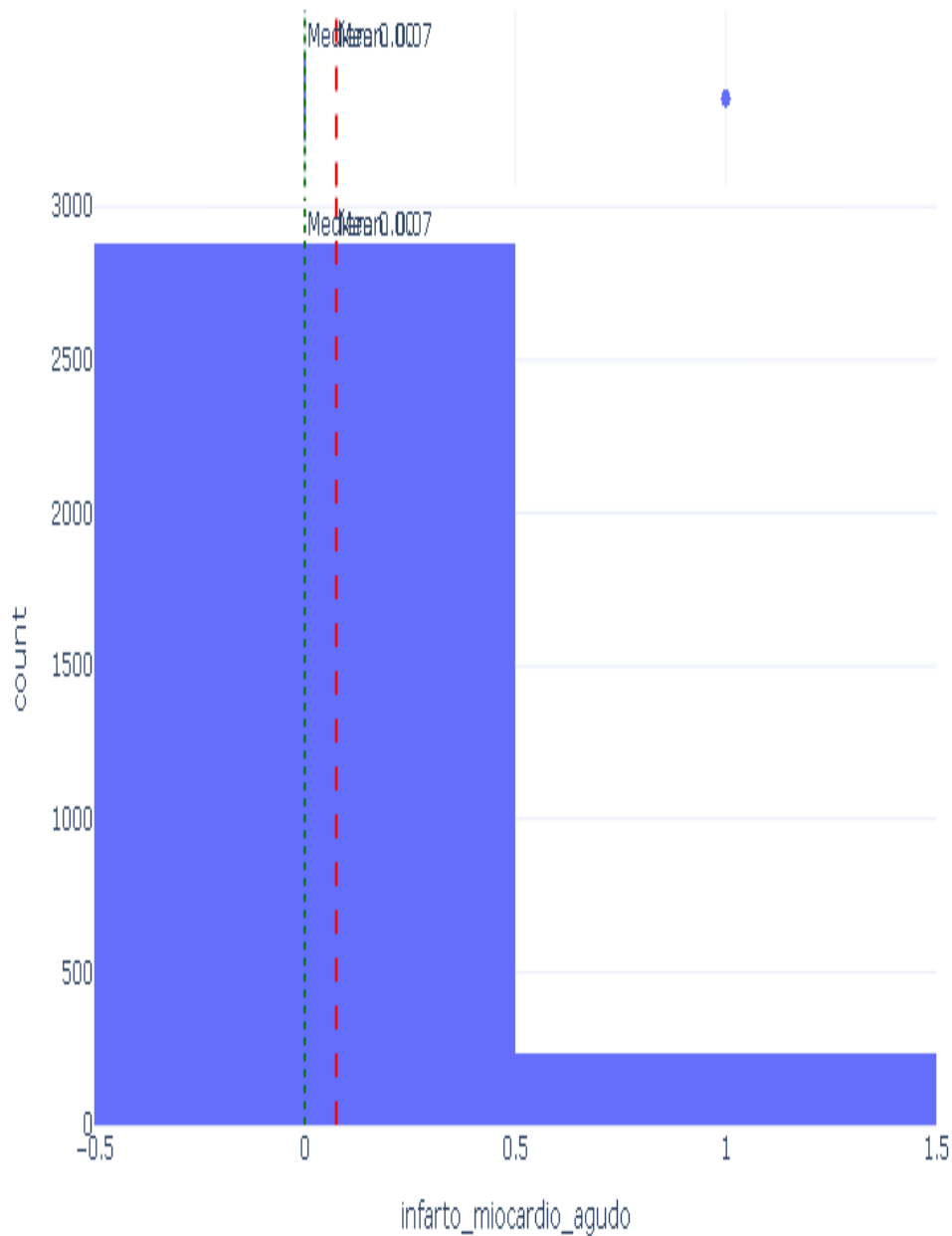


Figura: Distribución de infarto_miocardio_agudo

Boxplot of infarto_miocardio_agudo

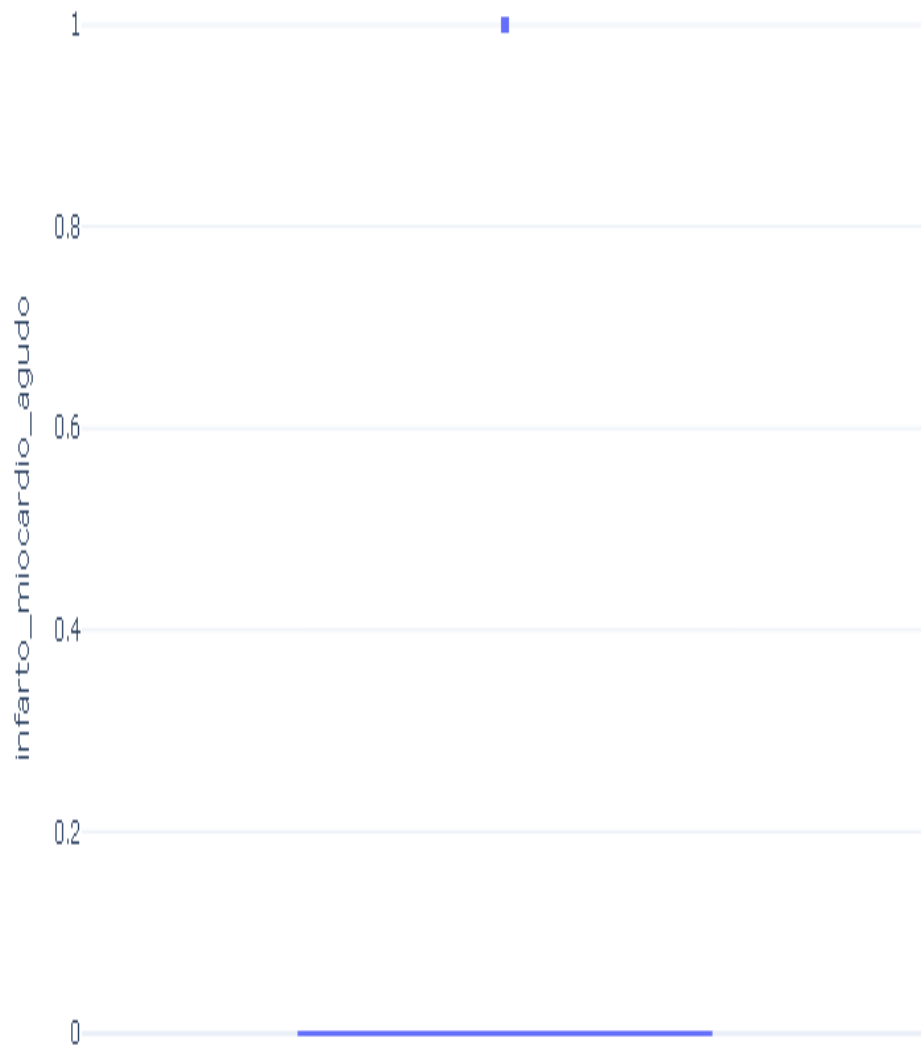


Figura: Boxplot de infarto_miocardio_agudo

Variable: fibrilacion_auricular

Estadísticas Descriptivas

Estadística	Valor
Observaciones	3,112
Valores faltantes	0 (0.00%)
Media	0.0183
Mediana	N/A
Desviación estándar	0.1341
Mínimo	N/A
Q1 (25%)	N/A
Q3 (75%)	N/A
Máximo	1.0000
Asimetría	7.1878
Curtosis	49.6969

Test de Normalidad (Shapiro-Wilk)

Error al calcular test de normalidad: 'UnivariateStats' object has no attribute 'shapiro'

Detección de Outliers (Método IQR)

Métrica	Valor
Q1 (25%)	0.0000
Q3 (75%)	0.0000
IQR	0.0000
Límite inferior	0.0000
Límite superior	0.0000
Número de outliers	57 (1.83%)

Visualizaciones

Distribution of fibrilacion_auricular

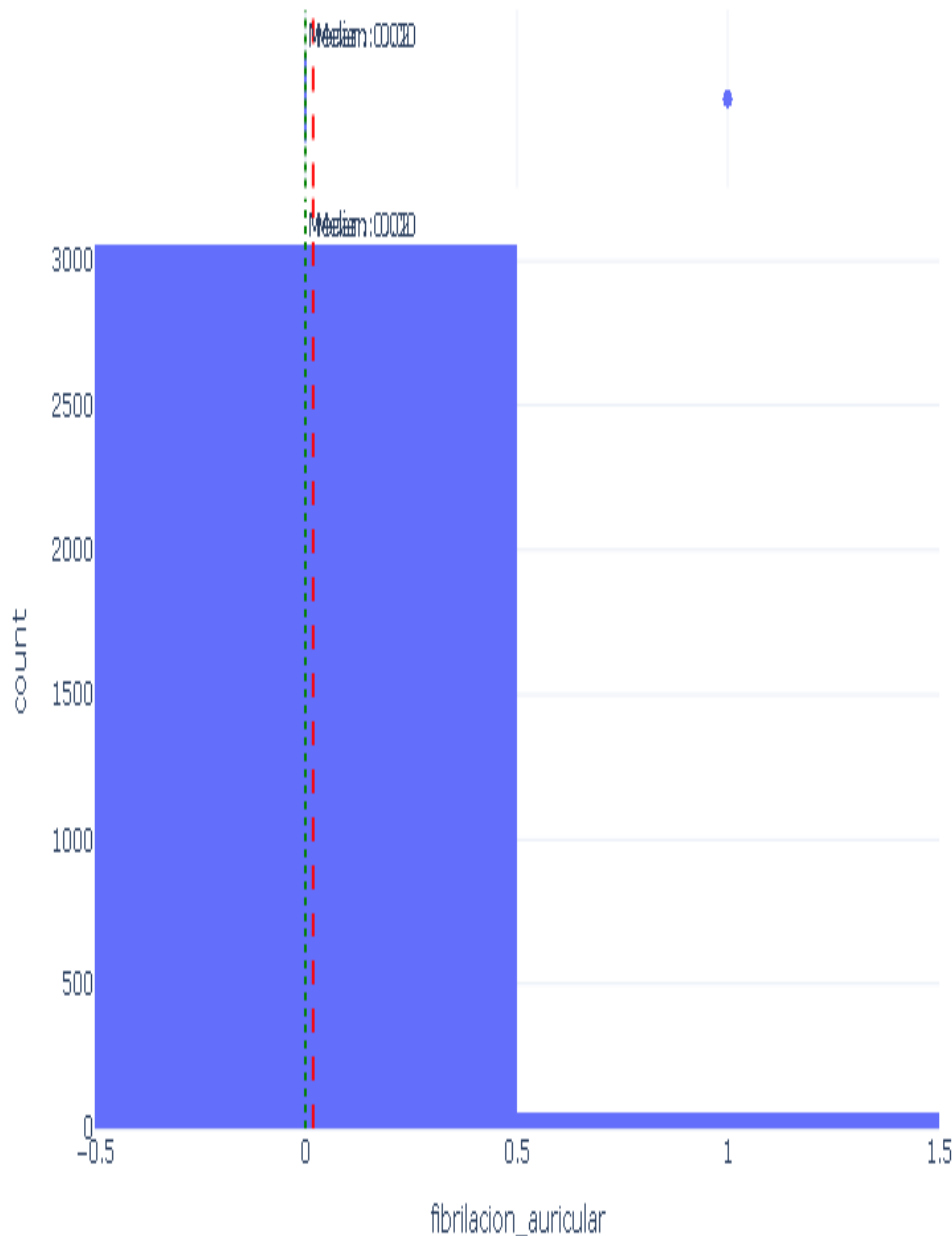


Figura: Distribución de fibrilacion_auricular

Boxplot of fibrilacion_auricular

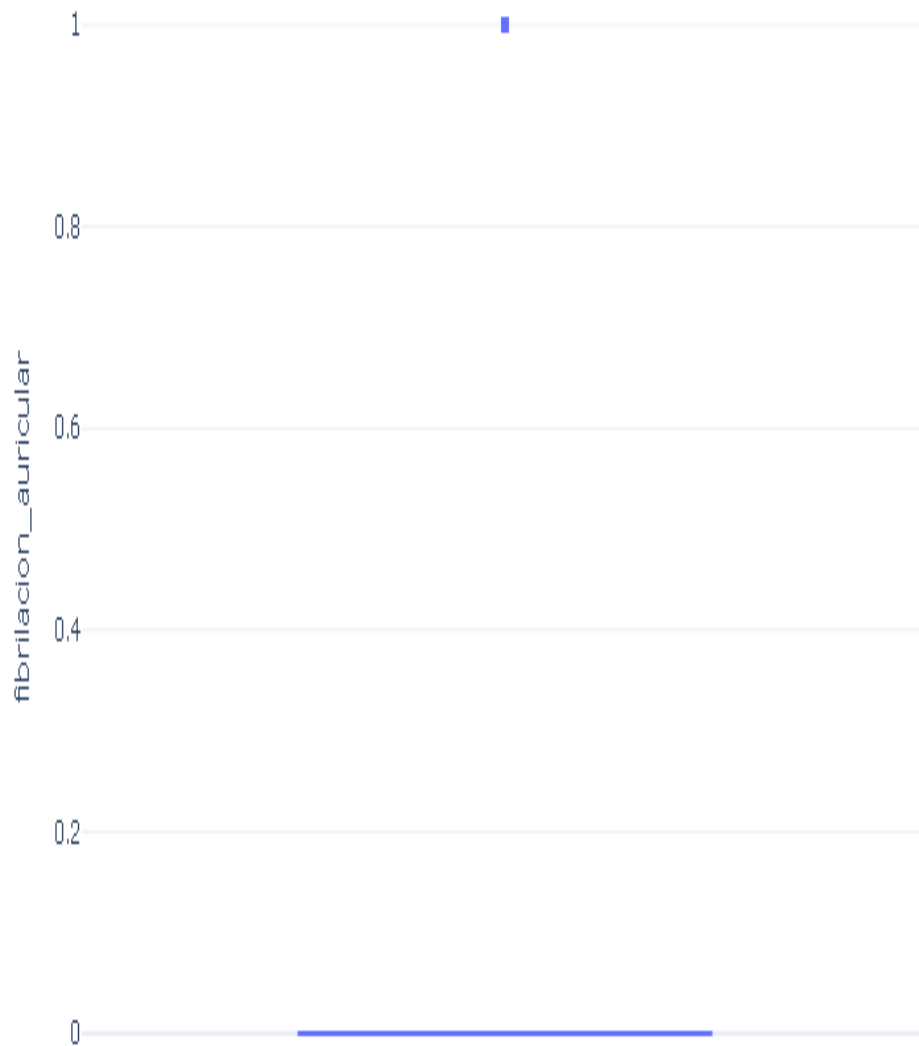


Figura: Boxplot de fibrilacion_auricular

Variable: intervencion_coronaria_percutanea

Estadísticas Descriptivas

Estadística	Valor
Observaciones	3,112
Valores faltantes	0 (0.00%)
Media	0.0231
Mediana	N/A
Desviación estándar	0.1504
Mínimo	N/A
Q1 (25%)	N/A
Q3 (75%)	N/A
Máximo	1.0000
Asimetría	6.3470
Curtosis	38.3094

Test de Normalidad (Shapiro-Wilk)

Error al calcular test de normalidad: 'UnivariateStats' object has no attribute 'shapiro'

Detección de Outliers (Método IQR)

Métrica	Valor
Q1 (25%)	0.0000
Q3 (75%)	0.0000
IQR	0.0000
Límite inferior	0.0000
Límite superior	0.0000
Número de outliers	72 (2.31%)

Visualizaciones

Distribution of intervencion_coronaria_percutanea

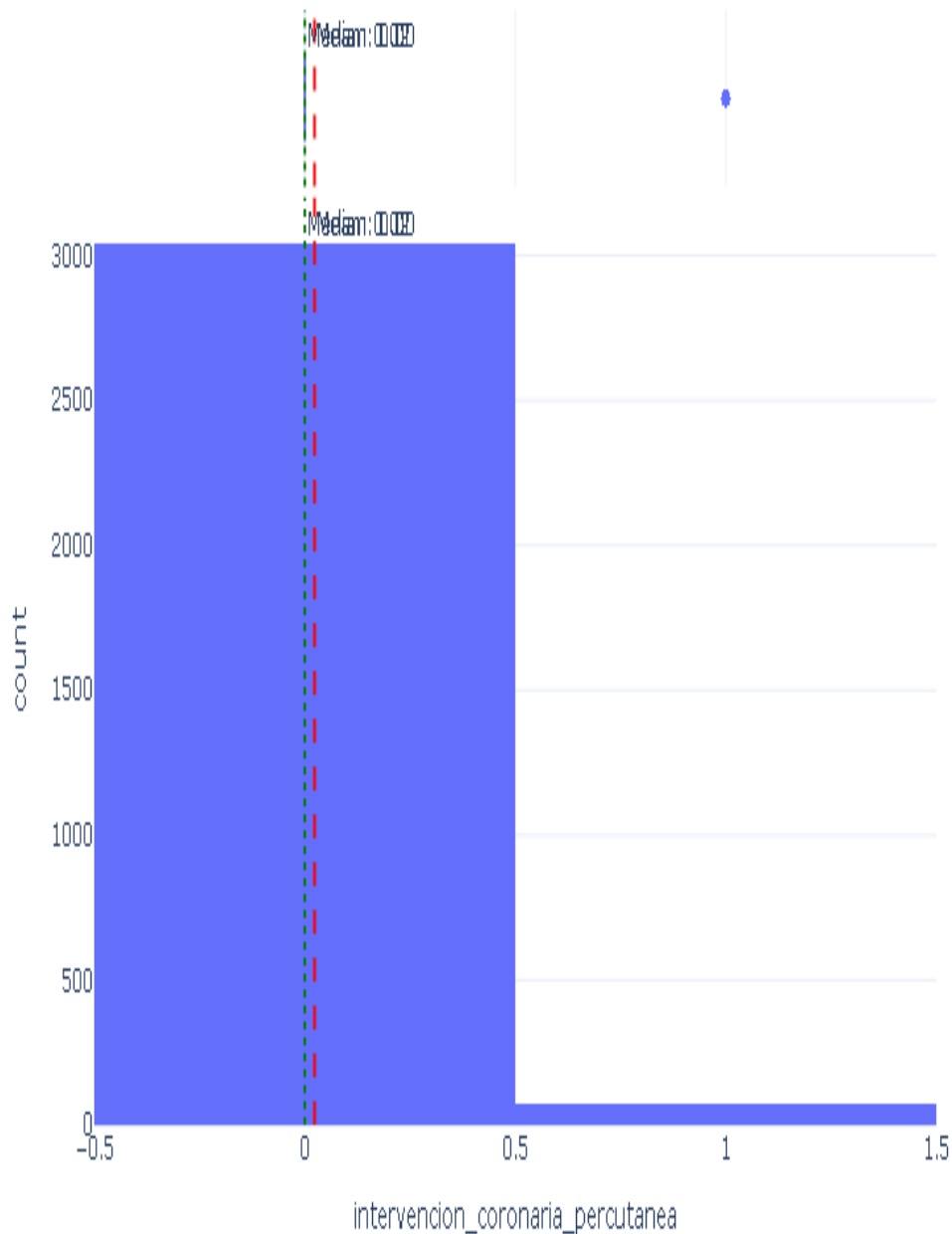


Figura: Distribución de intervencion_coronaria_percutanea

Boxplot of intervencion_coronaria_percutanea

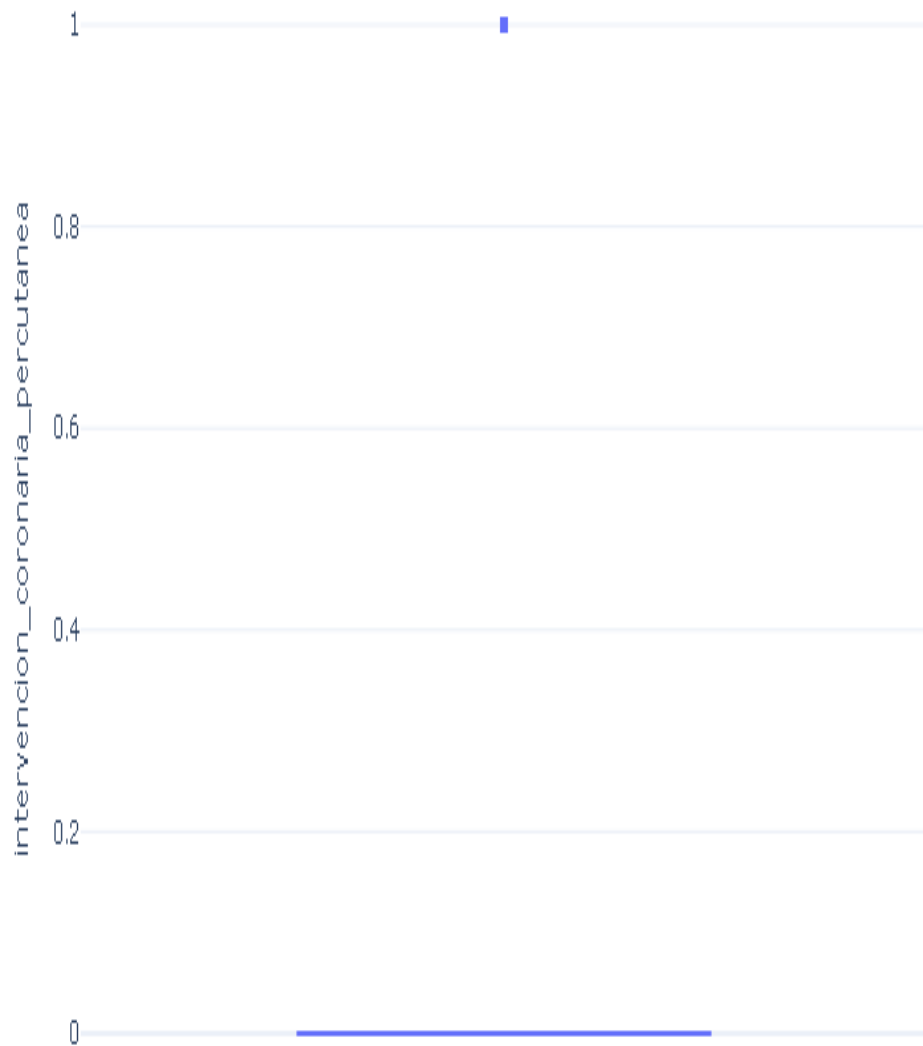


Figura: Boxplot de *intervencion_coronaria_percutanea*

Variable: cabg

Estadísticas Descriptivas

Estadística	Valor
Observaciones	3,112
Valores faltantes	0 (0.00%)
Media	0.0055
Mediana	N/A
Desviación estándar	0.0737
Mínimo	N/A
Q1 (25%)	N/A
Q3 (75%)	N/A
Máximo	1.0000
Asimetría	13.4253
Curtosis	178.3527

Test de Normalidad (Shapiro-Wilk)

Error al calcular test de normalidad: 'UnivariateStats' object has no attribute 'shapiro'

Detección de Outliers (Método IQR)

Métrica	Valor
Q1 (25%)	0.0000
Q3 (75%)	0.0000
IQR	0.0000
Límite inferior	0.0000
Límite superior	0.0000
Número de outliers	17 (0.55%)

Visualizaciones

Distribution of cabg

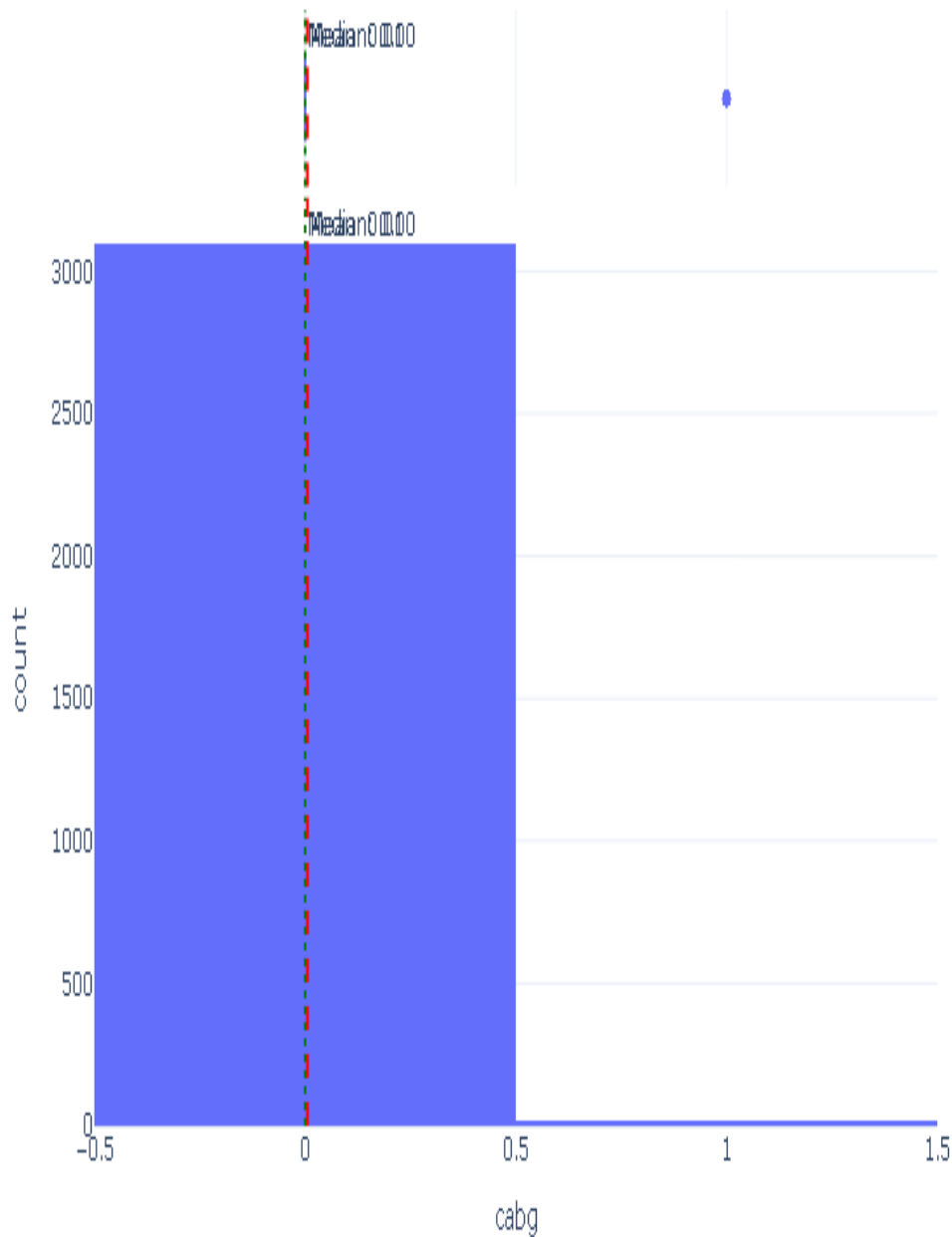


Figura: Distribución de cabg

Boxplot of cabg

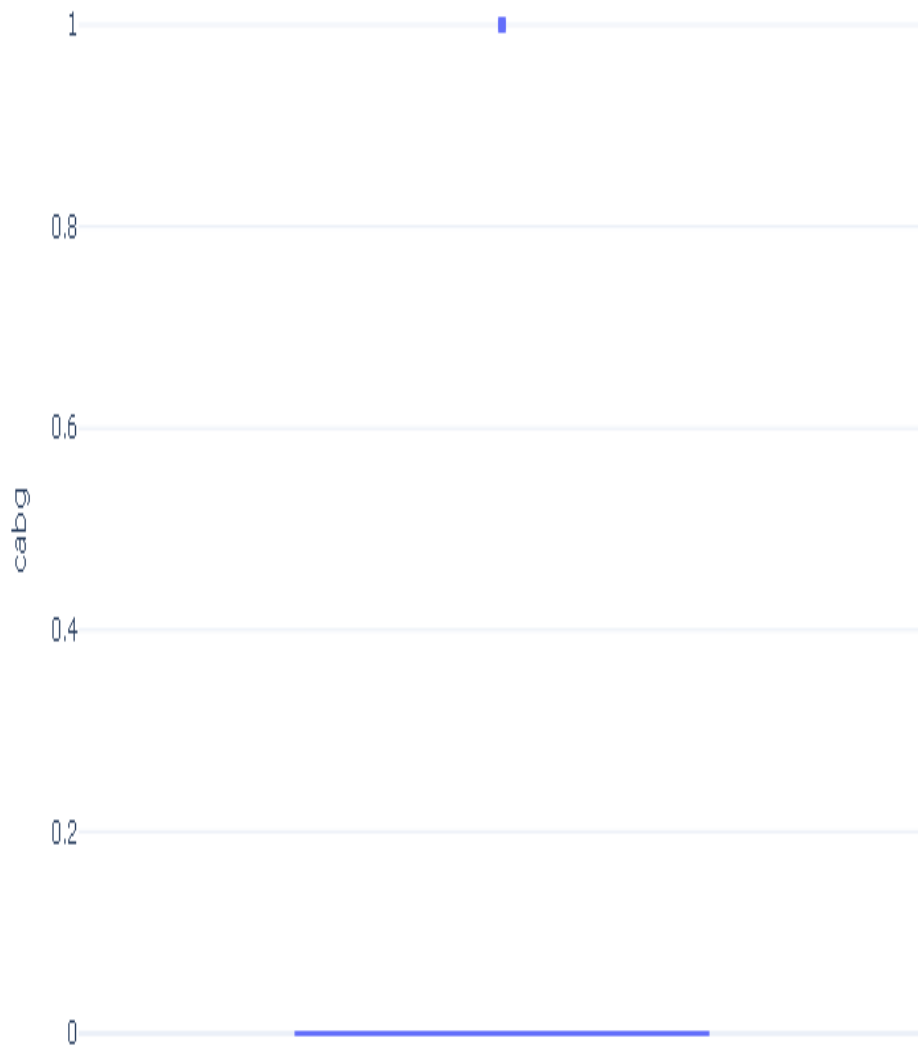


Figura: Boxplot de cabg

Variable: tabaquismo

Estadísticas Descriptivas

Estadística	Valor
Observaciones	3,112
Valores faltantes	0 (0.00%)
Media	0.5206
Mediana	1.0000
Desviación estándar	0.4997
Mínimo	N/A
Q1 (25%)	N/A
Q3 (75%)	1.0000
Máximo	1.0000
Asimetría	-0.0824
Curtosis	-1.9945

Test de Normalidad (Shapiro-Wilk)

Error al calcular test de normalidad: 'UnivariateStats' object has no attribute 'shapiro'

Detección de Outliers (Método IQR)

Métrica	Valor
Q1 (25%)	0.0000
Q3 (75%)	1.0000
IQR	1.0000
Límite inferior	-1.5000
Límite superior	2.5000
Número de outliers	0 (0.00%)

Visualizaciones

Distribution of tabaquismo

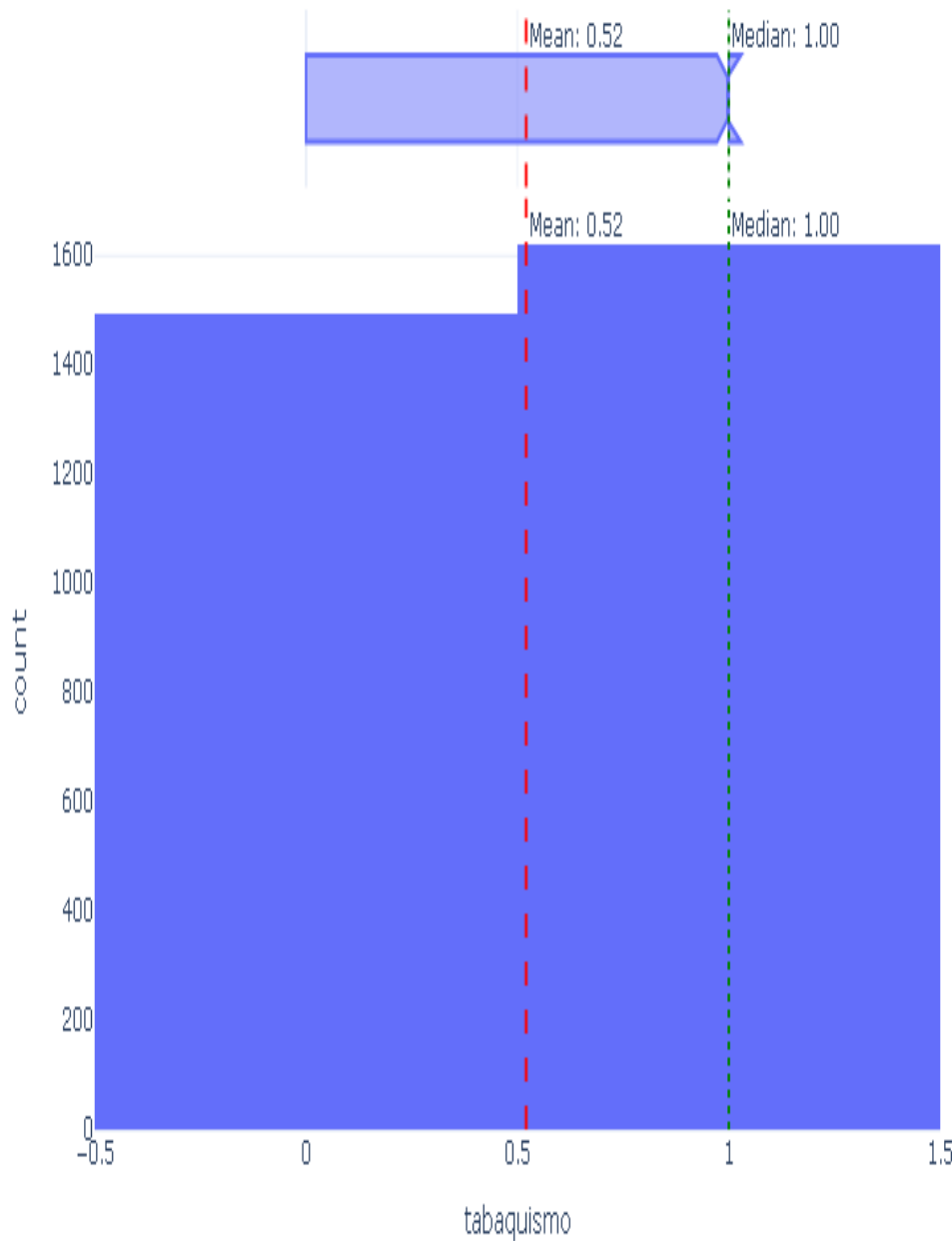


Figura: Distribución de tabaquismo

Boxplot of tabaquismo

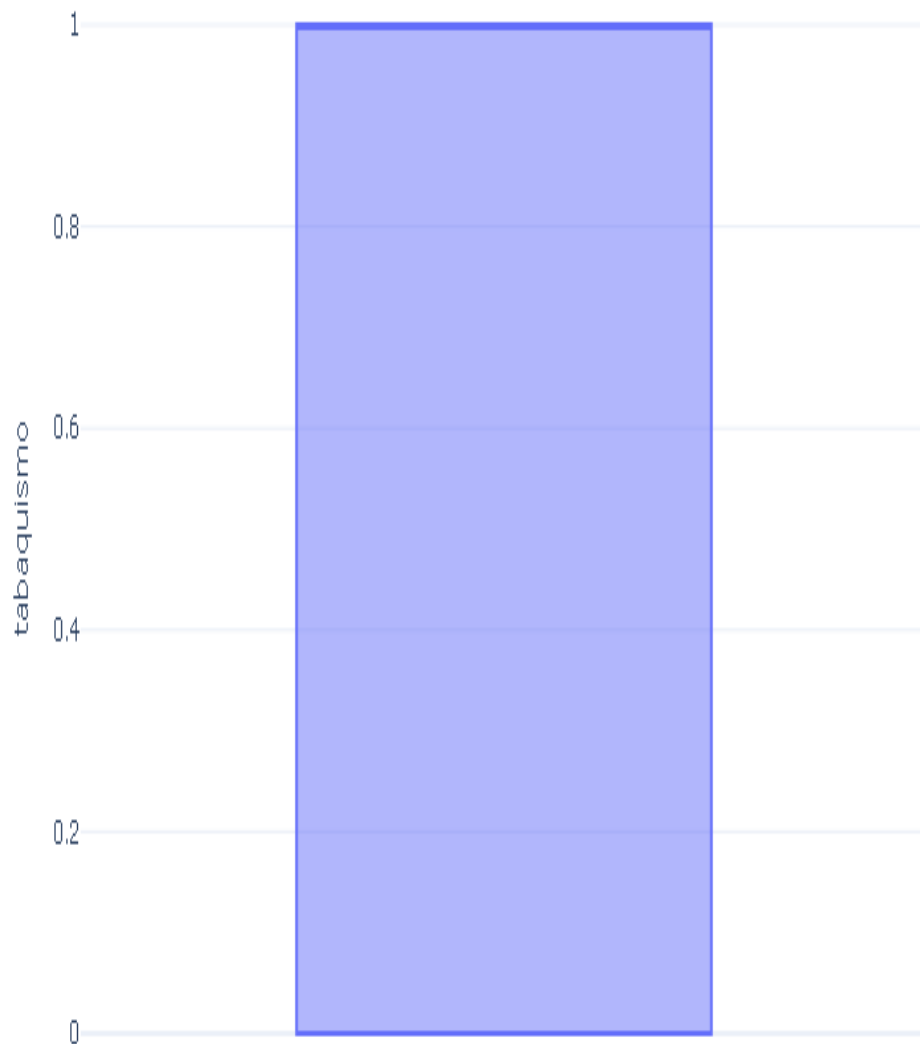


Figura: Boxplot de tabaquismo

Variable: annos_fumando

Estadísticas Descriptivas

Estadística	Valor
Observaciones	1,620
Valores faltantes	1492 (47.94%)
Media	37.5321
Mediana	40.0000
Desviación estándar	13.6859
Mínimo	2.0000
Q1 (25%)	30.0000
Q3 (75%)	48.0000
Máximo	80.0000
Asimetría	0.0444
Curtosis	-0.4413

Test de Normalidad (Shapiro-Wilk)

Error al calcular test de normalidad: 'UnivariateStats' object has no attribute 'shapiro'

Detección de Outliers (Método IQR)

Métrica	Valor
Q1 (25%)	30.0000
Q3 (75%)	48.0000
IQR	18.0000
Límite inferior	3.0000
Límite superior	75.0000
Número de outliers	4 (0.25%)

Visualizaciones

Distribution of annos_fumando

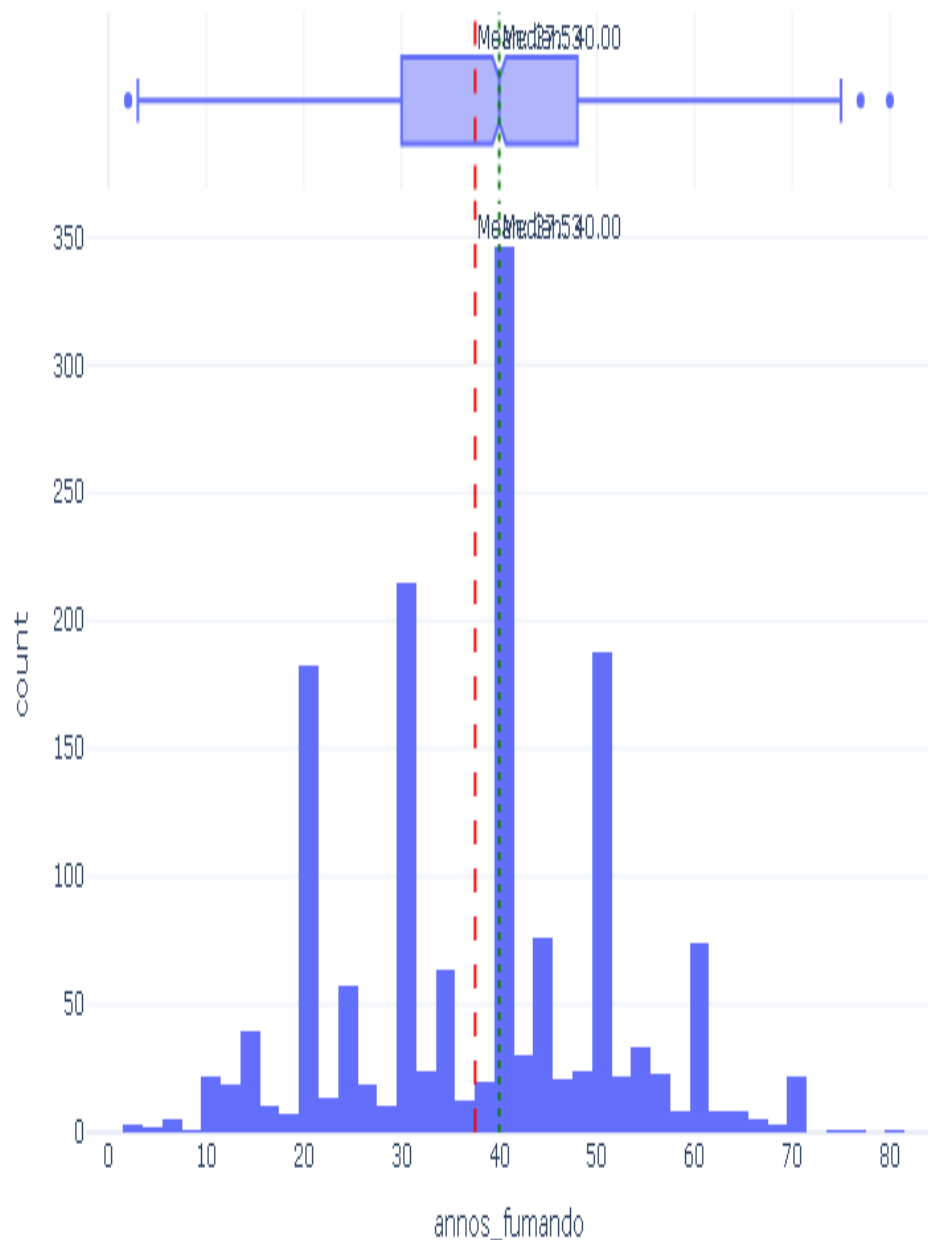


Figura: Distribución de `annos_fumando`

Boxplot of annos_fumando

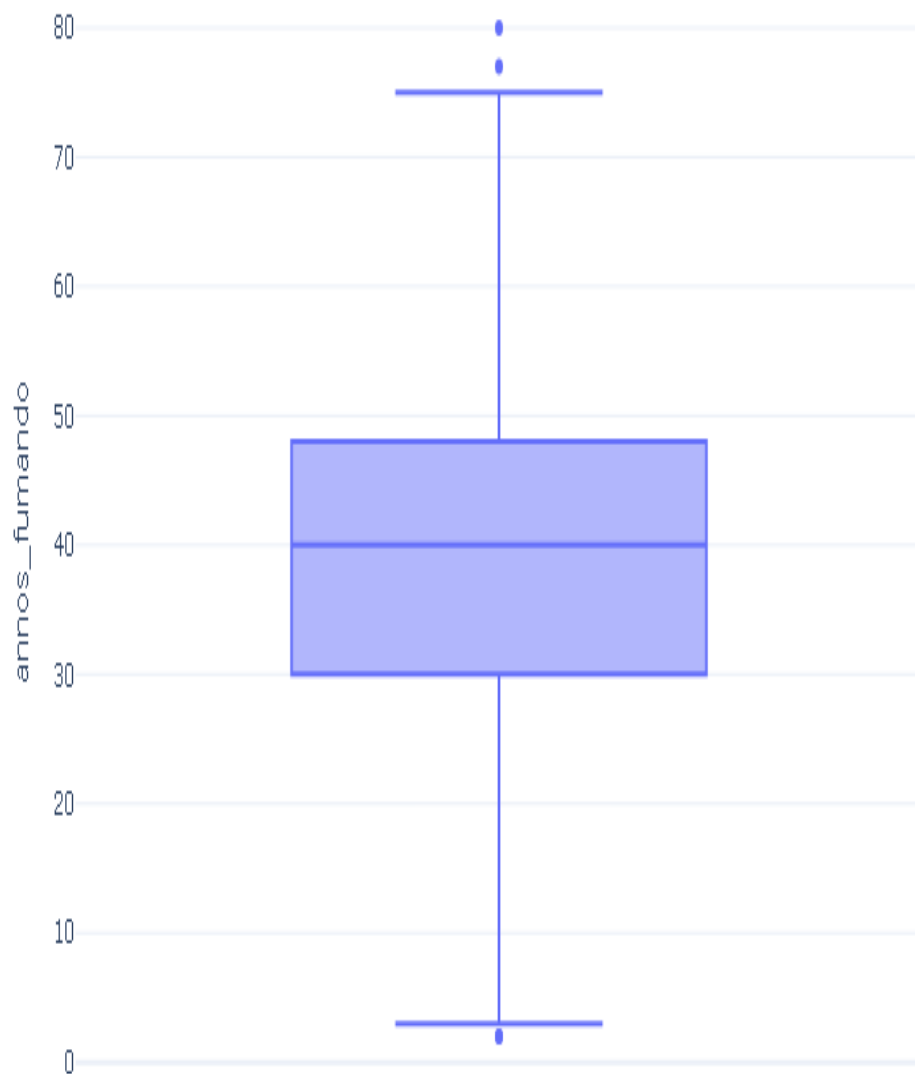


Figura: Boxplot de annos_fumando

Variable: annos_sin_fumar

Estadísticas Descriptivas

Estadística	Valor
Observaciones	242
Valores faltantes	2870 (92.22%)
Media	8.8802
Mediana	5.0000
Desviación estándar	8.7822
Mínimo	N/A
Q1 (25%)	3.0000
Q3 (75%)	10.0000
Máximo	58.0000
Asimetría	2.2797
Curtosis	7.3502

Test de Normalidad (Shapiro-Wilk)

Error al calcular test de normalidad: 'UnivariateStats' object has no attribute 'shapiro'

Detección de Outliers (Método IQR)

Métrica	Valor
Q1 (25%)	3.0000
Q3 (75%)	10.0000
IQR	7.0000
Límite inferior	-7.5000
Límite superior	20.5000
Número de outliers	18 (7.44%)

Visualizaciones

Distribution of annos_sin_fumar

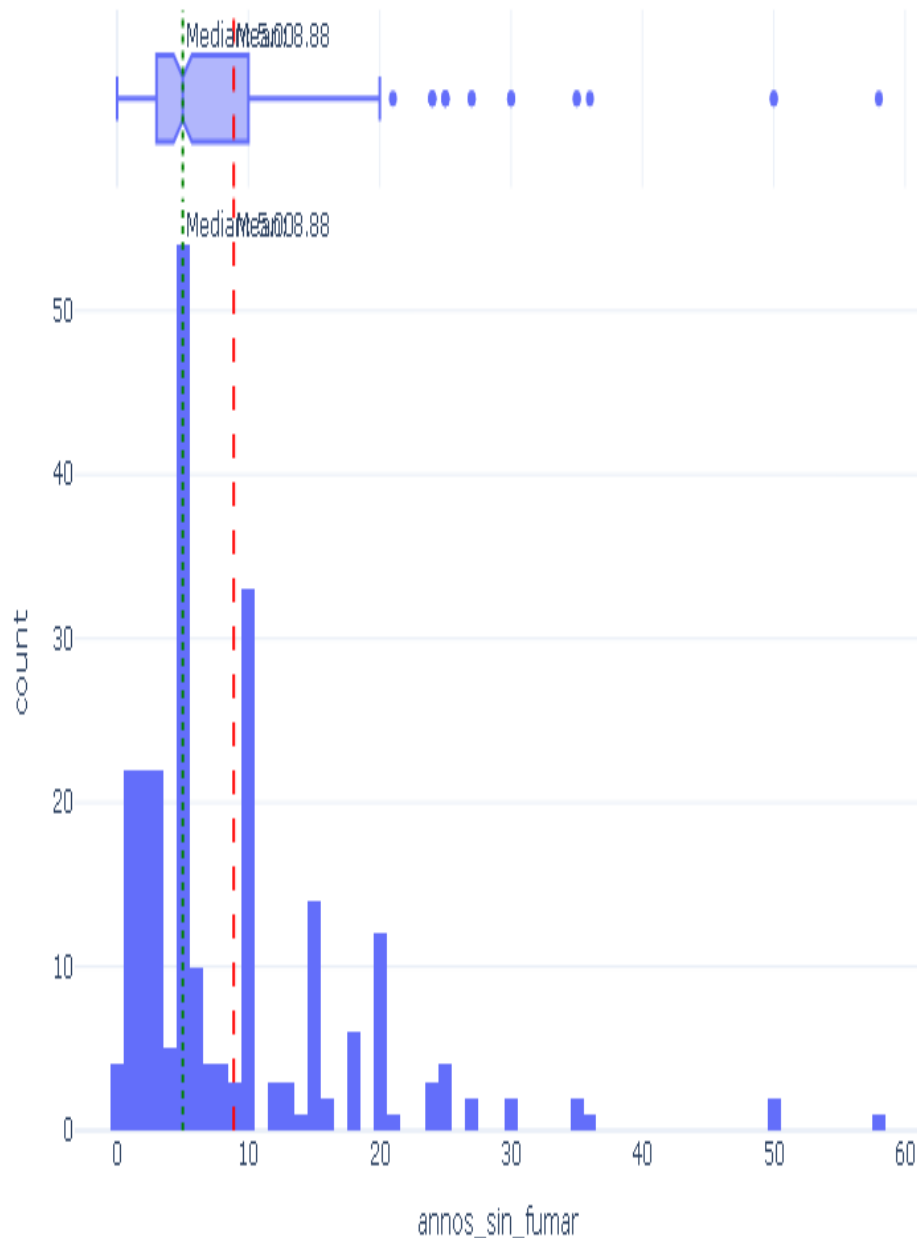


Figura: Distribución de `annos_sin_fumar`

Boxplot of annos_sin_fumar

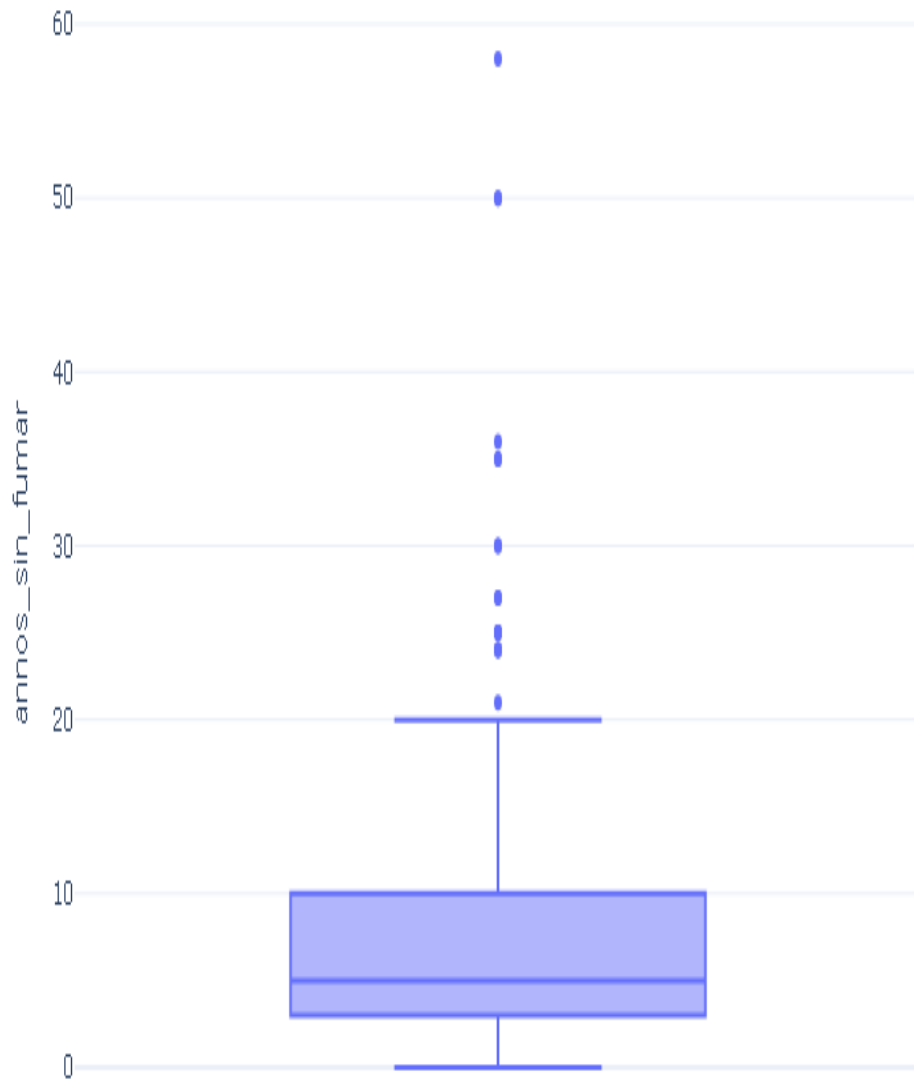


Figura: Boxplot de annos_sin_fumar

Variable: enfermedad_venosa_periferica

Estadísticas Descriptivas

Estadística	Valor
Observaciones	3,112
Valores faltantes	0 (0.00%)
Media	0.0312
Mediana	N/A
Desviación estándar	0.1738
Mínimo	N/A
Q1 (25%)	N/A
Q3 (75%)	N/A
Máximo	1.0000
Asimetría	5.3984
Curtosis	27.1602

Test de Normalidad (Shapiro-Wilk)

Error al calcular test de normalidad: 'UnivariateStats' object has no attribute 'shapiro'

Detección de Outliers (Método IQR)

Métrica	Valor
Q1 (25%)	0.0000
Q3 (75%)	0.0000
IQR	0.0000
Límite inferior	0.0000
Límite superior	0.0000
Número de outliers	97 (3.12%)

Visualizaciones

Distribution of enfermedad_venosa_periferica

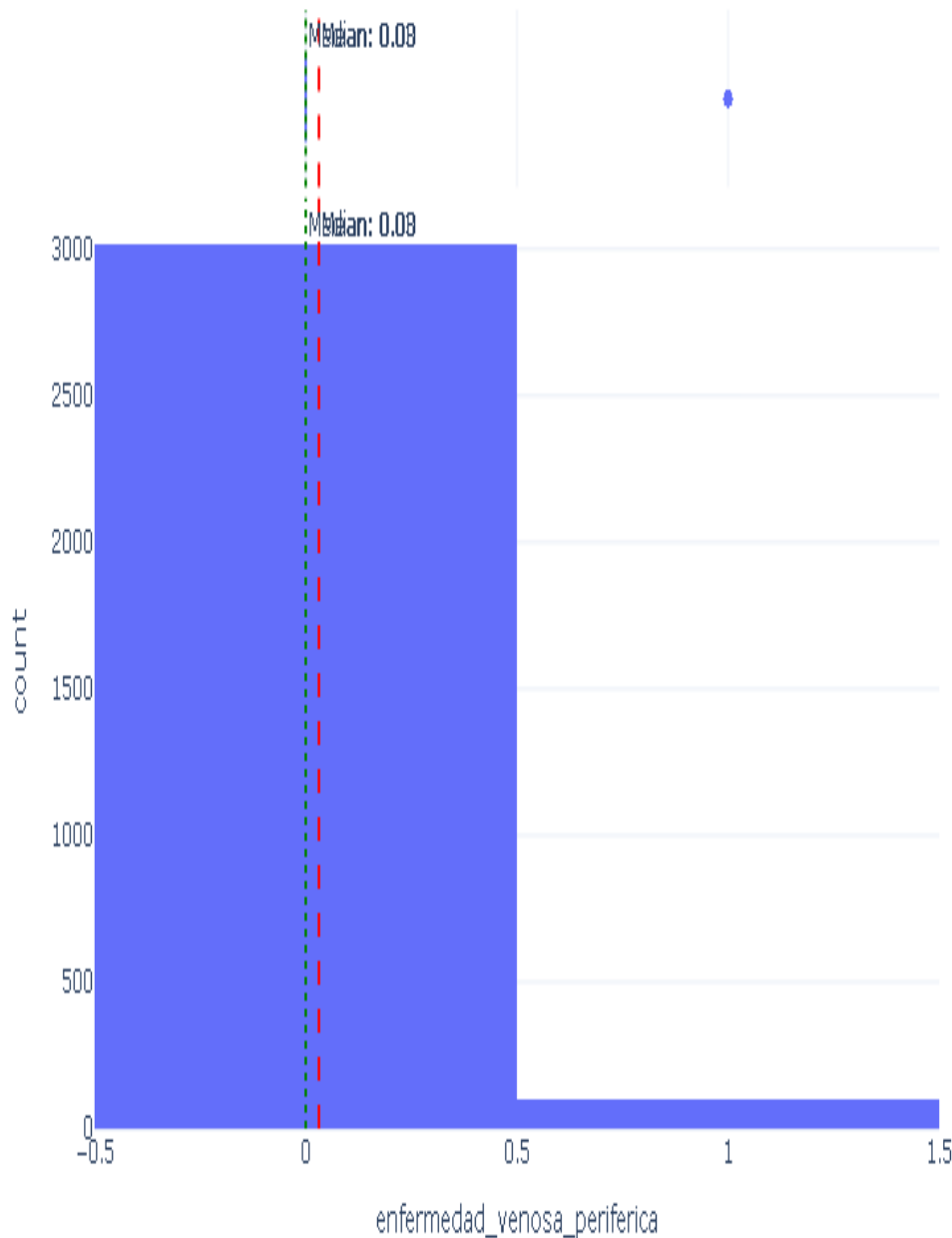


Figura: Distribución de enfermedad_venosa_periferica

Boxplot of enfermedad_venosa_periferica

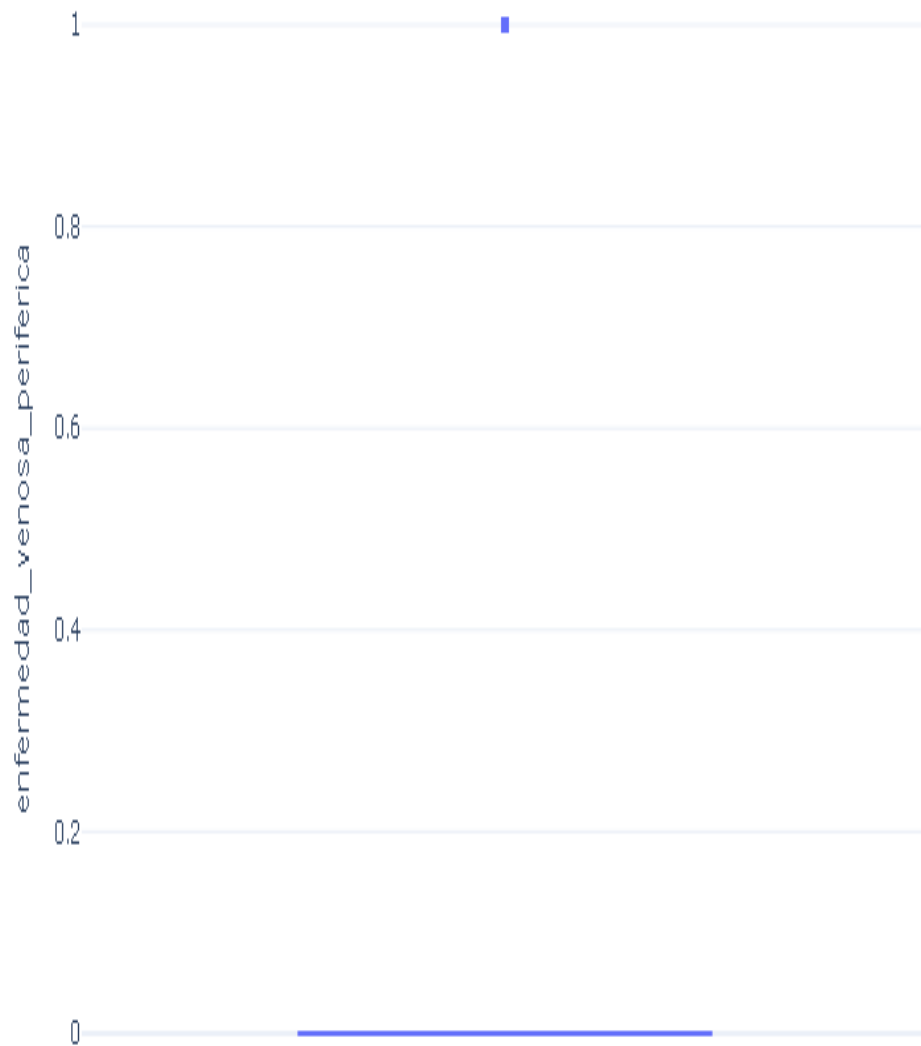


Figura: Boxplot de enfermedad_venosa_periferica

Variable: insuficiencia_renal_cronica

Estadísticas Descriptivas

Estadística	Valor
Observaciones	3,112
Valores faltantes	0 (0.00%)
Media	0.0260
Mediana	N/A
Desviación estándar	0.1592
Mínimo	N/A
Q1 (25%)	N/A
Q3 (75%)	N/A
Máximo	1.0000
Asimetría	5.9566
Curtosis	33.5022

Test de Normalidad (Shapiro-Wilk)

Error al calcular test de normalidad: 'UnivariateStats' object has no attribute 'shapiro'

Detección de Outliers (Método IQR)

Métrica	Valor
Q1 (25%)	0.0000
Q3 (75%)	0.0000
IQR	0.0000
Límite inferior	0.0000
Límite superior	0.0000
Número de outliers	81 (2.60%)

Visualizaciones

Distribution of insuficiencia_renal_cronica

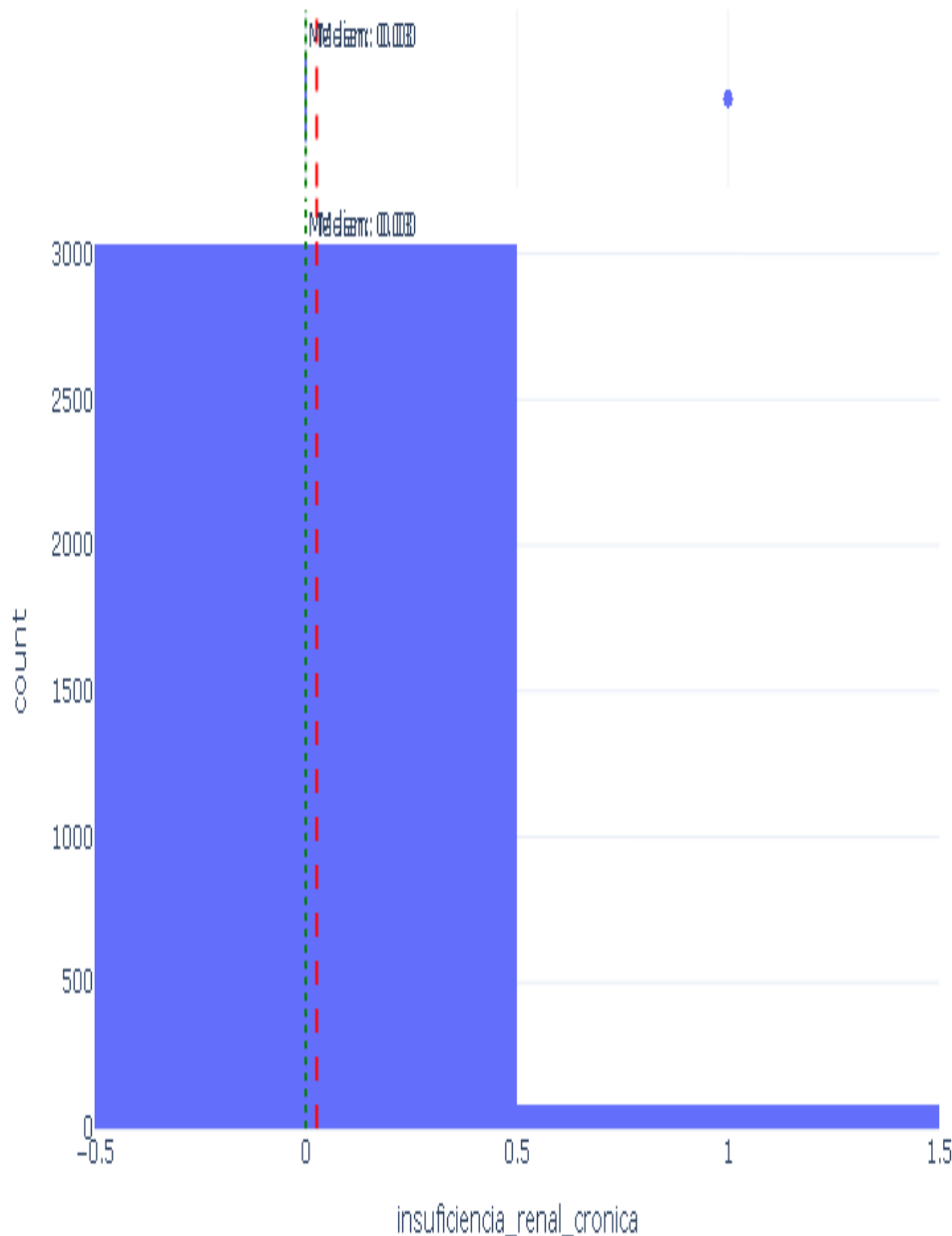


Figura: Distribución de `insuficiencia_renal_cronica`

Boxplot of insuficiencia_renal_cronica

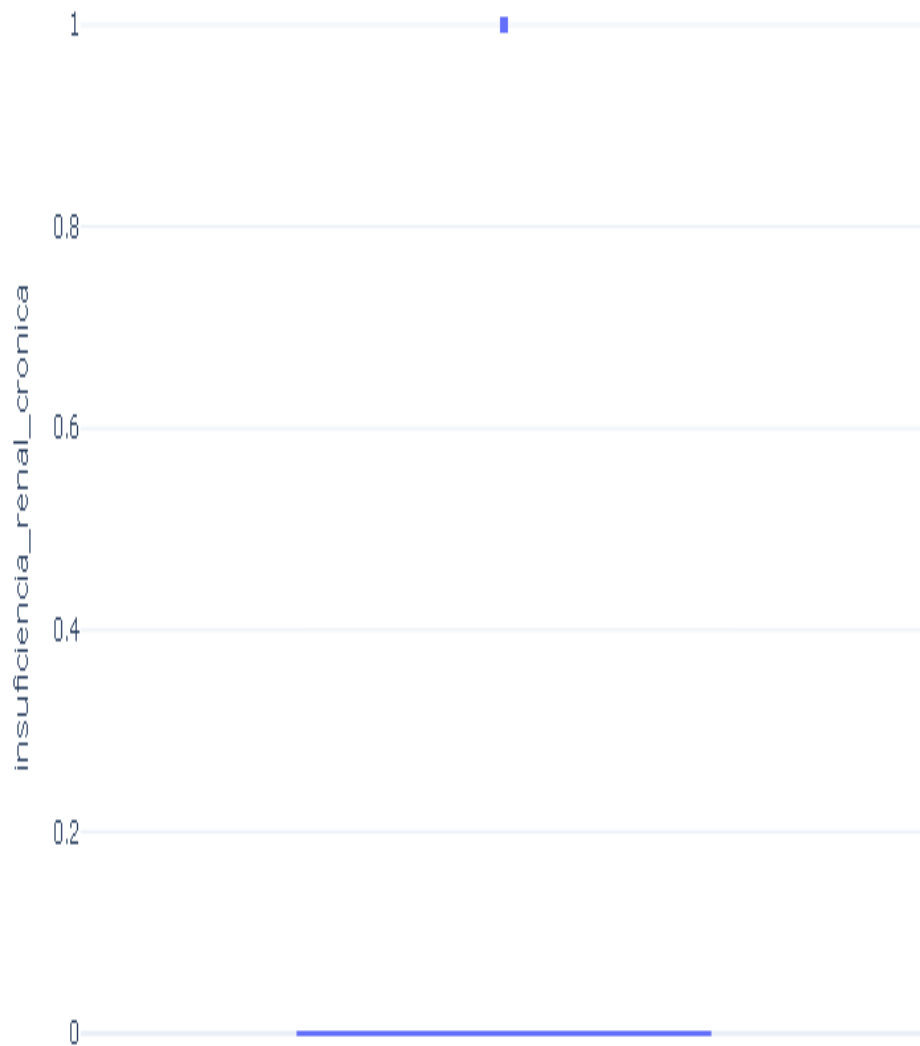


Figura: Boxplot de insuficiencia_renal_cronica

Variable: dialisis

Estadísticas Descriptivas

Estadística	Valor
Observaciones	3,112
Valores faltantes	0 (0.00%)
Media	0.0019
Mediana	N/A
Desviación estándar	0.0439
Mínimo	N/A
Q1 (25%)	N/A
Q3 (75%)	N/A
Máximo	1.0000
Asimetría	22.7193
Curtosis	514.4968

Test de Normalidad (Shapiro-Wilk)

Error al calcular test de normalidad: 'UnivariateStats' object has no attribute 'shapiro'

Detección de Outliers (Método IQR)

Métrica	Valor
Q1 (25%)	0.0000
Q3 (75%)	0.0000
IQR	0.0000
Límite inferior	0.0000
Límite superior	0.0000
Número de outliers	6 (0.19%)

Visualizaciones

Distribution of dialysis

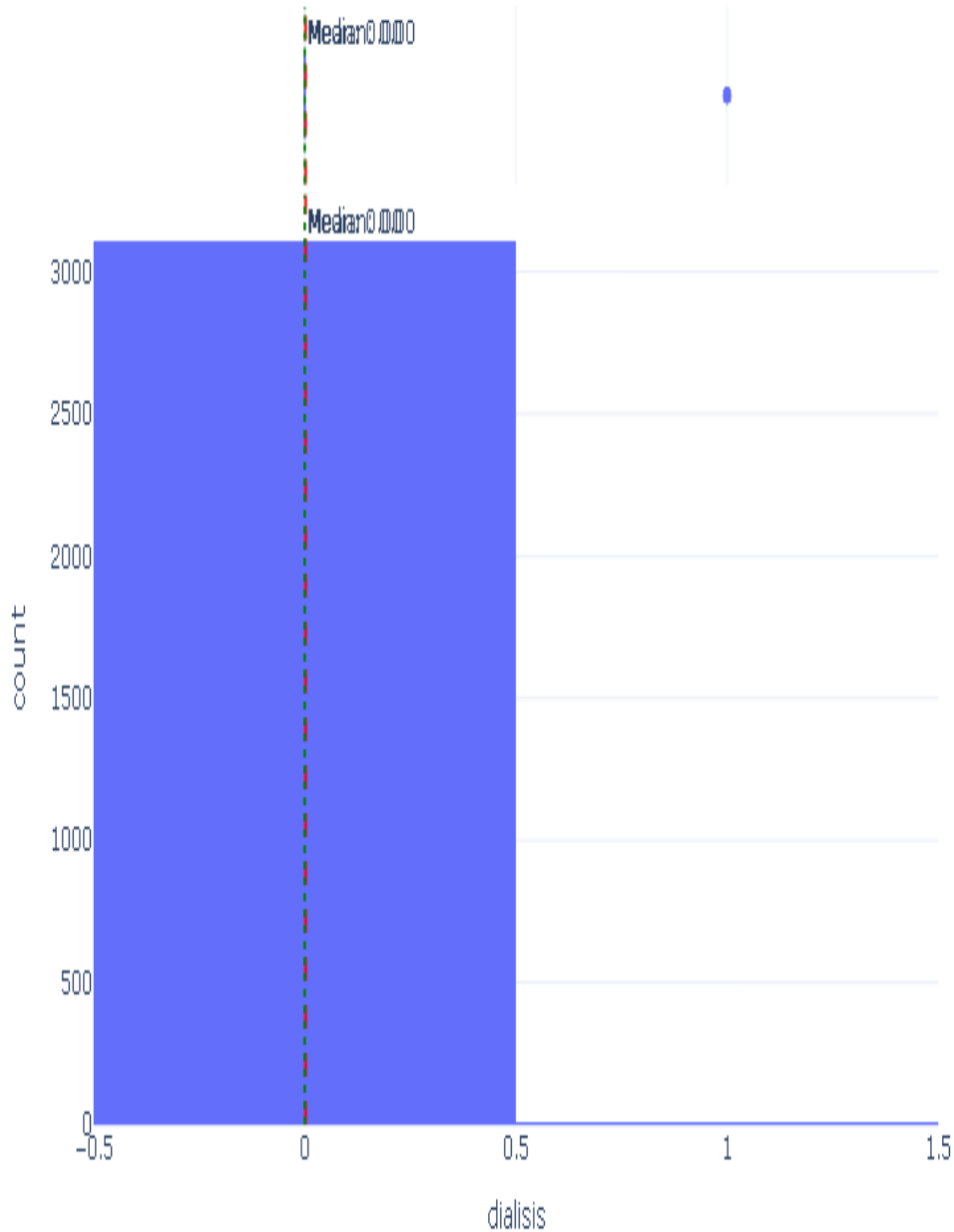


Figura: Distribución de dialisis

Boxplot of dialysis

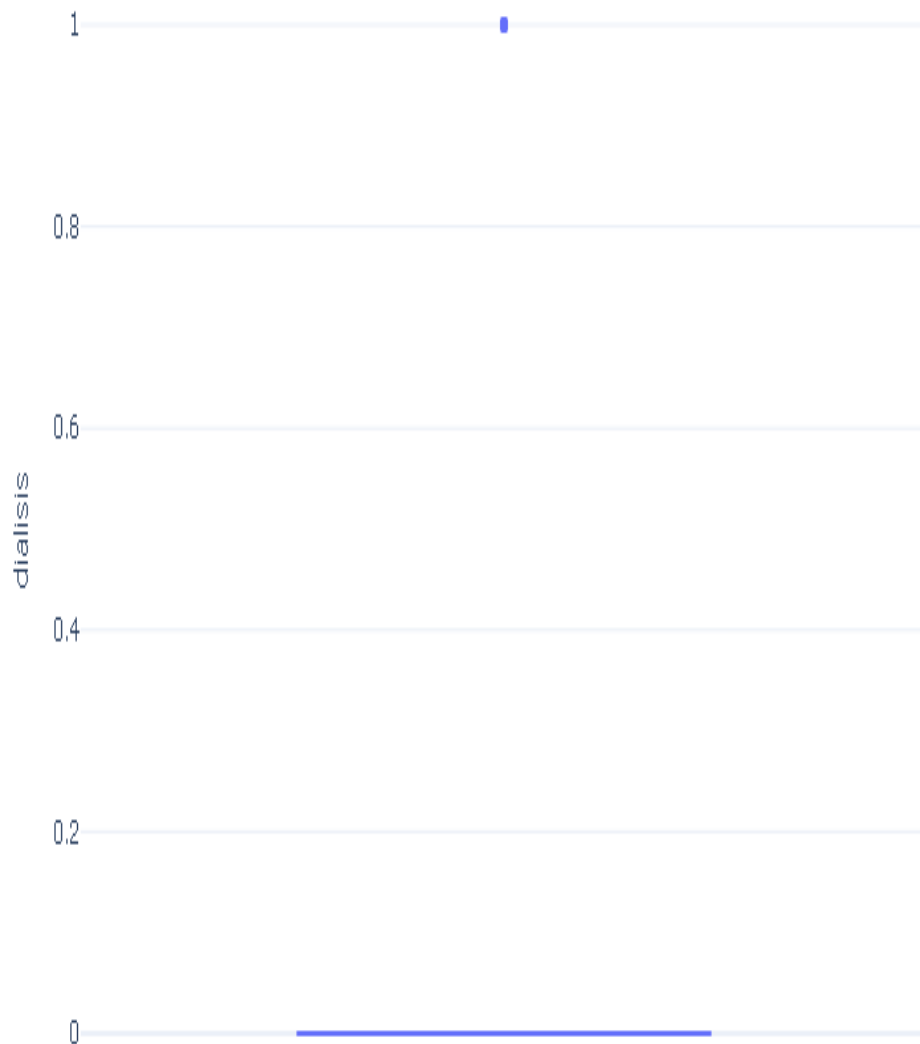


Figura: Boxplot de dialysis

Variable: enfermedad_cerebro_vascular

Estadísticas Descriptivas

Estadística	Valor
Observaciones	3,112
Valores faltantes	0 (0.00%)
Media	0.0398
Mediana	N/A
Desviación estándar	0.1956
Mínimo	N/A
Q1 (25%)	N/A
Q3 (75%)	N/A
Máximo	1.0000
Asimetría	4.7074
Curtosis	20.1726

Test de Normalidad (Shapiro-Wilk)

Error al calcular test de normalidad: 'UnivariateStats' object has no attribute 'shapiro'

Detección de Outliers (Método IQR)

Métrica	Valor
Q1 (25%)	0.0000
Q3 (75%)	0.0000
IQR	0.0000
Límite inferior	0.0000
Límite superior	0.0000
Número de outliers	124 (3.98%)

Visualizaciones

Distribution of enfermedad_cerebro_vascular

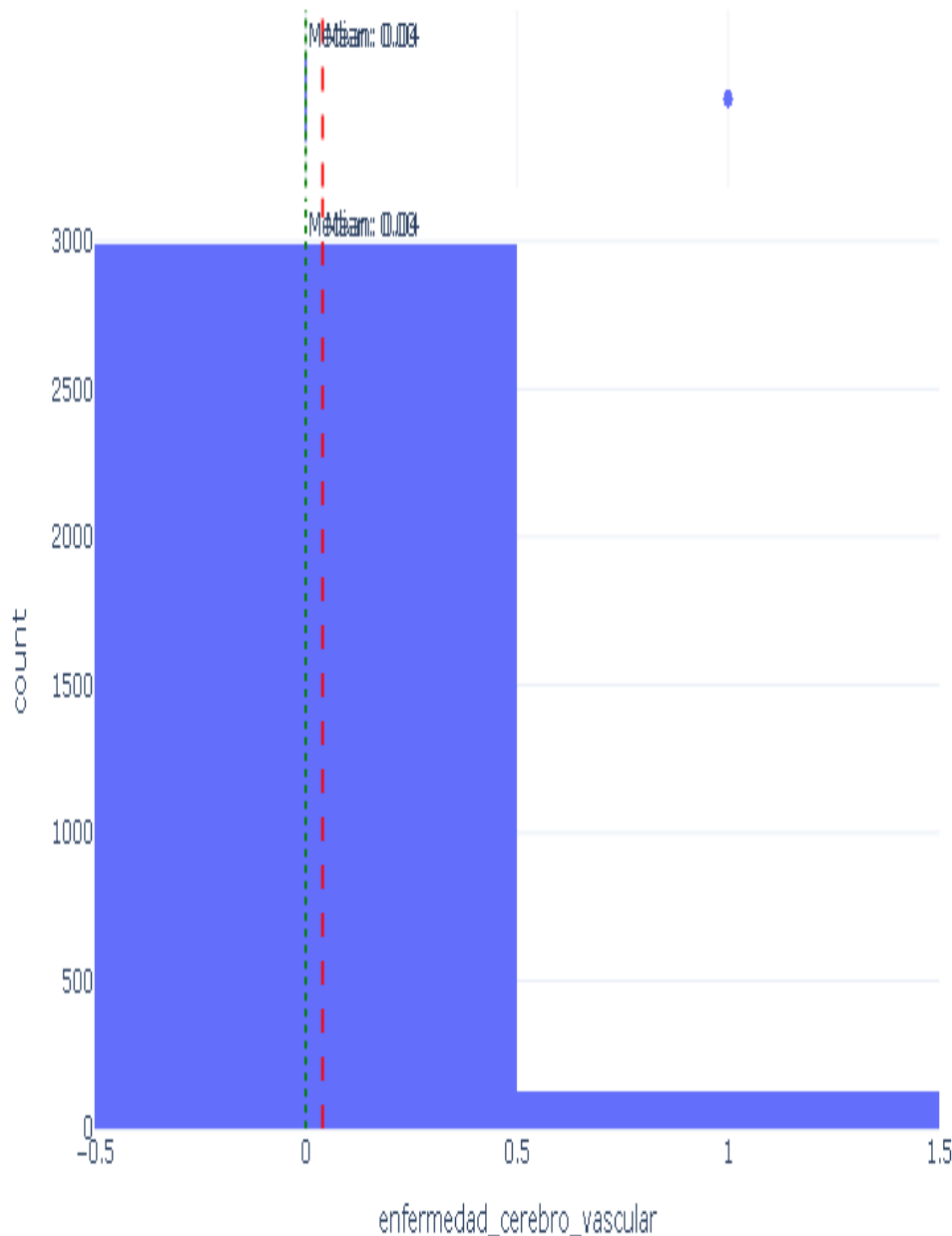


Figura: Distribución de enfermedad_cerebro_vascular

Boxplot of enfermedad_cerebro_vascular

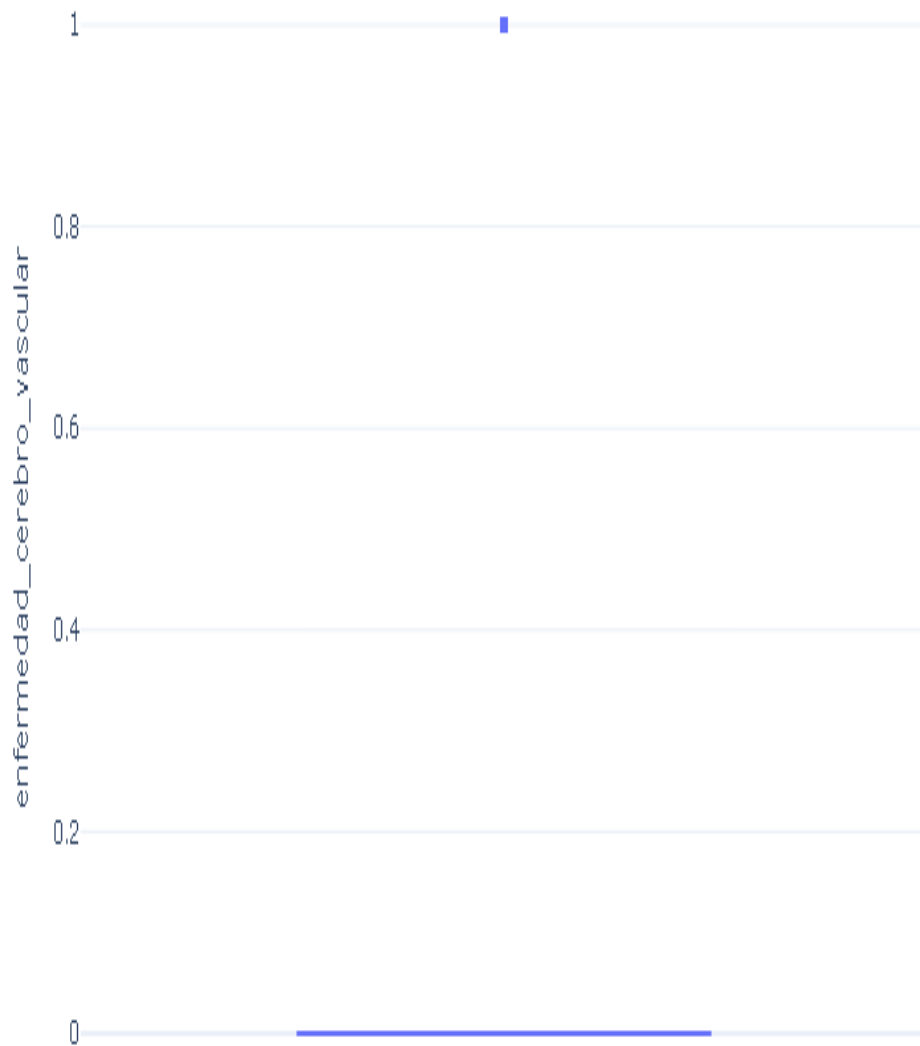


Figura: Boxplot de enfermedad_cerebro_vascular

Variable: angina24h

Estadísticas Descriptivas

Estadística	Valor
Observaciones	3,112
Valores faltantes	0 (0.00%)
Media	0.1038
Mediana	N/A
Desviación estándar	0.3050
Mínimo	N/A
Q1 (25%)	N/A
Q3 (75%)	N/A
Máximo	1.0000
Asimetría	2.5994
Curtosis	4.7601

Test de Normalidad (Shapiro-Wilk)

Error al calcular test de normalidad: 'UnivariateStats' object has no attribute 'shapiro'

Detección de Outliers (Método IQR)

Métrica	Valor
Q1 (25%)	0.0000
Q3 (75%)	0.0000
IQR	0.0000
Límite inferior	0.0000
Límite superior	0.0000
Número de outliers	323 (10.38%)

Visualizaciones

Distribution of angina24h

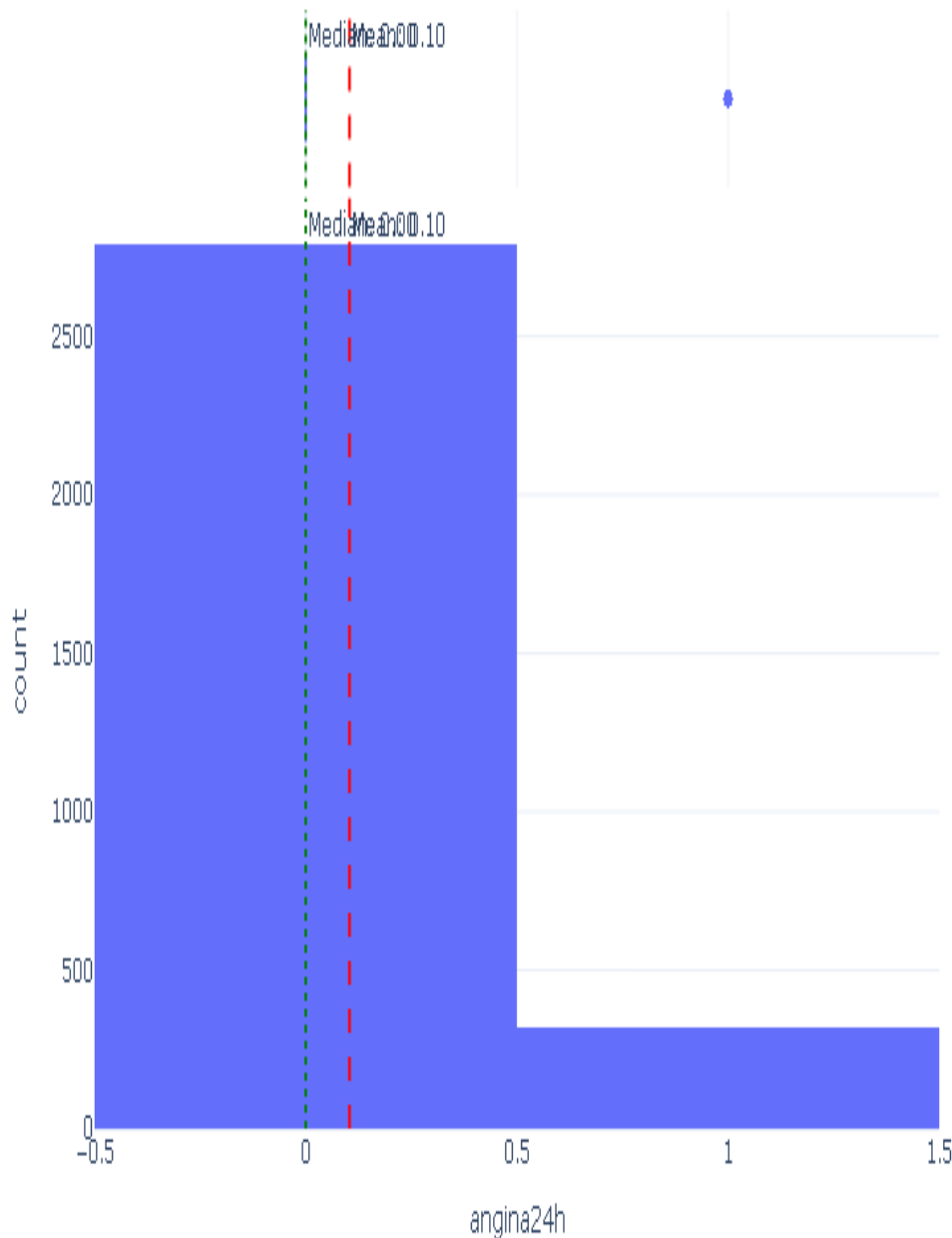


Figura: Distribución de `angina24h`

Boxplot of angina24h

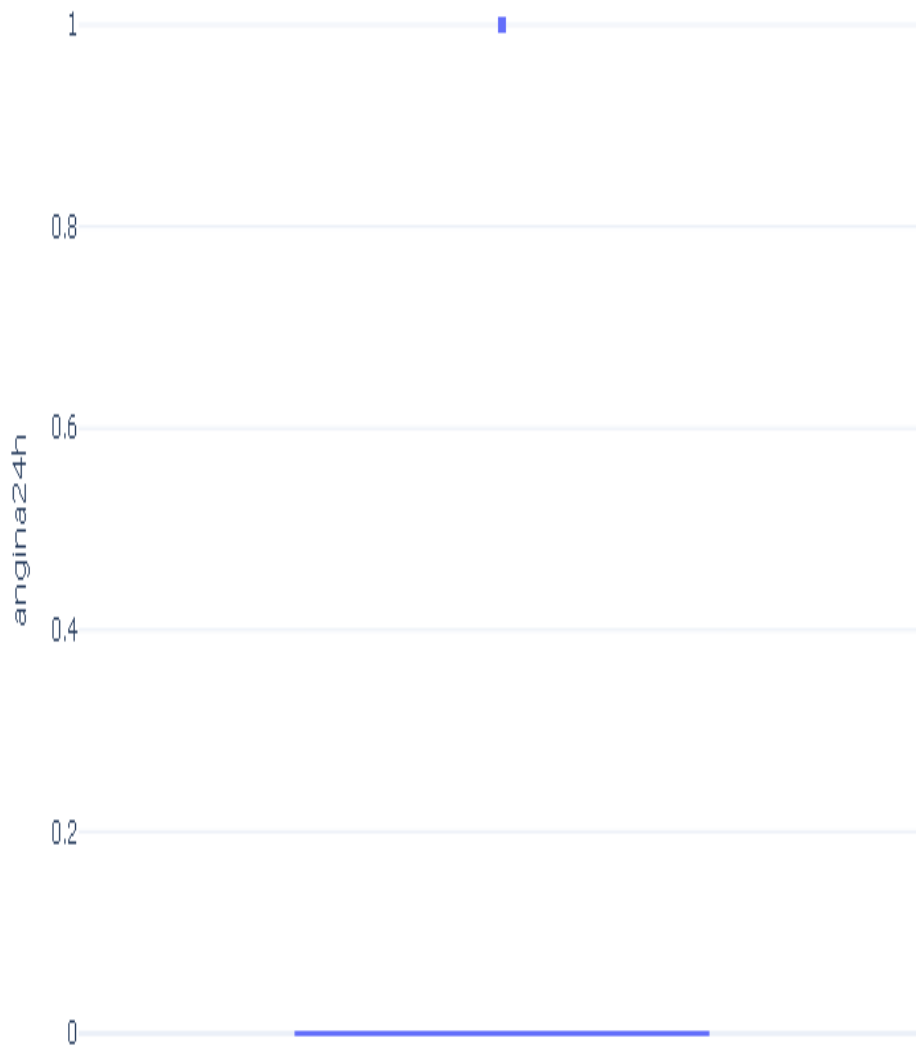


Figura: Boxplot de angina24h

Variable: anemia

Estadísticas Descriptivas

Estadística	Valor
Observaciones	3,112
Valores faltantes	0 (0.00%)
Media	0.0106
Mediana	N/A
Desviación estándar	0.1024
Mínimo	N/A
Q1 (25%)	N/A
Q3 (75%)	N/A
Máximo	1.0000
Asimetría	9.5604
Curtosis	89.4593

Test de Normalidad (Shapiro-Wilk)

Error al calcular test de normalidad: 'UnivariateStats' object has no attribute 'shapiro'

Detección de Outliers (Método IQR)

Métrica	Valor
Q1 (25%)	0.0000
Q3 (75%)	0.0000
IQR	0.0000
Límite inferior	0.0000
Límite superior	0.0000
Número de outliers	33 (1.06%)

Visualizaciones

Distribution of anemia

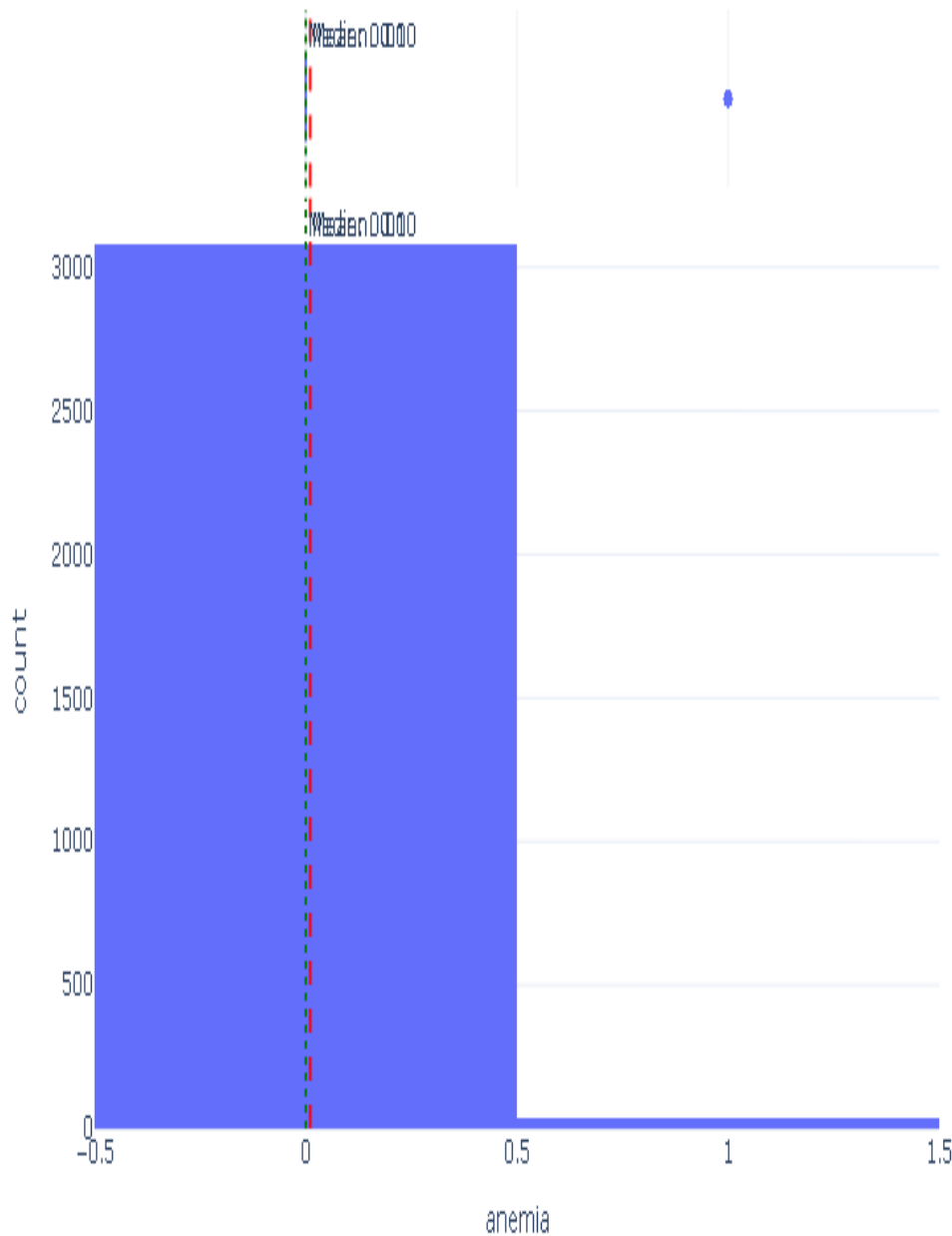


Figura: Distribución de anemia

Boxplot of anemia



Figura: Boxplot de anemia

Variable: epoc

Estadísticas Descriptivas

Estadística	Valor
Observaciones	3,112
Valores faltantes	0 (0.00%)
Media	0.0241
Mediana	N/A
Desviación estándar	0.1534
Mínimo	N/A
Q1 (25%)	N/A
Q3 (75%)	N/A
Máximo	1.0000
Asimetría	6.2093
Curtosis	36.5787

Test de Normalidad (Shapiro-Wilk)

Error al calcular test de normalidad: 'UnivariateStats' object has no attribute 'shapiro'

Detección de Outliers (Método IQR)

Métrica	Valor
Q1 (25%)	0.0000
Q3 (75%)	0.0000
IQR	0.0000
Límite inferior	0.0000
Límite superior	0.0000
Número de outliers	75 (2.41%)

Visualizaciones

Distribution of epoc

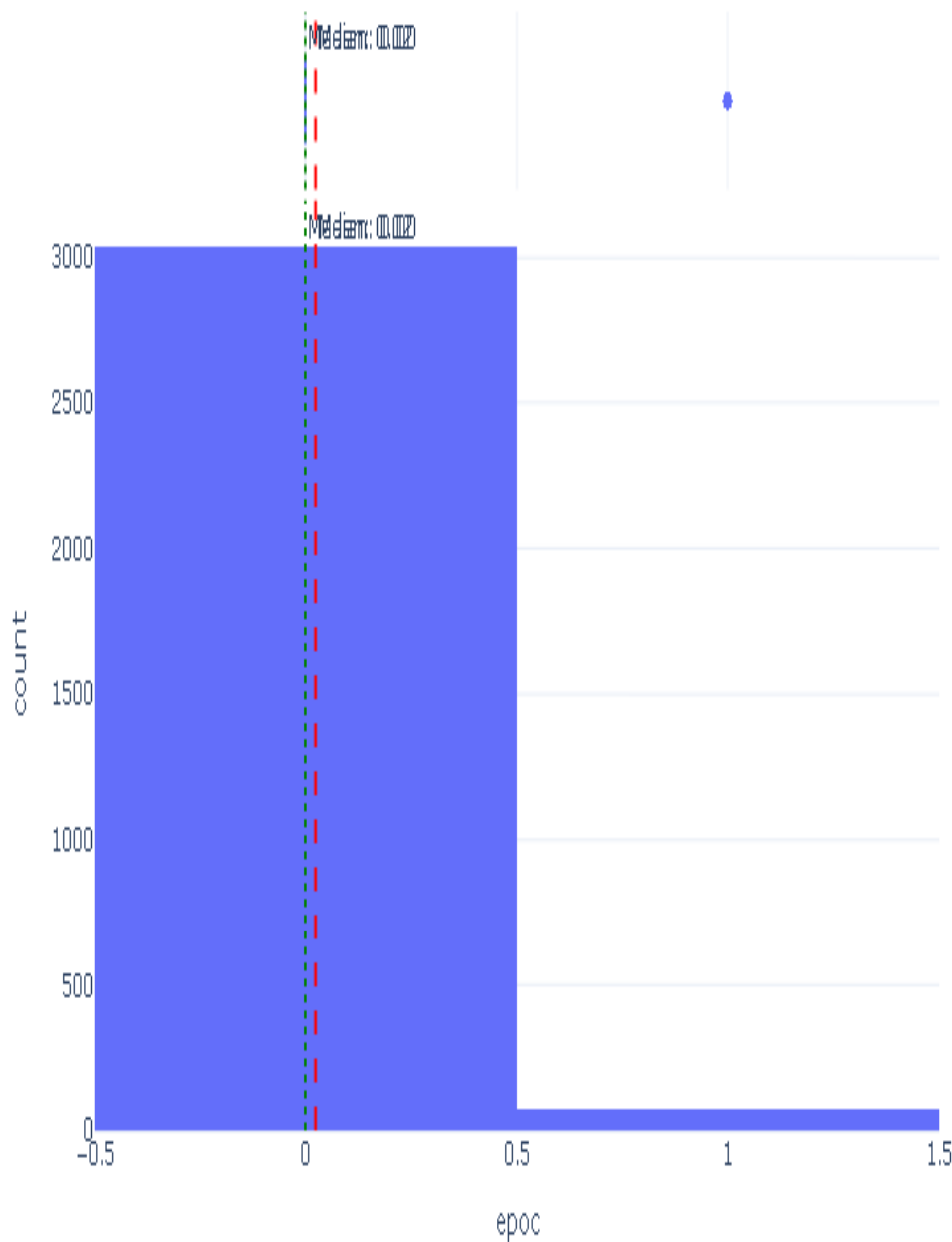


Figura: Distribución de epoc

Boxplot of epoch

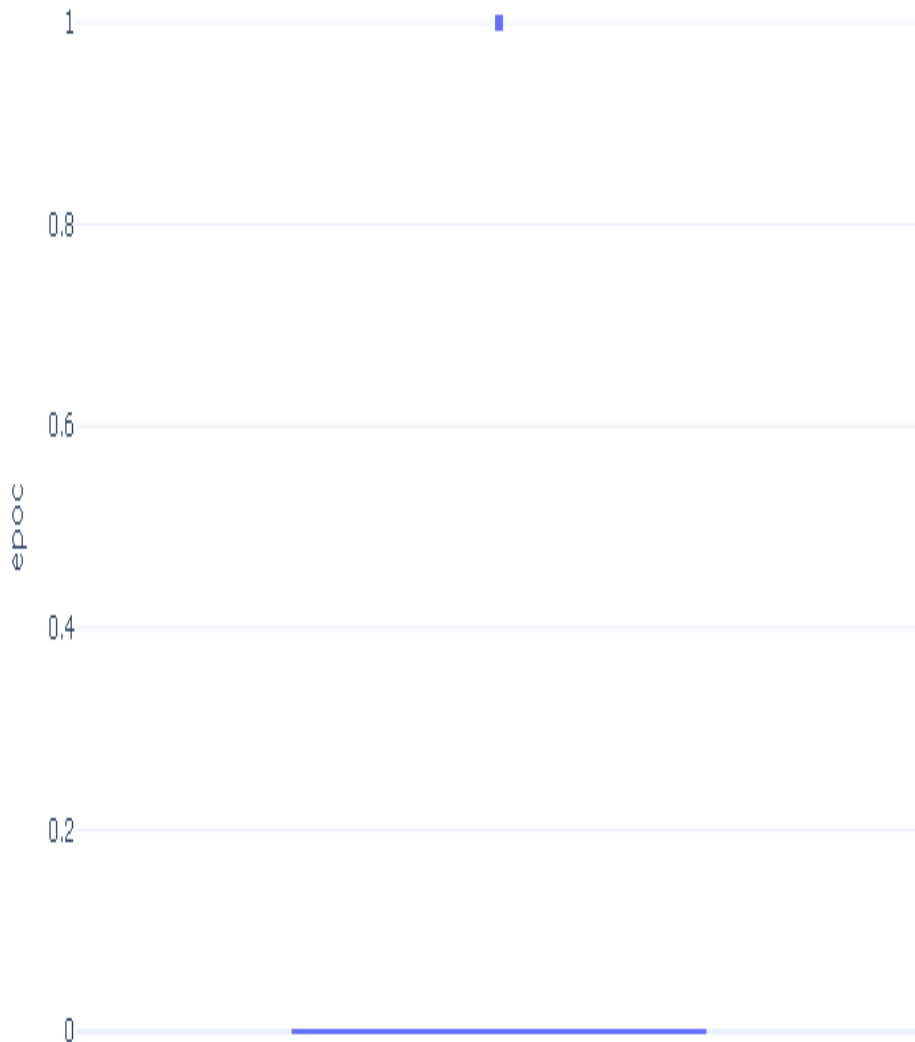


Figura: Boxplot de epoch

Variable: otros

Estadísticas Descriptivas

Estadística	Valor
Observaciones	3,112
Valores faltantes	0 (0.00%)
Media	0.1321
Mediana	N/A
Desviación estándar	0.3386
Mínimo	N/A
Q1 (25%)	N/A
Q3 (75%)	N/A
Máximo	1.0000
Asimetría	2.1745
Curtosis	2.7303

Test de Normalidad (Shapiro-Wilk)

Error al calcular test de normalidad: 'UnivariateStats' object has no attribute 'shapiro'

Detección de Outliers (Método IQR)

Métrica	Valor
Q1 (25%)	0.0000
Q3 (75%)	0.0000
IQR	0.0000
Límite inferior	0.0000
Límite superior	0.0000
Número de outliers	411 (13.21%)

Visualizaciones

Distribution of otros

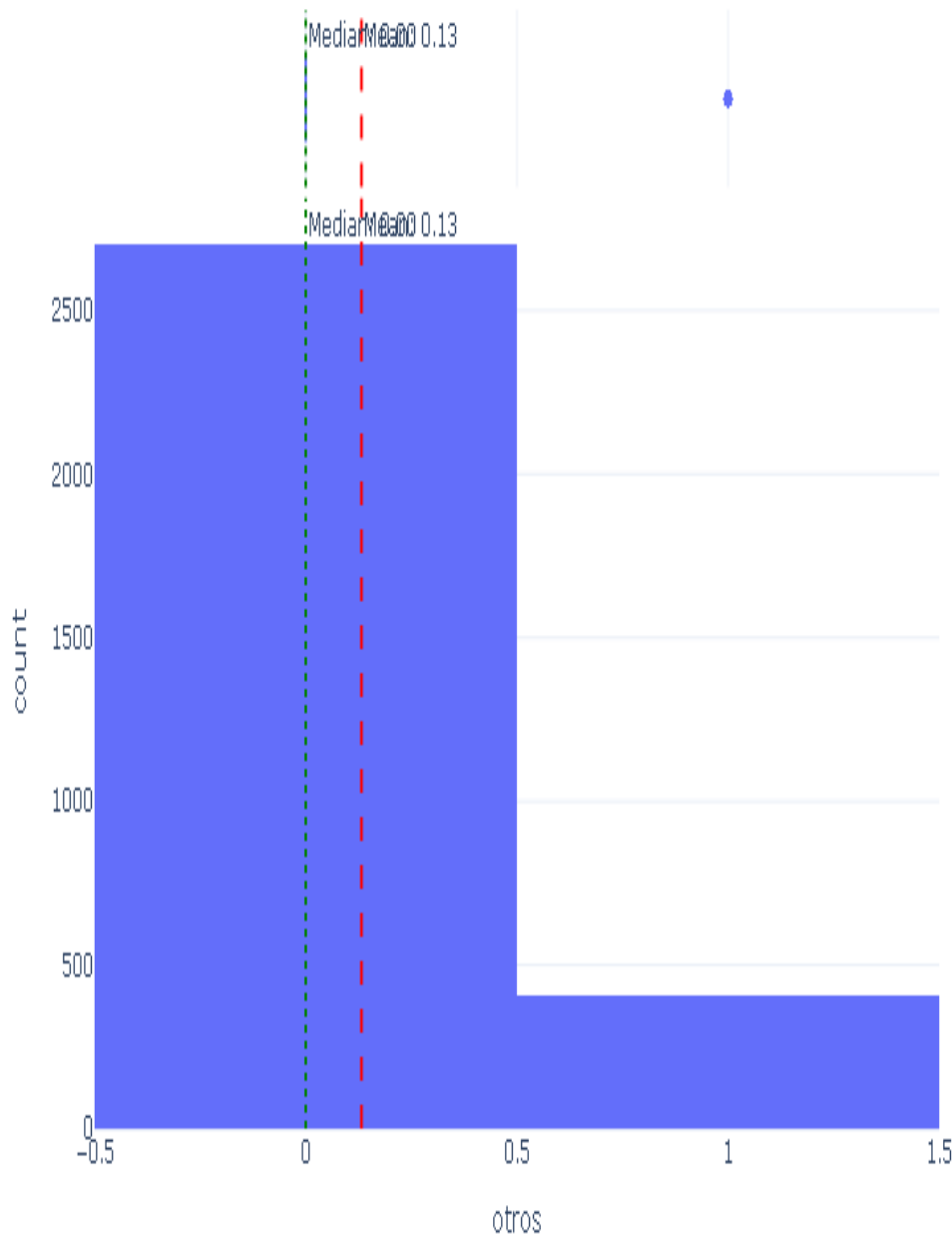


Figura: Distribución de otros

Boxplot of otros

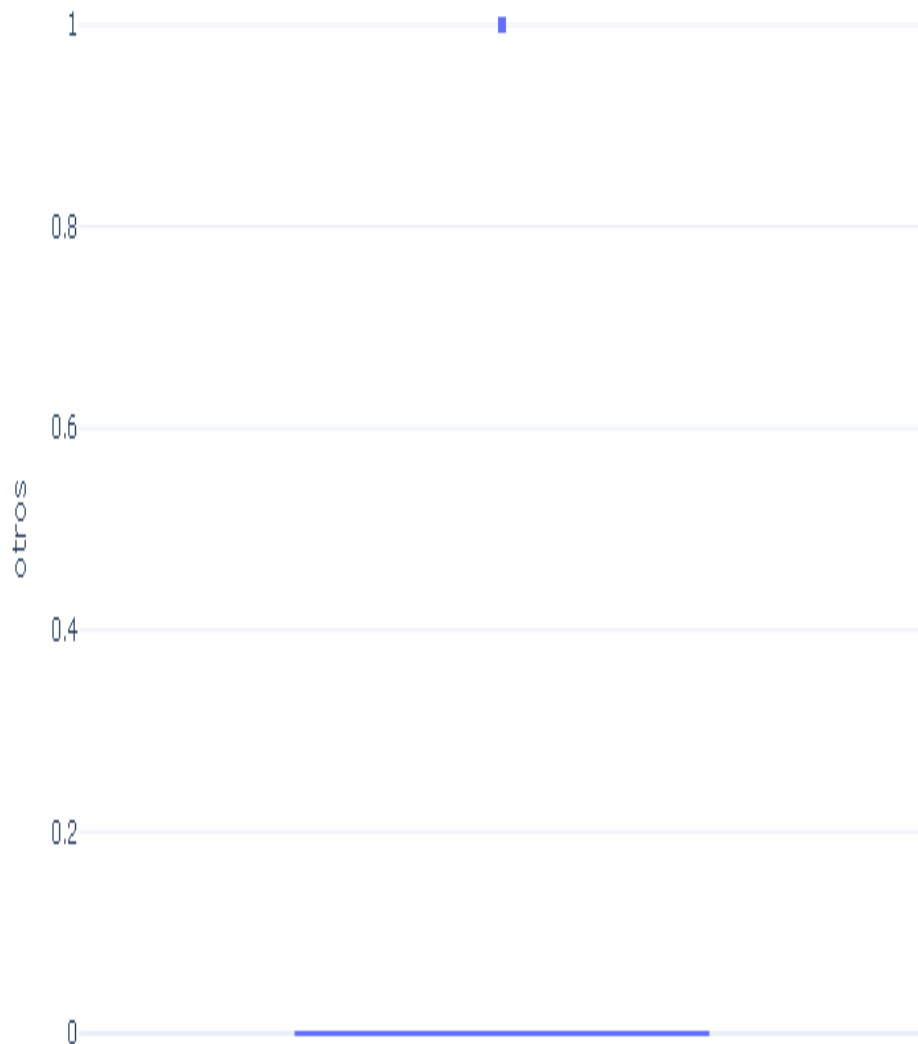


Figura: Boxplot de otros

Variable: proxima

Estadísticas Descriptivas

Estadística	Valor
Observaciones	844
Valores faltantes	2268 (72.88%)
Media	1.1706
Mediana	1.0000
Desviación estándar	0.9738
Mínimo	1.0000
Q1 (25%)	1.0000
Q3 (75%)	1.0000
Máximo	12.0000
Asimetría	8.1898
Curtosis	77.4353

Test de Normalidad (Shapiro-Wilk)

Error al calcular test de normalidad: 'UnivariateStats' object has no attribute 'shapiro'

Detección de Outliers (Método IQR)

Métrica	Valor
Q1 (25%)	1.0000
Q3 (75%)	1.0000
IQR	0.0000
Límite inferior	1.0000
Límite superior	1.0000
Número de outliers	45 (5.33%)

Visualizaciones

Distribution of proxima

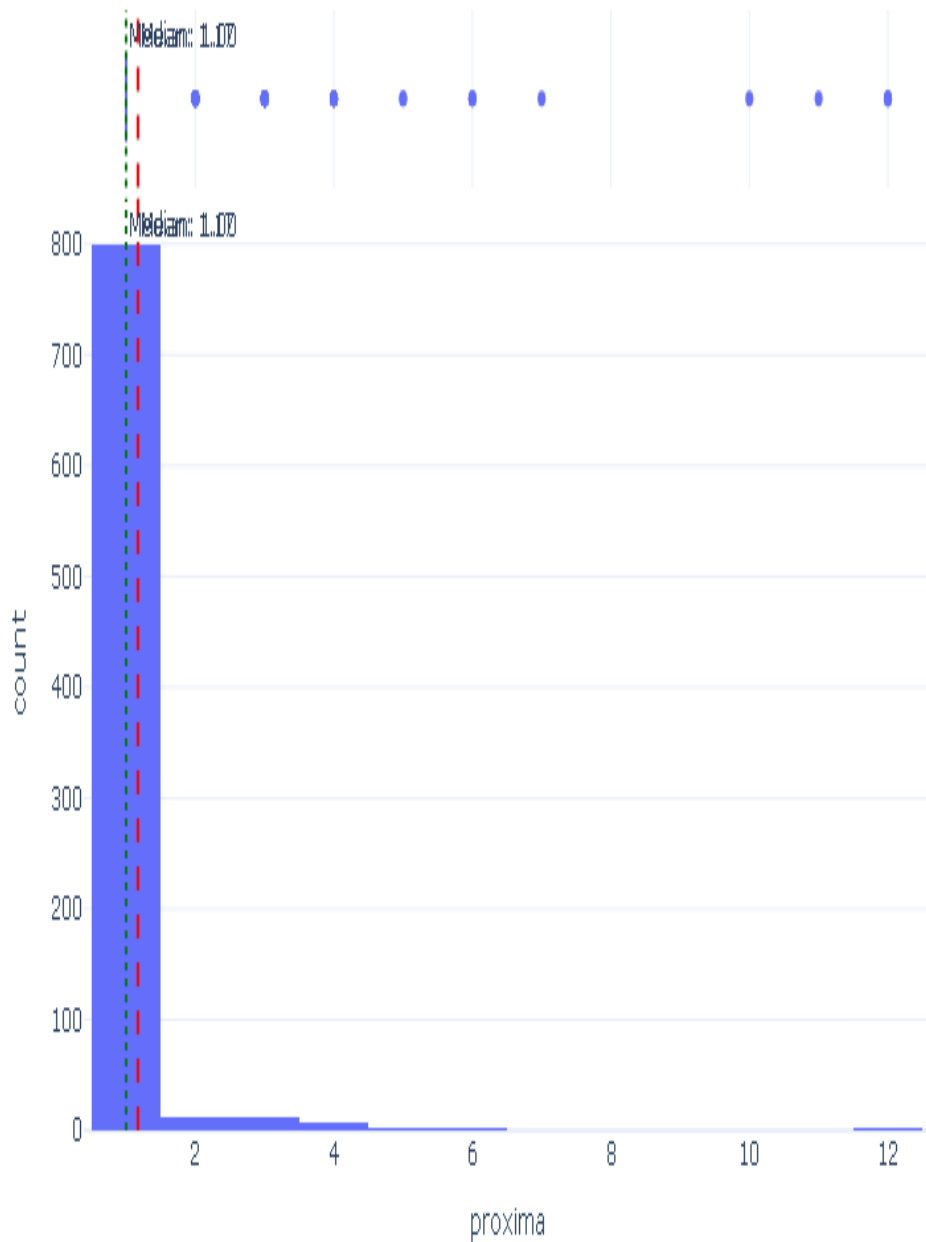


Figura: Distribución de proxima

Boxplot of proxima

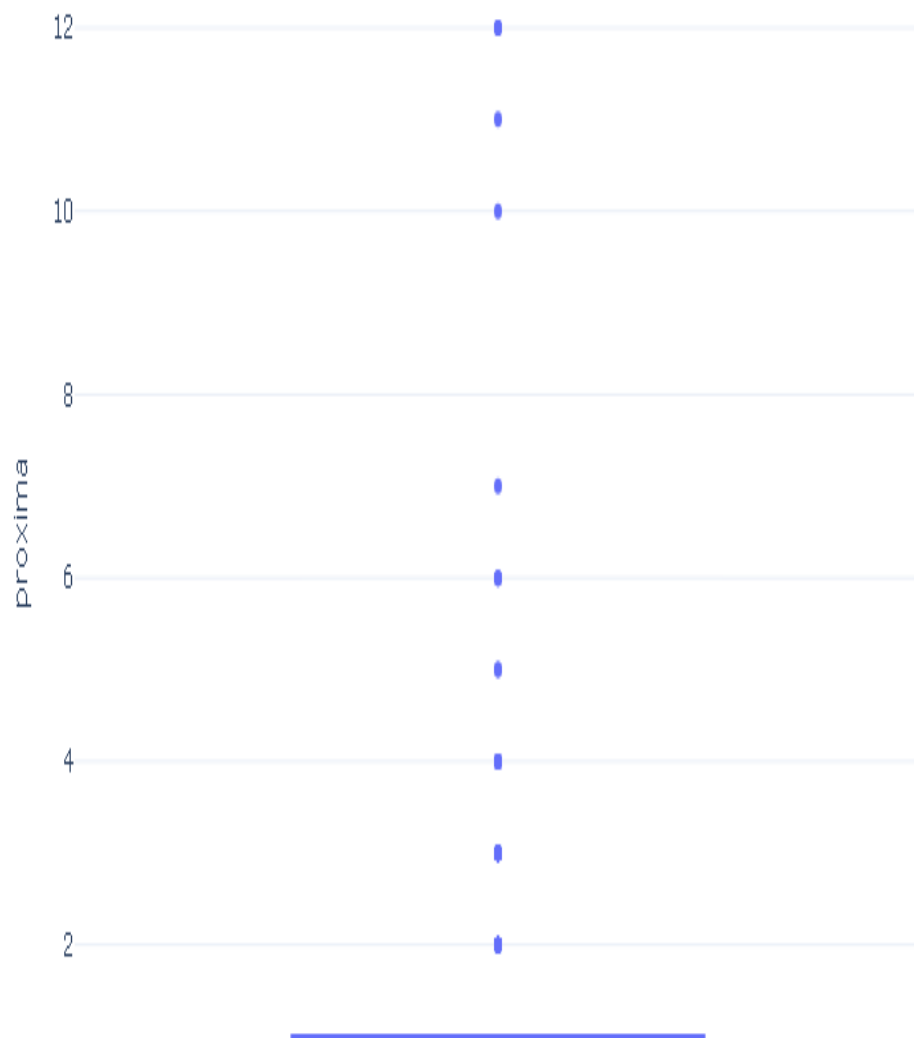


Figura: Boxplot de proxima

Variable: insuficiencia_cardiaca

Estadísticas Descriptivas

Estadística	Valor
Observaciones	51
Valores faltantes	3061 (98.36%)
Media	0.1961
Mediana	N/A
Desviación estándar	0.4010
Mínimo	N/A
Q1 (25%)	N/A
Q3 (75%)	N/A
Máximo	1.0000
Asimetría	1.5778
Curtosis	0.5077

Test de Normalidad (Shapiro-Wilk)

Error al calcular test de normalidad: 'UnivariateStats' object has no attribute 'shapiro'

Detección de Outliers (Método IQR)

Métrica	Valor
Q1 (25%)	0.0000
Q3 (75%)	0.0000
IQR	0.0000
Límite inferior	0.0000
Límite superior	0.0000
Número de outliers	10 (19.61%)

Visualizaciones

Distribution of insuficiencia_cardiaca

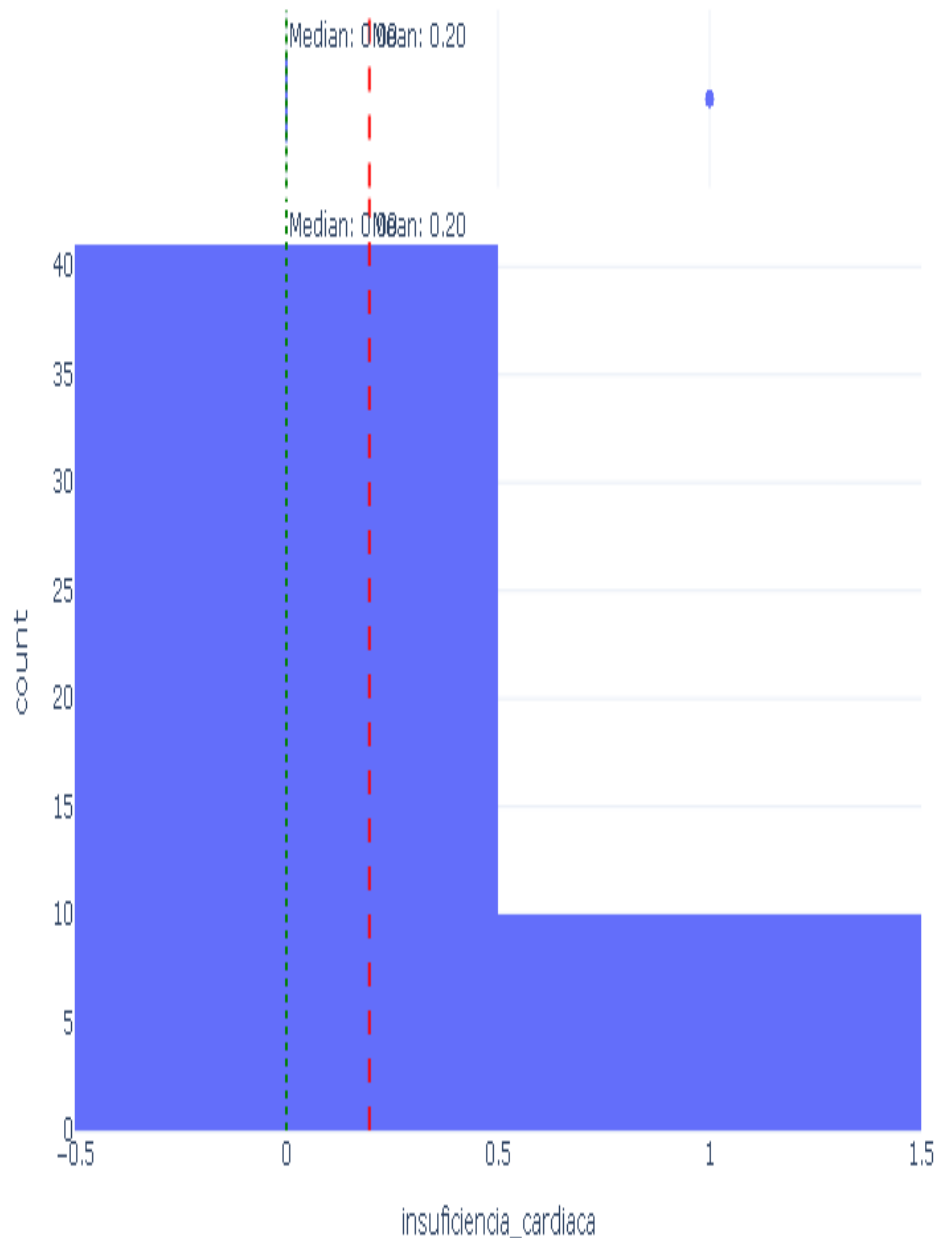


Figura: Distribución de insuficiencia_cardiaca

Boxplot of insuficiencia_cardiaca

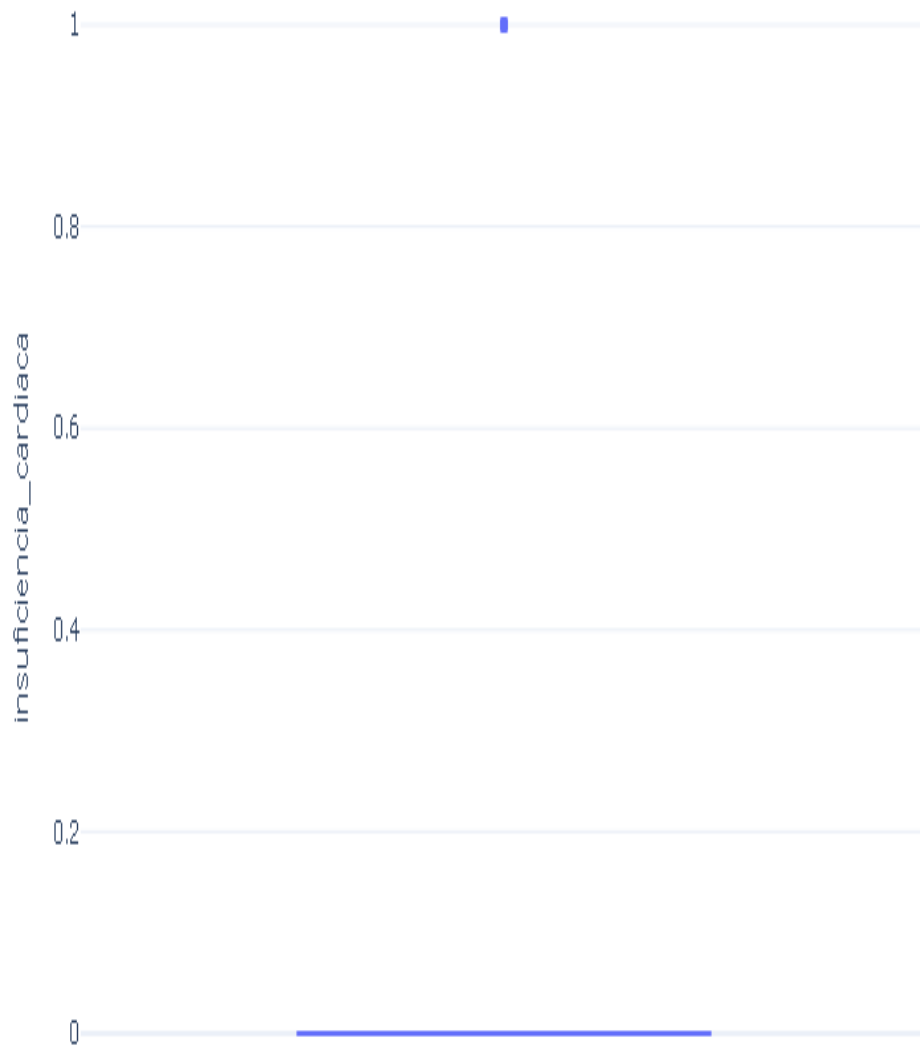


Figura: Boxplot de insuficiencia_cardiaca

Variable: angina_inestable

Estadísticas Descriptivas

Estadística	Valor
Observaciones	51
Valores faltantes	3061 (98.36%)
Media	0.6471
Mediana	1.0000
Desviación estándar	0.4826
Mínimo	N/A
Q1 (25%)	N/A
Q3 (75%)	1.0000
Máximo	1.0000
Asimetría	-0.6343
Curtosis	-1.6646

Test de Normalidad (Shapiro-Wilk)

Error al calcular test de normalidad: 'UnivariateStats' object has no attribute 'shapiro'

Detección de Outliers (Método IQR)

Métrica	Valor
Q1 (25%)	0.0000
Q3 (75%)	1.0000
IQR	1.0000
Límite inferior	-1.5000
Límite superior	2.5000
Número de outliers	0 (0.00%)

Visualizaciones

Distribution of angina_inestable

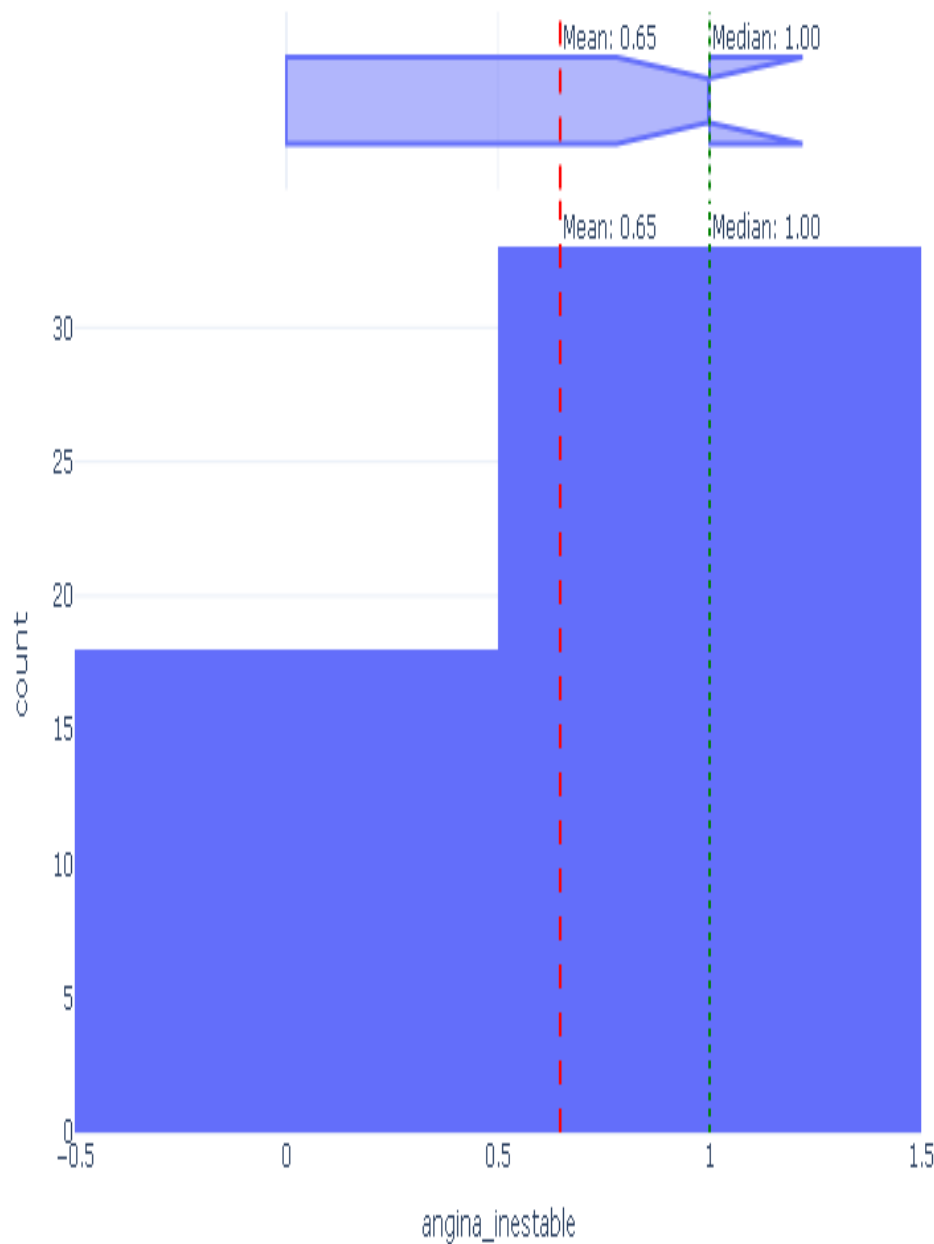


Figura: Distribución de `angina_inestable`

Boxplot of angina_inestable

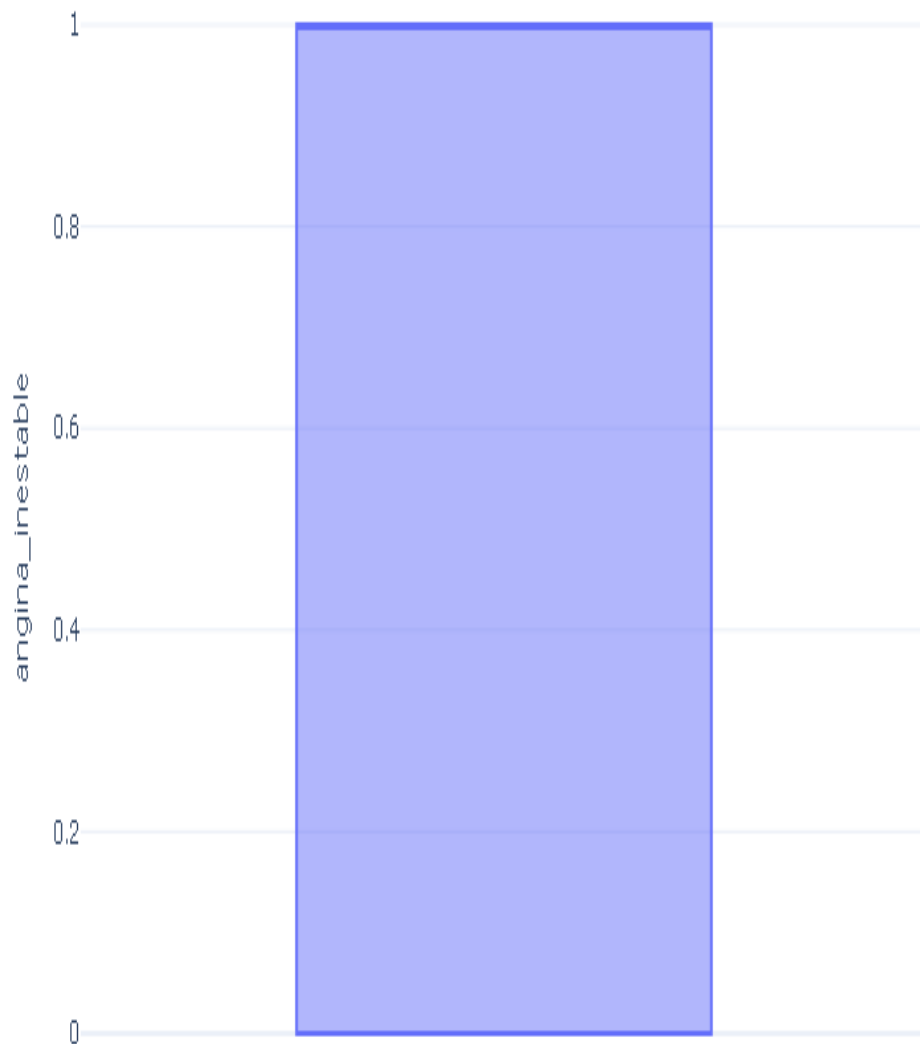


Figura: Boxplot de angina_inestable

Variable: otras

Estadísticas Descriptivas

Estadística	Valor
Observaciones	51
Valores faltantes	3061 (98.36%)
Media	0.1961
Mediana	N/A
Desviación estándar	0.4010
Mínimo	N/A
Q1 (25%)	N/A
Q3 (75%)	N/A
Máximo	1.0000
Asimetría	1.5778
Curtosis	0.5077

Test de Normalidad (Shapiro-Wilk)

Error al calcular test de normalidad: 'UnivariateStats' object has no attribute 'shapiro'

Detección de Outliers (Método IQR)

Métrica	Valor
Q1 (25%)	0.0000
Q3 (75%)	0.0000
IQR	0.0000
Límite inferior	0.0000
Límite superior	0.0000
Número de outliers	10 (19.61%)

Visualizaciones

Distribution of otras

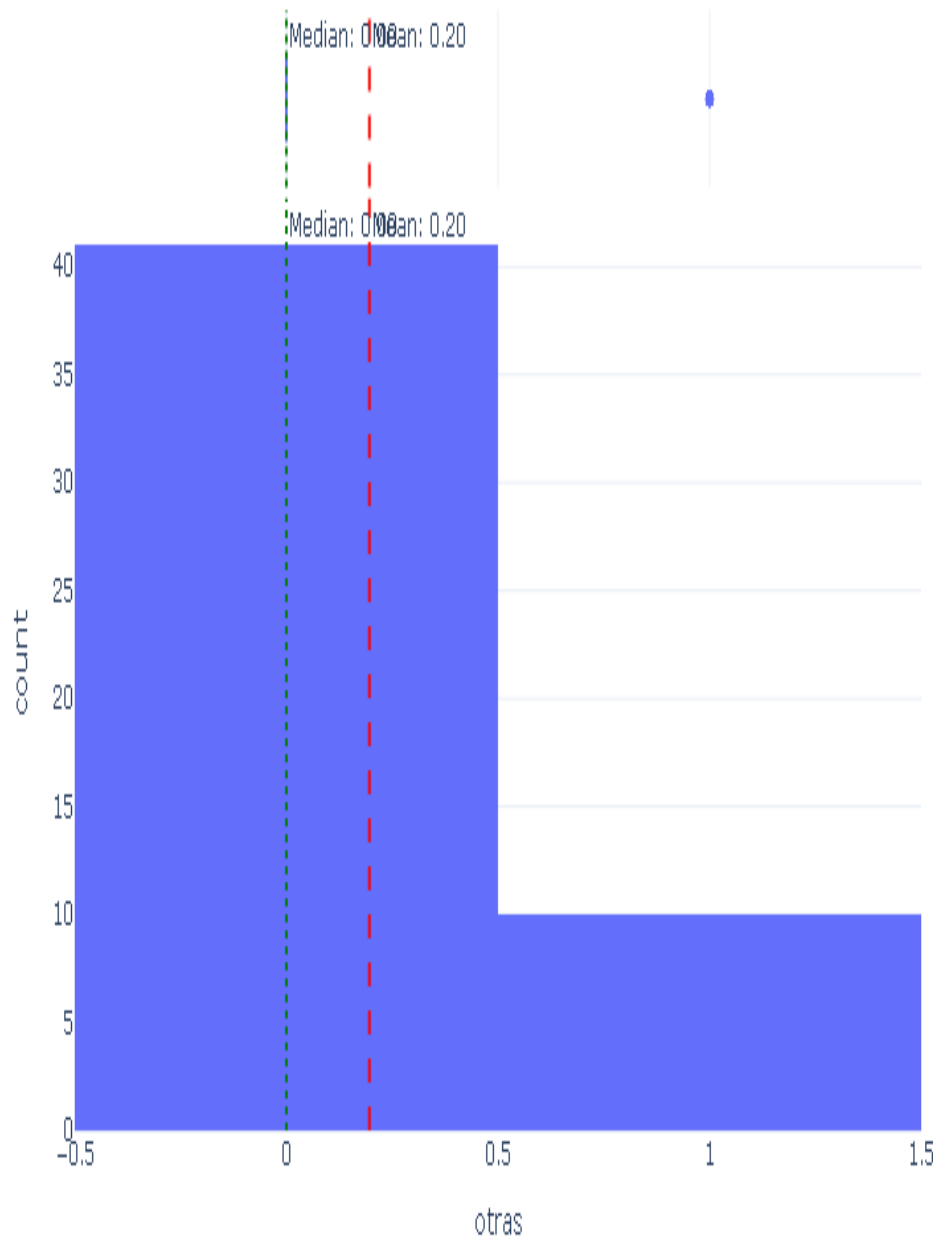


Figura: Distribución de otras

Boxplot of otras

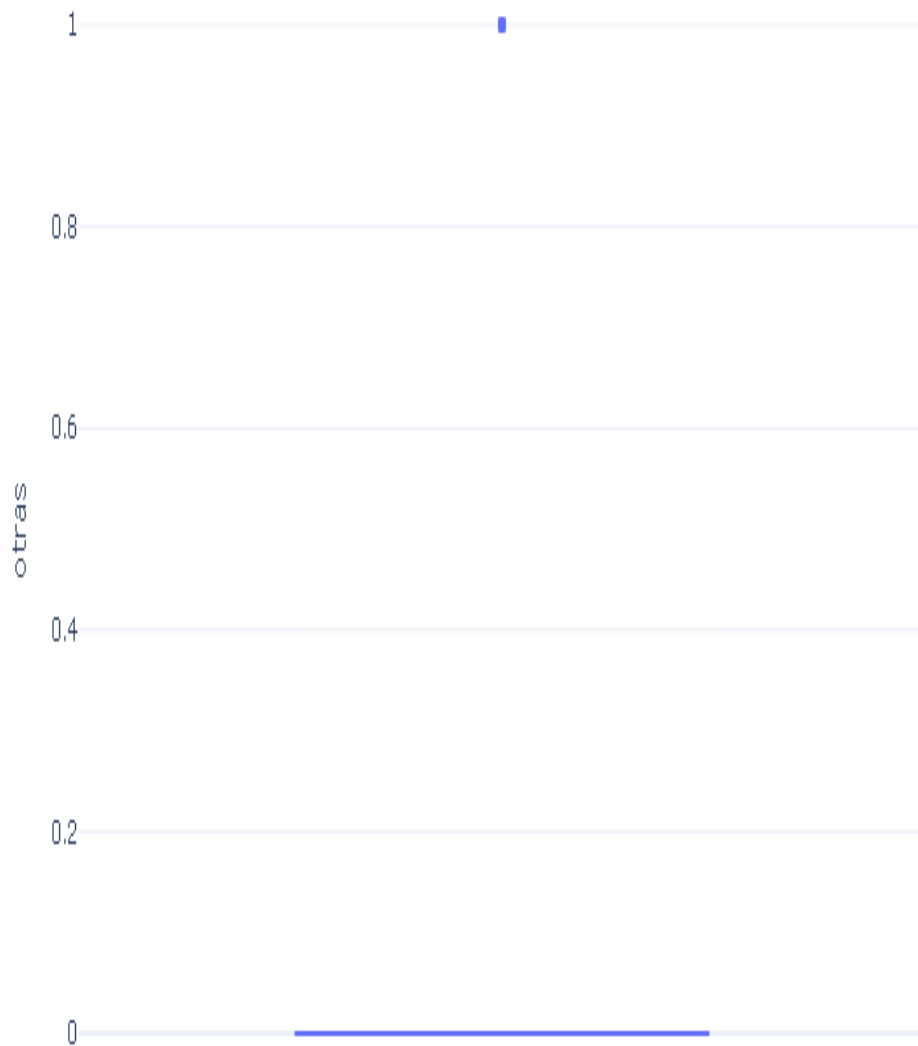


Figura: Boxplot de otras

Variable: razones_documentadas

Estadísticas Descriptivas

Estadística	Valor
Observaciones	20
Valores faltantes	3092 (99.36%)
Media	0.7000
Mediana	1.0000
Desviación estándar	0.4702
Mínimo	N/A
Q1 (25%)	N/A
Q3 (75%)	1.0000
Máximo	1.0000
Asimetría	-0.9453
Curtosis	-1.2418

Test de Normalidad (Shapiro-Wilk)

Error al calcular test de normalidad: 'UnivariateStats' object has no attribute 'shapiro'

Detección de Outliers (Método IQR)

Métrica	Valor
Q1 (25%)	0.0000
Q3 (75%)	1.0000
IQR	1.0000
Límite inferior	-1.5000
Límite superior	2.5000
Número de outliers	0 (0.00%)

Visualizaciones

Distribution of razones_documentadas

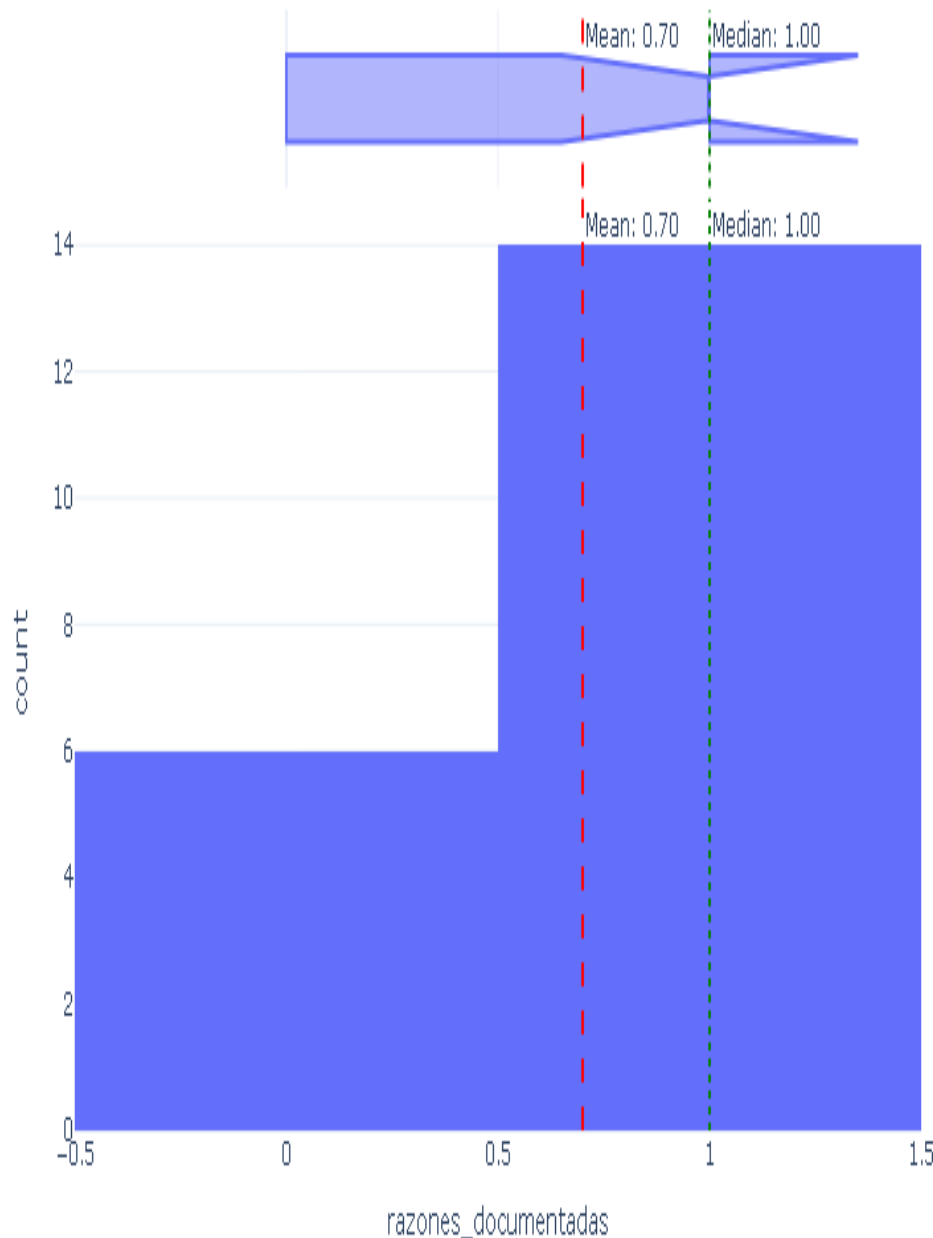


Figura: Distribución de razones_documentadas

Boxplot of razones_documentadas

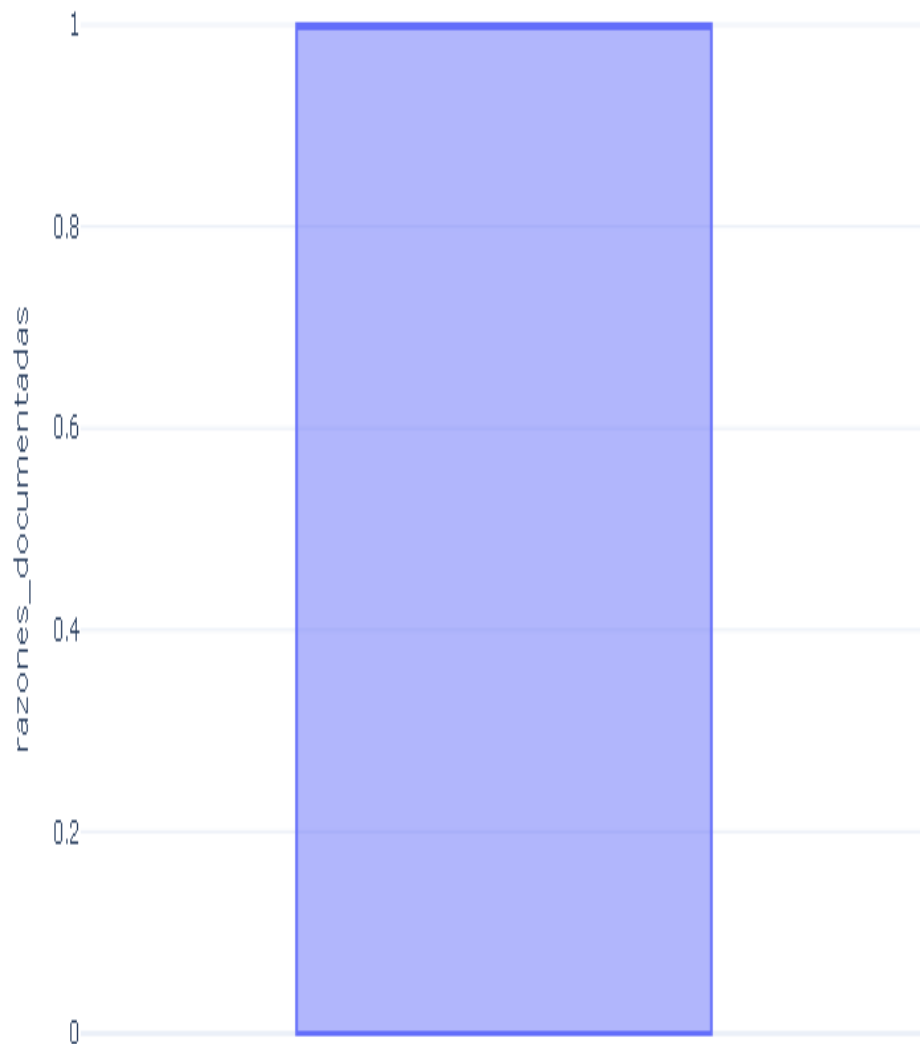


Figura: Boxplot de razones_documentadas

Variable: riesgo_beneficio

Estadísticas Descriptivas

Estadística	Valor
Observaciones	20
Valores faltantes	3092 (99.36%)
Media	0.6500
Mediana	1.0000
Desviación estándar	0.4894
Mínimo	N/A
Q1 (25%)	N/A
Q3 (75%)	1.0000
Máximo	1.0000
Asimetría	-0.6812
Curtosis	-1.7195

Test de Normalidad (Shapiro-Wilk)

Error al calcular test de normalidad: 'UnivariateStats' object has no attribute 'shapiro'

Detección de Outliers (Método IQR)

Métrica	Valor
Q1 (25%)	0.0000
Q3 (75%)	1.0000
IQR	1.0000
Límite inferior	-1.5000
Límite superior	2.5000
Número de outliers	0 (0.00%)

Visualizaciones

Distribution of riesgo_beneficio

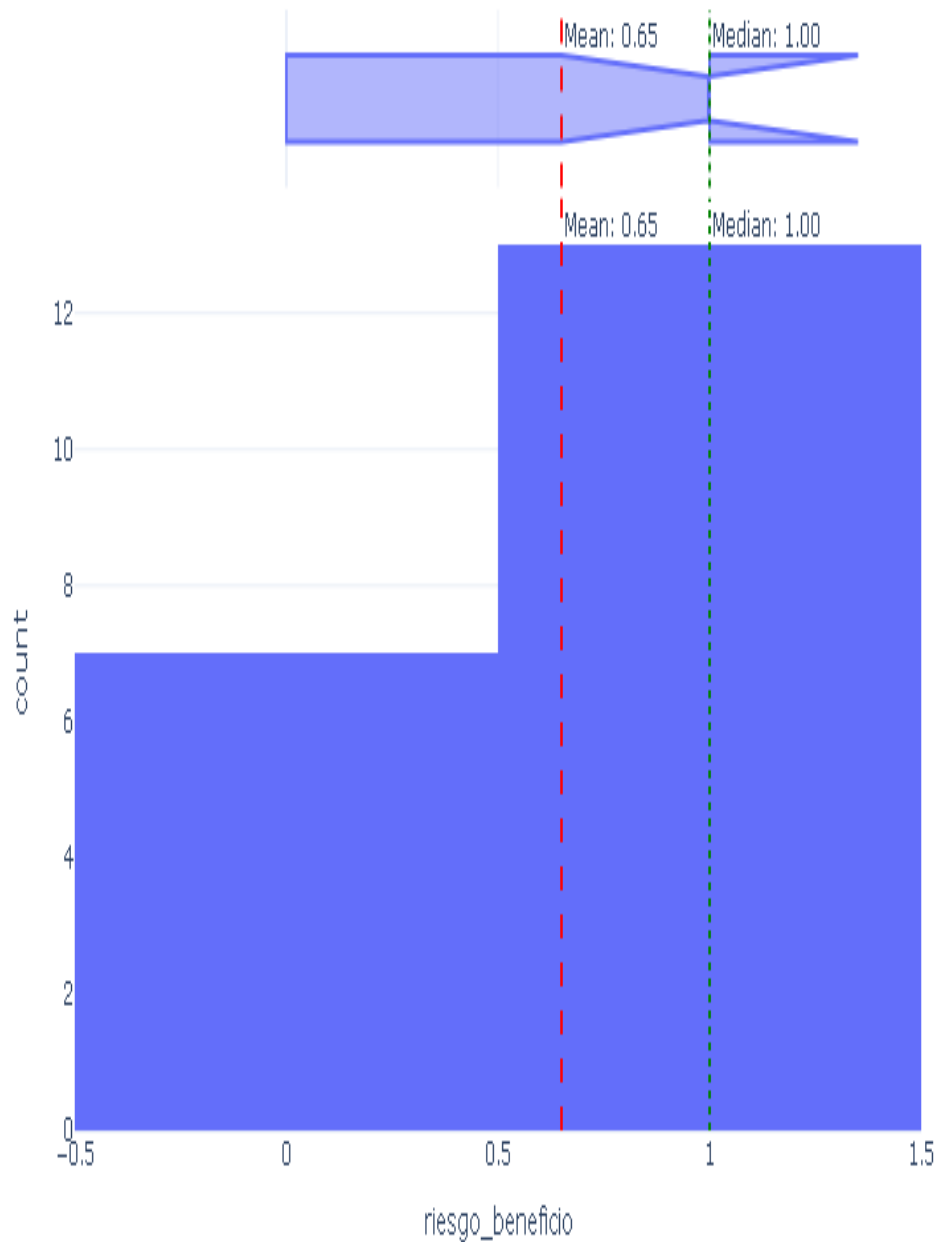


Figura: Distribución de riesgo_beneficio

Boxplot of riesgo_beneficio

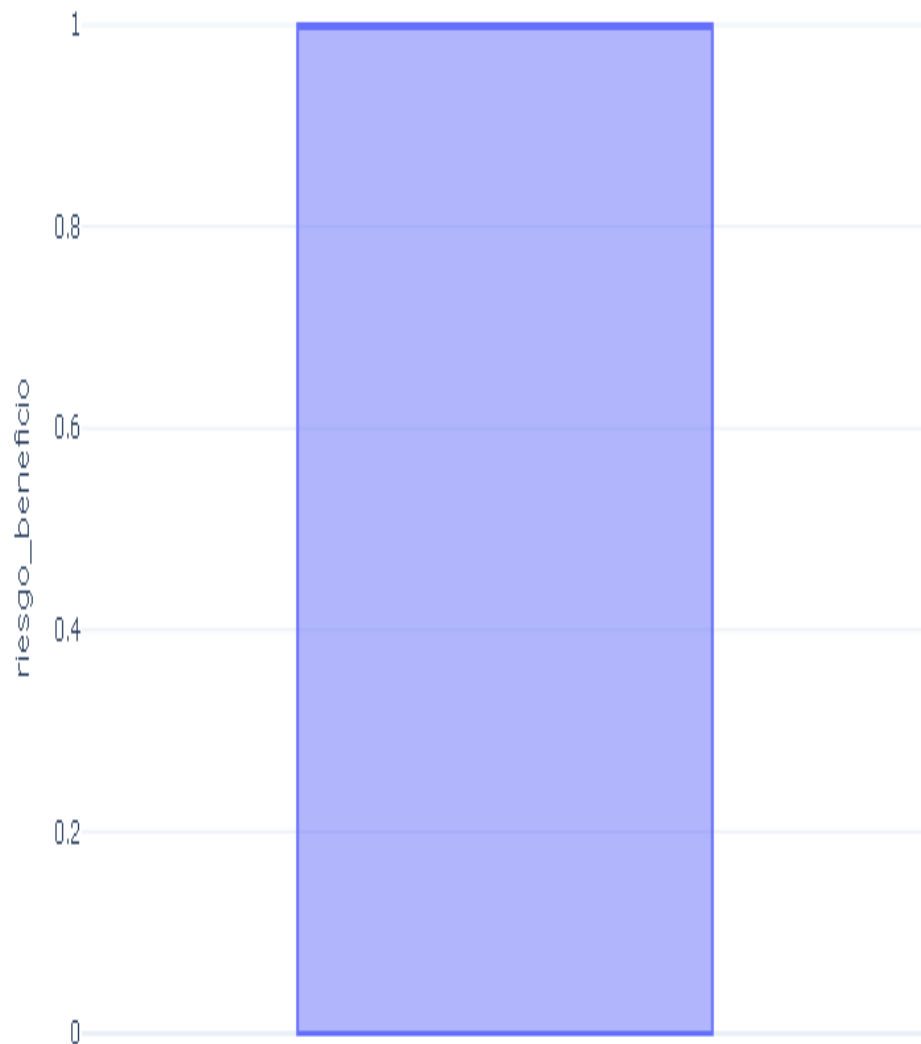


Figura: Boxplot de riesgo_beneficio

Variable: anti_agregacion_plaquetaria

Estadísticas Descriptivas

Estadística	Valor
Observaciones	20
Valores faltantes	3092 (99.36%)
Media	0.6500
Mediana	1.0000
Desviación estándar	0.4894
Mínimo	N/A
Q1 (25%)	N/A
Q3 (75%)	1.0000
Máximo	1.0000
Asimetría	-0.6812
Curtosis	-1.7195

Test de Normalidad (Shapiro-Wilk)

Error al calcular test de normalidad: 'UnivariateStats' object has no attribute 'shapiro'

Detección de Outliers (Método IQR)

Métrica	Valor
Q1 (25%)	0.0000
Q3 (75%)	1.0000
IQR	1.0000
Límite inferior	-1.5000
Límite superior	2.5000
Número de outliers	0 (0.00%)

Visualizaciones

Distribution of anti_agregacion_plaquetaria

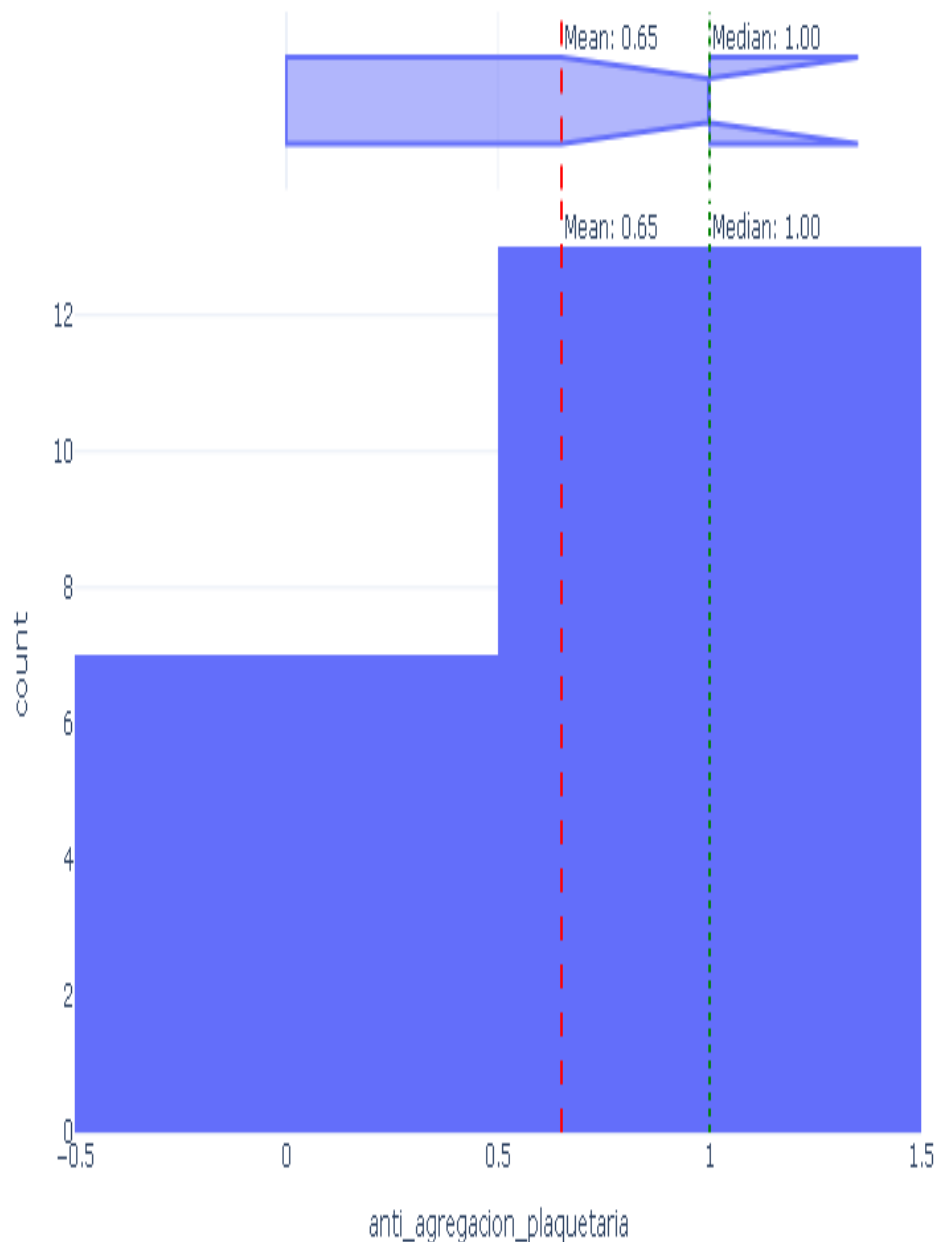


Figura: Distribución de `anti_agregacion_plaquetaria`

Boxplot of anti_agregacion_plaquetaria

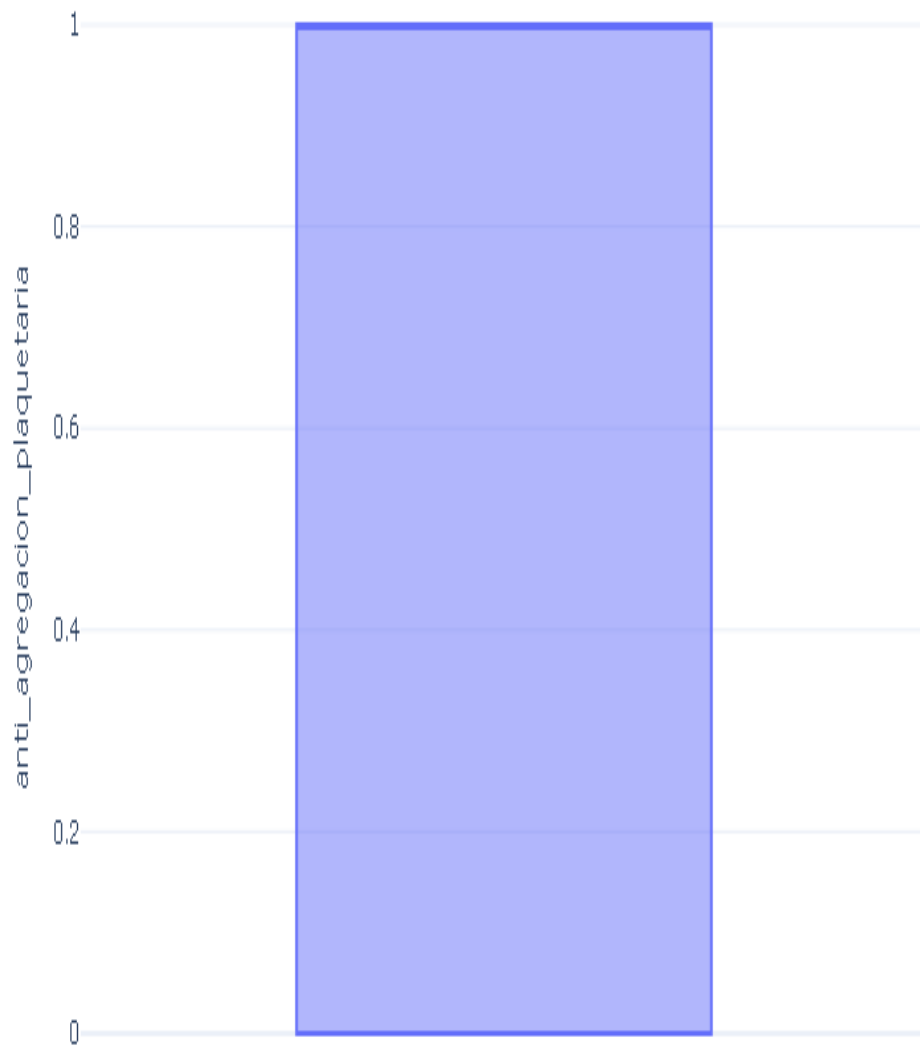


Figura: Boxplot de anti_agregacion_plaquetaria

Variable: proteccion_embolica

Estadísticas Descriptivas

Estadística	Valor
Observaciones	20
Valores faltantes	3092 (99.36%)
Media	0.5000
Mediana	0.5000
Desviación estándar	0.5130
Mínimo	N/A
Q1 (25%)	N/A
Q3 (75%)	1.0000
Máximo	1.0000
Asimetría	N/A
Curtosis	-2.2353

Test de Normalidad (Shapiro-Wilk)

Error al calcular test de normalidad: 'UnivariateStats' object has no attribute 'shapiro'

Detección de Outliers (Método IQR)

Métrica	Valor
Q1 (25%)	0.0000
Q3 (75%)	1.0000
IQR	1.0000
Límite inferior	-1.5000
Límite superior	2.5000
Número de outliers	0 (0.00%)

Visualizaciones

Distribution of proteccion_embolica

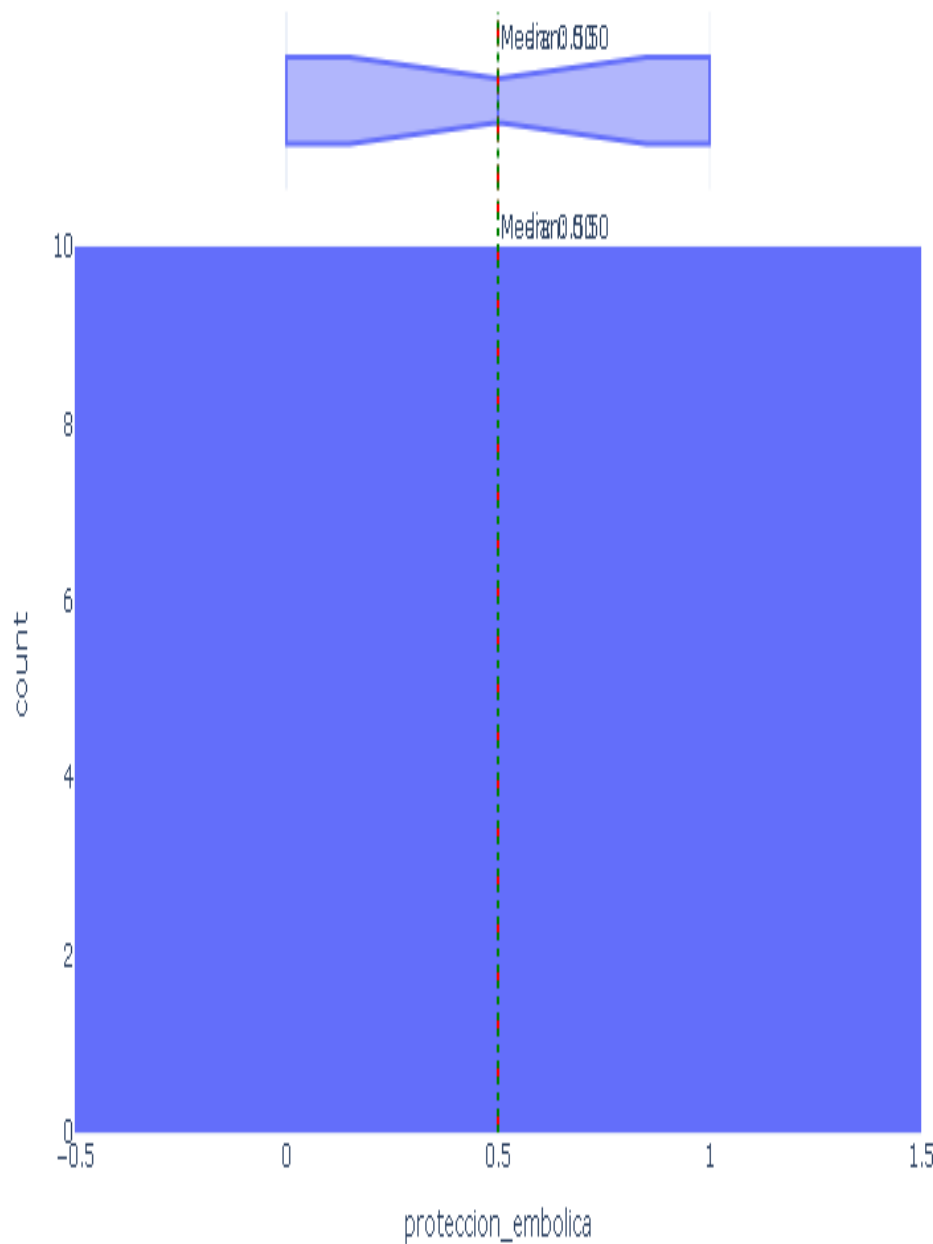


Figura: Distribución de `proteccion_embolica`

Boxplot of proteccion_embolica

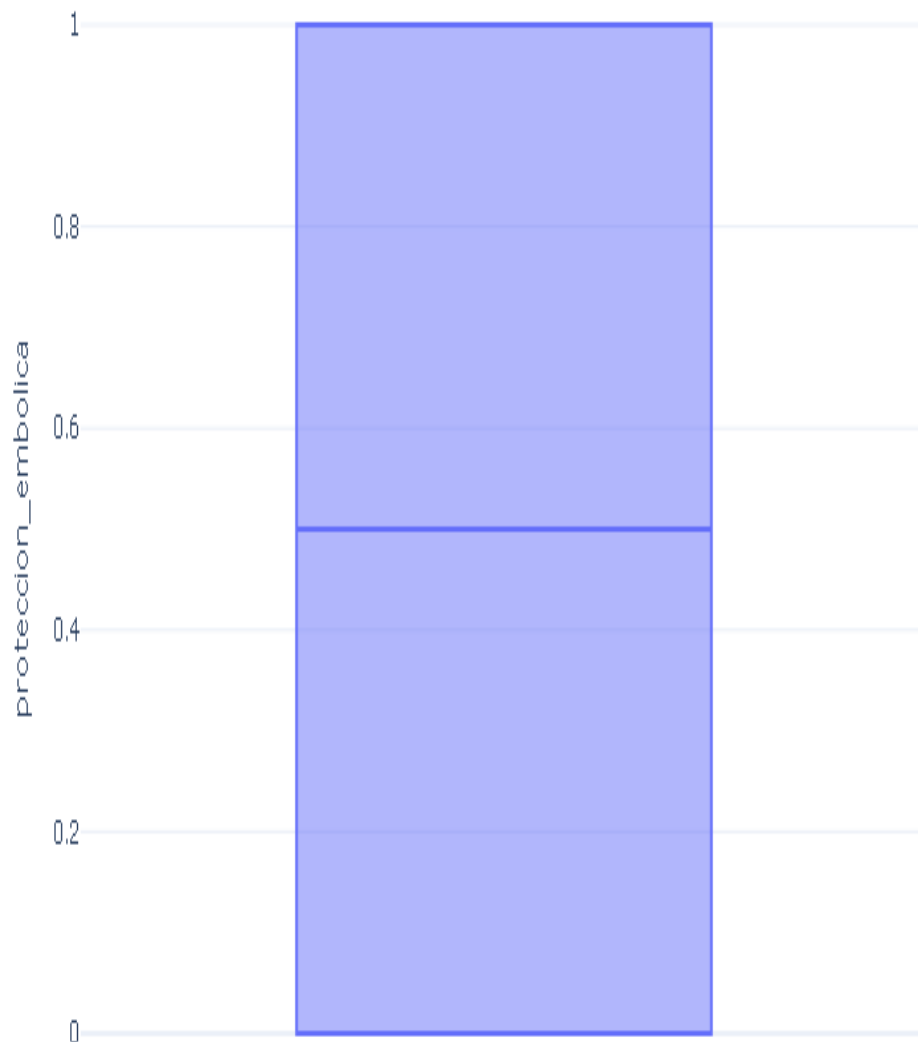


Figura: Boxplot de proteccion_embolica

Variable: funcion_renal

Estadísticas Descriptivas

Estadística	Valor
Observaciones	20
Valores faltantes	3092 (99.36%)
Media	0.5000
Mediana	0.5000
Desviación estándar	0.5130
Mínimo	N/A
Q1 (25%)	N/A
Q3 (75%)	1.0000
Máximo	1.0000
Asimetría	N/A
Curtosis	-2.2353

Test de Normalidad (Shapiro-Wilk)

Error al calcular test de normalidad: 'UnivariateStats' object has no attribute 'shapiro'

Detección de Outliers (Método IQR)

Métrica	Valor
Q1 (25%)	0.0000
Q3 (75%)	1.0000
IQR	1.0000
Límite inferior	-1.5000
Límite superior	2.5000
Número de outliers	0 (0.00%)

Visualizaciones

Distribution of funcion_renal

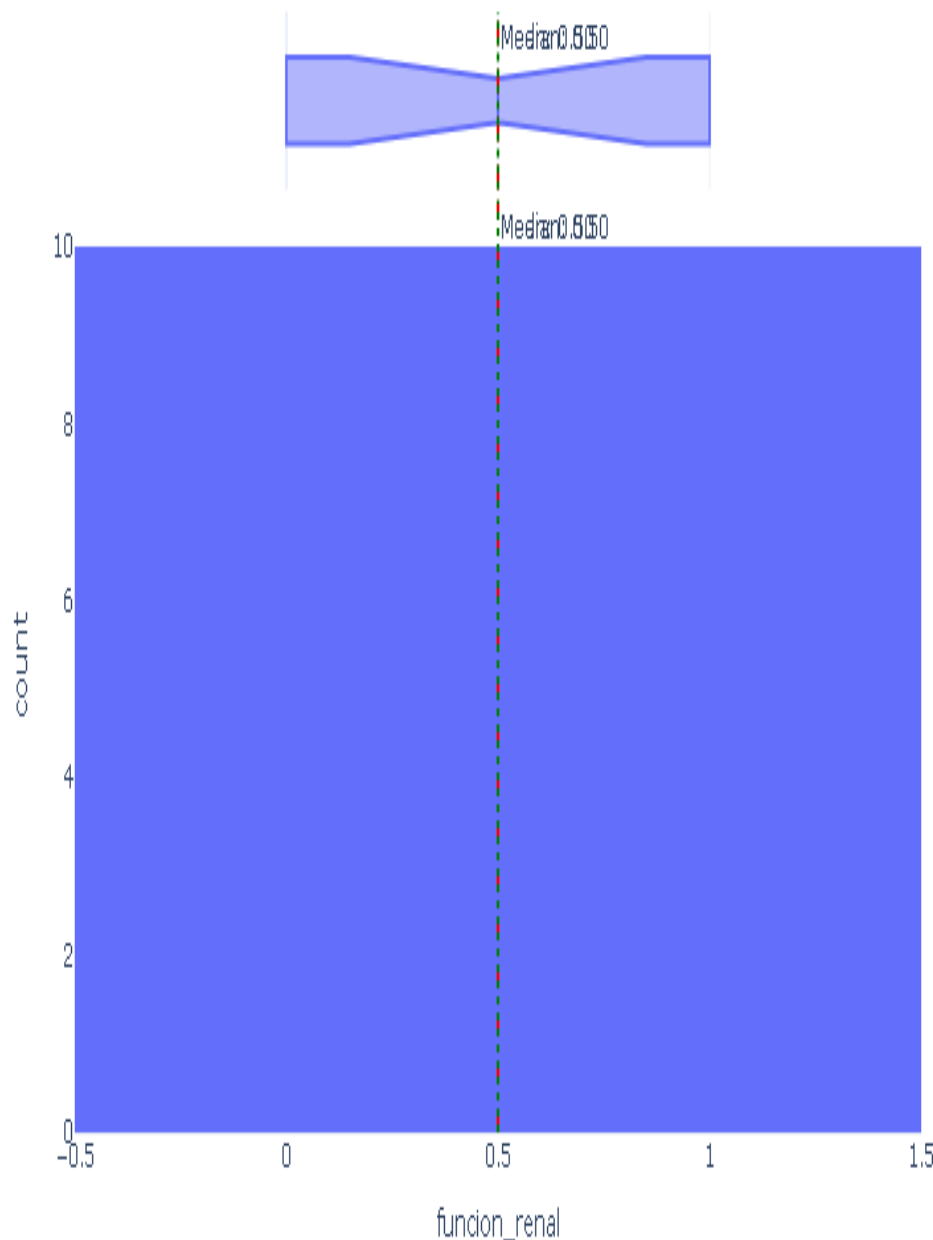


Figura: Distribución de *funcion_renal*

Boxplot of funcion_renal

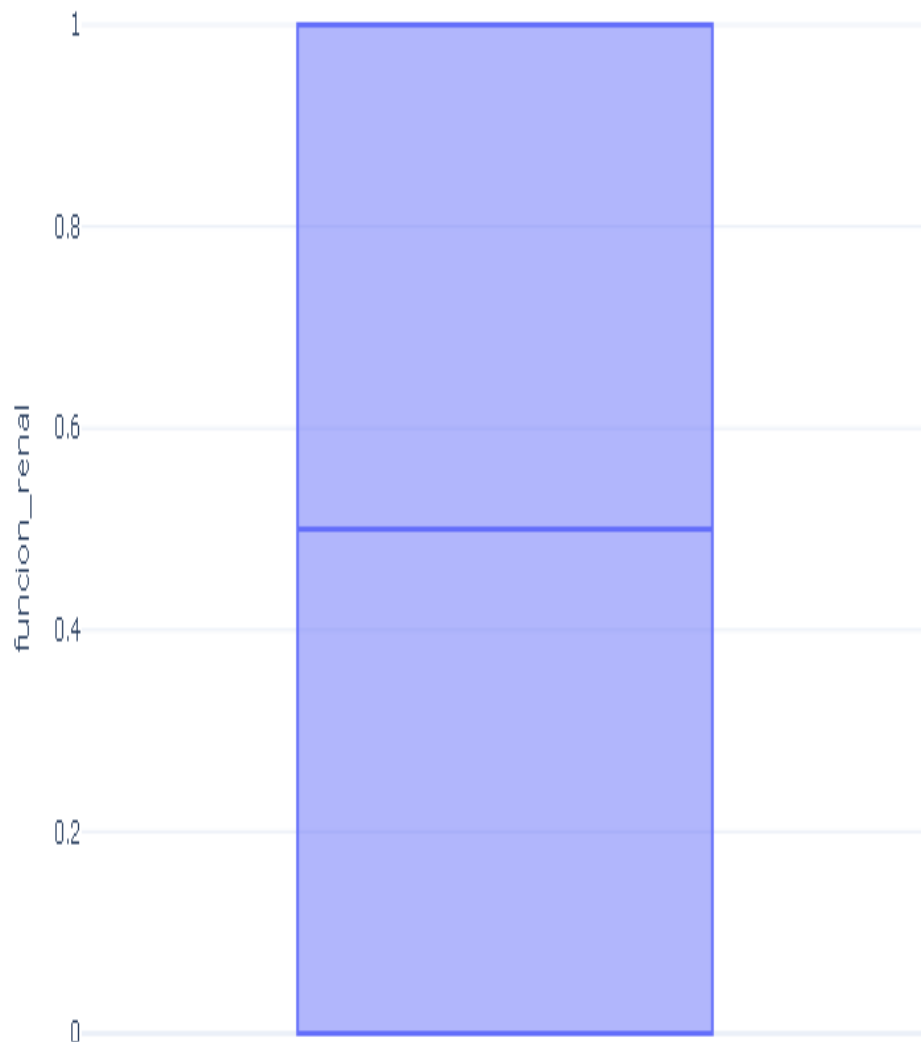


Figura: Boxplot de funcion_renal

Variable: volumen_contraste

Estadísticas Descriptivas

Estadística	Valor
Observaciones	20
Valores faltantes	3092 (99.36%)
Media	0.1000
Mediana	N/A
Desviación estándar	0.3078
Mínimo	N/A
Q1 (25%)	N/A
Q3 (75%)	N/A
Máximo	1.0000
Asimetría	2.8879
Curtosis	7.0370

Test de Normalidad (Shapiro-Wilk)

Error al calcular test de normalidad: 'UnivariateStats' object has no attribute 'shapiro'

Detección de Outliers (Método IQR)

Métrica	Valor
Q1 (25%)	0.0000
Q3 (75%)	0.0000
IQR	0.0000
Límite inferior	0.0000
Límite superior	0.0000
Número de outliers	2 (10.00%)

Visualizaciones

Distribution of volumen_contraste

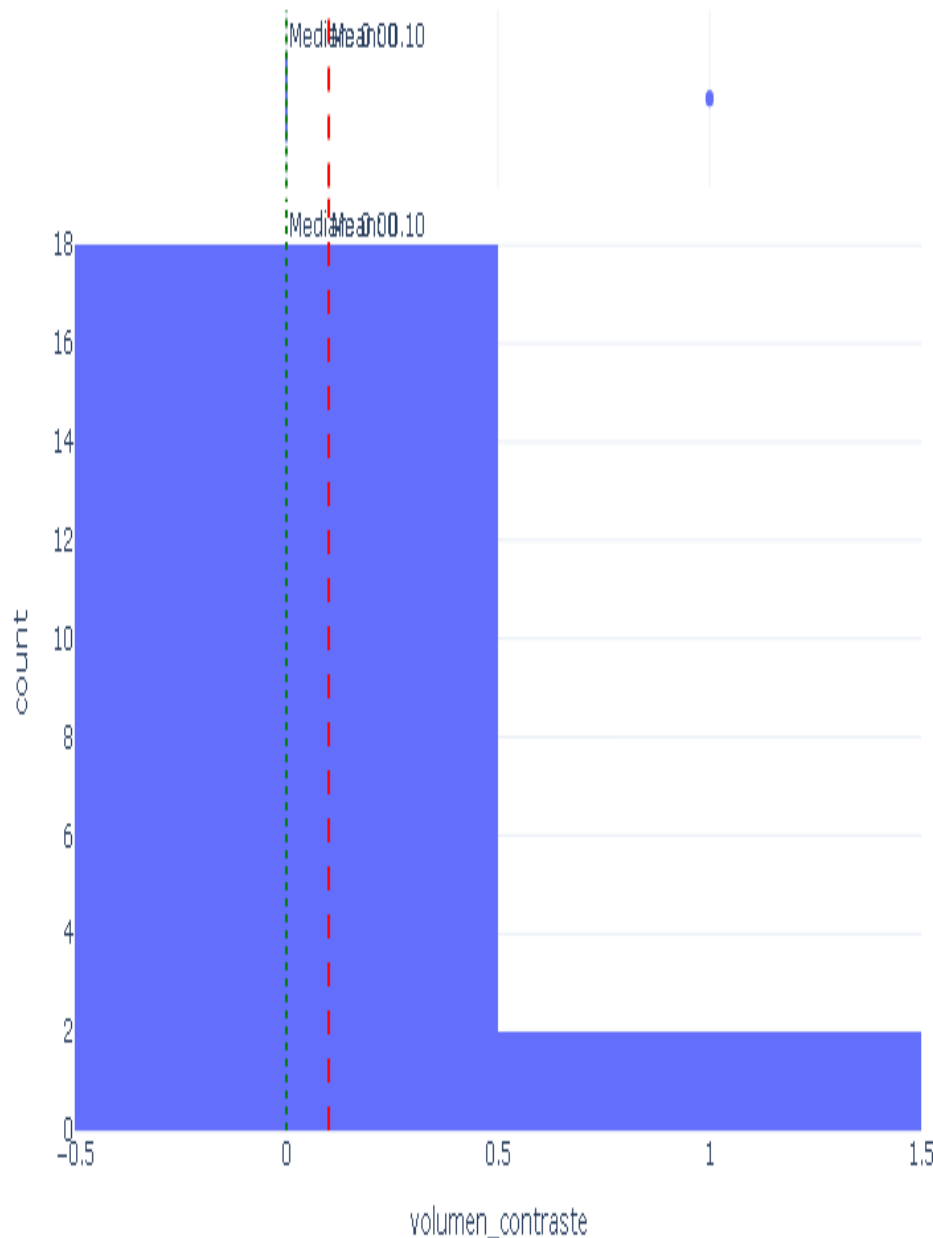


Figura: Distribución de `volumen_contraste`

Boxplot of volumen_contraste

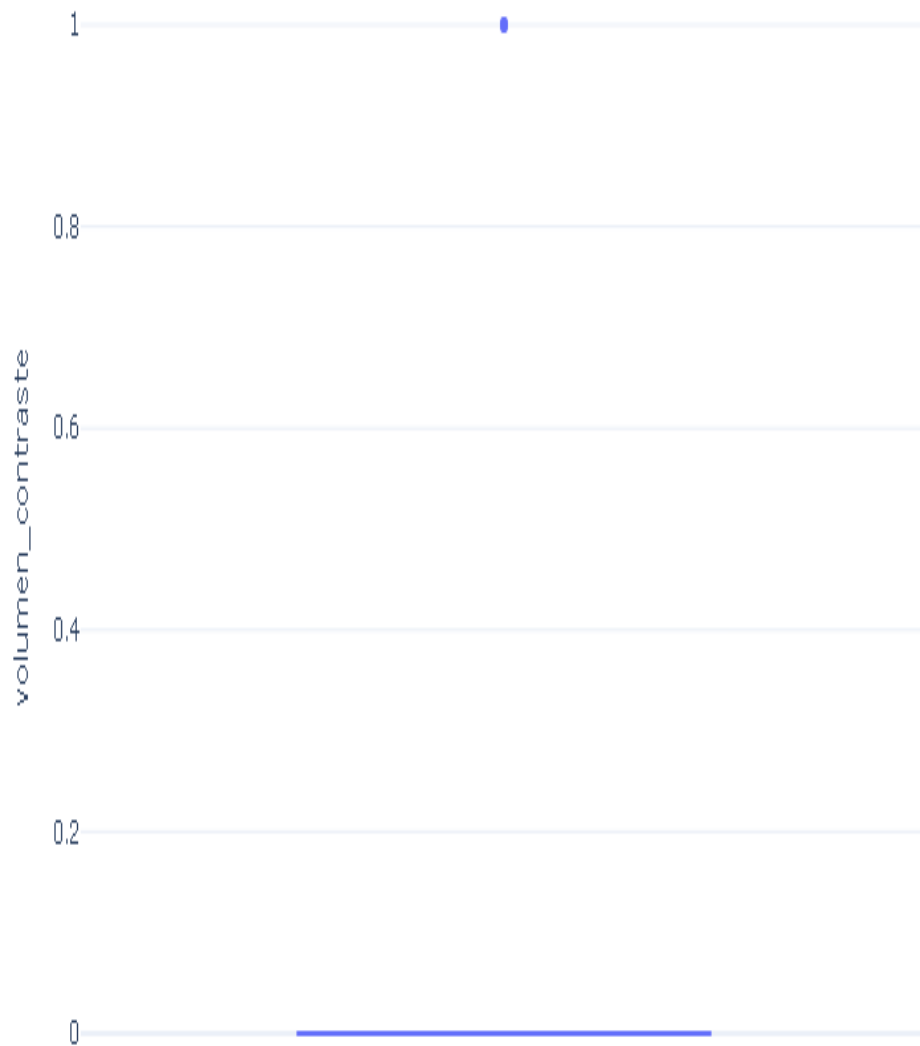


Figura: Boxplot de volumen_contraste

Variable: prescripcion_optima

Estadísticas Descriptivas

Estadística	Valor
Observaciones	20
Valores faltantes	3092 (99.36%)
Media	0.1000
Mediana	N/A
Desviación estándar	0.3078
Mínimo	N/A
Q1 (25%)	N/A
Q3 (75%)	N/A
Máximo	1.0000
Asimetría	2.8879
Curtosis	7.0370

Test de Normalidad (Shapiro-Wilk)

Error al calcular test de normalidad: 'UnivariateStats' object has no attribute 'shapiro'

Detección de Outliers (Método IQR)

Métrica	Valor
Q1 (25%)	0.0000
Q3 (75%)	0.0000
IQR	0.0000
Límite inferior	0.0000
Límite superior	0.0000
Número de outliers	2 (10.00%)

Visualizaciones

Distribution of prescripcion_optima

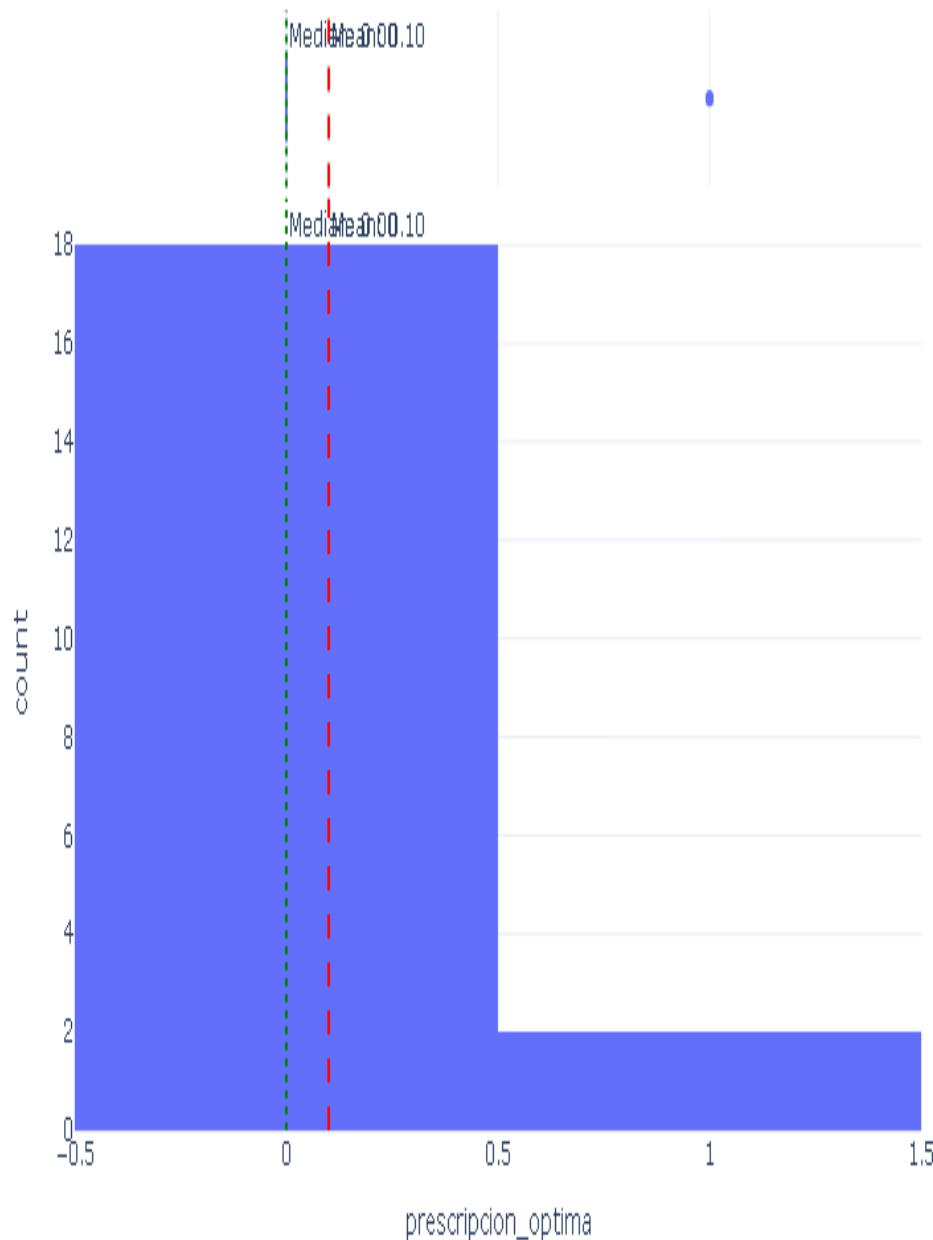


Figura: Distribución de `prescripcion_optima`

Boxplot of prescripcion_optima

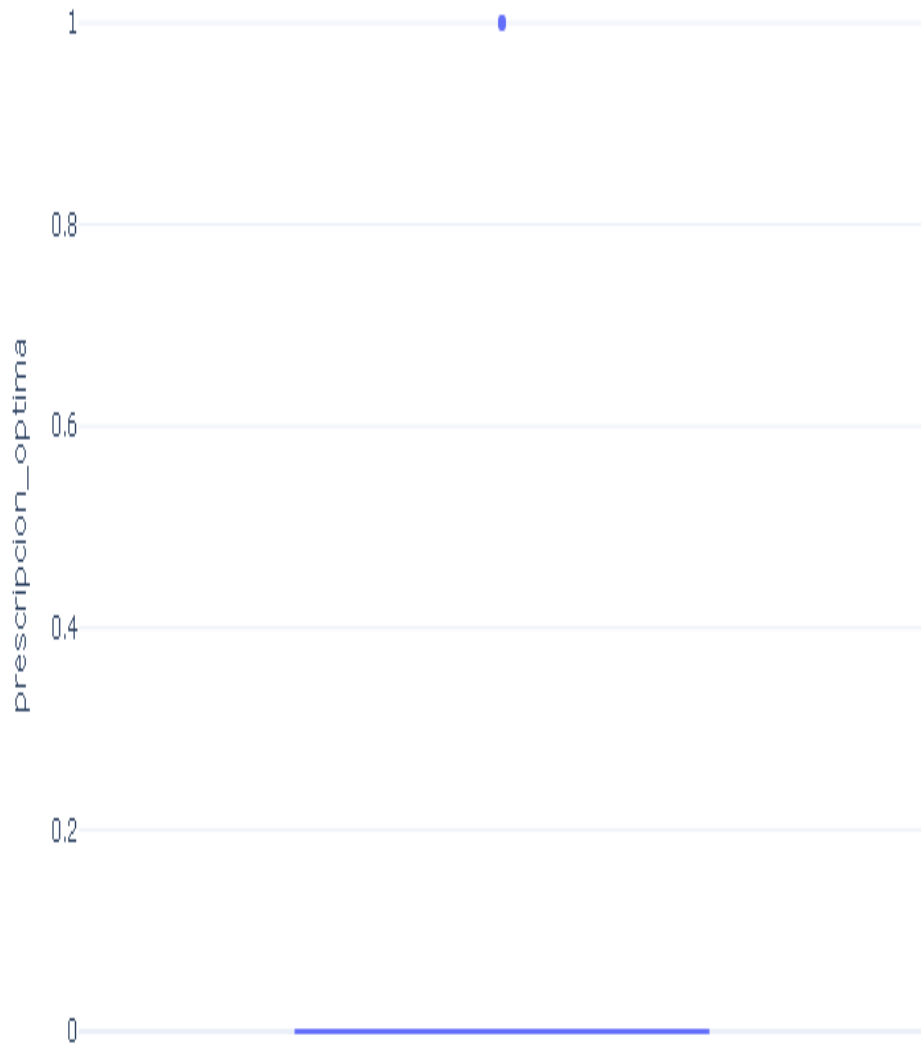


Figura: Boxplot de prescripcion_optima

Variable: rehabilitacion

Estadísticas Descriptivas

Estadística	Valor
Observaciones	20
Valores faltantes	3092 (99.36%)
Media	0.1000
Mediana	N/A
Desviación estándar	0.3078
Mínimo	N/A
Q1 (25%)	N/A
Q3 (75%)	N/A
Máximo	1.0000
Asimetría	2.8879
Curtosis	7.0370

Test de Normalidad (Shapiro-Wilk)

Error al calcular test de normalidad: 'UnivariateStats' object has no attribute 'shapiro'

Detección de Outliers (Método IQR)

Métrica	Valor
Q1 (25%)	0.0000
Q3 (75%)	0.0000
IQR	0.0000
Límite inferior	0.0000
Límite superior	0.0000
Número de outliers	2 (10.00%)

Visualizaciones

Distribution of rehabilitacion

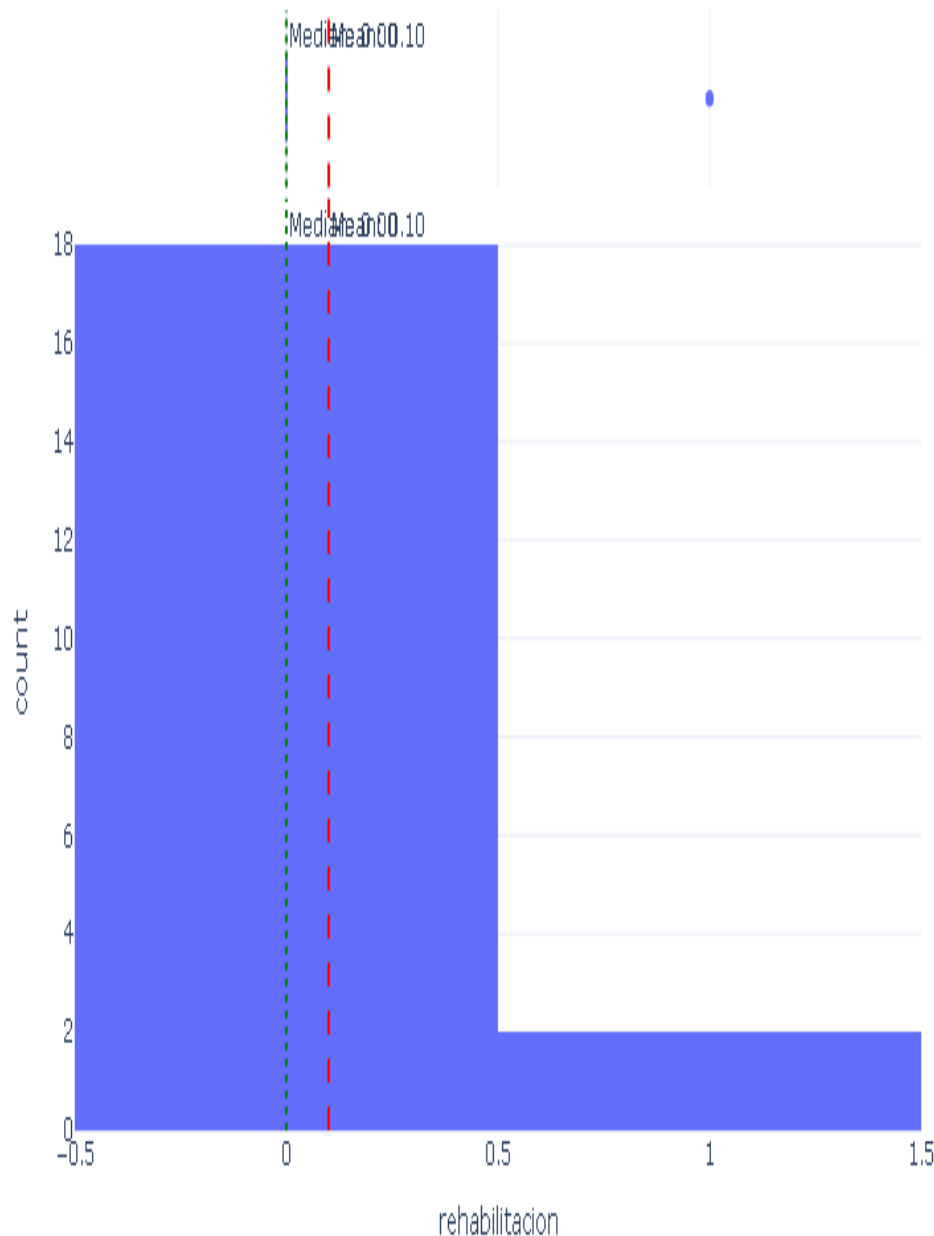


Figura: Distribución de rehabilitacion

Boxplot of rehabilitacion

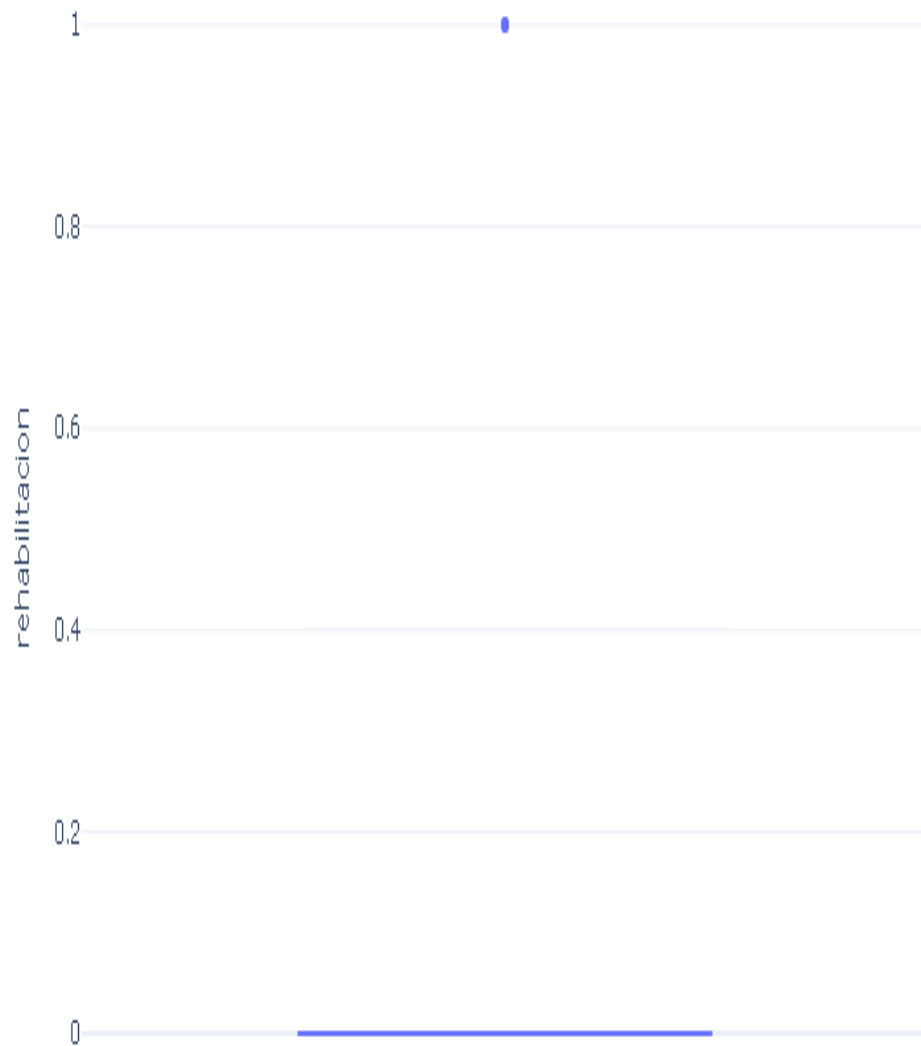


Figura: Boxplot de rehabilitacion

Variable: participacion_registro

Estadísticas Descriptivas

Estadística	Valor
Observaciones	20
Valores faltantes	3092 (99.36%)
Media	0.1000
Mediana	N/A
Desviación estándar	0.3078
Mínimo	N/A
Q1 (25%)	N/A
Q3 (75%)	N/A
Máximo	1.0000
Asimetría	2.8879
Curtosis	7.0370

Test de Normalidad (Shapiro-Wilk)

Error al calcular test de normalidad: 'UnivariateStats' object has no attribute 'shapiro'

Detección de Outliers (Método IQR)

Métrica	Valor
Q1 (25%)	0.0000
Q3 (75%)	0.0000
IQR	0.0000
Límite inferior	0.0000
Límite superior	0.0000
Número de outliers	2 (10.00%)

Visualizaciones

Distribution of participacion_registro

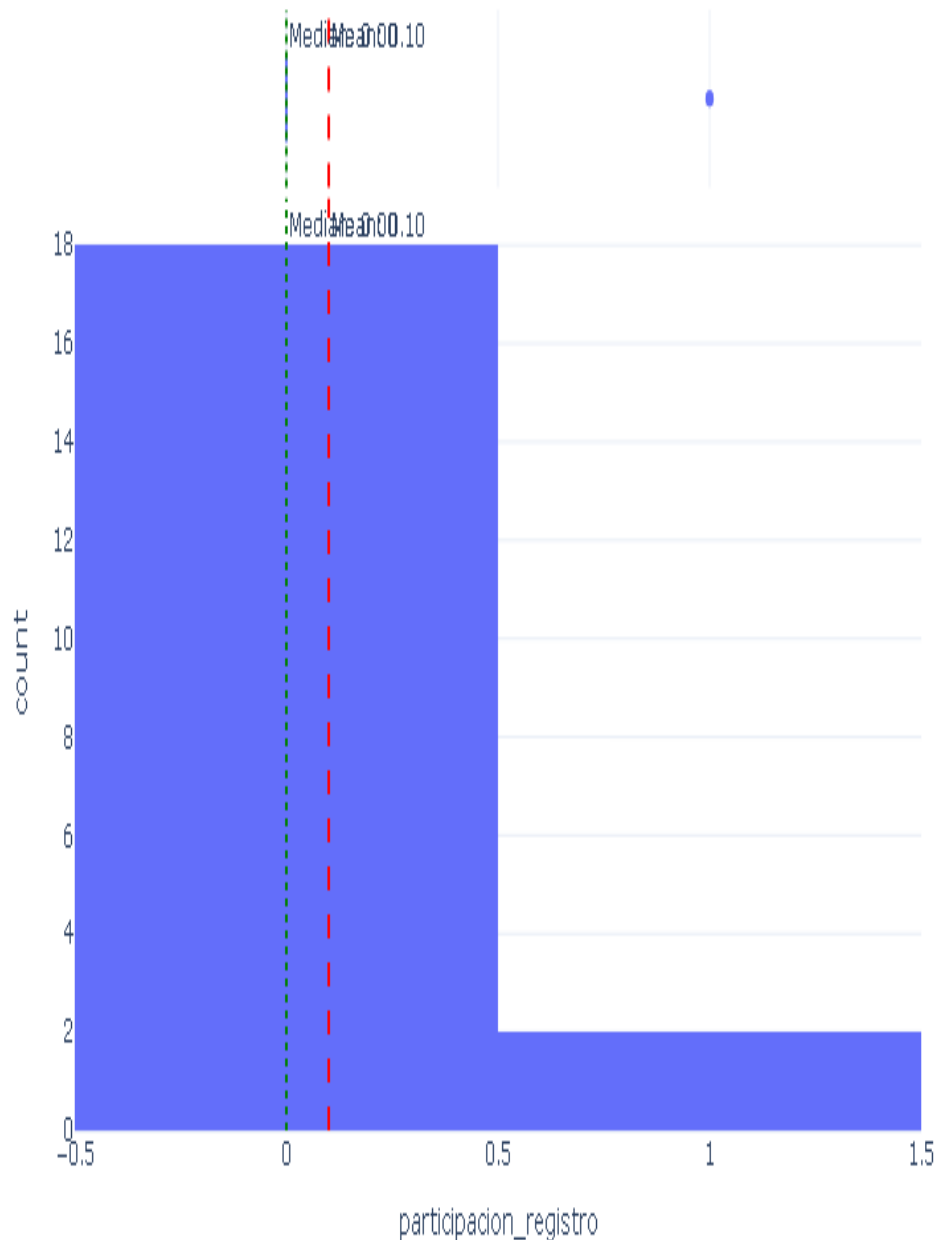


Figura: Distribución de `participacion_registro`

Boxplot of participacion_registro

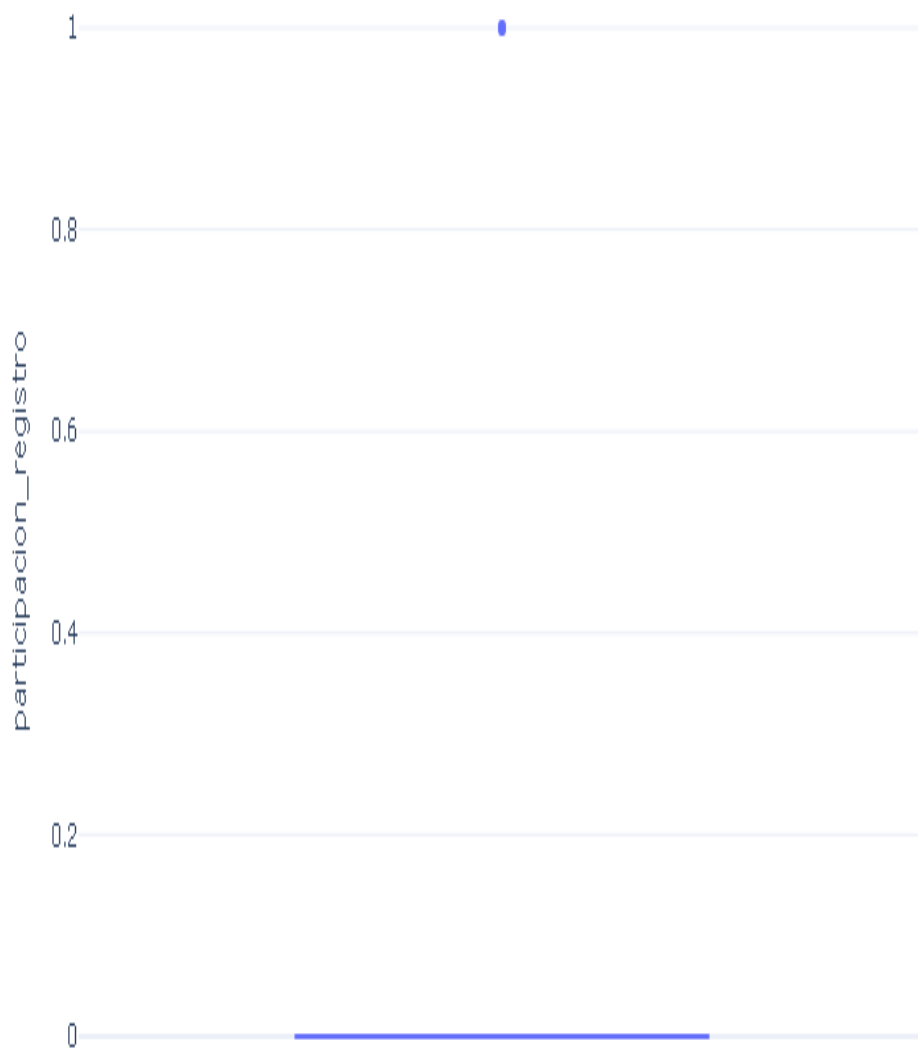


Figura: Boxplot de participacion_registro

Variable: coronariografias_medico

Estadísticas Descriptivas

Estadística	Valor
Observaciones	0
Valores faltantes	3112 (100.00%)
Media	N/A
Mediana	N/A
Desviación estándar	N/A
Mínimo	N/A
Q1 (25%)	N/A
Q3 (75%)	N/A
Máximo	N/A
Asimetría	nan
Curtosis	nan

Test de Normalidad (Shapiro-Wilk)

Test no aplicable ($n=0$). El test de Shapiro-Wilk requiere $3 < n \leq 5000$.

Detección de Outliers (Método IQR)

Error al detectar outliers: division by zero

Visualizaciones

Distribution of coronariografias_medico

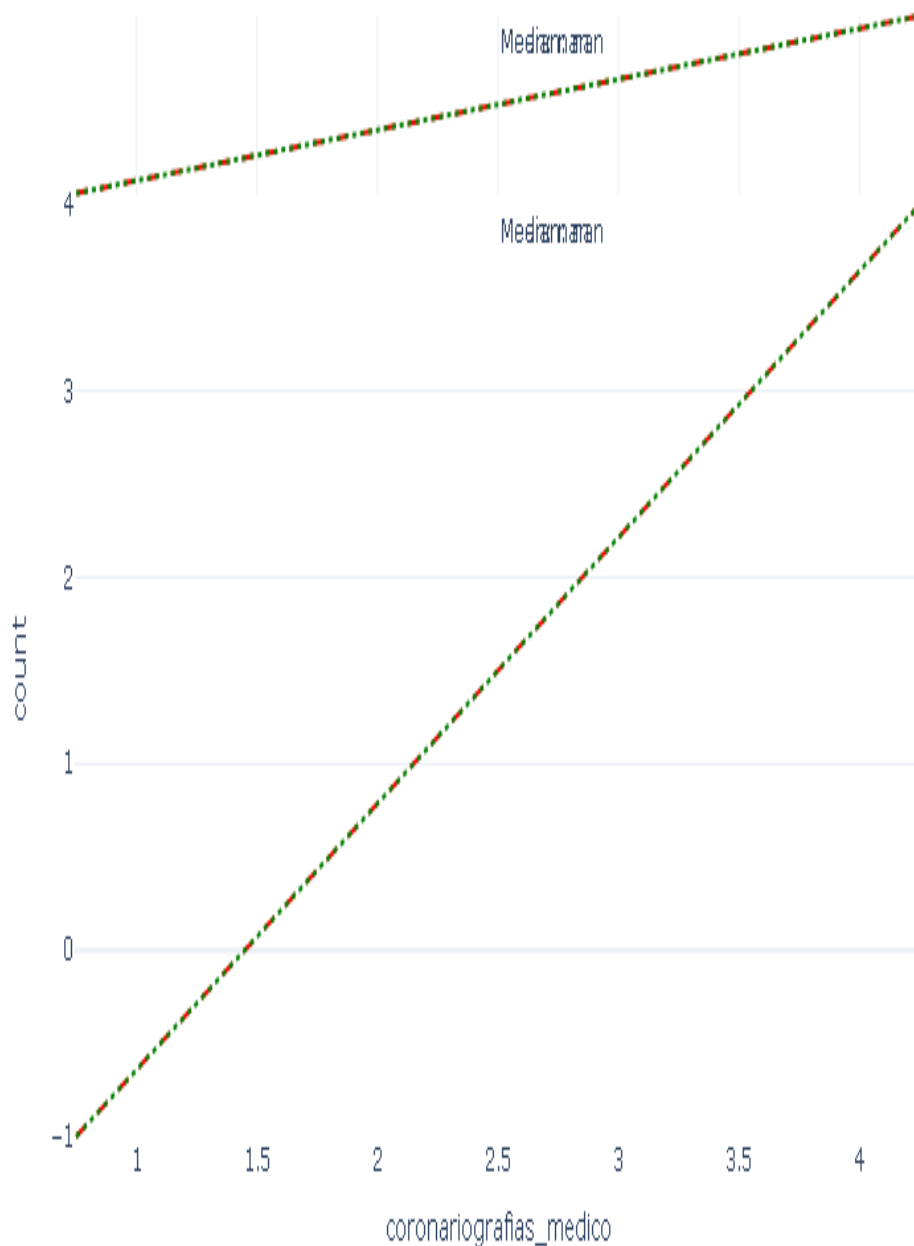


Figura: Distribución de coronariografias_medico

Boxplot of coronariografias_medico

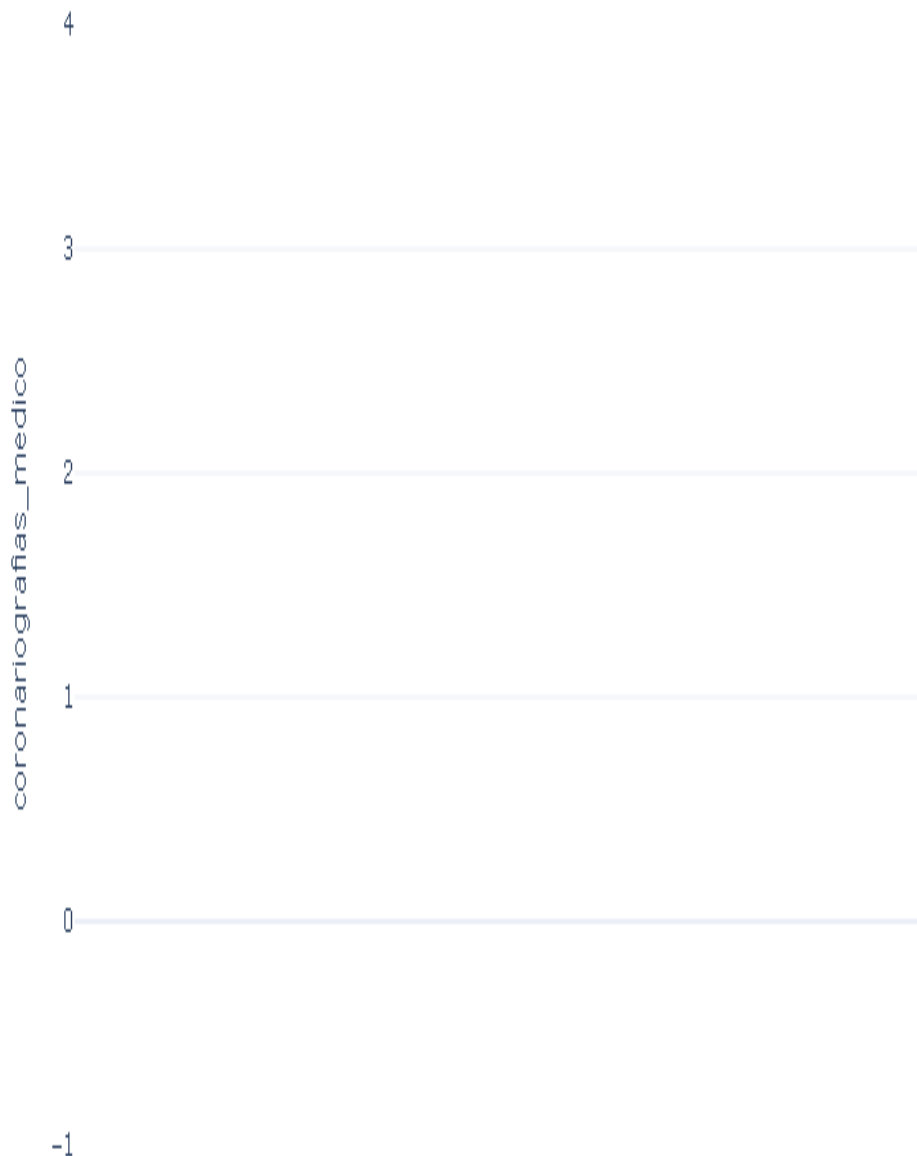


Figura: Boxplot de coronariografias_medico

Variable: coronariografias_centro

Estadísticas Descriptivas

Estadística	Valor
Observaciones	0
Valores faltantes	3112 (100.00%)
Media	N/A
Mediana	N/A
Desviación estándar	N/A
Mínimo	N/A
Q1 (25%)	N/A
Q3 (75%)	N/A
Máximo	N/A
Asimetría	nan
Curtosis	nan

Test de Normalidad (Shapiro-Wilk)

Test no aplicable ($n=0$). El test de Shapiro-Wilk requiere $3 < n \leq 5000$.

Detección de Outliers (Método IQR)

Error al detectar outliers: division by zero

Visualizaciones

Distribution of coronariografias_centro

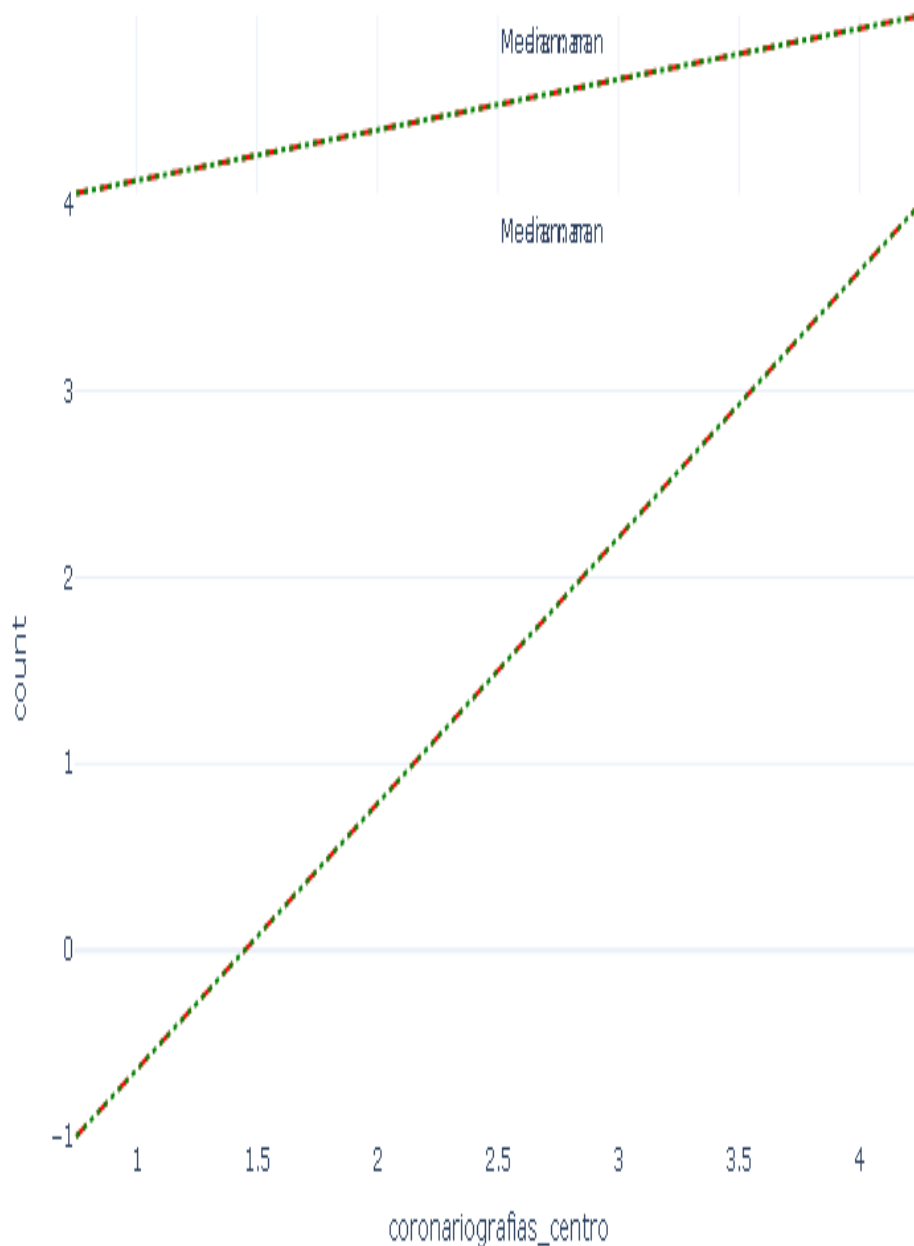


Figura: Distribución de `coronariografias_centro`

Boxplot of coronariografias_centro

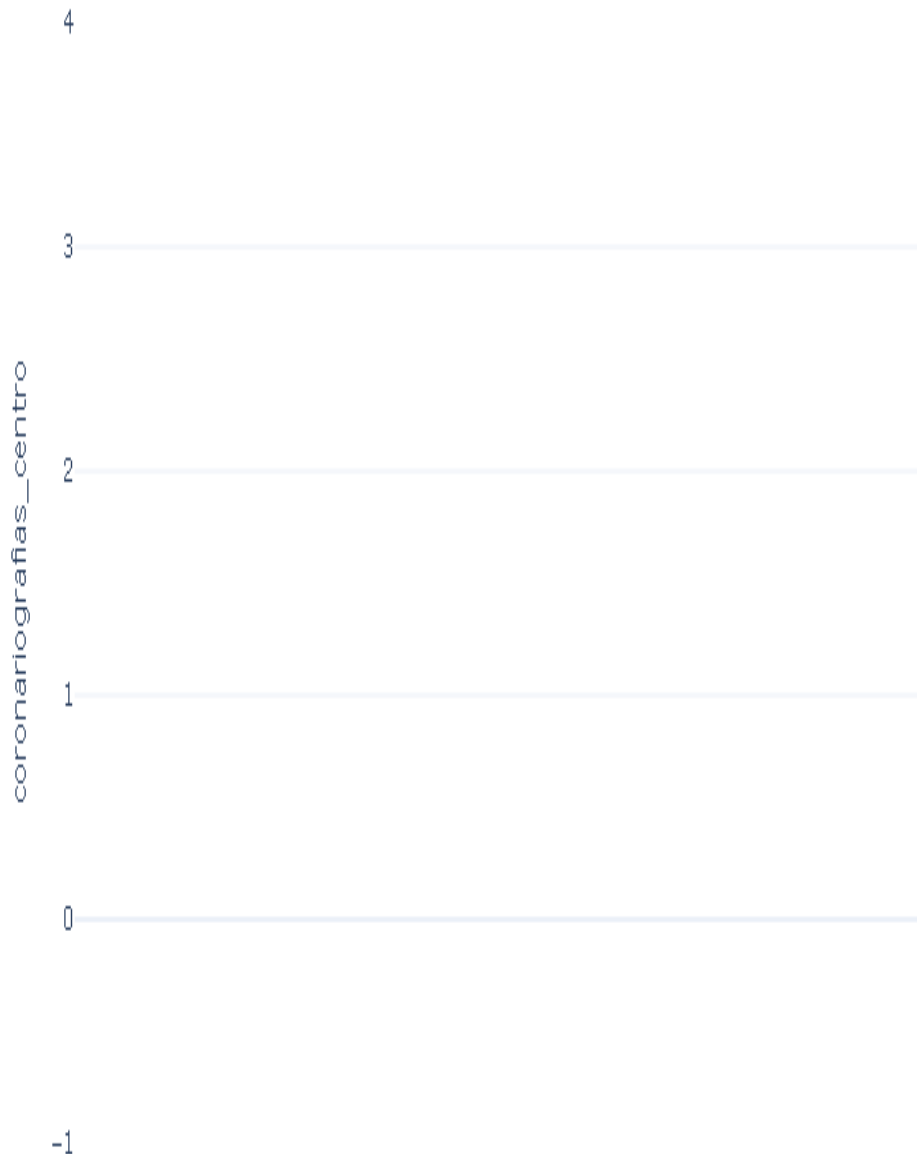


Figura: Boxplot de coronariografias_centro

Variable: idresultado

Estadísticas Descriptivas

Estadística	Valor
Observaciones	224
Valores faltantes	2888 (92.80%)
Media	1.7723
Mediana	1.0000
Desviación estándar	1.0447
Mínimo	1.0000
Q1 (25%)	1.0000
Q3 (75%)	2.0000
Máximo	7.0000
Asimetría	1.7059
Curtosis	3.7120

Test de Normalidad (Shapiro-Wilk)

Error al calcular test de normalidad: 'UnivariateStats' object has no attribute 'shapiro'

Detección de Outliers (Método IQR)

Métrica	Valor
Q1 (25%)	1.0000
Q3 (75%)	2.0000
IQR	1.0000
Límite inferior	-0.5000
Límite superior	3.5000
Número de outliers	15 (6.70%)

Visualizaciones

Distribution of idresultado

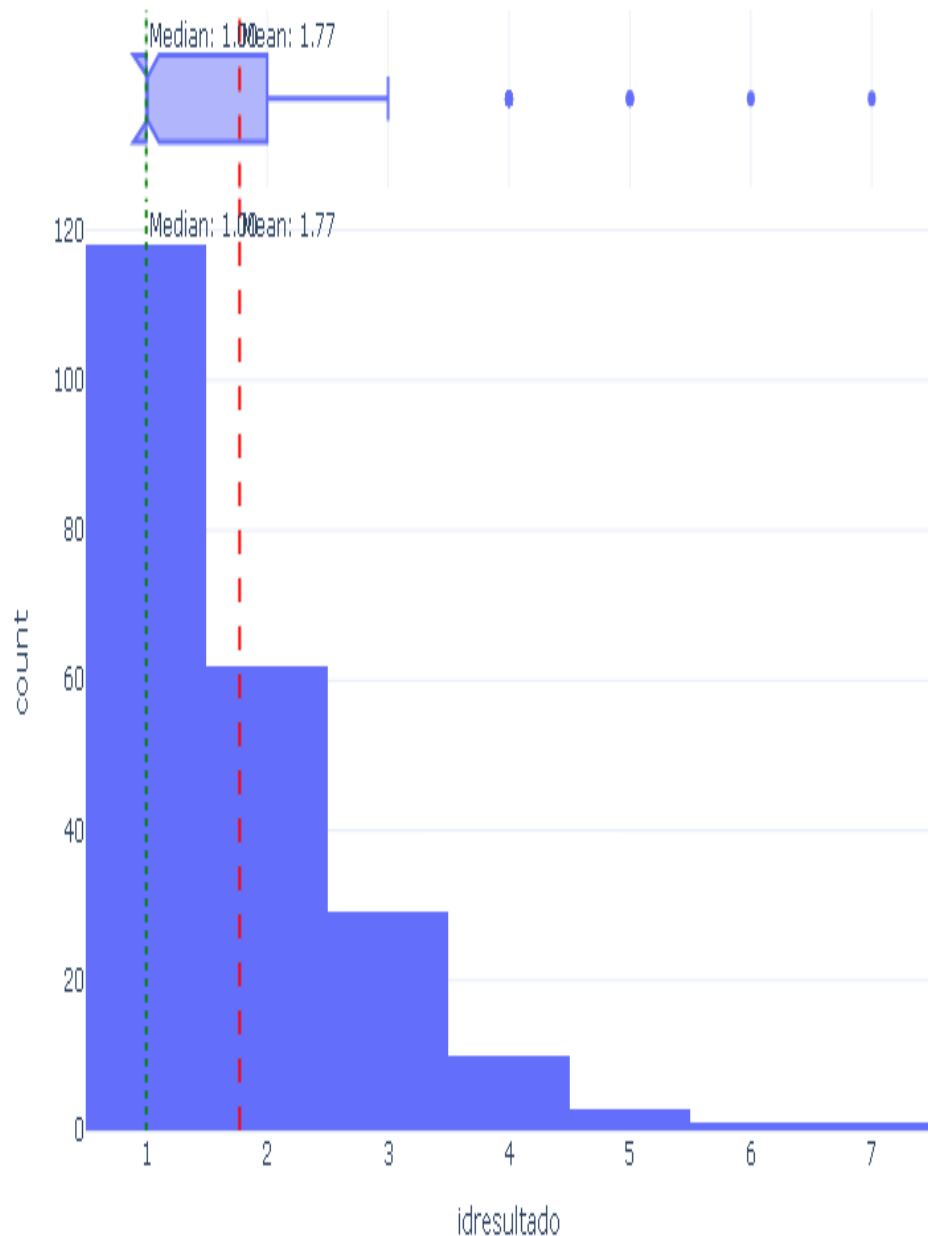


Figura: Distribución de *idresultado*

Boxplot of idresultado

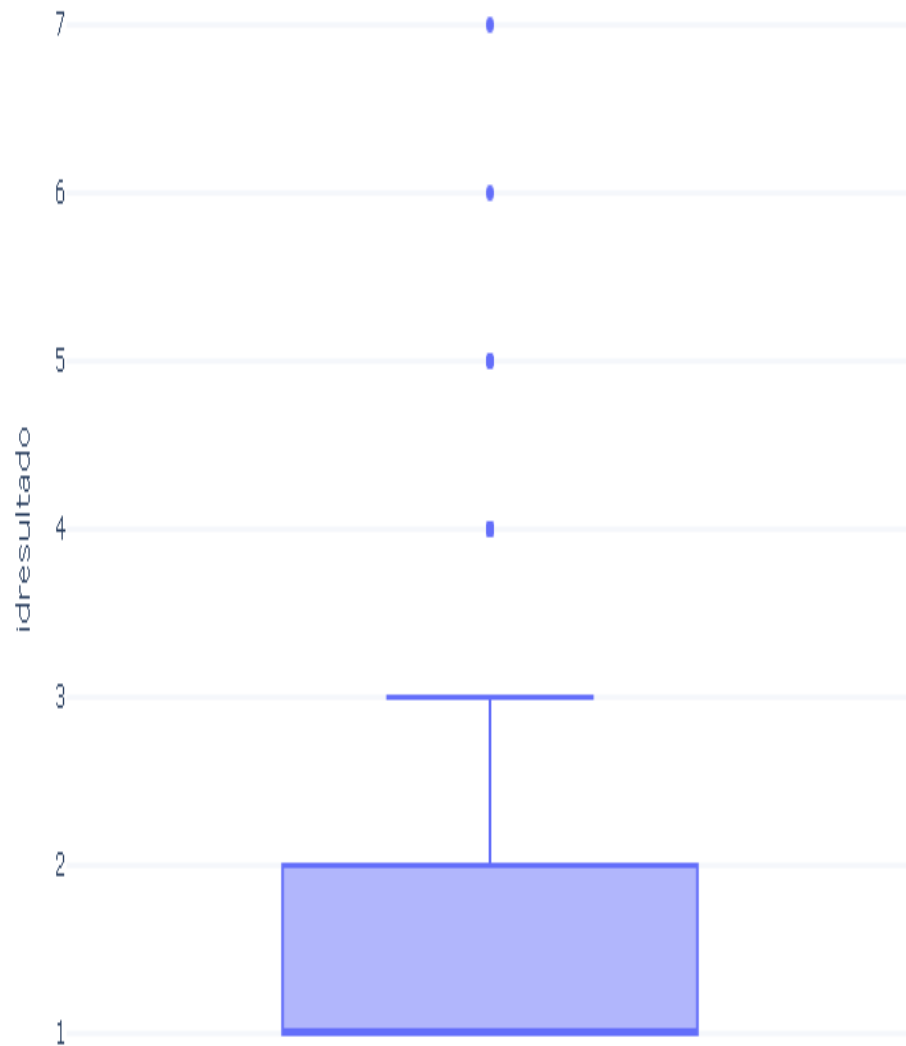


Figura: Boxplot de idresultado

Variable: estenosis

Estadísticas Descriptivas

Estadística	Valor
Observaciones	224
Valores faltantes	2888 (92.80%)
Media	75.7098
Mediana	80.0000
Desviación estándar	24.7397
Mínimo	N/A
Q1 (25%)	70.0000
Q3 (75%)	90.0000
Máximo	100.0000
Asimetría	-1.5557
Curtosis	2.1960

Test de Normalidad (Shapiro-Wilk)

Error al calcular test de normalidad: 'UnivariateStats' object has no attribute 'shapiro'

Detección de Outliers (Método IQR)

Métrica	Valor
Q1 (25%)	70.0000
Q3 (75%)	90.0000
IQR	20.0000
Límite inferior	40.0000
Límite superior	120.0000
Número de outliers	15 (6.70%)

Visualizaciones

Distribution of estenosis

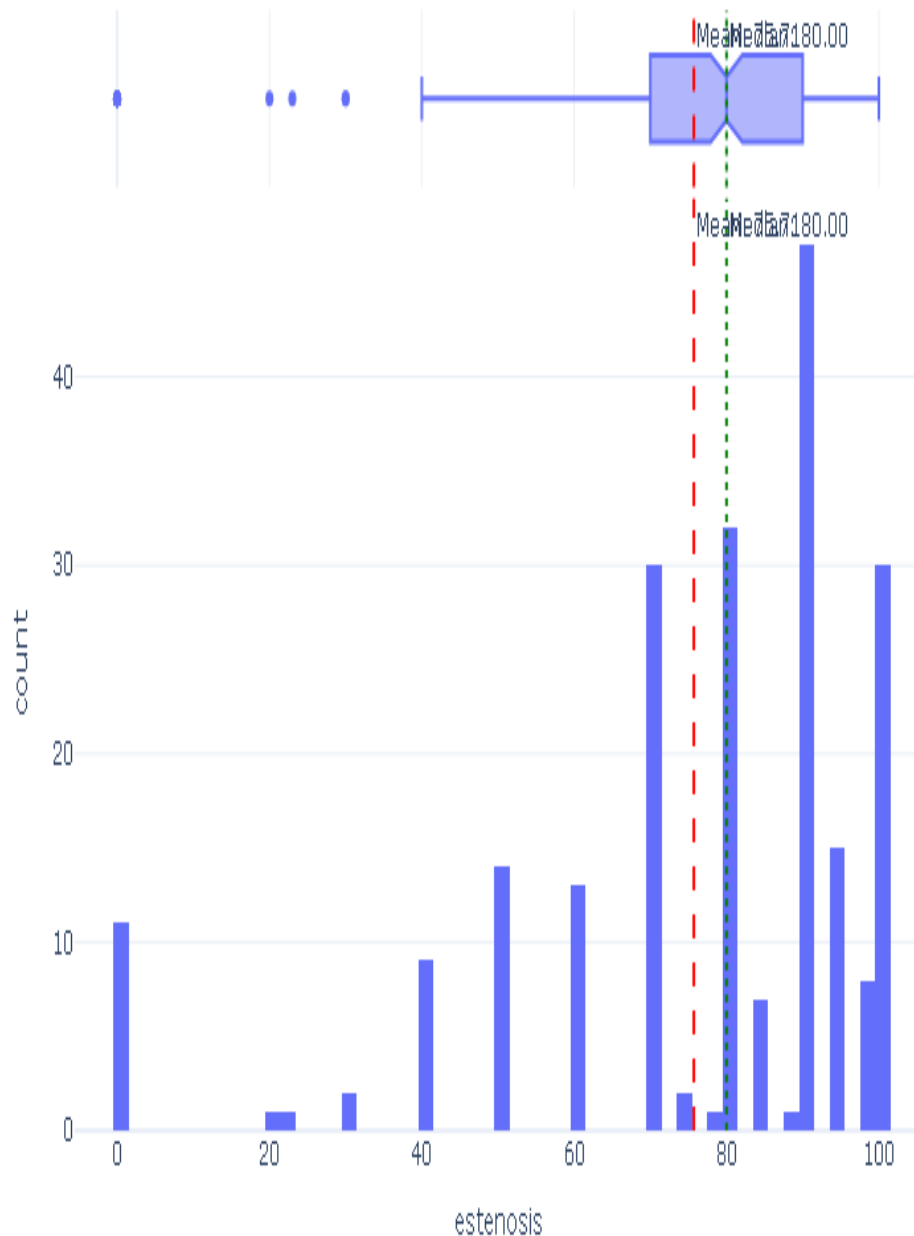


Figura: Distribución de estenosis

Boxplot of estenosis

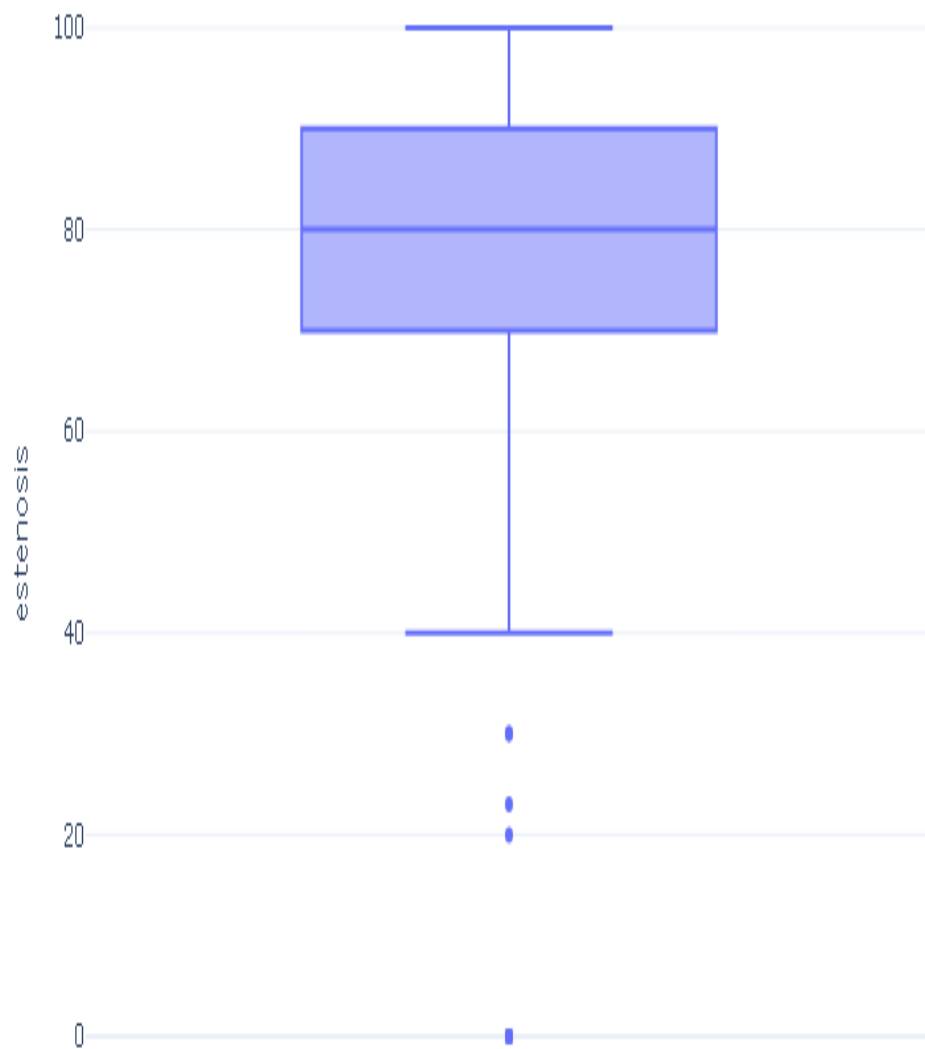


Figura: Boxplot de estenosis

Variable: estadia_ucie

Estadísticas Descriptivas

Estadística	Valor
Observaciones	2,730
Valores faltantes	382 (12.28%)
Media	4.3330
Mediana	3.0000
Desviación estándar	8.1921
Mínimo	N/A
Q1 (25%)	1.0000
Q3 (75%)	4.0000
Máximo	240.0000
Asimetría	11.9016
Curtosis	269.4167

Test de Normalidad (Shapiro-Wilk)

Error al calcular test de normalidad: 'UnivariateStats' object has no attribute 'shapiro'

Detección de Outliers (Método IQR)

Métrica	Valor
Q1 (25%)	1.0000
Q3 (75%)	4.0000
IQR	3.0000
Límite inferior	-3.5000
Límite superior	8.5000
Número de outliers	226 (8.28%)

Visualizaciones

Distribution of estadia_uec

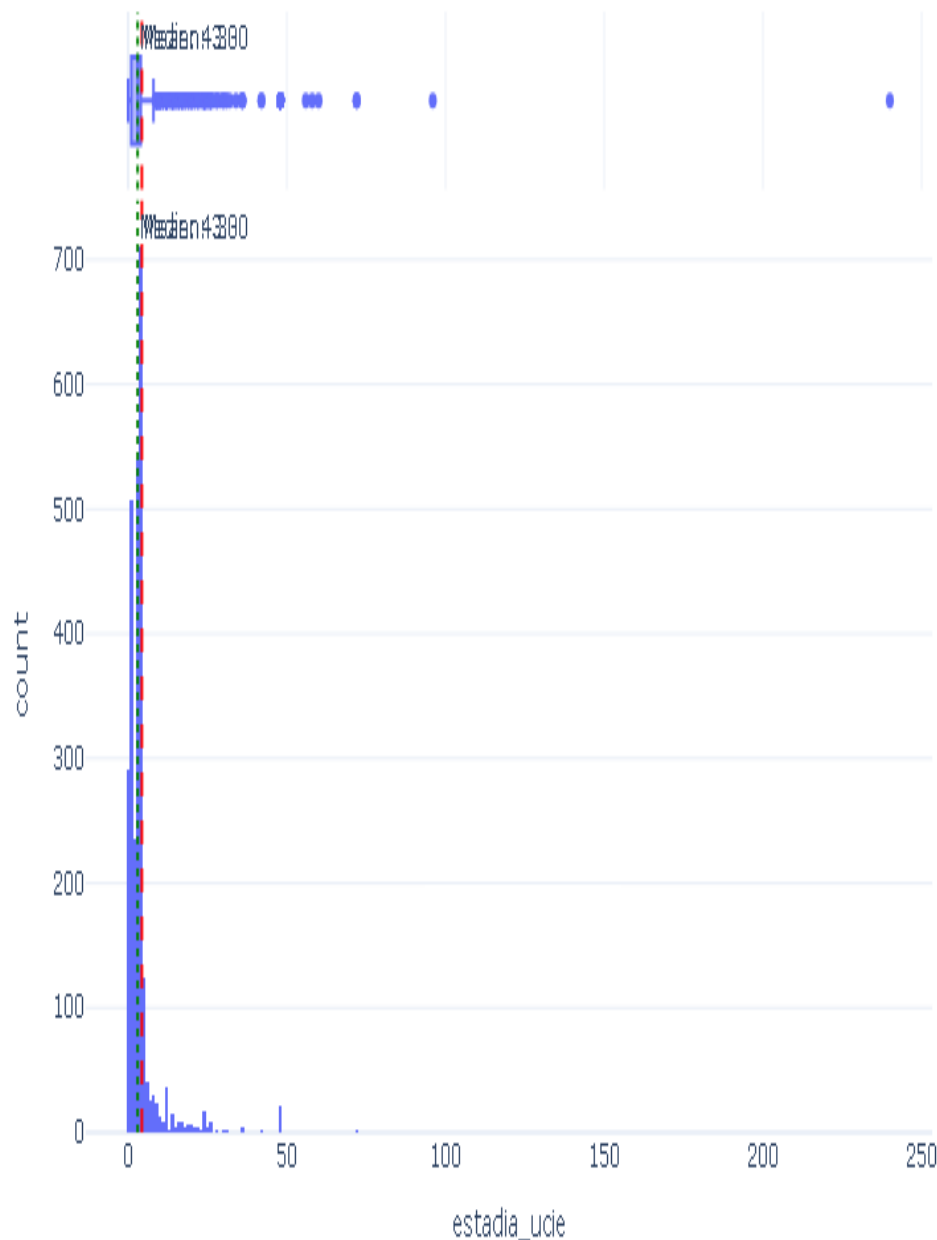


Figura: Distribución de `estadia_uec`

Boxplot of estadia_ucte

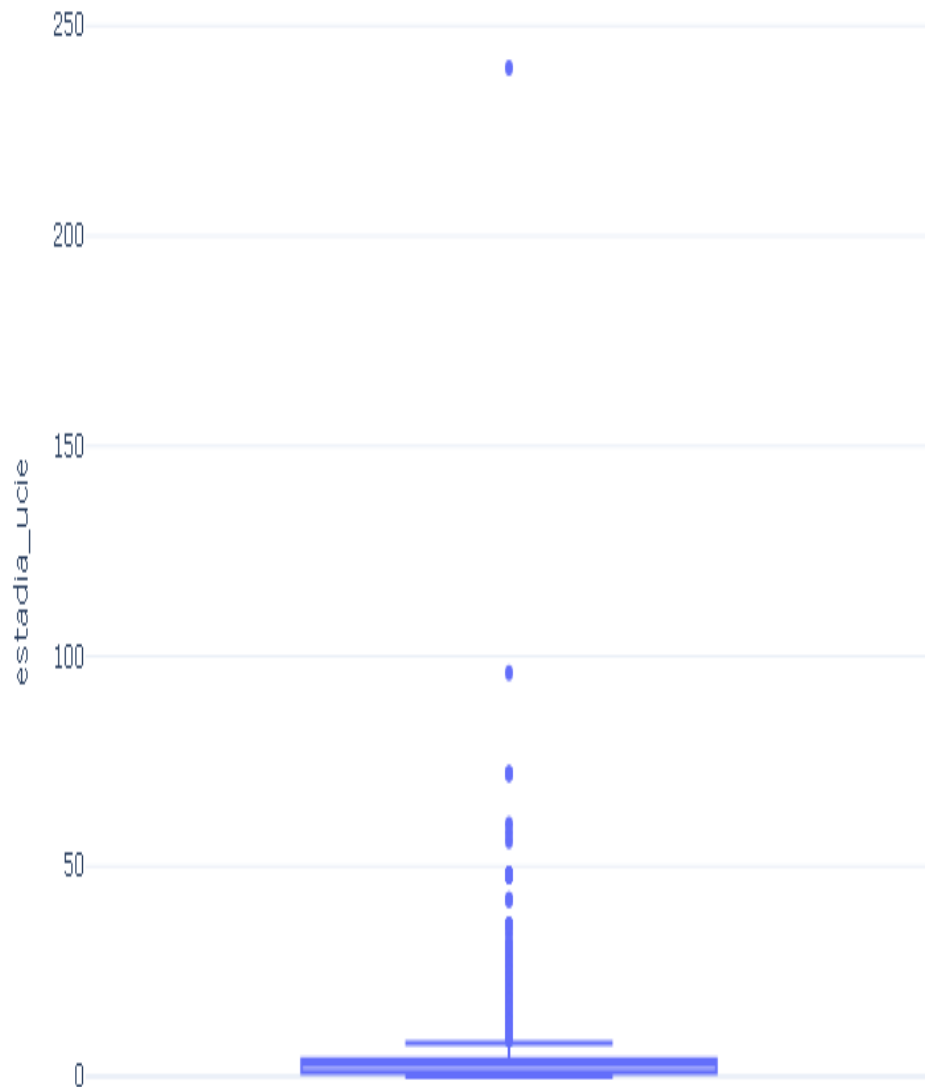


Figura: Boxplot de estadia_ucte

Variable: estadia_uci

Estadísticas Descriptivas

Estadística	Valor
Observaciones	3,112
Valores faltantes	0 (0.00%)
Media	5.4576
Mediana	6.0000
Desviación estándar	3.7095
Mínimo	N/A
Q1 (25%)	3.0000
Q3 (75%)	7.0000
Máximo	111.0000
Asimetría	10.2827
Curtosis	250.0406

Test de Normalidad (Shapiro-Wilk)

Error al calcular test de normalidad: 'UnivariateStats' object has no attribute 'shapiro'

Detección de Outliers (Método IQR)

Métrica	Valor
Q1 (25%)	3.0000
Q3 (75%)	7.0000
IQR	4.0000
Límite inferior	-3.0000
Límite superior	13.0000
Número de outliers	53 (1.70%)

Visualizaciones

Distribution of estadia_uci

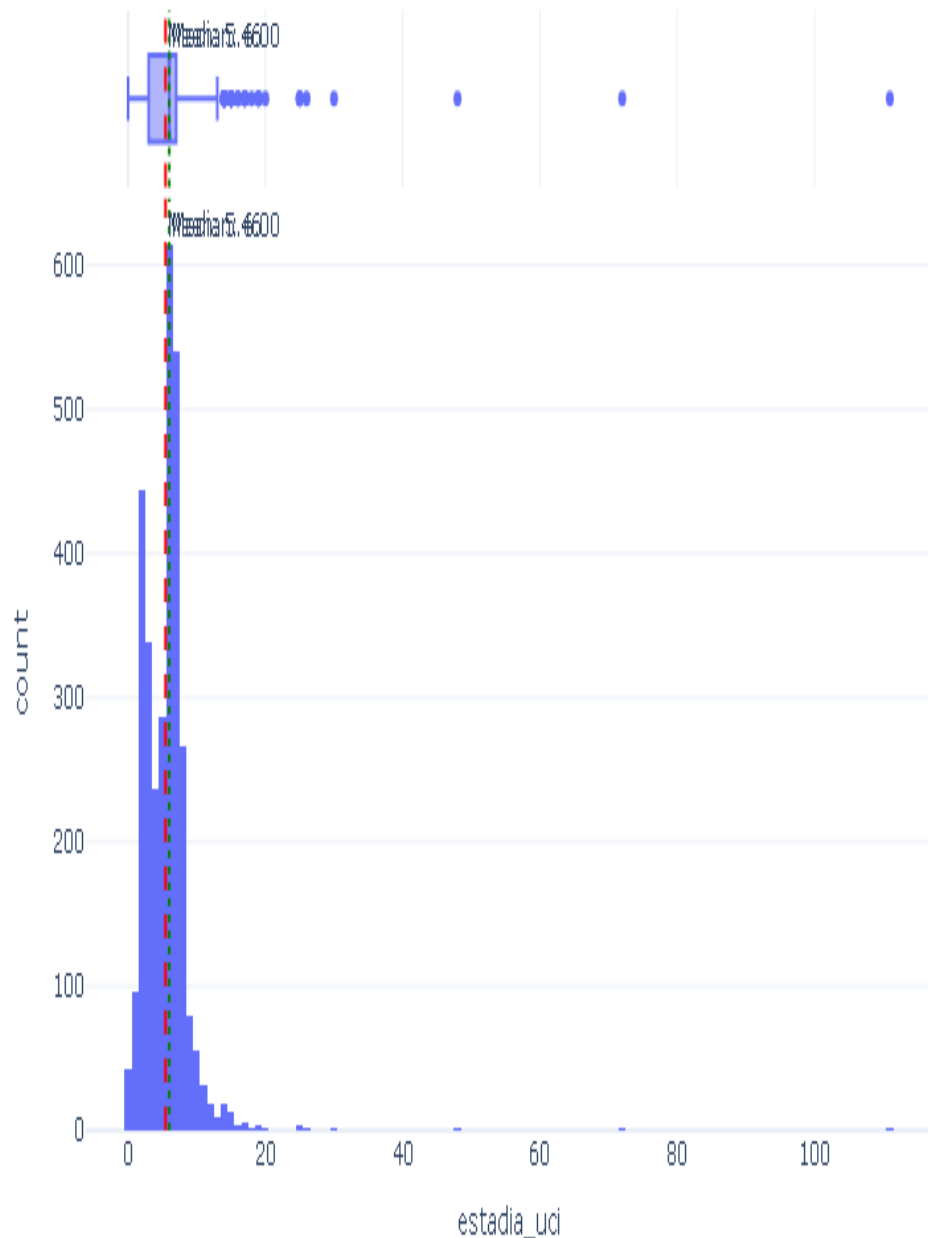


Figura: Distribución de `estadia_uci`

Boxplot of estadia_uci

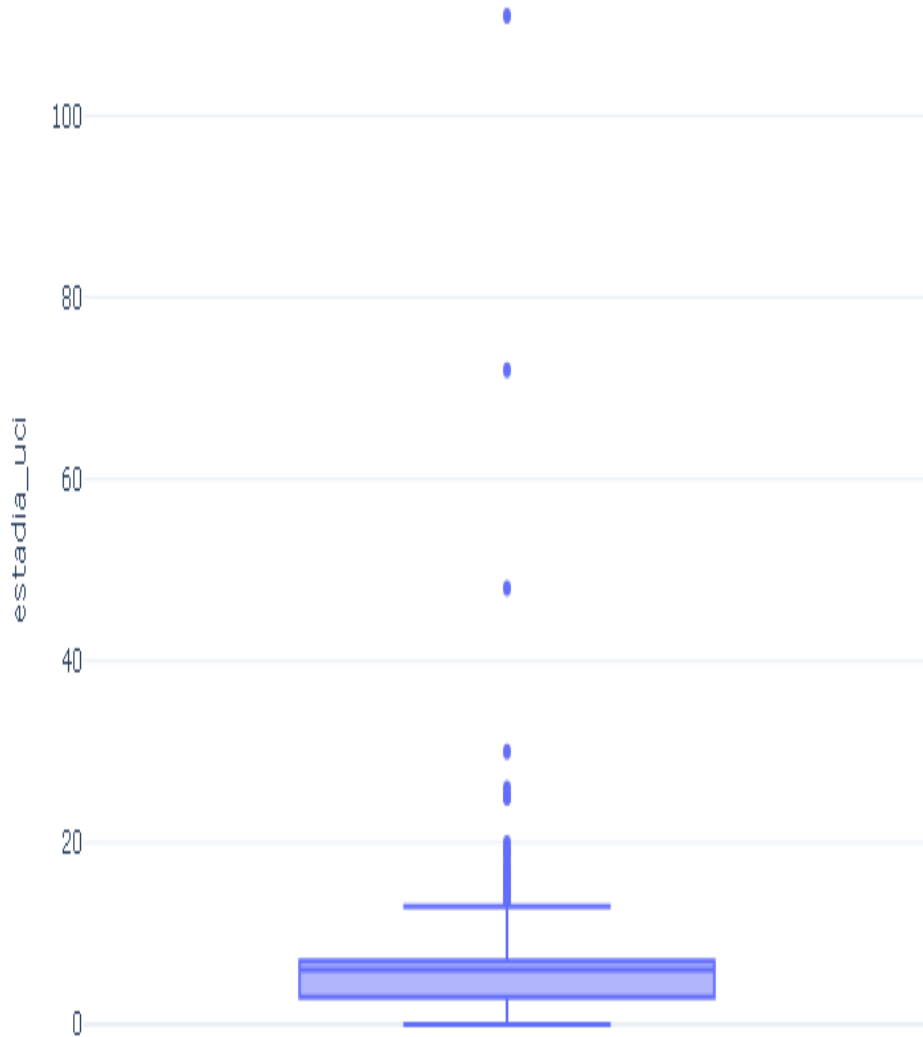


Figura: Boxplot de estadia_uci

Variable: estadia_intrahospitalaria

Estadísticas Descriptivas

Estadística	Valor
Observaciones	3,112
Valores faltantes	0 (0.00%)
Media	7.7040
Mediana	7.0000
Desviación estándar	9.6567
Mínimo	1.0000
Q1 (25%)	6.0000
Q3 (75%)	8.0000
Máximo	373.0000
Asimetría	30.2844
Curtosis	1075.3998

Test de Normalidad (Shapiro-Wilk)

Error al calcular test de normalidad: 'UnivariateStats' object has no attribute 'shapiro'

Detección de Outliers (Método IQR)

Métrica	Valor
Q1 (25%)	6.0000
Q3 (75%)	8.0000
IQR	2.0000
Límite inferior	3.0000
Límite superior	11.0000
Número de outliers	355 (11.41%)

Visualizaciones

Distribution of estadia_intrahospitalaria

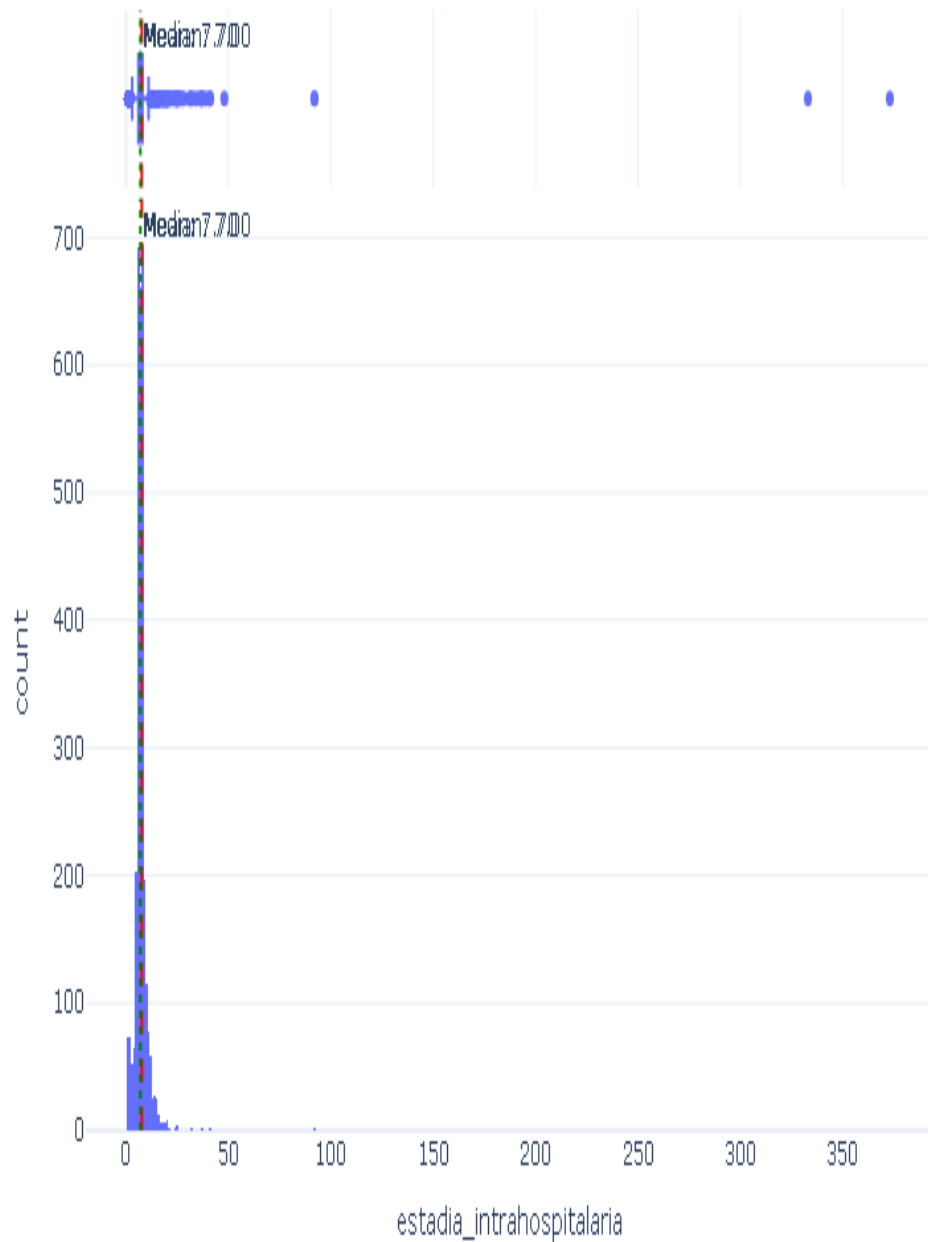


Figura: Distribución de estadia_intrahospitalaria

Boxplot of estadia_intrahospitalaria

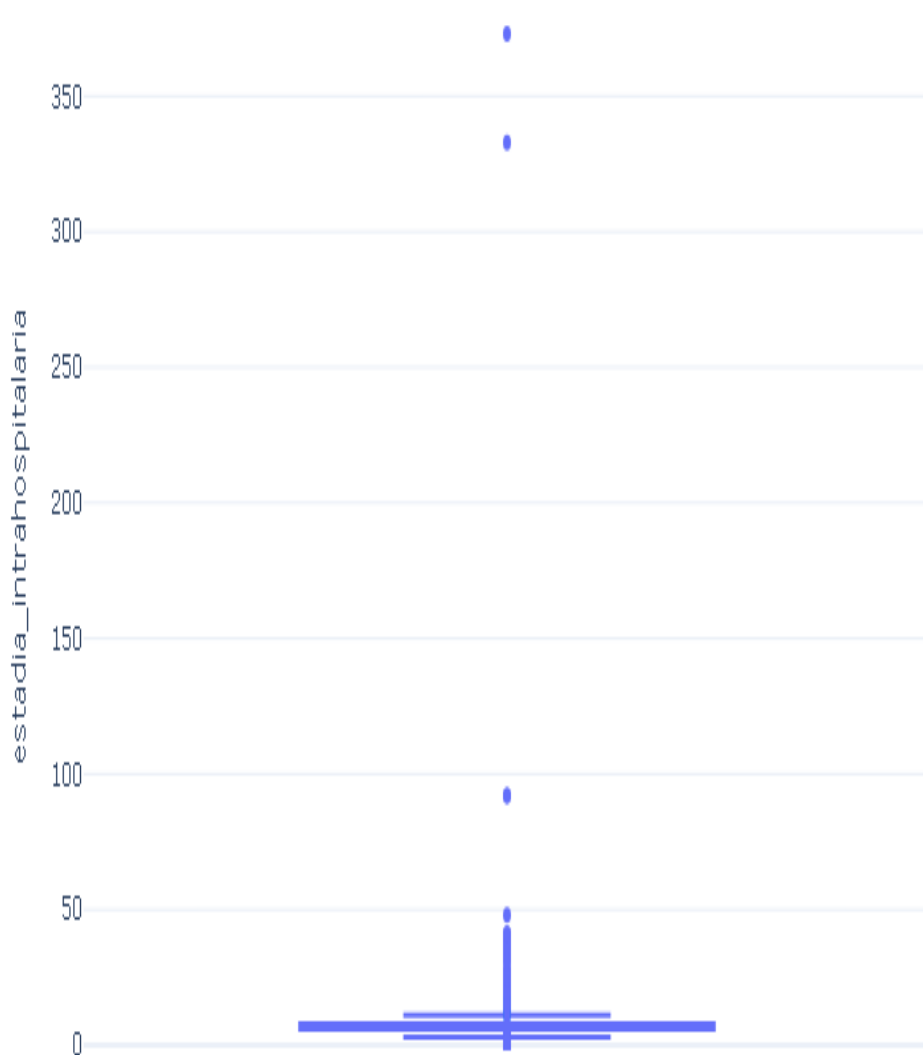


Figura: Boxplot de `estadia_intrahospitalaria`

Variable: presion_arterial_sistolica.1

Estadísticas Descriptivas

Estadística	Valor
Observaciones	2,838
Valores faltantes	274 (8.80%)
Media	115.7308
Mediana	120.0000
Desviación estándar	12.1233
Mínimo	60.0000
Q1 (25%)	110.0000
Q3 (75%)	120.0000
Máximo	180.0000
Asimetría	0.3561
Curtosis	2.7825

Test de Normalidad (Shapiro-Wilk)

Error al calcular test de normalidad: 'UnivariateStats' object has no attribute 'shapiro'

Detección de Outliers (Método IQR)

Métrica	Valor
Q1 (25%)	110.0000
Q3 (75%)	120.0000
IQR	10.0000
Límite inferior	95.0000
Límite superior	135.0000
Número de outliers	237 (8.35%)

Visualizaciones

Distribution of presion_arterial_sistolica.1

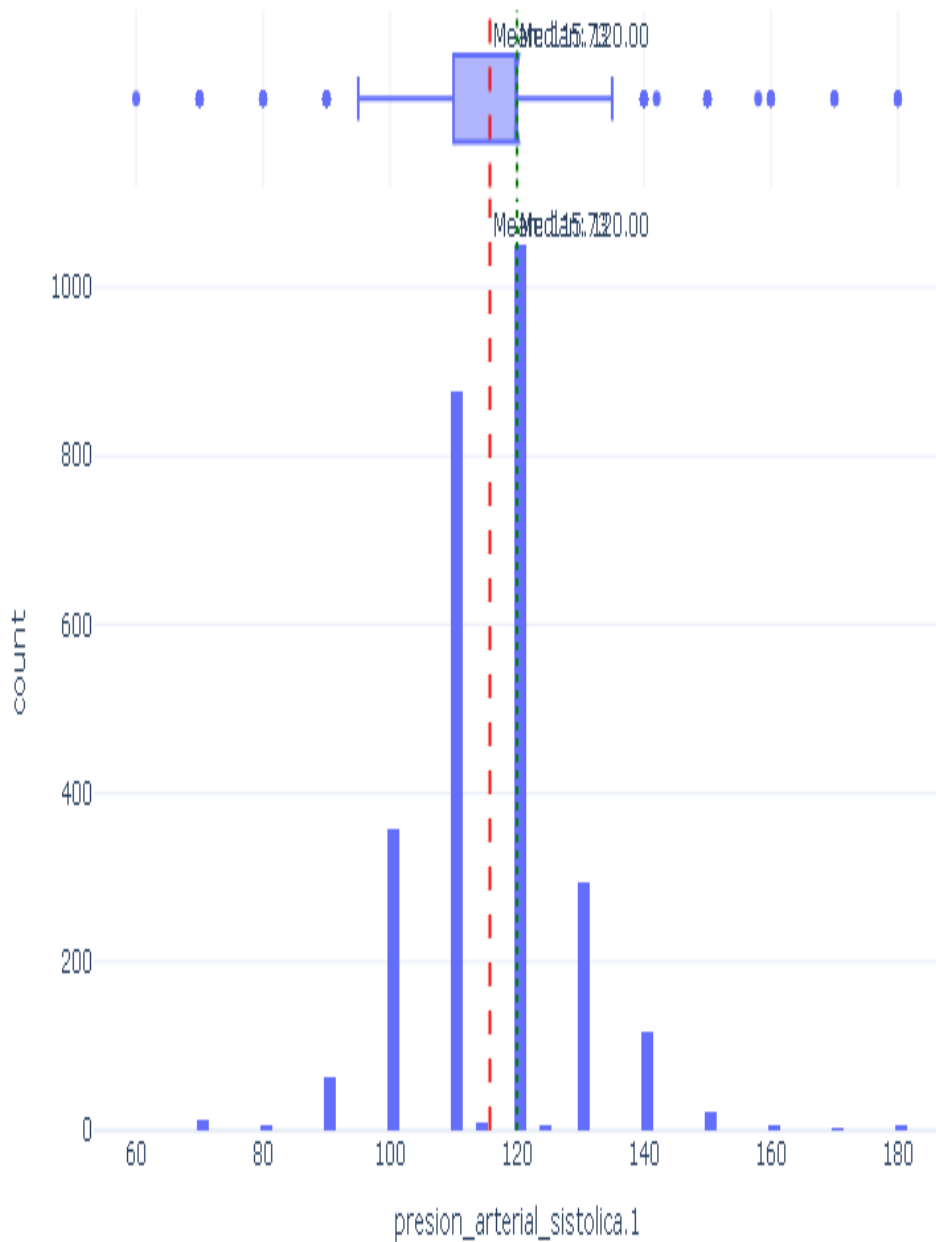


Figura: Distribución de presion_arterial_sistolica.1

Boxplot of presion_arterial_sistolica.1

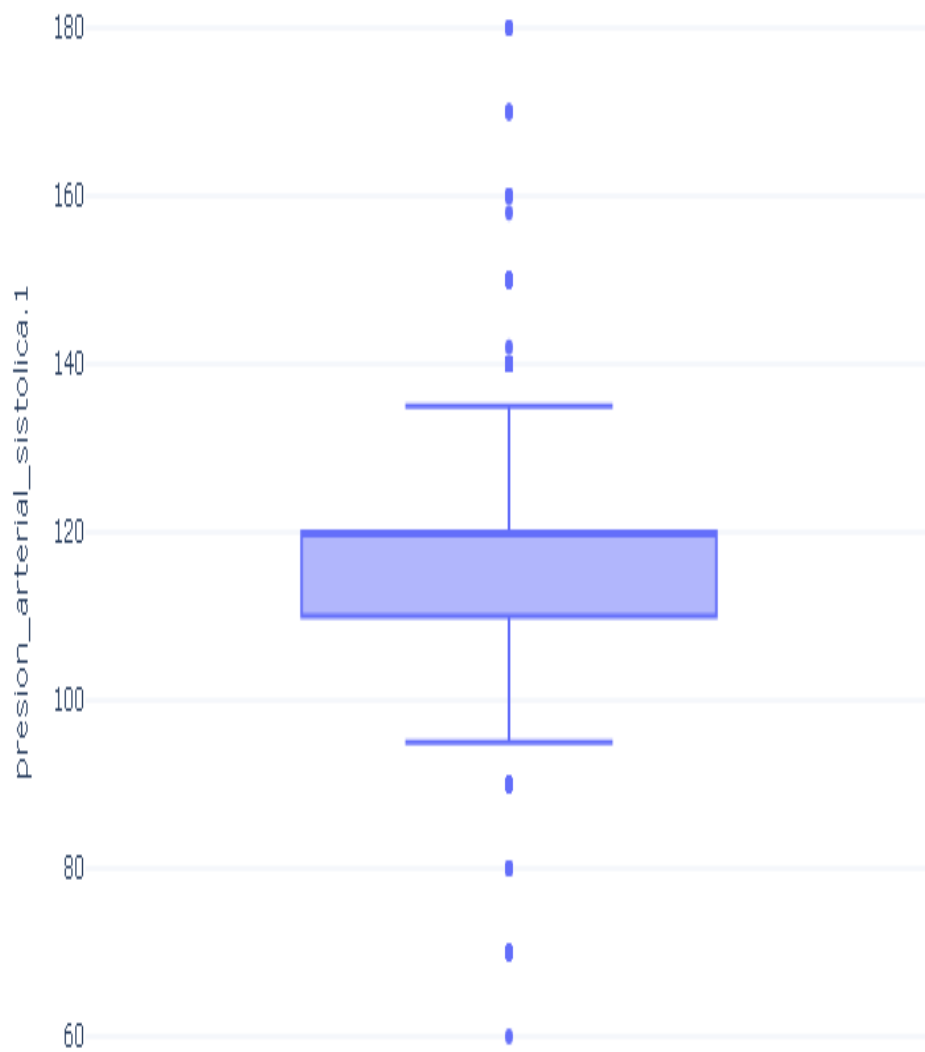


Figura: Boxplot de presion_arterial_sistolica.1

Variable: presion_arterial_diastolica.1

Estadísticas Descriptivas

Estadística	Valor
Observaciones	2,838
Valores faltantes	274 (8.80%)
Media	70.9235
Mediana	70.0000
Desviación estándar	7.7009
Mínimo	7.0000
Q1 (25%)	70.0000
Q3 (75%)	70.0000
Máximo	110.0000
Asimetría	-0.1617
Curtosis	7.2446

Test de Normalidad (Shapiro-Wilk)

Error al calcular test de normalidad: 'UnivariateStats' object has no attribute 'shapiro'

Detección de Outliers (Método IQR)

Métrica	Valor
Q1 (25%)	70.0000
Q3 (75%)	70.0000
IQR	0.0000
Límite inferior	70.0000
Límite superior	70.0000
Número de outliers	1052 (37.07%)

Visualizaciones

Distribution of presion_arterial_diastolica.1



Figura: Distribución de presion_arterial_diastolica.1

Boxplot of presion_arterial_diastolica.1

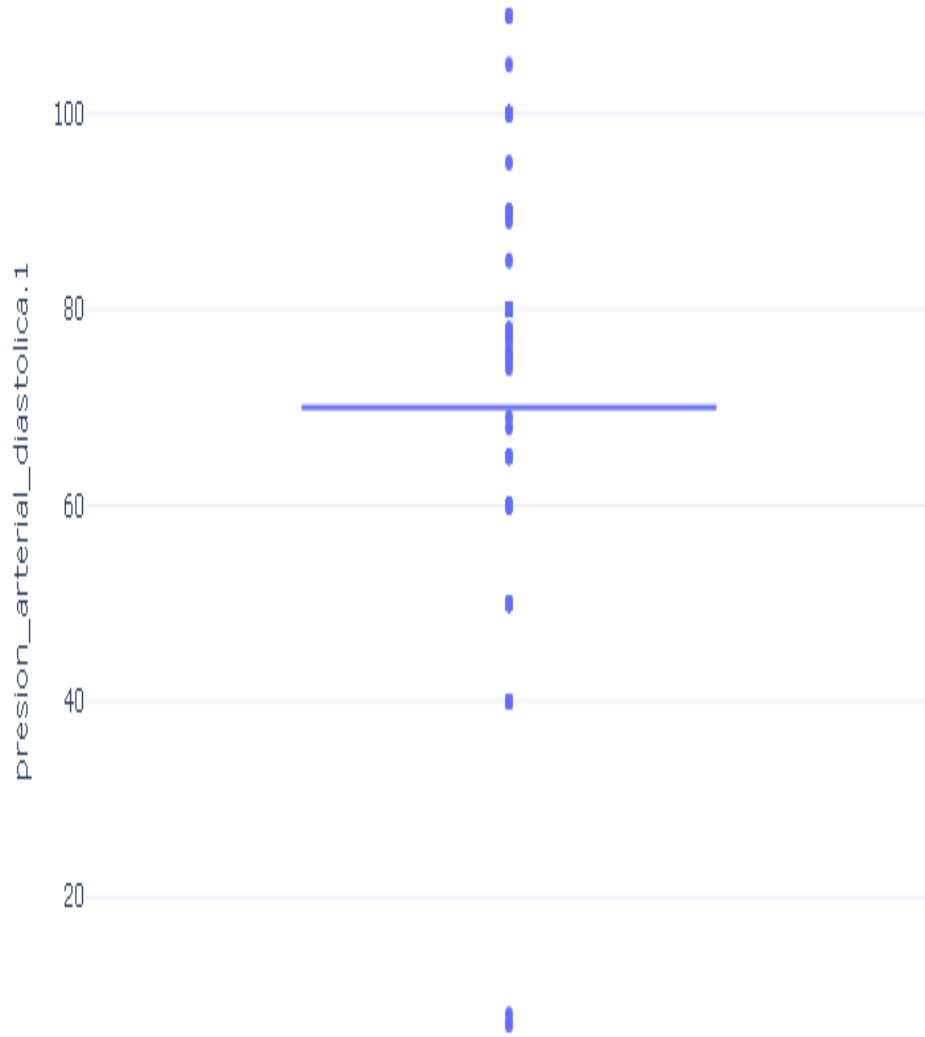


Figura: Boxplot de presion_arterial_diastolica.1

Variable: asa.1

Estadísticas Descriptivas

Estadística	Valor
Observaciones	3,112
Valores faltantes	0 (0.00%)
Media	0.8769
Mediana	1.0000
Desviación estándar	0.3286
Mínimo	N/A
Q1 (25%)	1.0000
Q3 (75%)	1.0000
Máximo	1.0000
Asimetría	-2.2958
Curtosis	3.2729

Test de Normalidad (Shapiro-Wilk)

Error al calcular test de normalidad: 'UnivariateStats' object has no attribute 'shapiro'

Detección de Outliers (Método IQR)

Métrica	Valor
Q1 (25%)	1.0000
Q3 (75%)	1.0000
IQR	0.0000
Límite inferior	1.0000
Límite superior	1.0000
Número de outliers	383 (12.31%)

Visualizaciones

Distribution of asa.1

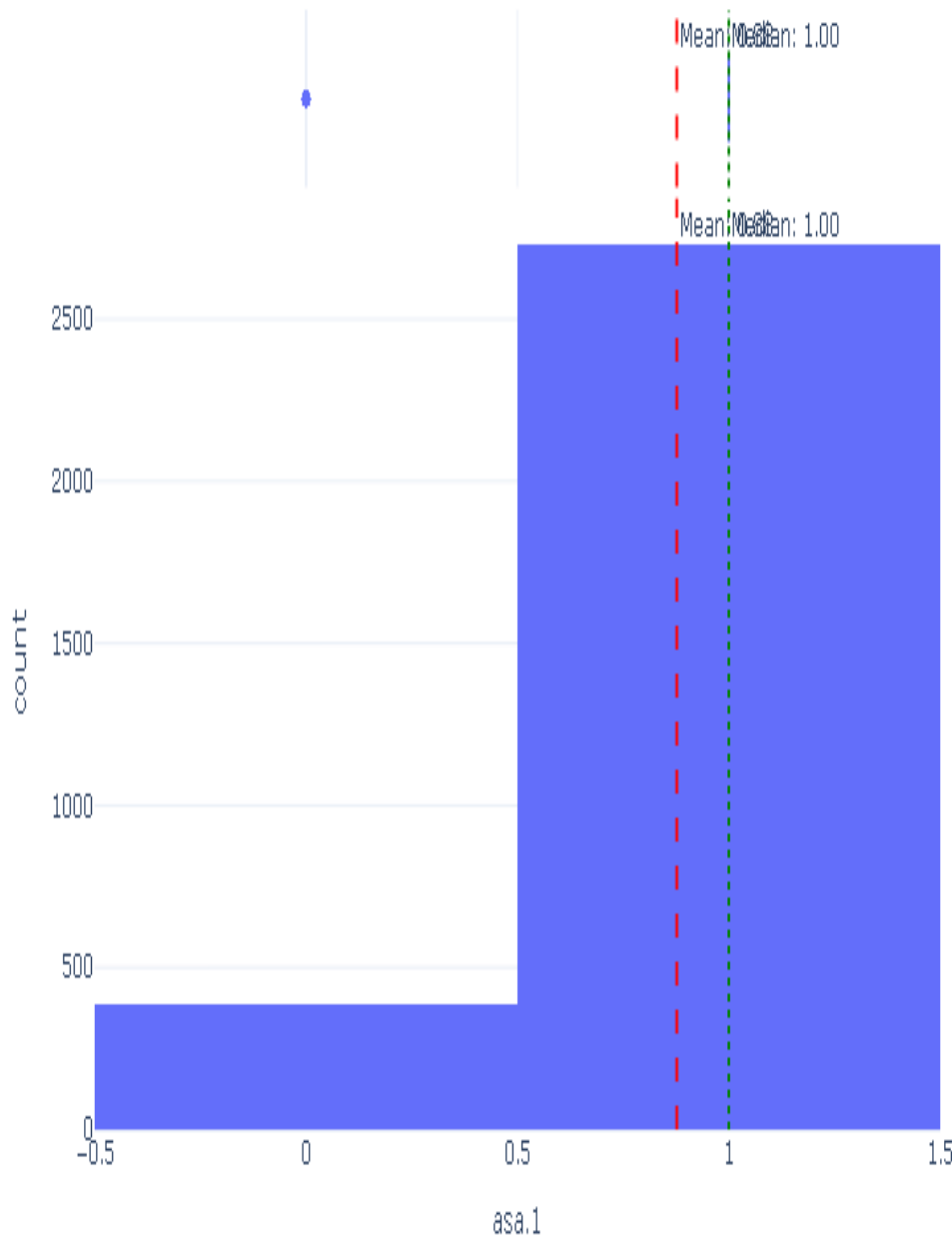


Figura: Distribución de `asa.1`

Boxplot of asa.1



Figura: Boxplot de asa.1

Variable: betabloqueadores.1

Estadísticas Descriptivas

Estadística	Valor
Observaciones	3,112
Valores faltantes	0 (0.00%)
Media	0.6452
Mediana	1.0000
Desviación estándar	0.4785
Mínimo	N/A
Q1 (25%)	N/A
Q3 (75%)	1.0000
Máximo	1.0000
Asimetría	-0.6075
Curtosis	-1.6321

Test de Normalidad (Shapiro-Wilk)

Error al calcular test de normalidad: 'UnivariateStats' object has no attribute 'shapiro'

Detección de Outliers (Método IQR)

Métrica	Valor
Q1 (25%)	0.0000
Q3 (75%)	1.0000
IQR	1.0000
Límite inferior	-1.5000
Límite superior	2.5000
Número de outliers	0 (0.00%)

Visualizaciones

Distribution of betabloqueadores.1

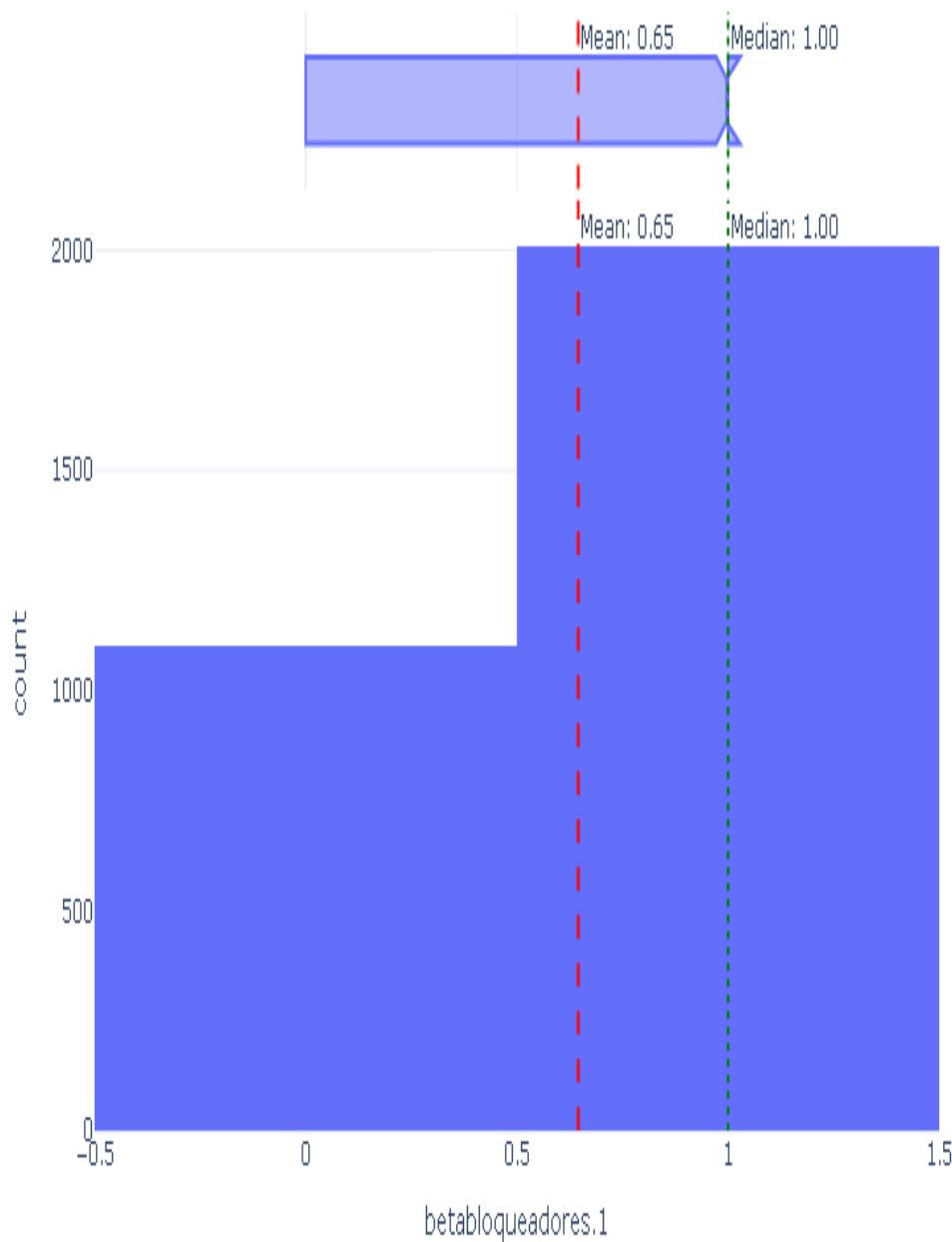


Figura: Distribución de betabloqueadores.1

Boxplot of betabloqueadores.1

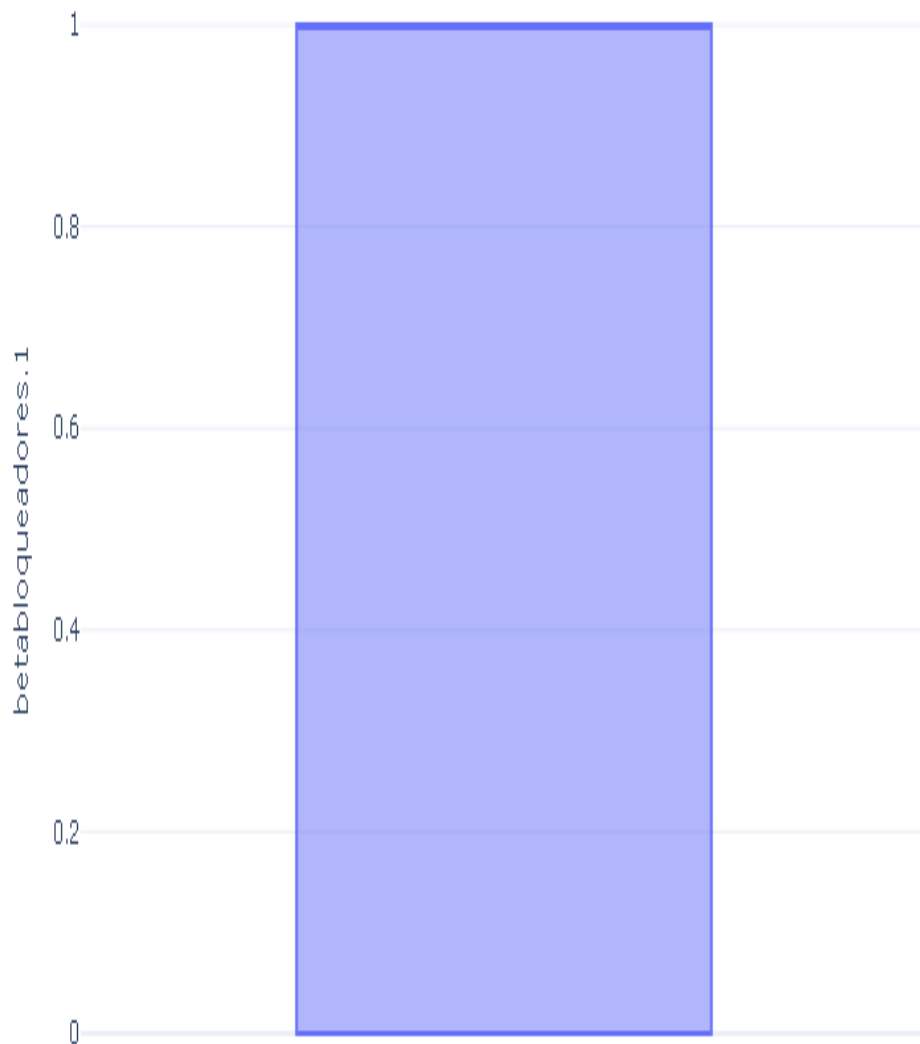


Figura: Boxplot de betabloqueadores.1

Variable: ieca.1

Estadísticas Descriptivas

Estadística	Valor
Observaciones	3,112
Valores faltantes	0 (0.00%)
Media	0.7722
Mediana	1.0000
Desviación estándar	0.4195
Mínimo	N/A
Q1 (25%)	1.0000
Q3 (75%)	1.0000
Máximo	1.0000
Asimetría	-1.2984
Curtosis	-0.3142

Test de Normalidad (Shapiro-Wilk)

Error al calcular test de normalidad: 'UnivariateStats' object has no attribute 'shapiro'

Detección de Outliers (Método IQR)

Métrica	Valor
Q1 (25%)	1.0000
Q3 (75%)	1.0000
IQR	0.0000
Límite inferior	1.0000
Límite superior	1.0000
Número de outliers	709 (22.78%)

Visualizaciones

Distribution of ieca.1

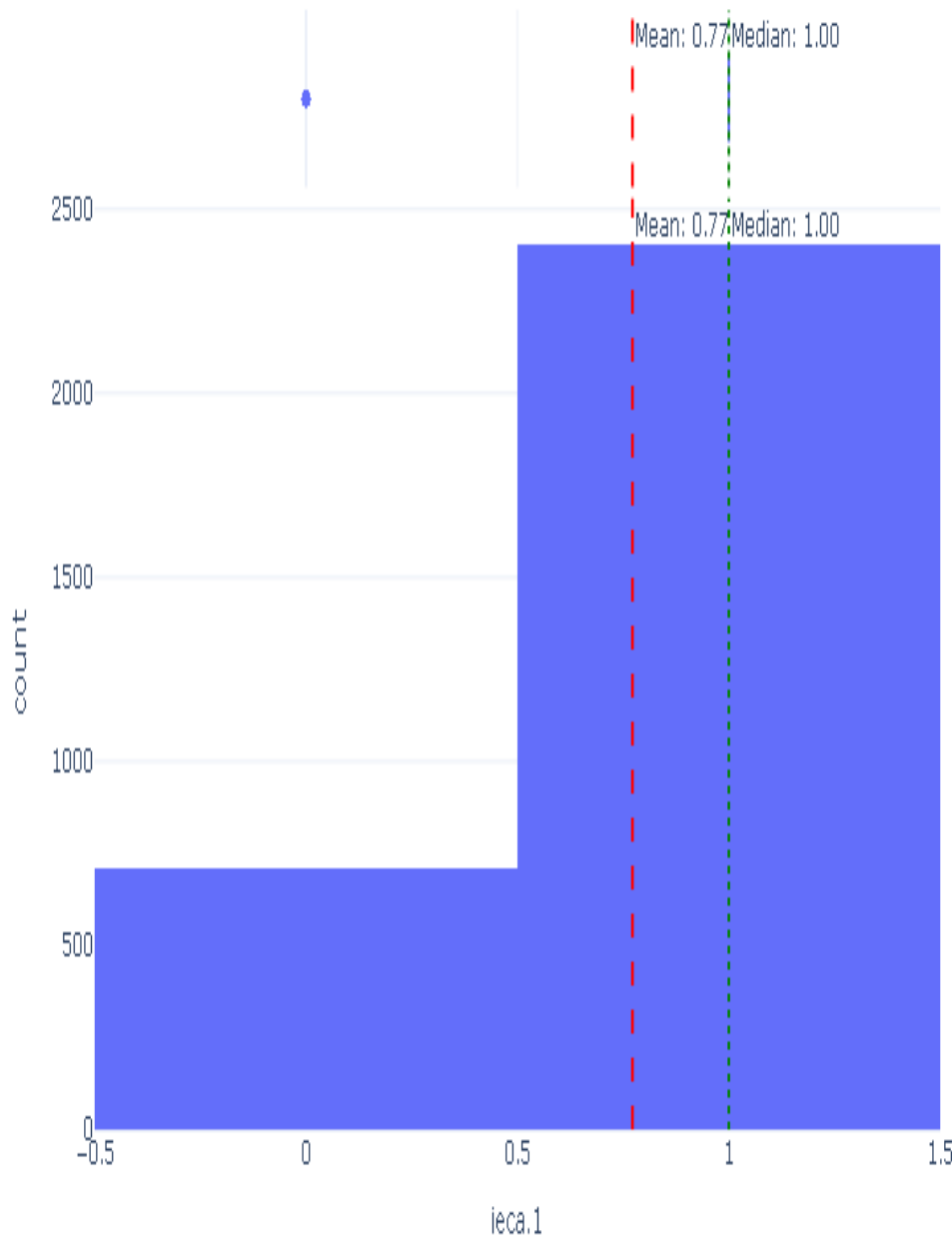


Figura: Distribución de `ieca.1`

Boxplot of ieca.1



Figura: Boxplot de ieca.1

Variable: estatinas.1

Estadísticas Descriptivas

Estadística	Valor
Observaciones	3,112
Valores faltantes	0 (0.00%)
Media	0.8708
Mediana	1.0000
Desviación estándar	0.3355
Mínimo	N/A
Q1 (25%)	1.0000
Q3 (75%)	1.0000
Máximo	1.0000
Asimetría	-2.2123
Curtosis	2.8962

Test de Normalidad (Shapiro-Wilk)

Error al calcular test de normalidad: 'UnivariateStats' object has no attribute 'shapiro'

Detección de Outliers (Método IQR)

Métrica	Valor
Q1 (25%)	1.0000
Q3 (75%)	1.0000
IQR	0.0000
Límite inferior	1.0000
Límite superior	1.0000
Número de outliers	402 (12.92%)

Visualizaciones

Distribution of estatinas.1

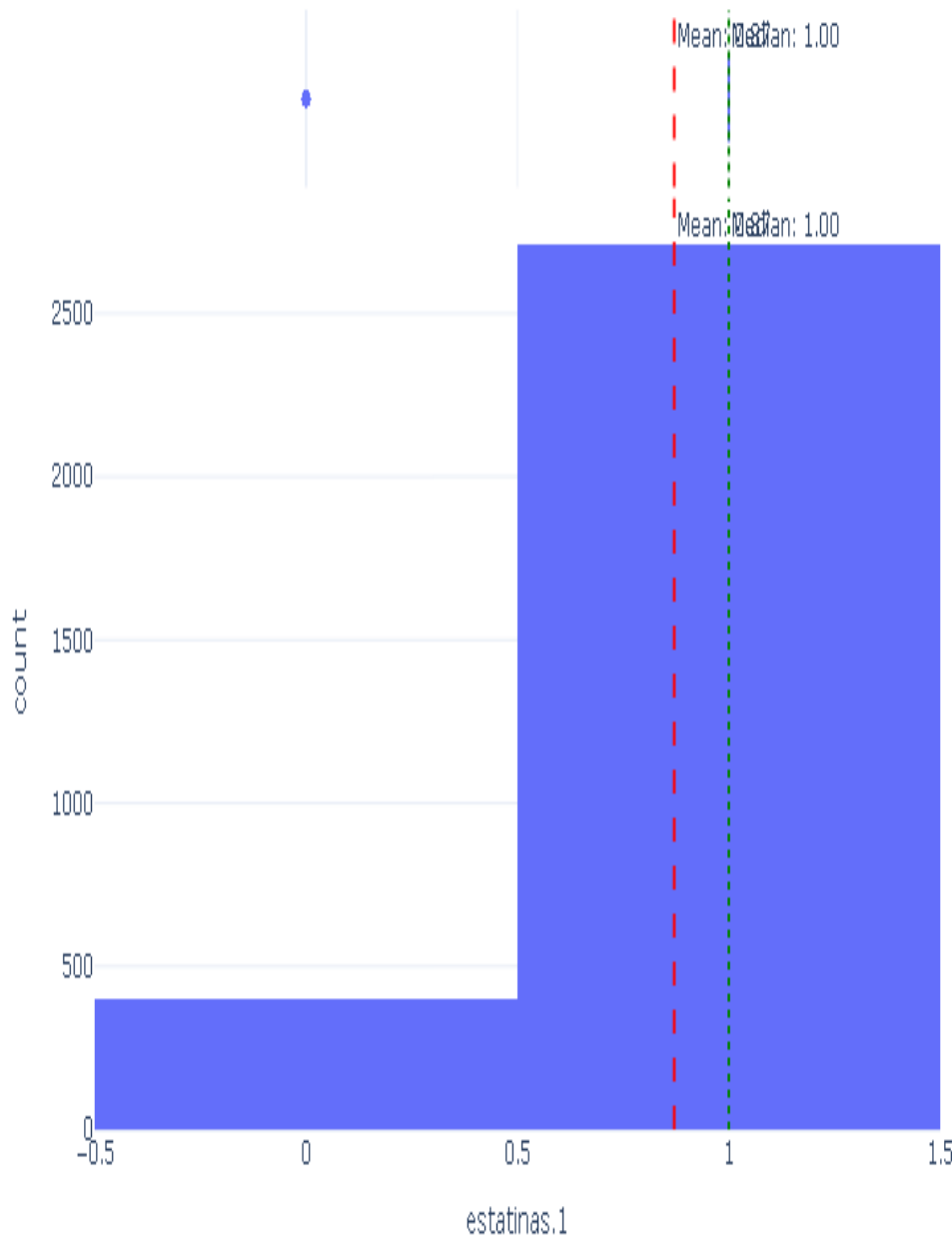


Figura: Distribución de estatinas.1

Boxplot of estatinas.1



Figura: Boxplot de estatinas.1

Variable: anticalcico

Estadísticas Descriptivas

Estadística	Valor
Observaciones	3,112
Valores faltantes	0 (0.00%)
Media	0.1234
Mediana	N/A
Desviación estándar	0.3289
Mínimo	N/A
Q1 (25%)	N/A
Q3 (75%)	N/A
Máximo	1.0000
Asimetría	2.2913
Curtosis	3.2521

Test de Normalidad (Shapiro-Wilk)

Error al calcular test de normalidad: 'UnivariateStats' object has no attribute 'shapiro'

Detección de Outliers (Método IQR)

Métrica	Valor
Q1 (25%)	0.0000
Q3 (75%)	0.0000
IQR	0.0000
Límite inferior	0.0000
Límite superior	0.0000
Número de outliers	384 (12.34%)

Visualizaciones

Distribution of anticalcico

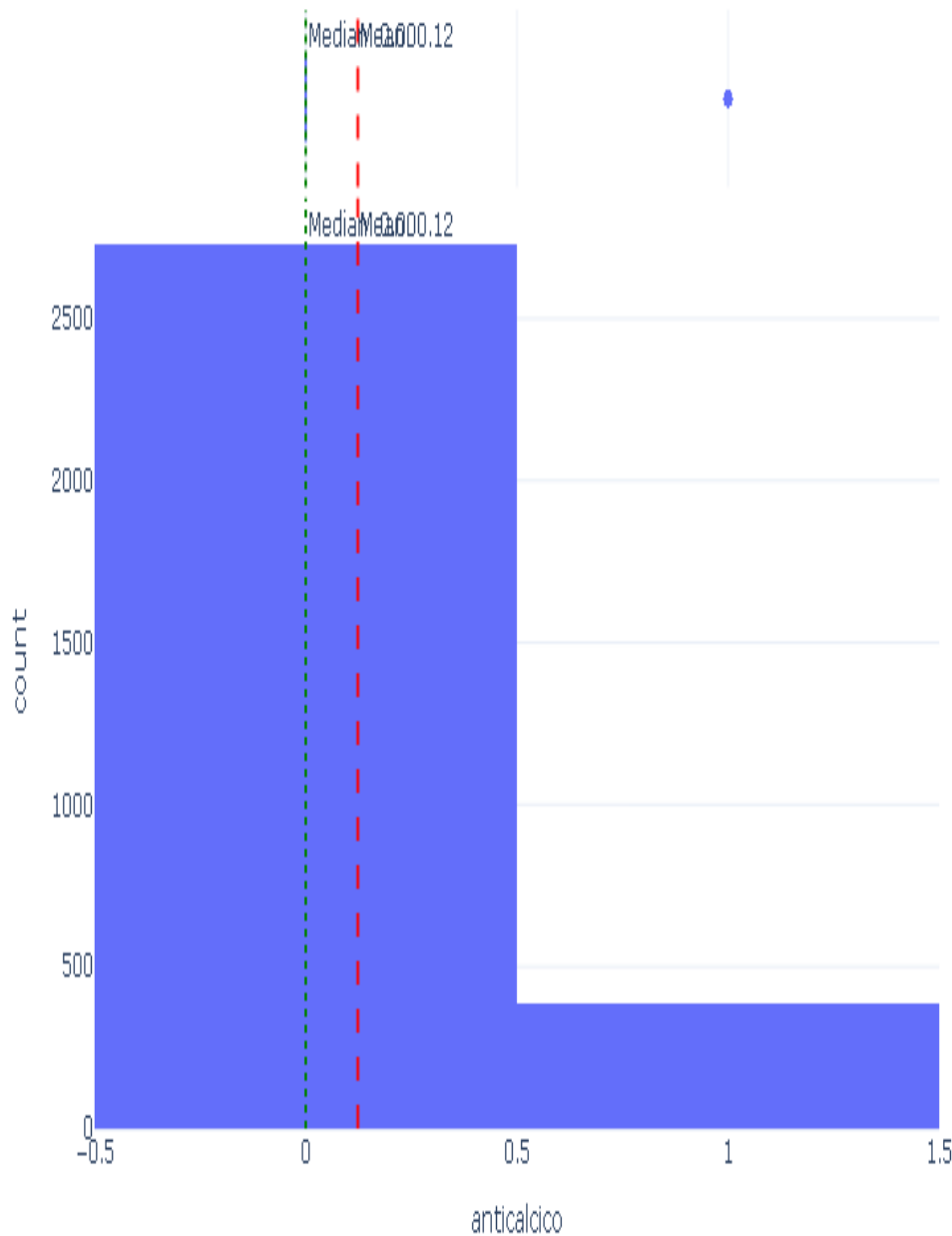


Figura: Distribución de anticalcico

Boxplot of anticalcico



Figura: Boxplot de anticalcico

Variable: clopidogrel.1

Estadísticas Descriptivas

Estadística	Valor
Observaciones	3,112
Valores faltantes	0 (0.00%)
Media	0.8487
Mediana	1.0000
Desviación estándar	0.3584
Mínimo	N/A
Q1 (25%)	1.0000
Q3 (75%)	1.0000
Máximo	1.0000
Asimetría	-1.9466
Curtosis	1.7904

Test de Normalidad (Shapiro-Wilk)

Error al calcular test de normalidad: 'UnivariateStats' object has no attribute 'shapiro'

Detección de Outliers (Método IQR)

Métrica	Valor
Q1 (25%)	1.0000
Q3 (75%)	1.0000
IQR	0.0000
Límite inferior	1.0000
Límite superior	1.0000
Número de outliers	471 (15.13%)

Visualizaciones

Distribution of clopidogrel.1

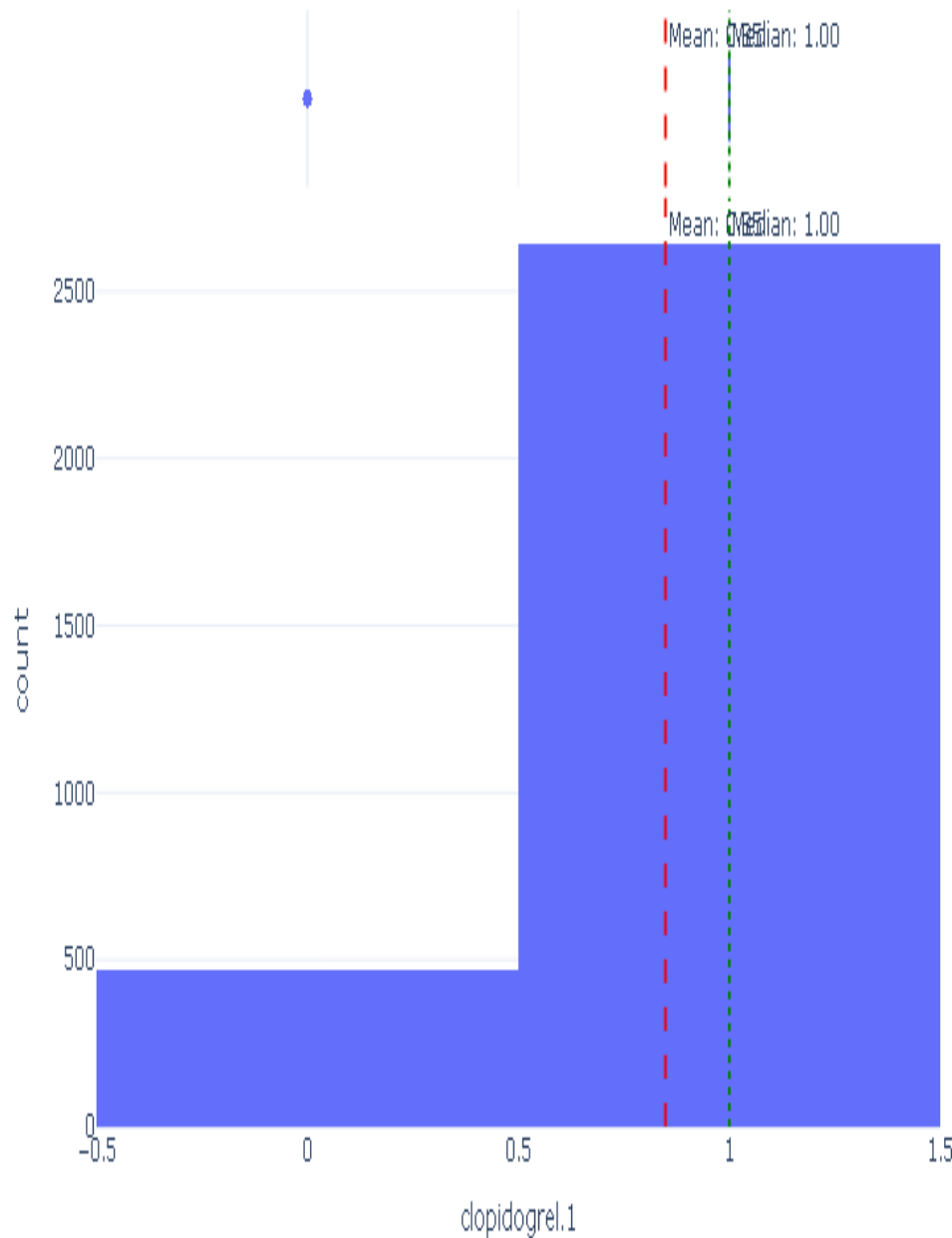


Figura: Distribución de clopidogrel.1

Boxplot of clopidogrel.1

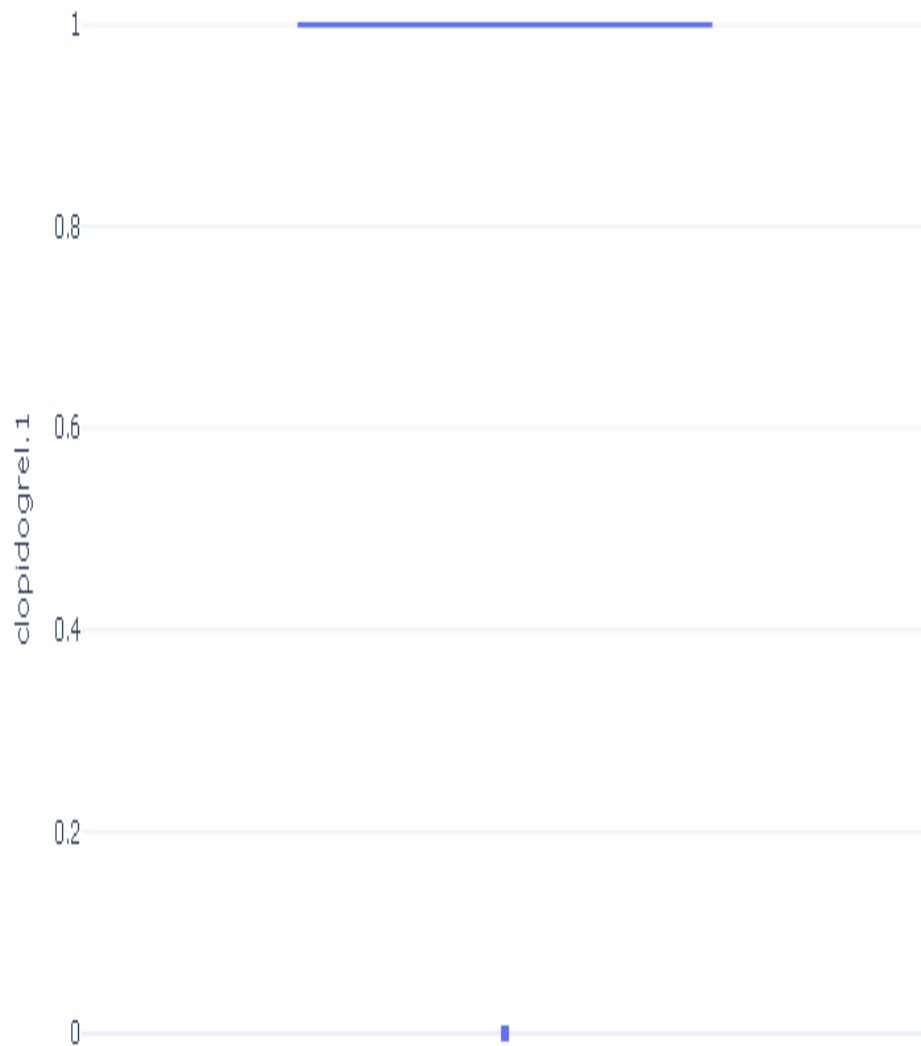


Figura: Boxplot de clopidogrel.1

Variable: consejeria_antitabaquica

Estadísticas Descriptivas

Estadística	Valor
Observaciones	3,112
Valores faltantes	0 (0.00%)
Media	0.3265
Mediana	N/A
Desviación estándar	0.4690
Mínimo	N/A
Q1 (25%)	N/A
Q3 (75%)	1.0000
Máximo	1.0000
Asimetría	0.7404
Curtosis	-1.4527

Test de Normalidad (Shapiro-Wilk)

Error al calcular test de normalidad: 'UnivariateStats' object has no attribute 'shapiro'

Detección de Outliers (Método IQR)

Métrica	Valor
Q1 (25%)	0.0000
Q3 (75%)	1.0000
IQR	1.0000
Límite inferior	-1.5000
Límite superior	2.5000
Número de outliers	0 (0.00%)

Visualizaciones

Distribution of consejeria_antitabaquica

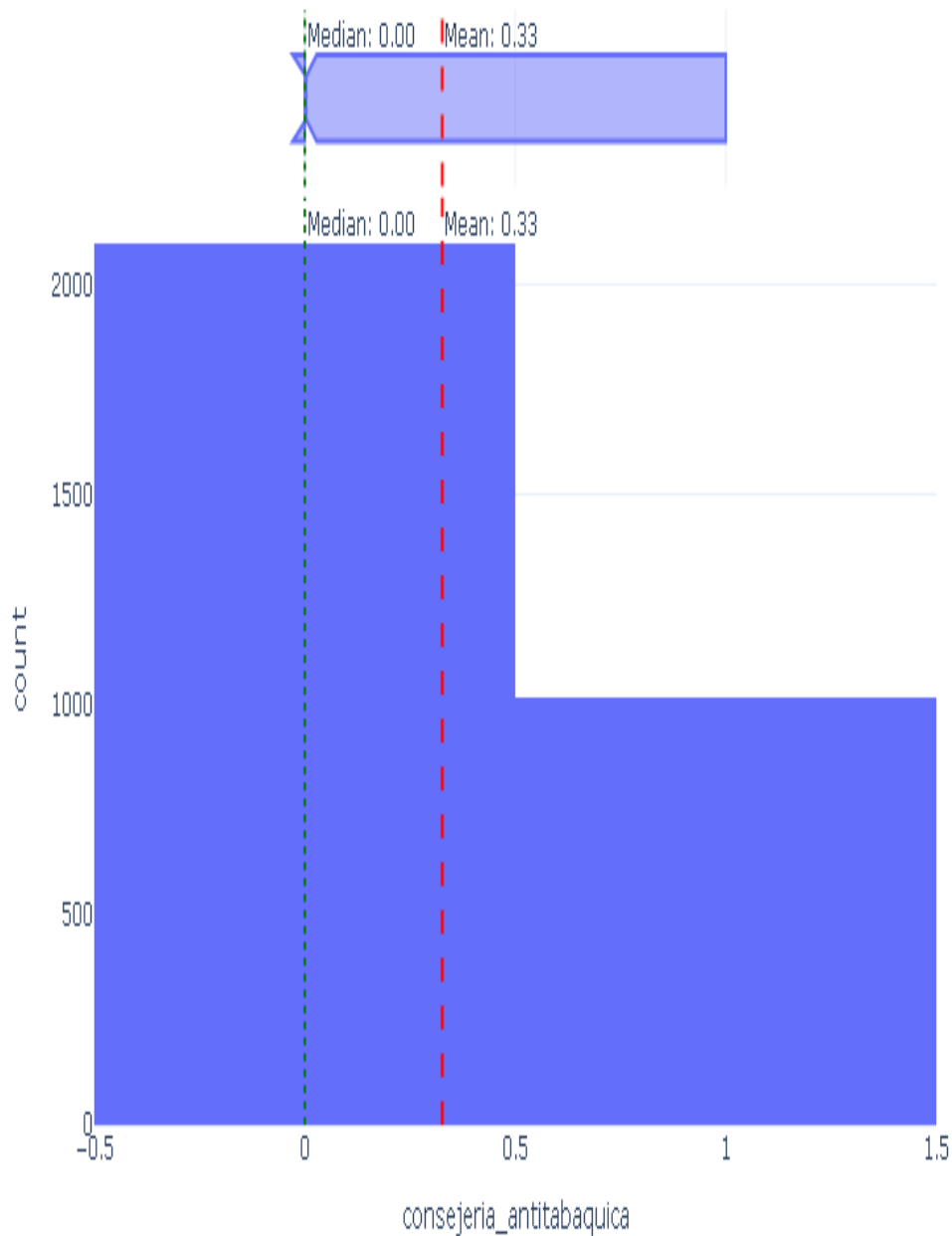


Figura: Distribución de `consejeria_antitabaquica`

Boxplot of consejeria_antitabaquica

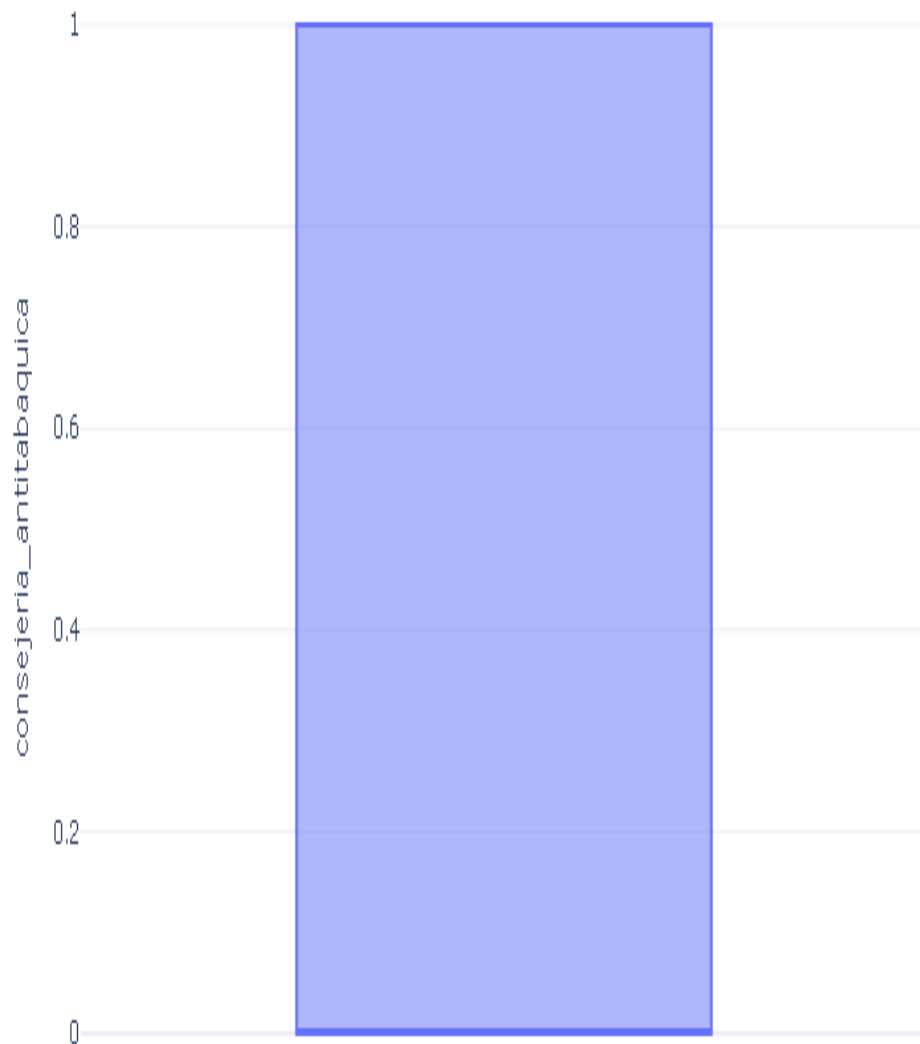


Figura: Boxplot de consejeria_antitabaquica

Variable: consejeria

Estadísticas Descriptivas

Estadística	Valor
Observaciones	3,112
Valores faltantes	0 (0.00%)
Media	0.4103
Mediana	N/A
Desviación estándar	0.4920
Mínimo	N/A
Q1 (25%)	N/A
Q3 (75%)	1.0000
Máximo	1.0000
Asimetría	0.3647
Curtosis	-1.8682

Test de Normalidad (Shapiro-Wilk)

Error al calcular test de normalidad: 'UnivariateStats' object has no attribute 'shapiro'

Detección de Outliers (Método IQR)

Métrica	Valor
Q1 (25%)	0.0000
Q3 (75%)	1.0000
IQR	1.0000
Límite inferior	-1.5000
Límite superior	2.5000
Número de outliers	0 (0.00%)

Visualizaciones

Distribution of consejeria

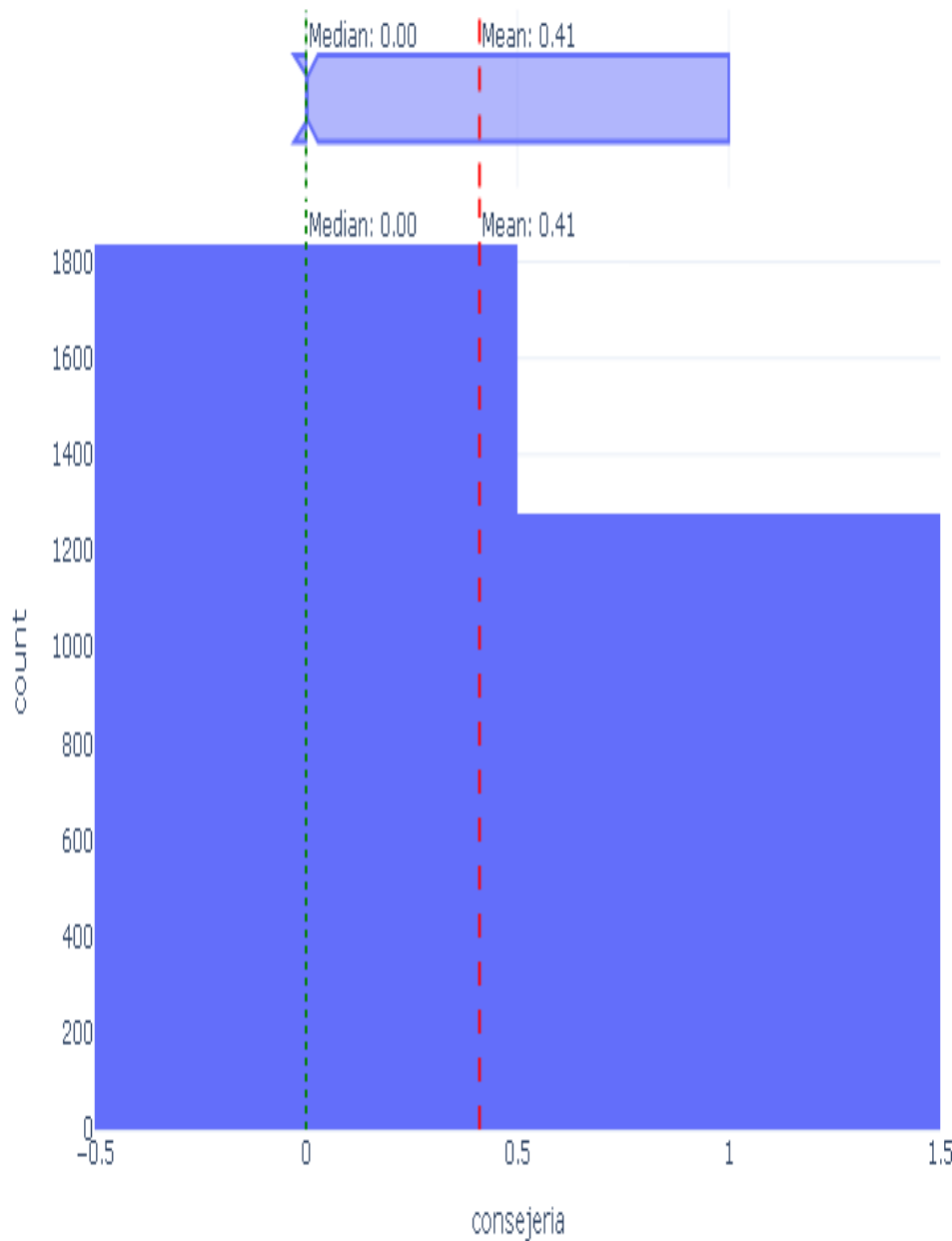


Figura: Distribución de consejeria

Boxplot of consejeria

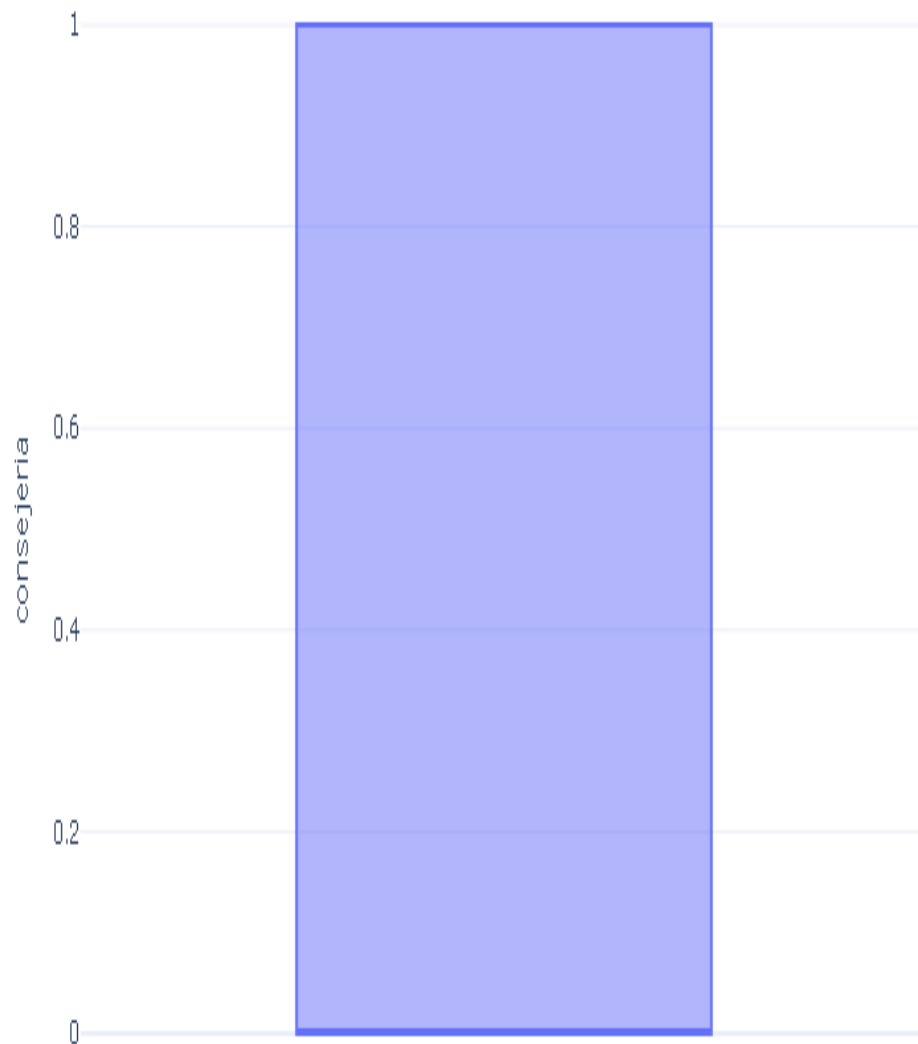


Figura: Boxplot de consejeria

Variable: rehabilitacion.1

Estadísticas Descriptivas

Estadística	Valor
Observaciones	3,112
Valores faltantes	0 (0.00%)
Media	0.3988
Mediana	N/A
Desviación estándar	0.4897
Mínimo	N/A
Q1 (25%)	N/A
Q3 (75%)	1.0000
Máximo	1.0000
Asimetría	0.4136
Curtosis	-1.8301

Test de Normalidad (Shapiro-Wilk)

Error al calcular test de normalidad: 'UnivariateStats' object has no attribute 'shapiro'

Detección de Outliers (Método IQR)

Métrica	Valor
Q1 (25%)	0.0000
Q3 (75%)	1.0000
IQR	1.0000
Límite inferior	-1.5000
Límite superior	2.5000
Número de outliers	0 (0.00%)

Visualizaciones

Distribution of rehabilitacion.1

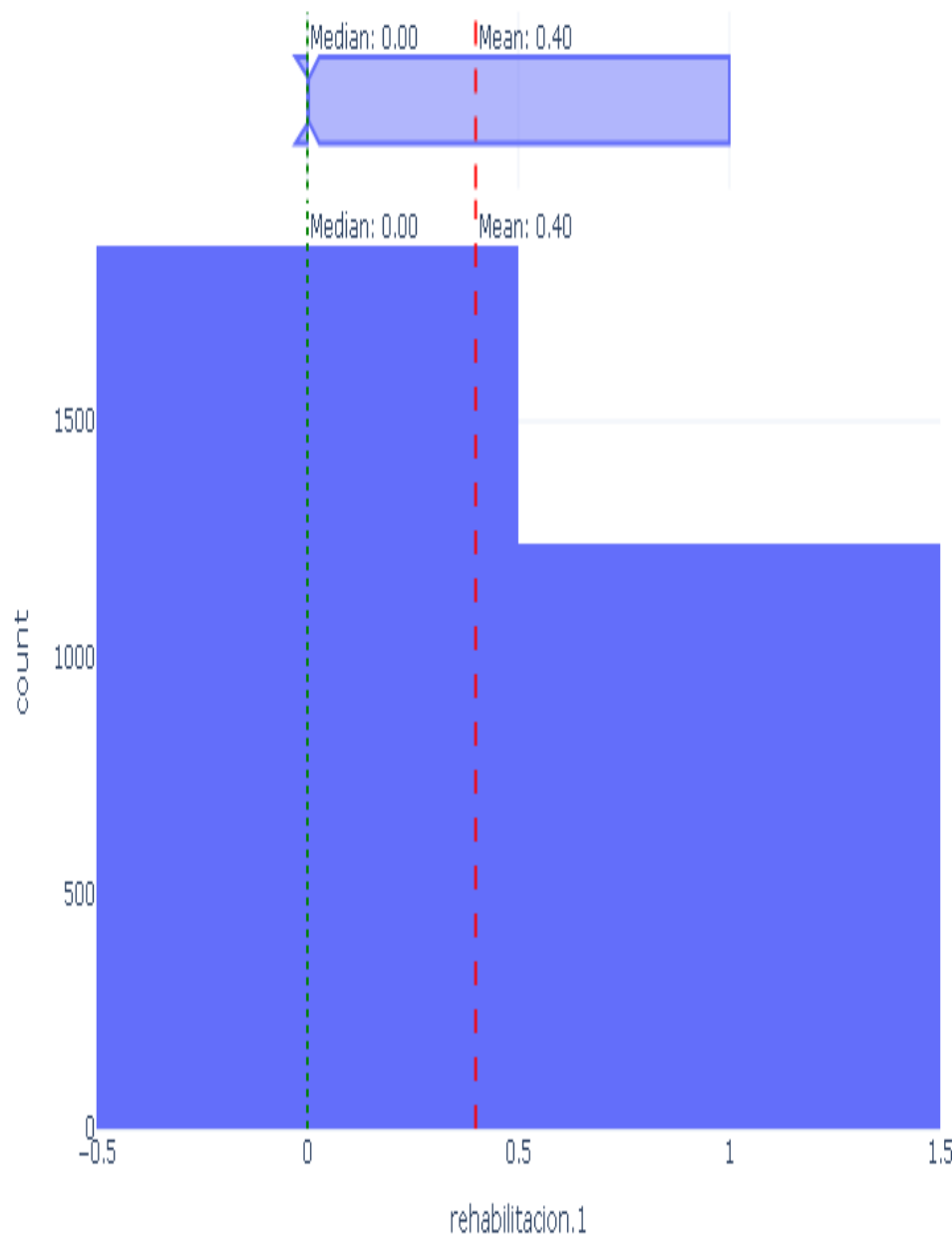


Figura: Distribución de rehabilitacion.1

Boxplot of rehabilitacion.1

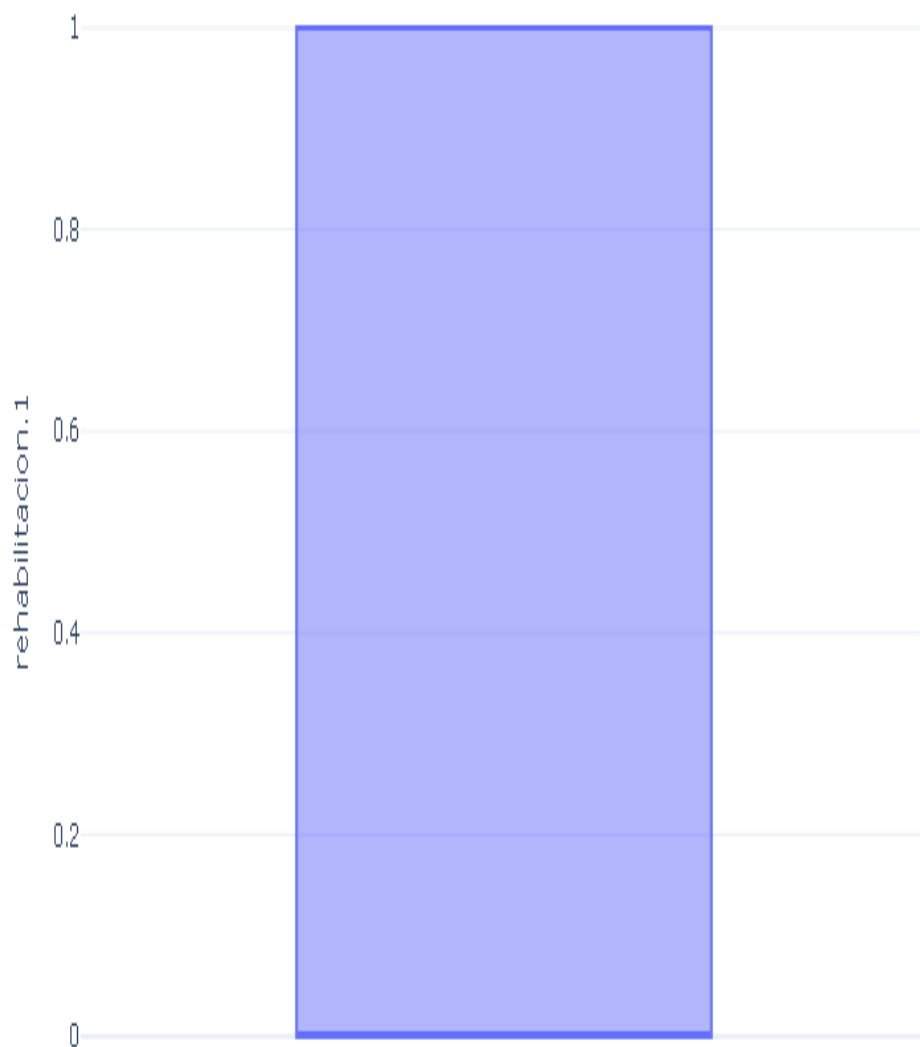


Figura: Boxplot de rehabilitacion.1

Variable: dieta

Estadísticas Descriptivas

Estadística	Valor
Observaciones	3,112
Valores faltantes	0 (0.00%)
Media	0.7744
Mediana	1.0000
Desviación estándar	0.4180
Mínimo	N/A
Q1 (25%)	1.0000
Q3 (75%)	1.0000
Máximo	1.0000
Asimetría	-1.3138
Curtosis	-0.2742

Test de Normalidad (Shapiro-Wilk)

Error al calcular test de normalidad: 'UnivariateStats' object has no attribute 'shapiro'

Detección de Outliers (Método IQR)

Métrica	Valor
Q1 (25%)	1.0000
Q3 (75%)	1.0000
IQR	0.0000
Límite inferior	1.0000
Límite superior	1.0000
Número de outliers	702 (22.56%)

Visualizaciones

Distribution of dieta

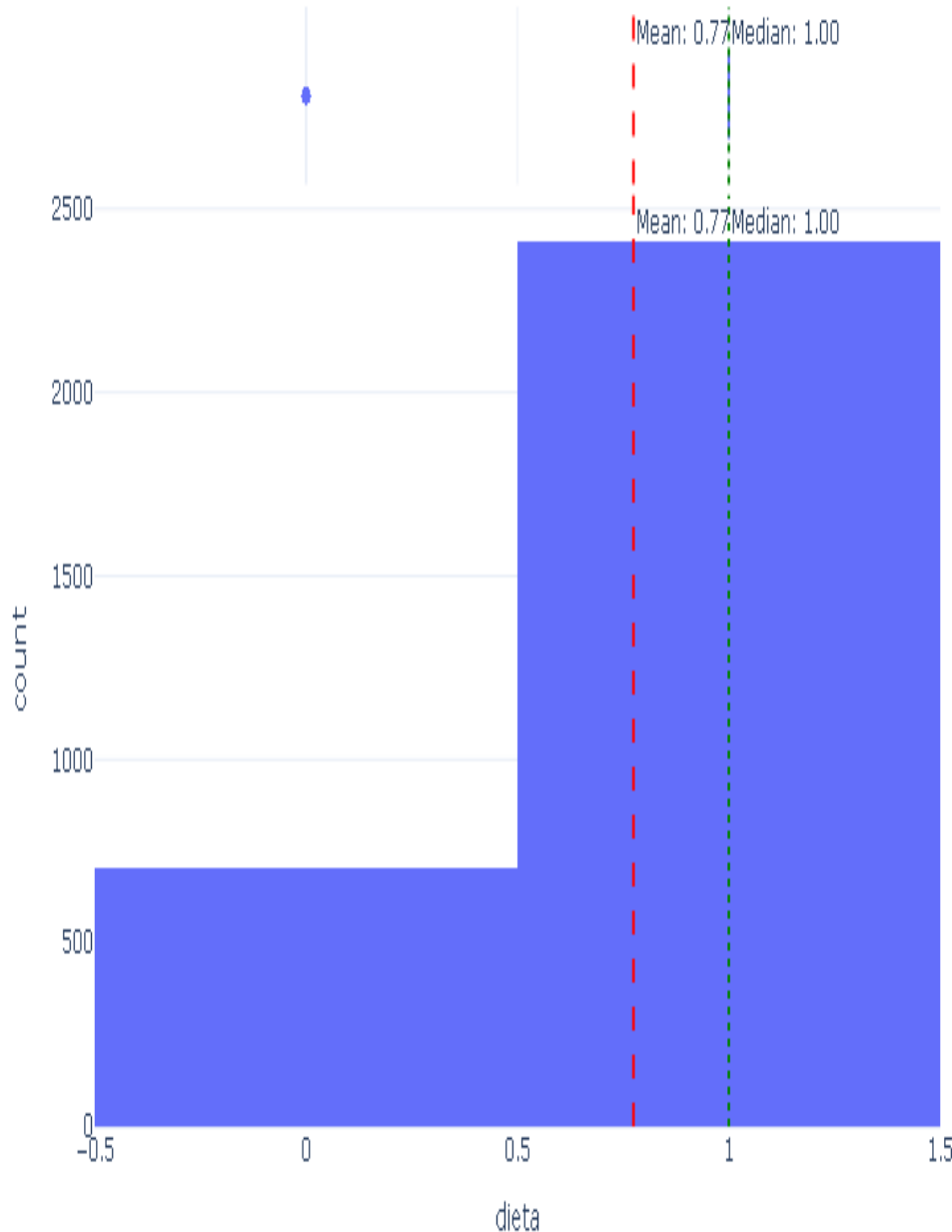


Figura: Distribución de dieta

Boxplot of dieta



Figura: Boxplot de dieta

Variable: furosemida.1

Estadísticas Descriptivas

Estadística	Valor
Observaciones	3,112
Valores faltantes	0 (0.00%)
Media	0.1594
Mediana	N/A
Desviación estándar	0.3661
Mínimo	N/A
Q1 (25%)	N/A
Q3 (75%)	N/A
Máximo	1.0000
Asimetría	1.8620
Curtosis	1.4681

Test de Normalidad (Shapiro-Wilk)

Error al calcular test de normalidad: 'UnivariateStats' object has no attribute 'shapiro'

Detección de Outliers (Método IQR)

Métrica	Valor
Q1 (25%)	0.0000
Q3 (75%)	0.0000
IQR	0.0000
Límite inferior	0.0000
Límite superior	0.0000
Número de outliers	496 (15.94%)

Visualizaciones

Distribution of furosemida.1

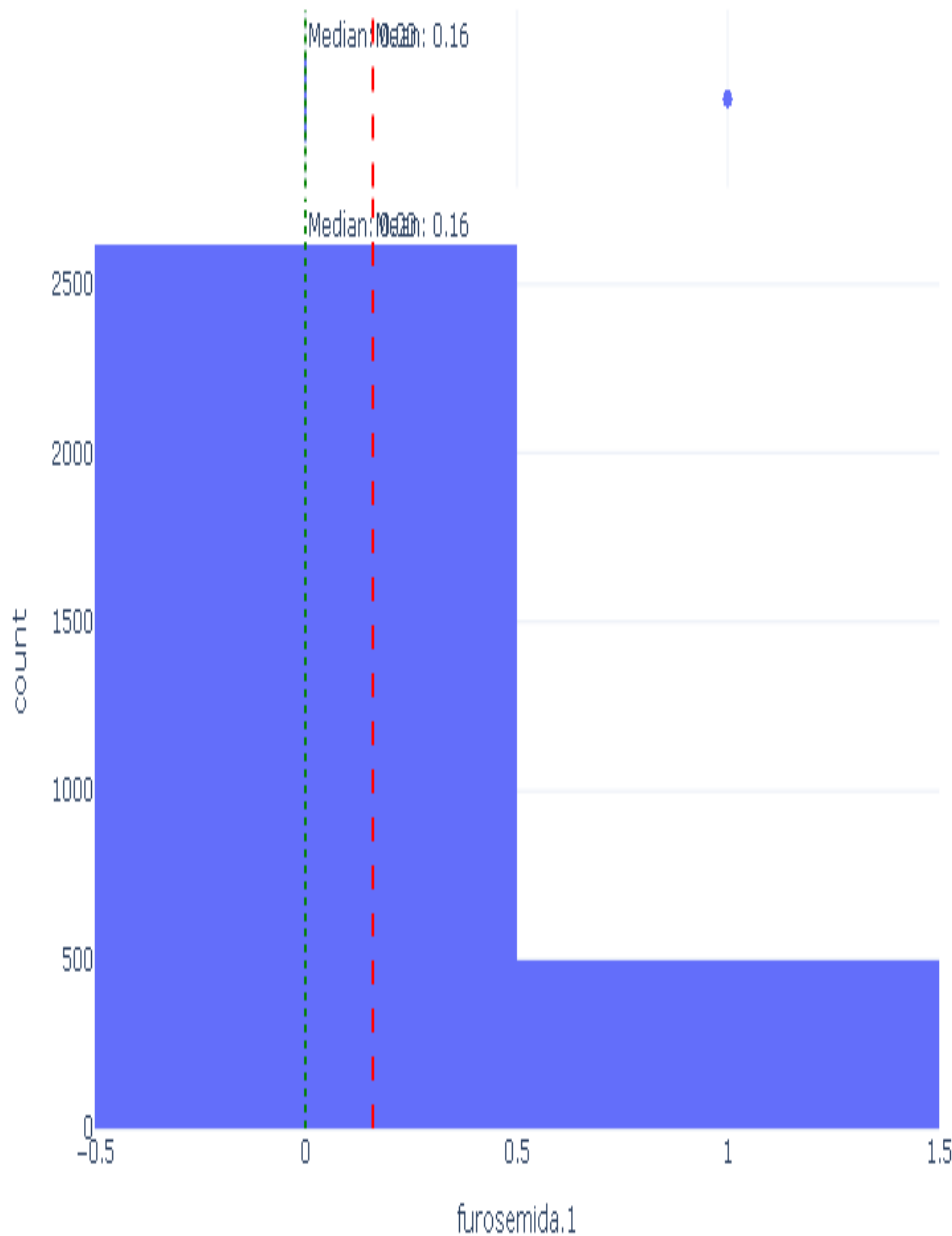


Figura: Distribución de furosemida.1

Boxplot of furosemida.1

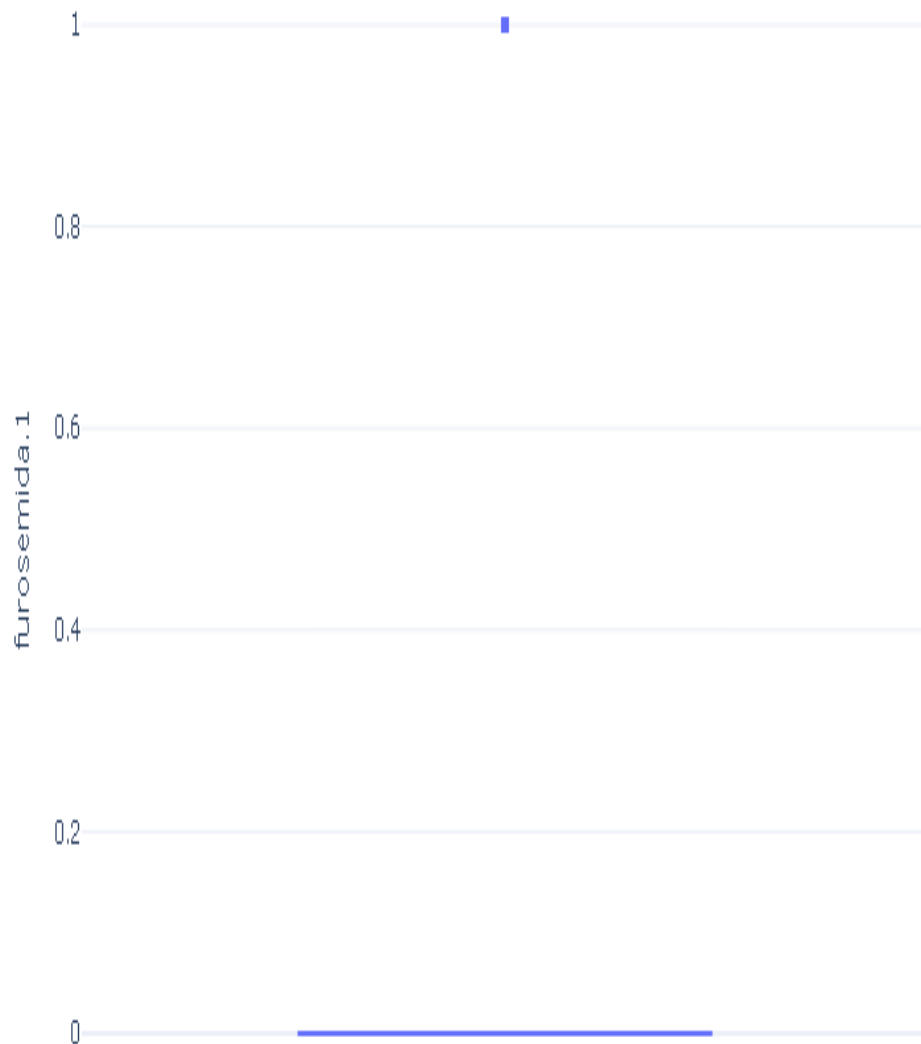


Figura: Boxplot de furosemida.1

Variable: nitratos.1

Estadísticas Descriptivas

Estadística	Valor
Observaciones	3,112
Valores faltantes	0 (0.00%)
Media	0.2892
Mediana	N/A
Desviación estándar	0.4535
Mínimo	N/A
Q1 (25%)	N/A
Q3 (75%)	1.0000
Máximo	1.0000
Asimetría	0.9303
Curtosis	-1.1352

Test de Normalidad (Shapiro-Wilk)

Error al calcular test de normalidad: 'UnivariateStats' object has no attribute 'shapiro'

Detección de Outliers (Método IQR)

Métrica	Valor
Q1 (25%)	0.0000
Q3 (75%)	1.0000
IQR	1.0000
Límite inferior	-1.5000
Límite superior	2.5000
Número de outliers	0 (0.00%)

Visualizaciones

Distribution of nitratos.1

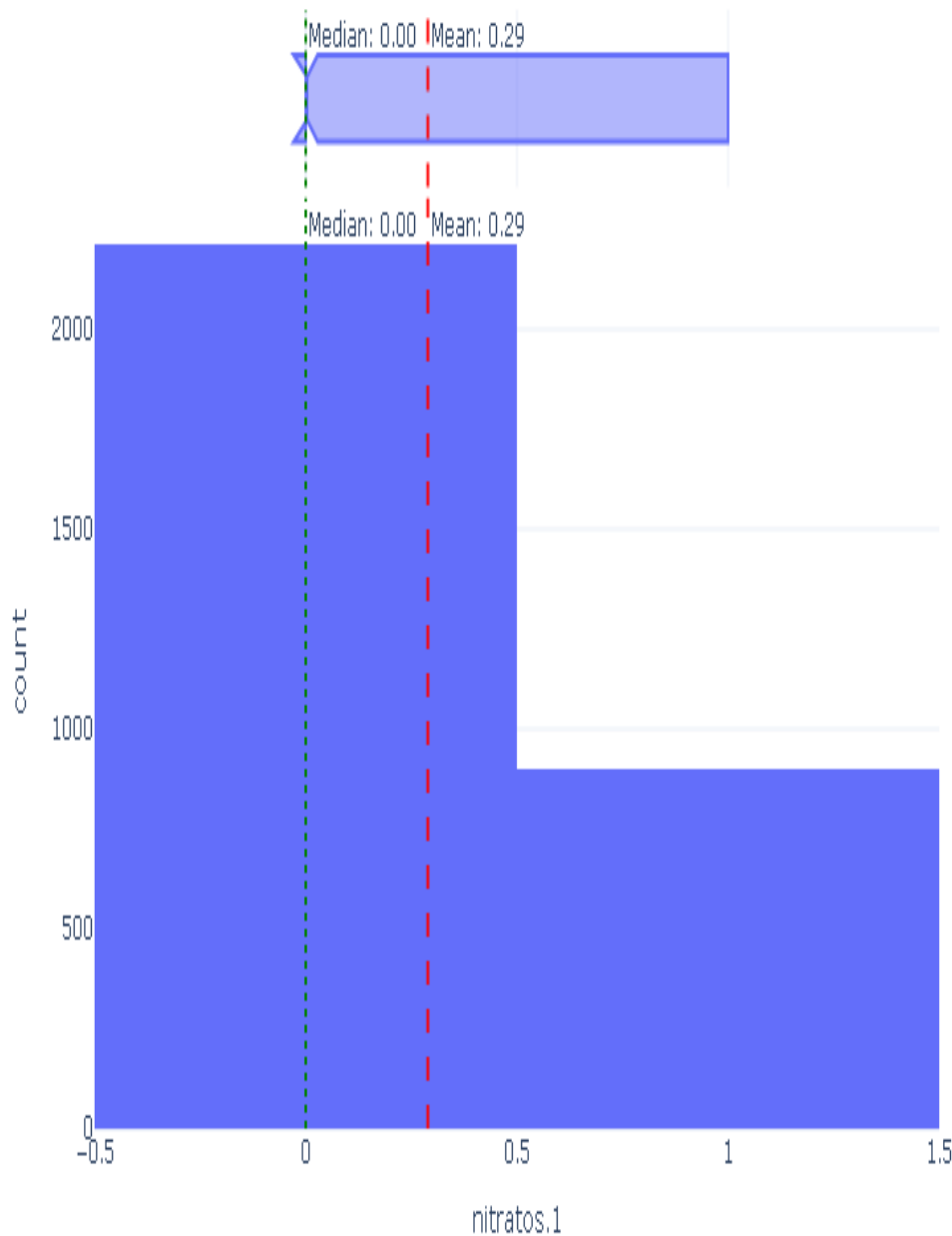


Figura: Distribución de nitratos.1

Boxplot of nitratos.1

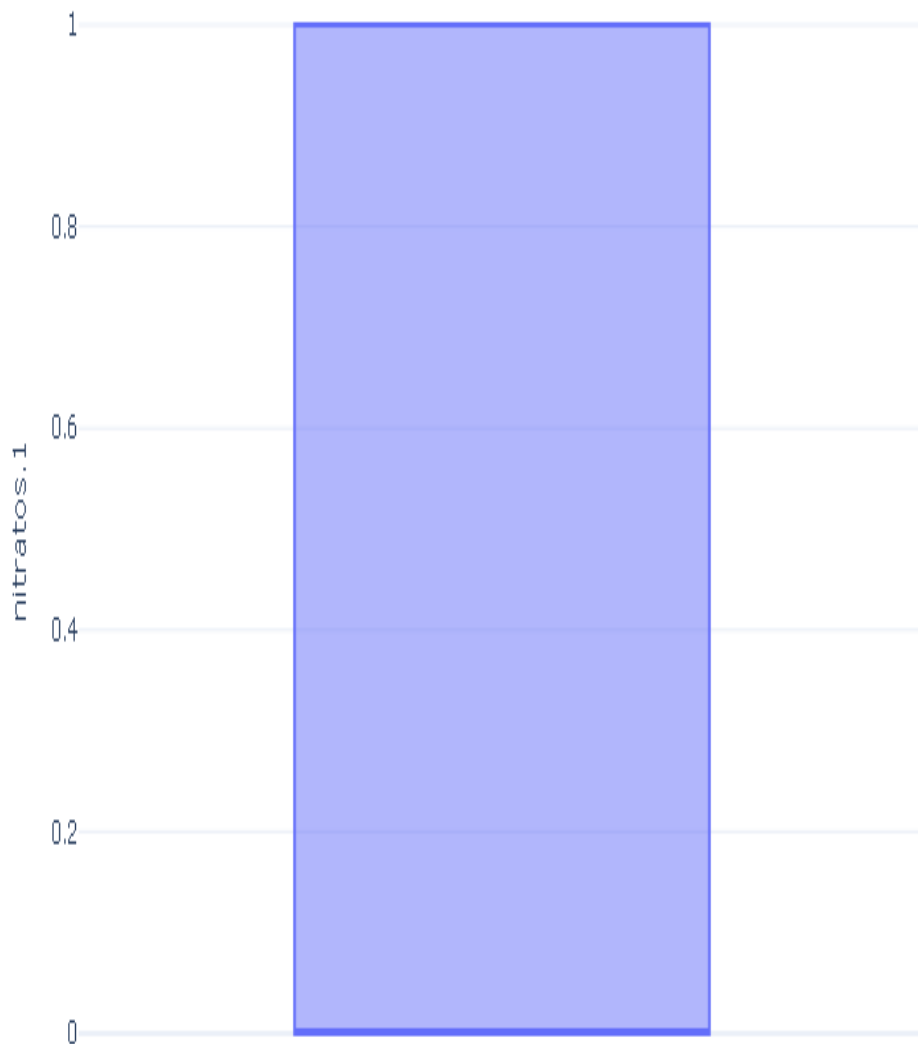


Figura: Boxplot de nitratos.1

Variable: anticoagulantes.1

Estadísticas Descriptivas

Estadística	Valor
Observaciones	3,112
Valores faltantes	0 (0.00%)
Media	0.0527
Mediana	N/A
Desviación estándar	0.2235
Mínimo	N/A
Q1 (25%)	N/A
Q3 (75%)	N/A
Máximo	1.0000
Asimetría	4.0058
Curtosis	14.0557

Test de Normalidad (Shapiro-Wilk)

Error al calcular test de normalidad: 'UnivariateStats' object has no attribute 'shapiro'

Detección de Outliers (Método IQR)

Métrica	Valor
Q1 (25%)	0.0000
Q3 (75%)	0.0000
IQR	0.0000
Límite inferior	0.0000
Límite superior	0.0000
Número de outliers	164 (5.27%)

Visualizaciones

Distribution of anticoagulantes.1

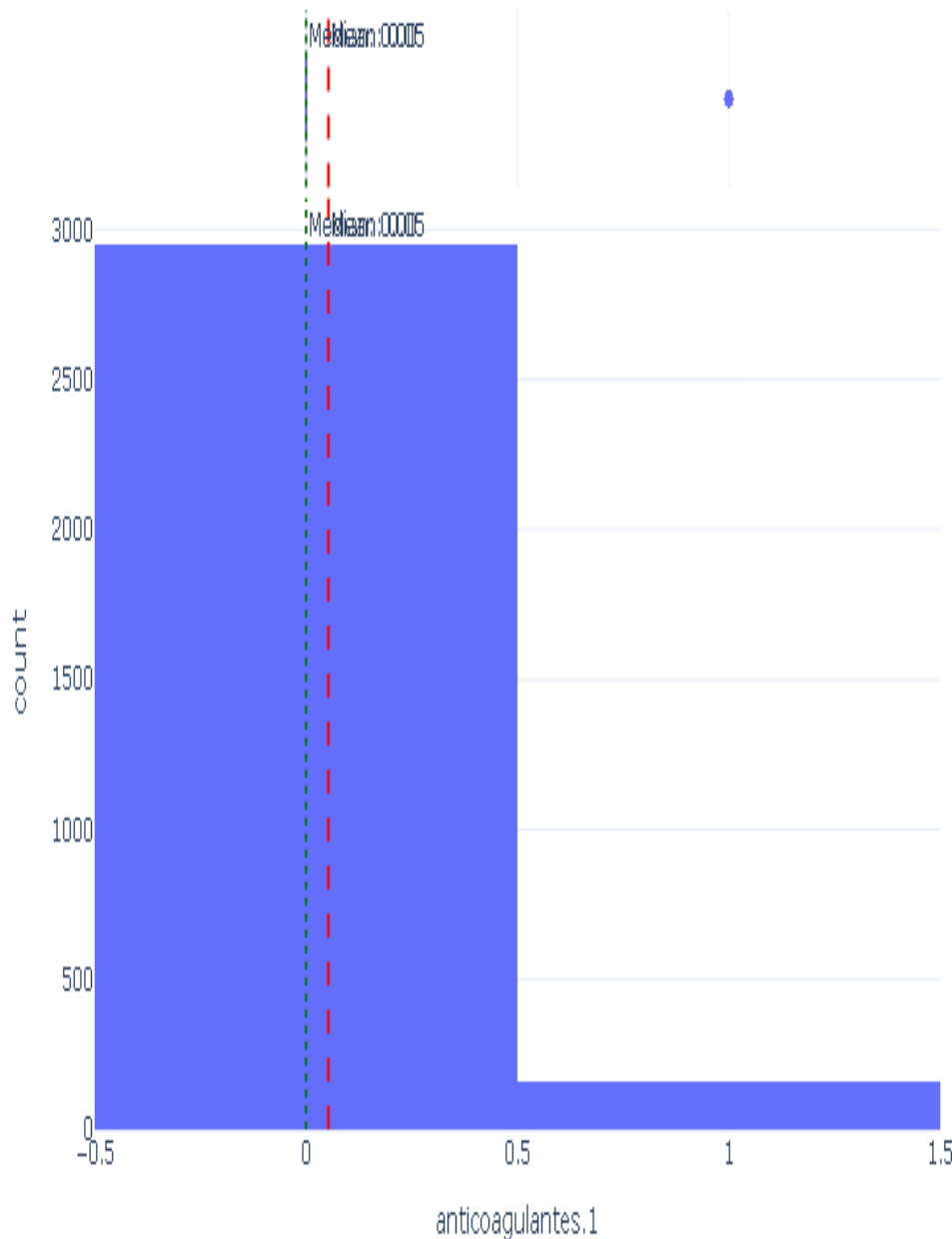


Figura: Distribución de anticoagulantes.1

Boxplot of anticoagulantes.1

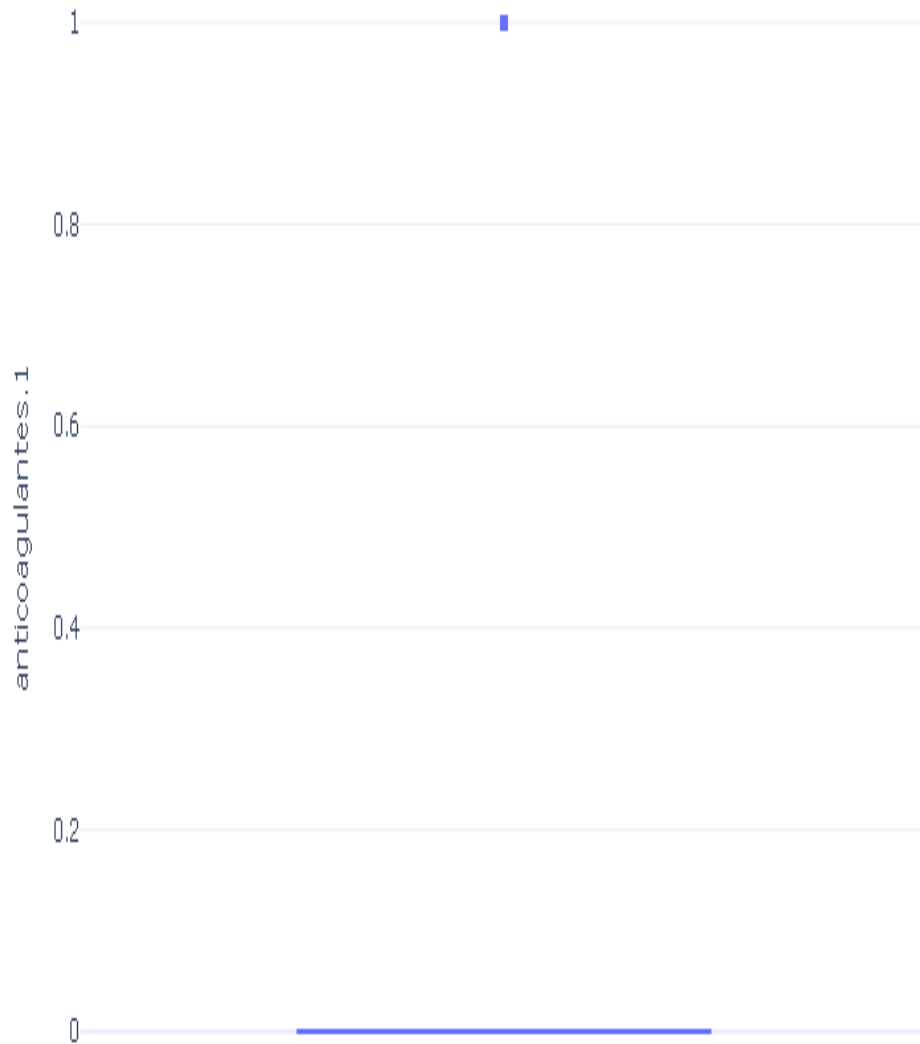


Figura: Boxplot de anticoagulantes.1

Variable: otros_diureticos.1

Estadísticas Descriptivas

Estadística	Valor
Observaciones	3,112
Valores faltantes	0 (0.00%)
Media	0.4582
Mediana	N/A
Desviación estándar	0.4983
Mínimo	N/A
Q1 (25%)	N/A
Q3 (75%)	1.0000
Máximo	1.0000
Asimetría	0.1678
Curtosis	-1.9731

Test de Normalidad (Shapiro-Wilk)

Error al calcular test de normalidad: 'UnivariateStats' object has no attribute 'shapiro'

Detección de Outliers (Método IQR)

Métrica	Valor
Q1 (25%)	0.0000
Q3 (75%)	1.0000
IQR	1.0000
Límite inferior	-1.5000
Límite superior	2.5000
Número de outliers	0 (0.00%)

Visualizaciones

Distribution of otros_diureticos.1

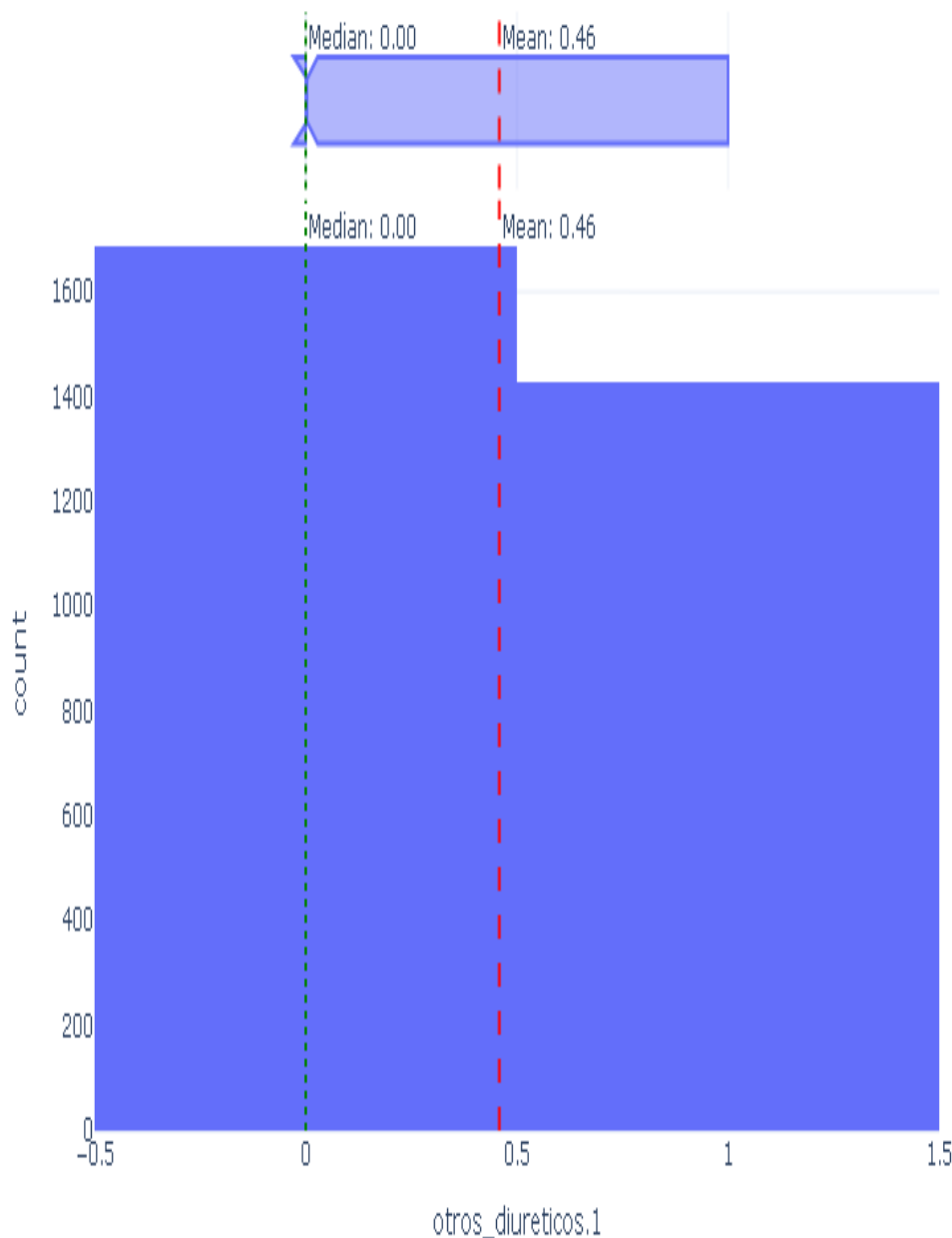


Figura: Distribución de `otros_diureticos.1`

Boxplot of otros_diureticos.1

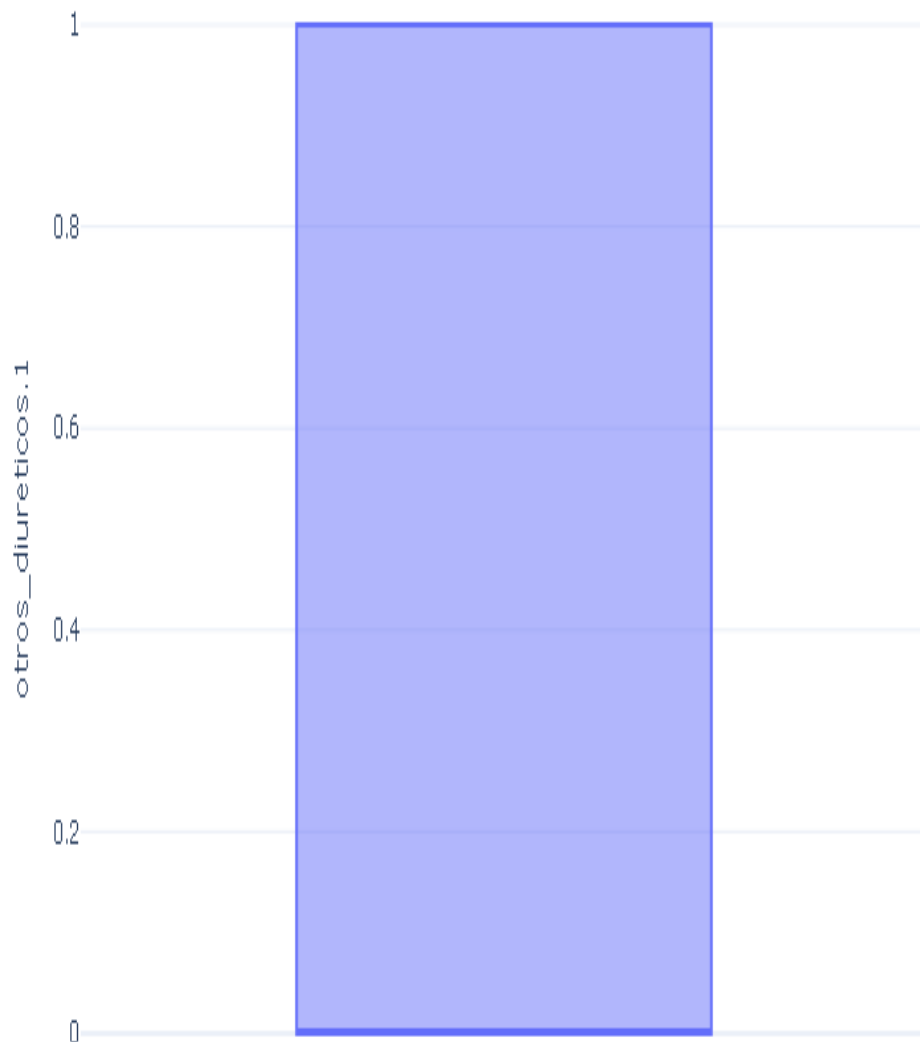


Figura: Boxplot de otros_diureticos.1

Variable: colesterol

Estadísticas Descriptivas

Estadística	Valor
Observaciones	2,736
Valores faltantes	376 (12.08%)
Media	4.7904
Mediana	4.7000
Desviación estándar	1.1555
Mínimo	1.3600
Q1 (25%)	4.0700
Q3 (75%)	5.4700
Máximo	10.0000
Asimetría	0.5249
Curtosis	1.1137

Test de Normalidad (Shapiro-Wilk)

Error al calcular test de normalidad: 'UnivariateStats' object has no attribute 'shapiro'

Detección de Outliers (Método IQR)

Métrica	Valor
Q1 (25%)	4.0700
Q3 (75%)	5.4700
IQR	1.4000
Límite inferior	1.9700
Límite superior	7.5700
Número de outliers	56 (2.05%)

Visualizaciones

Distribution of cholesterol

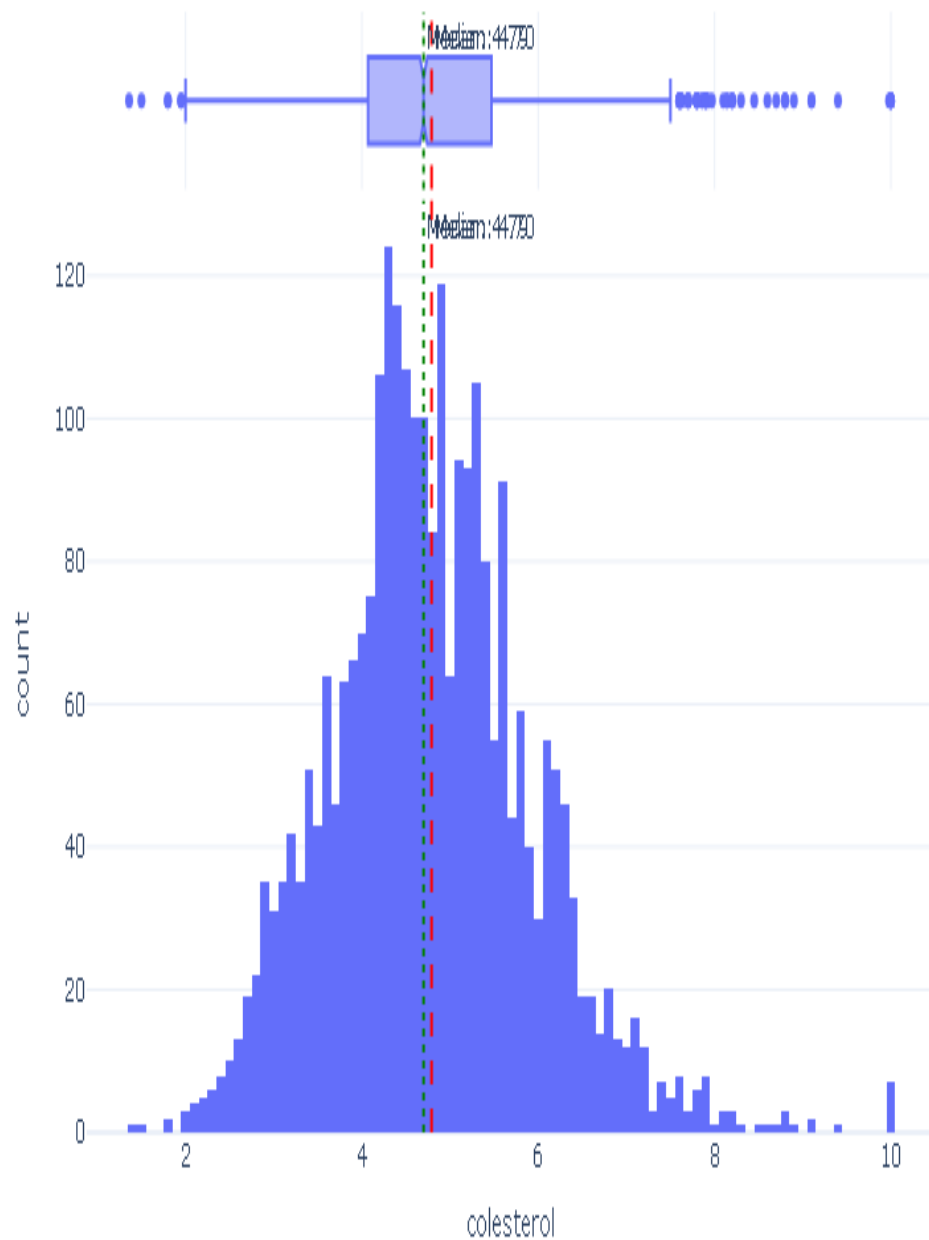


Figura: Distribución de colesterol

Boxplot of colesterol

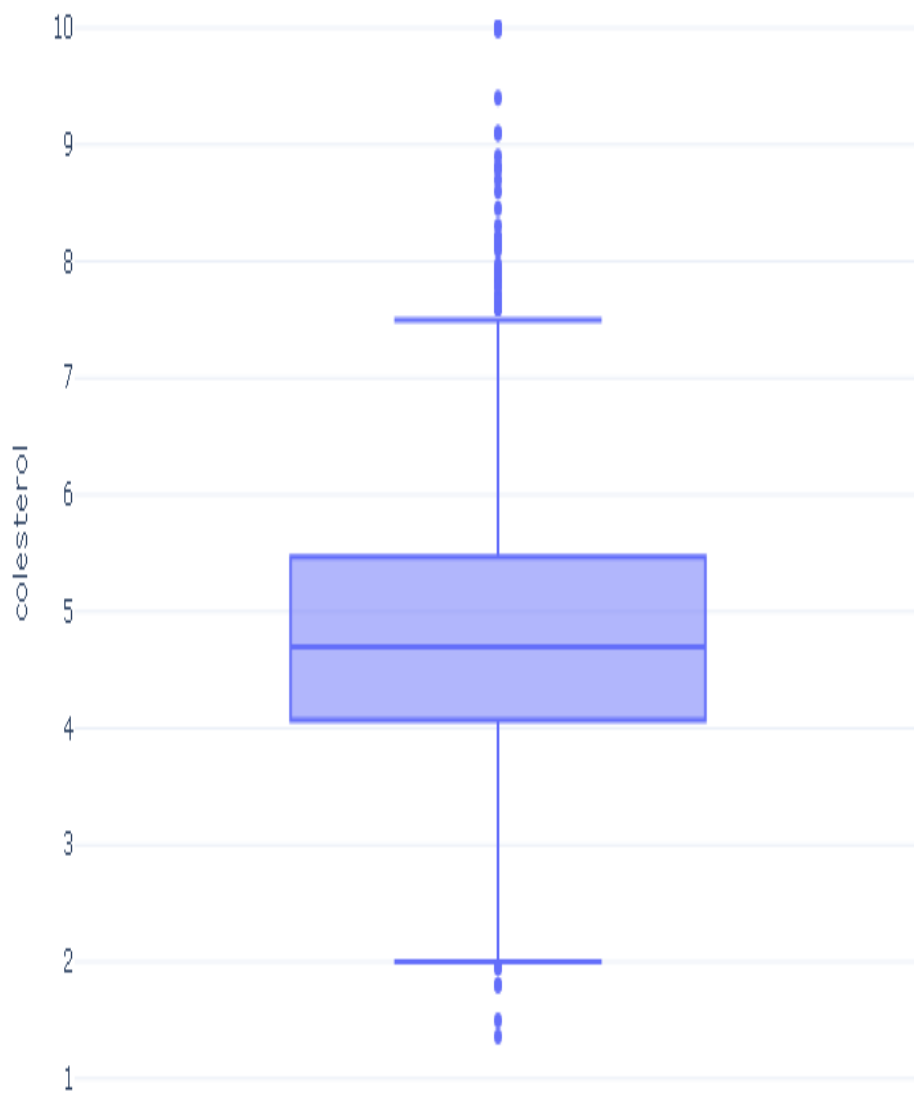


Figura: Boxplot de colesterol

Variable: creatinina

Estadísticas Descriptivas

Estadística	Valor
Observaciones	2,972
Valores faltantes	140 (4.50%)
Media	101.7137
Mediana	91.0000
Desviación estándar	49.9779
Mínimo	6.0000
Q1 (25%)	78.0000
Q3 (75%)	112.0000
Máximo	1036.0000
Asimetría	6.9386
Curtosis	88.9031

Test de Normalidad (Shapiro-Wilk)

Error al calcular test de normalidad: 'UnivariateStats' object has no attribute 'shapiro'

Detección de Outliers (Método IQR)

Métrica	Valor
Q1 (25%)	78.0000
Q3 (75%)	112.0000
IQR	34.0000
Límite inferior	27.0000
Límite superior	163.0000
Número de outliers	170 (5.72%)

Visualizaciones

Distribution of creatinina



Figura: Distribución de creatinina

Boxplot of creatinina

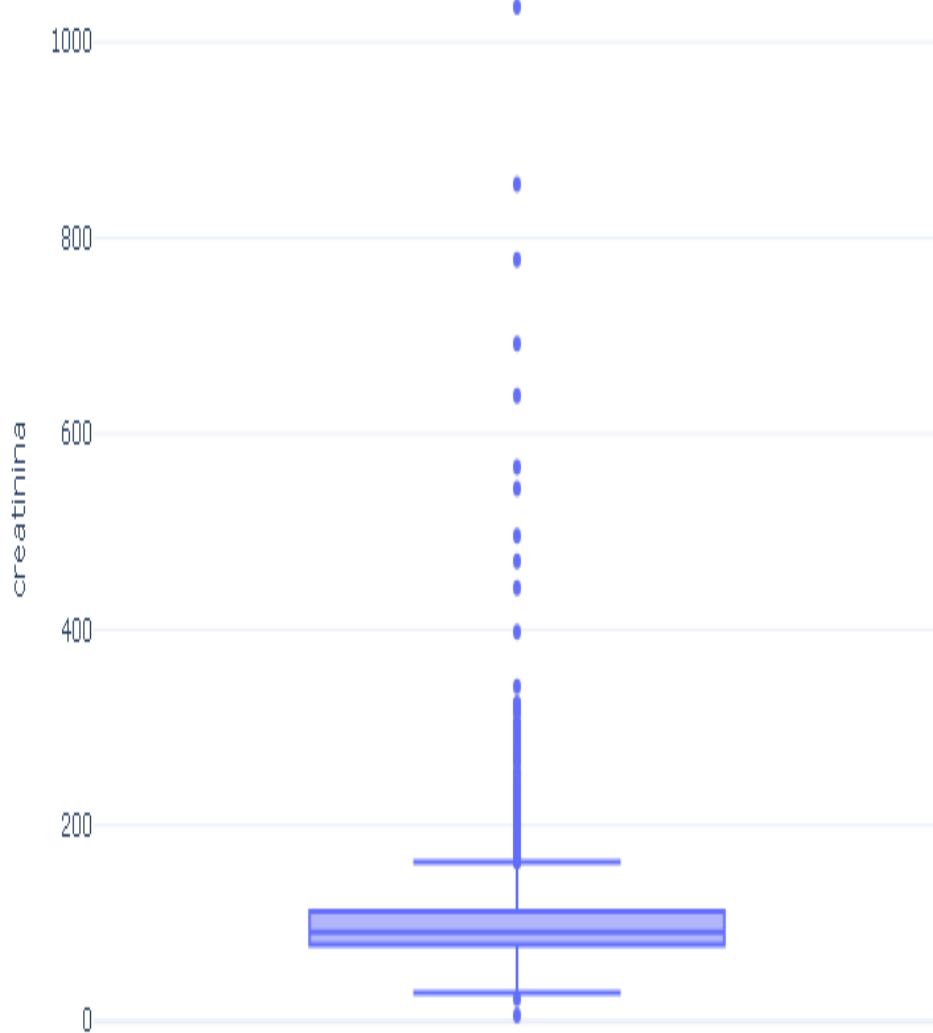


Figura: Boxplot de creatinina

Variable: filtrado_glomerular

Estadísticas Descriptivas

Estadística	Valor
Observaciones	2,972
Valores faltantes	140 (4.50%)
Media	67.1260
Mediana	67.5010
Desviación estándar	23.4847
Mínimo	3.1150
Q1 (25%)	50.3775
Q3 (75%)	83.7657
Máximo	265.2100
Asimetría	0.2110
Curtosis	1.2882

Test de Normalidad (Shapiro-Wilk)

Error al calcular test de normalidad: 'UnivariateStats' object has no attribute 'shapiro'

Detección de Outliers (Método IQR)

Métrica	Valor
Q1 (25%)	50.3775
Q3 (75%)	83.7657
IQR	33.3882
Límite inferior	0.2951
Límite superior	133.8481
Número de outliers	5 (0.17%)

Visualizaciones

Distribution of filtrado_glomerular

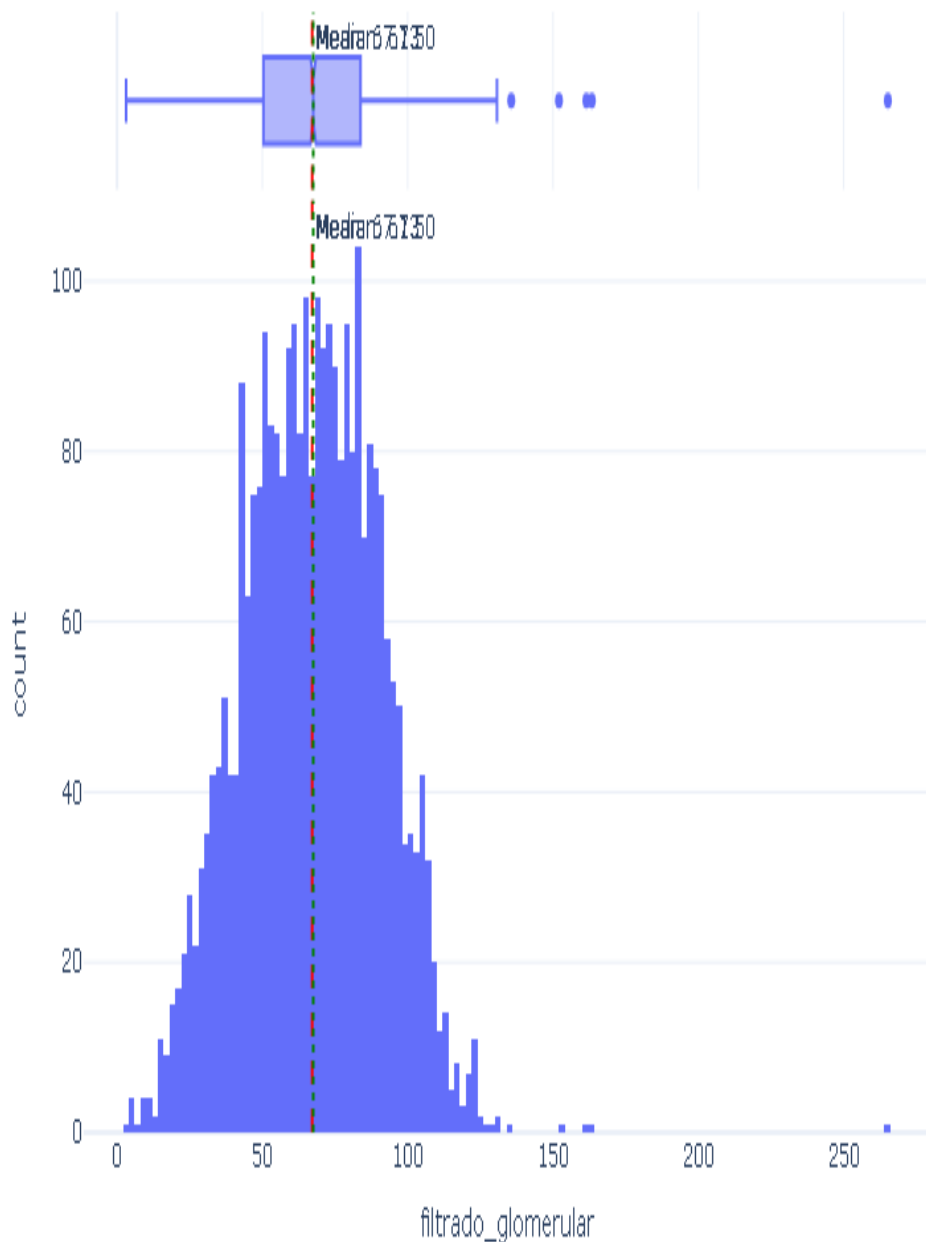


Figura: Distribución de `filtrado_glomerular`

Boxplot of filtrado_glomerular

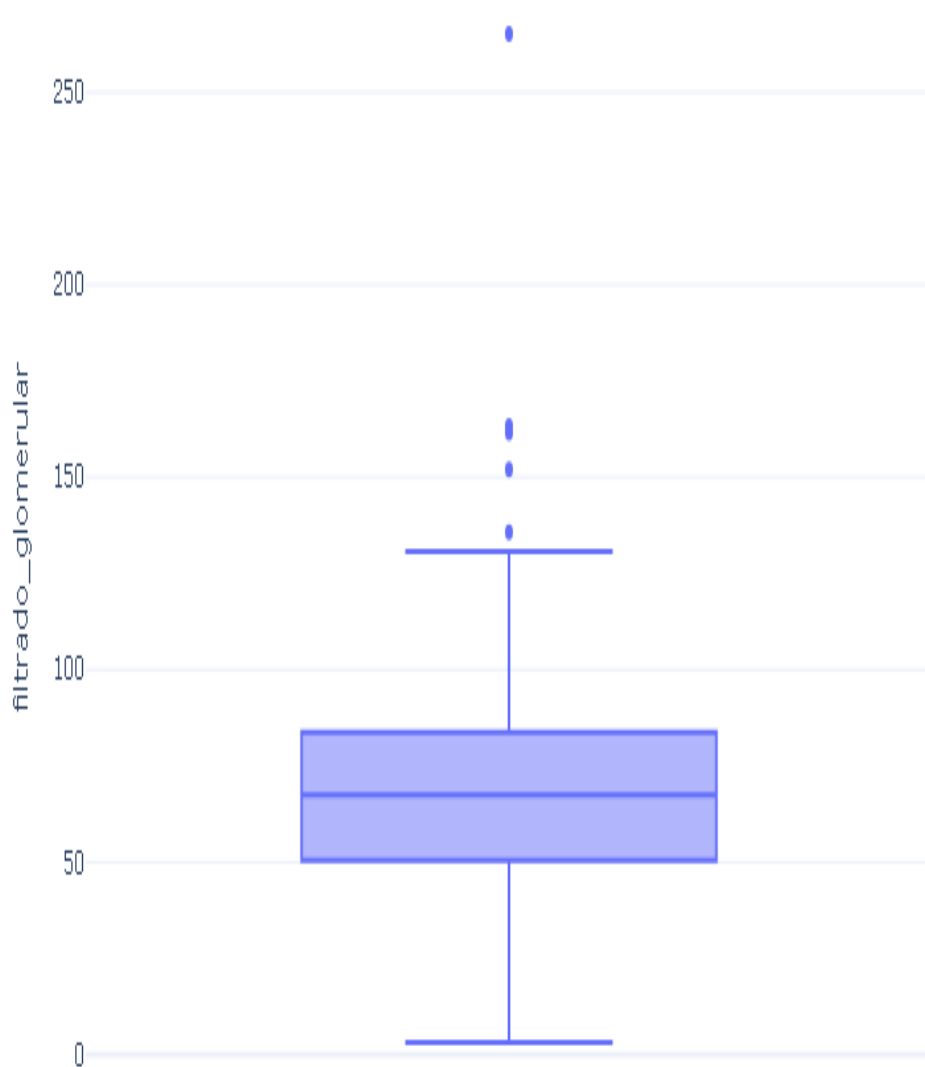


Figura: Boxplot de filtrado_glomerular

Variable: trigliceridos

Estadísticas Descriptivas

Estadística	Valor
Observaciones	2,513
Valores faltantes	599 (19.25%)
Media	1.4719
Mediana	1.2700
Desviación estándar	0.8628
Mínimo	N/A
Q1 (25%)	0.9800
Q3 (75%)	1.7300
Máximo	9.9000
Asimetría	3.0726
Curtosis	17.3525

Test de Normalidad (Shapiro-Wilk)

Error al calcular test de normalidad: 'UnivariateStats' object has no attribute 'shapiro'

Detección de Outliers (Método IQR)

Métrica	Valor
Q1 (25%)	0.9800
Q3 (75%)	1.7300
IQR	0.7500
Límite inferior	-0.1450
Límite superior	2.8550
Número de outliers	140 (5.57%)

Visualizaciones

Distribution of triglyceridos

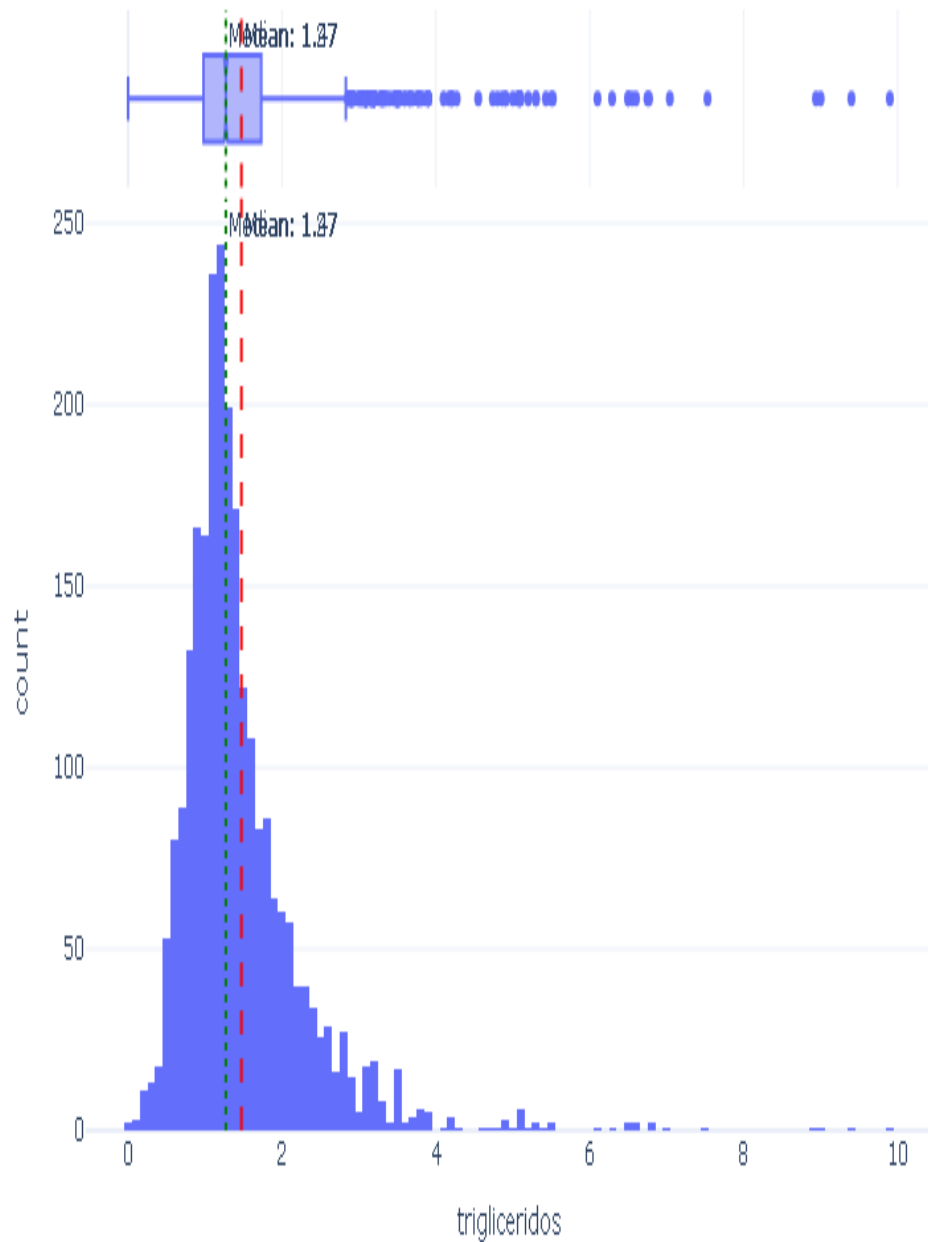


Figura: Distribución de triglyceridos

Boxplot of triglyceridos

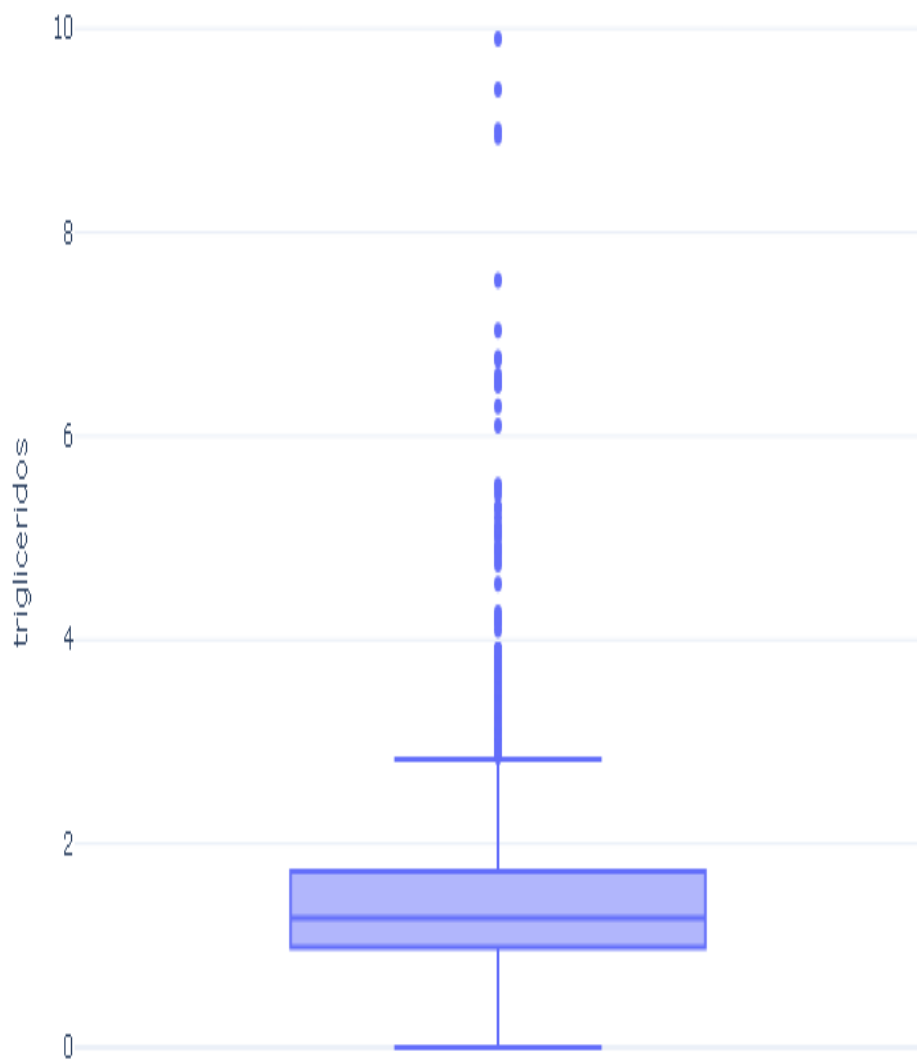


Figura: Boxplot de triglyceridos

Variable: glicemia

Estadísticas Descriptivas

Estadística	Valor
Observaciones	2,968
Valores faltantes	144 (4.63%)
Media	7.4168
Mediana	6.3000
Desviación estándar	3.6628
Mínimo	0.2100
Q1 (25%)	5.4000
Q3 (75%)	8.0375
Máximo	56.0000
Asimetría	3.3209
Curtosis	20.4689

Test de Normalidad (Shapiro-Wilk)

Error al calcular test de normalidad: 'UnivariateStats' object has no attribute 'shapiro'

Detección de Outliers (Método IQR)

Métrica	Valor
Q1 (25%)	5.4000
Q3 (75%)	8.0375
IQR	2.6375
Límite inferior	1.4438
Límite superior	11.9937
Número de outliers	293 (9.87%)

Visualizaciones

Distribution of glicemia

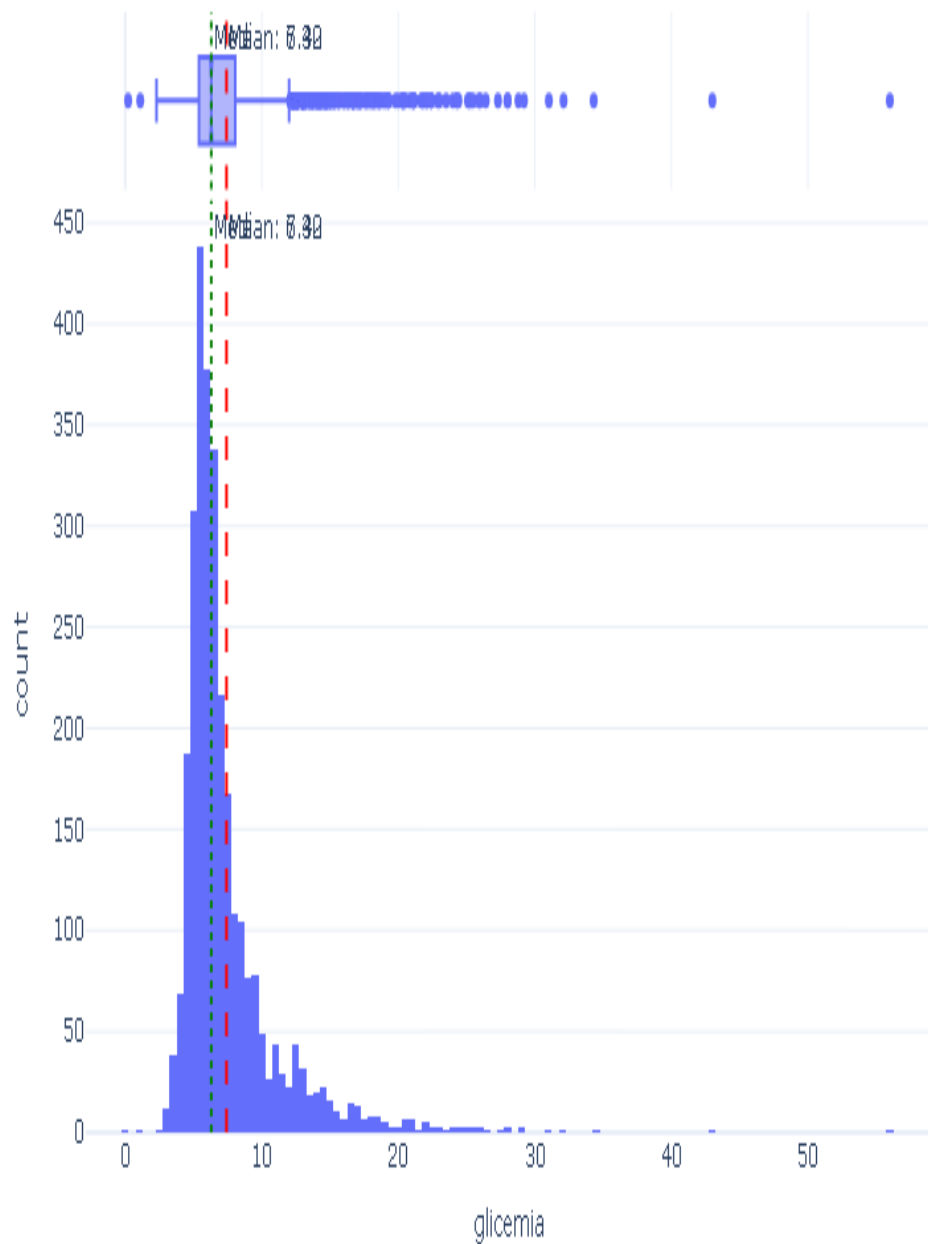


Figura: Distribución de glicemia

Boxplot of glicemia

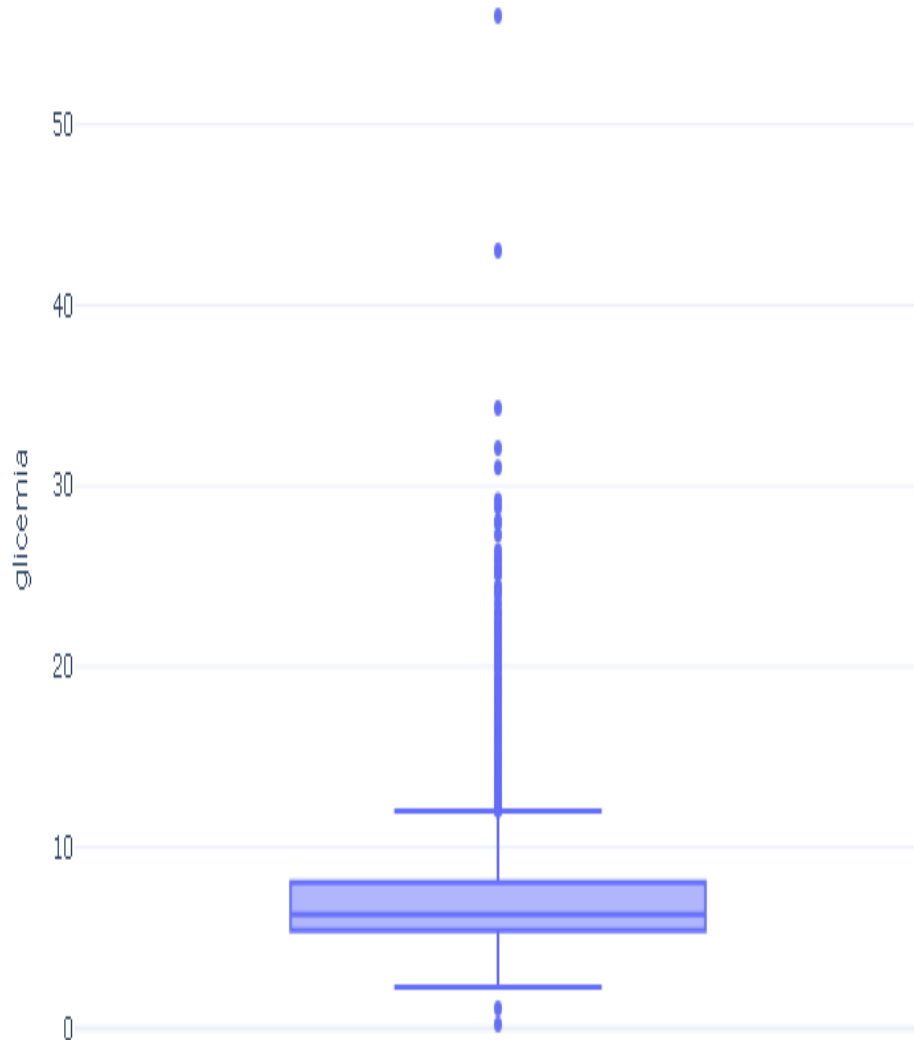


Figura: Boxplot de glicemia

Variable: acd

Estadísticas Descriptivas

Estadística	Valor
Observaciones	3,112
Valores faltantes	0 (0.00%)
Media	0.4197
Mediana	N/A
Desviación estándar	0.4936
Mínimo	N/A
Q1 (25%)	N/A
Q3 (75%)	1.0000
Máximo	1.0000
Asimetría	0.3257
Curtosis	-1.8951

Test de Normalidad (Shapiro-Wilk)

Error al calcular test de normalidad: 'UnivariateStats' object has no attribute 'shapiro'

Detección de Outliers (Método IQR)

Métrica	Valor
Q1 (25%)	0.0000
Q3 (75%)	1.0000
IQR	1.0000
Límite inferior	-1.5000
Límite superior	2.5000
Número de outliers	0 (0.00%)

Visualizaciones

Distribution of acd

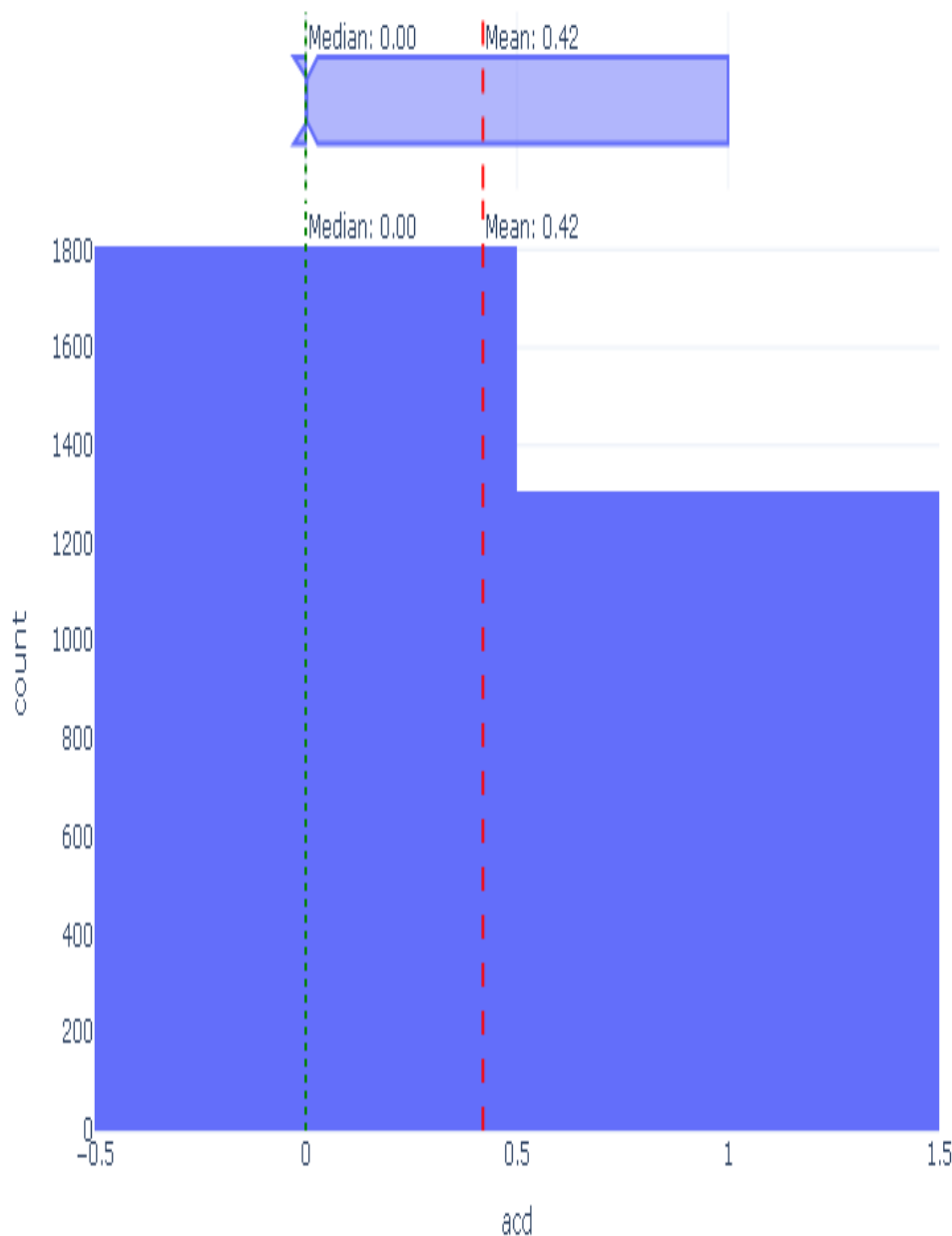


Figura: Distribución de *acd*

Boxplot of acd

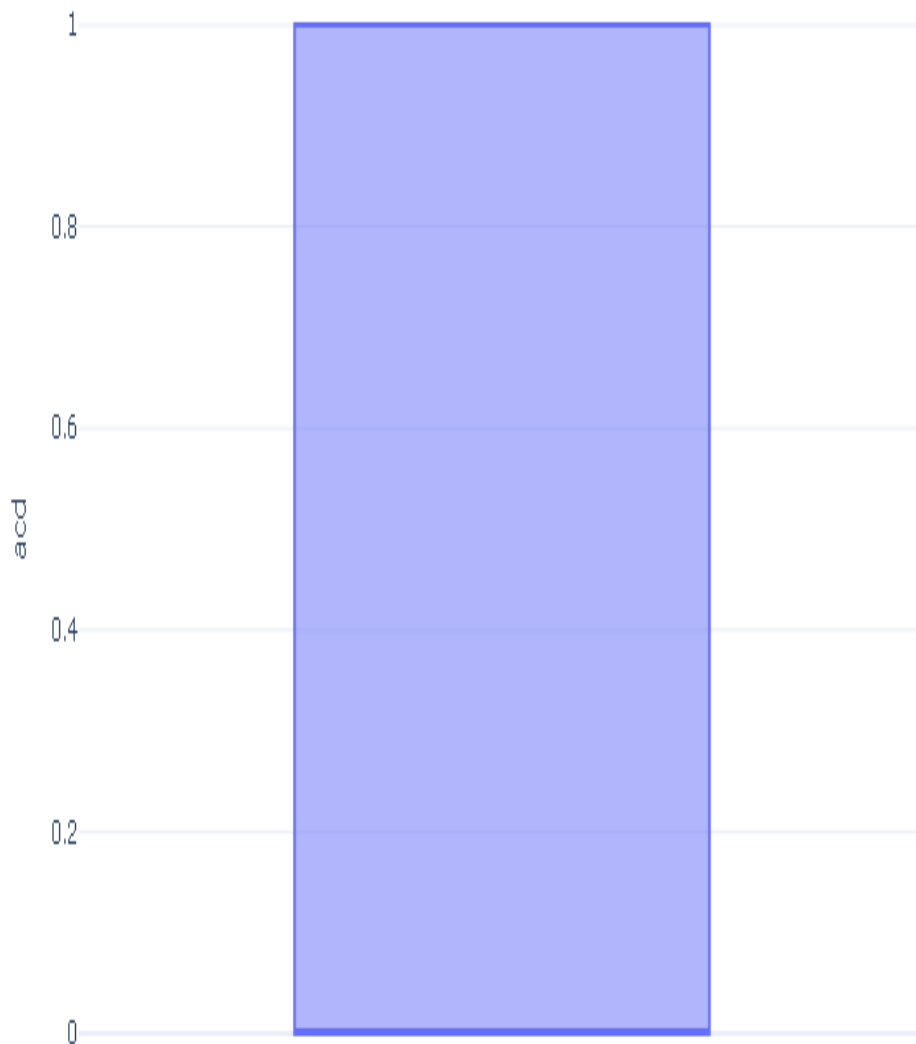


Figura: Boxplot de acd

Variable: ada

Estadísticas Descriptivas

Estadística	Valor
Observaciones	3,112
Valores faltantes	0 (0.00%)
Media	0.4094
Mediana	N/A
Desviación estándar	0.4918
Mínimo	N/A
Q1 (25%)	N/A
Q3 (75%)	1.0000
Máximo	1.0000
Asimetría	0.3687
Curtosis	-1.8652

Test de Normalidad (Shapiro-Wilk)

Error al calcular test de normalidad: 'UnivariateStats' object has no attribute 'shapiro'

Detección de Outliers (Método IQR)

Métrica	Valor
Q1 (25%)	0.0000
Q3 (75%)	1.0000
IQR	1.0000
Límite inferior	-1.5000
Límite superior	2.5000
Número de outliers	0 (0.00%)

Visualizaciones

Distribution of ada

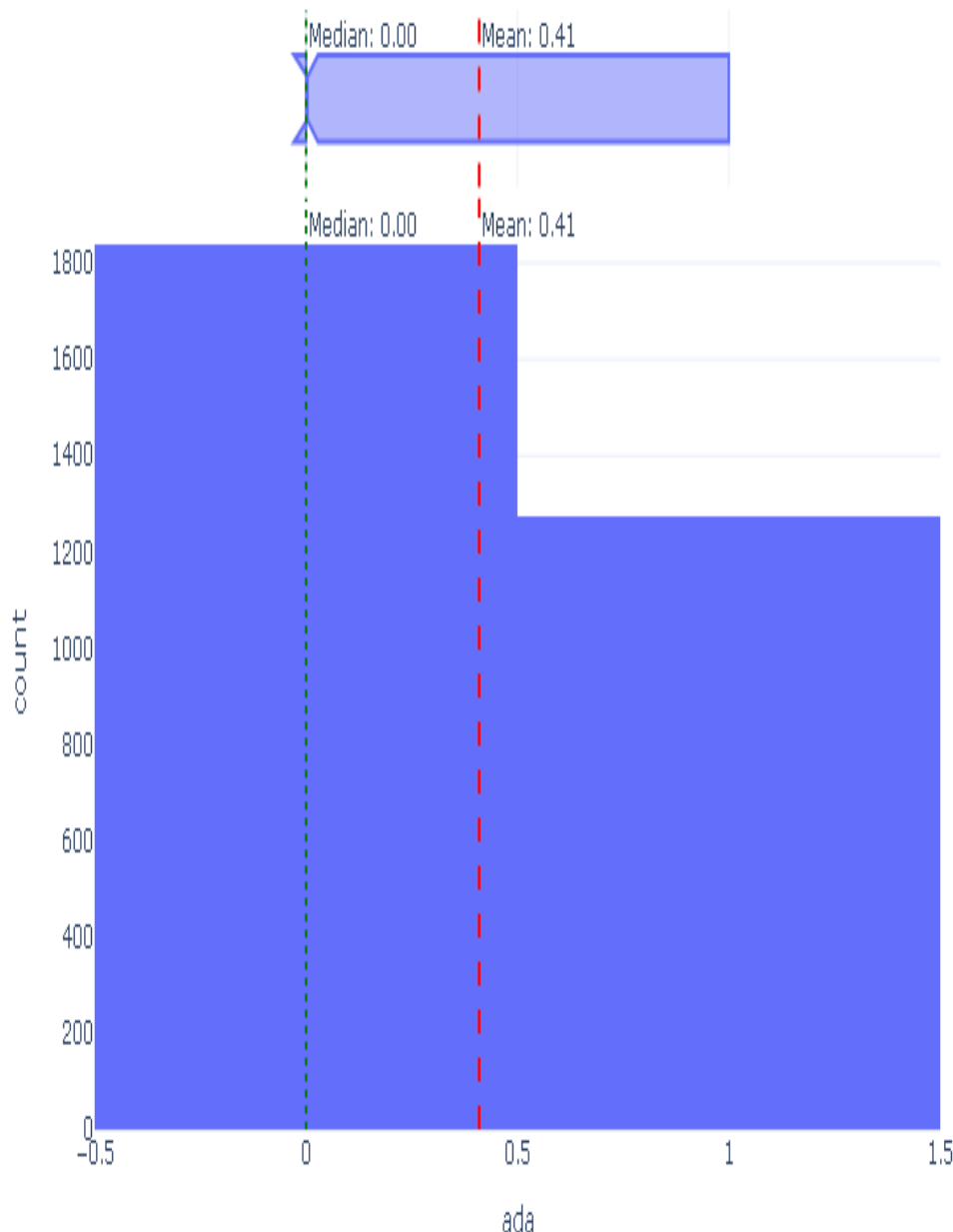


Figura: Distribución de *ada*

Boxplot of ada

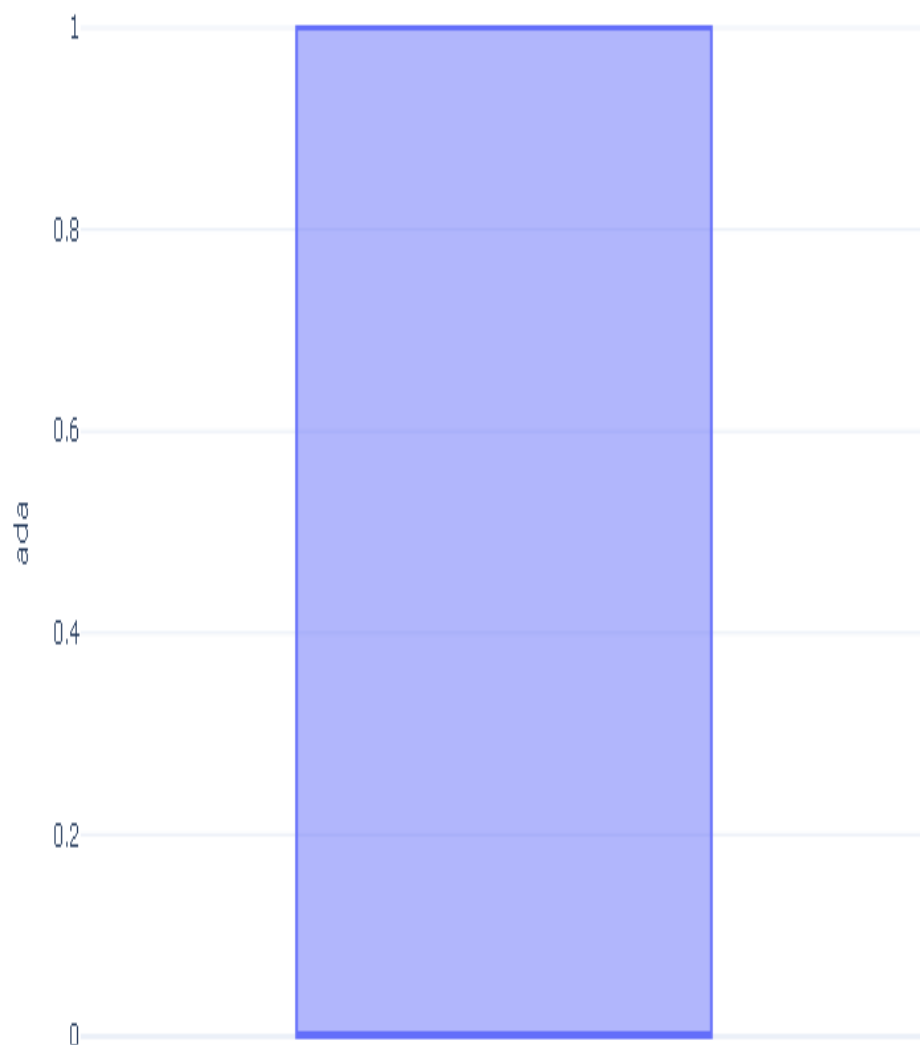


Figura: Boxplot de ada

Variable: acx

Estadísticas Descriptivas

Estadística	Valor
Observaciones	3,112
Valores faltantes	0 (0.00%)
Media	0.1112
Mediana	N/A
Desviación estándar	0.3144
Mínimo	N/A
Q1 (25%)	N/A
Q3 (75%)	N/A
Máximo	1.0000
Asimetría	2.4749
Curtosis	4.1279

Test de Normalidad (Shapiro-Wilk)

Error al calcular test de normalidad: 'UnivariateStats' object has no attribute 'shapiro'

Detección de Outliers (Método IQR)

Métrica	Valor
Q1 (25%)	0.0000
Q3 (75%)	0.0000
IQR	0.0000
Límite inferior	0.0000
Límite superior	0.0000
Número de outliers	346 (11.12%)

Visualizaciones

Distribution of acx

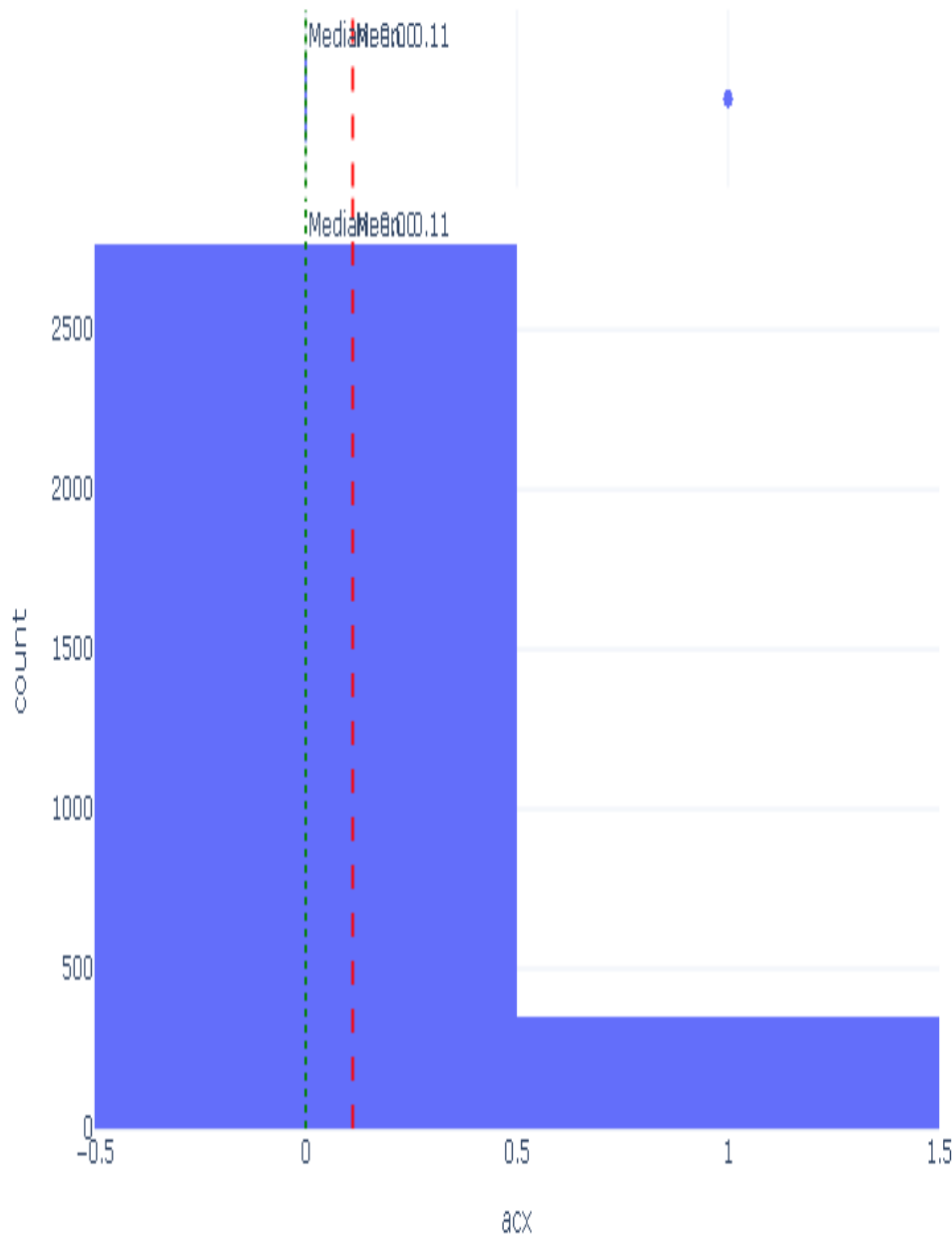


Figura: Distribución de *acx*

Boxplot of acx

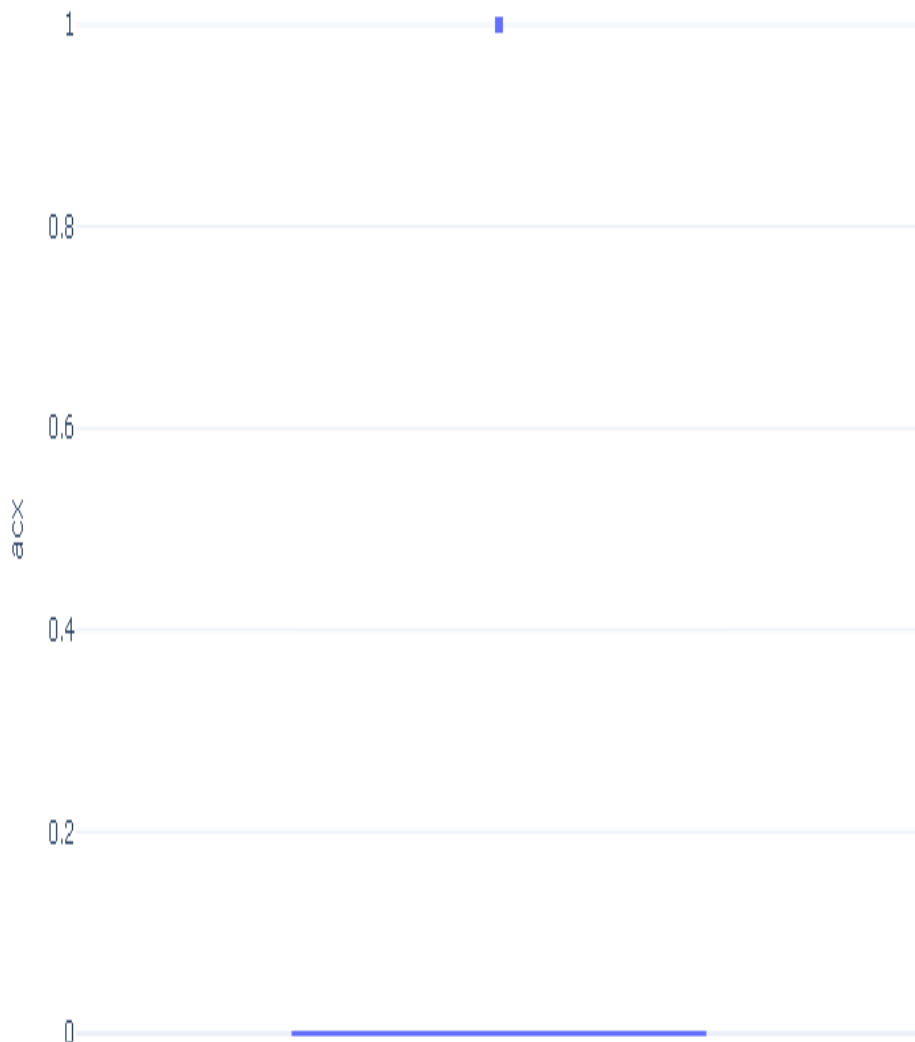


Figura: Boxplot de acx

Variable: fraccion_eyecion

Estadísticas Descriptivas

Estadística	Valor
Observaciones	2,680
Valores faltantes	432 (13.88%)
Media	49.9425
Mediana	51.0000
Desviación estándar	10.7224
Mínimo	12.0000
Q1 (25%)	42.0000
Q3 (75%)	56.0000
Máximo	85.0000
Asimetría	0.0814
Curtosis	-0.0668

Test de Normalidad (Shapiro-Wilk)

Error al calcular test de normalidad: 'UnivariateStats' object has no attribute 'shapiro'

Detección de Outliers (Método IQR)

Métrica	Valor
Q1 (25%)	42.0000
Q3 (75%)	56.0000
IQR	14.0000
Límite inferior	21.0000
Límite superior	77.0000
Número de outliers	27 (1.01%)

Visualizaciones

Distribution of fraccion_eyeccion

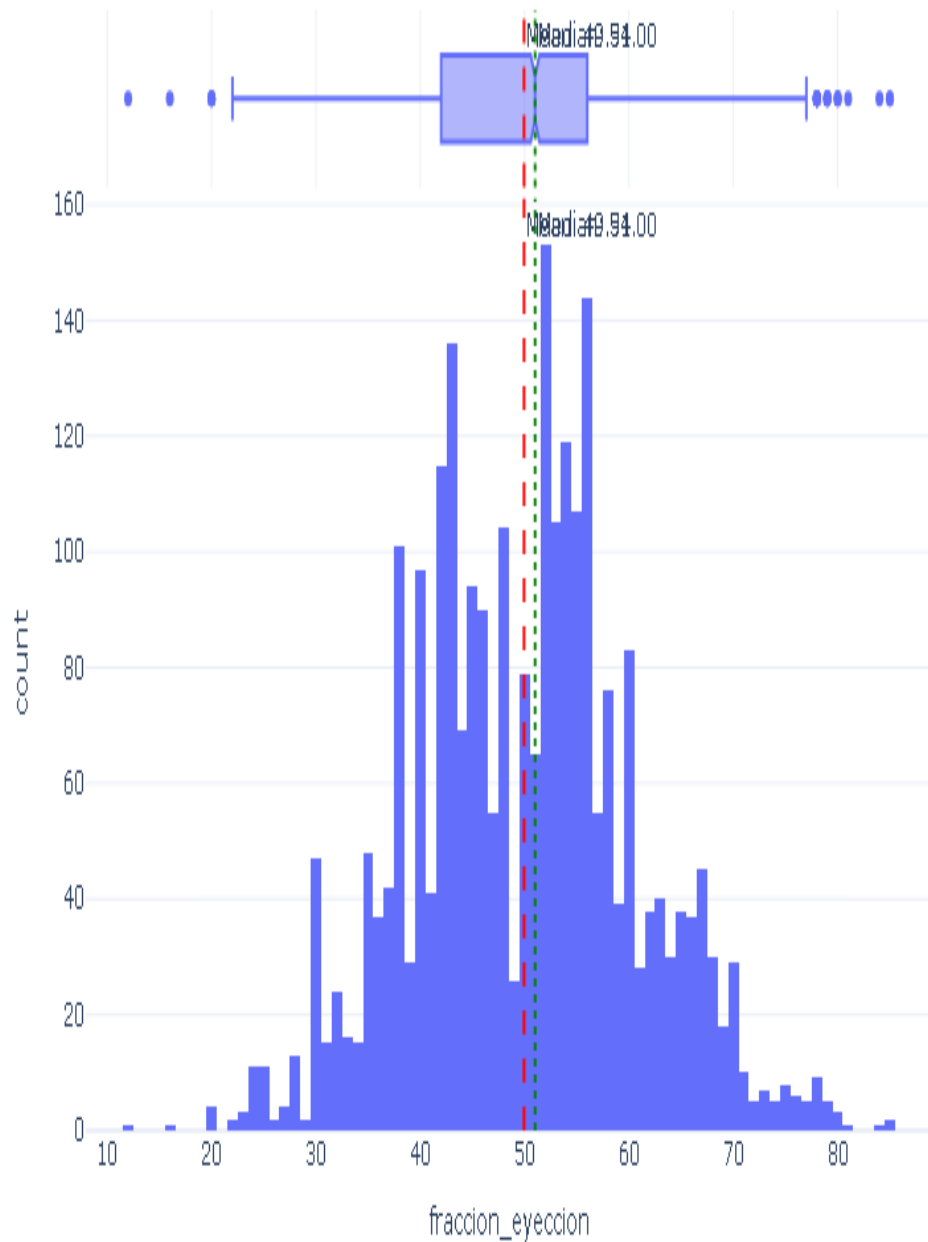


Figura: Distribución de `fraccion_eyeccion`

Boxplot of fraccion_eyeccion

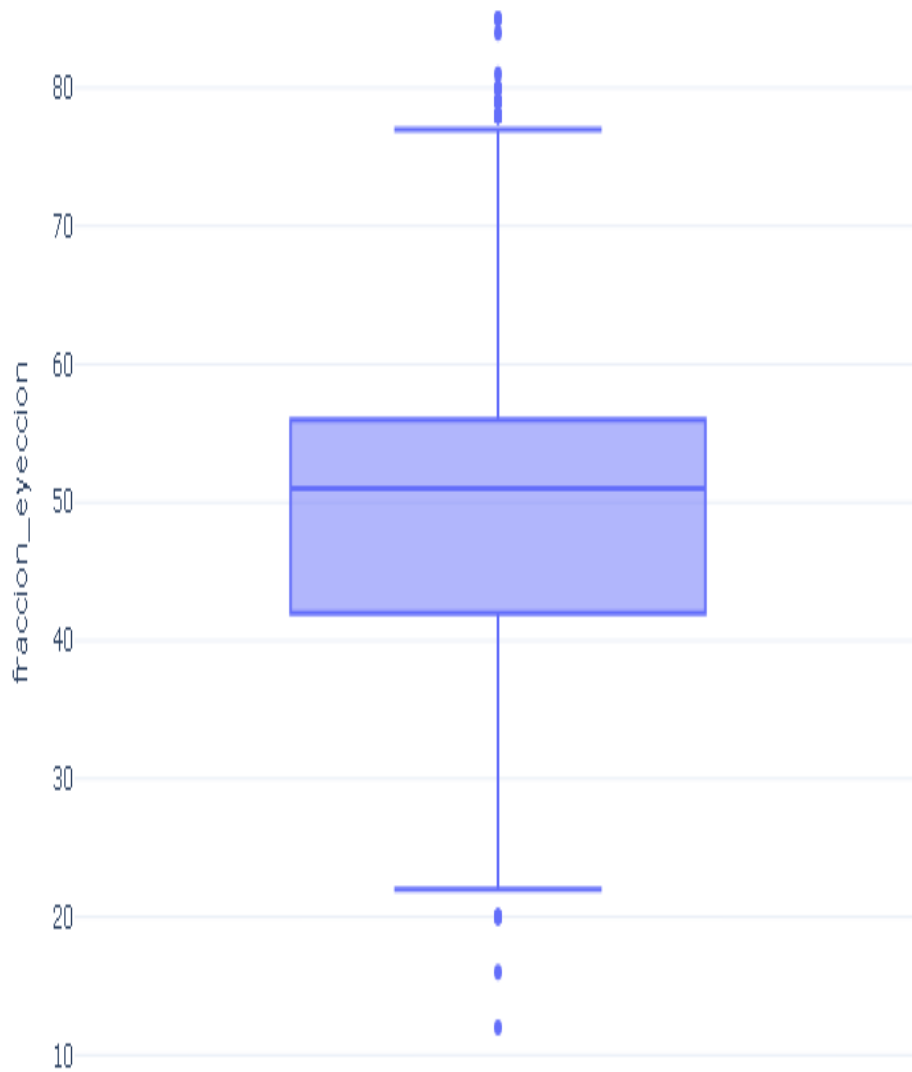


Figura: Boxplot de fraccion_eyeccion

Variable: leuco

Estadísticas Descriptivas

Estadística	Valor
Observaciones	2,450
Valores faltantes	662 (21.27%)
Media	10.7770
Mediana	10.0000
Desviación estándar	4.9286
Mínimo	0.3500
Q1 (25%)	8.3000
Q3 (75%)	12.3000
Máximo	110.2000
Asimetría	10.4972
Curtosis	187.0829

Test de Normalidad (Shapiro-Wilk)

Error al calcular test de normalidad: 'UnivariateStats' object has no attribute 'shapiro'

Detección de Outliers (Método IQR)

Métrica	Valor
Q1 (25%)	8.3000
Q3 (75%)	12.3000
IQR	4.0000
Límite inferior	2.3000
Límite superior	18.3000
Número de outliers	75 (3.06%)

Visualizaciones

Distribution of leuco

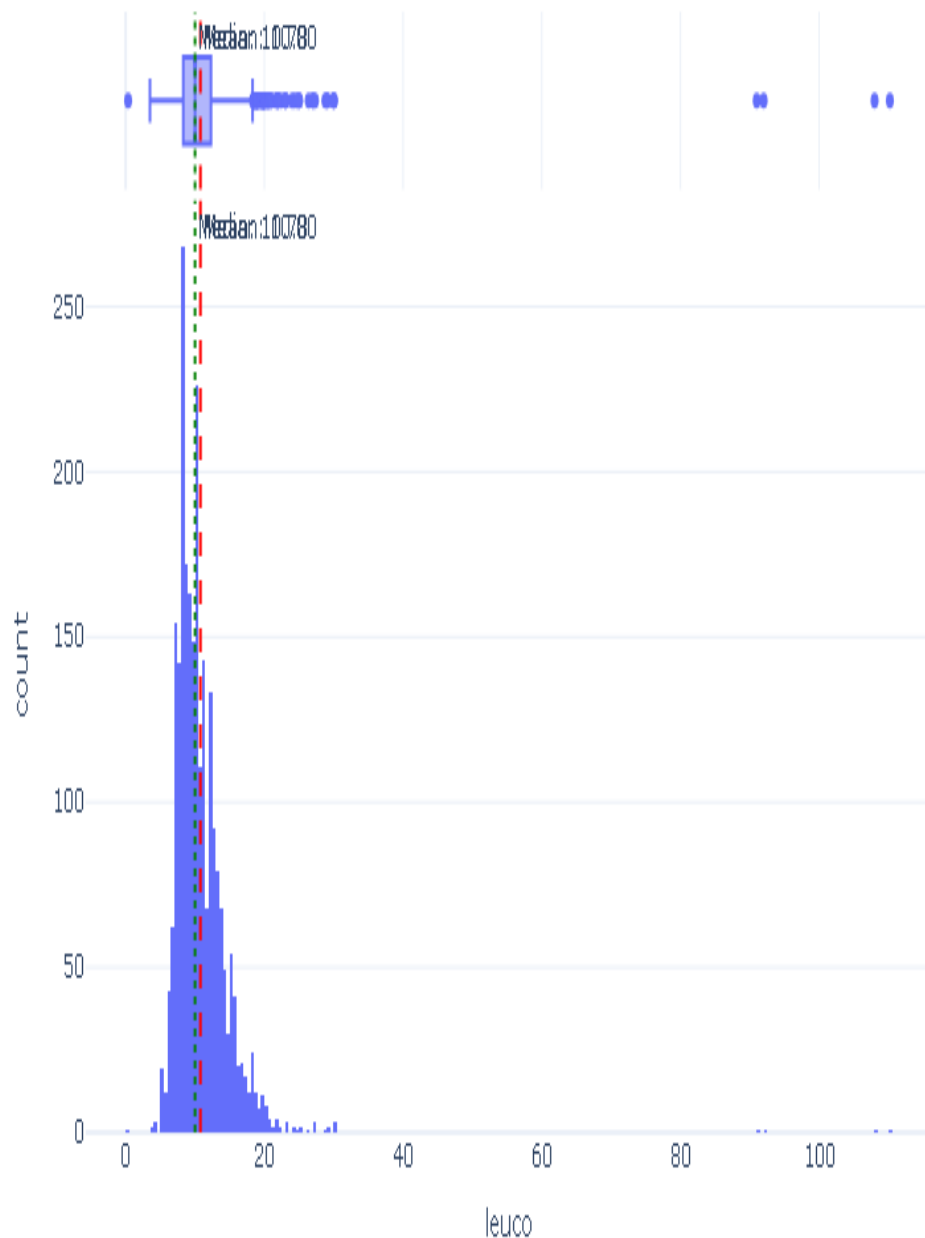


Figura: Distribución de leuco

Boxplot of leuco



Figura: Boxplot de leuco

Variable: hb

Estadísticas Descriptivas

Estadística	Valor
Observaciones	2,722
Valores faltantes	390 (12.53%)
Media	116.1528
Mediana	132.0000
Desviación estándar	41.4786
Mínimo	N/A
Q1 (25%)	117.0000
Q3 (75%)	135.0000
Máximo	238.0000
Asimetría	-1.8244
Curtosis	2.1211

Test de Normalidad (Shapiro-Wilk)

Error al calcular test de normalidad: 'UnivariateStats' object has no attribute 'shapiro'

Detección de Outliers (Método IQR)

Métrica	Valor
Q1 (25%)	117.0000
Q3 (75%)	135.0000
IQR	18.0000
Límite inferior	90.0000
Límite superior	162.0000
Número de outliers	398 (14.62%)

Visualizaciones

Distribution of hb

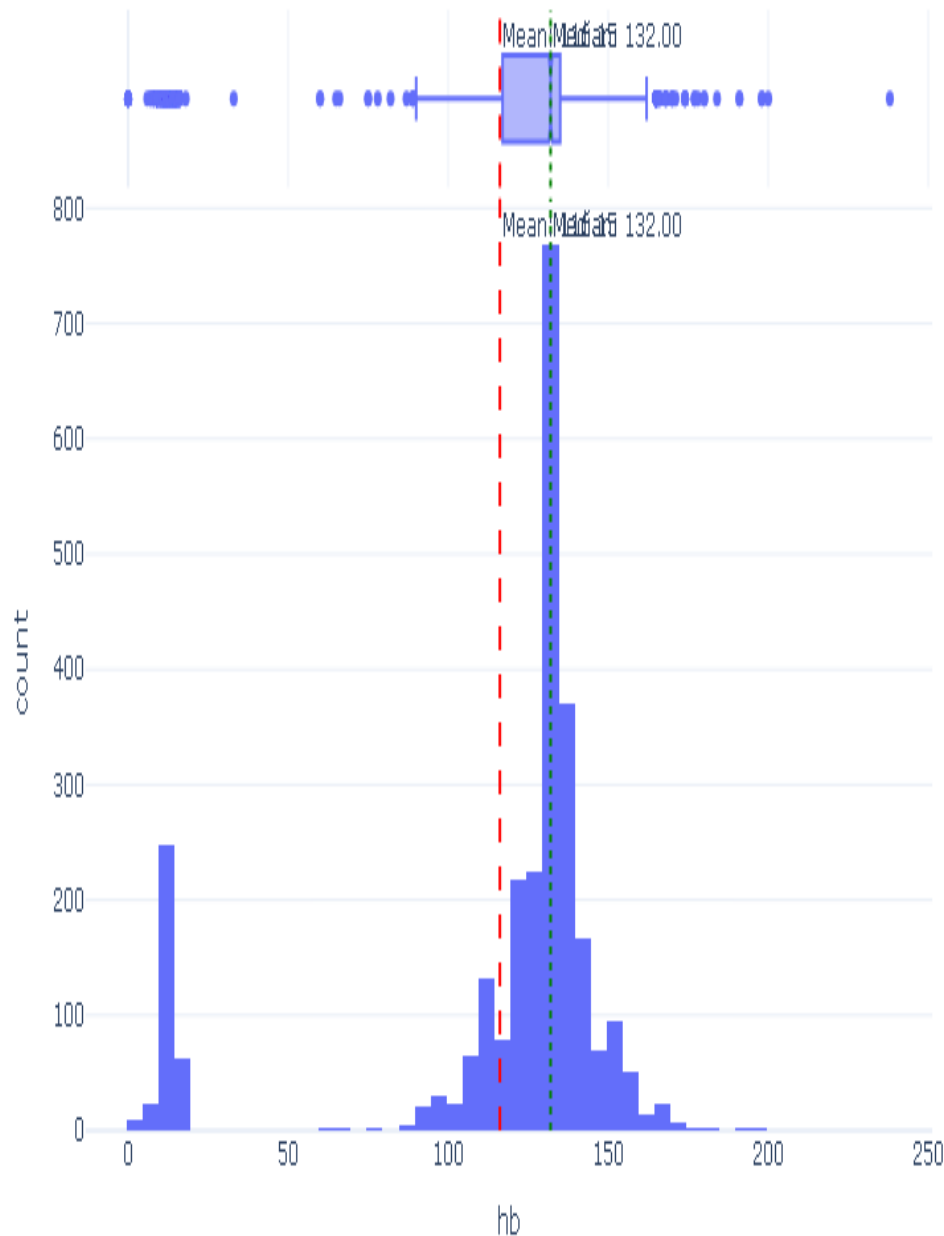


Figura: Distribución de *hb*

Boxplot of hb

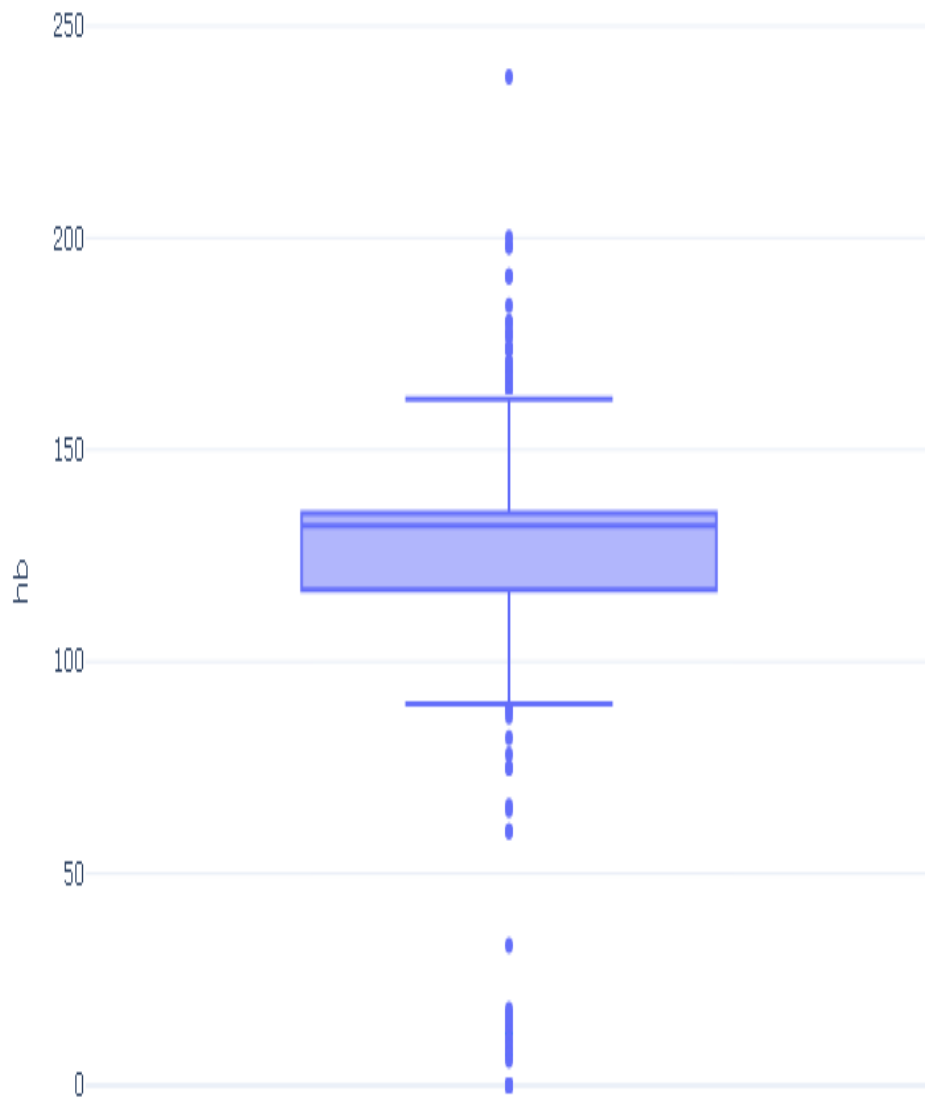


Figura: Boxplot de hb

Variable: ck

Estadísticas Descriptivas

Estadística	Valor
Observaciones	1,445
Valores faltantes	1667 (53.57%)
Media	1124.8414
Mediana	1033.0000
Desviación estándar	763.7054
Mínimo	N/A
Q1 (25%)	581.0000
Q3 (75%)	1453.0000
Máximo	3999.0000
Asimetría	1.0679
Curtosis	1.3870

Test de Normalidad (Shapiro-Wilk)

Error al calcular test de normalidad: 'UnivariateStats' object has no attribute 'shapiro'

Detección de Outliers (Método IQR)

Métrica	Valor
Q1 (25%)	581.0000
Q3 (75%)	1453.0000
IQR	872.0000
Límite inferior	-727.0000
Límite superior	2761.0000
Número de outliers	66 (4.57%)

Visualizaciones

Distribution of ck

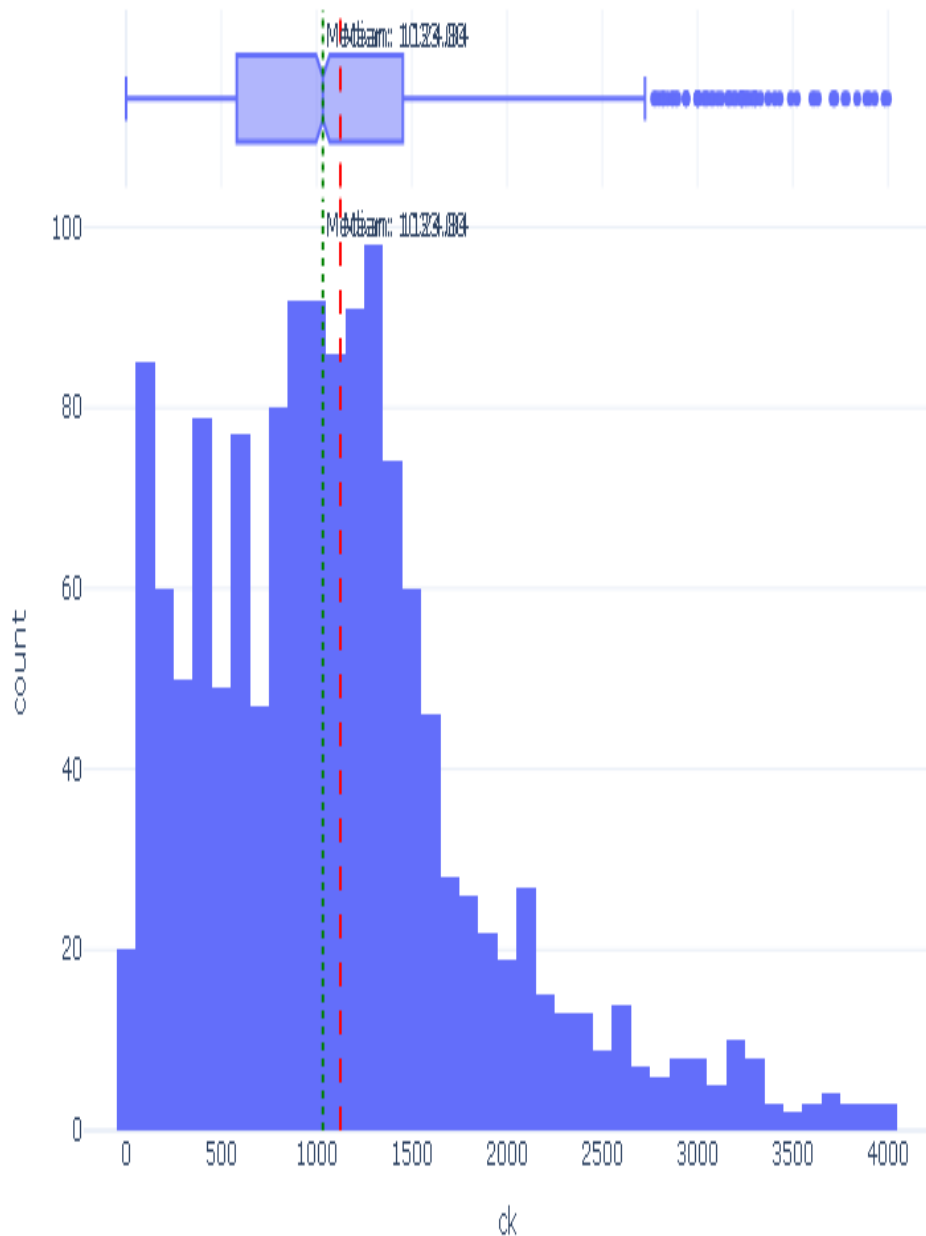


Figura: Distribución de *ck*

Boxplot of ck

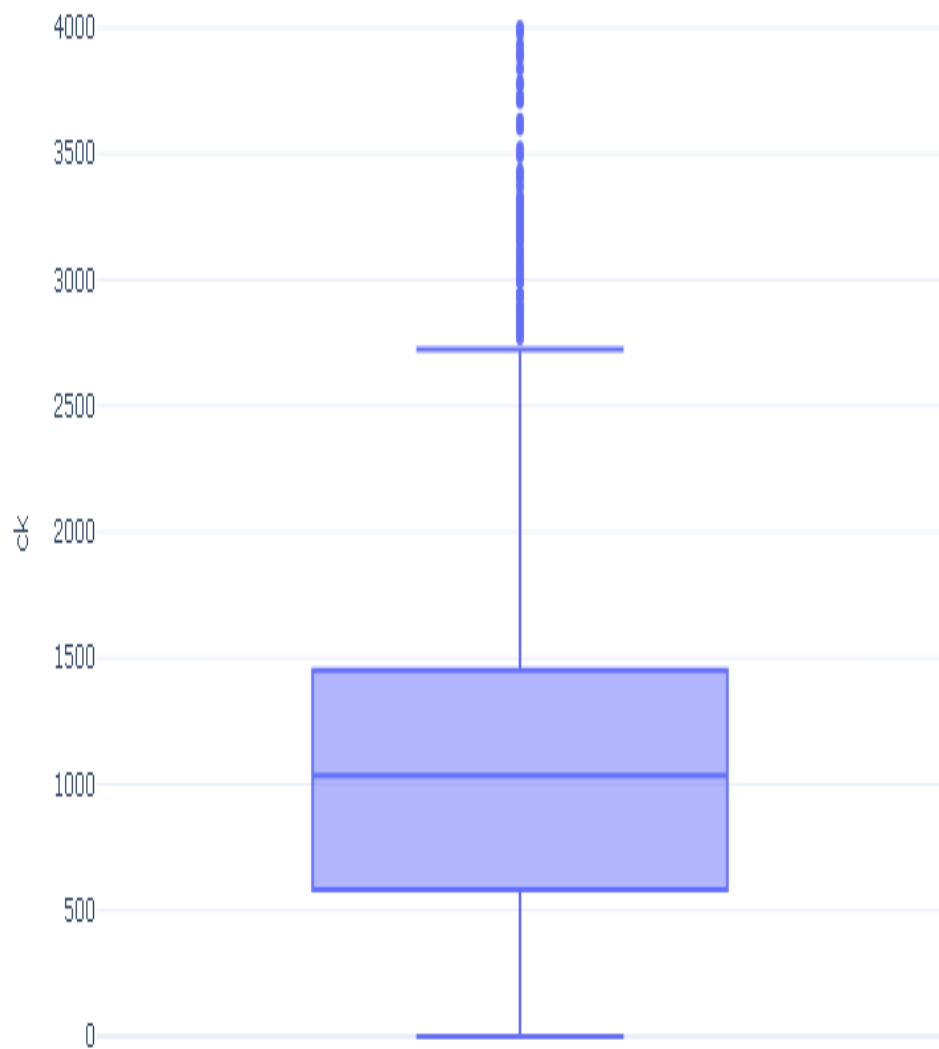


Figura: Boxplot de ck

Variable: ckmb

Estadísticas Descriptivas

Estadística	Valor
Observaciones	1,407
Valores faltantes	1705 (54.79%)
Media	160.2860
Mediana	122.0000
Desviación estándar	144.2857
Mínimo	1.2600
Q1 (25%)	82.0000
Q3 (75%)	182.2000
Máximo	999.0000
Asimetría	2.9149
Curtosis	10.4881

Test de Normalidad (Shapiro-Wilk)

Error al calcular test de normalidad: 'UnivariateStats' object has no attribute 'shapiro'

Detección de Outliers (Método IQR)

Métrica	Valor
Q1 (25%)	82.0000
Q3 (75%)	182.2000
IQR	100.2000
Límite inferior	-68.3000
Límite superior	332.5000
Número de outliers	113 (8.03%)

Visualizaciones

Distribution of ckmb

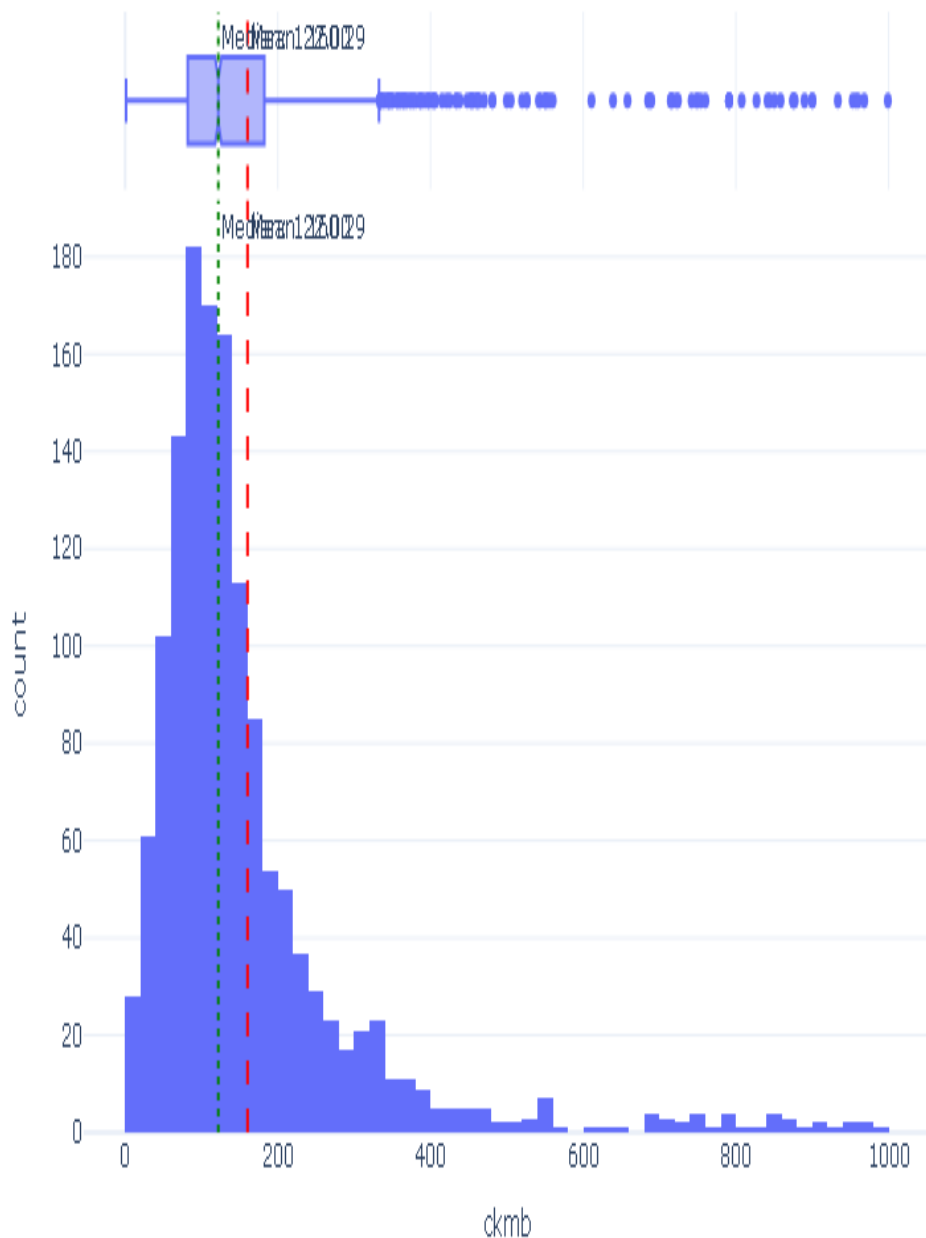


Figura: Distribución de ckmb

Boxplot of ckmb

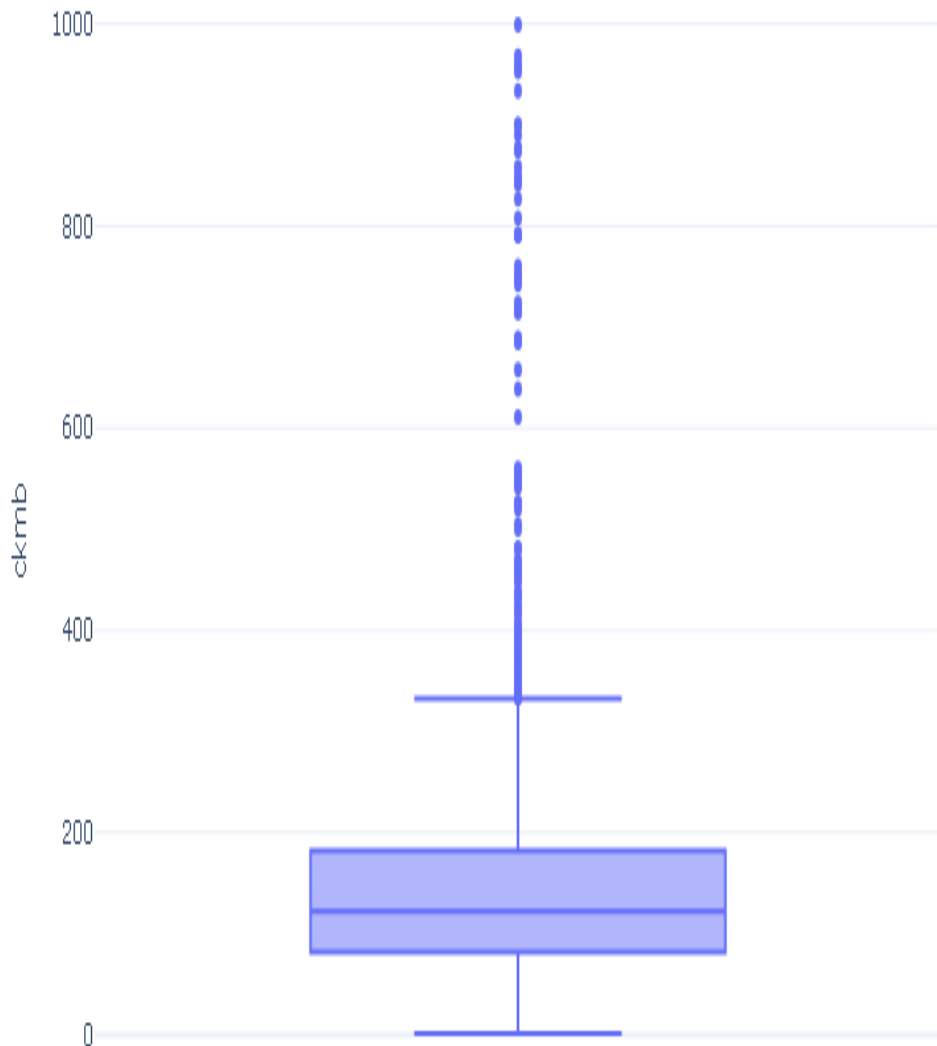


Figura: Boxplot de ckmb

Variable: ddvi

Estadísticas Descriptivas

Estadística	Valor
Observaciones	1,422
Valores faltantes	1690 (54.31%)
Media	48.4634
Mediana	48.0000
Desviación estándar	5.7252
Mínimo	4.0000
Q1 (25%)	46.0000
Q3 (75%)	51.0000
Máximo	77.0000
Asimetría	-0.2835
Curtosis	6.9695

Test de Normalidad (Shapiro-Wilk)

Error al calcular test de normalidad: 'UnivariateStats' object has no attribute 'shapiro'

Detección de Outliers (Método IQR)

Métrica	Valor
Q1 (25%)	46.0000
Q3 (75%)	51.0000
IQR	5.0000
Límite inferior	38.5000
Límite superior	58.5000
Número de outliers	97 (6.82%)

Visualizaciones

Distribution of ddvi

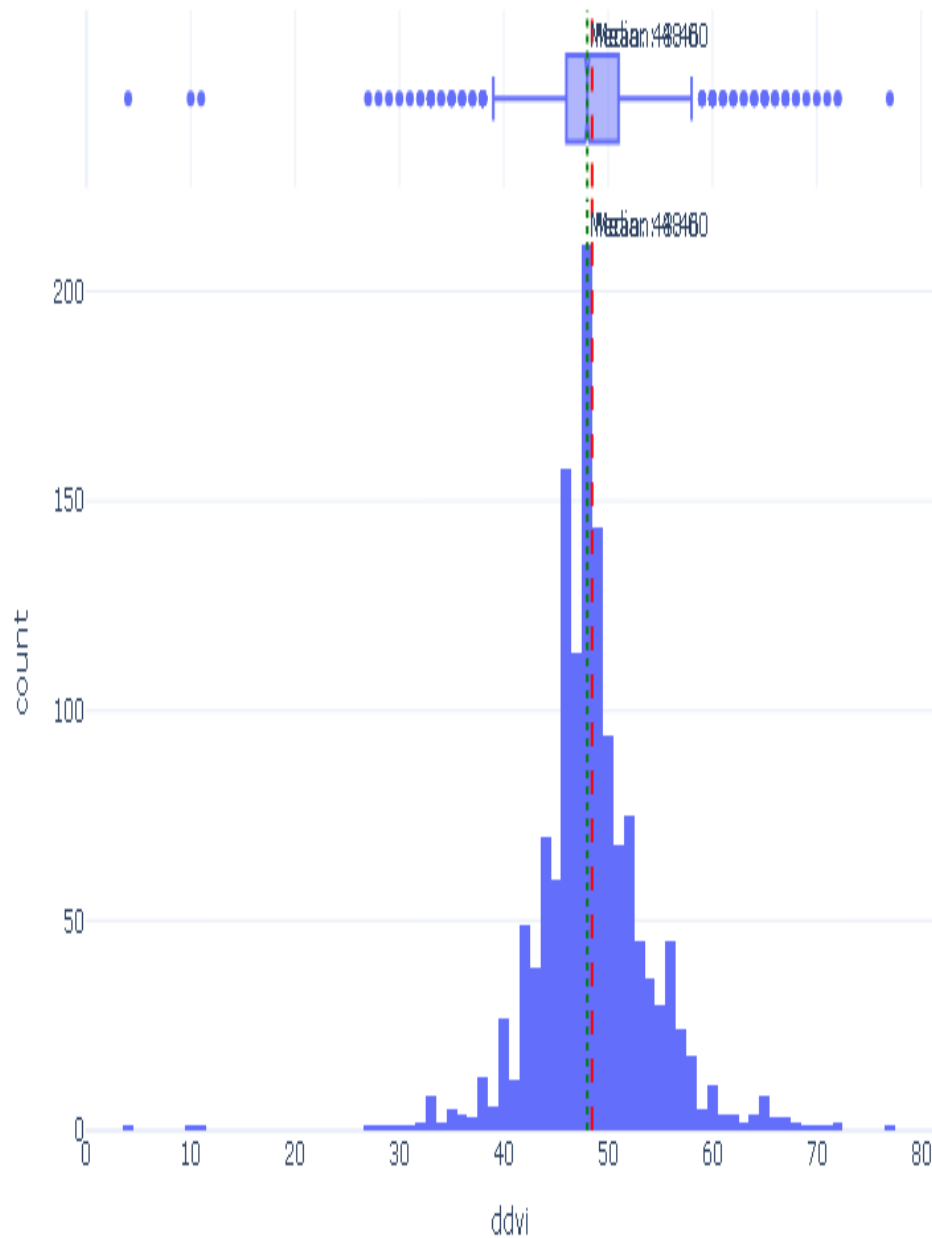


Figura: Distribución de ddvi

Boxplot of ddvi

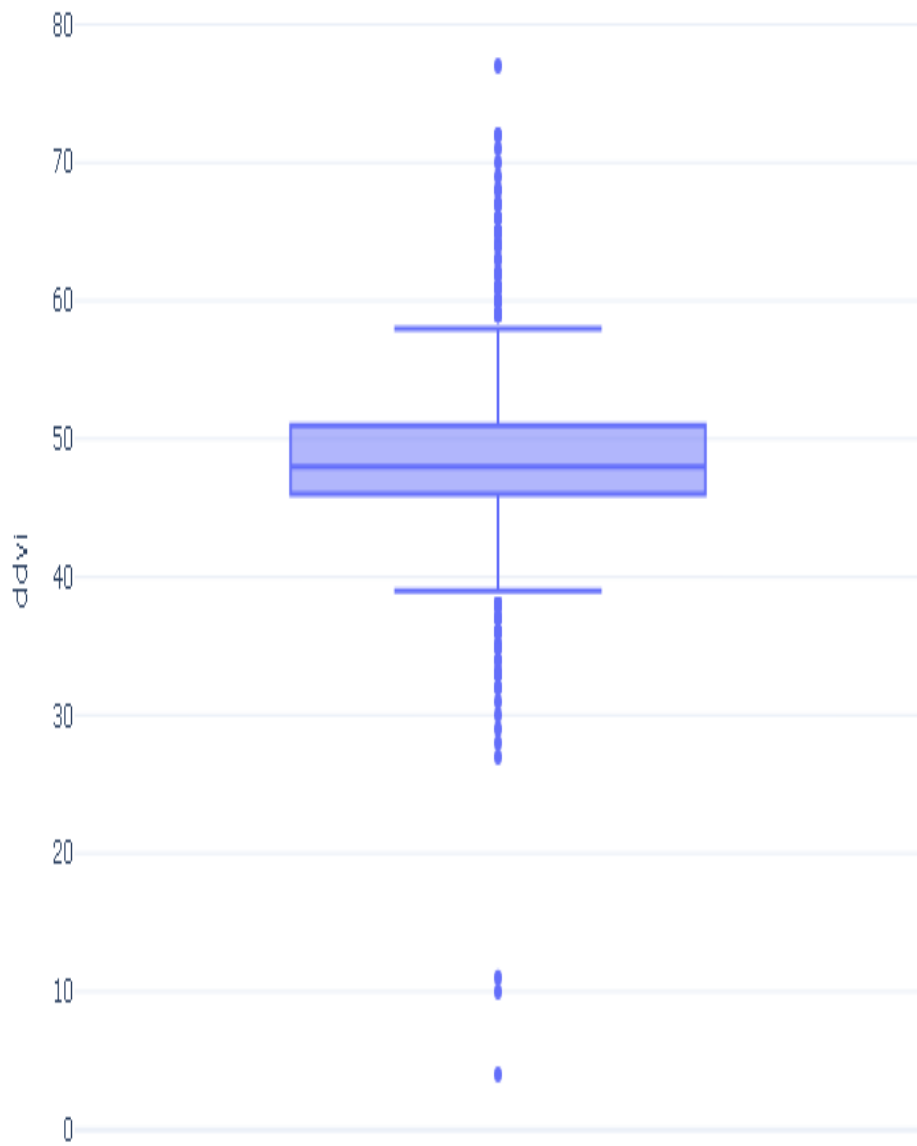


Figura: Boxplot de ddvi

Variable: dsvi

Estadísticas Descriptivas

Estadística	Valor
Observaciones	1,255
Valores faltantes	1857 (59.67%)
Media	36.5625
Mediana	37.0000
Desviación estándar	6.1474
Mínimo	10.0000
Q1 (25%)	33.0000
Q3 (75%)	40.0000
Máximo	64.0000
Asimetría	0.0898
Curtosis	1.4294

Test de Normalidad (Shapiro-Wilk)

Error al calcular test de normalidad: 'UnivariateStats' object has no attribute 'shapiro'

Detección de Outliers (Método IQR)

Métrica	Valor
Q1 (25%)	33.0000
Q3 (75%)	40.0000
IQR	7.0000
Límite inferior	22.5000
Límite superior	50.5000
Número de outliers	43 (3.43%)

Visualizaciones

Distribution of dsvi

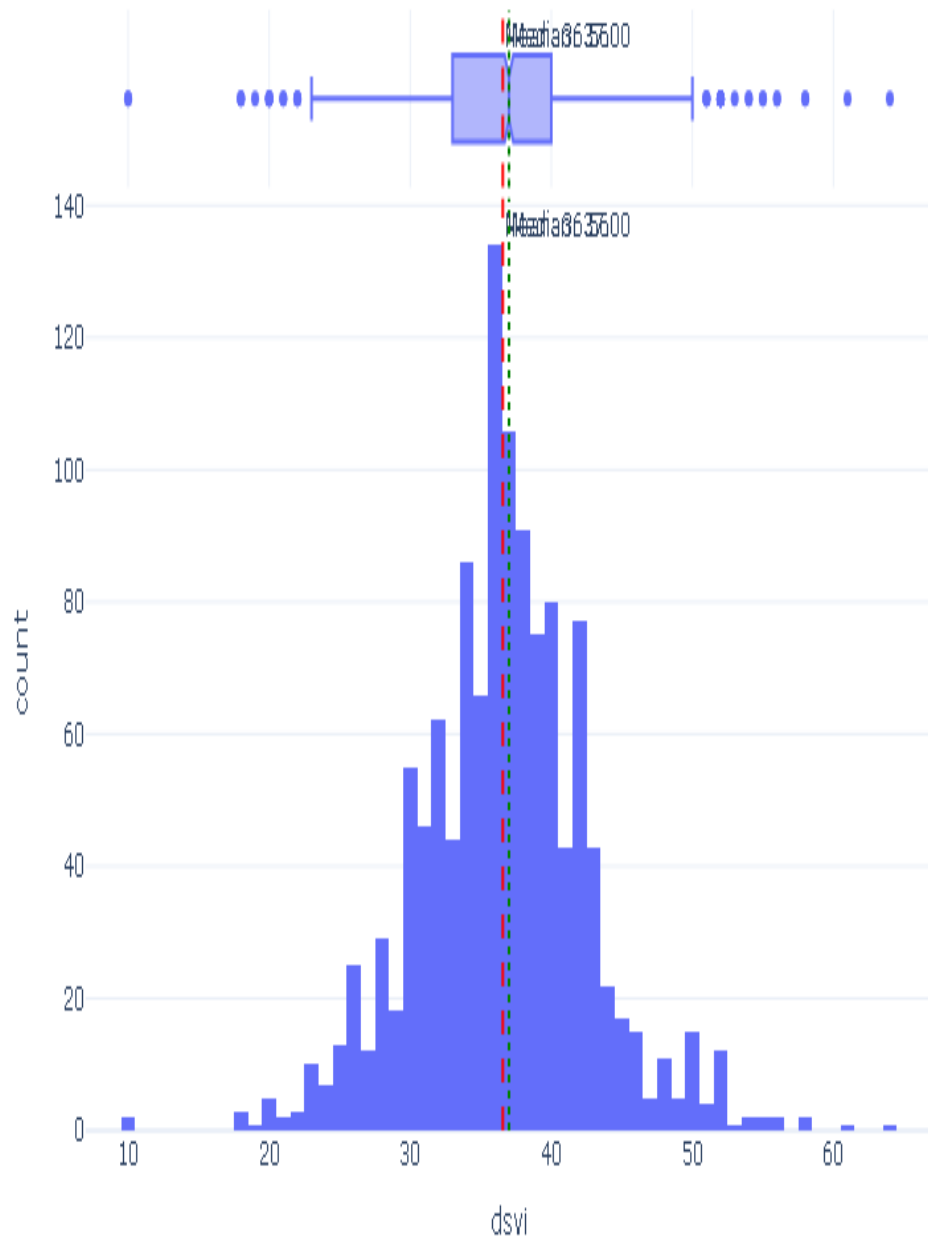


Figura: Distribución de *dsvi*

Boxplot of dsvi

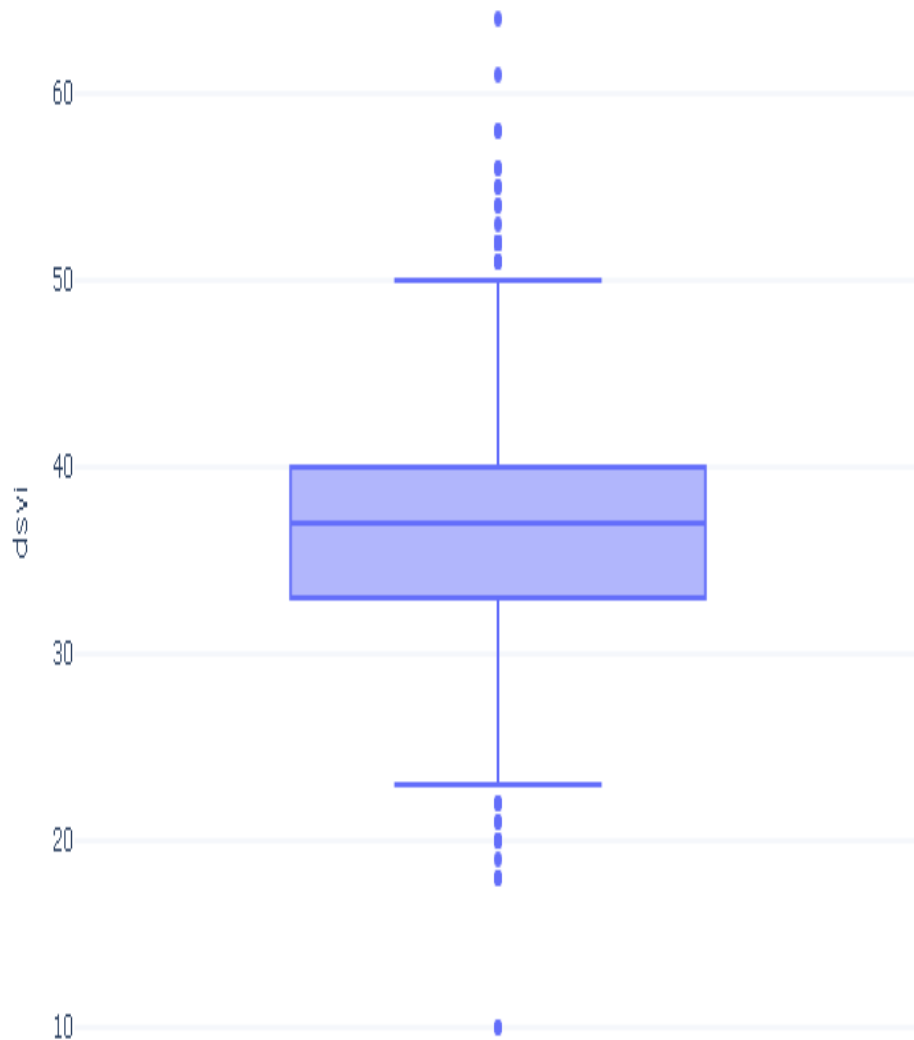


Figura: Boxplot de dsvi

Variable: tiv

Estadísticas Descriptivas

Estadística	Valor
Observaciones	1,259
Valores faltantes	1853 (59.54%)
Media	10.1017
Mediana	10.0000
Desviación estándar	2.3038
Mínimo	3.0000
Q1 (25%)	9.0000
Q3 (75%)	11.0000
Máximo	46.0000
Asimetría	6.5382
Curtosis	88.8814

Test de Normalidad (Shapiro-Wilk)

Error al calcular test de normalidad: 'UnivariateStats' object has no attribute 'shapiro'

Detección de Outliers (Método IQR)

Métrica	Valor
Q1 (25%)	9.0000
Q3 (75%)	11.0000
IQR	2.0000
Límite inferior	6.0000
Límite superior	14.0000
Número de outliers	35 (2.78%)

Visualizaciones

Distribution of tiv

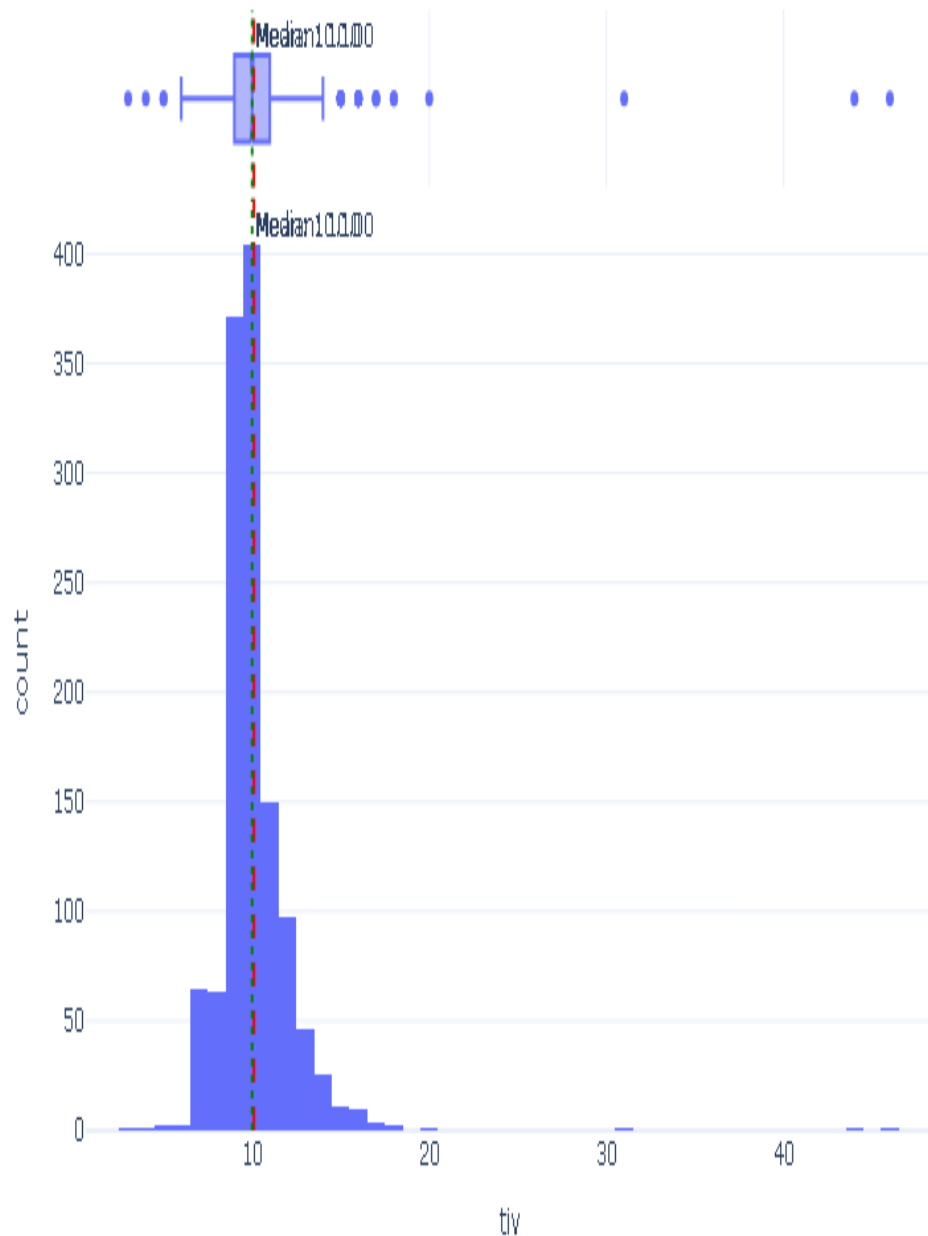


Figura: Distribución de *tiv*

Boxplot of tiv

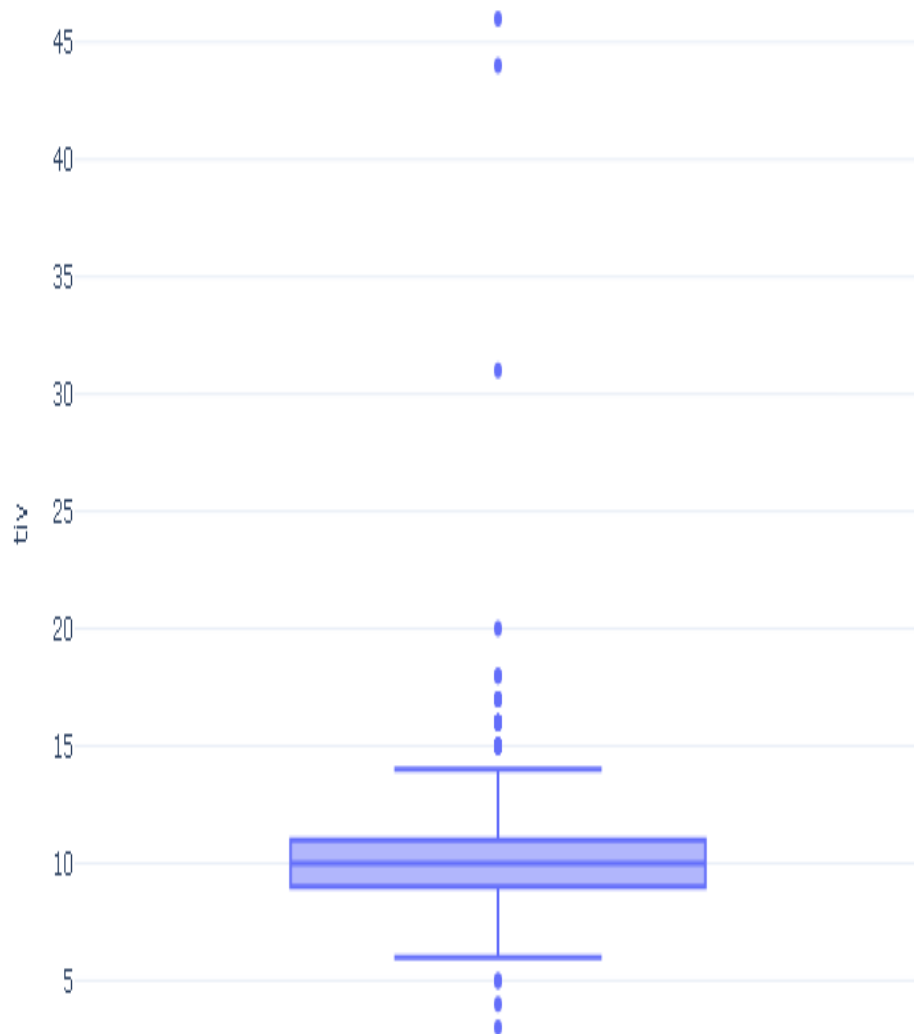


Figura: Boxplot de tiv

Variable: pp

Estadísticas Descriptivas

Estadística	Valor
Observaciones	1,252
Valores faltantes	1860 (59.77%)
Media	10.1973
Mediana	10.0000
Desviación estándar	5.3896
Mínimo	N/A
Q1 (25%)	9.0000
Q3 (75%)	11.0000
Máximo	140.0000
Asimetría	18.7088
Curtosis	393.9248

Test de Normalidad (Shapiro-Wilk)

Error al calcular test de normalidad: 'UnivariateStats' object has no attribute 'shapiro'

Detección de Outliers (Método IQR)

Métrica	Valor
Q1 (25%)	9.0000
Q3 (75%)	11.0000
IQR	2.0000
Límite inferior	6.0000
Límite superior	14.0000
Número de outliers	19 (1.52%)

Visualizaciones

Distribution of pp

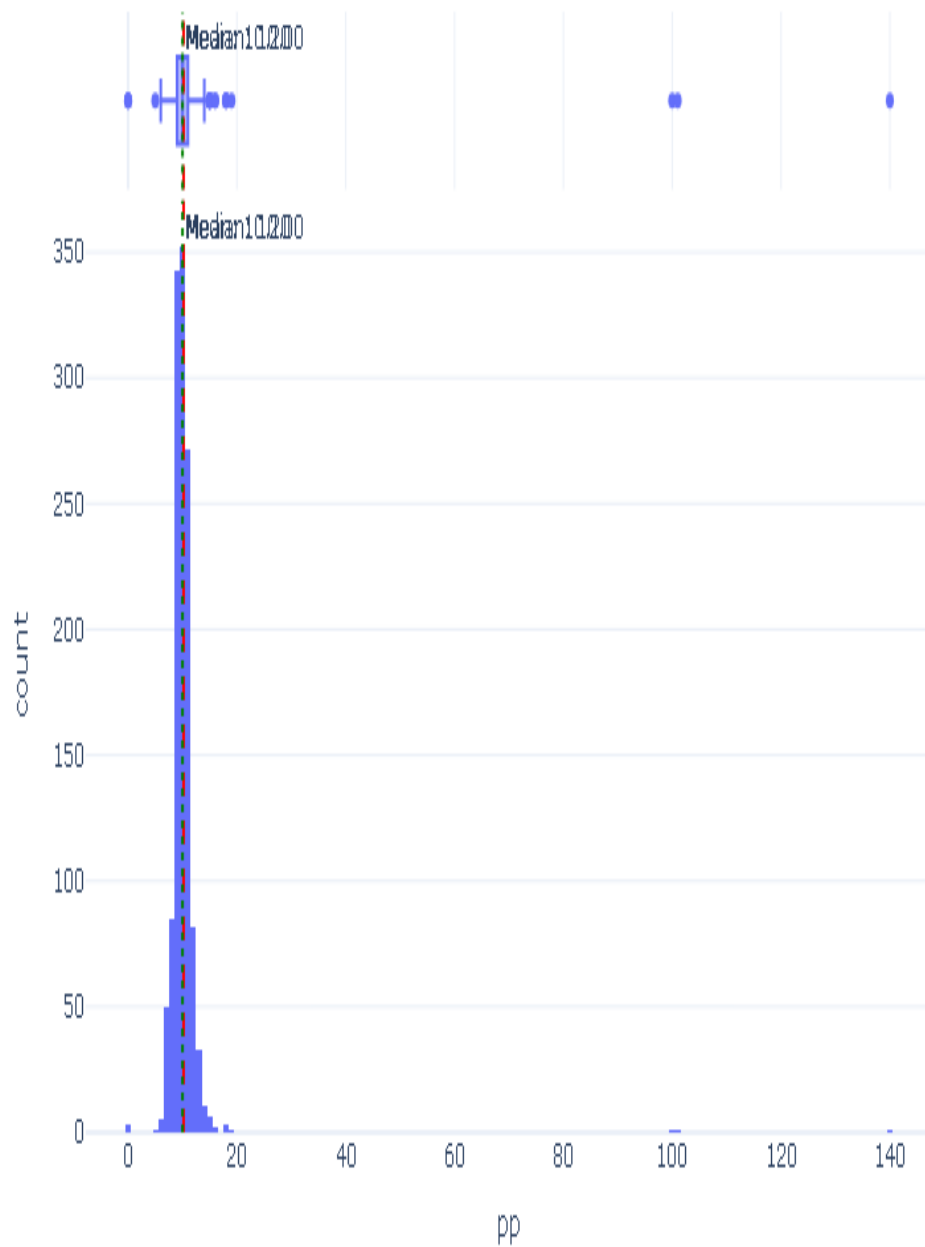


Figura: Distribución de *pp*

Boxplot of pp

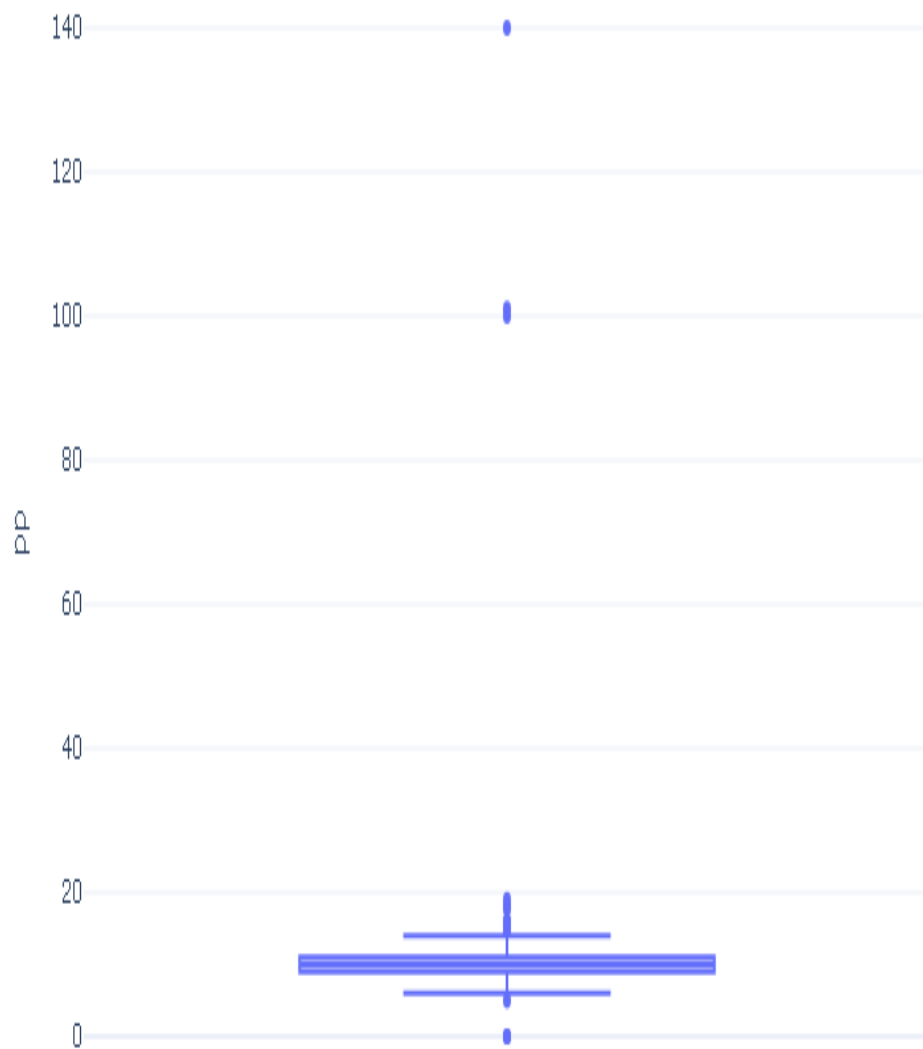


Figura: Boxplot de pp

Variable: ud

Estadísticas Descriptivas

Estadística	Valor
Observaciones	709
Valores faltantes	2403 (77.22%)
Media	27.3032
Mediana	27.0000
Desviación estándar	6.4543
Mínimo	1.0000
Q1 (25%)	24.0000
Q3 (75%)	31.0000
Máximo	127.0000
Asimetría	4.6379
Curtosis	81.6808

Test de Normalidad (Shapiro-Wilk)

Error al calcular test de normalidad: 'UnivariateStats' object has no attribute 'shapiro'

Detección de Outliers (Método IQR)

Métrica	Valor
Q1 (25%)	24.0000
Q3 (75%)	31.0000
IQR	7.0000
Límite inferior	13.5000
Límite superior	41.5000
Número de outliers	13 (1.83%)

Visualizaciones

Distribution of ud

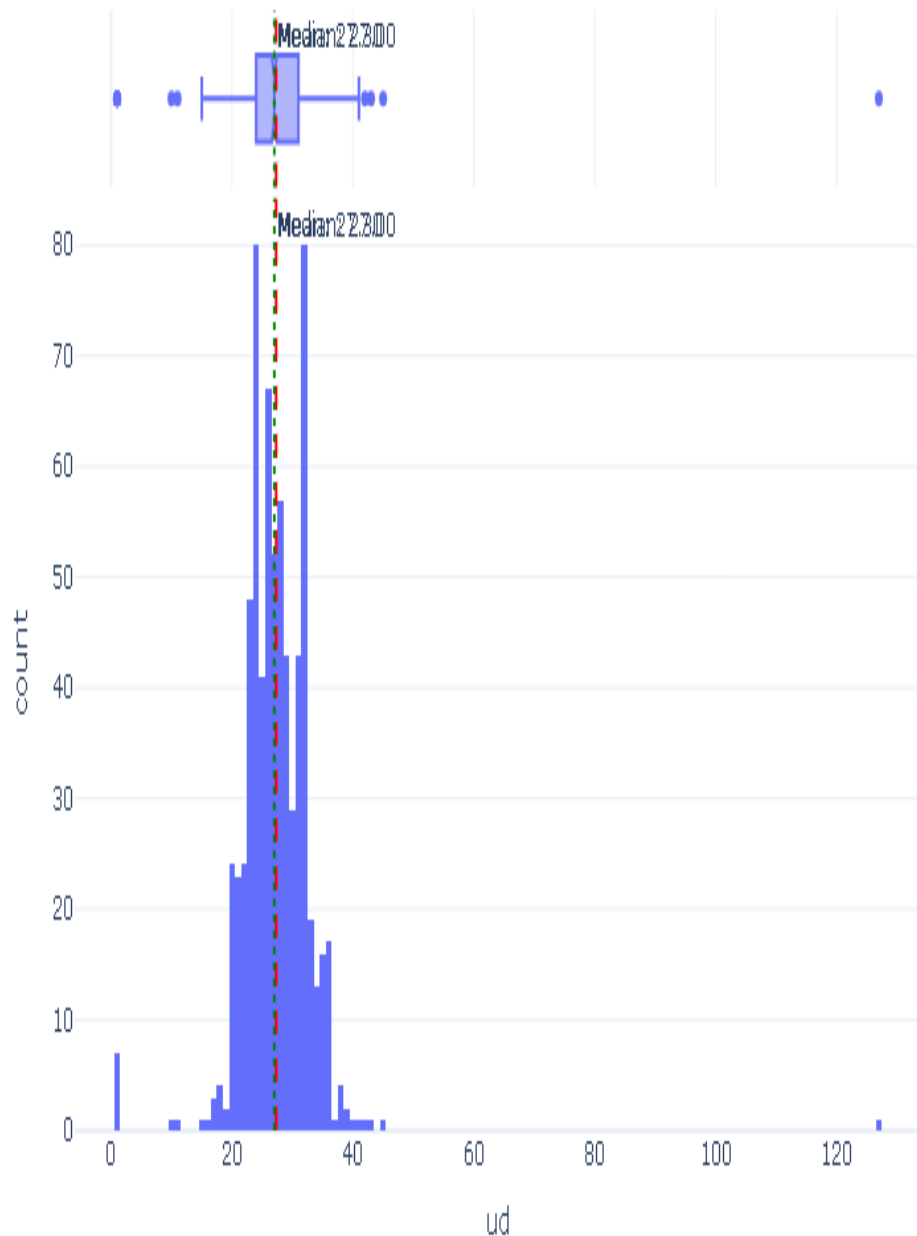


Figura: Distribución de ud

Boxplot of ud

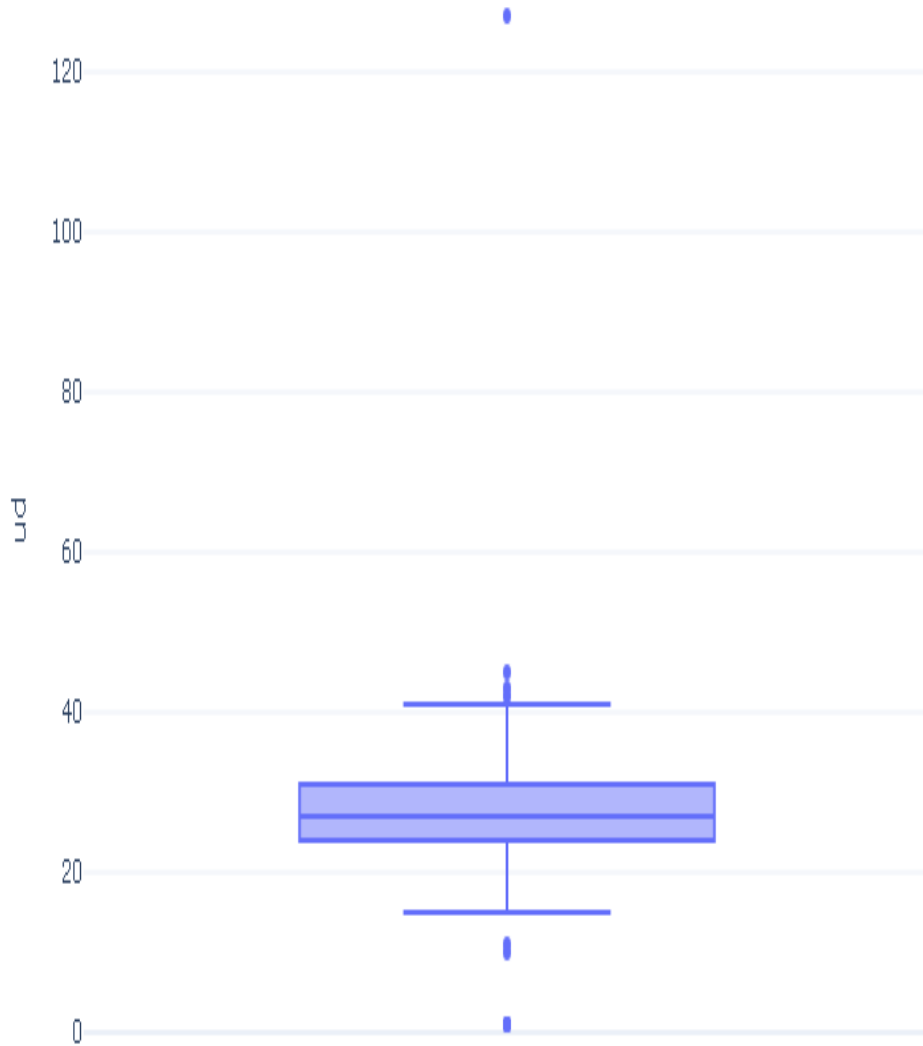


Figura: Boxplot de ud

Variable: fs

Estadísticas Descriptivas

Estadística	Valor
Observaciones	588
Valores faltantes	2524 (81.11%)
Media	30.7040
Mediana	28.7000
Desviación estándar	16.1186
Mínimo	0.2300
Q1 (25%)	26.0000
Q3 (75%)	33.0000
Máximo	289.0000
Asimetría	12.2268
Curtosis	185.0048

Test de Normalidad (Shapiro-Wilk)

Error al calcular test de normalidad: 'UnivariateStats' object has no attribute 'shapiro'

Detección de Outliers (Método IQR)

Métrica	Valor
Q1 (25%)	26.0000
Q3 (75%)	33.0000
IQR	7.0000
Límite inferior	15.5000
Límite superior	43.5000
Número de outliers	33 (5.61%)

Visualizaciones

Distribution of fs

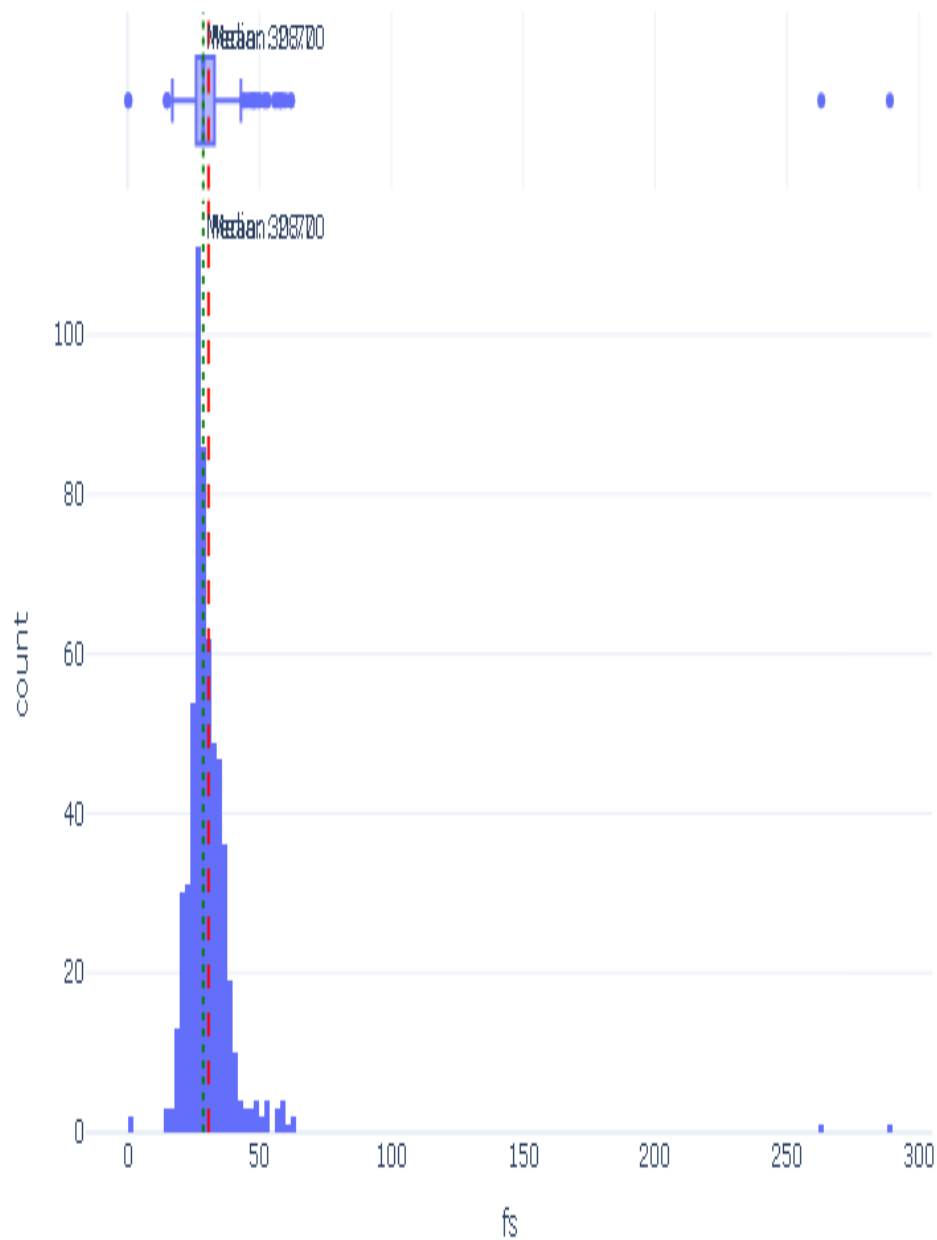


Figura: Distribución de fs

Boxplot of fs

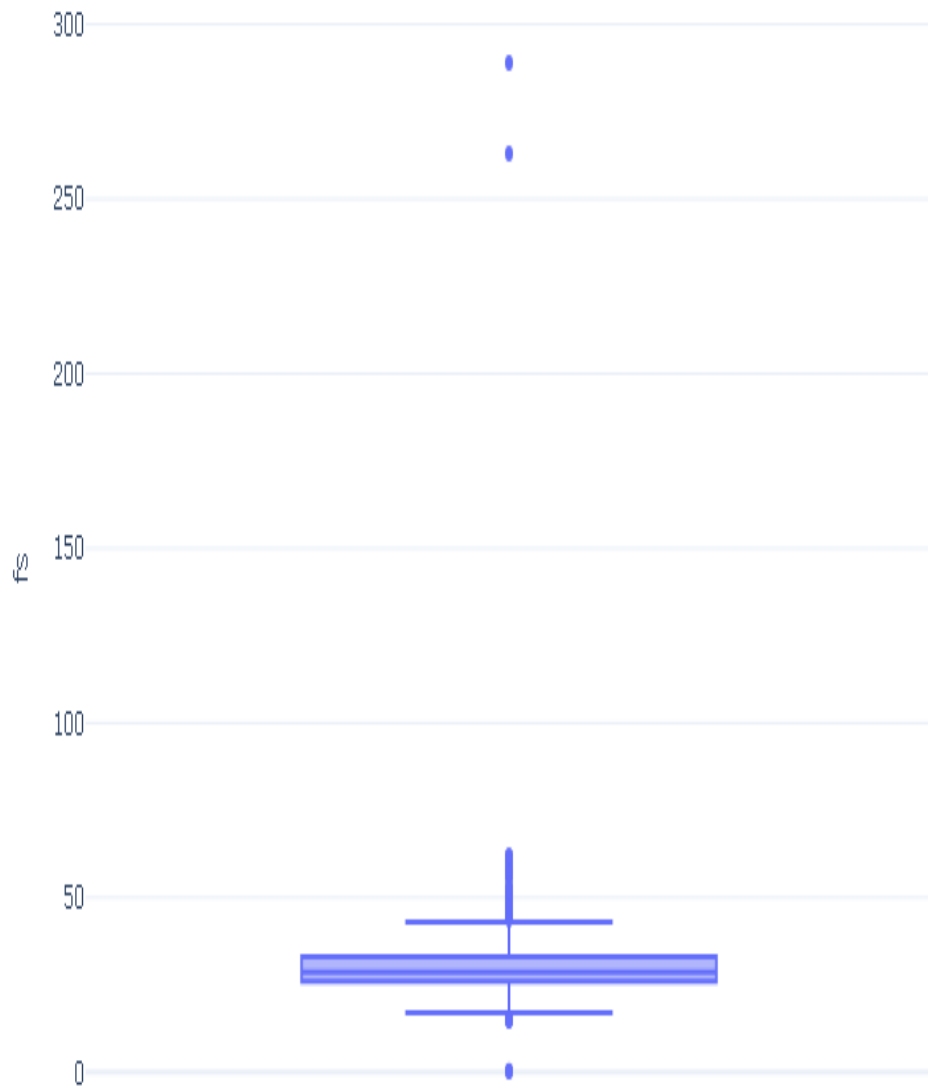


Figura: Boxplot de fs

Variable: tapse

Estadísticas Descriptivas

Estadística	Valor
Observaciones	1,156
Valores faltantes	1956 (62.85%)
Media	22.6860
Mediana	23.0000
Desviación estándar	7.7352
Mínimo	6.0000
Q1 (25%)	21.0000
Q3 (75%)	24.0000
Máximo	231.0000
Asimetría	19.0089
Curtosis	482.1151

Test de Normalidad (Shapiro-Wilk)

Error al calcular test de normalidad: 'UnivariateStats' object has no attribute 'shapiro'

Detección de Outliers (Método IQR)

Métrica	Valor
Q1 (25%)	21.0000
Q3 (75%)	24.0000
IQR	3.0000
Límite inferior	16.5000
Límite superior	28.5000
Número de outliers	77 (6.66%)

Visualizaciones

Distribution of tapse

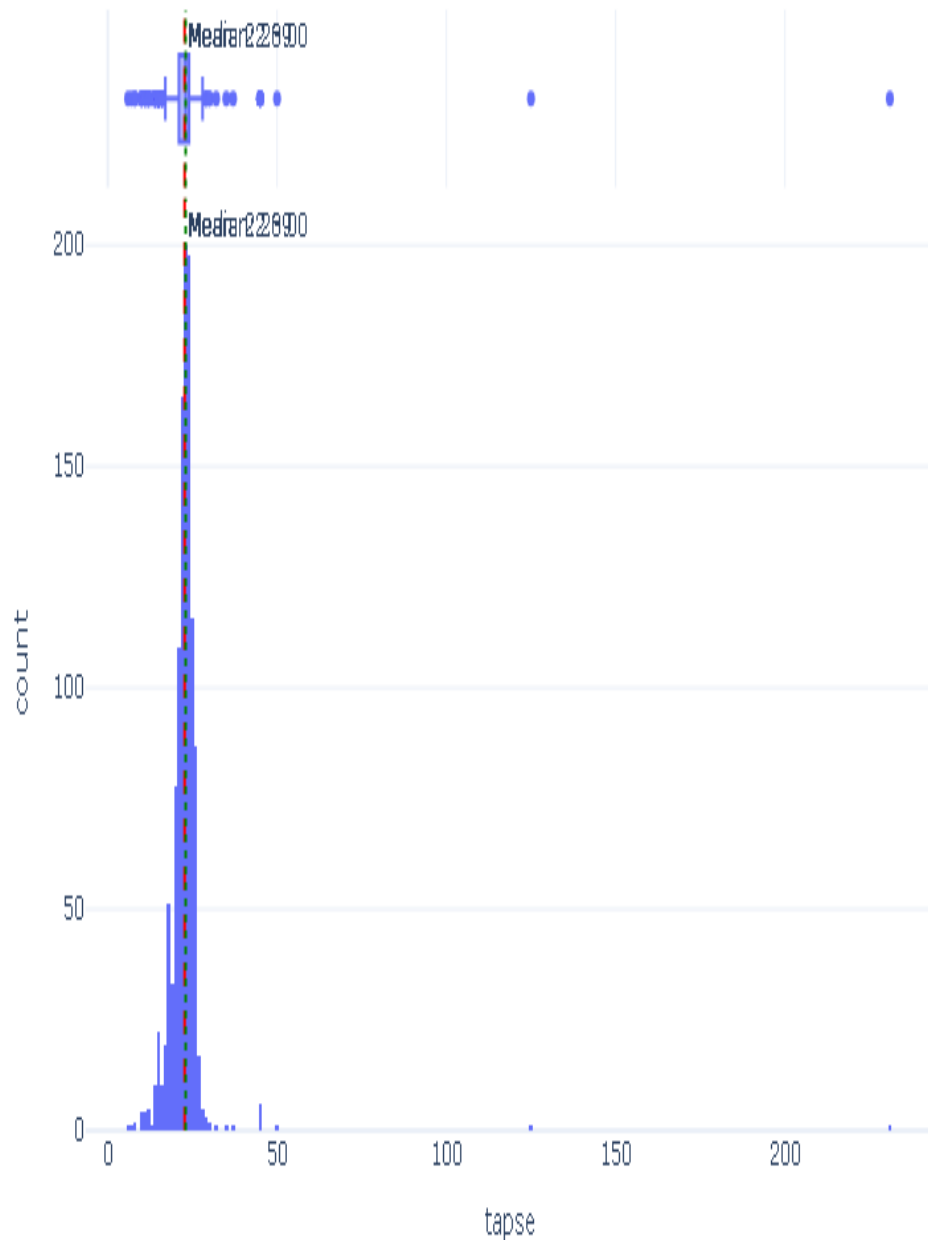


Figura: Distribución de tapse

Boxplot of tapse

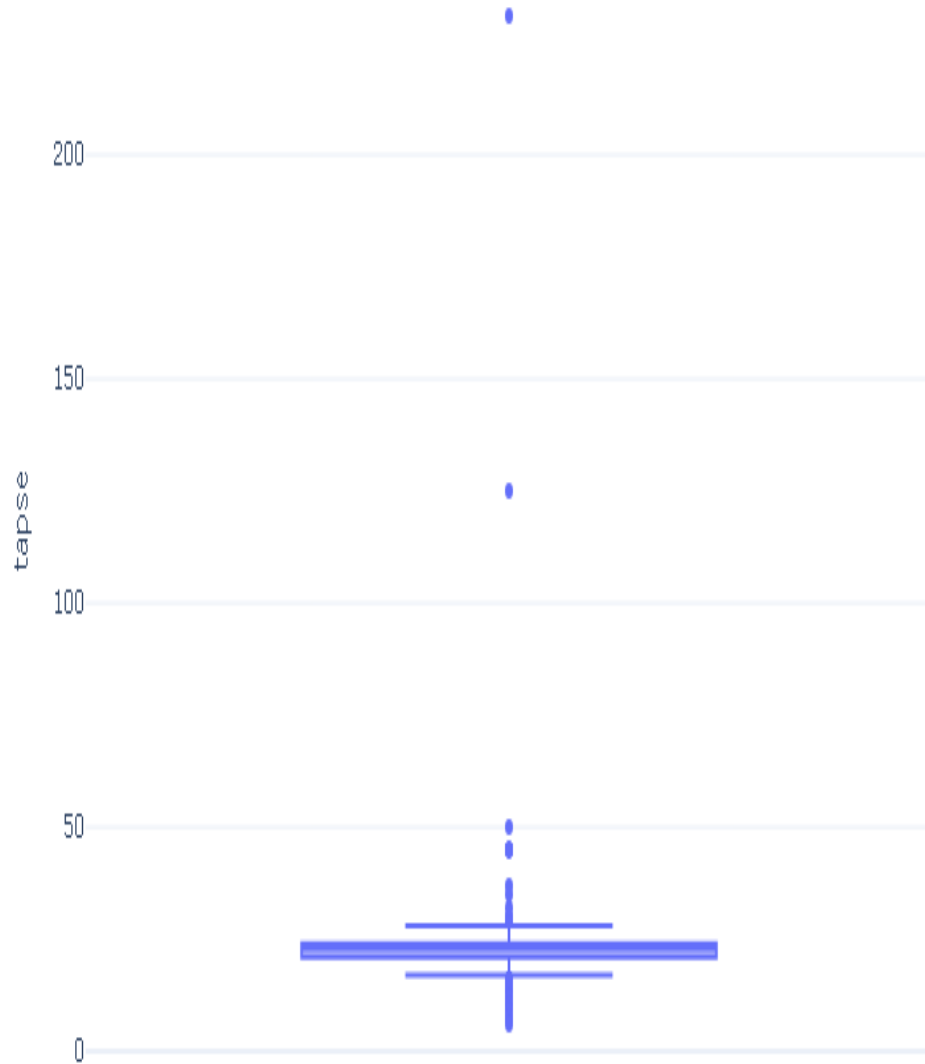


Figura: Boxplot de tapse

Variable: ea

Estadísticas Descriptivas

Estadística	Valor
Observaciones	1,207
Valores faltantes	1905 (61.21%)
Media	0.9565
Mediana	0.6500
Desviación estándar	3.4125
Mínimo	N/A
Q1 (25%)	0.5400
Q3 (75%)	0.8700
Máximo	83.0000
Asimetría	23.1713
Curtosis	554.1973

Test de Normalidad (Shapiro-Wilk)

Error al calcular test de normalidad: 'UnivariateStats' object has no attribute 'shapiro'

Detección de Outliers (Método IQR)

Métrica	Valor
Q1 (25%)	0.5400
Q3 (75%)	0.8700
IQR	0.3300
Límite inferior	0.0450
Límite superior	1.3650
Número de outliers	108 (8.95%)

Visualizaciones

Distribution of ea

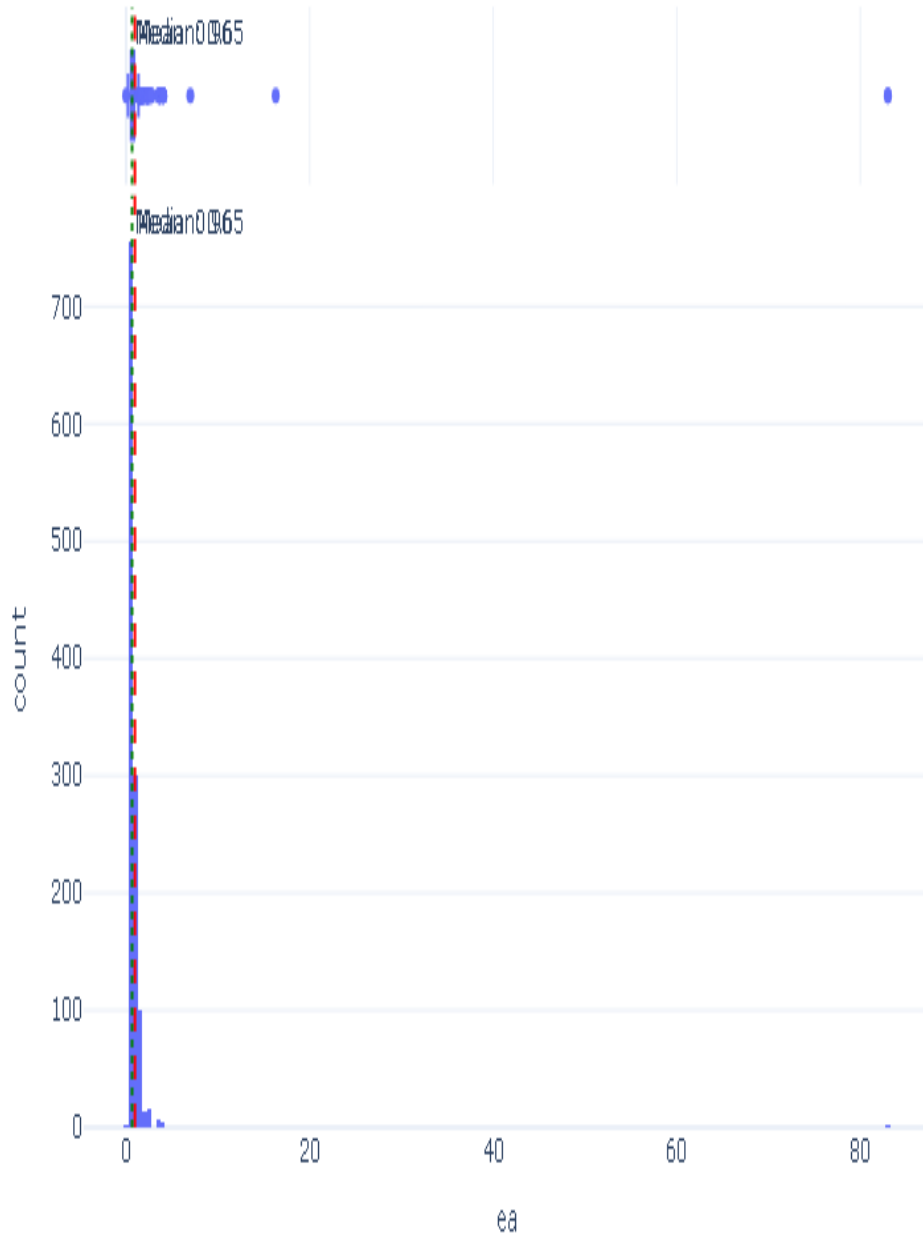


Figura: Distribución de ea

Boxplot of ea

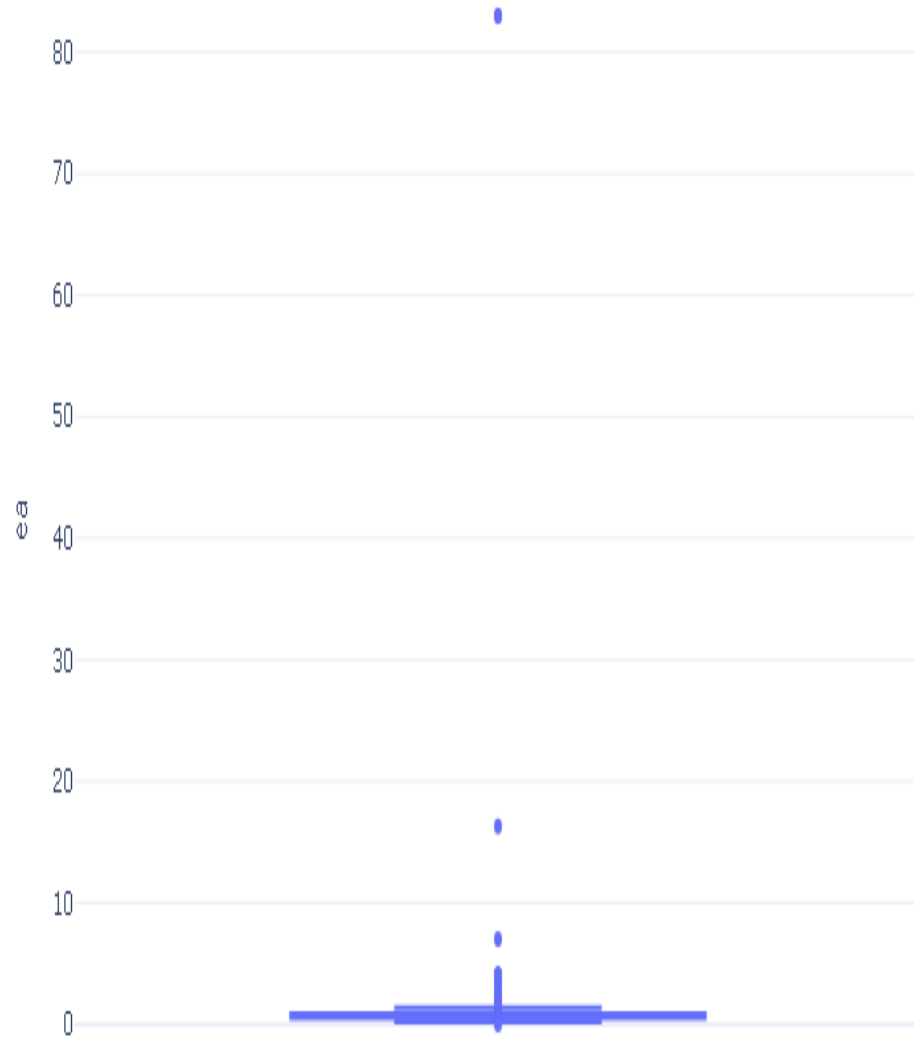


Figura: Boxplot de ea

Variable: ee

Estadísticas Descriptivas

Estadística	Valor
Observaciones	1,079
Valores faltantes	2033 (65.33%)
Media	9.0204
Mediana	8.3000
Desviación estándar	6.5863
Mínimo	0.4200
Q1 (25%)	6.5000
Q3 (75%)	9.7000
Máximo	159.0000
Asimetría	14.6739
Curtosis	292.7073

Test de Normalidad (Shapiro-Wilk)

Error al calcular test de normalidad: 'UnivariateStats' object has no attribute 'shapiro'

Detección de Outliers (Método IQR)

Métrica	Valor
Q1 (25%)	6.5000
Q3 (75%)	9.7000
IQR	3.2000
Límite inferior	1.7000
Límite superior	14.5000
Número de outliers	68 (6.30%)

Visualizaciones

Distribution of ee

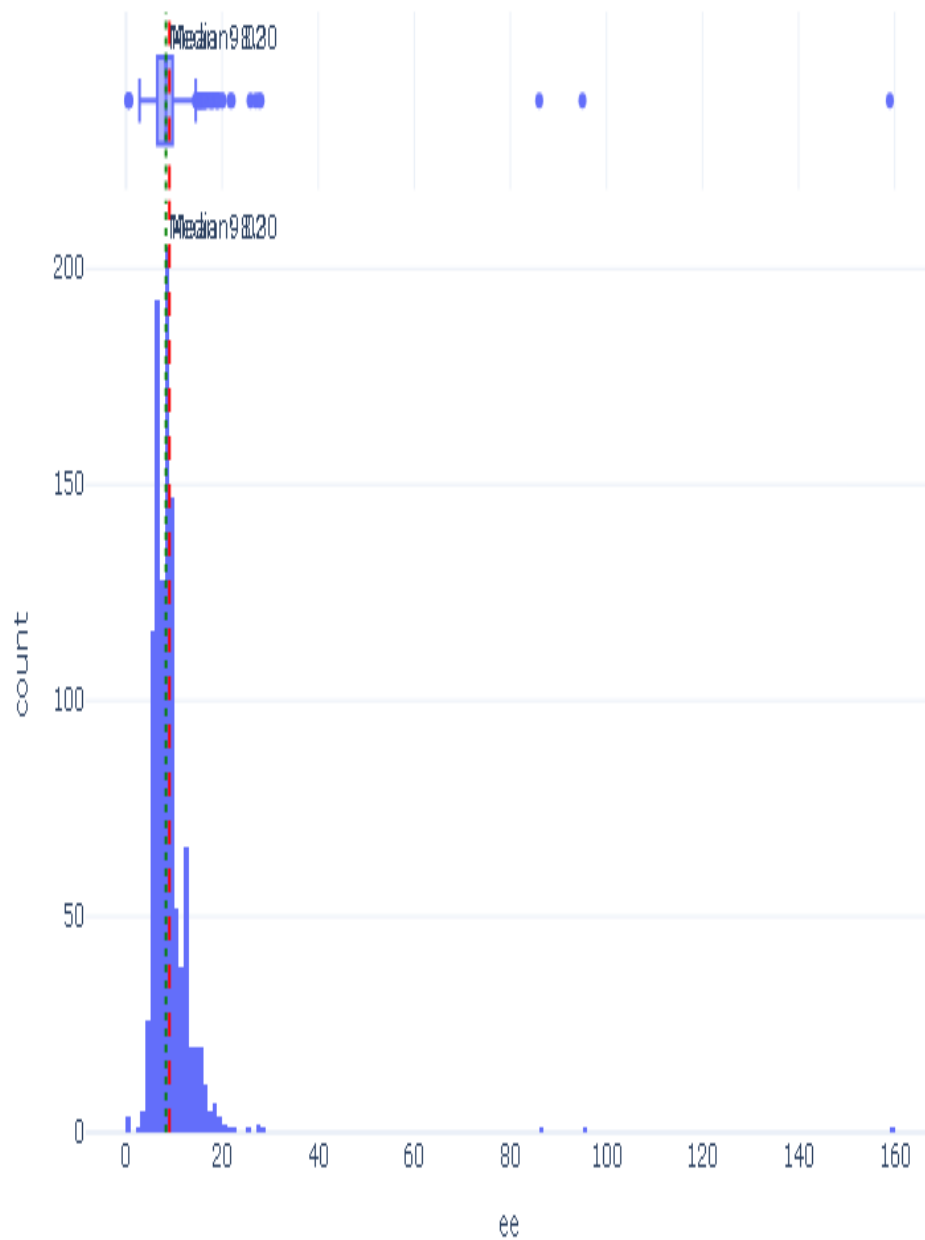


Figura: Distribución de ee

Boxplot of ee

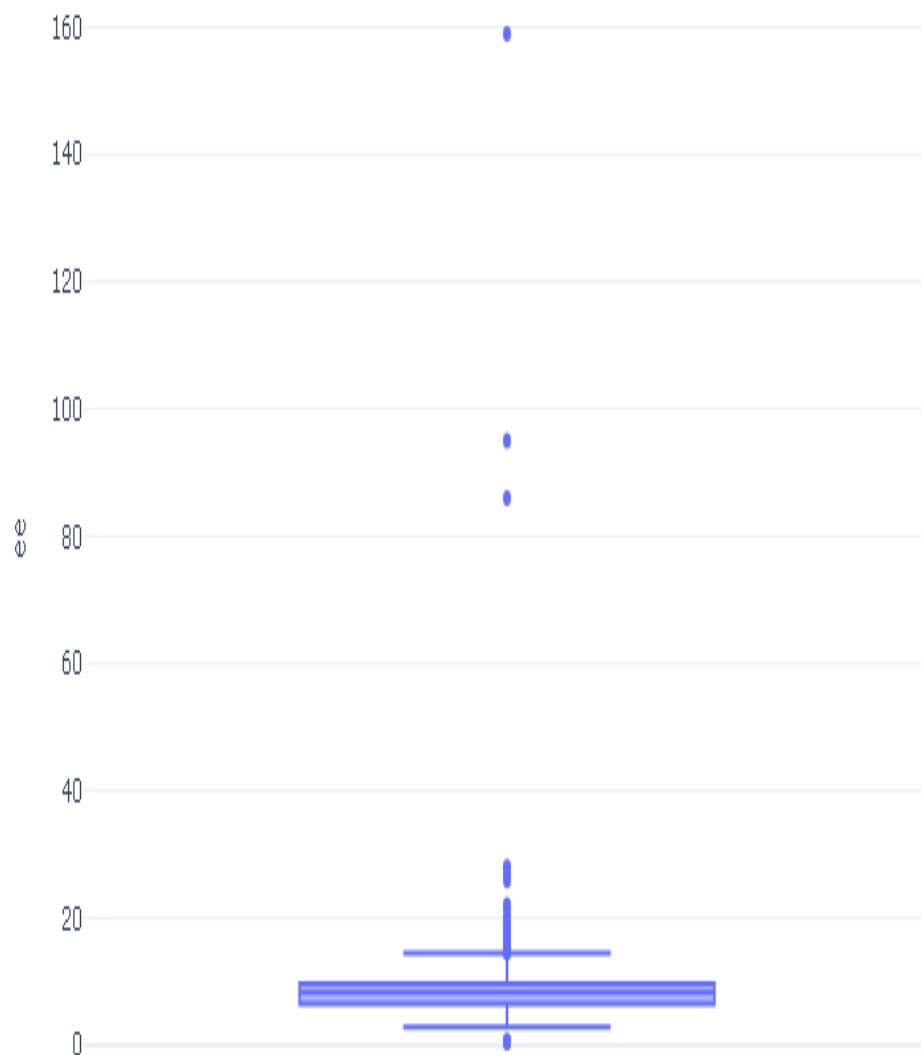


Figura: Boxplot de ee

Variable: pat

Estadísticas Descriptivas

Estadística	Valor
Observaciones	712
Valores faltantes	2400 (77.12%)
Media	124.6882
Mediana	125.0000
Desviación estándar	17.9111
Mínimo	1.0000
Q1 (25%)	122.0000
Q3 (75%)	133.0000
Máximo	165.0000
Asimetría	-5.0043
Curtosis	29.9047

Test de Normalidad (Shapiro-Wilk)

Error al calcular test de normalidad: 'UnivariateStats' object has no attribute 'shapiro'

Detección de Outliers (Método IQR)

Métrica	Valor
Q1 (25%)	122.0000
Q3 (75%)	133.0000
IQR	11.0000
Límite inferior	105.5000
Límite superior	149.5000
Número de outliers	32 (4.49%)

Visualizaciones

Distribution of pat

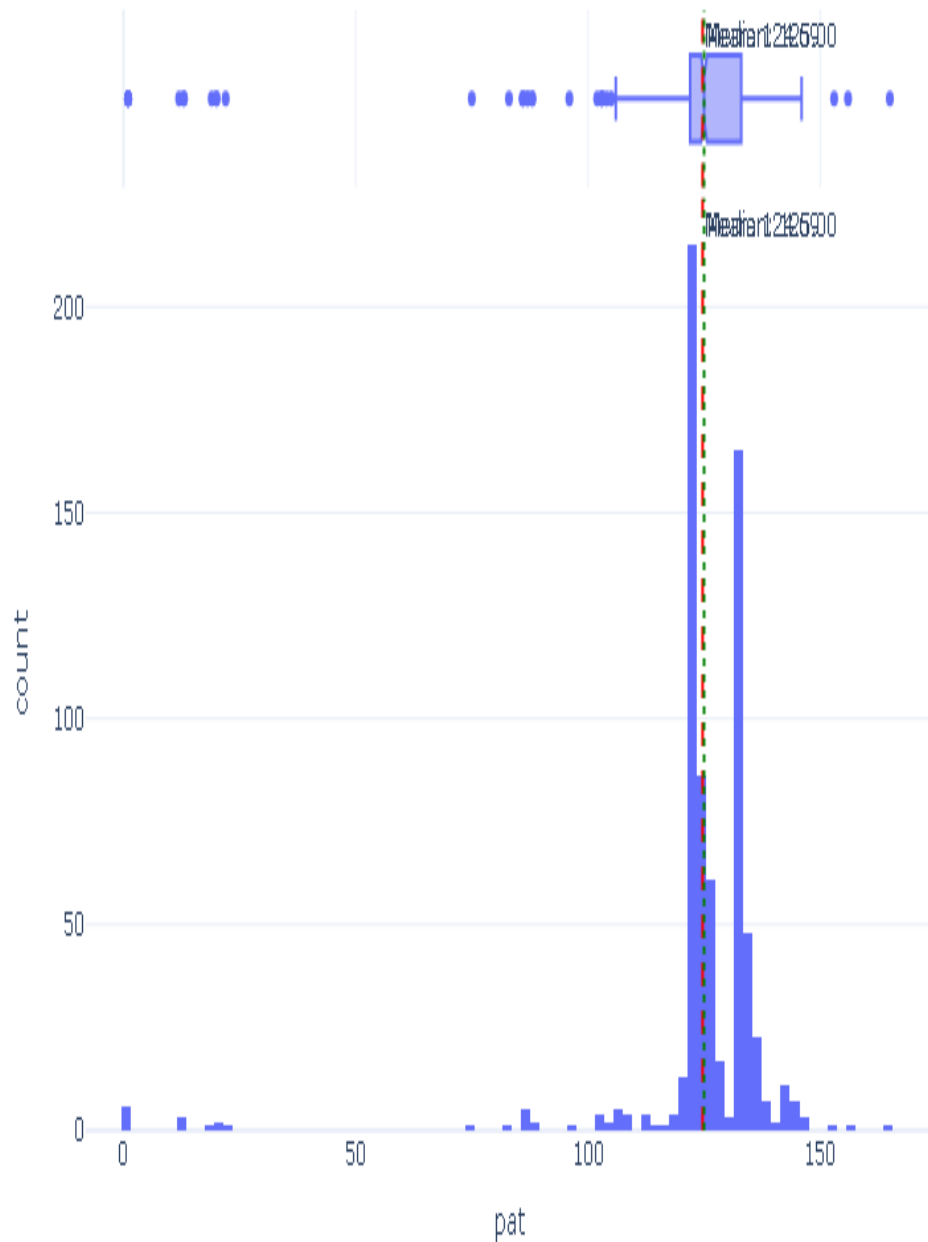


Figura: Distribución de pat

Boxplot of pat

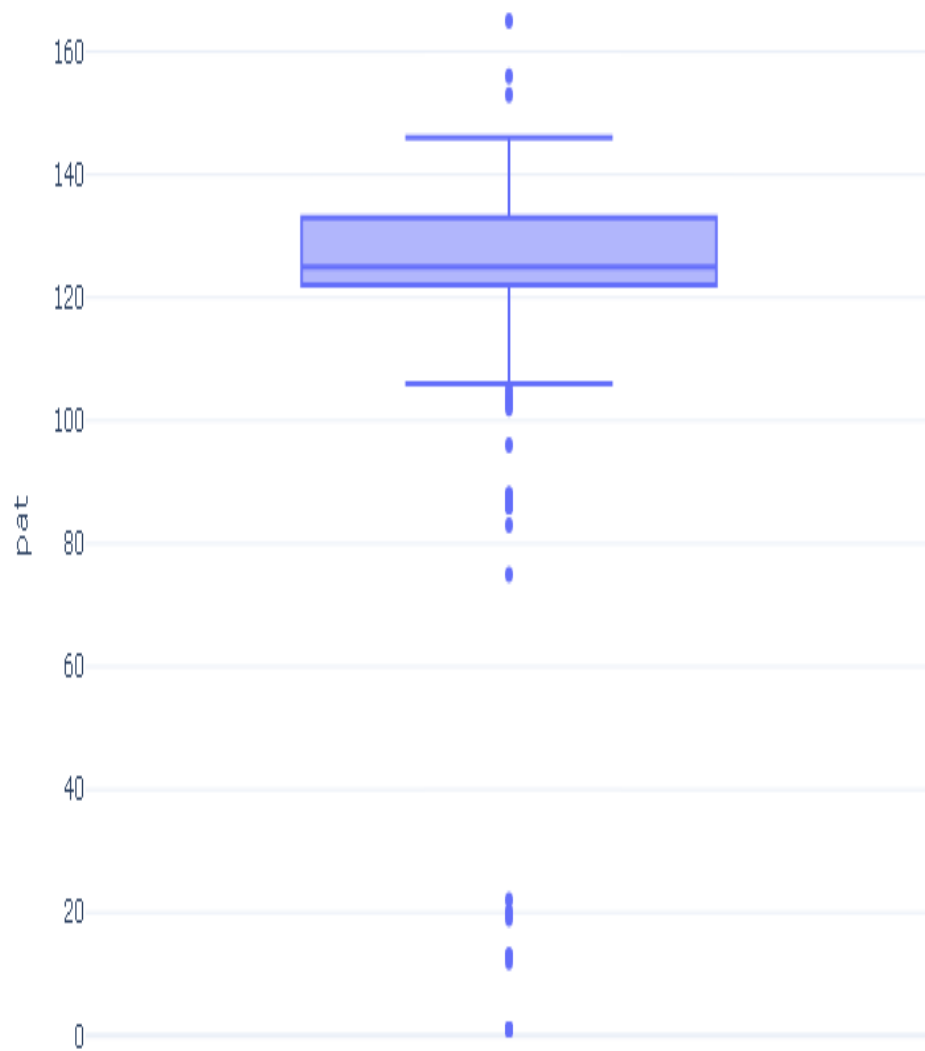


Figura: Boxplot de pat

Variable: insao

Estadísticas Descriptivas

Estadística	Valor
Observaciones	3,057
Valores faltantes	55 (1.77%)
Media	0.0134
Mediana	N/A
Desviación estándar	0.1150
Mínimo	N/A
Q1 (25%)	N/A
Q3 (75%)	N/A
Máximo	1.0000
Asimetría	8.4643
Curtosis	69.6905

Test de Normalidad (Shapiro-Wilk)

Error al calcular test de normalidad: 'UnivariateStats' object has no attribute 'shapiro'

Detección de Outliers (Método IQR)

Métrica	Valor
Q1 (25%)	0.0000
Q3 (75%)	0.0000
IQR	0.0000
Límite inferior	0.0000
Límite superior	0.0000
Número de outliers	41 (1.34%)

Visualizaciones

Distribution of insao

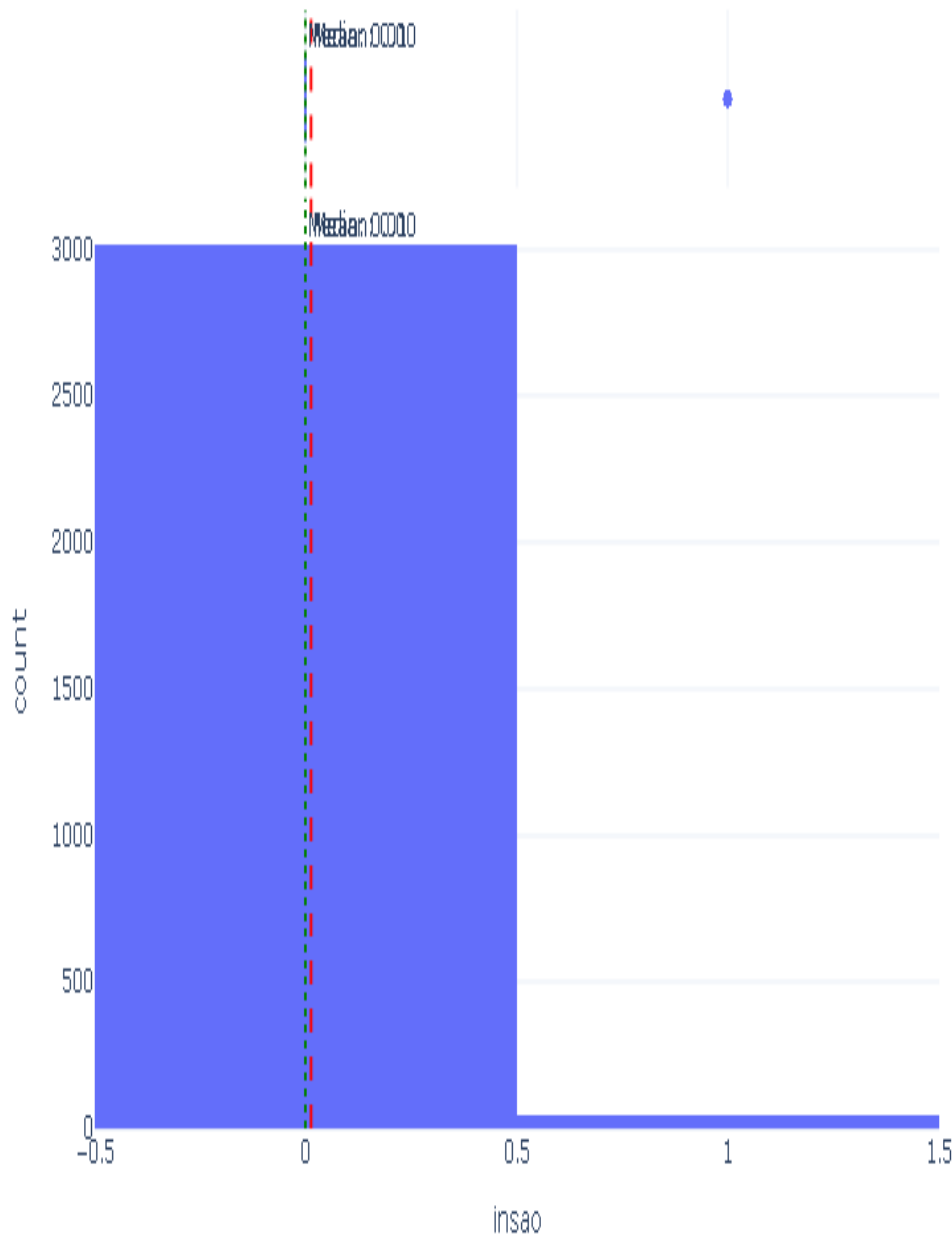


Figura: Distribución de `insao`

Boxplot of insao

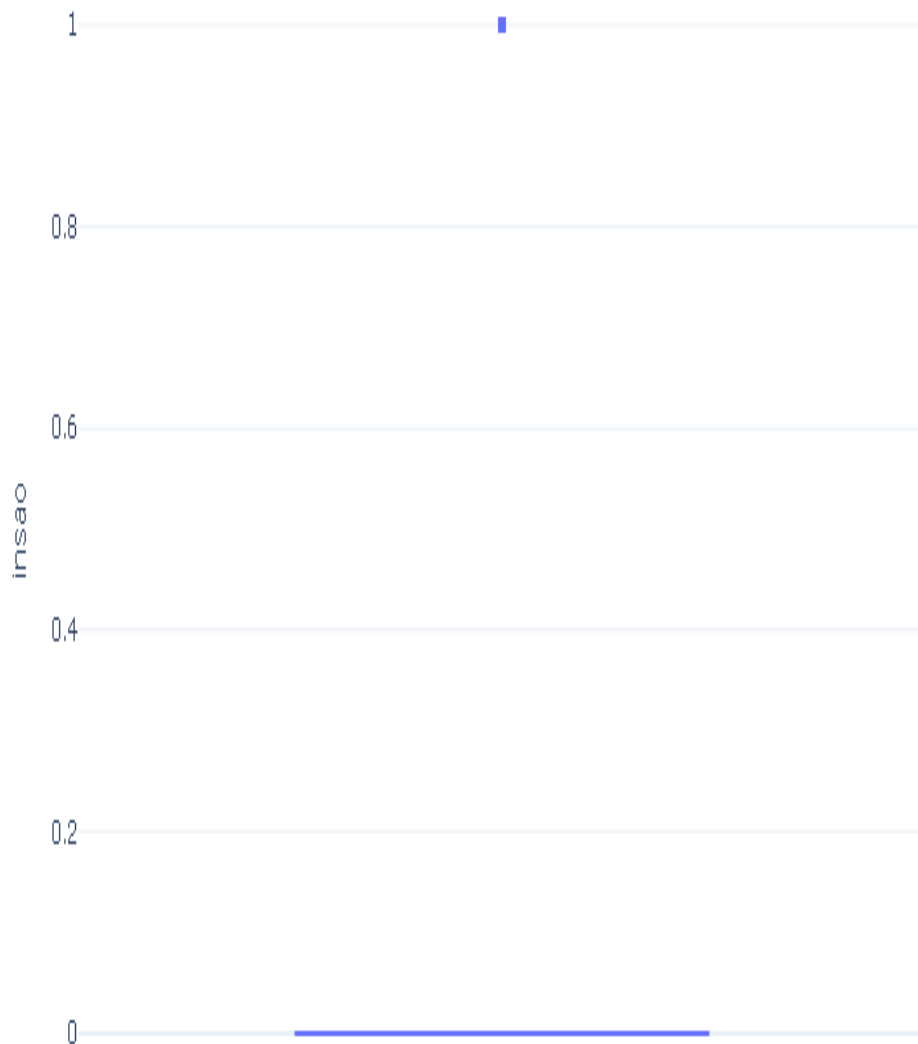


Figura: Boxplot de insao

Variable: estao

Estadísticas Descriptivas

Estadística	Valor
Observaciones	3,057
Valores faltantes	55 (1.77%)
Media	0.0033
Mediana	N/A
Desviación estándar	0.0571
Mínimo	N/A
Q1 (25%)	N/A
Q3 (75%)	N/A
Máximo	1.0000
Asimetría	17.4069
Curtosis	301.1977

Test de Normalidad (Shapiro-Wilk)

Error al calcular test de normalidad: 'UnivariateStats' object has no attribute 'shapiro'

Detección de Outliers (Método IQR)

Métrica	Valor
Q1 (25%)	0.0000
Q3 (75%)	0.0000
IQR	0.0000
Límite inferior	0.0000
Límite superior	0.0000
Número de outliers	10 (0.33%)

Visualizaciones

Distribution of estao

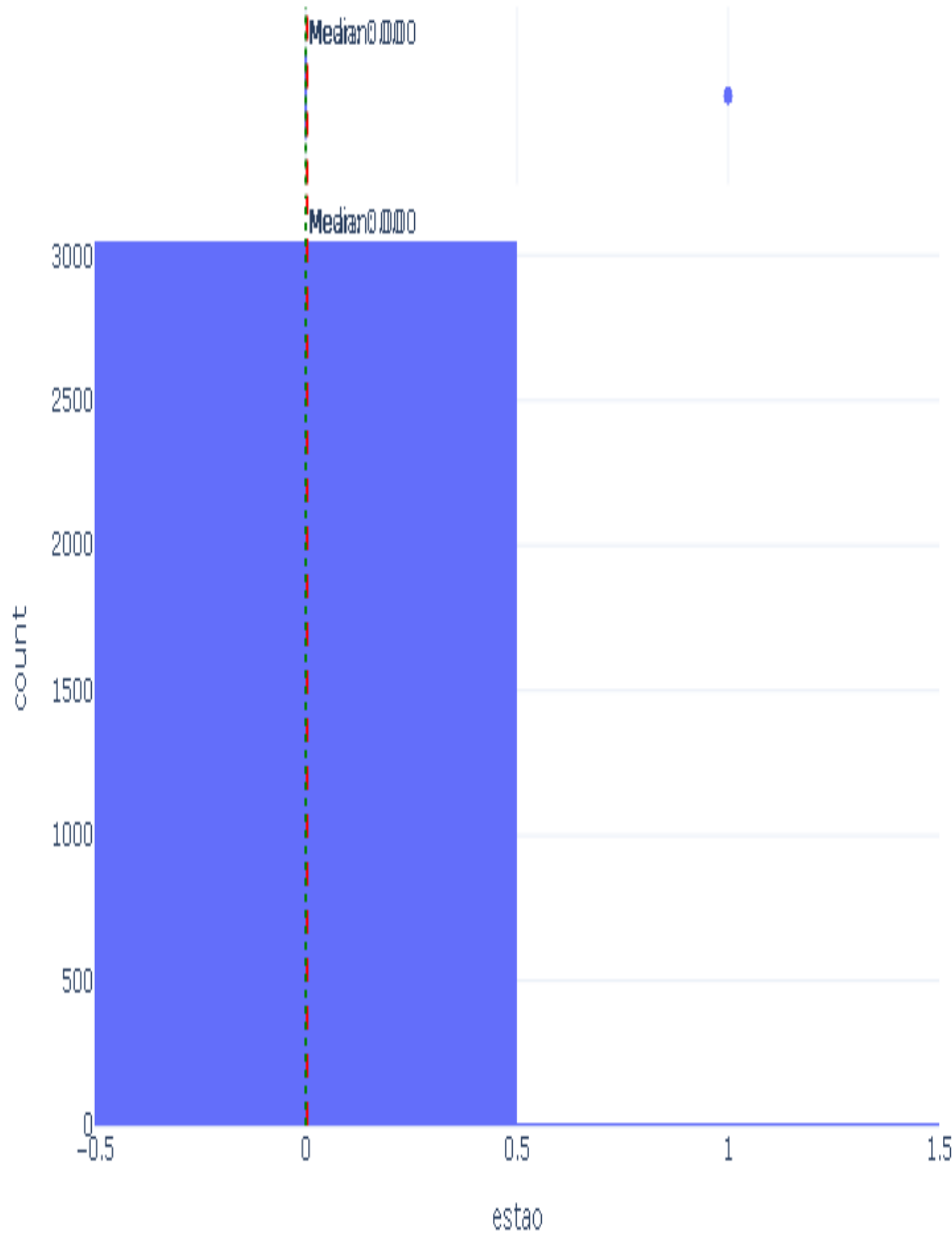


Figura: Distribución de estao

Boxplot of estao



Figura: Boxplot de estao

Variable: insmit

Estadísticas Descriptivas

Estadística	Valor
Observaciones	3,057
Valores faltantes	55 (1.77%)
Media	0.1187
Mediana	N/A
Desviación estándar	0.3235
Mínimo	N/A
Q1 (25%)	N/A
Q3 (75%)	N/A
Máximo	1.0000
Asimetría	2.3583
Curtosis	3.5640

Test de Normalidad (Shapiro-Wilk)

Error al calcular test de normalidad: 'UnivariateStats' object has no attribute 'shapiro'

Detección de Outliers (Método IQR)

Métrica	Valor
Q1 (25%)	0.0000
Q3 (75%)	0.0000
IQR	0.0000
Límite inferior	0.0000
Límite superior	0.0000
Número de outliers	363 (11.87%)

Visualizaciones

Distribution of insmit

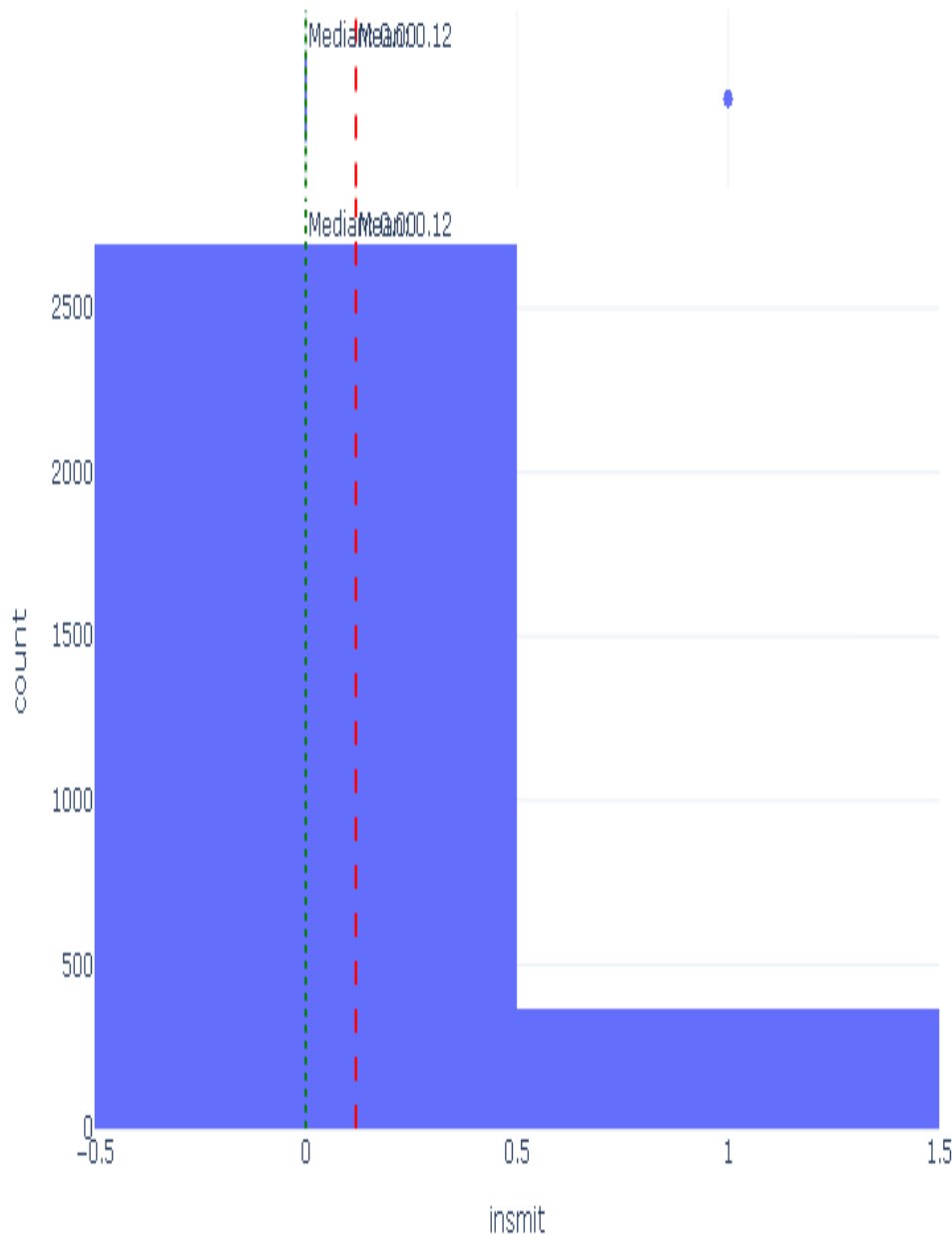


Figura: Distribución de *insmit*

Boxplot of insmit



Figura: Boxplot de insmit

Variable: estmit

Estadísticas Descriptivas

Estadística	Valor
Observaciones	3,057
Valores faltantes	55 (1.77%)
Media	0.0013
Mediana	N/A
Desviación estándar	0.0362
Mínimo	N/A
Q1 (25%)	N/A
Q3 (75%)	N/A
Máximo	1.0000
Asimetría	27.6043
Curtosis	760.4966

Test de Normalidad (Shapiro-Wilk)

Error al calcular test de normalidad: 'UnivariateStats' object has no attribute 'shapiro'

Detección de Outliers (Método IQR)

Métrica	Valor
Q1 (25%)	0.0000
Q3 (75%)	0.0000
IQR	0.0000
Límite inferior	0.0000
Límite superior	0.0000
Número de outliers	4 (0.13%)

Visualizaciones

Distribution of estmit

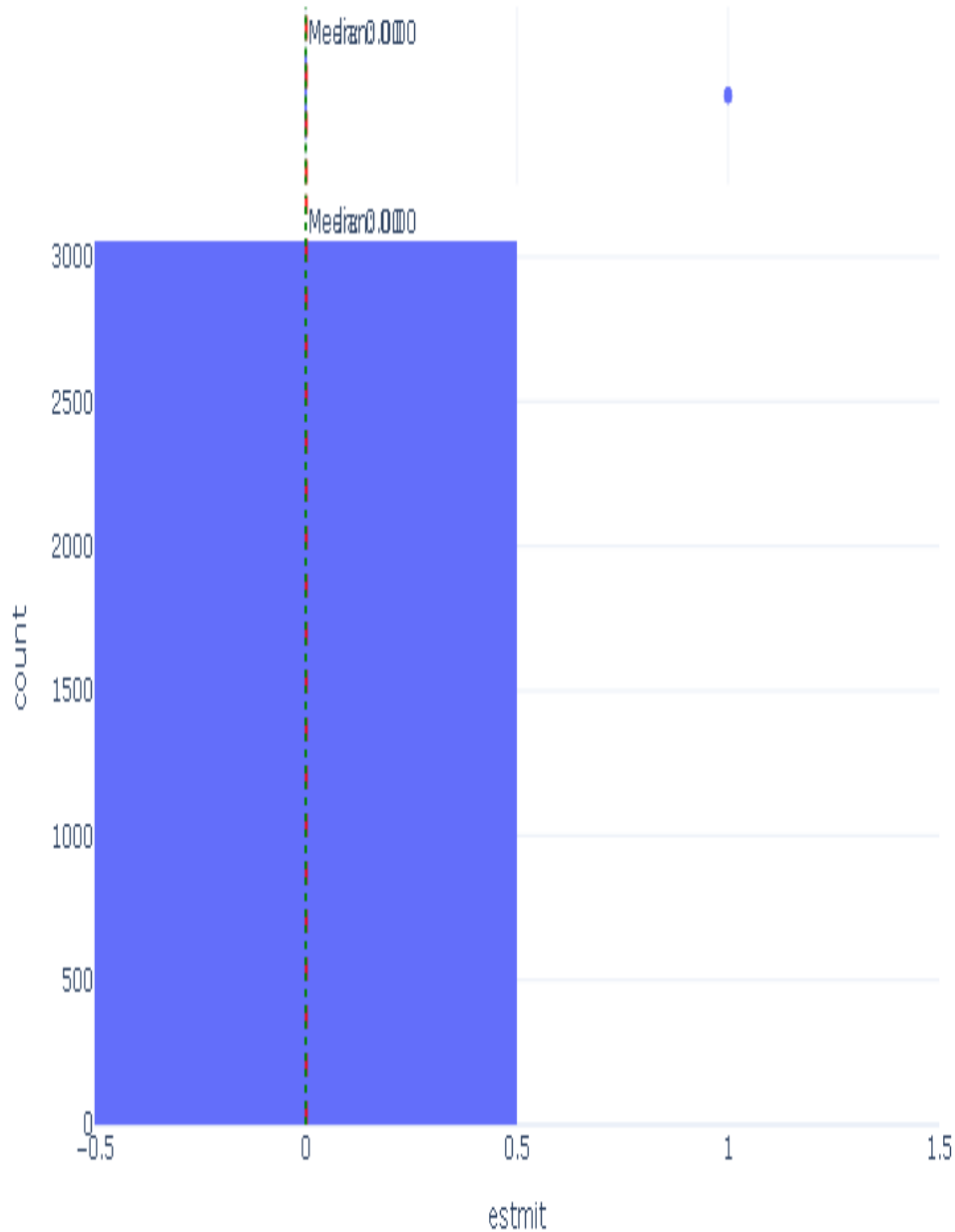


Figura: Distribución de *estmit*

Boxplot of estmit

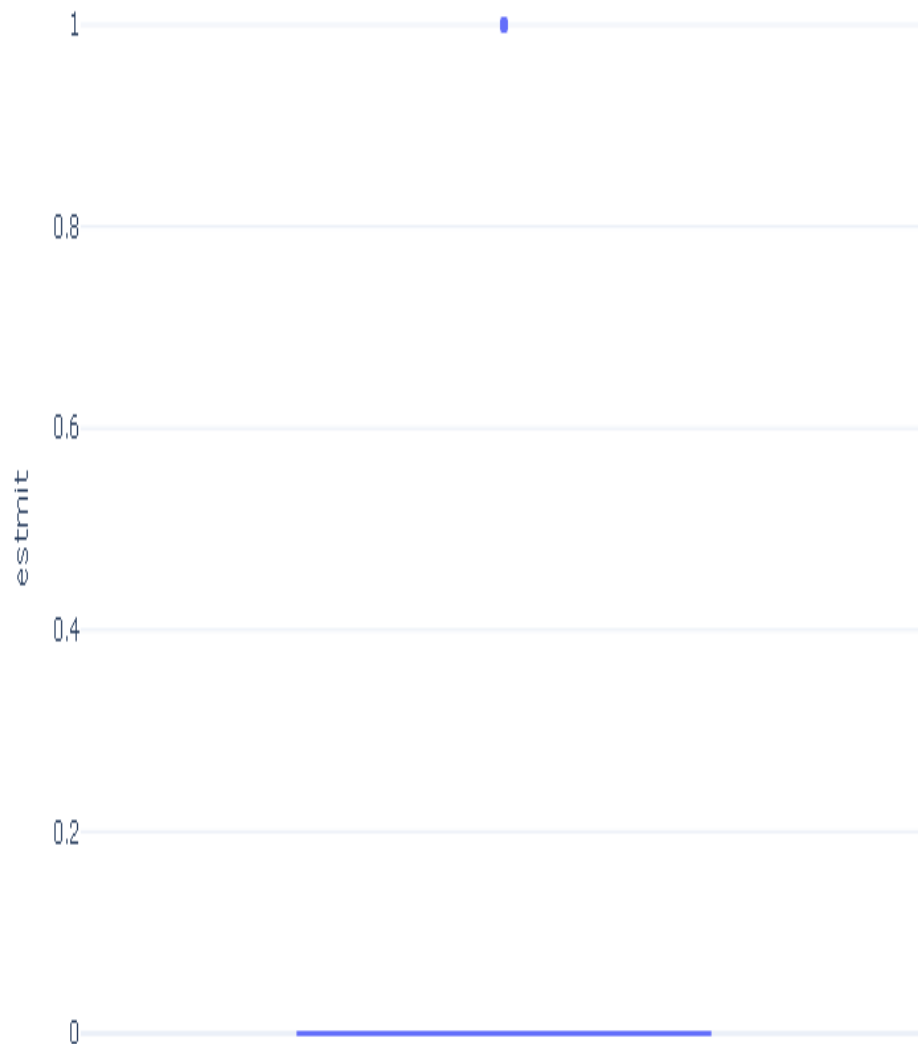


Figura: Boxplot de estmit

Variable: tiempo_respuesta

Estadísticas Descriptivas

Estadística	Valor
Observaciones	471
Valores faltantes	2641 (84.87%)
Media	15.7155
Mediana	10.0000
Desviación estándar	21.2163
Mínimo	N/A
Q1 (25%)	5.0000
Q3 (75%)	15.0000
Máximo	190.0000
Asimetría	4.6543
Curtosis	28.4843

Test de Normalidad (Shapiro-Wilk)

Error al calcular test de normalidad: 'UnivariateStats' object has no attribute 'shapiro'

Detección de Outliers (Método IQR)

Métrica	Valor
Q1 (25%)	5.0000
Q3 (75%)	15.0000
IQR	10.0000
Límite inferior	-10.0000
Límite superior	30.0000
Número de outliers	49 (10.40%)

Visualizaciones

Distribution of tiempo_respuesta

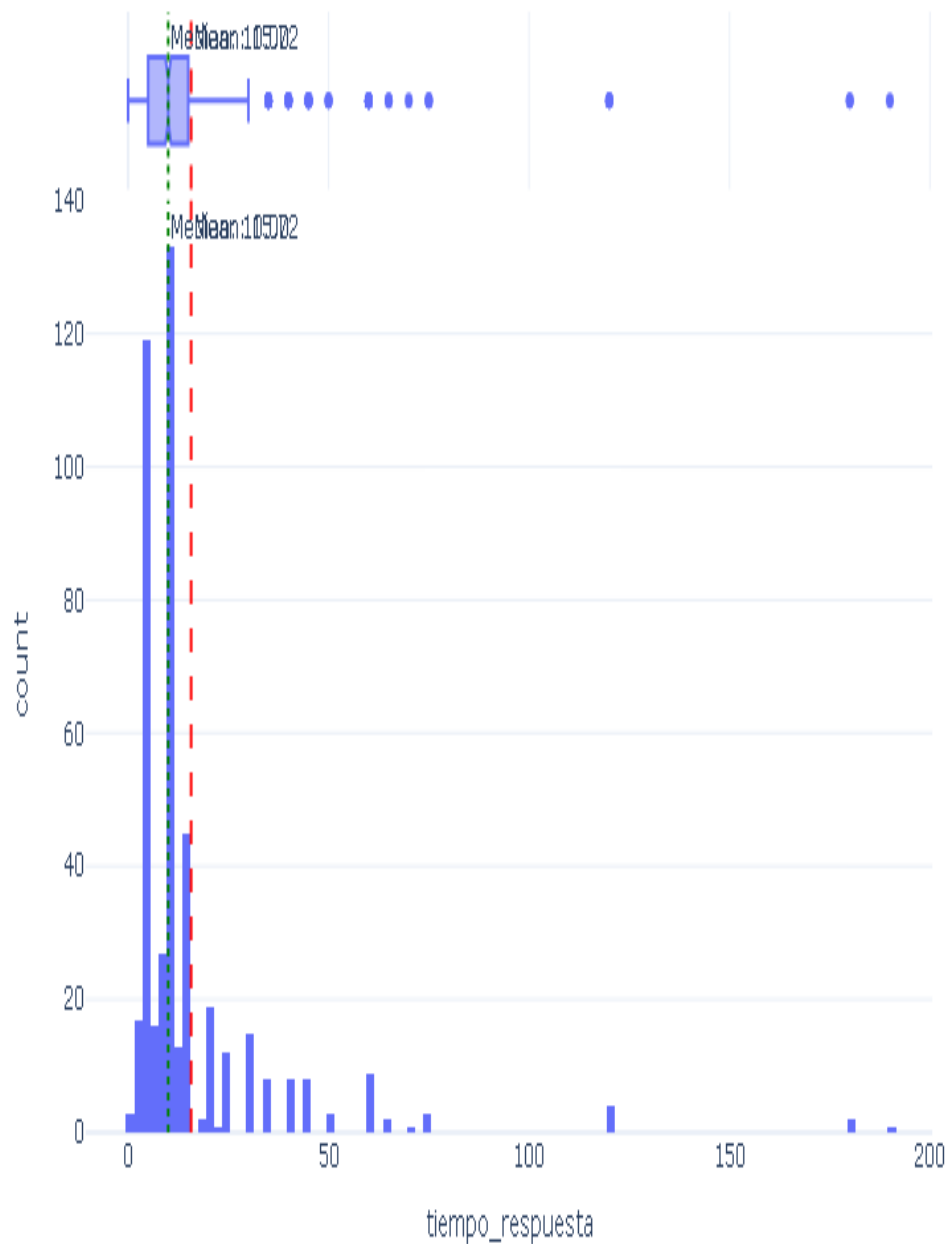


Figura: Distribución de tiempo_respuesta

Boxplot of tiempo_respuesta

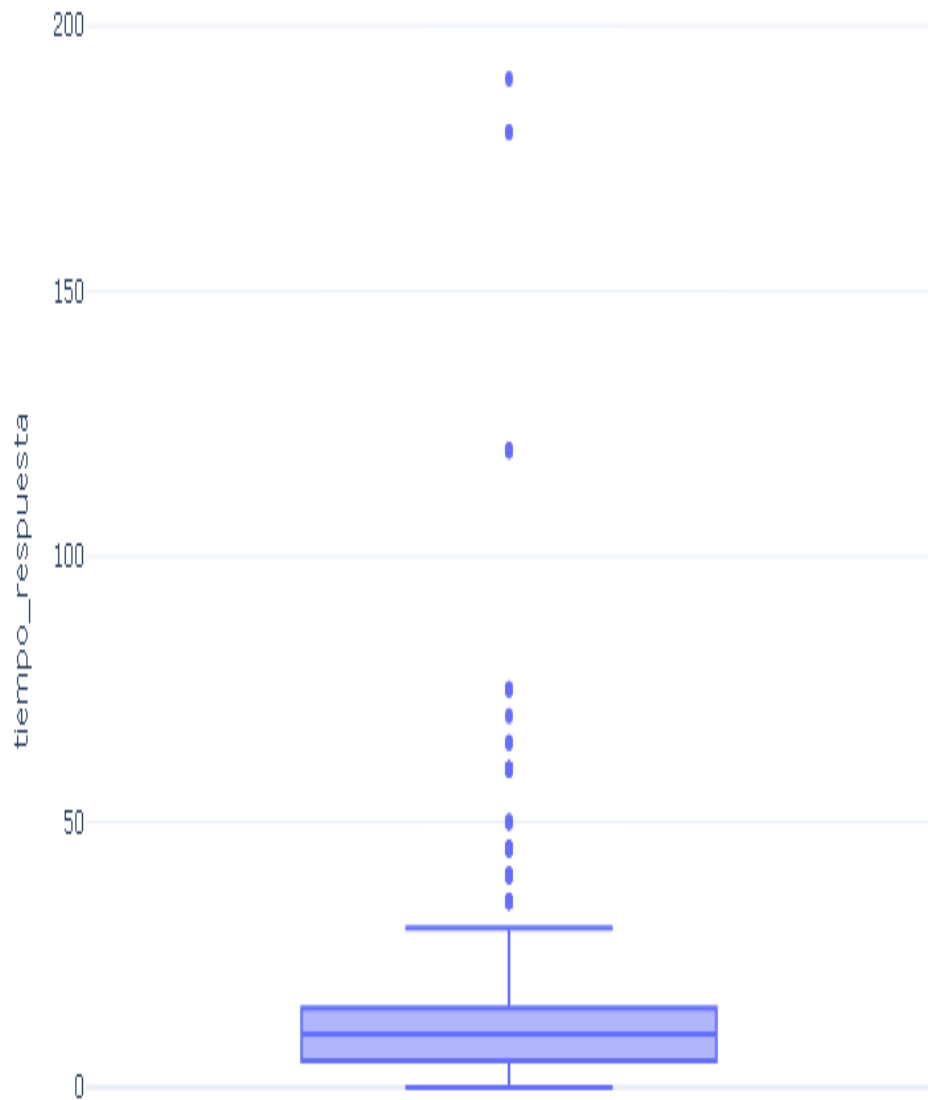


Figura: Boxplot de tiempo_respuesta

Variable: tiempo_llegada

Estadísticas Descriptivas

Estadística	Valor
Observaciones	471
Valores faltantes	2641 (84.87%)
Media	30.5372
Mediana	25.0000
Desviación estándar	21.2364
Mínimo	N/A
Q1 (25%)	15.0000
Q3 (75%)	35.0000
Máximo	200.0000
Asimetría	2.6459
Curtosis	12.3646

Test de Normalidad (Shapiro-Wilk)

Error al calcular test de normalidad: 'UnivariateStats' object has no attribute 'shapiro'

Detección de Outliers (Método IQR)

Métrica	Valor
Q1 (25%)	15.0000
Q3 (75%)	35.0000
IQR	20.0000
Límite inferior	-15.0000
Límite superior	65.0000
Número de outliers	20 (4.25%)

Visualizaciones

Distribution of tiempo_llegada

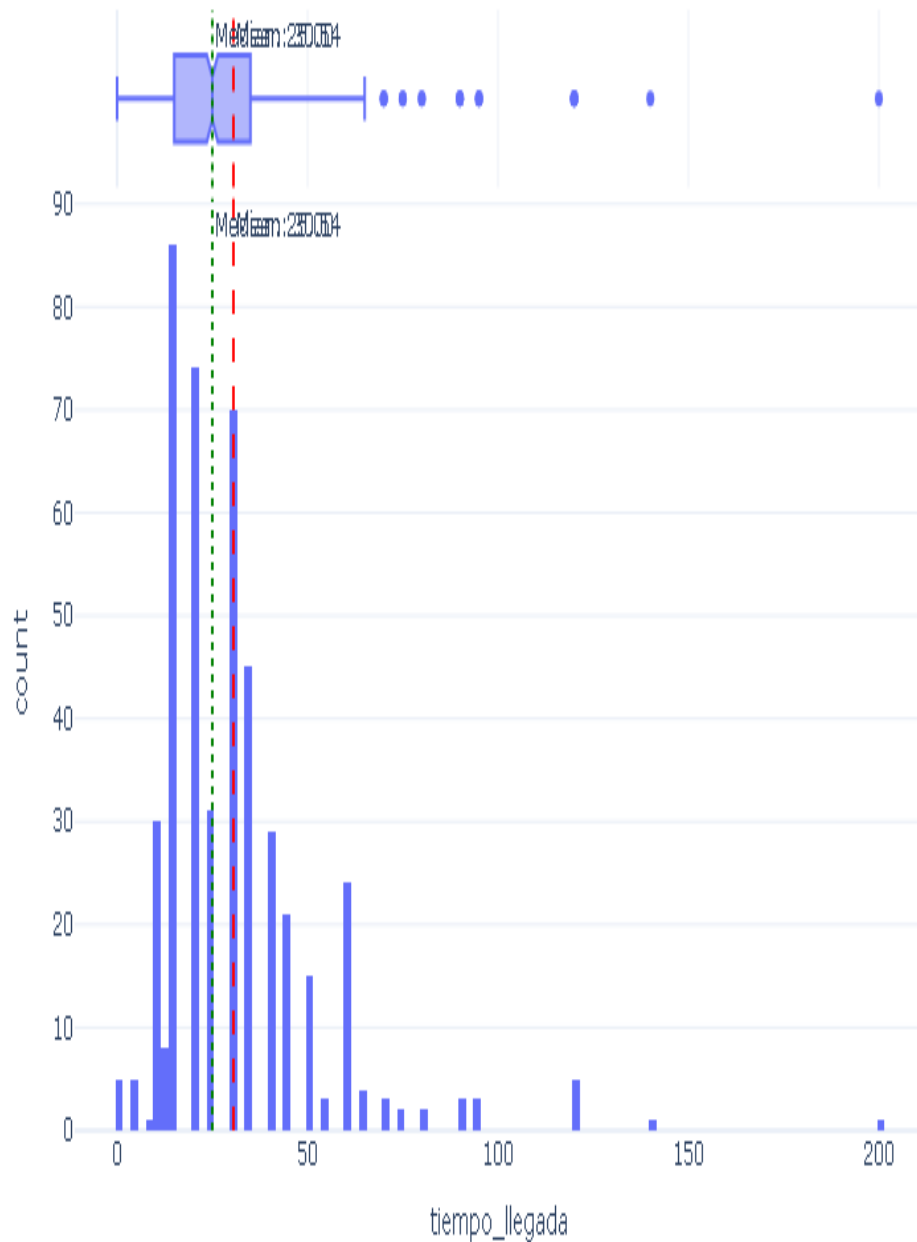


Figura: Distribución de tiempo_llegada

Boxplot of tiempo_llegada

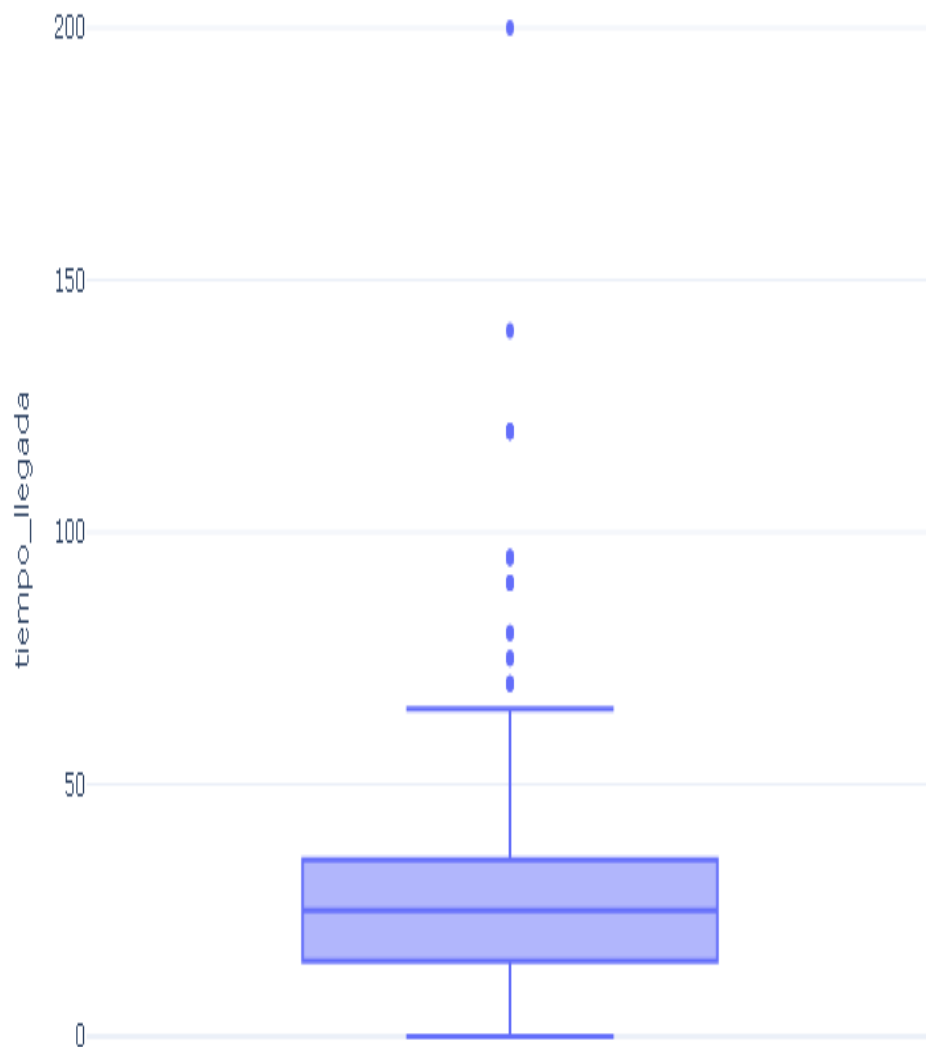


Figura: Boxplot de tiempo_llegada

Variable: primera_asistencia_medica

Estadísticas Descriptivas

Estadística	Valor
Observaciones	3,047
Valores faltantes	65 (2.09%)
Media	261.0893
Mediana	150.0000
Desviación estándar	266.1945
Mínimo	N/A
Q1 (25%)	60.0000
Q3 (75%)	350.0000
Máximo	999.0000
Asimetría	1.3299
Curtosis	0.4606

Test de Normalidad (Shapiro-Wilk)

Error al calcular test de normalidad: 'UnivariateStats' object has no attribute 'shapiro'

Detección de Outliers (Método IQR)

Métrica	Valor
Q1 (25%)	60.0000
Q3 (75%)	350.0000
IQR	290.0000
Límite inferior	-375.0000
Límite superior	785.0000
Número de outliers	342 (11.22%)

Visualizaciones

Distribution of primera_asistencia_medica

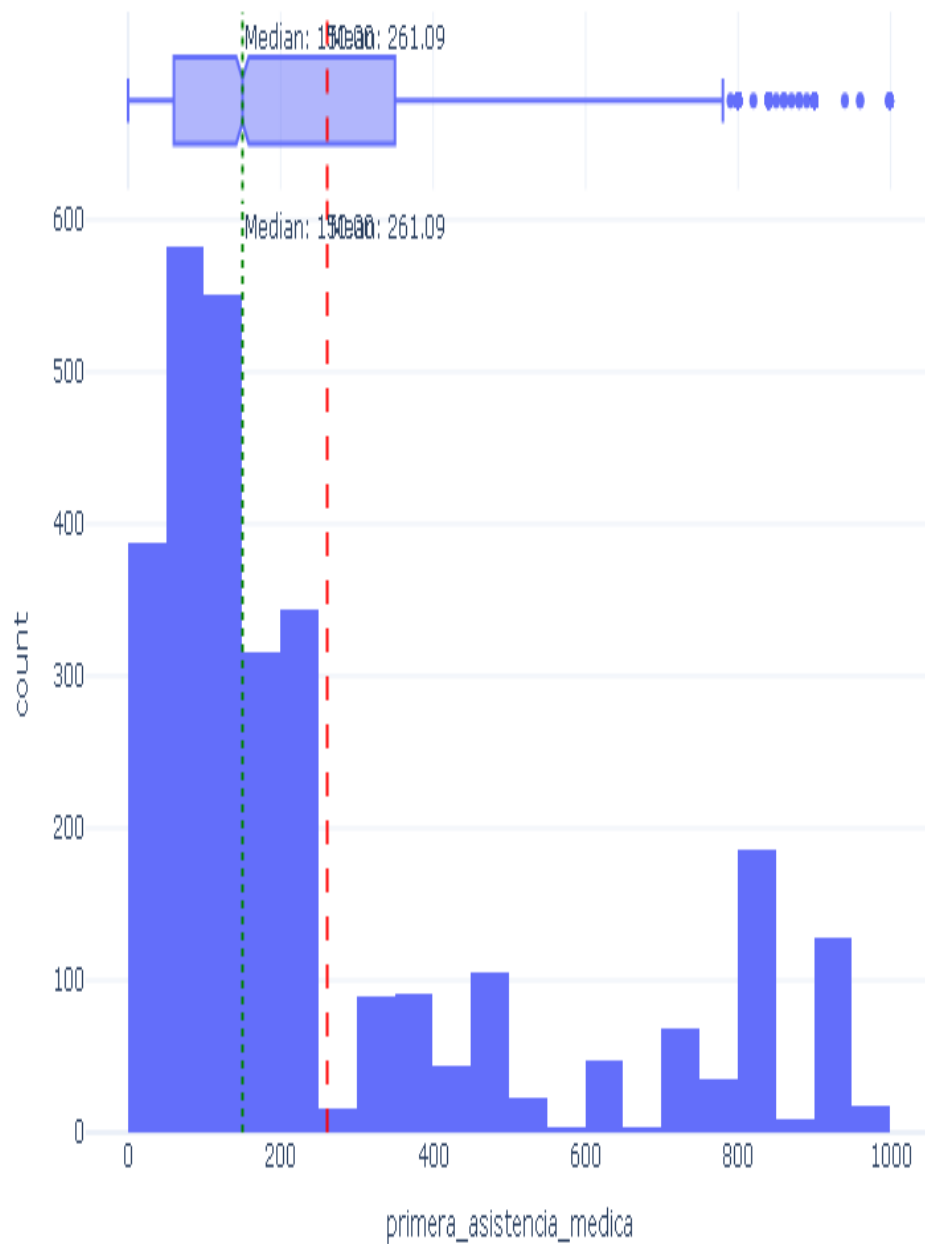


Figura: Distribución de `primera_asistencia_medica`

Boxplot of primera_asistencia_medica

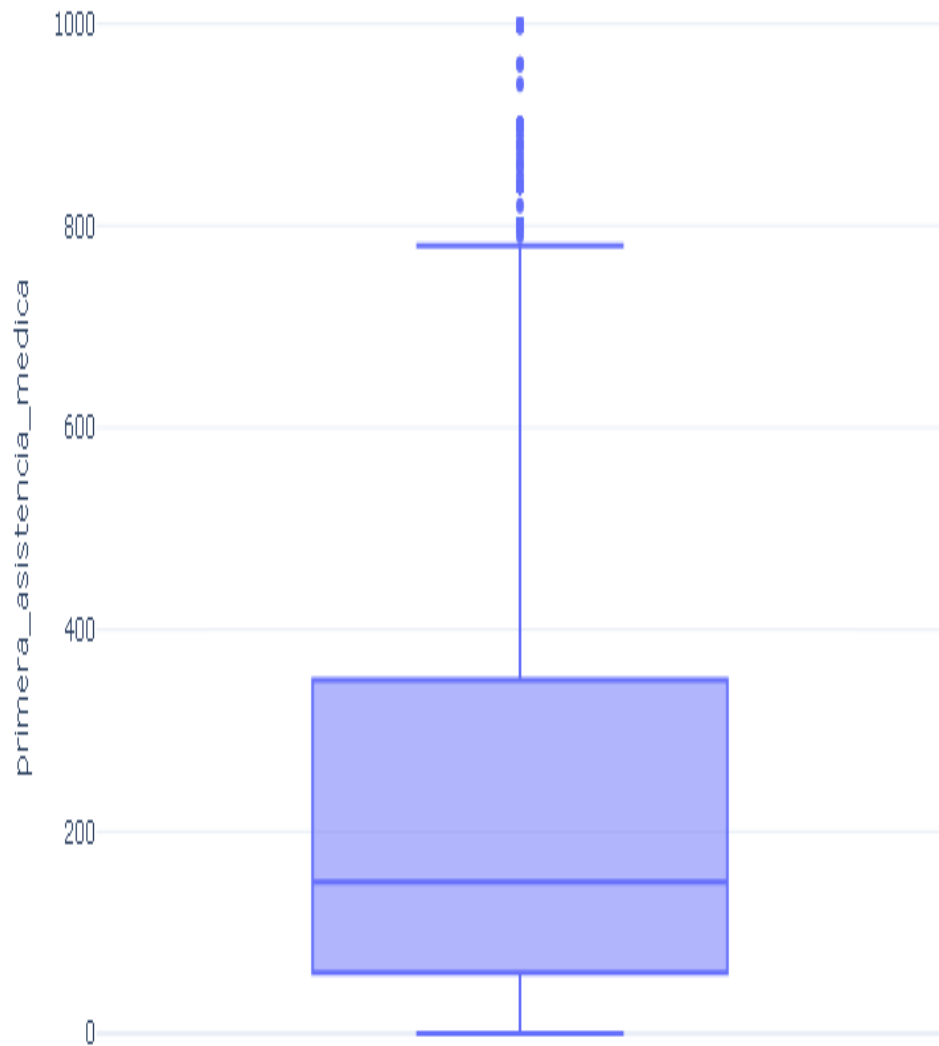


Figura: Boxplot de primera_asistencia_medica

Variable: idprovincia

Estadísticas Descriptivas

Estadística	Valor
Observaciones	3,112
Valores faltantes	0 (0.00%)
Media	26.9325
Mediana	28.0000
Desviación estándar	2.9025
Mínimo	21.0000
Q1 (25%)	23.0000
Q3 (75%)	28.0000
Máximo	35.0000
Asimetría	-0.0845
Curtosis	-1.0561

Test de Normalidad (Shapiro-Wilk)

Error al calcular test de normalidad: 'UnivariateStats' object has no attribute 'shapiro'

Detección de Outliers (Método IQR)

Métrica	Valor
Q1 (25%)	23.0000
Q3 (75%)	28.0000
IQR	5.0000
Límite inferior	15.5000
Límite superior	35.5000
Número de outliers	0 (0.00%)

Visualizaciones

Distribution of idprovincia

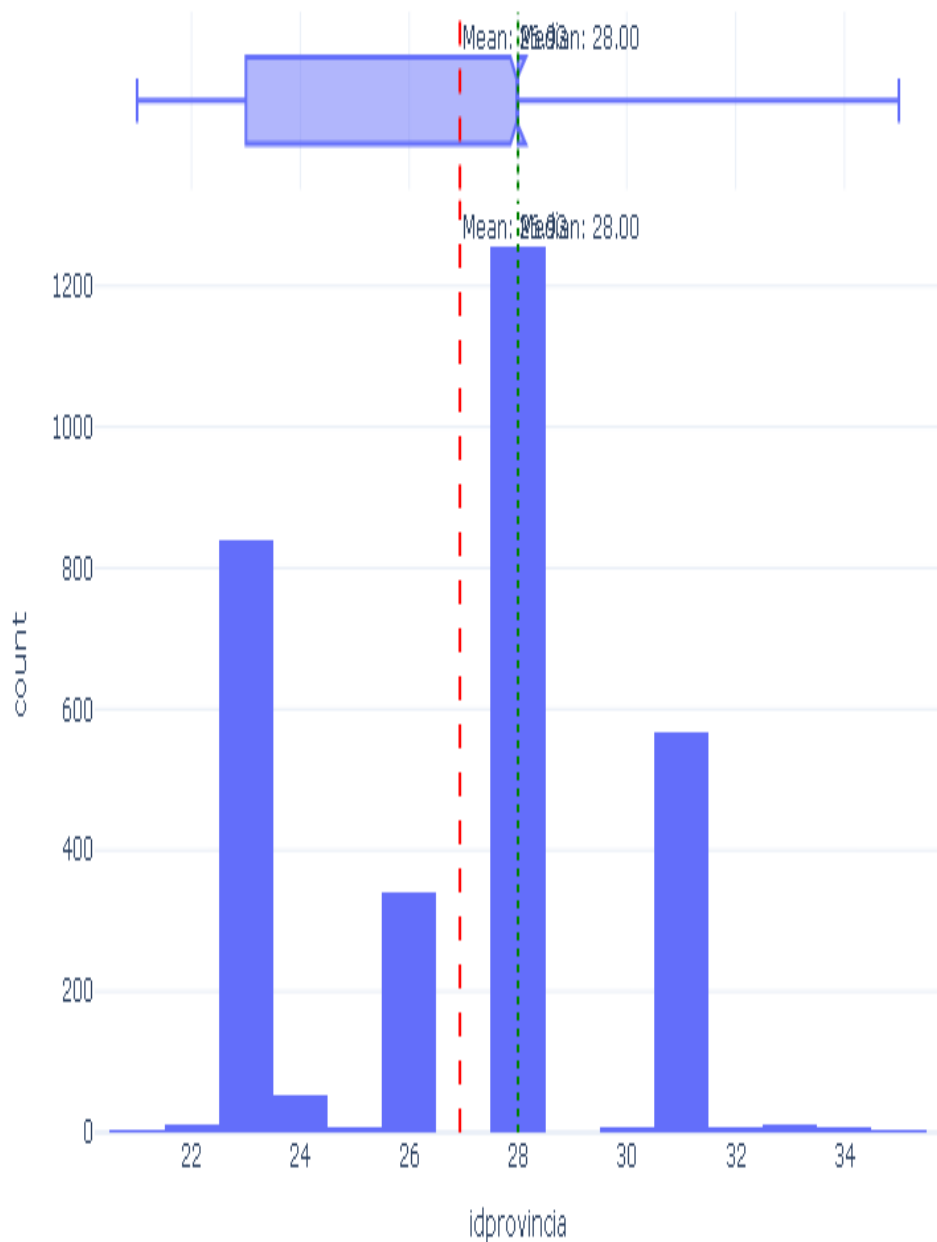


Figura: Distribución de *idprovincia*

Boxplot of idprovincia

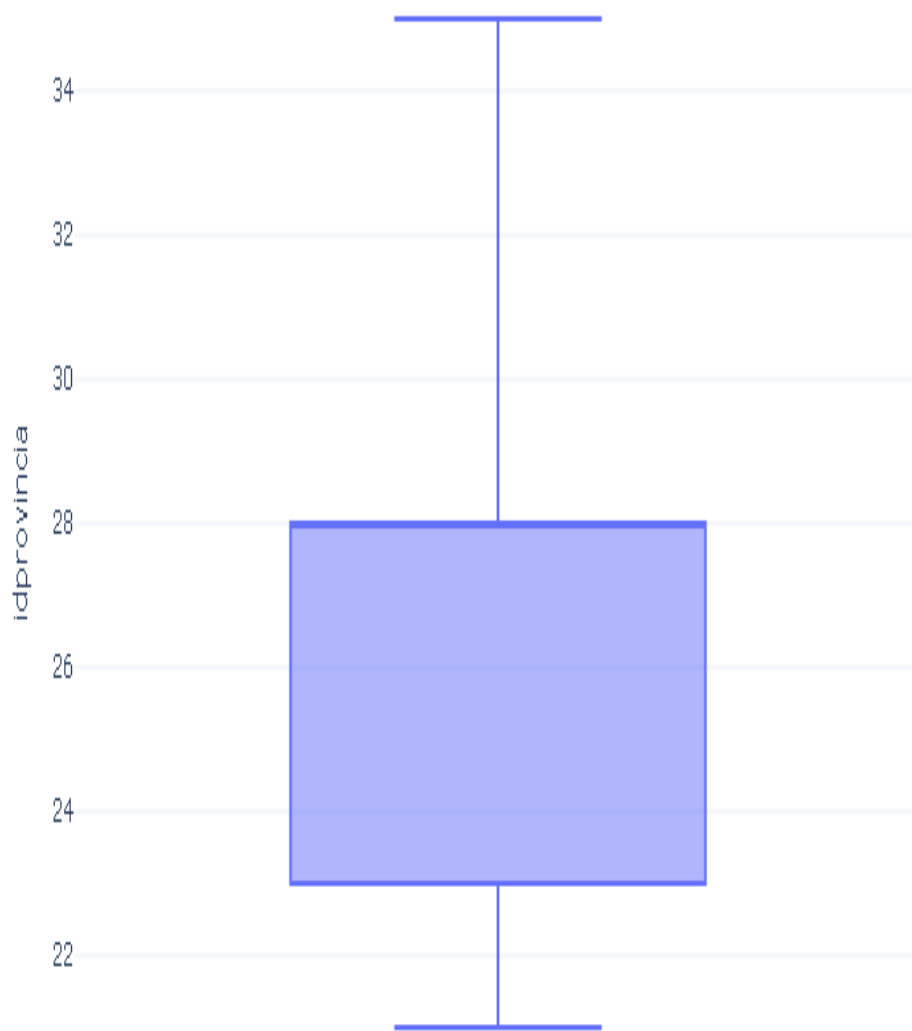


Figura: Boxplot de idprovincia

Variable: idprovincia.1

Estadísticas Descriptivas

Estadística	Valor
Observaciones	3,112
Valores faltantes	0 (0.00%)
Media	26.9325
Mediana	28.0000
Desviación estándar	2.9025
Mínimo	21.0000
Q1 (25%)	23.0000
Q3 (75%)	28.0000
Máximo	35.0000
Asimetría	-0.0845
Curtosis	-1.0561

Test de Normalidad (Shapiro-Wilk)

Error al calcular test de normalidad: 'UnivariateStats' object has no attribute 'shapiro'

Detección de Outliers (Método IQR)

Métrica	Valor
Q1 (25%)	23.0000
Q3 (75%)	28.0000
IQR	5.0000
Límite inferior	15.5000
Límite superior	35.5000
Número de outliers	0 (0.00%)

Visualizaciones

Distribution of idprovincia.1

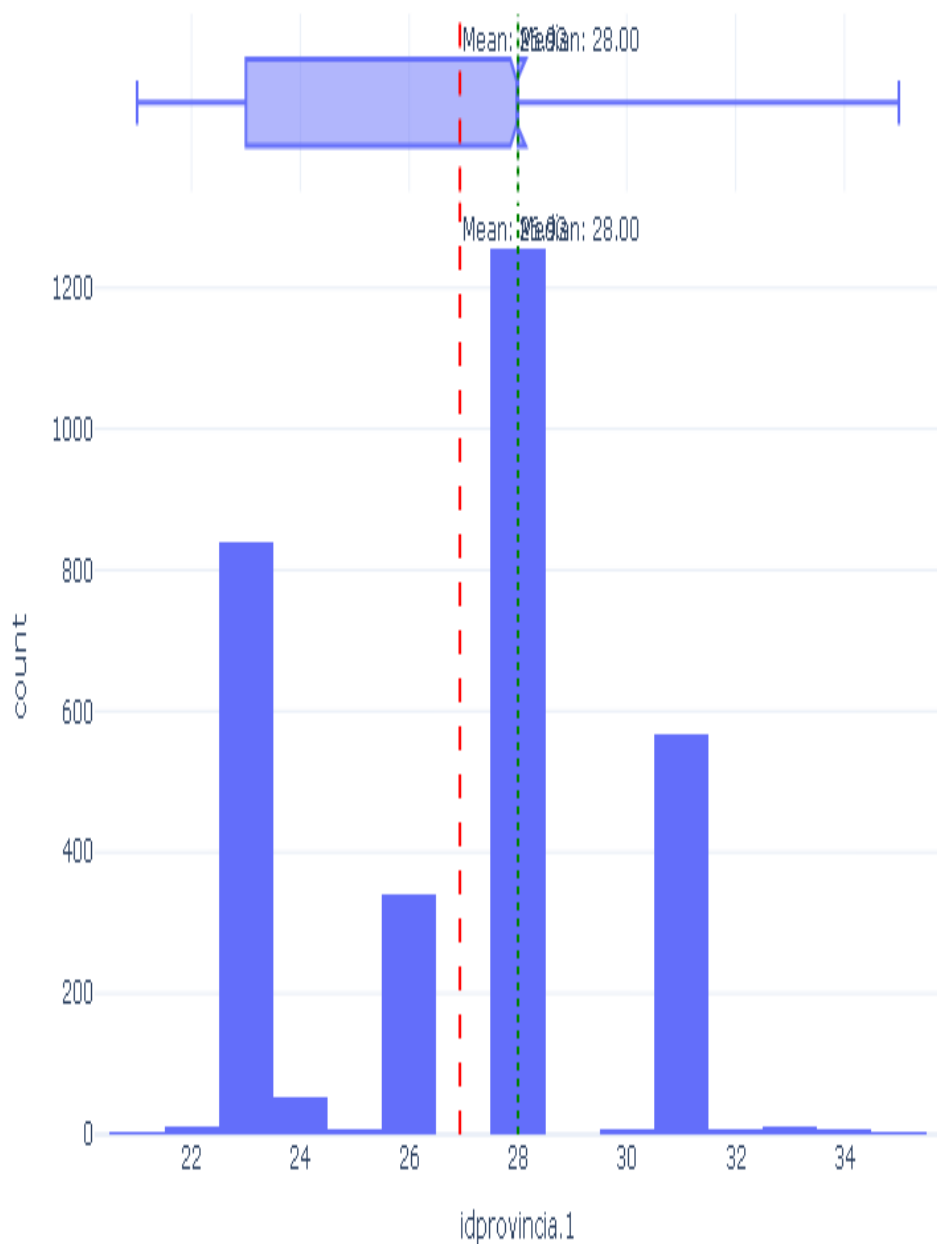


Figura: Distribución de `idprovincia.1`

Boxplot of idprovincia.1

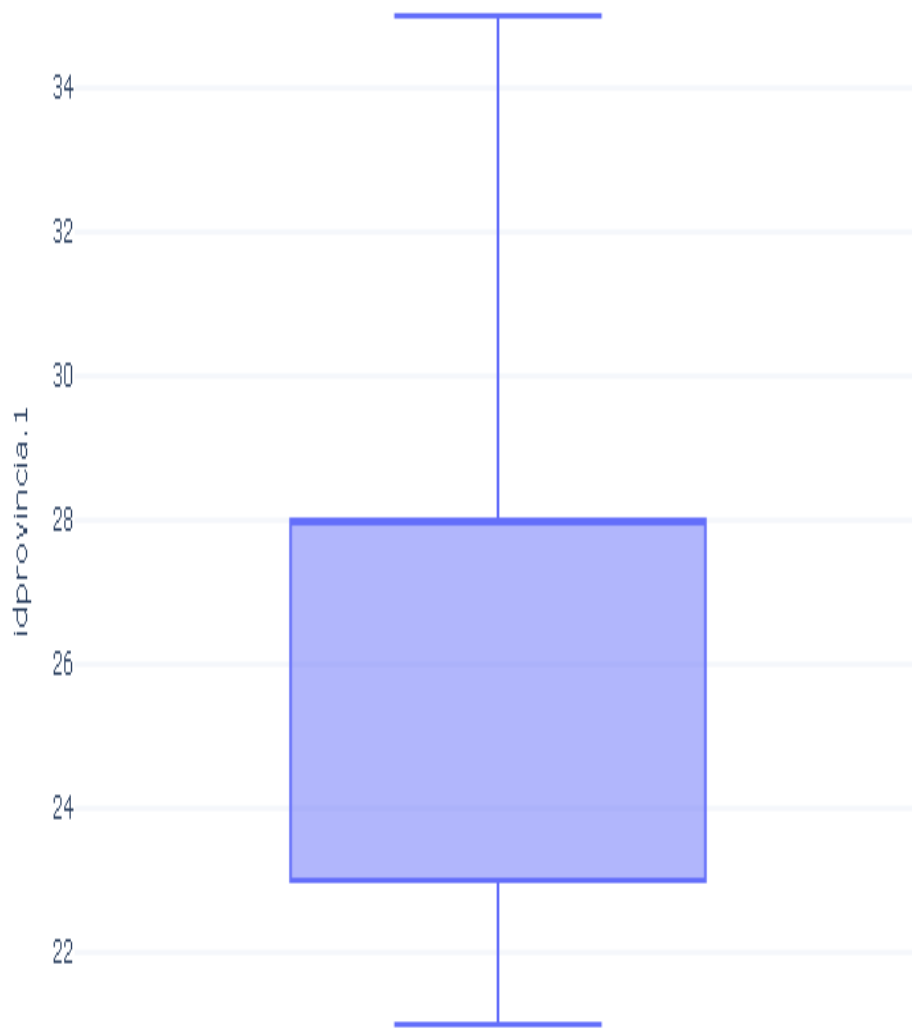


Figura: Boxplot de idprovincia.1

Variable: idmunicipio

Estadísticas Descriptivas

Estadística	Valor
Observaciones	3,112
Valores faltantes	0 (0.00%)
Media	7.0350
Mediana	7.0000
Desviación estándar	3.9524
Mínimo	1.0000
Q1 (25%)	4.0000
Q3 (75%)	10.0000
Máximo	15.0000
Asimetría	0.4737
Curtosis	-0.9501

Test de Normalidad (Shapiro-Wilk)

Error al calcular test de normalidad: 'UnivariateStats' object has no attribute 'shapiro'

Detección de Outliers (Método IQR)

Métrica	Valor
Q1 (25%)	4.0000
Q3 (75%)	10.0000
IQR	6.0000
Límite inferior	-5.0000
Límite superior	19.0000
Número de outliers	0 (0.00%)

Visualizaciones

Distribution of idmunicipio

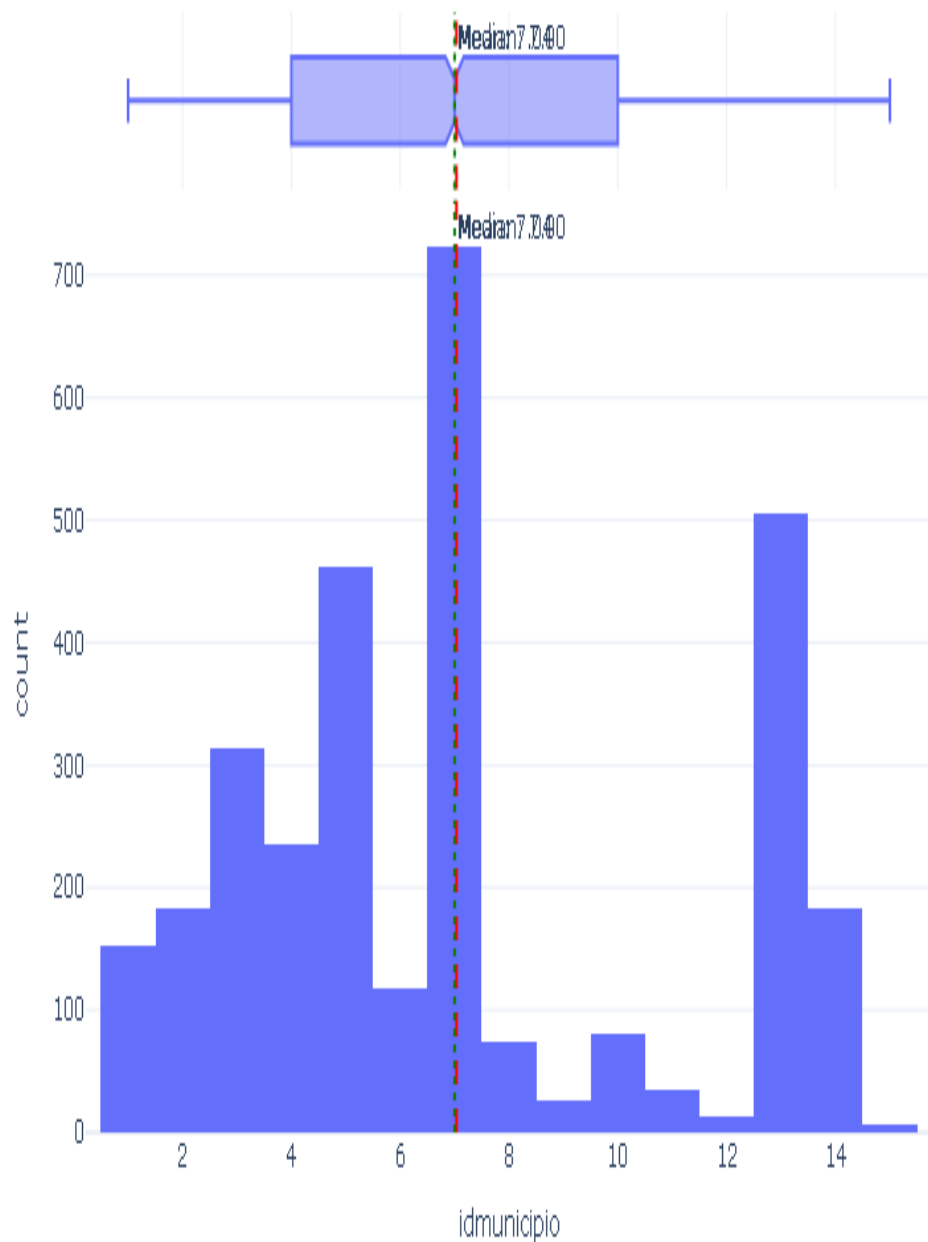


Figura: Distribución de `idmunicipio`

Boxplot of idmunicipio

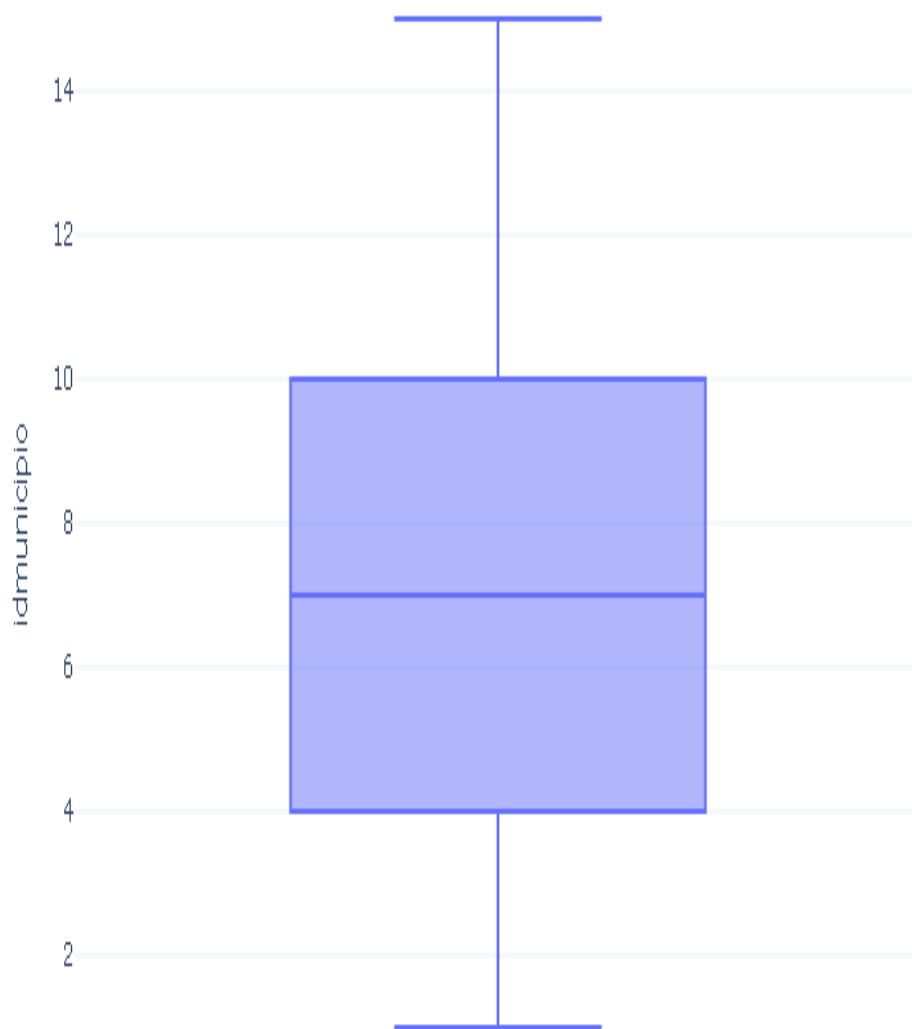


Figura: Boxplot de idmunicipio

Variable: idareasalud

Estadísticas Descriptivas

Estadística	Valor
Observaciones	1,238
Valores faltantes	1874 (60.22%)
Media	11.5630
Mediana	12.0000
Desviación estándar	4.5654
Mínimo	1.0000
Q1 (25%)	8.0000
Q3 (75%)	14.0000
Máximo	23.0000
Asimetría	-0.0560
Curtosis	-0.3136

Test de Normalidad (Shapiro-Wilk)

Error al calcular test de normalidad: 'UnivariateStats' object has no attribute 'shapiro'

Detección de Outliers (Método IQR)

Métrica	Valor
Q1 (25%)	8.0000
Q3 (75%)	14.0000
IQR	6.0000
Límite inferior	-1.0000
Límite superior	23.0000
Número de outliers	0 (0.00%)

Visualizaciones

Distribution of idareasalud

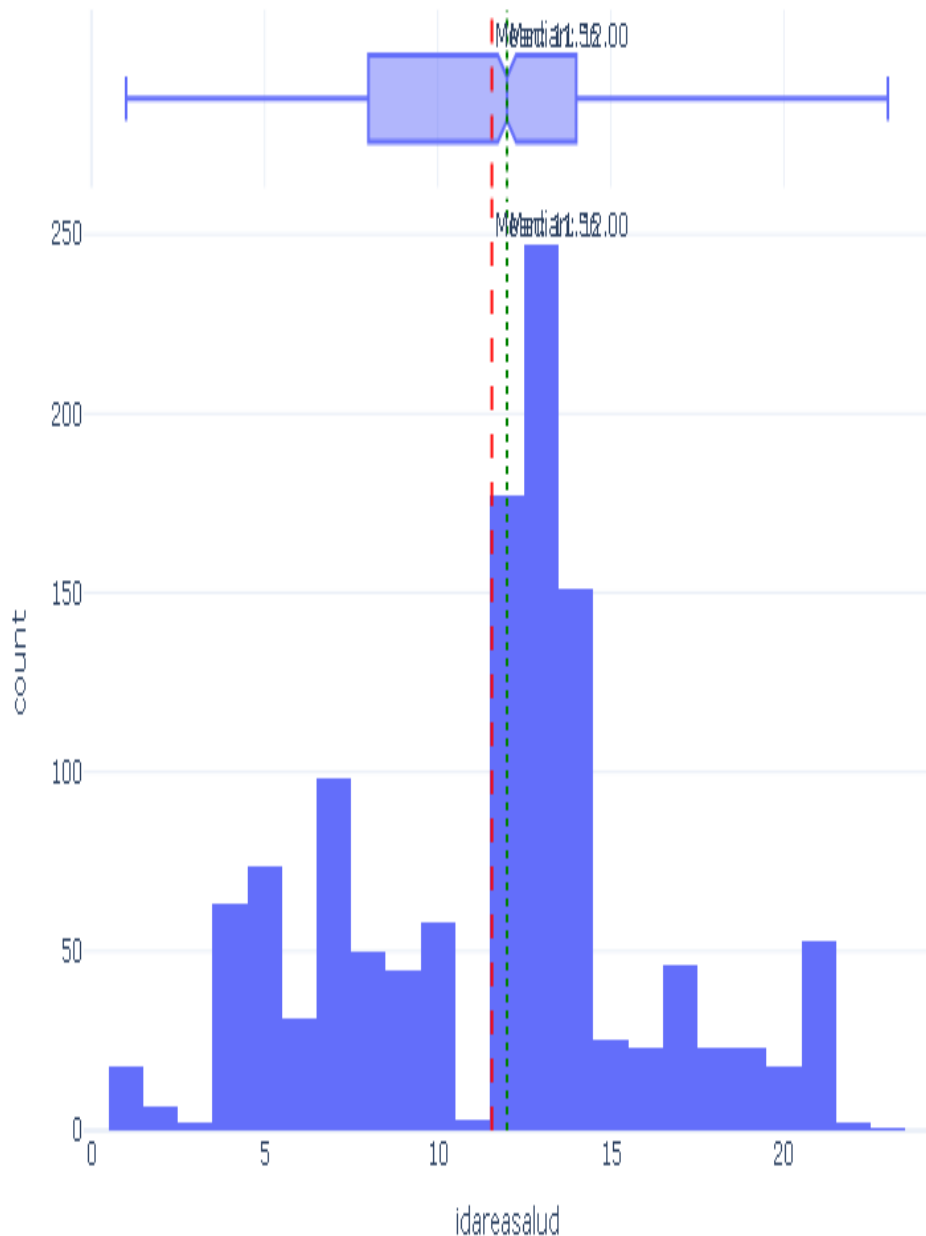


Figura: Distribución de `idareasalud`

Boxplot of idareasalud

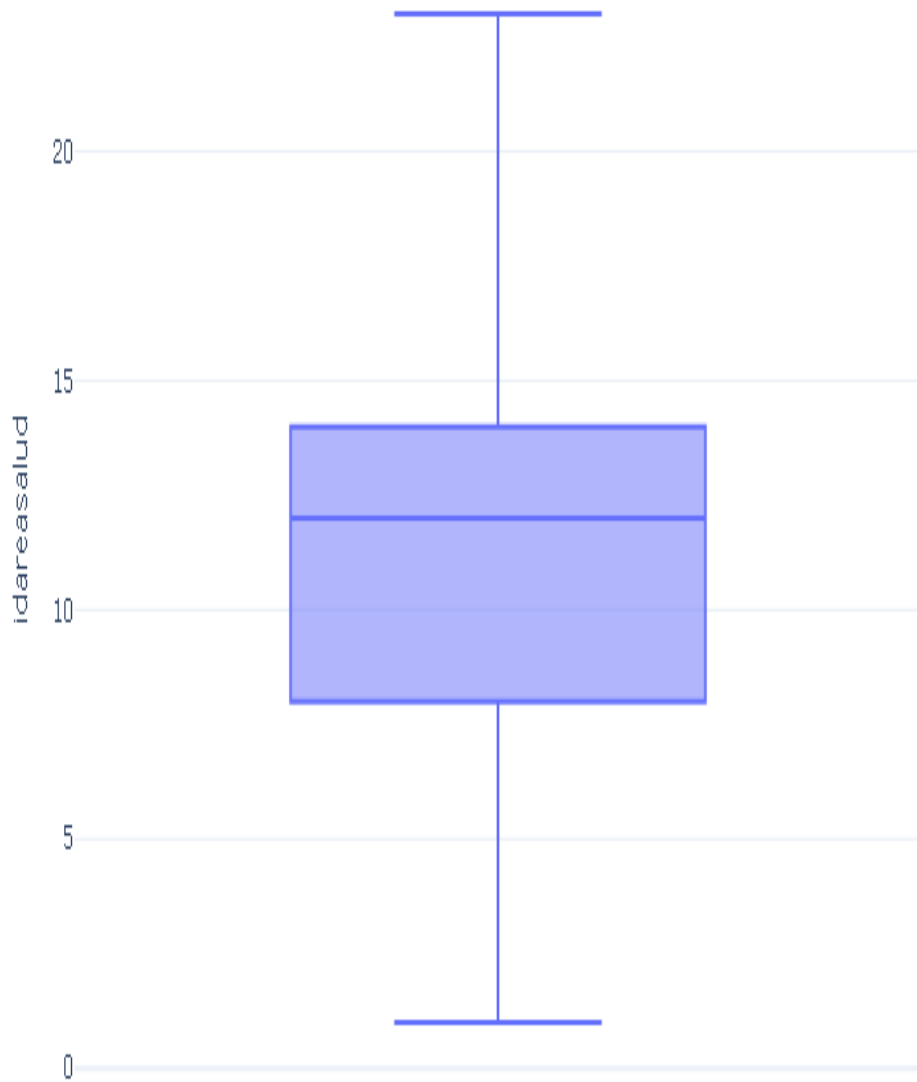


Figura: Boxplot de idareasalud

Variable: mortality_inhospital

Estadísticas Descriptivas

Estadística	Valor
Observaciones	3,112
Valores faltantes	0 (0.00%)
Media	0.0880
Mediana	N/A
Desviación estándar	0.2834
Mínimo	N/A
Q1 (25%)	N/A
Q3 (75%)	N/A
Máximo	1.0000
Asimetría	2.9090
Curtosis	6.4665

Test de Normalidad (Shapiro-Wilk)

Error al calcular test de normalidad: 'UnivariateStats' object has no attribute 'shapiro'

Detección de Outliers (Método IQR)

Métrica	Valor
Q1 (25%)	0.0000
Q3 (75%)	0.0000
IQR	0.0000
Límite inferior	0.0000
Límite superior	0.0000
Número de outliers	274 (8.80%)

Visualizaciones

Distribution of mortality_inhospital

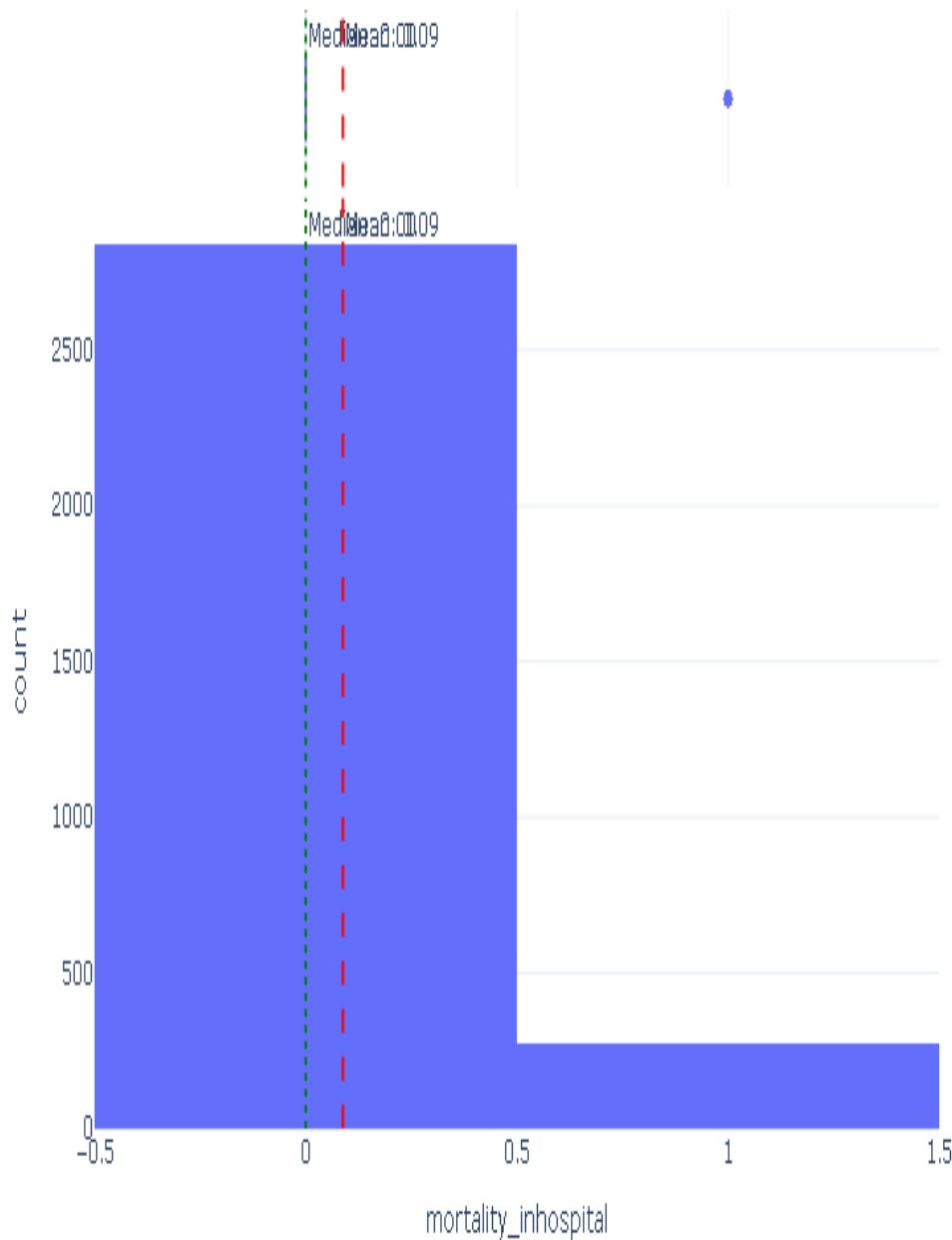


Figura: Distribución de `mortality_inhospital`

Boxplot of mortality_inhospital

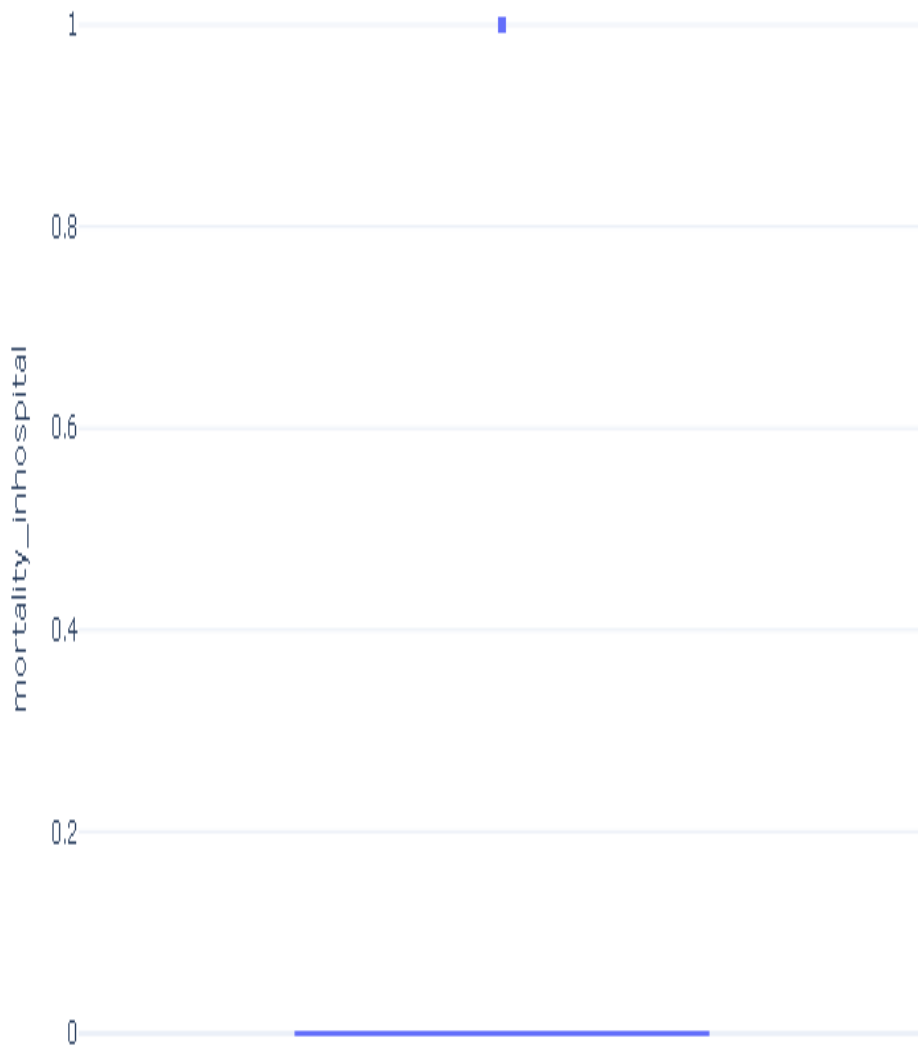


Figura: Boxplot de mortality_inhospital

Variable: comp_fv

Estadísticas Descriptivas

Estadística	Valor
Observaciones	3,112
Valores faltantes	0 (0.00%)
Media	0.0479
Mediana	N/A
Desviación estándar	0.2135
Mínimo	N/A
Q1 (25%)	N/A
Q3 (75%)	N/A
Máximo	1.0000
Asimetría	4.2372
Curtosis	15.9638

Test de Normalidad (Shapiro-Wilk)

Error al calcular test de normalidad: 'UnivariateStats' object has no attribute 'shapiro'

Detección de Outliers (Método IQR)

Métrica	Valor
Q1 (25%)	0.0000
Q3 (75%)	0.0000
IQR	0.0000
Límite inferior	0.0000
Límite superior	0.0000
Número de outliers	149 (4.79%)

Visualizaciones

Distribution of comp_fv

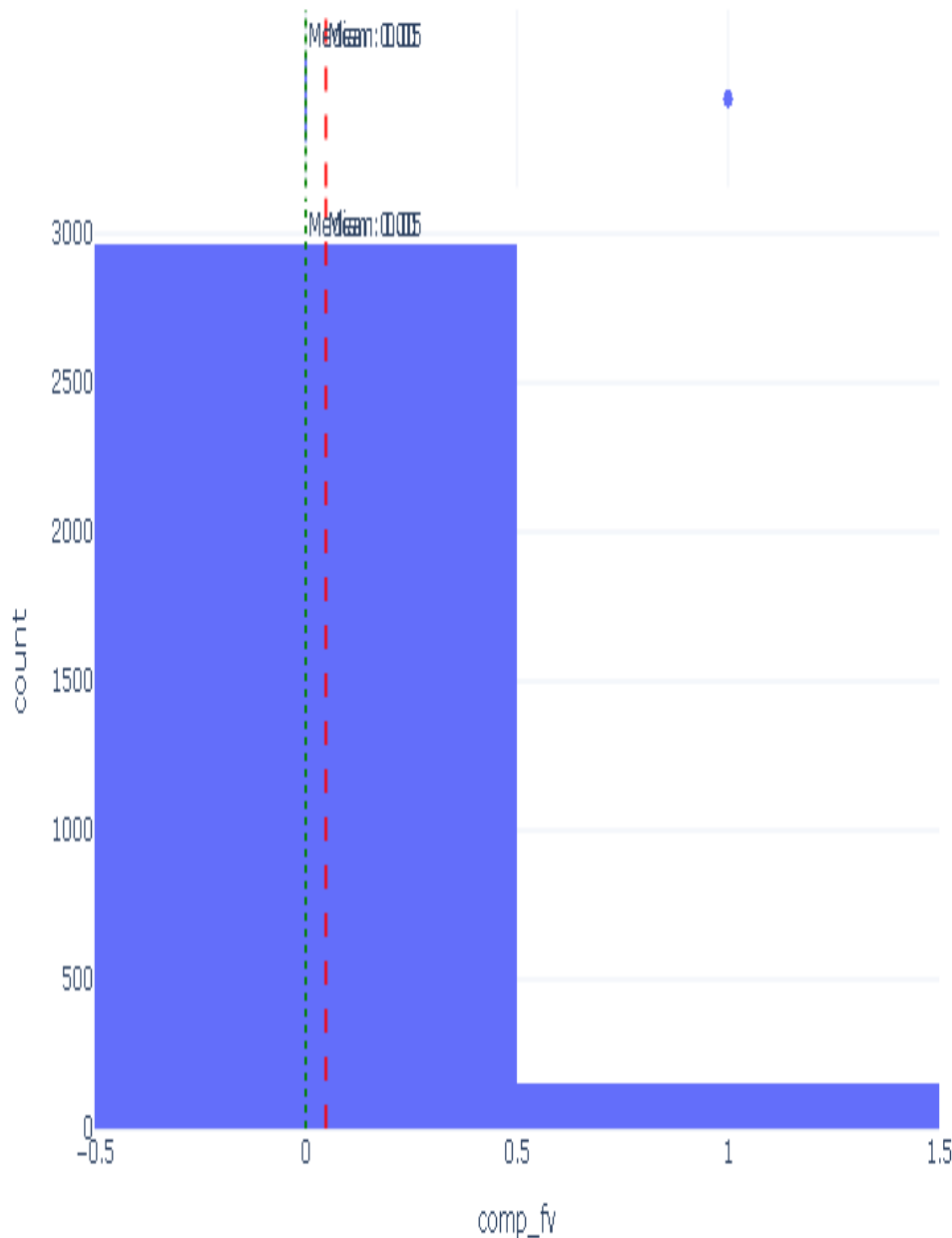


Figura: Distribución de `comp_fv`

Boxplot of comp_fv

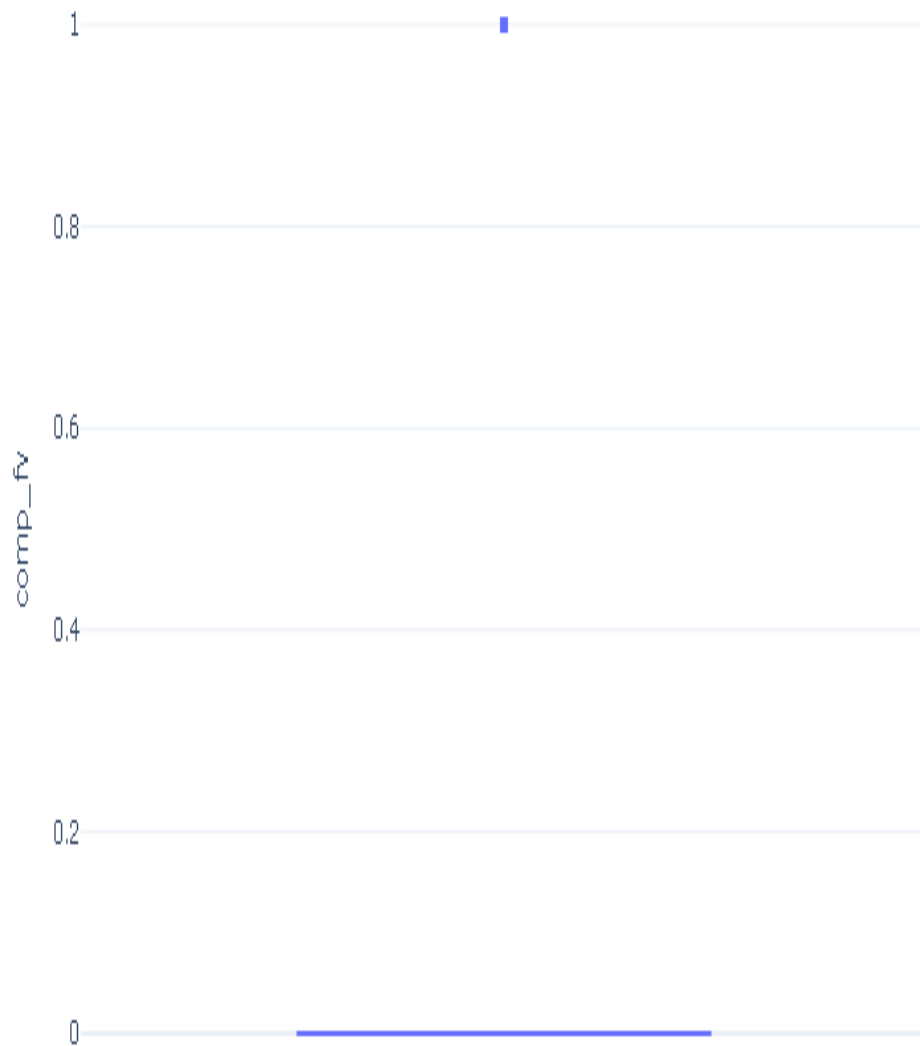


Figura: Boxplot de comp_fv

Variable: comp_tv

Estadísticas Descriptivas

Estadística	Valor
Observaciones	3,112
Valores faltantes	0 (0.00%)
Media	0.0495
Mediana	N/A
Desviación estándar	0.2169
Mínimo	N/A
Q1 (25%)	N/A
Q3 (75%)	N/A
Máximo	1.0000
Asimetría	4.1565
Curtosis	15.2863

Test de Normalidad (Shapiro-Wilk)

Error al calcular test de normalidad: 'UnivariateStats' object has no attribute 'shapiro'

Detección de Outliers (Método IQR)

Métrica	Valor
Q1 (25%)	0.0000
Q3 (75%)	0.0000
IQR	0.0000
Límite inferior	0.0000
Límite superior	0.0000
Número de outliers	154 (4.95%)

Visualizaciones

Distribution of comp_tv

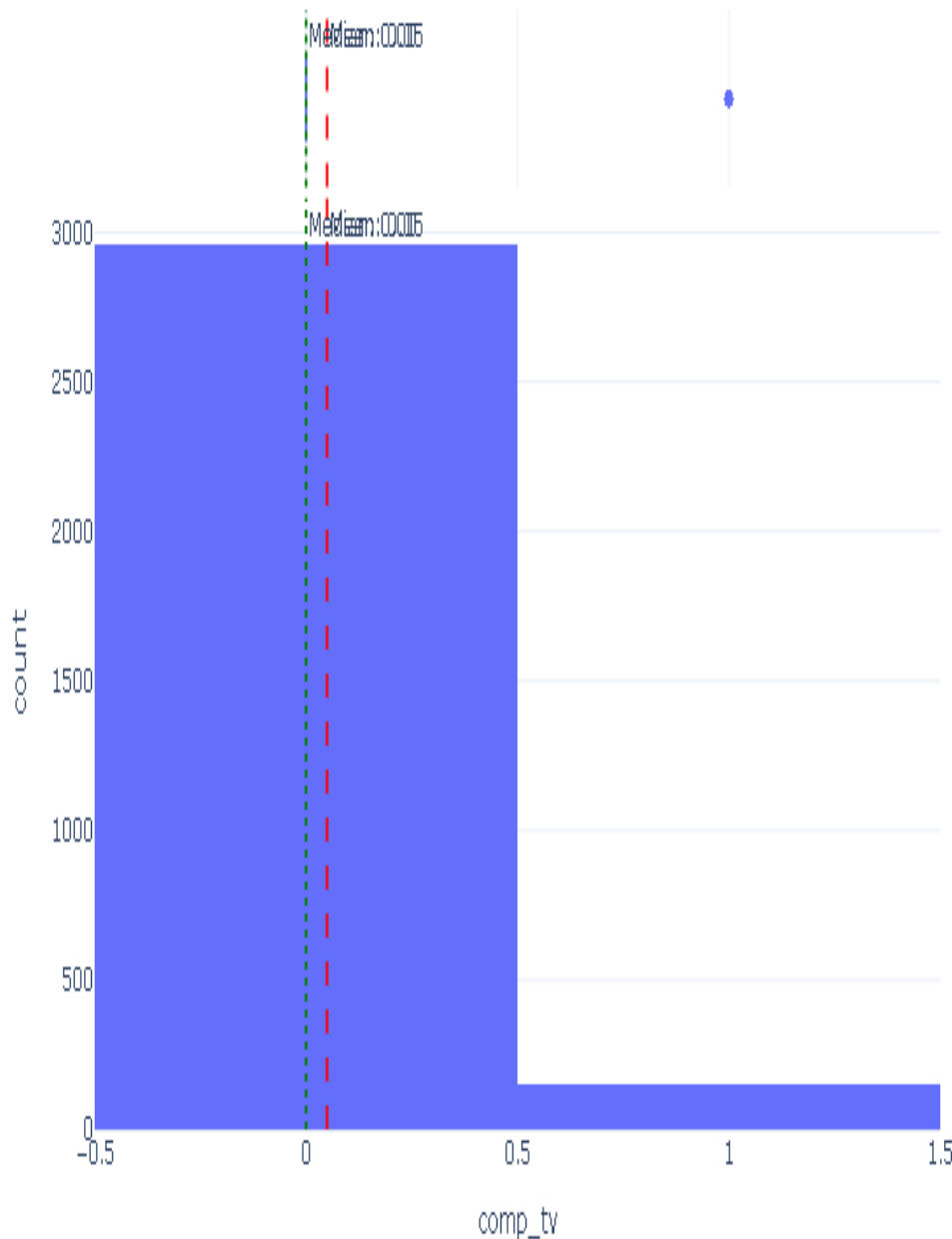


Figura: Distribución de `comp_tv`

Boxplot of comp_tv

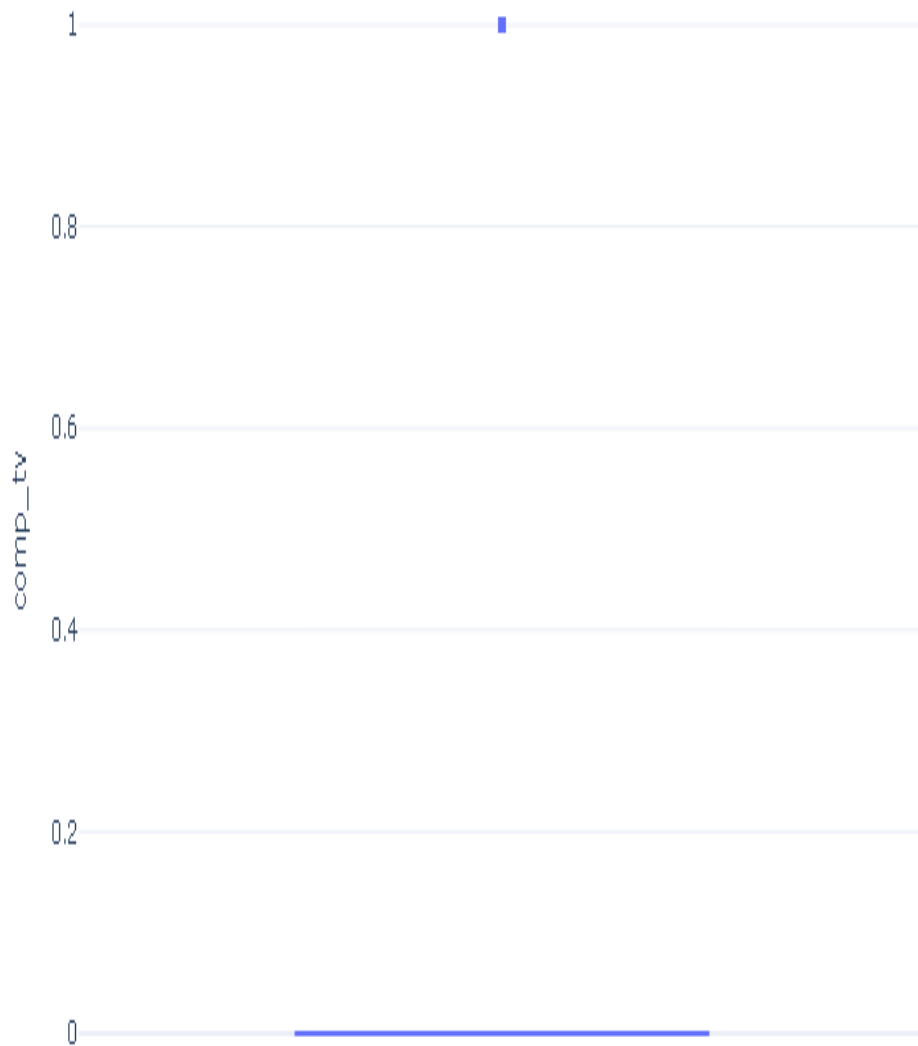


Figura: Boxplot de comp_tv

Variable: comp_fv_tv

Estadísticas Descriptivas

Estadística	Valor
Observaciones	3,112
Valores faltantes	0 (0.00%)
Media	0.0697
Mediana	N/A
Desviación estándar	0.2547
Mínimo	N/A
Q1 (25%)	N/A
Q3 (75%)	N/A
Máximo	1.0000
Asimetría	3.3804
Curtosis	9.4330

Test de Normalidad (Shapiro-Wilk)

Error al calcular test de normalidad: 'UnivariateStats' object has no attribute 'shapiro'

Detección de Outliers (Método IQR)

Métrica	Valor
Q1 (25%)	0.0000
Q3 (75%)	0.0000
IQR	0.0000
Límite inferior	0.0000
Límite superior	0.0000
Número de outliers	217 (6.97%)

Visualizaciones

Distribution of comp_fv_tv

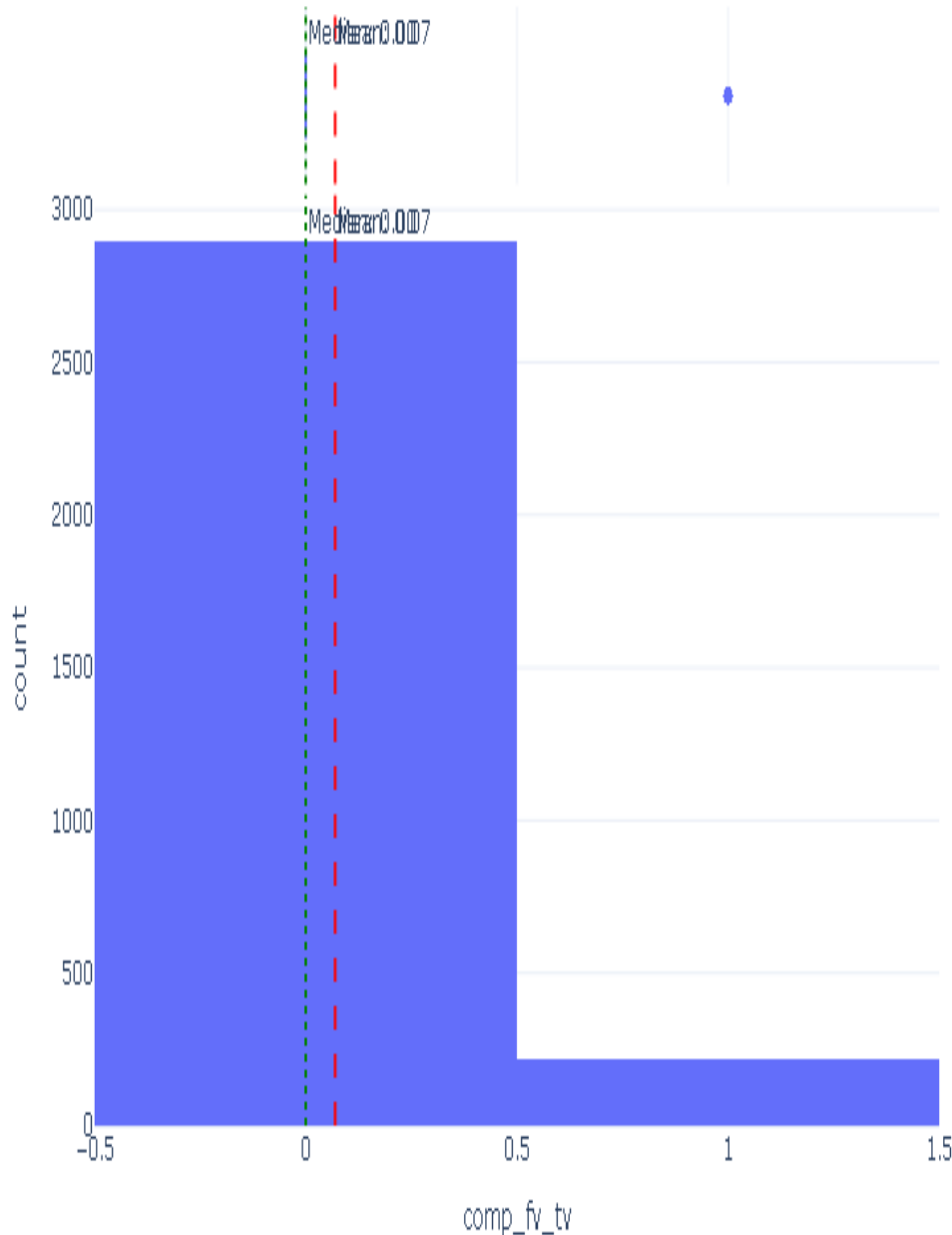


Figura: Distribución de `comp_fv_tv`

Boxplot of comp_fv_tv



Figura: Boxplot de comp_fv_tv

Variable: comp_bav_alto_grado

Estadísticas Descriptivas

Estadística	Valor
Observaciones	3,112
Valores faltantes	0 (0.00%)
Media	0.0498
Mediana	N/A
Desviación estándar	0.2176
Mínimo	N/A
Q1 (25%)	N/A
Q3 (75%)	N/A
Máximo	1.0000
Asimetría	4.1408
Curtosis	15.1561

Test de Normalidad (Shapiro-Wilk)

Error al calcular test de normalidad: 'UnivariateStats' object has no attribute 'shapiro'

Detección de Outliers (Método IQR)

Métrica	Valor
Q1 (25%)	0.0000
Q3 (75%)	0.0000
IQR	0.0000
Límite inferior	0.0000
Límite superior	0.0000
Número de outliers	155 (4.98%)

Visualizaciones

Distribution of comp_bav_alto_grado

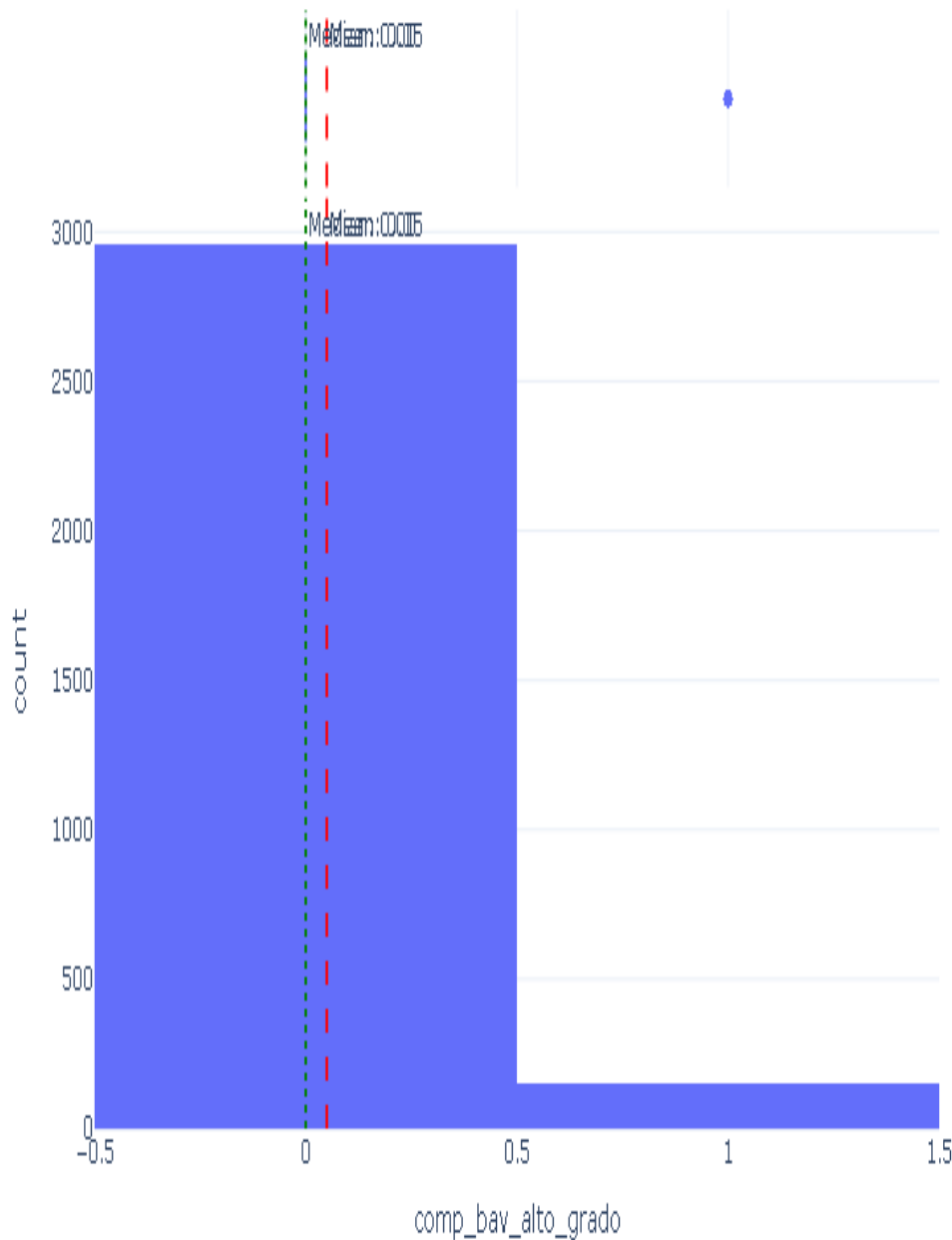


Figura: Distribución de comp_bav_alto_grado

Boxplot of comp_bav_alto_grado

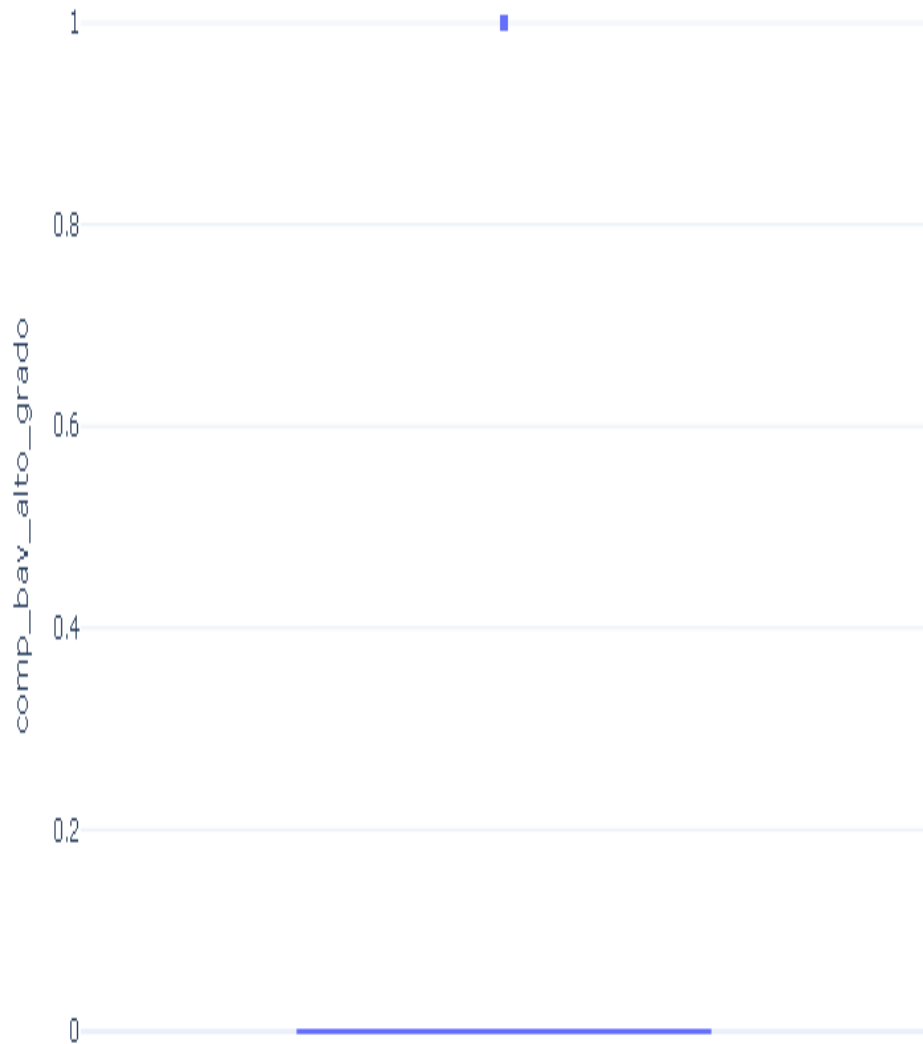


Figura: Boxplot de `comp_bav_alto_grado`

Variable: comp_bav_bajo_grado

Estadísticas Descriptivas

Estadística	Valor
Observaciones	3,112
Valores faltantes	0 (0.00%)
Media	0.0112
Mediana	N/A
Desviación estándar	0.1055
Mínimo	N/A
Q1 (25%)	N/A
Q3 (75%)	N/A
Máximo	1.0000
Asimetría	9.2741
Curtosis	84.0626

Test de Normalidad (Shapiro-Wilk)

Error al calcular test de normalidad: 'UnivariateStats' object has no attribute 'shapiro'

Detección de Outliers (Método IQR)

Métrica	Valor
Q1 (25%)	0.0000
Q3 (75%)	0.0000
IQR	0.0000
Límite inferior	0.0000
Límite superior	0.0000
Número de outliers	35 (1.12%)

Visualizaciones

Distribution of comp_bav_bajo_grado

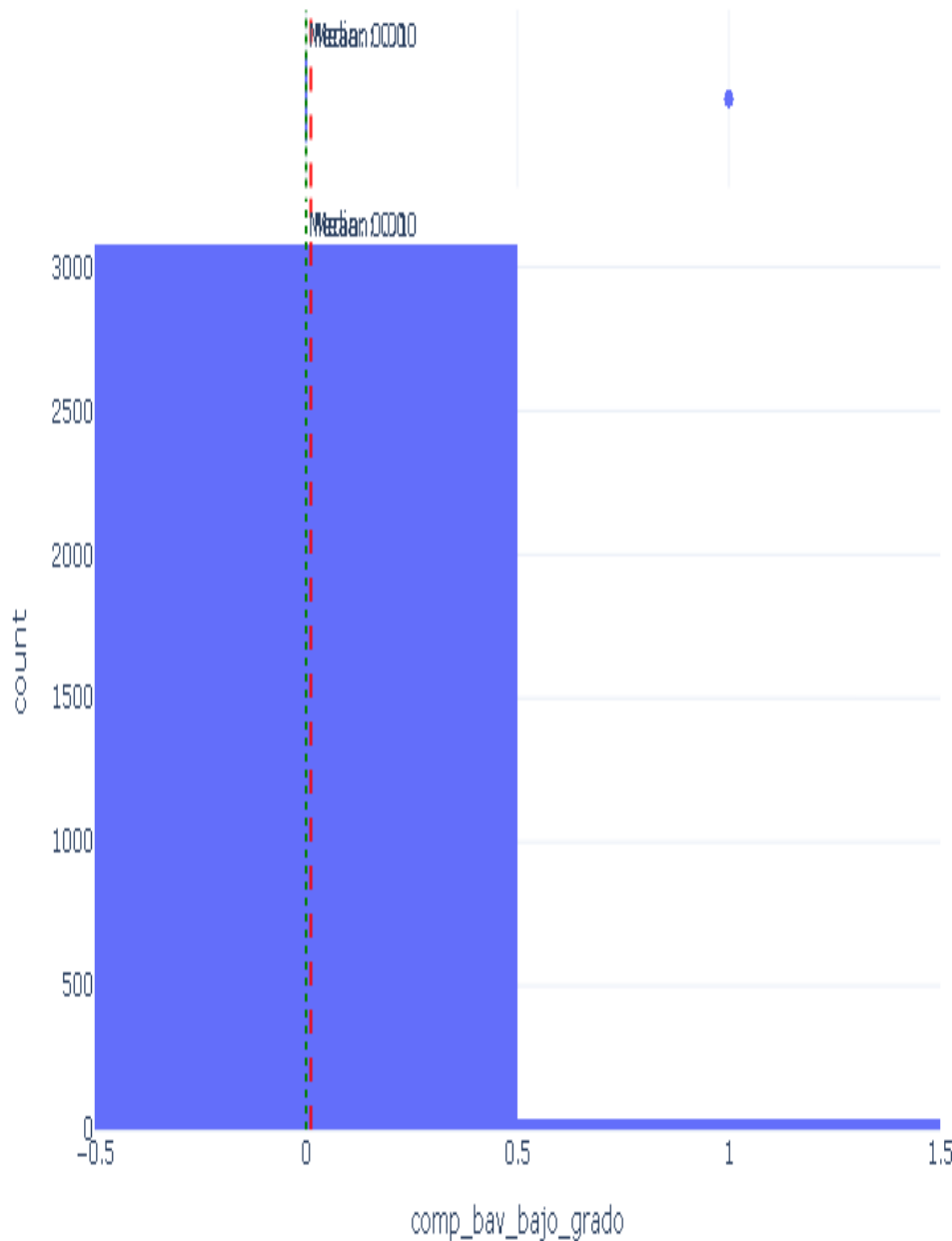


Figura: Distribución de comp_bav_bajo_grado

Boxplot of comp_bav_bajo_grado

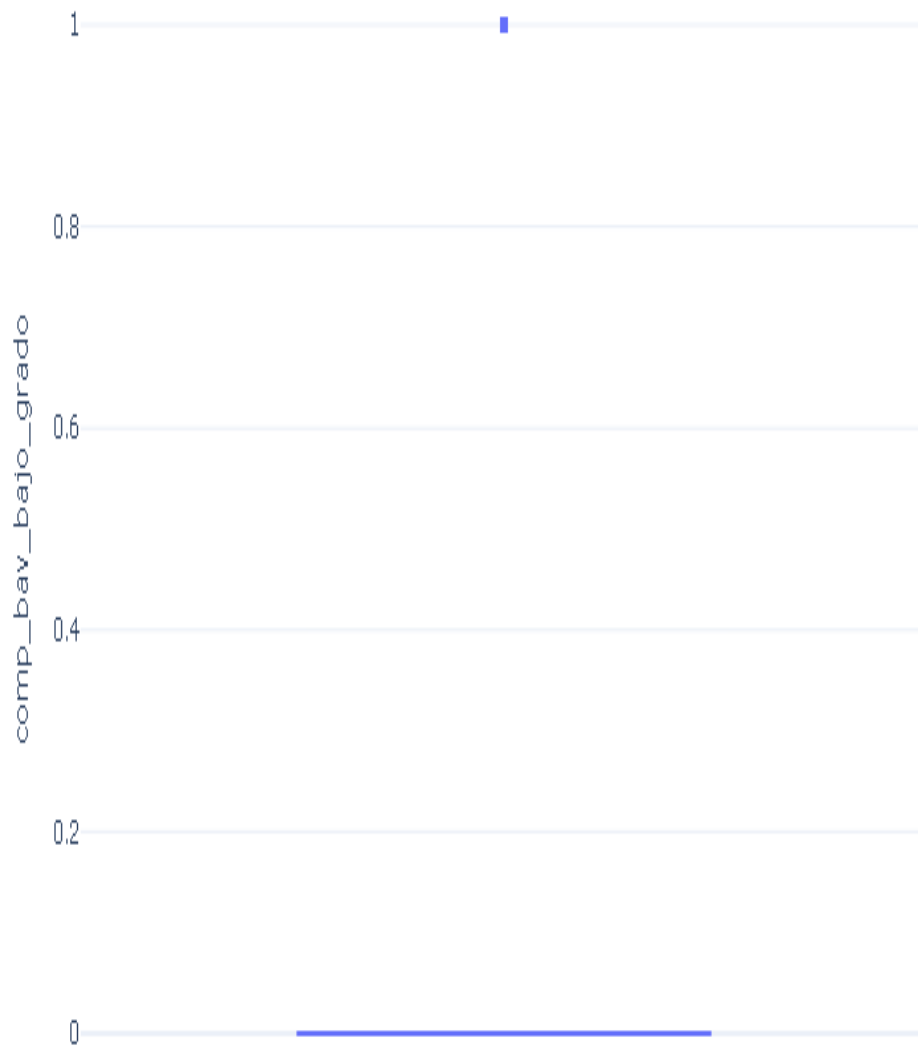


Figura: Boxplot de `comp_bav_bajo_grado`

Variable: comp_shock

Estadísticas Descriptivas

Estadística	Valor
Observaciones	3,112
Valores faltantes	0 (0.00%)
Media	0.1041
Mediana	N/A
Desviación estándar	0.3055
Mínimo	N/A
Q1 (25%)	N/A
Q3 (75%)	N/A
Máximo	1.0000
Asimetría	2.5938
Curtosis	4.7307

Test de Normalidad (Shapiro-Wilk)

Error al calcular test de normalidad: 'UnivariateStats' object has no attribute 'shapiro'

Detección de Outliers (Método IQR)

Métrica	Valor
Q1 (25%)	0.0000
Q3 (75%)	0.0000
IQR	0.0000
Límite inferior	0.0000
Límite superior	0.0000
Número de outliers	324 (10.41%)

Visualizaciones

Distribution of comp_shock

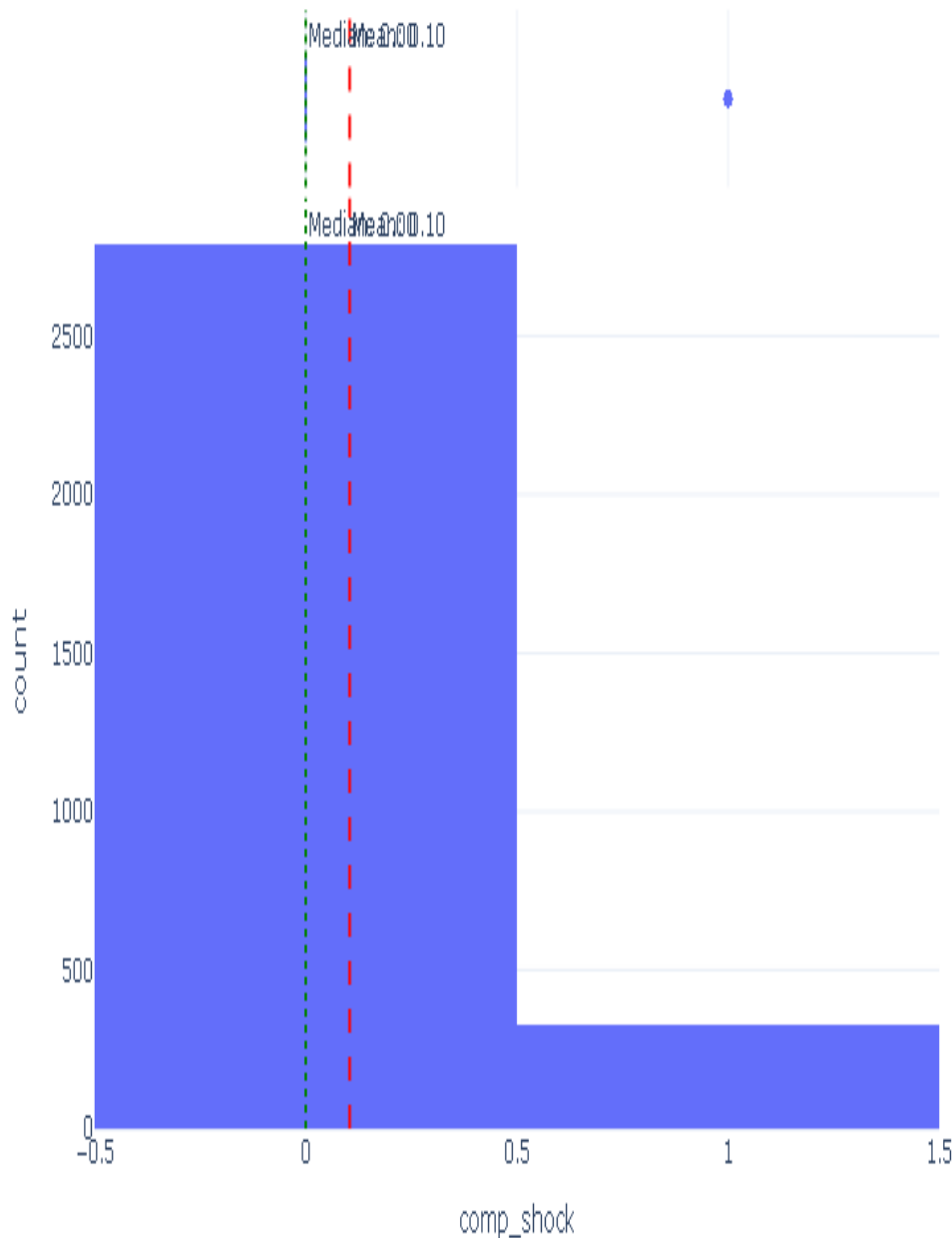


Figura: Distribución de `comp_shock`

Boxplot of comp_shock

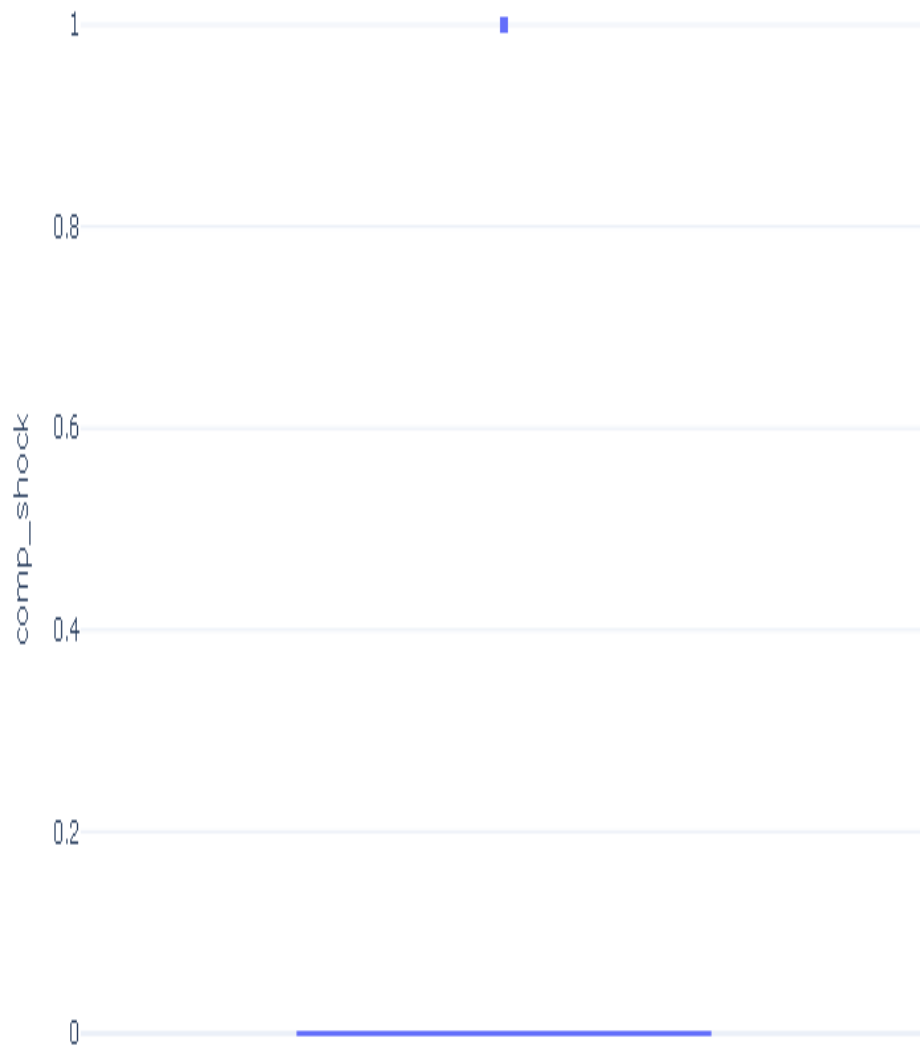


Figura: Boxplot de comp_shock

Variable: comp_ic

Estadísticas Descriptivas

Estadística	Valor
Observaciones	3,112
Valores faltantes	0 (0.00%)
Media	0.1976
Mediana	N/A
Desviación estándar	0.3983
Mínimo	N/A
Q1 (25%)	N/A
Q3 (75%)	N/A
Máximo	1.0000
Asimetría	1.5194
Curtosis	0.3089

Test de Normalidad (Shapiro-Wilk)

Error al calcular test de normalidad: 'UnivariateStats' object has no attribute 'shapiro'

Detección de Outliers (Método IQR)

Métrica	Valor
Q1 (25%)	0.0000
Q3 (75%)	0.0000
IQR	0.0000
Límite inferior	0.0000
Límite superior	0.0000
Número de outliers	615 (19.76%)

Visualizaciones

Distribution of comp_ic

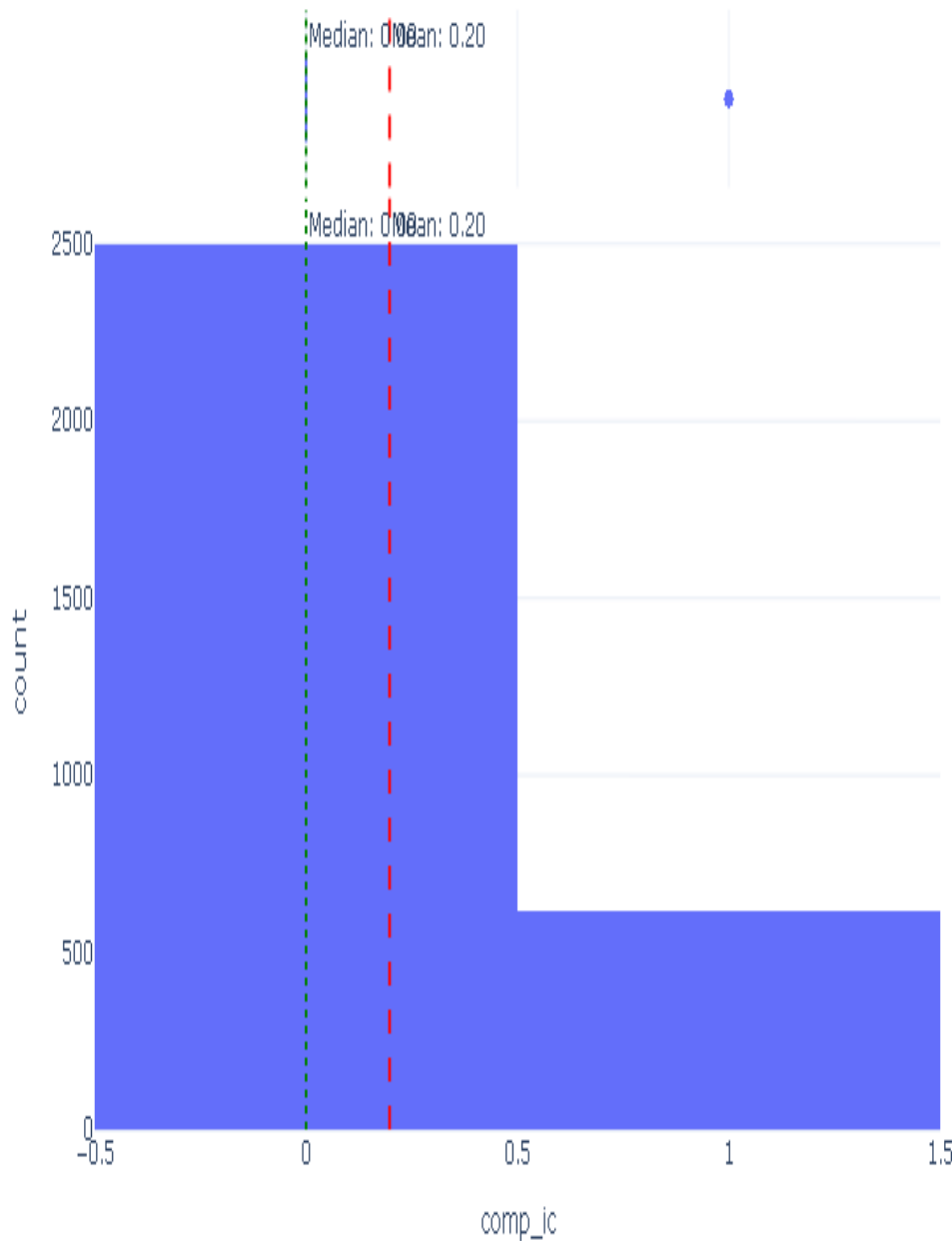


Figura: Distribución de `comp_ic`

Boxplot of comp_ic



Figura: Boxplot de comp_ic

Variable: comp_pcr

Estadísticas Descriptivas

Estadística	Valor
Observaciones	3,112
Valores faltantes	0 (0.00%)
Media	0.0755
Mediana	N/A
Desviación estándar	0.2643
Mínimo	N/A
Q1 (25%)	N/A
Q3 (75%)	N/A
Máximo	1.0000
Asimetría	3.2147
Curtosis	8.3396

Test de Normalidad (Shapiro-Wilk)

Error al calcular test de normalidad: 'UnivariateStats' object has no attribute 'shapiro'

Detección de Outliers (Método IQR)

Métrica	Valor
Q1 (25%)	0.0000
Q3 (75%)	0.0000
IQR	0.0000
Límite inferior	0.0000
Límite superior	0.0000
Número de outliers	235 (7.55%)

Visualizaciones

Distribution of comp_pcr

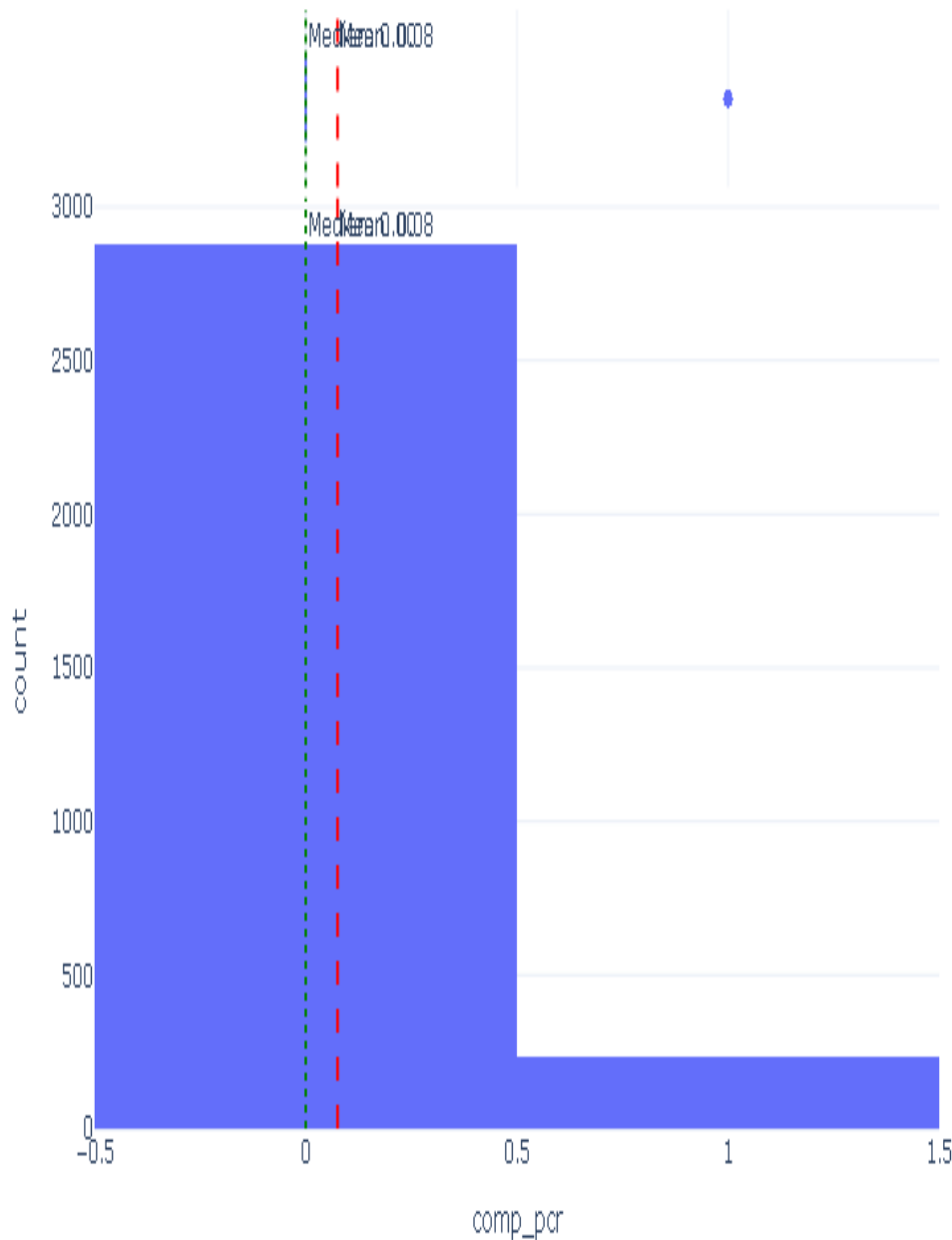


Figura: Distribución de `comp_pcr`

Boxplot of comp_pcr

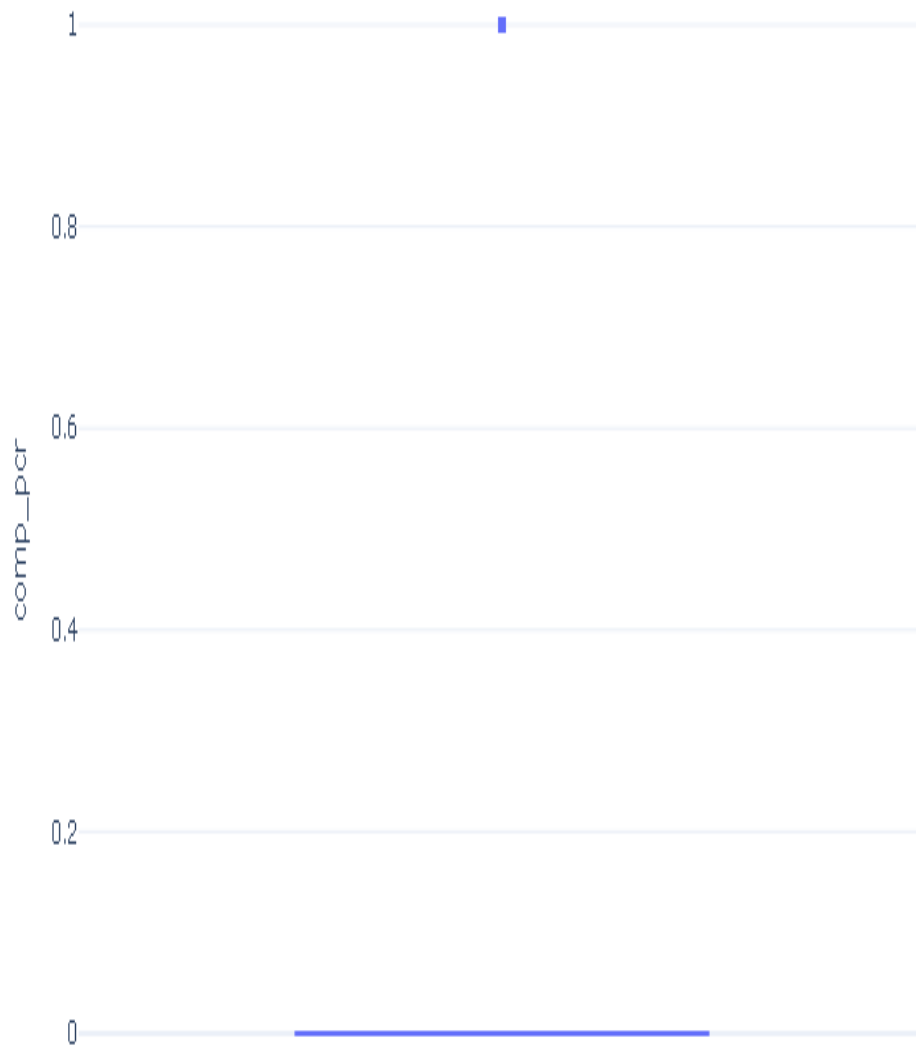


Figura: Boxplot de comp_pcr

Variable: comp_otras_arritmias

Estadísticas Descriptivas

Estadística	Valor
Observaciones	3,112
Valores faltantes	0 (0.00%)
Media	0.0733
Mediana	N/A
Desviación estándar	0.2606
Mínimo	N/A
Q1 (25%)	N/A
Q3 (75%)	N/A
Máximo	1.0000
Asimetría	3.2770
Curtosis	8.7441

Test de Normalidad (Shapiro-Wilk)

Error al calcular test de normalidad: 'UnivariateStats' object has no attribute 'shapiro'

Detección de Outliers (Método IQR)

Métrica	Valor
Q1 (25%)	0.0000
Q3 (75%)	0.0000
IQR	0.0000
Límite inferior	0.0000
Límite superior	0.0000
Número de outliers	228 (7.33%)

Visualizaciones

Distribution of comp_otras_arritmias

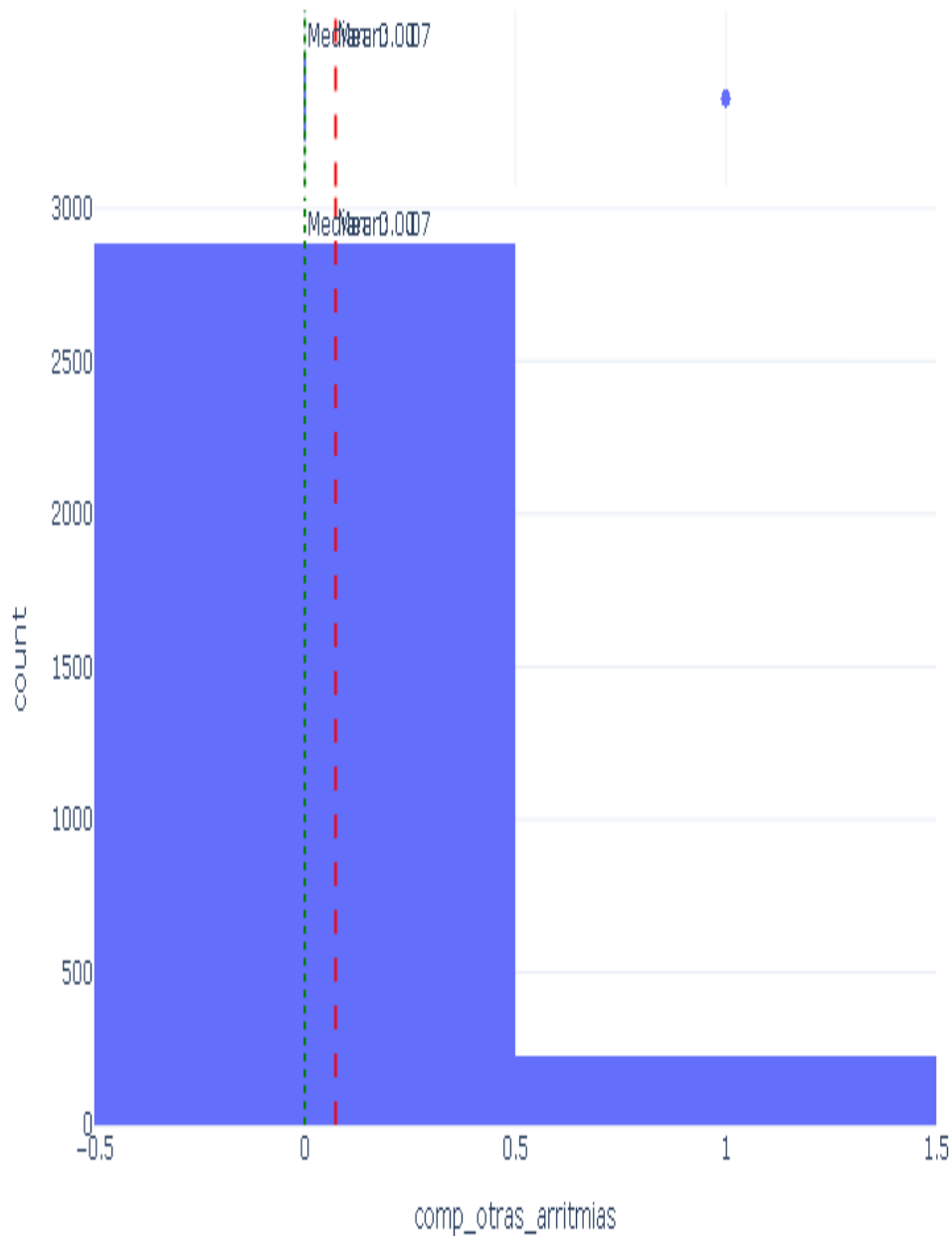


Figura: Distribución de comp_otras_arritmias

Boxplot of comp_otras_arritmias

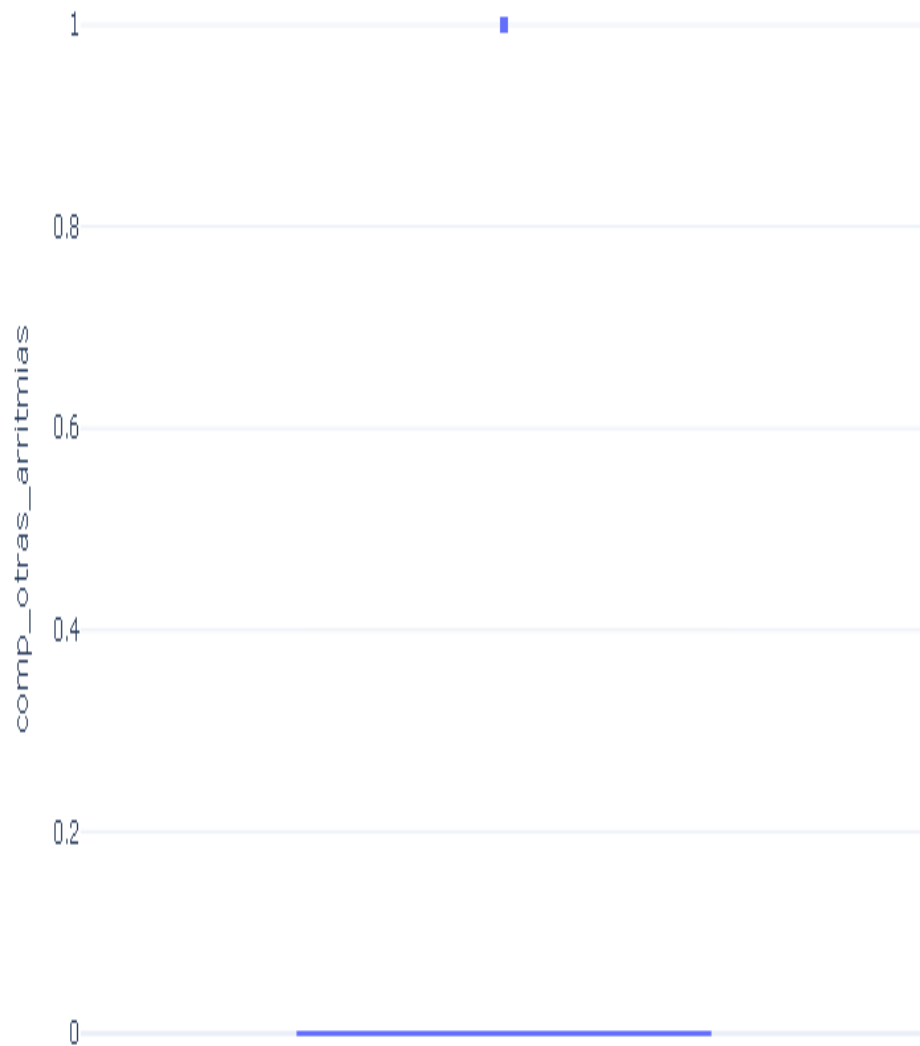


Figura: Boxplot de comp_otras_arritmias

Variable: comp_mecanicas

Estadísticas Descriptivas

Estadística	Valor
Observaciones	3,112
Valores faltantes	0 (0.00%)
Media	0.0415
Mediana	N/A
Desviación estándar	0.1994
Mínimo	N/A
Q1 (25%)	N/A
Q3 (75%)	N/A
Máximo	1.0000
Asimetría	4.6030
Curtosis	19.2000

Test de Normalidad (Shapiro-Wilk)

Error al calcular test de normalidad: 'UnivariateStats' object has no attribute 'shapiro'

Detección de Outliers (Método IQR)

Métrica	Valor
Q1 (25%)	0.0000
Q3 (75%)	0.0000
IQR	0.0000
Límite inferior	0.0000
Límite superior	0.0000
Número de outliers	129 (4.15%)

Visualizaciones

Distribution of comp_mecanicas

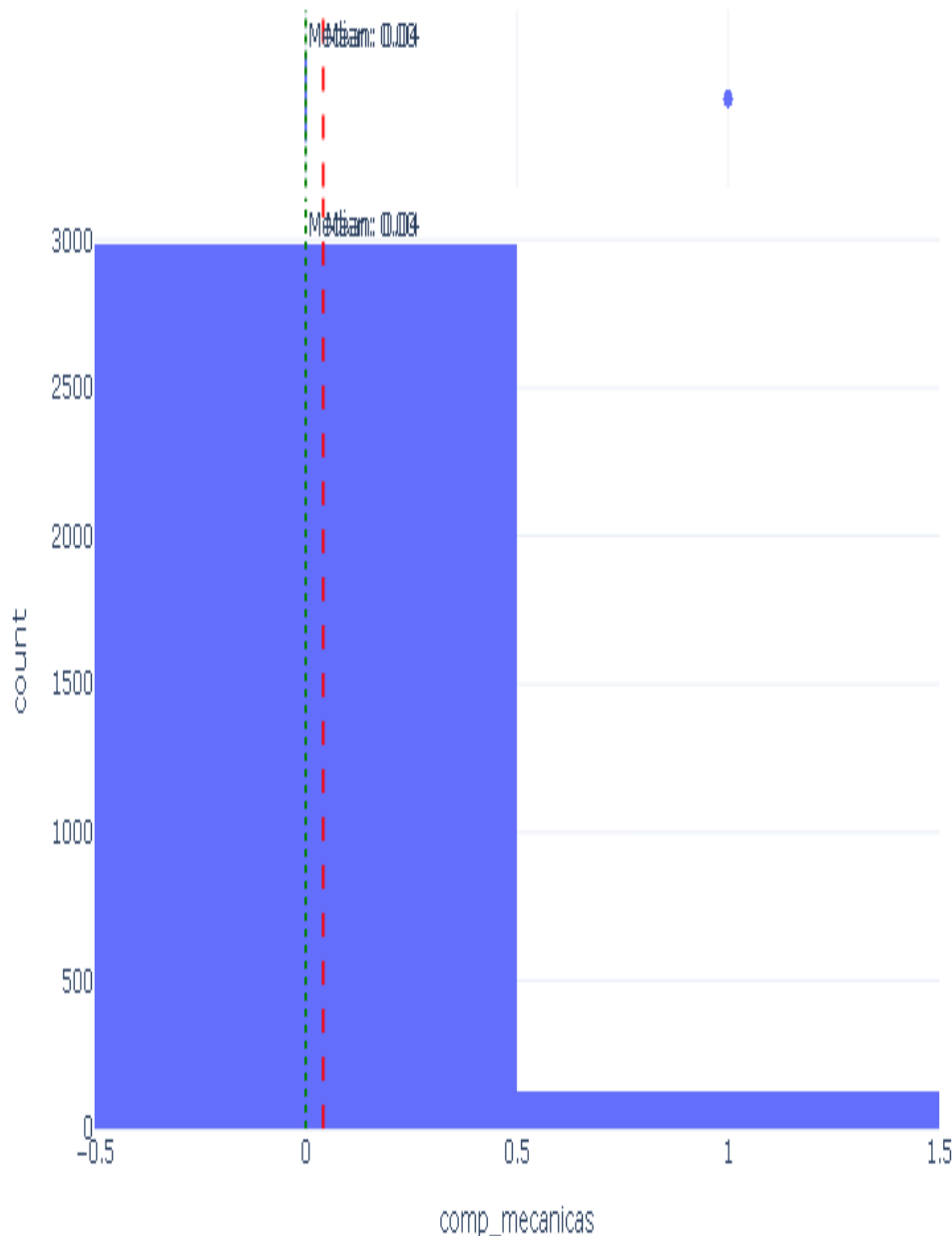


Figura: Distribución de `comp_mecanicas`

Boxplot of comp_mecanicas

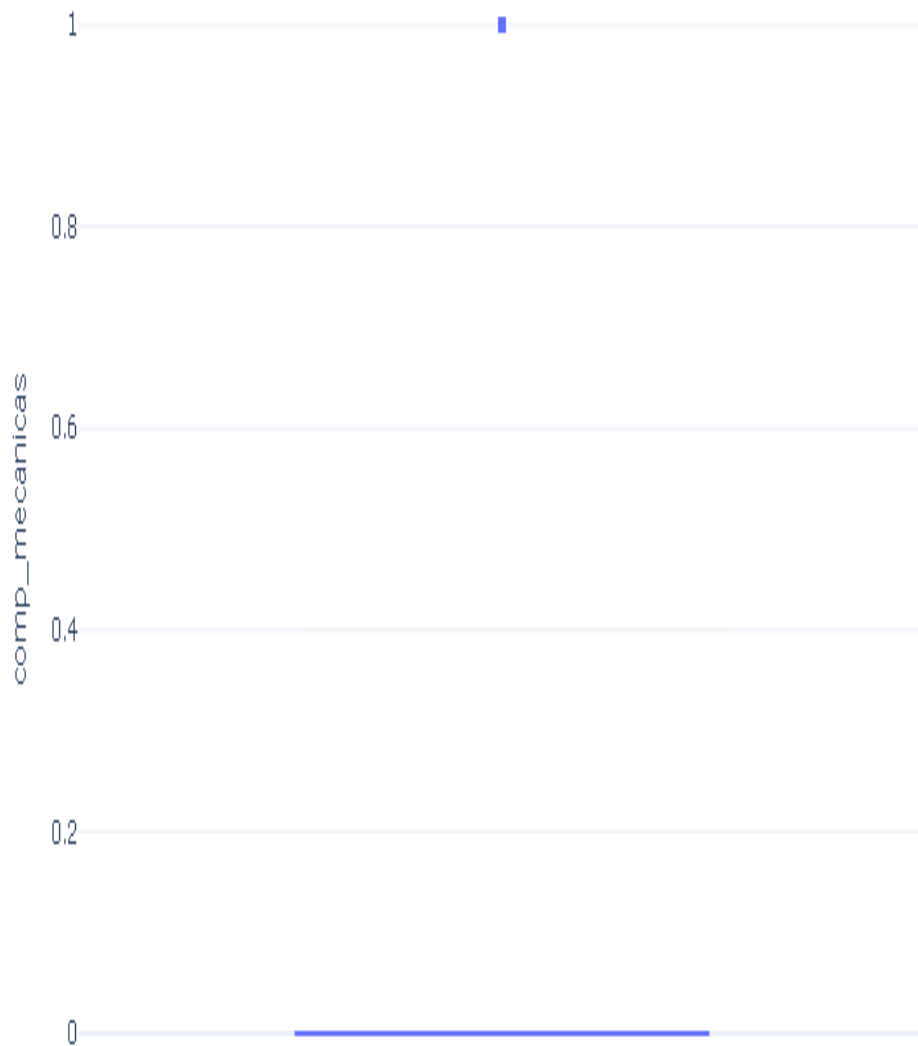


Figura: Boxplot de comp_mecanicas

3. Variables Categóricas

Esta sección presenta el análisis detallado de las 44 variables categóricas del dataset. Para cada variable se incluyen:

- Estadísticas descriptivas (conteo, categorías, moda)
- Tabla de frecuencias (top 10 categorías)
- Gráfico de barras de distribución

Variable: fecha_ingreso

Estadísticas Descriptivas

Estadística	Valor
Observaciones	3,112
Valores faltantes	0 (0.00%)
Categorías únicas	1637
Moda	30/08/2018
Frecuencia de moda	11

Tabla de Frecuencias (Top 10)

Categoría	Frecuencia	Porcentaje
30/08/2018	11	0.35%
21/09/2018	9	0.29%
19/02/2021	8	0.26%
18/05/2020	8	0.26%
11/02/2020	8	0.26%
15/11/2018	8	0.26%
25/09/2019	8	0.26%
08/12/2021	8	0.26%
05/01/2018	7	0.22%
15/01/2020	7	0.22%
(Otras categorías)

Visualización

Frequencies of fecha_ingreso

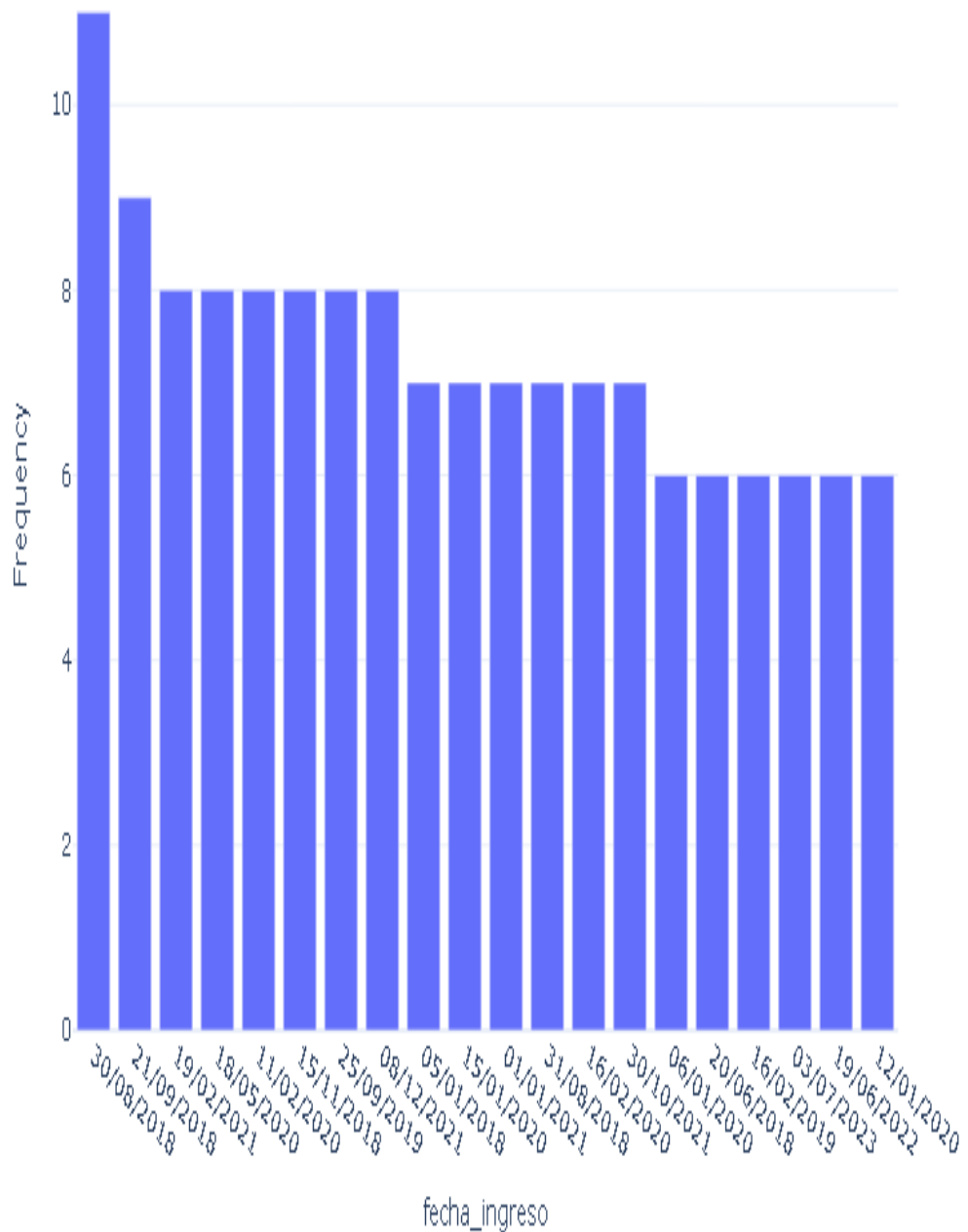


Figura: Distribución de fecha_ingreso

Variable: sexo

Estadísticas Descriptivas

Estadística	Valor
Observaciones	3,112
Valores faltantes	0 (0.00%)
Categorías únicas	2
Moda	masculino
Frecuencia de moda	2,102

Tabla de Frecuencias (Top 10)

Categoría	Frecuencia	Porcentaje
masculino	2,102	67.54%
femenino	1,010	32.46%

Visualización

Frequencies of sexo

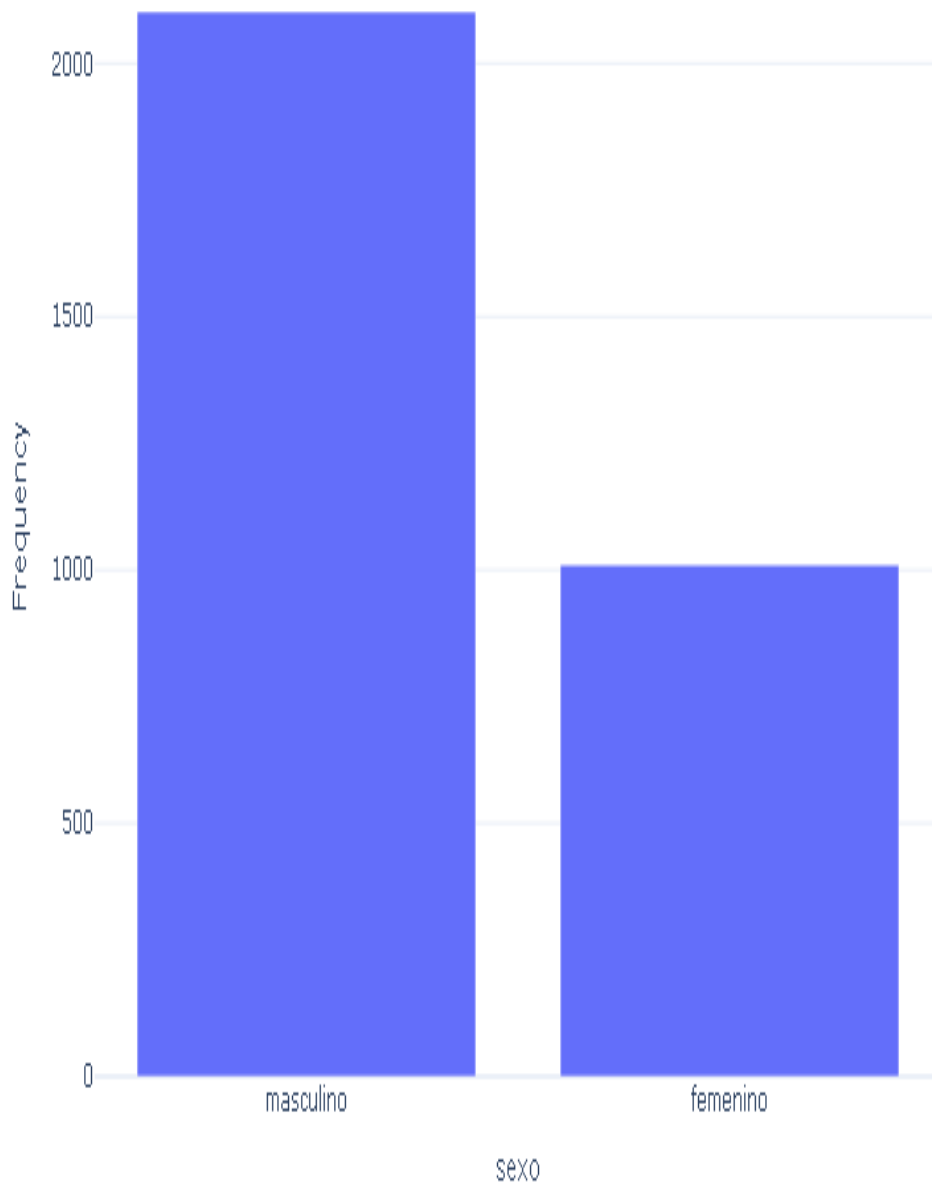


Figura: Distribución de sexo

Variable: color_piel

Estadísticas Descriptivas

Estadística	Valor
Observaciones	3,112
Valores faltantes	0 (0.00%)
Categorías únicas	3
Moda	blanca
Frecuencia de moda	2,389

Tabla de Frecuencias (Top 10)

Categoría	Frecuencia	Porcentaje
blanca	2,389	76.77%
mestiza	417	13.40%
negra	306	9.83%

Visualización

Frequencies of color_piel

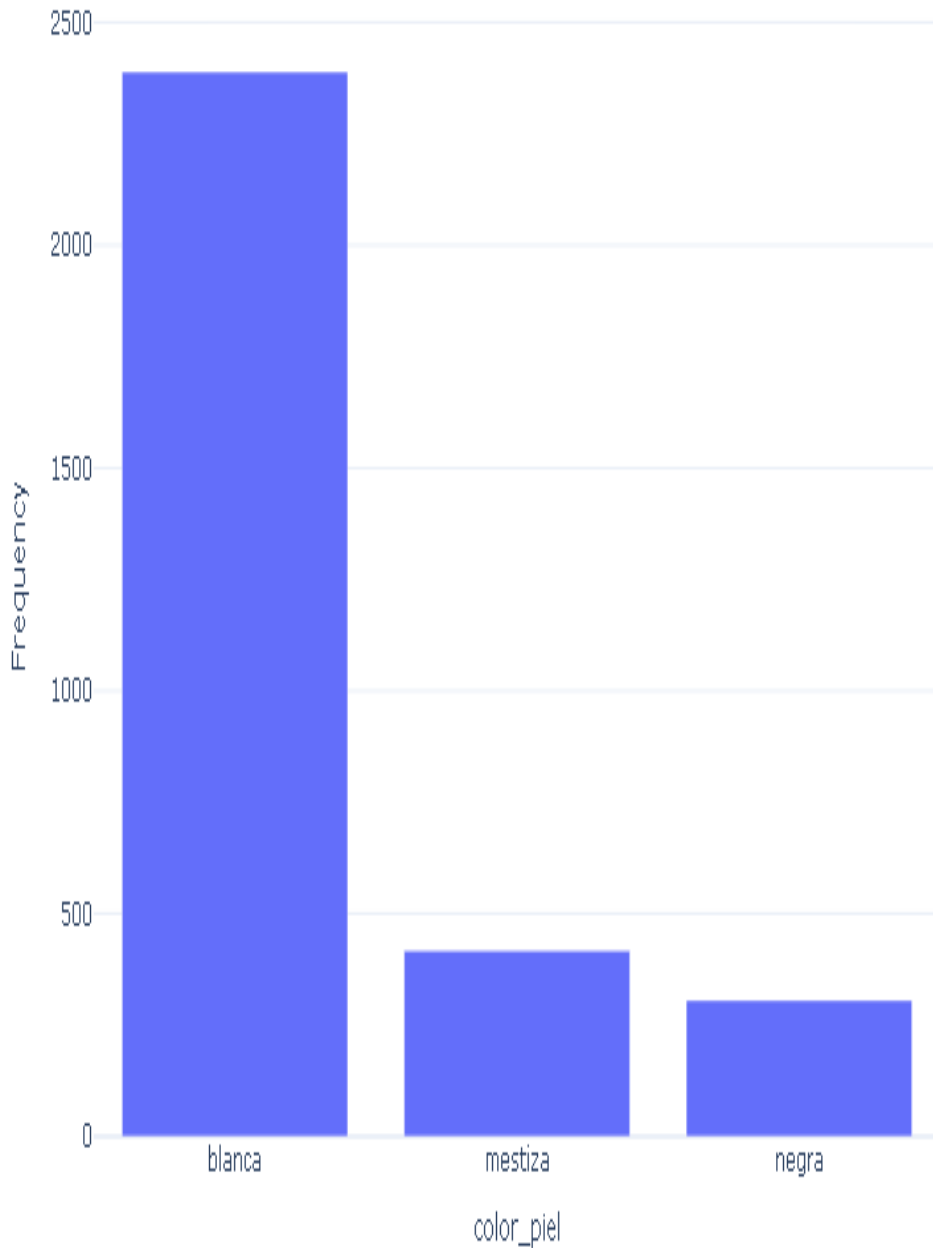


Figura: Distribución de color_piel

Variable: clopidogrel

Estadísticas Descriptivas

Estadística	Valor
Observaciones	3,112
Valores faltantes	0 (0.00%)
Categorías únicas	2
Moda	si
Frecuencia de moda	2,983

Tabla de Frecuencias (Top 10)

Categoría	Frecuencia	Porcentaje
si	2,983	95.85%
no	129	4.15%

Visualización

Frequencies of clopidogrel

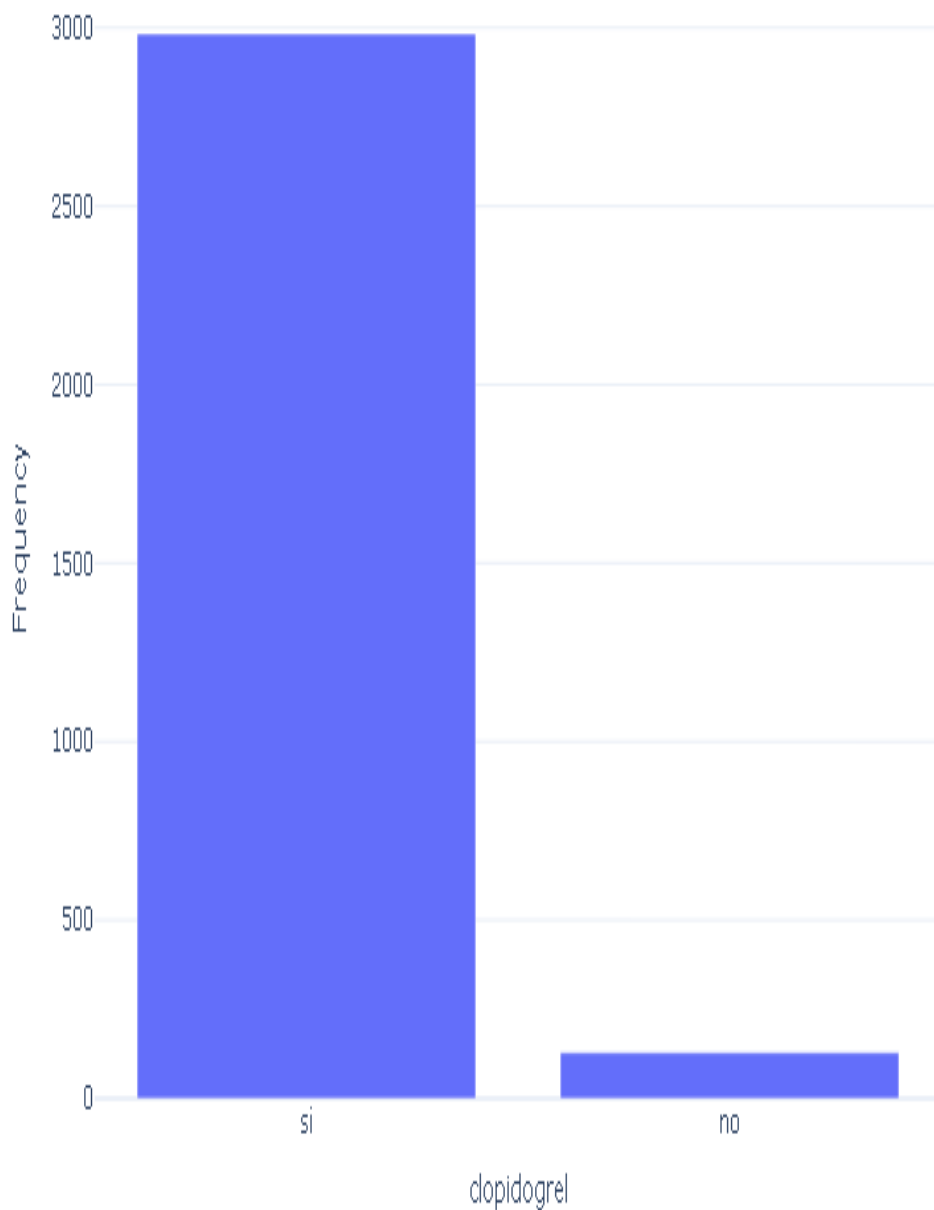


Figura: Distribución de clopidogrel

Variable: heparina

Estadísticas Descriptivas

Estadística	Valor
Observaciones	3,112
Valores faltantes	0 (0.00%)
Categorías únicas	2
Moda	si
Frecuencia de moda	2,878

Tabla de Frecuencias (Top 10)

Categoría	Frecuencia	Porcentaje
si	2,878	92.48%
no	234	7.52%

Visualización

Frequencies of heparina

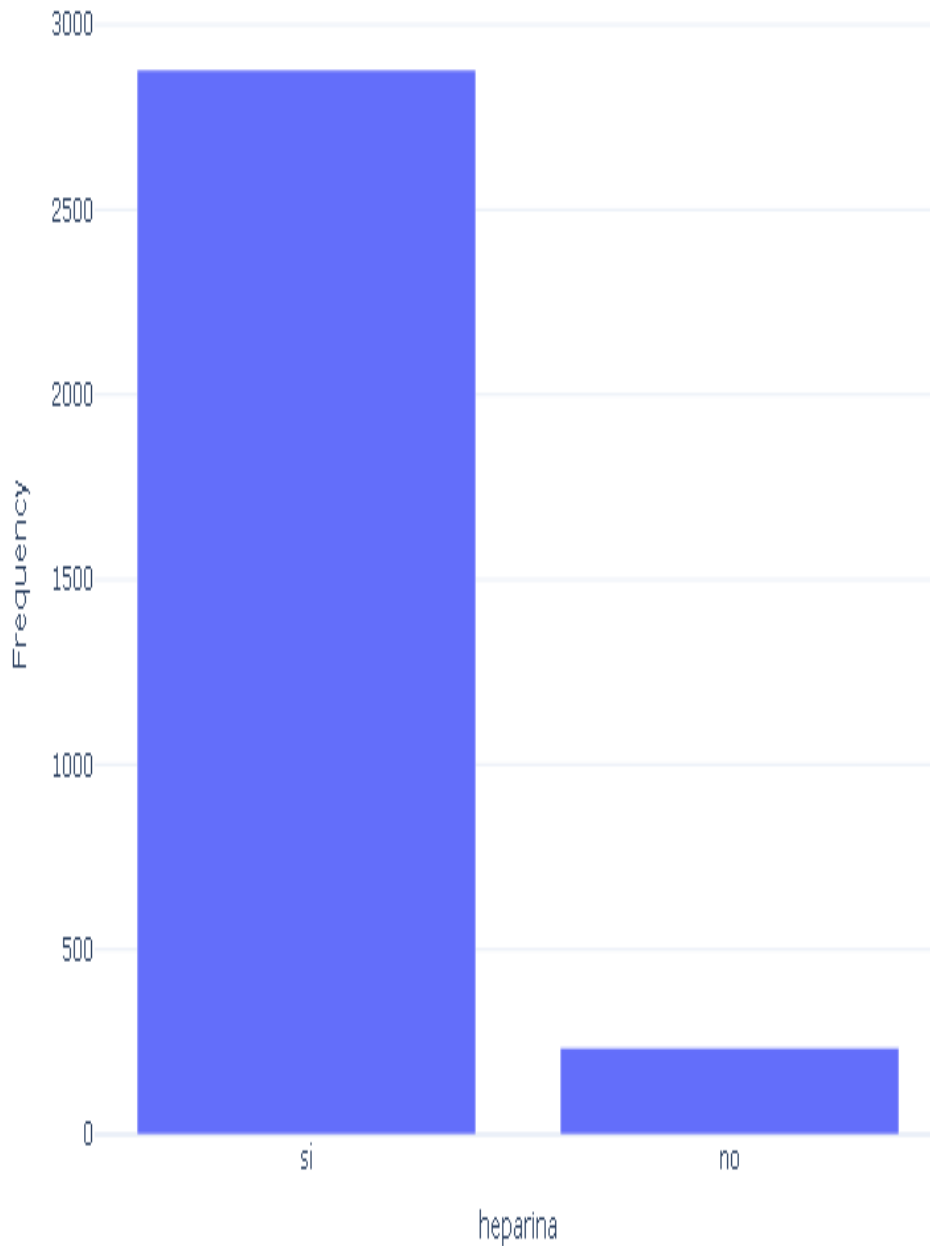


Figura: Distribución de heparina

Variable: estatinas

Estadísticas Descriptivas

Estadística	Valor
Observaciones	3,112
Valores faltantes	0 (0.00%)
Categorías únicas	2
Moda	si
Frecuencia de moda	3,029

Tabla de Frecuencias (Top 10)

Categoría	Frecuencia	Porcentaje
si	3,029	97.33%
no	83	2.67%

Visualización

Frequencies of estatinas

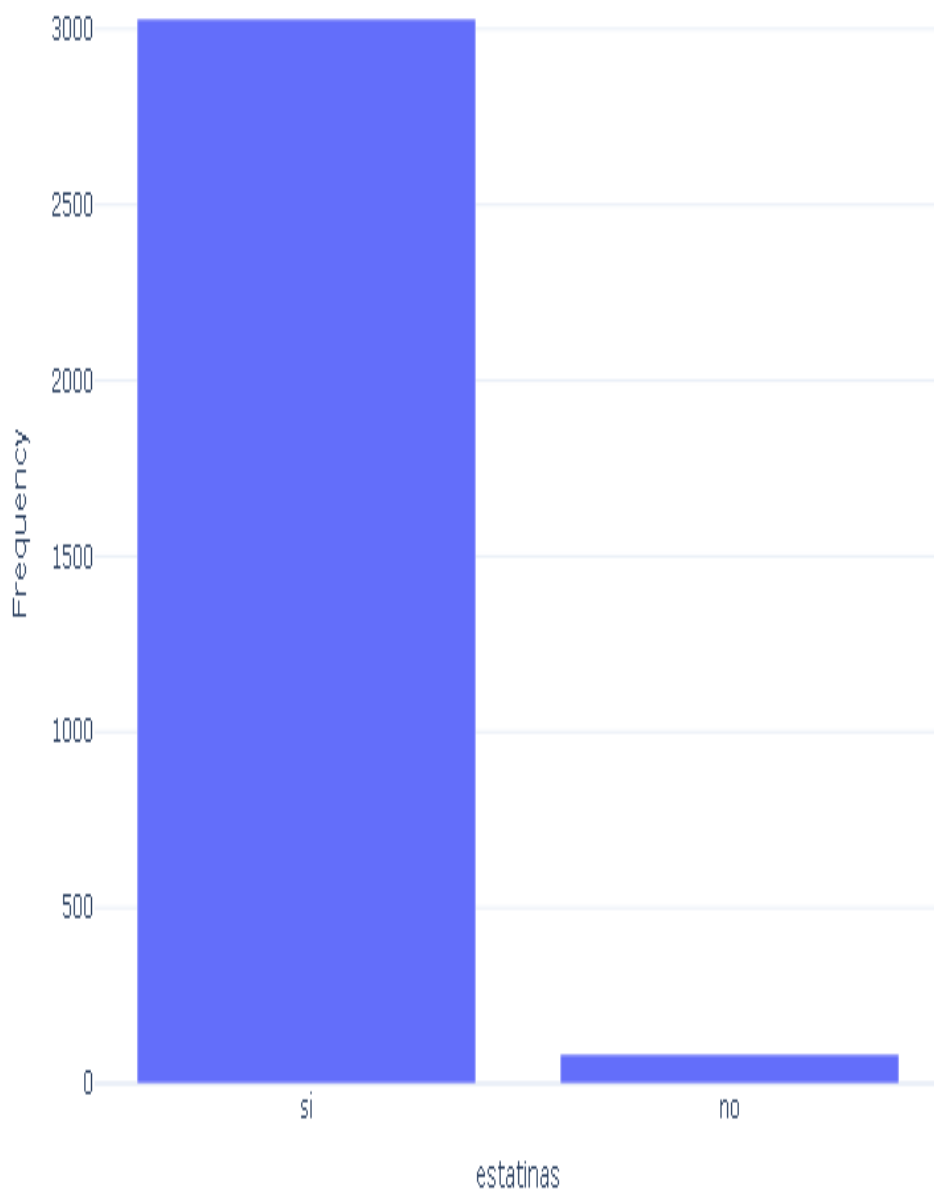


Figura: Distribución de estatinas

Variable: estreptoquinasa_recombinante

Estadísticas Descriptivas

Estadística	Valor
Observaciones	3,112
Valores faltantes	0 (0.00%)
Categorías únicas	2
Moda	si
Frecuencia de moda	1,663

Tabla de Frecuencias (Top 10)

Categoría	Frecuencia	Porcentaje
si	1,663	53.44%
no	1,449	46.56%

Visualización

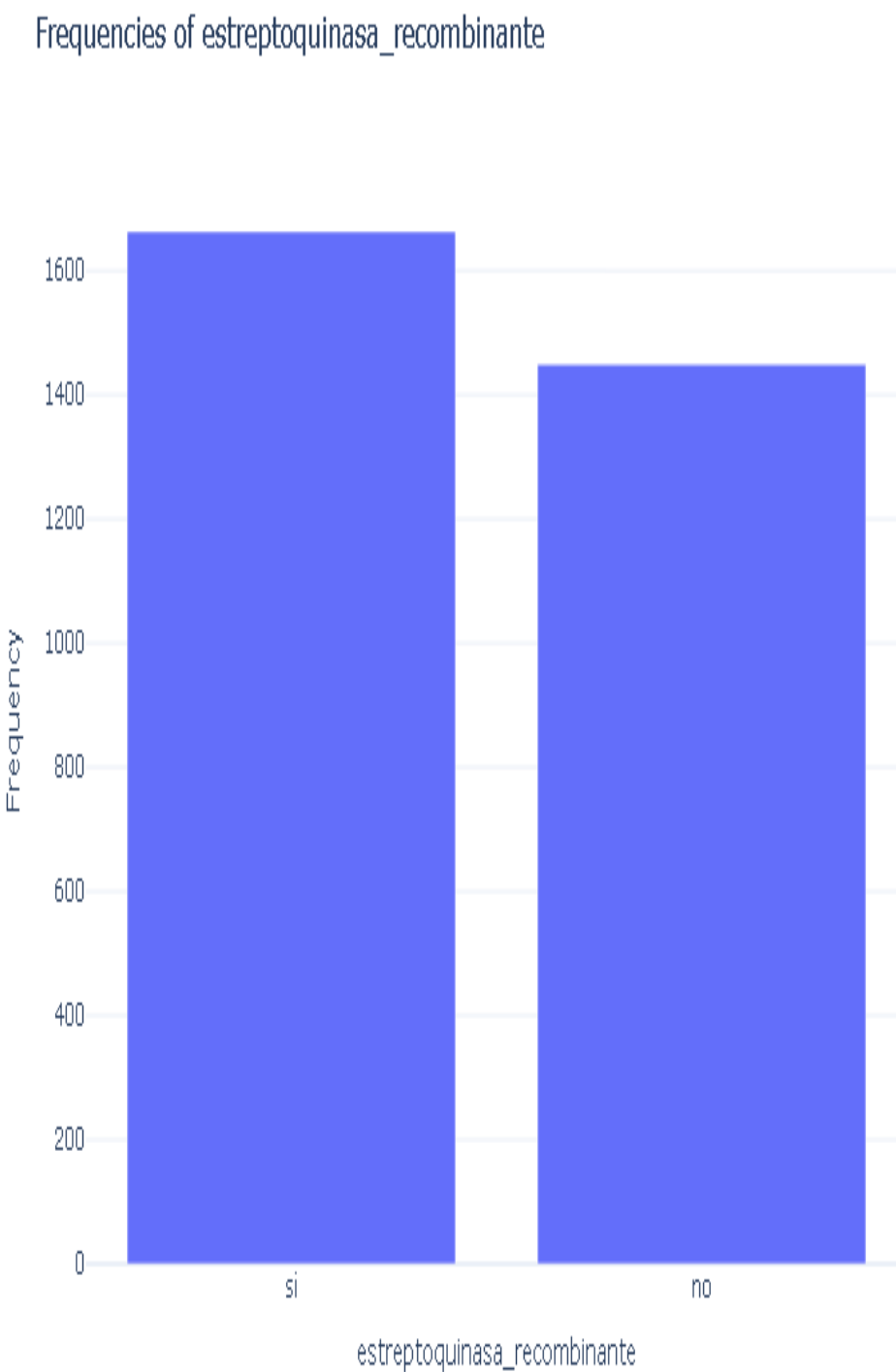


Figura: Distribución de estreptoquinasa_recombinante

Variable: reperfusión

Estadísticas Descriptivas

Estadística	Valor
Observaciones	3,112
Valores faltantes	0 (0.00%)
Categorías únicas	3
Moda	no
Frecuencia de moda	1,994

Tabla de Frecuencias (Top 10)

Categoría	Frecuencia	Porcentaje
no	1,994	64.07%
total	904	29.05%
parcial	214	6.88%

Visualización

Frequencies of reperfusion

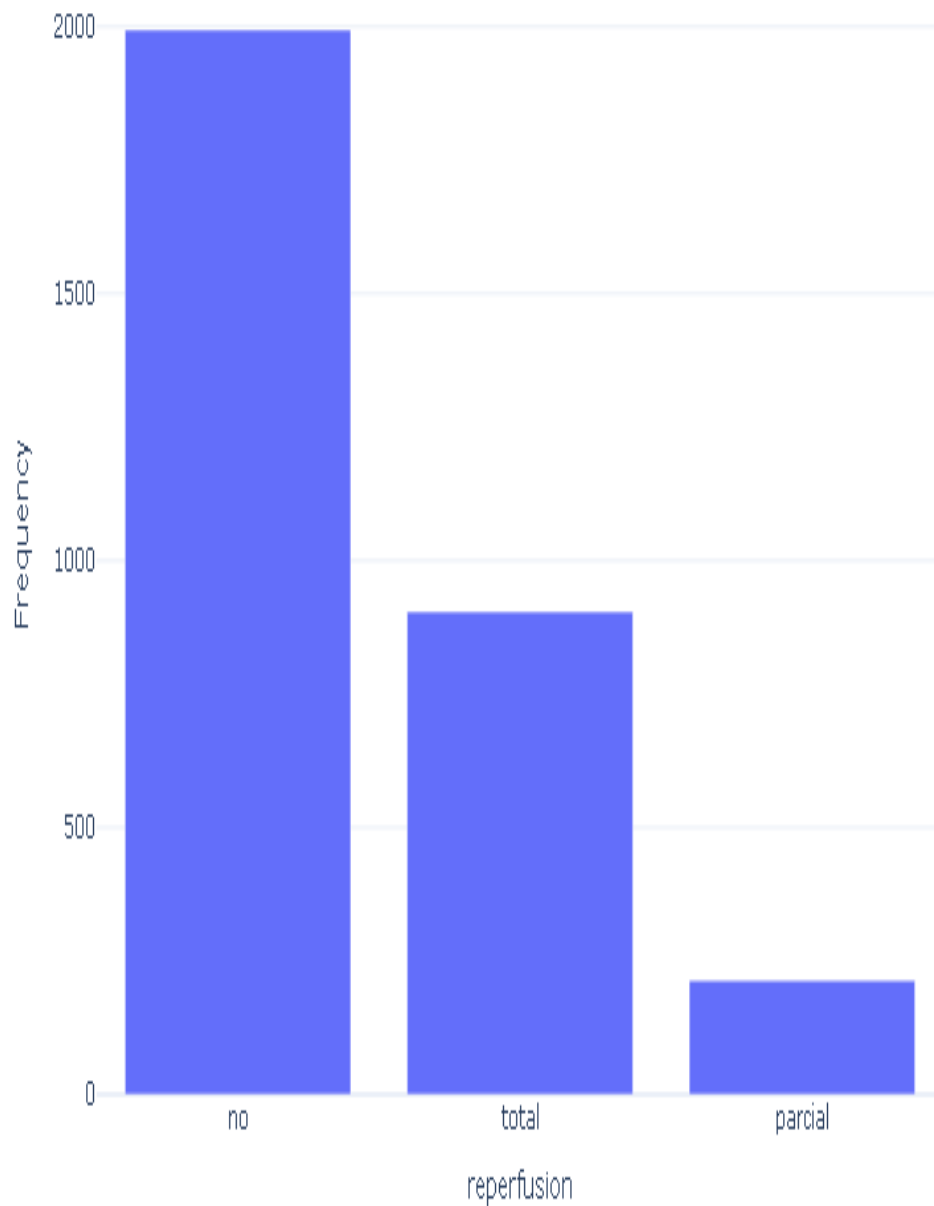


Figura: Distribución de reperfusión

Variable: coronariografía

Estadísticas Descriptivas

Estadística	Valor
Observaciones	3,112
Valores faltantes	0 (0.00%)
Categorías únicas	3
Moda	no
Frecuencia de moda	2,866

Tabla de Frecuencias (Top 10)

Categoría	Frecuencia	Porcentaje
no	2,866	92.10%
otro	226	7.26%
centro	20	0.64%

Visualización

Frequencies of coronariografia

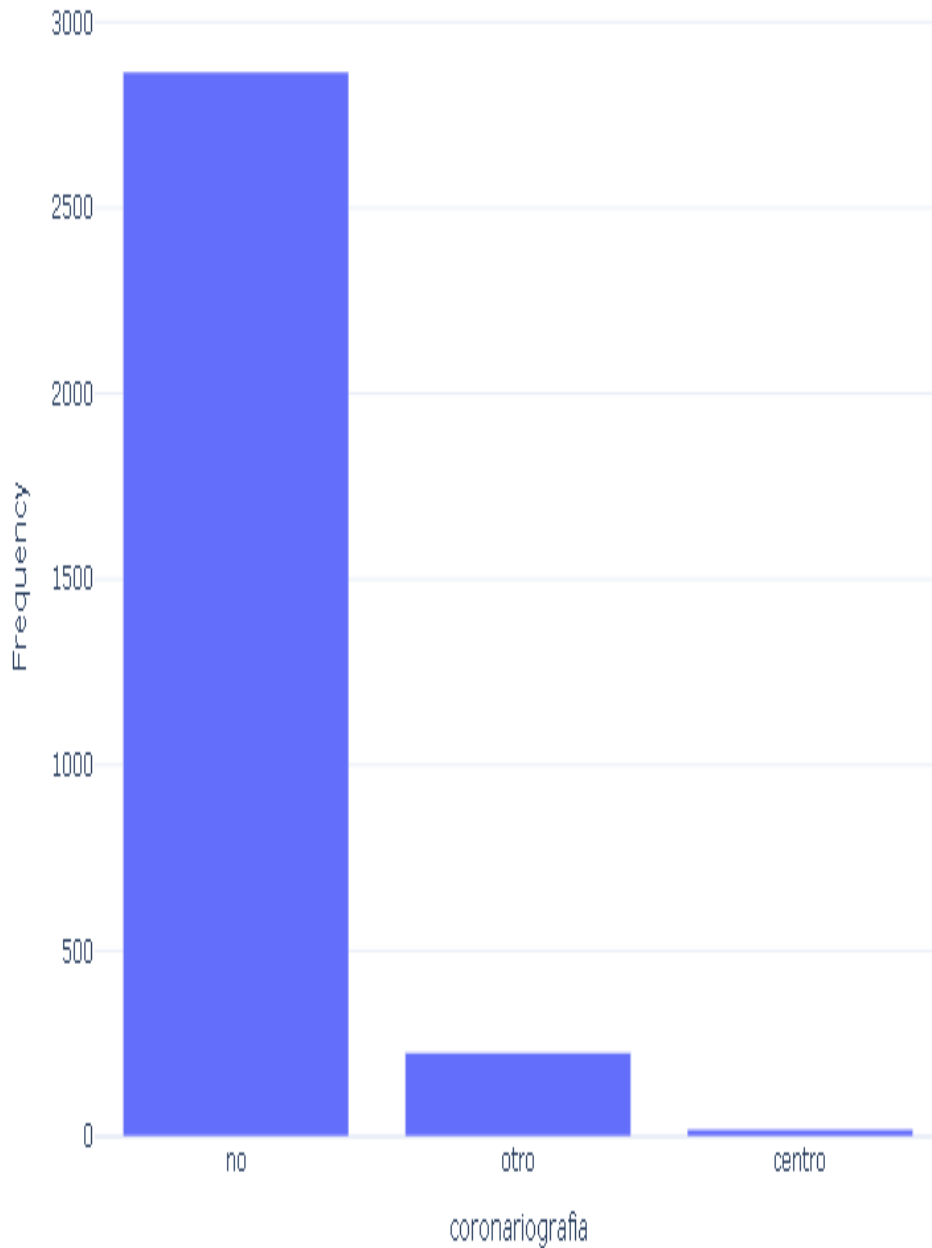


Figura: Distribución de coronariografia

Variable: furosemida

Estadísticas Descriptivas

Estadística	Valor
Observaciones	3,112
Valores faltantes	0 (0.00%)
Categorías únicas	2
Moda	no
Frecuencia de moda	2,253

Tabla de Frecuencias (Top 10)

Categoría	Frecuencia	Porcentaje
no	2,253	72.40%
si	859	27.60%

Visualización

Frequencies of furosemida

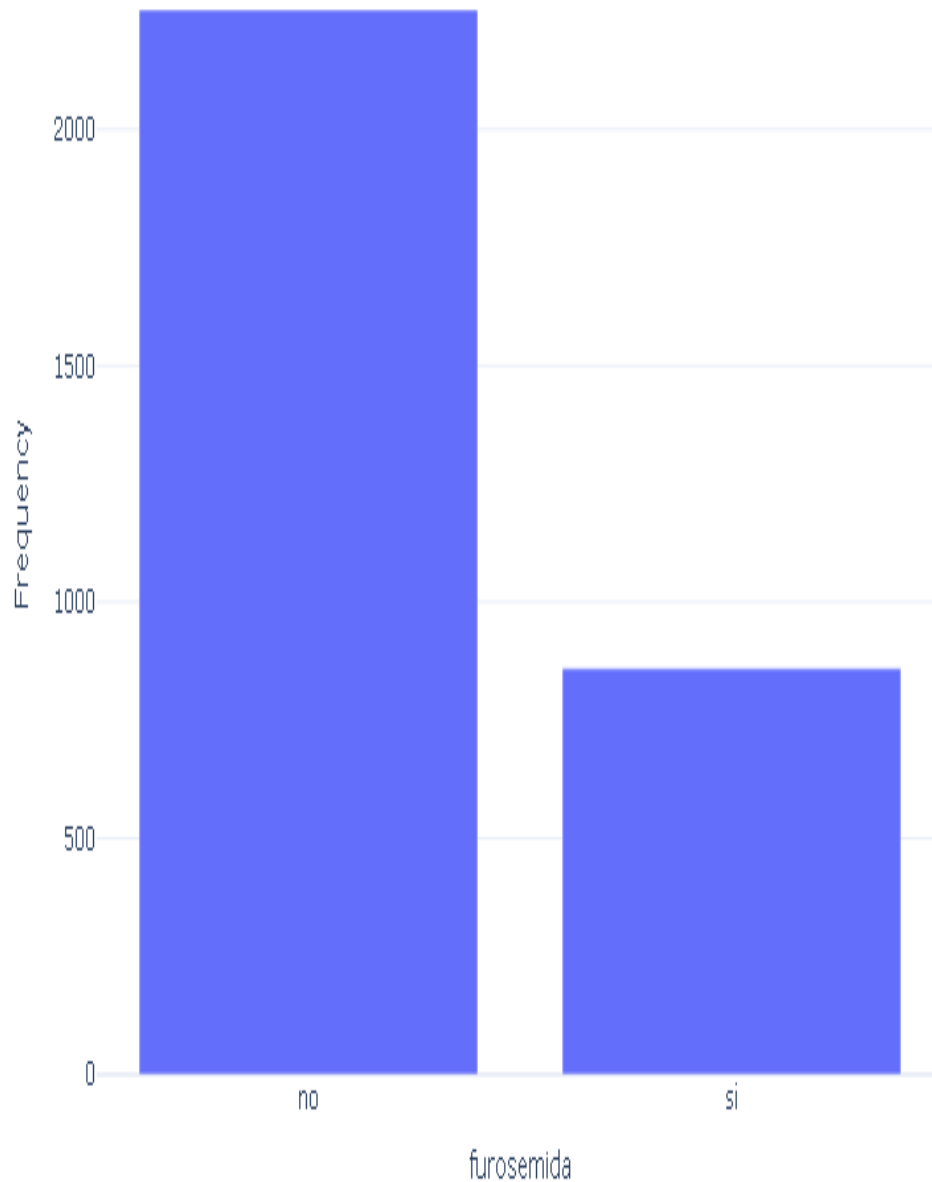


Figura: Distribución de furosemida

Variable: nitratos

Estadísticas Descriptivas

Estadística	Valor
Observaciones	3,112
Valores faltantes	0 (0.00%)
Categorías únicas	2
Moda	no
Frecuencia de moda	1,795

Tabla de Frecuencias (Top 10)

Categoría	Frecuencia	Porcentaje
no	1,795	57.68%
si	1,317	42.32%

Visualización

Frequencies of nitratos

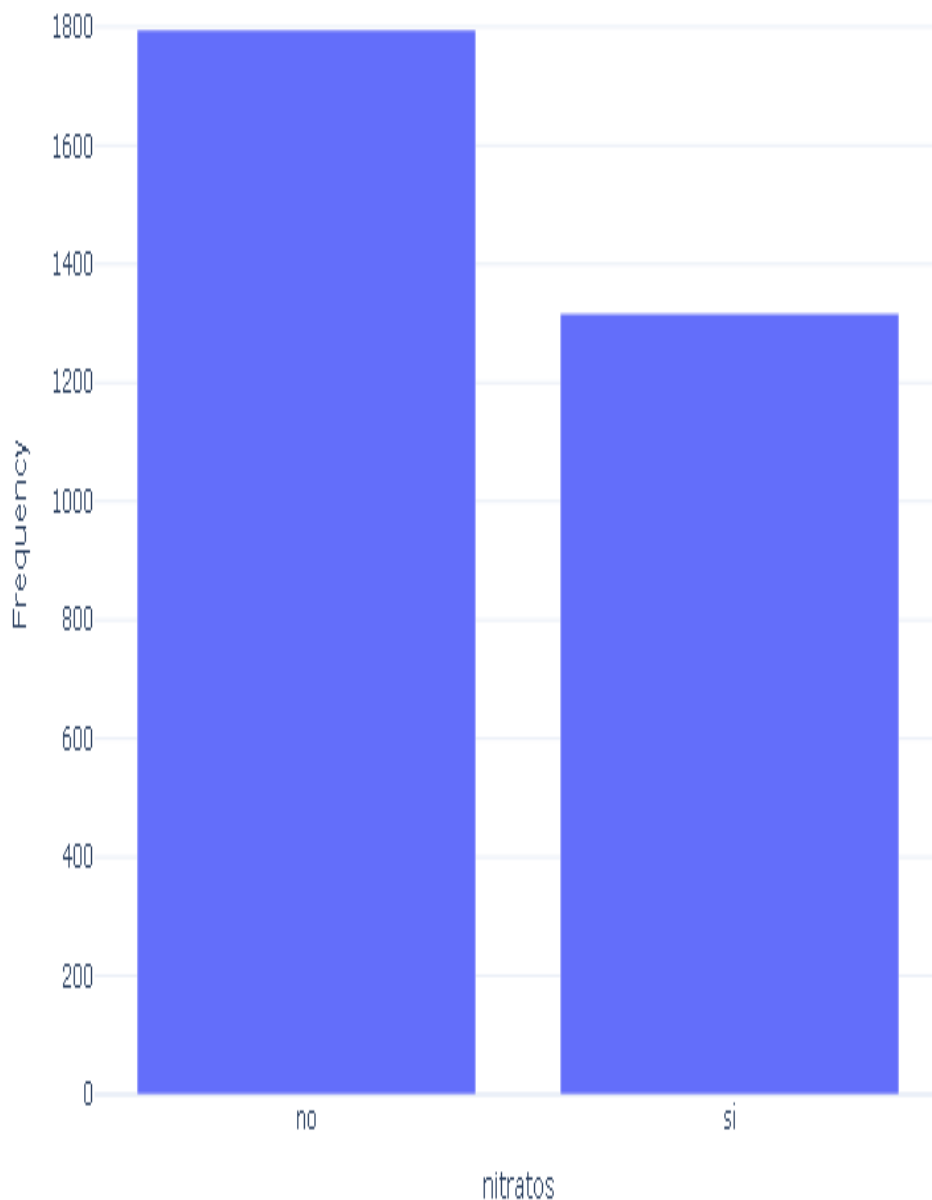


Figura: Distribución de nitratos

Variable: anticoagulantes

Estadísticas Descriptivas

Estadística	Valor
Observaciones	3,112
Valores faltantes	0 (0.00%)
Categorías únicas	2
Moda	no
Frecuencia de moda	2,776

Tabla de Frecuencias (Top 10)

Categoría	Frecuencia	Porcentaje
no	2,776	89.20%
si	336	10.80%

Visualización

Frequencies of anticoagulantes

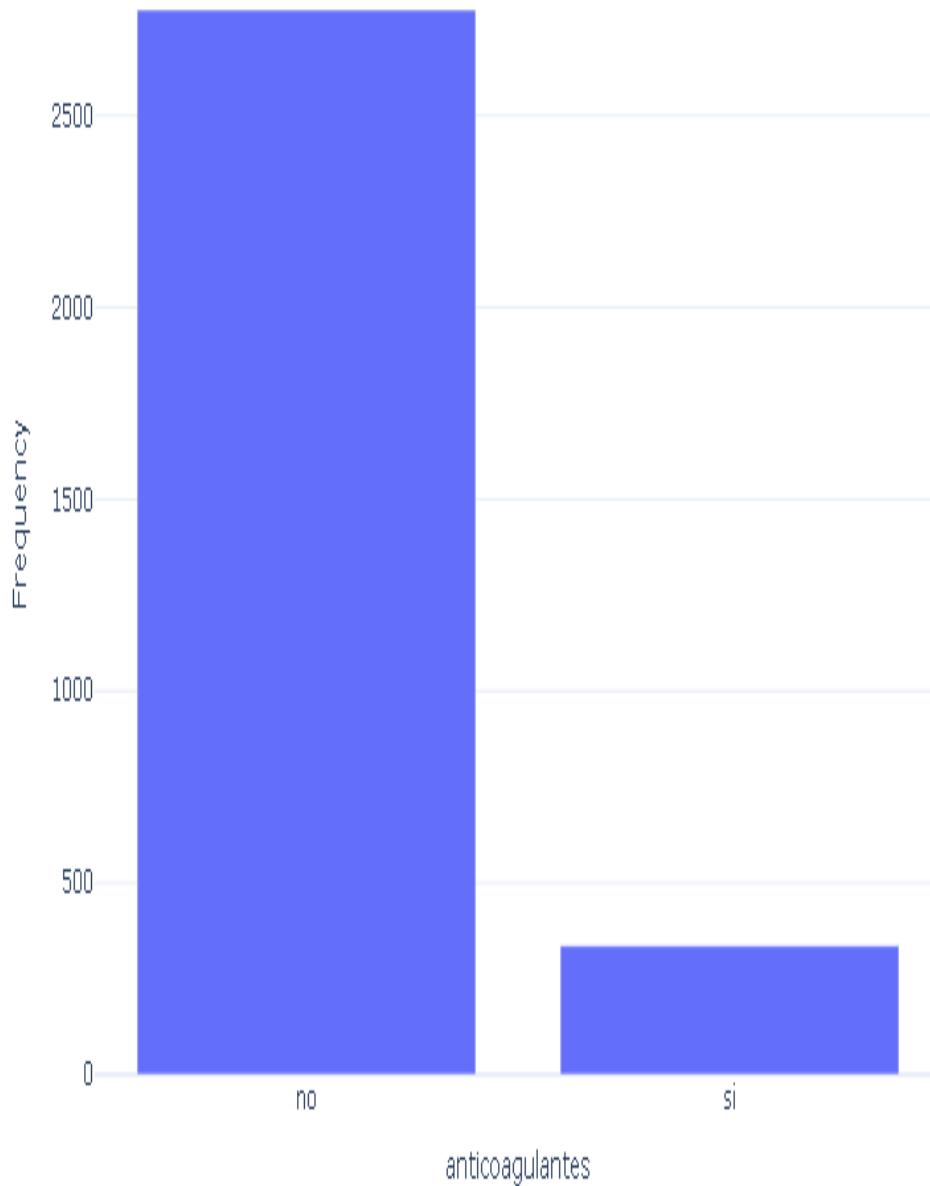


Figura: Distribución de anticoagulantes

Variable: anticalcicos

Estadísticas Descriptivas

Estadística	Valor
Observaciones	3,112
Valores faltantes	0 (0.00%)
Categorías únicas	2
Moda	no
Frecuencia de moda	2,670

Tabla de Frecuencias (Top 10)

Categoría	Frecuencia	Porcentaje
no	2,670	85.80%
si	442	14.20%

Visualización

Frequencies of anticalcicos

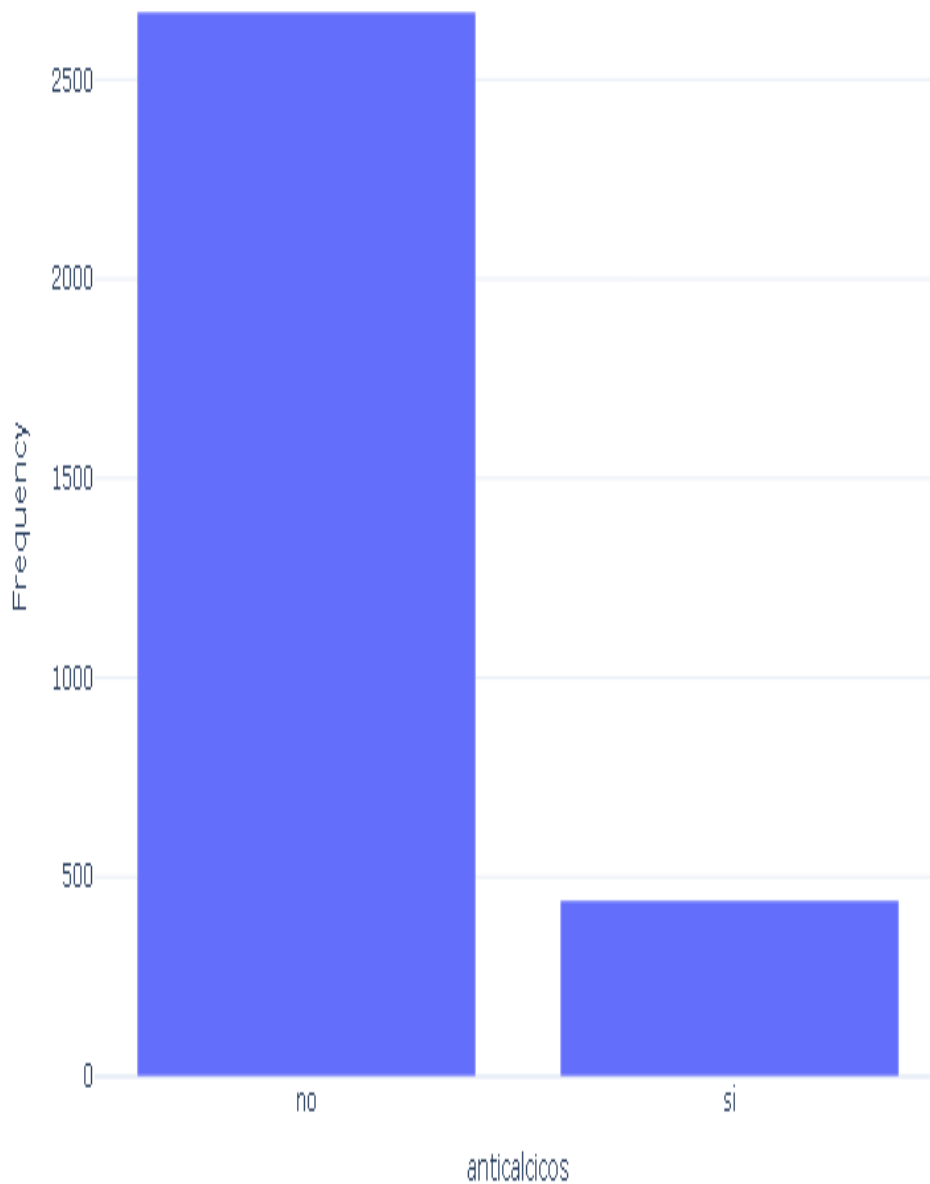


Figura: Distribución de anticalcicos

Variable: ieca

Estadísticas Descriptivas

Estadística	Valor
Observaciones	3,112
Valores faltantes	0 (0.00%)
Categorías únicas	2
Moda	si
Frecuencia de moda	2,548

Tabla de Frecuencias (Top 10)

Categoría	Frecuencia	Porcentaje
si	2,548	81.88%
no	564	18.12%

Visualización

Frequencies of ieca

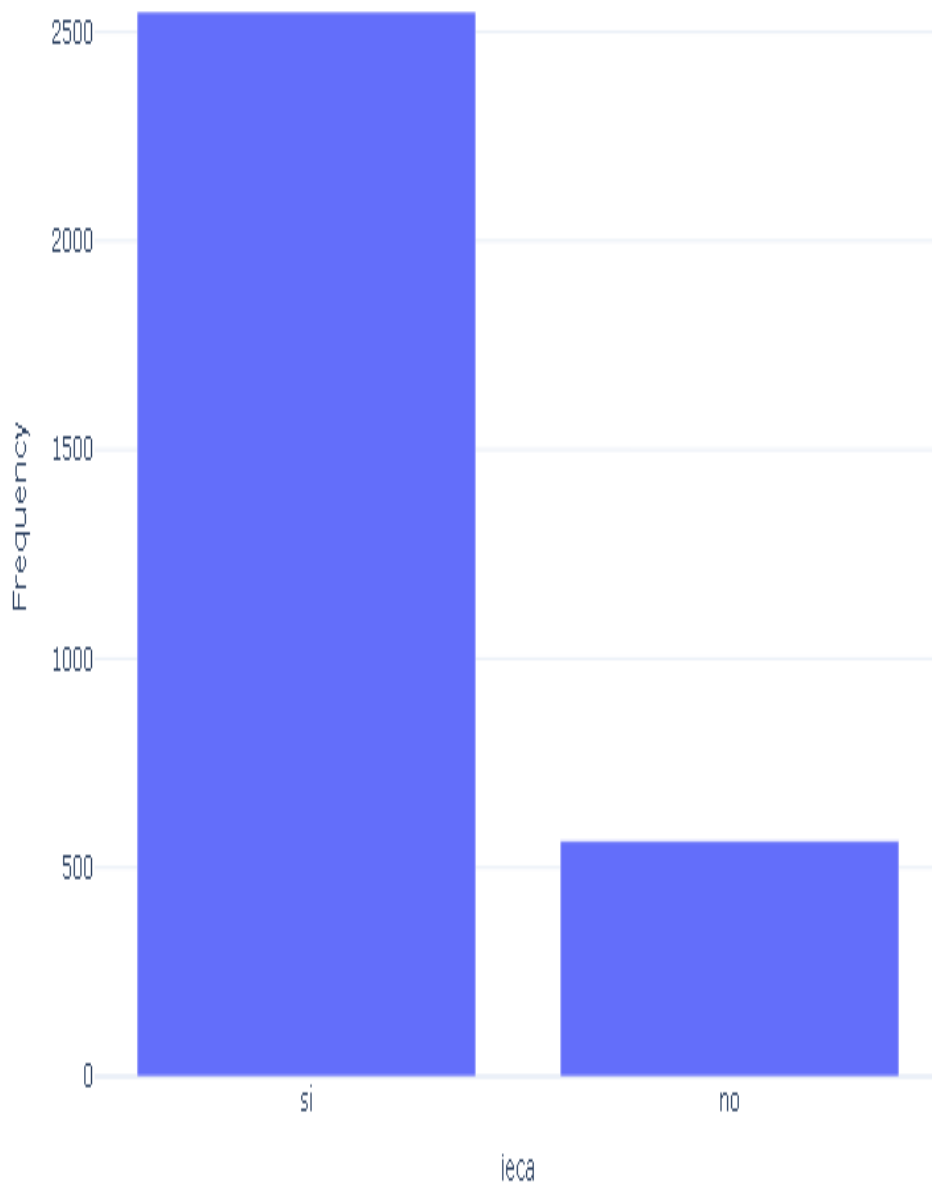


Figura: Distribución de ieca

Variable: otros_diureticos

Estadísticas Descriptivas

Estadística	Valor
Observaciones	3,112
Valores faltantes	0 (0.00%)
Categorías únicas	2
Moda	si
Frecuencia de moda	1,783

Tabla de Frecuencias (Top 10)

Categoría	Frecuencia	Porcentaje
si	1,783	57.29%
no	1,329	42.71%

Visualización

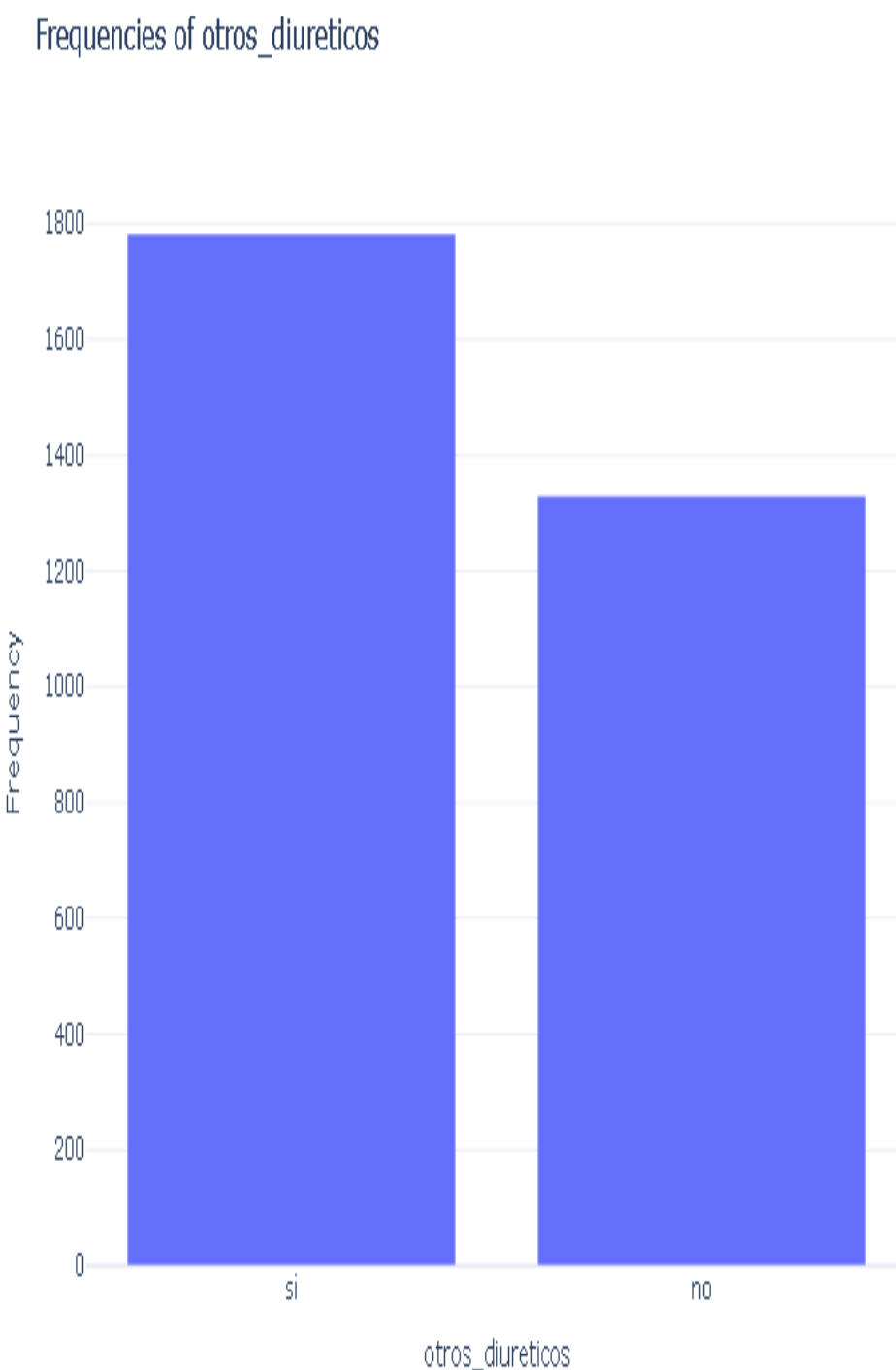


Figura: Distribución de otros_diureticos

Variable: lugar_trombolisis

Estadísticas Descriptivas

Estadística	Valor
Observaciones	1,664
Valores faltantes	1448 (46.53%)
Categorías únicas	3
Moda	ucie
Frecuencia de moda	1,141

Tabla de Frecuencias (Top 10)

Categoría	Frecuencia	Porcentaje
ucie	1,141	68.57%
sala	290	17.43%
servicio	233	14.00%

Visualización

Frequencies of lugar_trombolisis

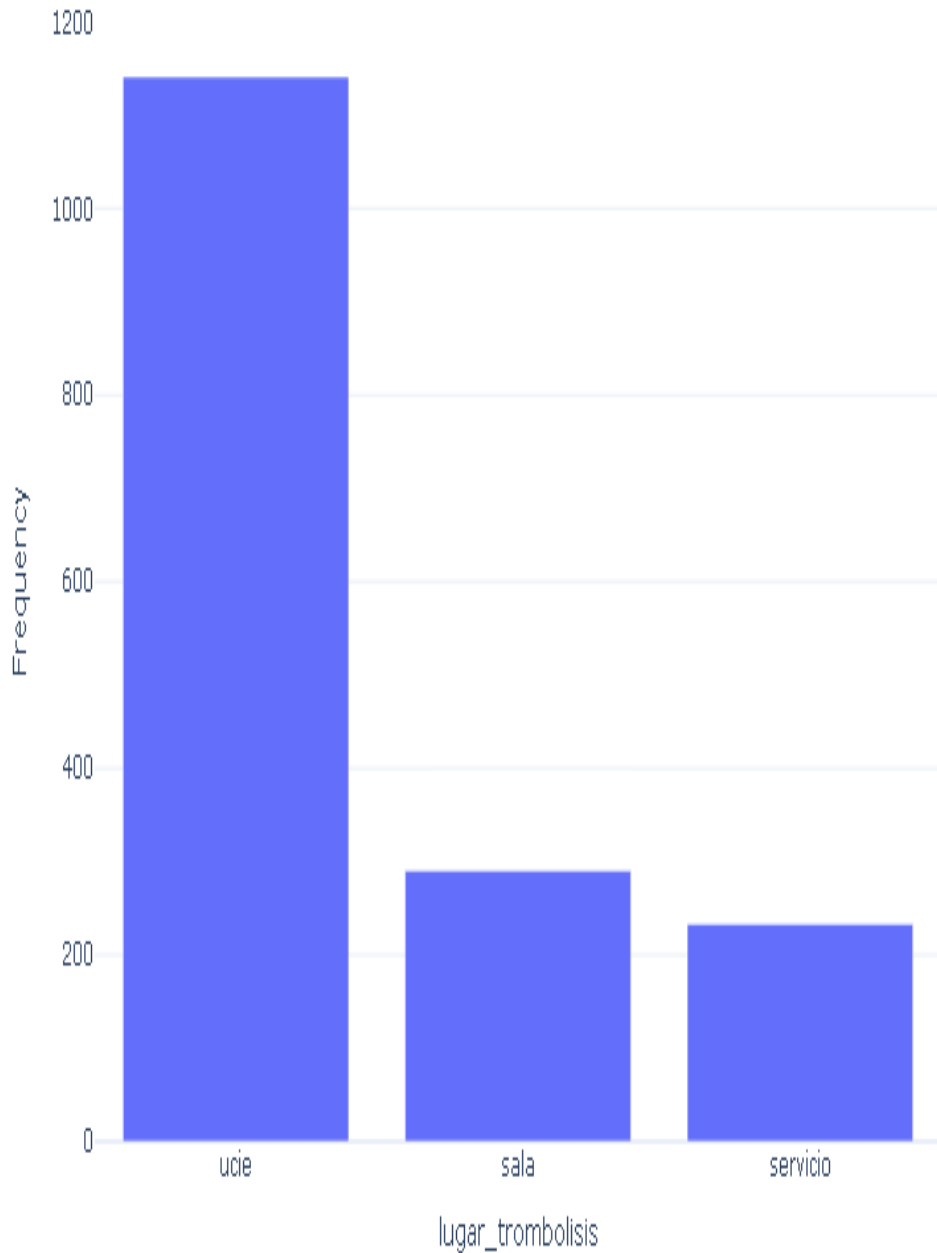


Figura: Distribución de lugar_trombolisis

Variable: ergometria

Estadísticas Descriptivas

Estadística	Valor
Observaciones	3,057
Valores faltantes	55 (1.77%)
Categorías únicas	4
Moda	no
Frecuencia de moda	2,708

Tabla de Frecuencias (Top 10)

Categoría	Frecuencia	Porcentaje
no	2,708	88.58%
negativa	168	5.50%
positiva	118	3.86%
noconcluyente	63	2.06%

Visualización

Frequencies of ergometria

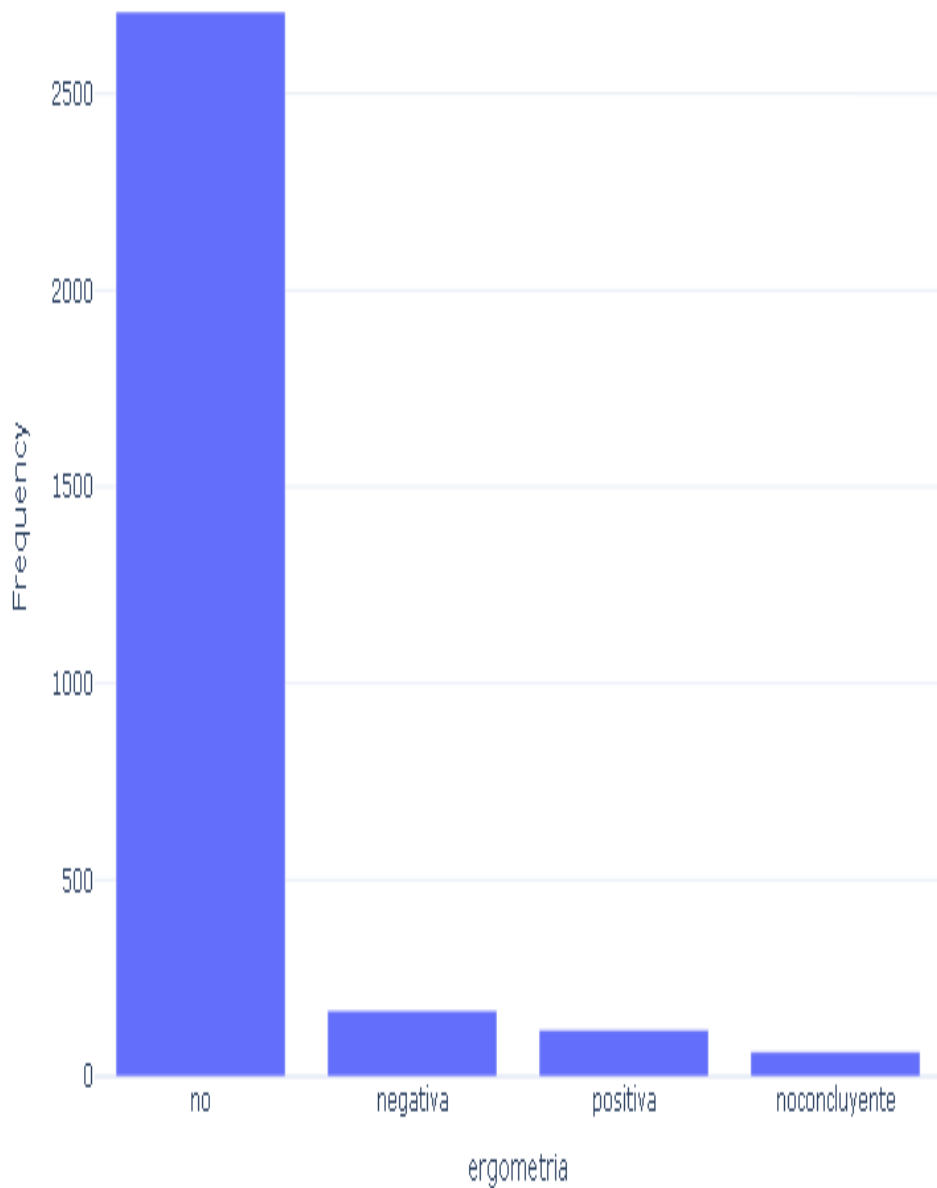


Figura: Distribución de ergometría

Variable: atencion_inicial

Estadísticas Descriptivas

Estadística	Valor
Observaciones	3,112
Valores faltantes	0 (0.00%)
Categorías únicas	3
Moda	cuerpo
Frecuencia de moda	1,708

Tabla de Frecuencias (Top 10)

Categoría	Frecuencia	Porcentaje
cuerpo	1,708	54.88%
servicio	1,336	42.93%
sala	68	2.19%

Visualización

Frequencies of atención_inicial

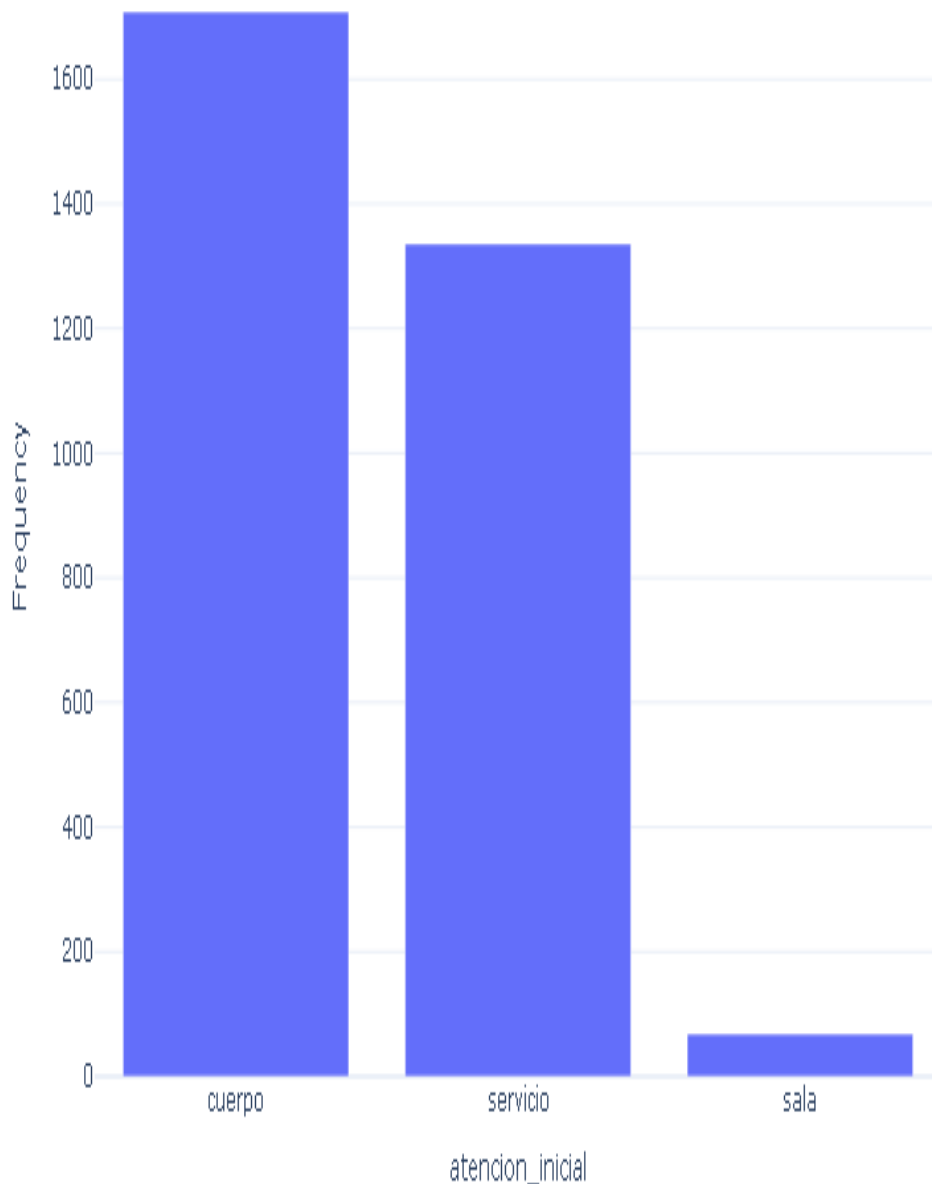


Figura: Distribución de atención_inicial

Variable: horario_llegada

Estadísticas Descriptivas

Estadística	Valor
Observaciones	3,112
Valores faltantes	0 (0.00%)
Categorías únicas	2
Moda	7am7pm
Frecuencia de moda	1,956

Tabla de Frecuencias (Top 10)

Categoría	Frecuencia	Porcentaje
7am7pm	1,956	62.85%
7pm7am	1,156	37.15%

Visualización

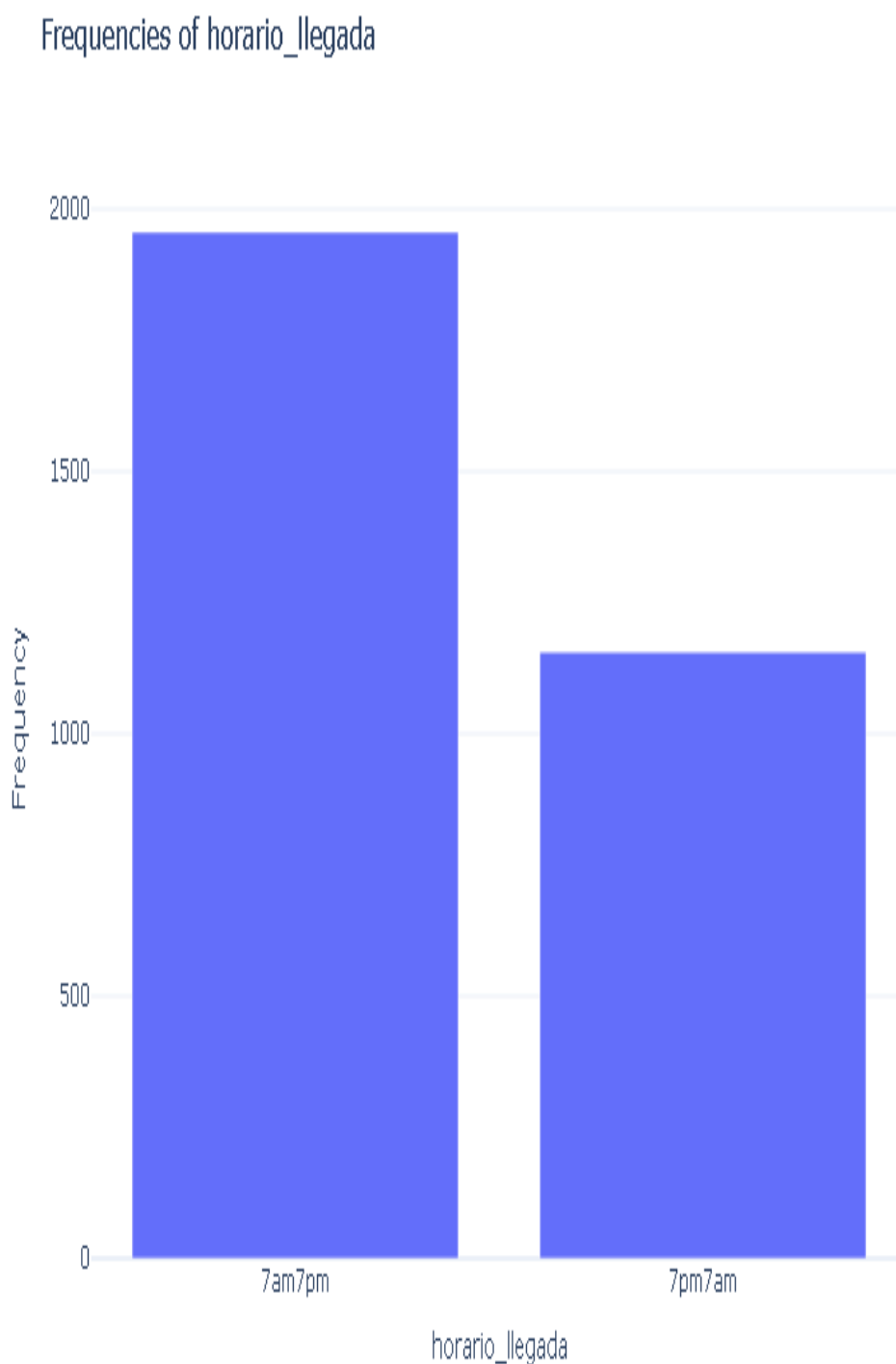


Figura: Distribución de horario_llegada

Variable: ecg_previo

Estadísticas Descriptivas

Estadística	Valor
Observaciones	3,112
Valores faltantes	0 (0.00%)
Categorías únicas	2
Moda	si
Frecuencia de moda	1,606

Tabla de Frecuencias (Top 10)

Categoría	Frecuencia	Porcentaje
si	1,606	51.61%
no	1,506	48.39%

Visualización

Frequencies of ecg_previo

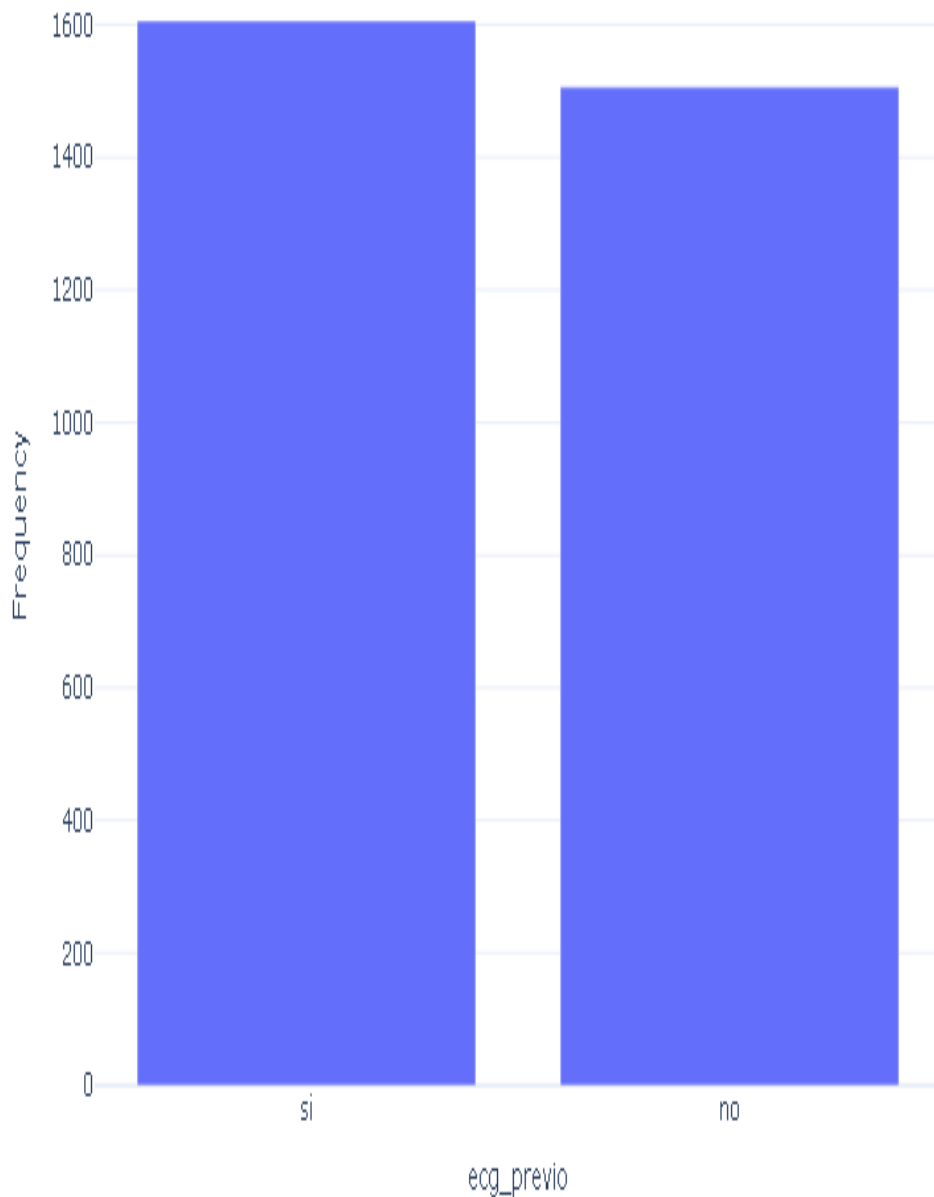


Figura: Distribución de ecg_previo

Variable: angina

Estadísticas Descriptivas

Estadística	Valor
Observaciones	266
Valores faltantes	2846 (91.45%)
Categorías únicas	2
Moda	inestable
Frecuencia de moda	265

Tabla de Frecuencias (Top 10)

Categoría	Frecuencia	Porcentaje
inestable	265	99.62%
estable	1	0.38%

Visualización

Frequencies of angina

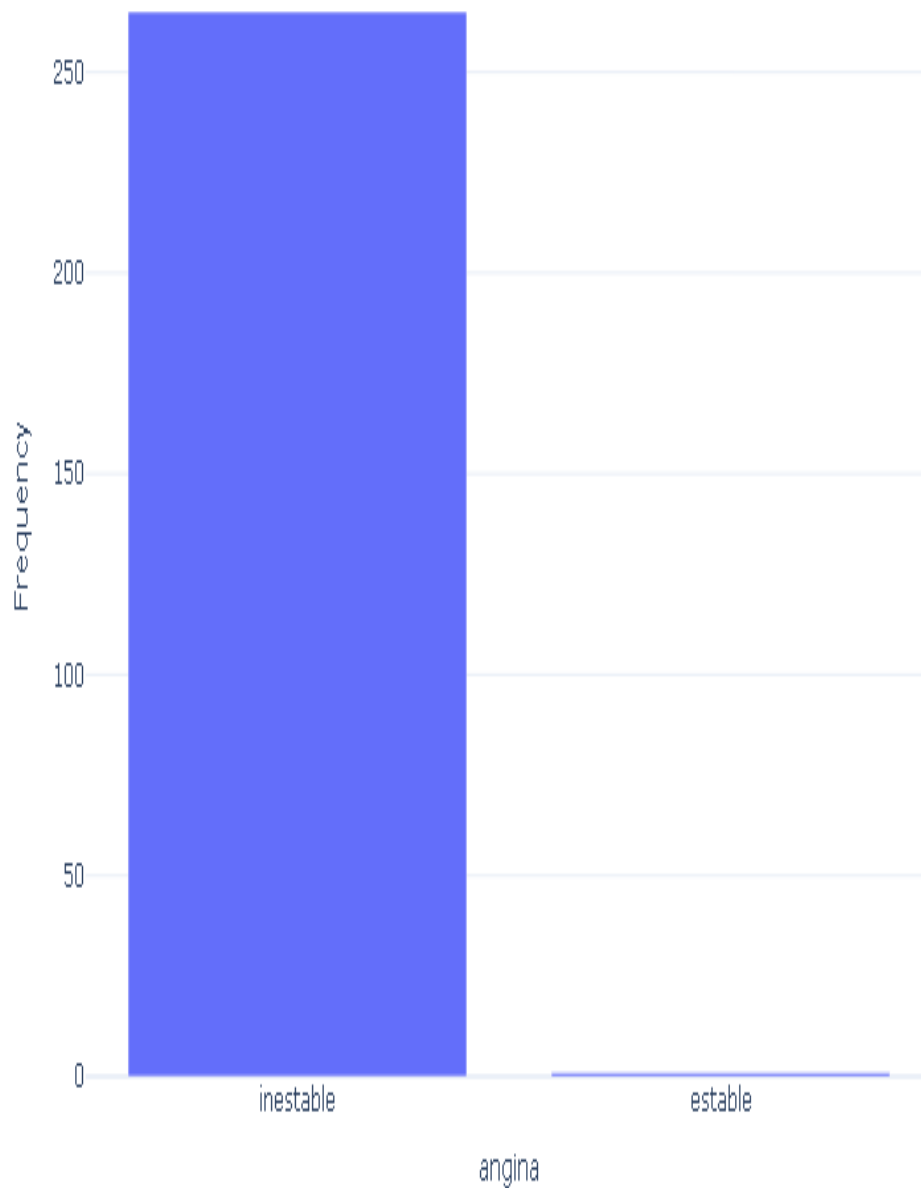


Figura: Distribución de angina

Variable: depresion_st

Estadísticas Descriptivas

Estadística	Valor
Observaciones	3,020
Valores faltantes	92 (2.96%)
Categorías únicas	2
Moda	si
Frecuencia de moda	2,412

Tabla de Frecuencias (Top 10)

Categoría	Frecuencia	Porcentaje
si	2,412	79.87%
no	608	20.13%

Visualización

Frequencies of depression_st

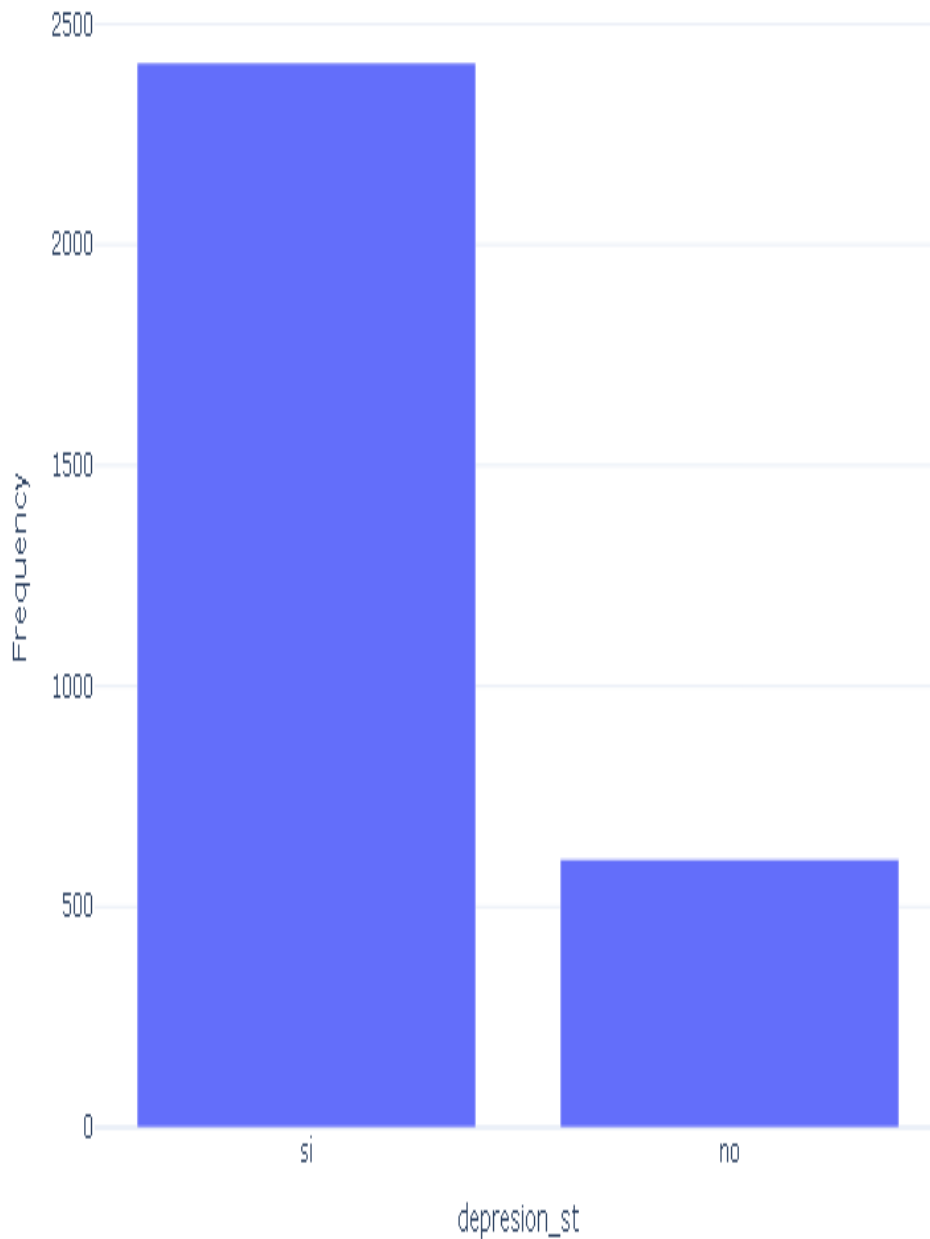


Figura: Distribución de depression_st

Variable: indice_mkillip

Estadísticas Descriptivas

Estadística	Valor
Observaciones	3,112
Valores faltantes	0 (0.00%)
Categorías únicas	4
Moda	I
Frecuencia de moda	2,399

Tabla de Frecuencias (Top 10)

Categoría	Frecuencia	Porcentaje
I	2,399	77.09%
II	333	10.70%
IV	257	8.26%
III	123	3.95%

Visualización

Frequencies of indice_mkillip

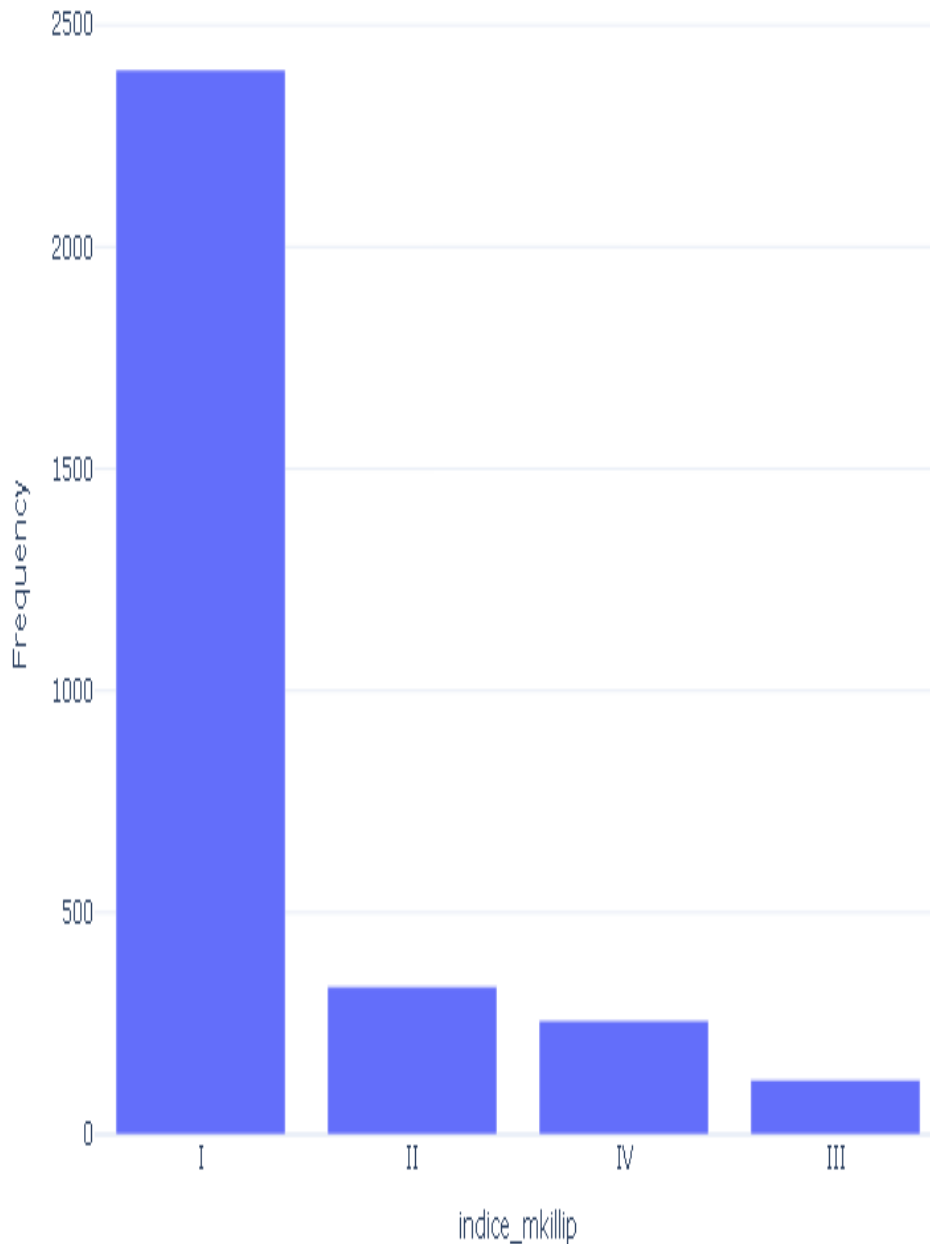


Figura: Distribución de indice_mkillip

Variable: indice_killip

Estadísticas Descriptivas

Estadística	Valor
Observaciones	3,112
Valores faltantes	0 (0.00%)
Categorías únicas	4
Moda	I
Frecuencia de moda	2,649

Tabla de Frecuencias (Top 10)

Categoría	Frecuencia	Porcentaje
I	2,649	85.12%
II	255	8.19%
IV	134	4.31%
III	74	2.38%

Visualización

Frequencies of indice_killip

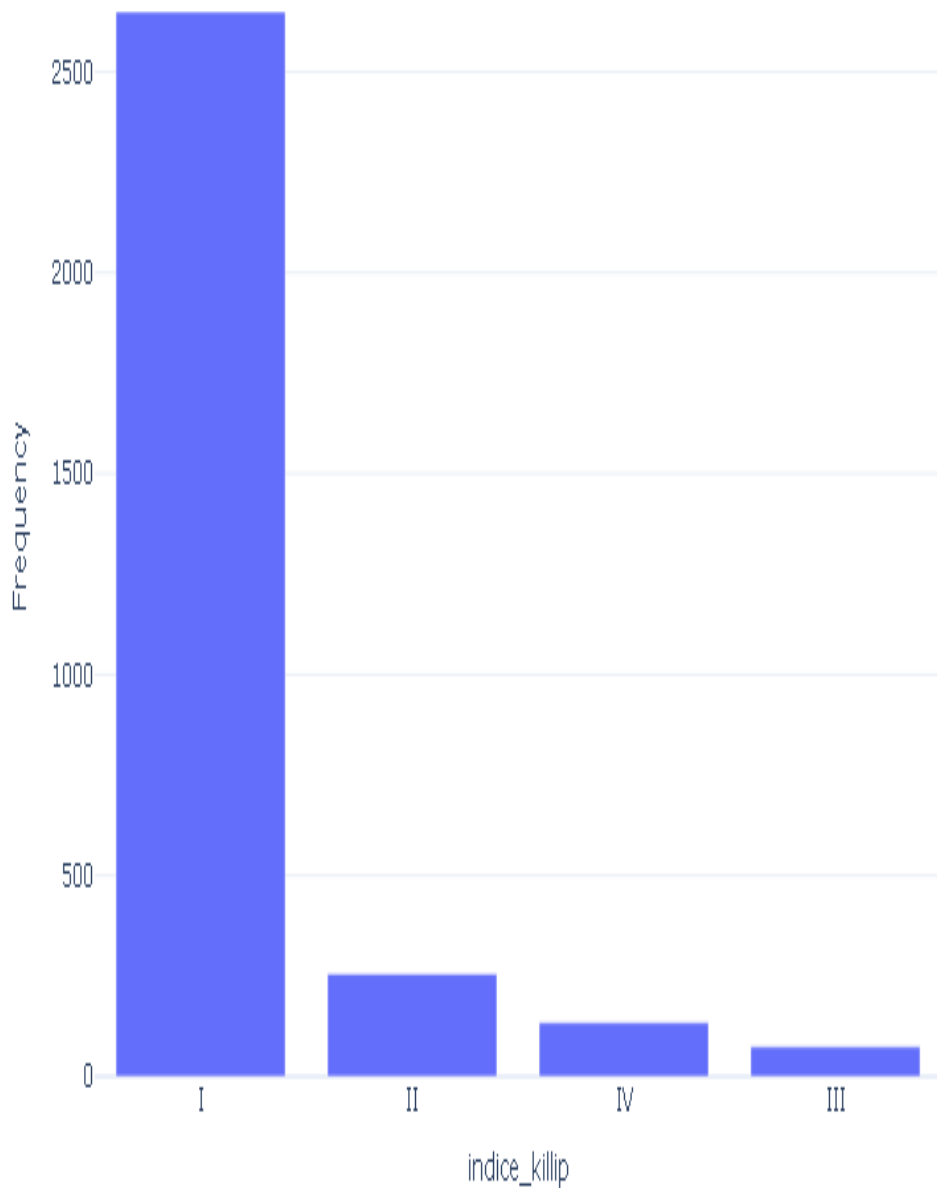


Figura: Distribución de indice_killip

Variable: presentacion

Estadísticas Descriptivas

Estadística	Valor
Observaciones	3,112
Valores faltantes	0 (0.00%)
Categorías únicas	7
Moda	dolor_tipico
Frecuencia de moda	2,826

Tabla de Frecuencias (Top 10)

Categoría	Frecuencia	Porcentaje
dolor_tipico	2,826	90.81%
dolor_atipico	112	3.60%
otros	69	2.22%
sincope	61	1.96%
arritmia	17	0.55%
pcr	14	0.45%
asintomatico	13	0.42%

Visualización

Frequencies of presentacion

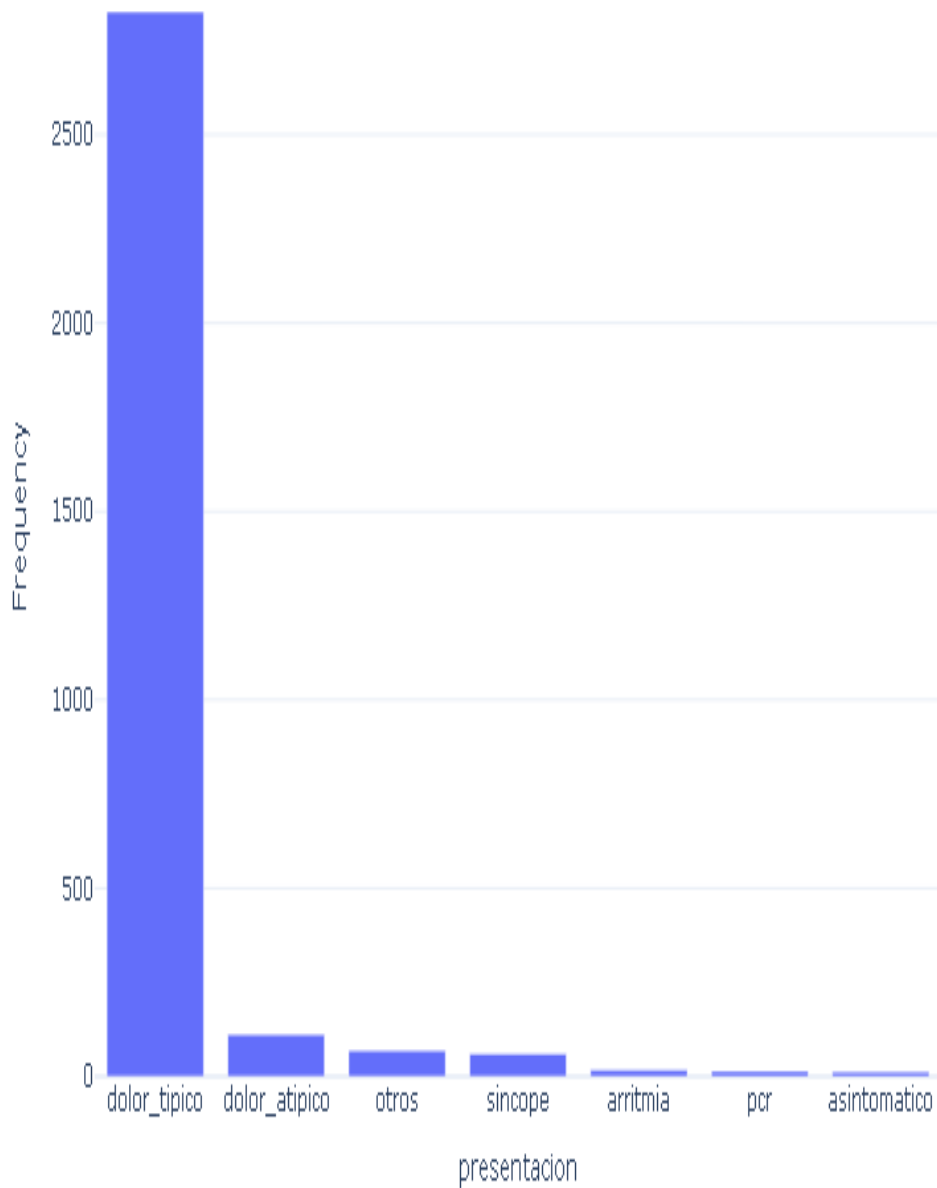


Figura: Distribución de presentacion

Variable: tipo_tabaquismo

Estadísticas Descriptivas

Estadística	Valor
Observaciones	1,620
Valores faltantes	1492 (47.94%)
Categorías únicas	2
Moda	activo
Frecuencia de moda	1,378

Tabla de Frecuencias (Top 10)

Categoría	Frecuencia	Porcentaje
activo	1,378	85.06%
noactivo	242	14.94%

Visualización

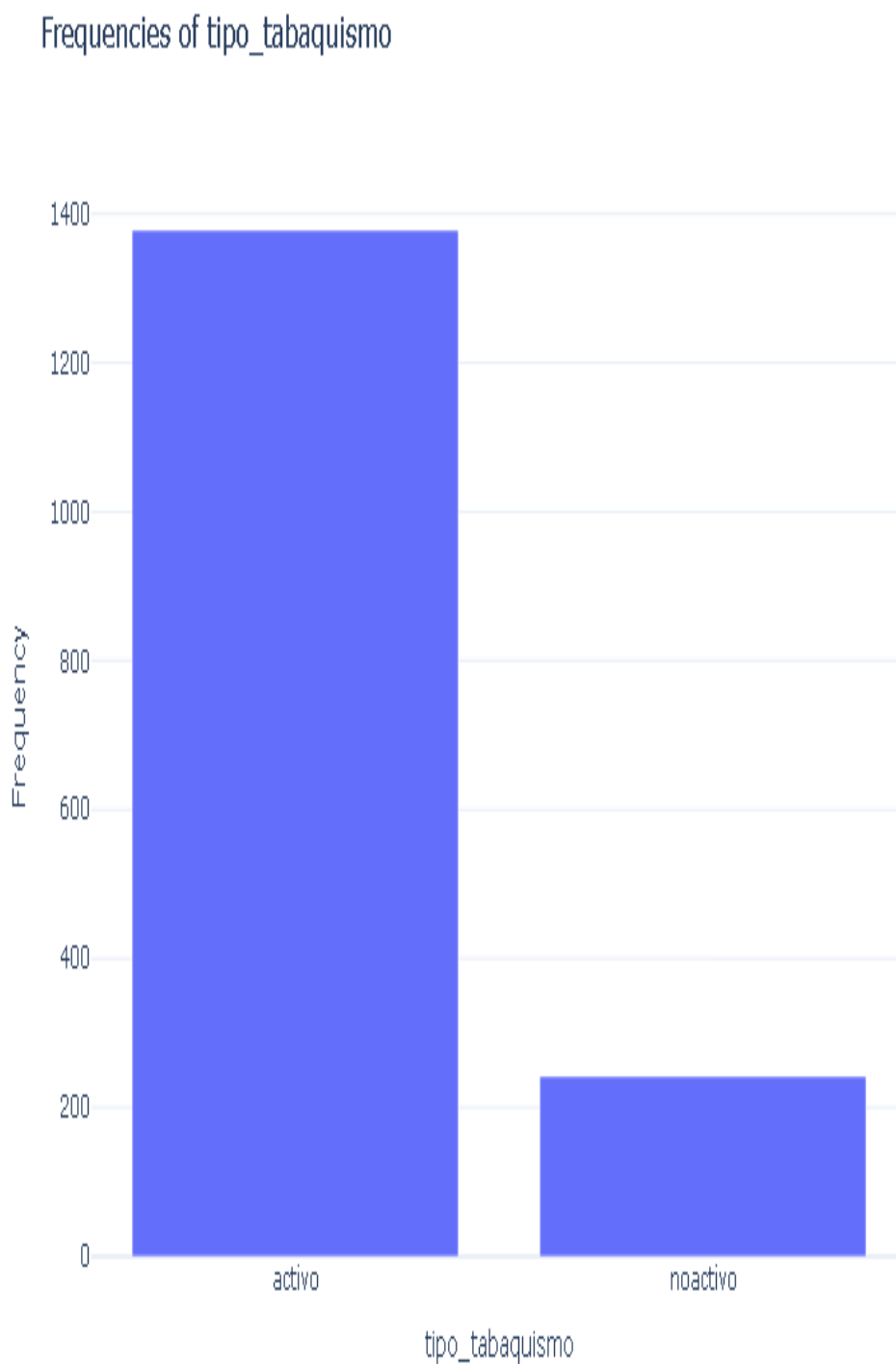


Figura: Distribución de tipo_tabaquismo

Variable: fecha_consulta

Estadísticas Descriptivas

Estadística	Valor
Observaciones	784
Valores faltantes	2328 (74.81%)
Categorías únicas	361
Moda	24/09/2019
Frecuencia de moda	10

Tabla de Frecuencias (Top 10)

Categoría	Frecuencia	Porcentaje
24/09/2019	10	1.28%
18/09/2018	9	1.15%
20/11/2018	9	1.15%
23/11/2019	9	1.15%
08/04/2020	8	1.02%
24/07/2018	8	1.02%
28/08/2019	8	1.02%
06/02/2018	7	0.89%
05/03/2019	7	0.89%
27/11/2018	7	0.89%
(Otras categorías)

Visualización

Frequencies of fecha_consulta

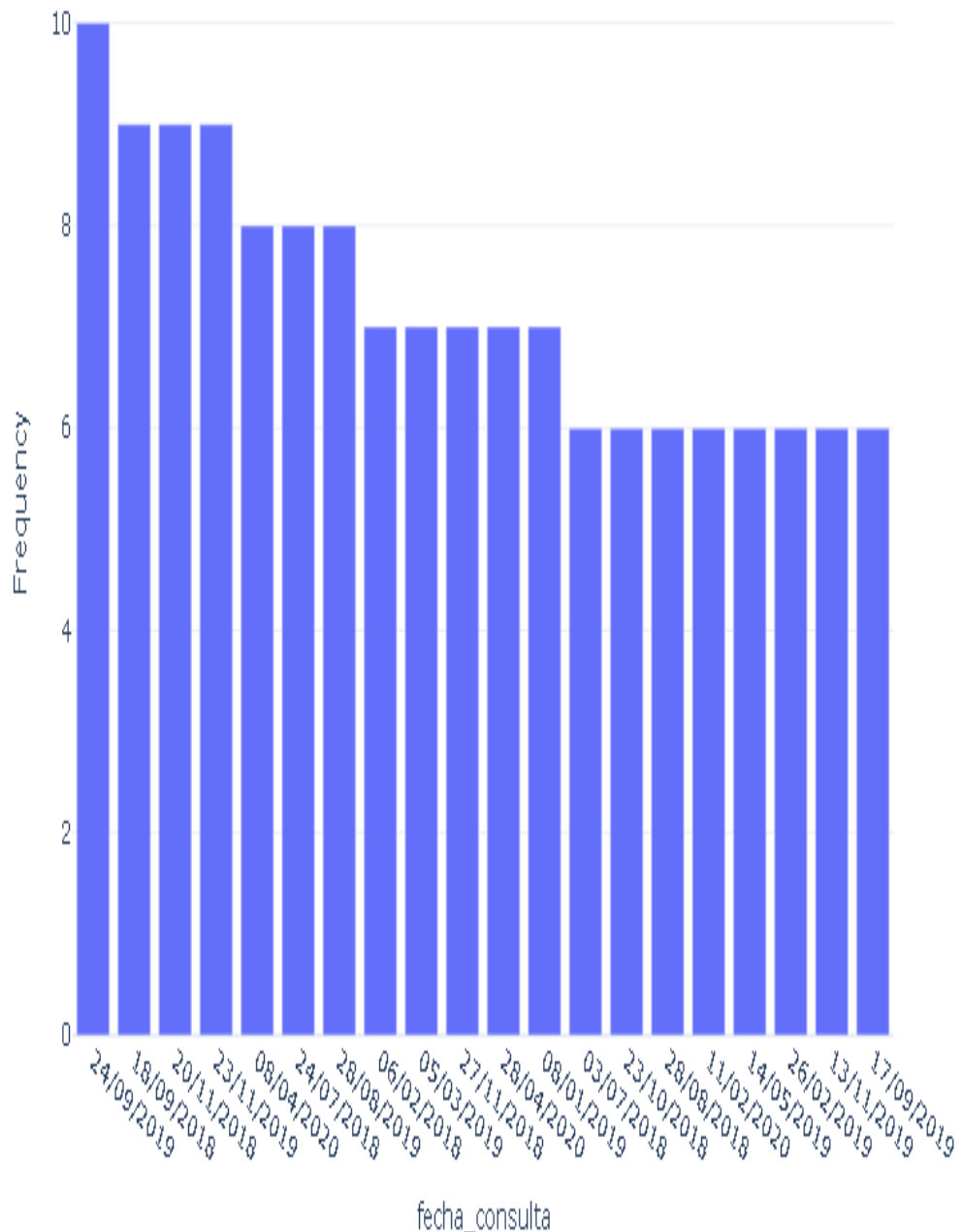


Figura: Distribución de fecha_consulta

Variable: resultado

Estadísticas Descriptivas

Estadística	Valor
Observaciones	784
Valores faltantes	2328 (74.81%)
Categorías únicas	5
Moda	vivo_sin
Frecuencia de moda	545

Tabla de Frecuencias (Top 10)

Categoría	Frecuencia	Porcentaje
vivo_sin	545	69.52%
alta	150	19.13%
vivo_con	51	6.51%
noevaluado	25	3.19%
fallecido	13	1.66%

Visualización

Frequencies of resultado

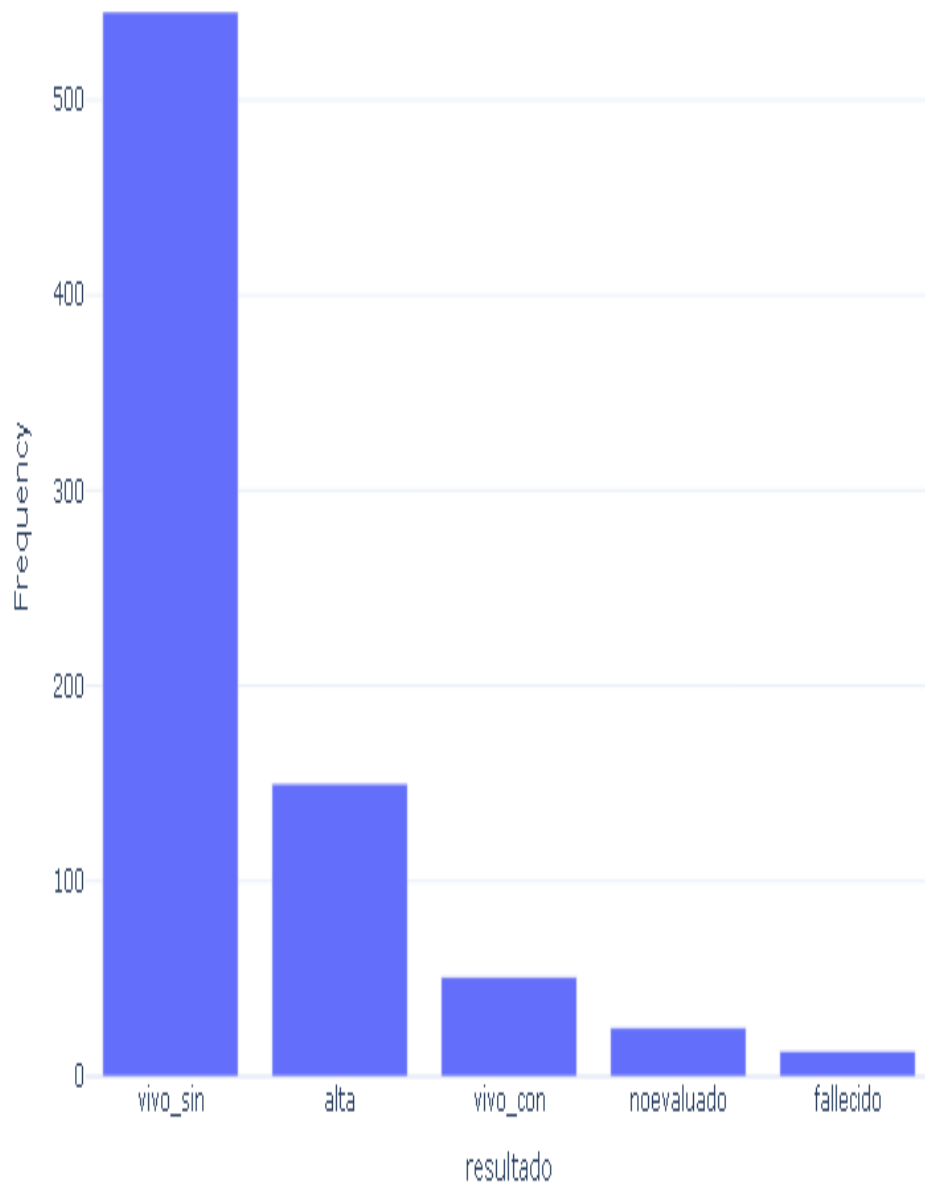


Figura: Distribución de resultado

Variable: fecha_defuncion

Estadísticas Descriptivas

Estadística	Valor
Observaciones	13
Valores faltantes	3099 (99.58%)
Categorías únicas	10
Moda	21/01/2021
Frecuencia de moda	3

Tabla de Frecuencias (Top 10)

Categoría	Frecuencia	Porcentaje
21/01/2021	3	23.08%
24/02/2018	2	15.38%
03/10/2018	1	7.69%
15/02/2018	1	7.69%
11/02/2019	1	7.69%
04/04/2019	1	7.69%
17/11/2021	1	7.69%
01/11/2021	1	7.69%
04/05/2024	1	7.69%
20/07/2024	1	7.69%

Visualización

Frequencies of fecha_defuncion

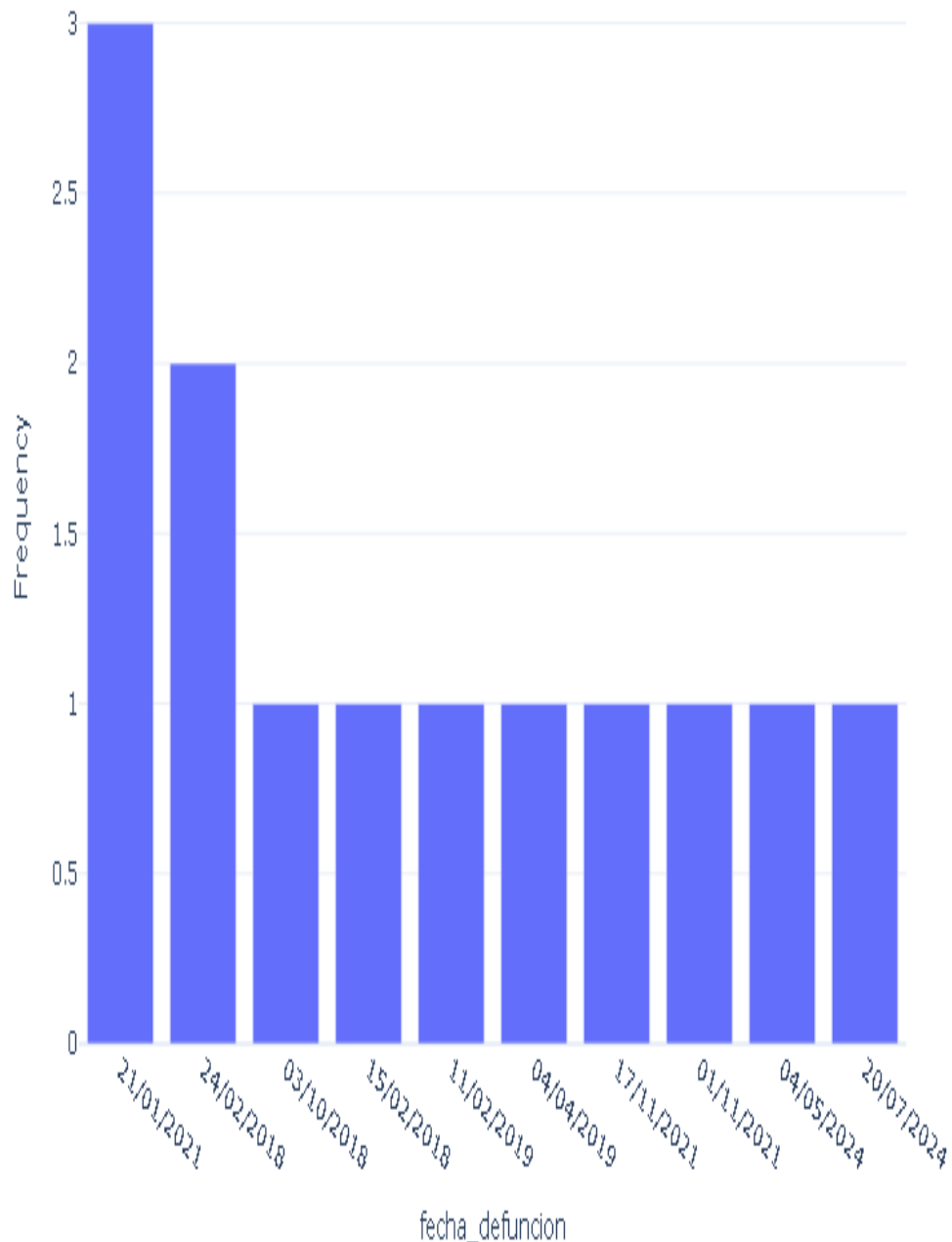


Figura: Distribución de fecha_defuncion

Variable: fecha_realizacion

Estadísticas Descriptivas

Estadística	Valor
Observaciones	246
Valores faltantes	2866 (92.10%)
Categorías únicas	122
Moda	30/08/2018
Frecuencia de moda	7

Tabla de Frecuencias (Top 10)

Categoría	Frecuencia	Porcentaje
30/08/2018	7	2.85%
07/07/2023	6	2.44%
19/01/2018	6	2.44%
22/02/2019	6	2.44%
27/09/2019	6	2.44%
16/02/2019	5	2.03%
05/09/2018	5	2.03%
08/07/2020	4	1.63%
26/09/2018	4	1.63%
13/09/2018	4	1.63%
(Otras categorías)

Visualización

Frequencies of fecha_realizacion

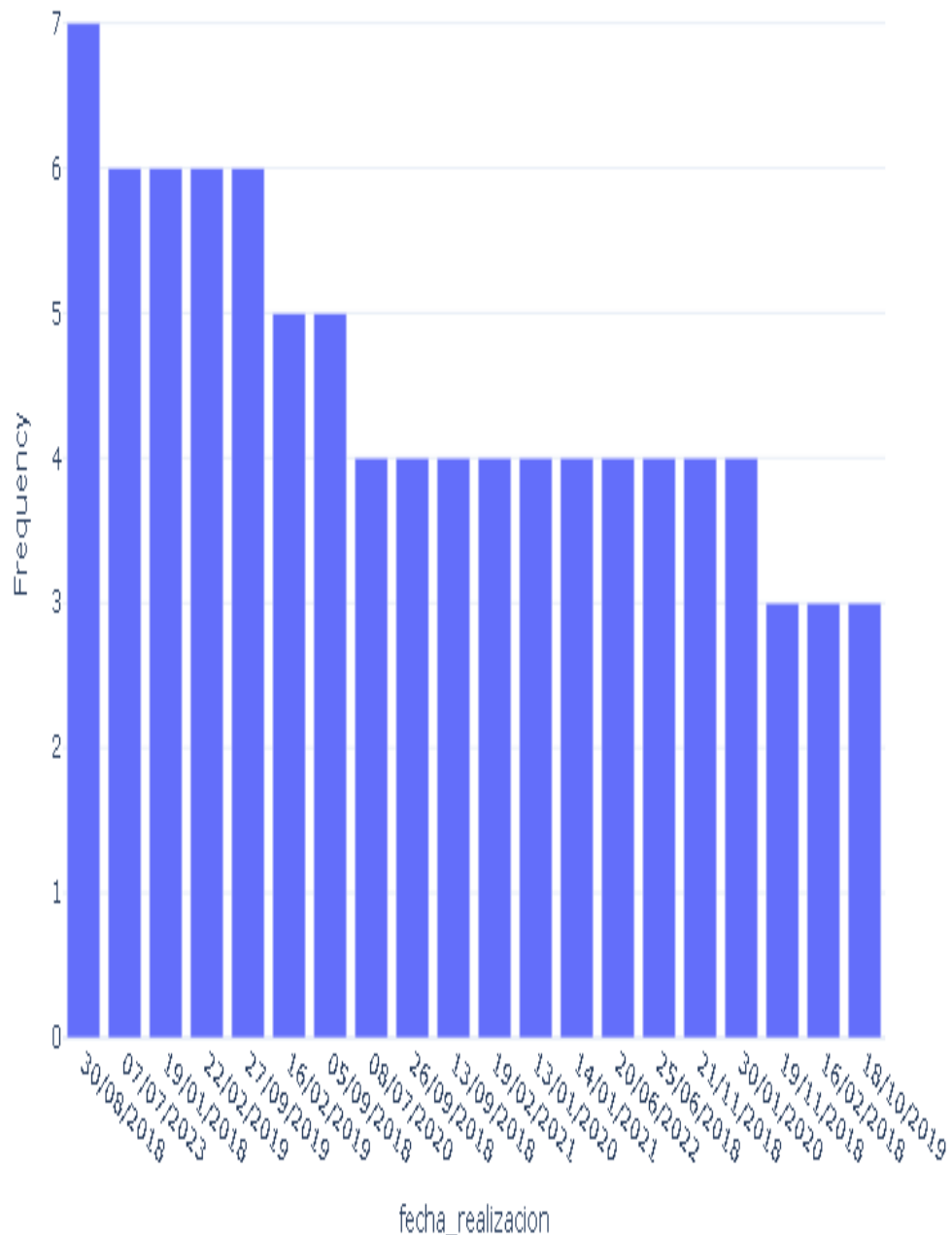


Figura: Distribución de fecha_realizacion

Variable: arteria

Estadísticas Descriptivas

Estadística	Valor
Observaciones	224
Valores faltantes	2888 (92.80%)
Categorías únicas	4
Moda	ada
Frecuencia de moda	93

Tabla de Frecuencias (Top 10)

Categoría	Frecuencia	Porcentaje
ada	93	41.52%
cd	73	32.59%
cx	50	22.32%
tci	8	3.57%

Visualización

Frequencies of arteria

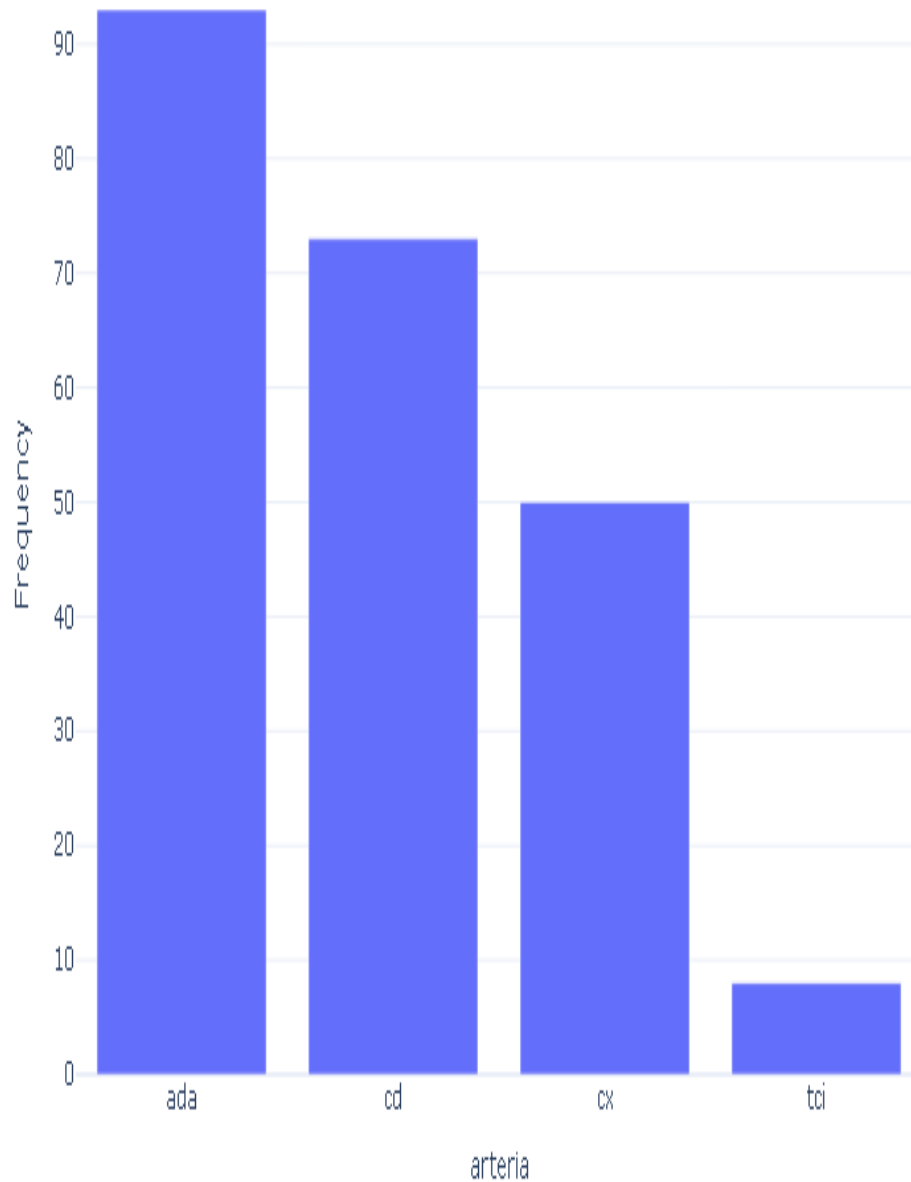


Figura: Distribución de arteria

Variable: localizacion

Estadísticas Descriptivas

Estadística	Valor
Observaciones	224
Valores faltantes	2888 (92.80%)
Categorías únicas	5
Moda	media
Frecuencia de moda	86

Tabla de Frecuencias (Top 10)

Categoría	Frecuencia	Porcentaje
media	86	38.39%
proximal	74	33.04%
distal	37	16.52%
ostial	16	7.14%
sin_lesiones	11	4.91%

Visualización

Frequencies of localizacion

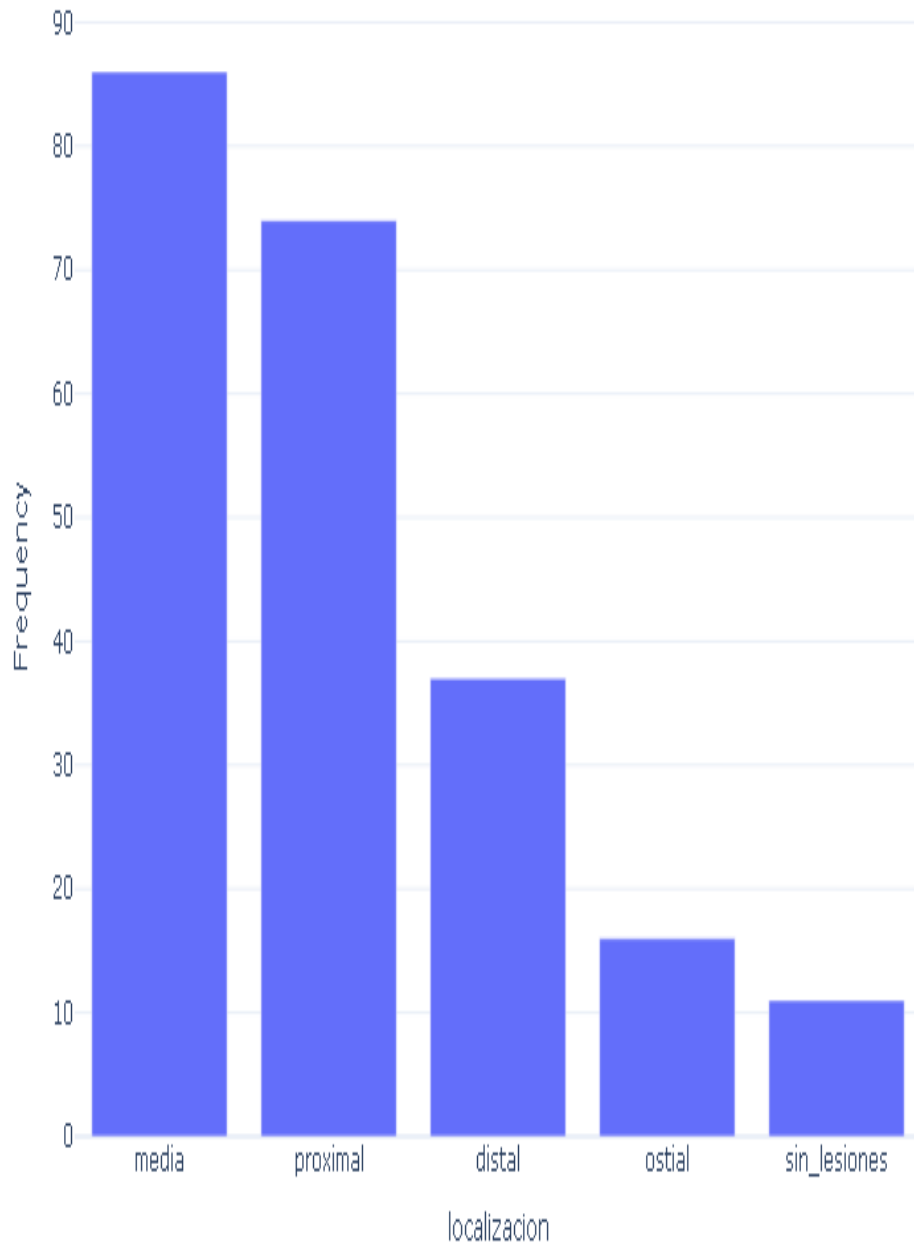


Figura: Distribución de localizacion

Variable: abordaje

Estadísticas Descriptivas

Estadística	Valor
Observaciones	224
Valores faltantes	2888 (92.80%)
Categorías únicas	4
Moda	ninguno
Frecuencia de moda	114

Tabla de Frecuencias (Top 10)

Categoría	Frecuencia	Porcentaje
ninguno	114	50.89%
stent_metalico	66	29.46%
stent_farmaco	43	19.20%
balon	1	0.45%

Visualización

Frequencies of abordaje

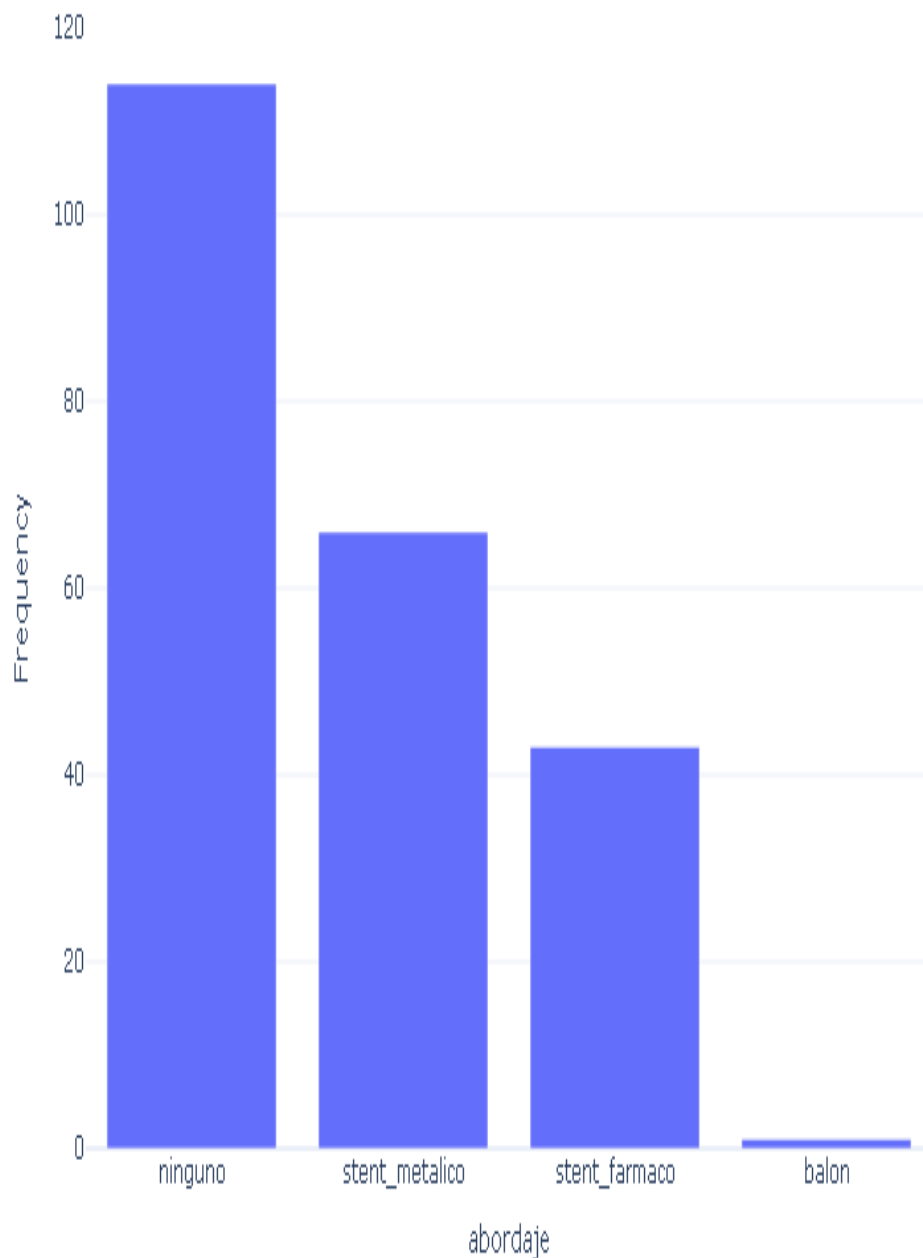


Figura: Distribución de abordaje

Variable: fecha_egreso

Estadísticas Descriptivas

Estadística	Valor
Observaciones	3,112
Valores faltantes	0 (0.00%)
Categorías únicas	1567
Moda	05/09/2018
Frecuencia de moda	11

Tabla de Frecuencias (Top 10)

Categoría	Frecuencia	Porcentaje
05/09/2018	11	0.35%
20/01/2020	9	0.29%
31/01/2020	9	0.29%
27/09/2018	9	0.29%
08/07/2020	9	0.29%
14/07/2020	8	0.26%
07/09/2018	8	0.26%
26/02/2019	8	0.26%
02/10/2019	8	0.26%
12/04/2021	8	0.26%
(Otras categorías)

Visualización

Frequencies of fecha_egreso

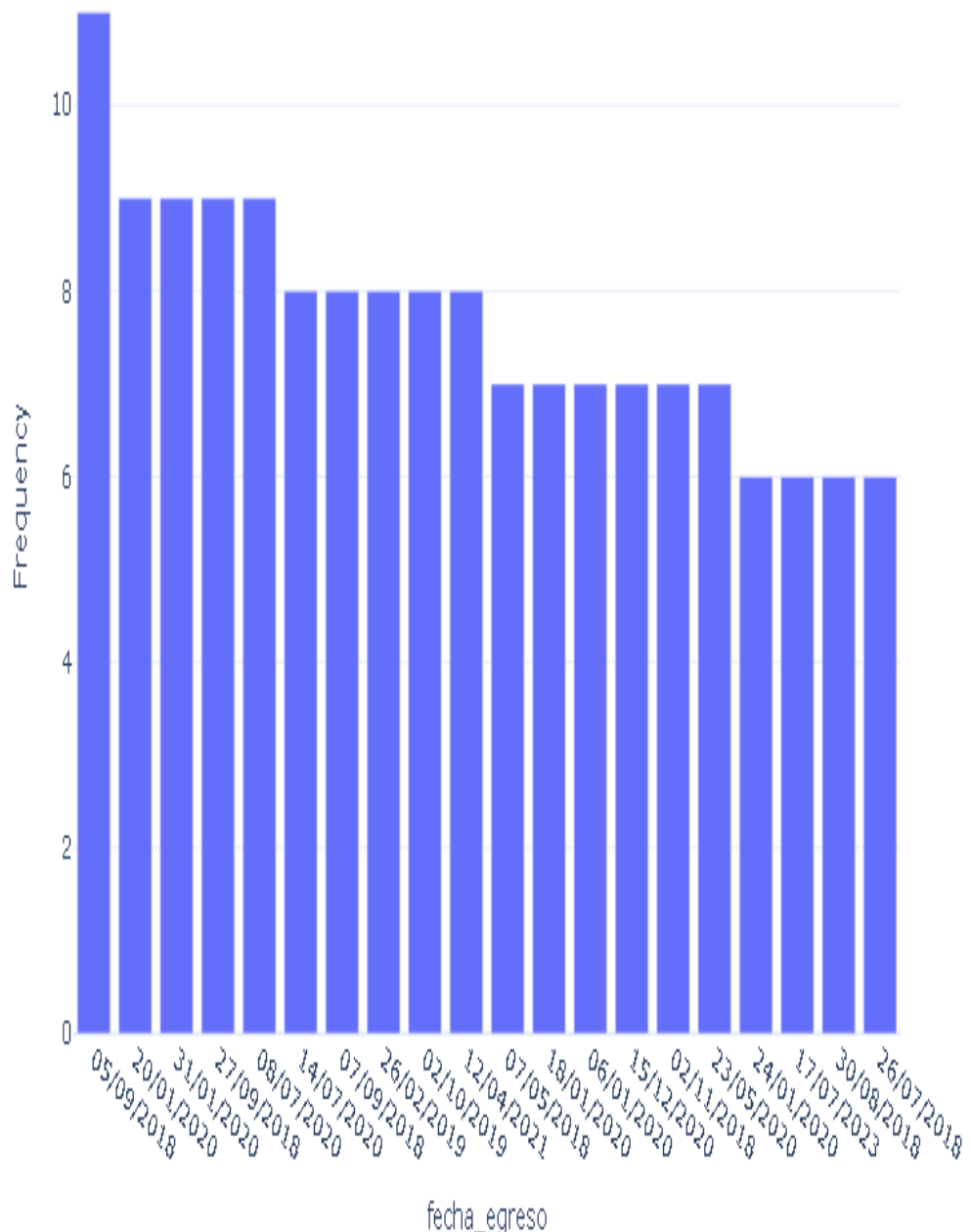


Figura: Distribución de fecha_egreso

Variable: estado_vital

Estadísticas Descriptivas

Estadística	Valor
Observaciones	3,112
Valores faltantes	0 (0.00%)
Categorías únicas	2
Moda	vivo
Frecuencia de moda	2,838

Tabla de Frecuencias (Top 10)

Categoría	Frecuencia	Porcentaje
vivo	2,838	91.20%
fallecido	274	8.80%

Visualización

Frequencies of estado_vital

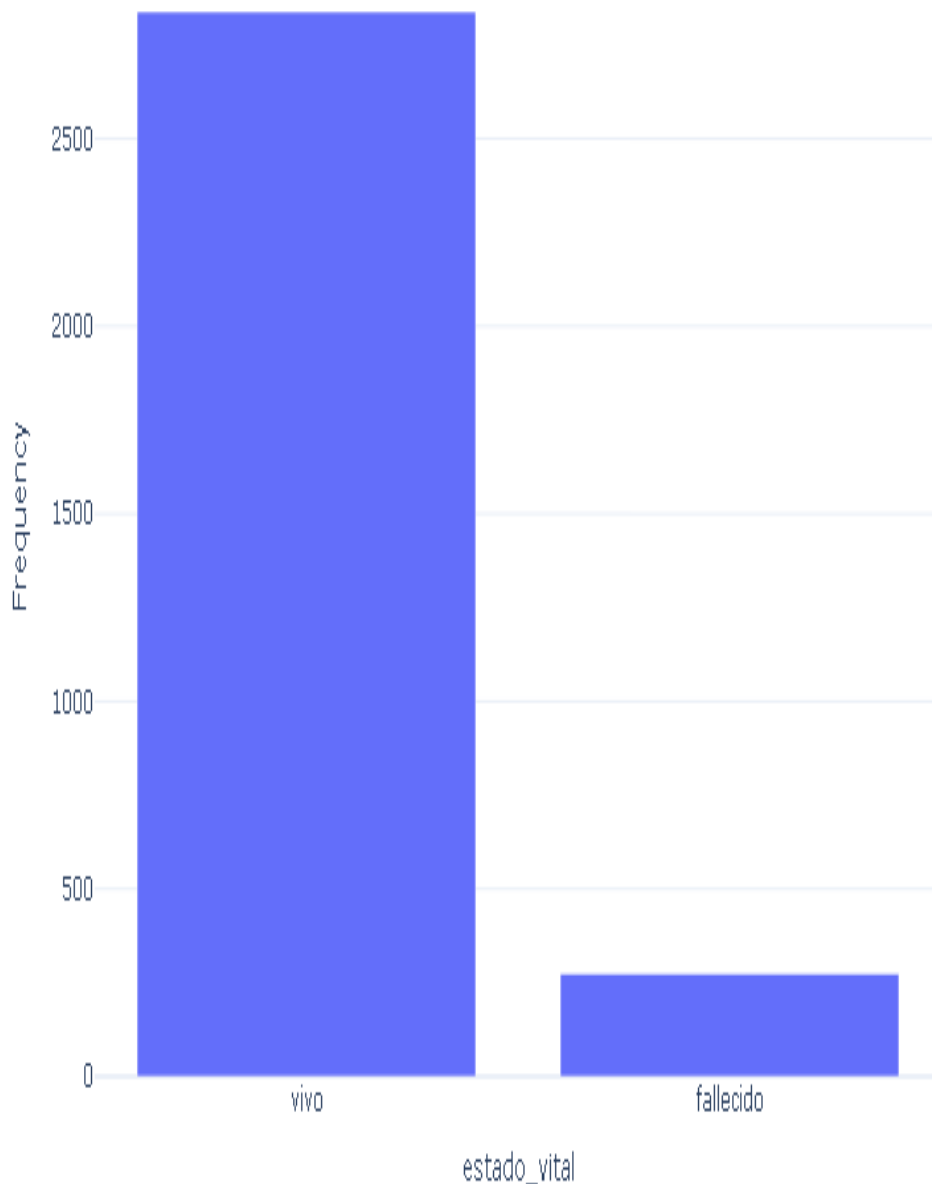


Figura: Distribución de estado_vital

Variable: otra_institucion

Estadísticas Descriptivas

Estadística	Valor
Observaciones	2,838
Valores faltantes	274 (8.80%)
Categorías únicas	2
Moda	no
Frecuencia de moda	2,670

Tabla de Frecuencias (Top 10)

Categoría	Frecuencia	Porcentaje
no	2,670	94.08%
si	168	5.92%

Visualización

Frequencies of otra_institucion

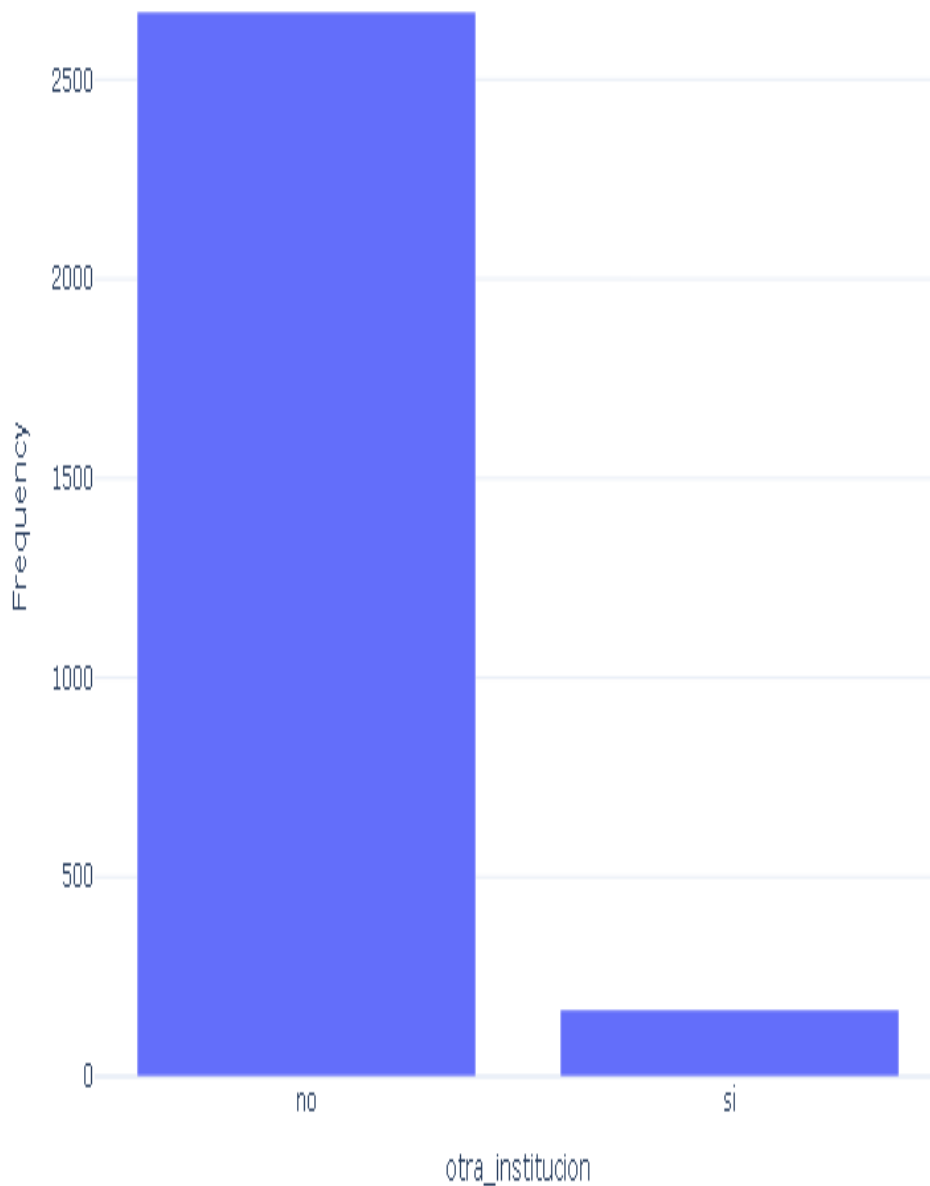


Figura: Distribución de otra_institucion

Variable: complicaciones

Estadísticas Descriptivas

Estadística	Valor
Observaciones	1,551
Valores faltantes	1561 (50.16%)
Categorías únicas	507
Moda	CongPulm
Frecuencia de moda	227

Tabla de Frecuencias (Top 10)

Categoría	Frecuencia	Porcentaje
CongPulm	227	14.64%
Isquemia recurrente	190	12.25%
Shock	40	2.58%
fallo_bomba	39	2.51%
FARVR	38	2.45%
EAP	32	2.06%
Hemorragia	27	1.74%
BAV3	26	1.68%
Epistenocardica	23	1.48%
CongPulm, Shock	22	1.42%
(Otras categorías)

Visualización

Frequencies of complicaciones

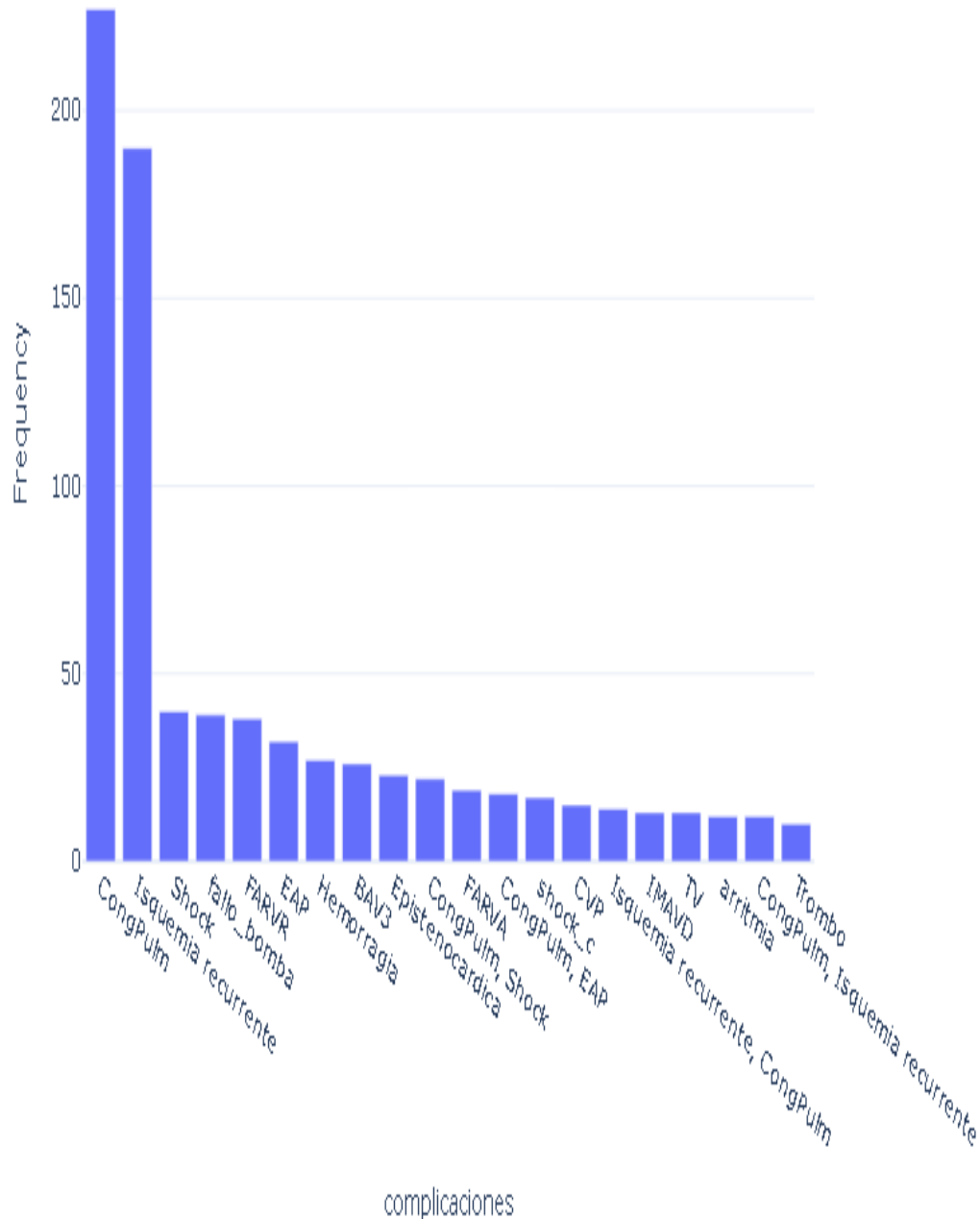


Figura: Distribución de complicaciones

Variable: observaciones

Estadísticas Descriptivas

Estadística	Valor
Observaciones	304
Valores faltantes	2808 (90.23%)
Categorías únicas	255
Moda	amiodarona
Frecuencia de moda	12

Tabla de Frecuencias (Top 10)

Categoría	Frecuencia
amiodarona	12
no trombolisis por no diagnostico	7
Realizó trombosis aguda del stent	6
no ER por TI prolongado	4
no BB por BAV	4
CIMEQ a realizarse coronariografía electiva. se implanta stent y se produce disección de DA. se traslada a nuestro hospital.	3
se utilizo amiodarona	3
warfarina	3
no ER por shock cardiogenico	2
Amiodarona	2
(Otras categorías)	...

Visualización

Frequencies of observaciones

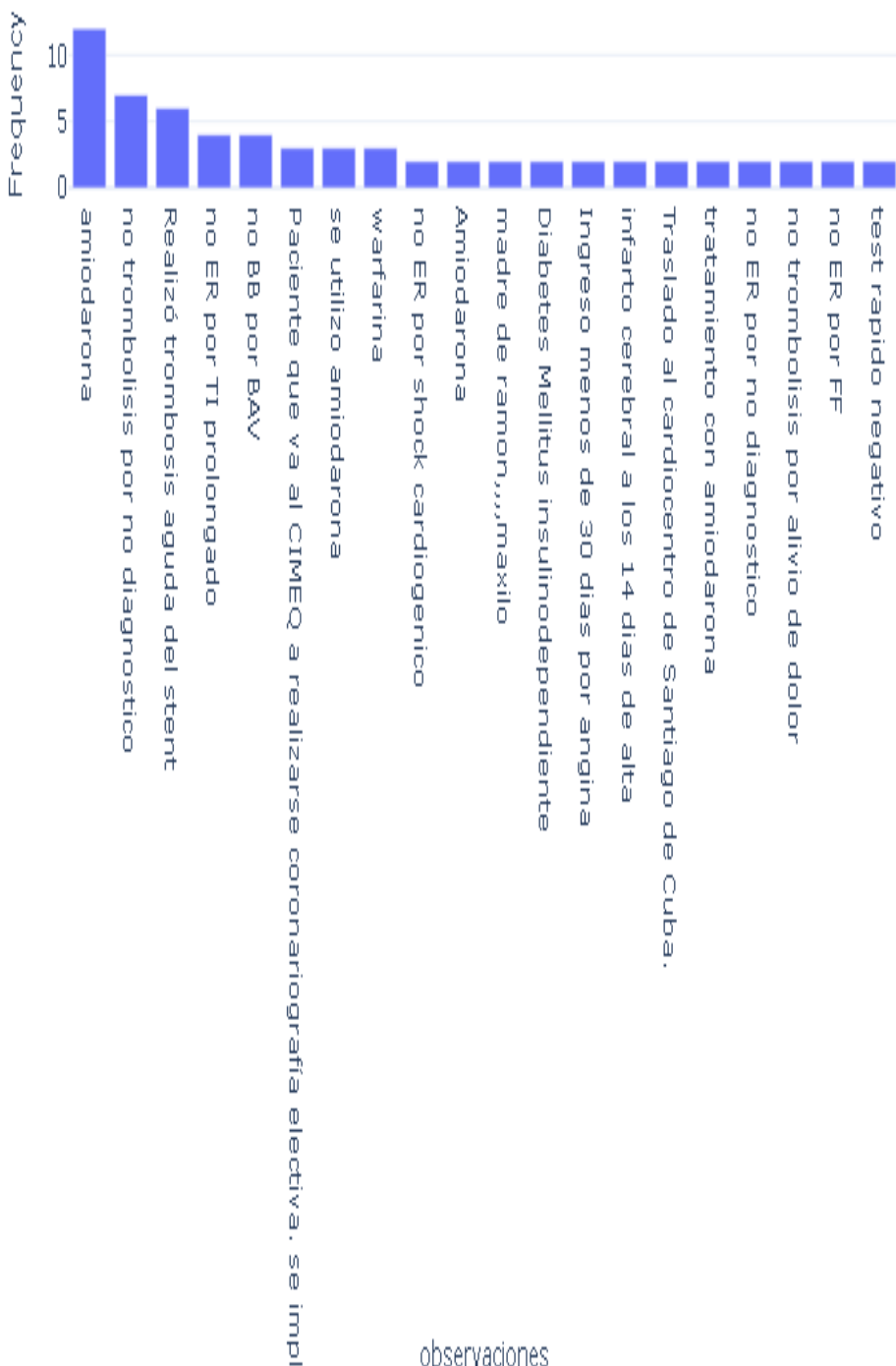


Figura: Distribución de observaciones

Variable: fecha_ingreso

Estadísticas Descriptivas

Estadística	Valor
Observaciones	35
Valores faltantes	3077 (98.88%)
Categorías únicas	34
Moda	07/03/2018
Frecuencia de moda	2

Tabla de Frecuencias (Top 10)

Categoría	Frecuencia	Porcentaje
07/03/2018	2	5.71%
22/08/2013	1	2.86%
31/03/2021	1	2.86%
27/02/2020	1	2.86%
24/05/2018	1	2.86%
11/01/2020	1	2.86%
02/07/2020	1	2.86%
10/07/2012	1	2.86%
06/01/2021	1	2.86%
06/02/2019	1	2.86%
(Otras categorías)

Visualización

Frequencies of fecha_ingreso

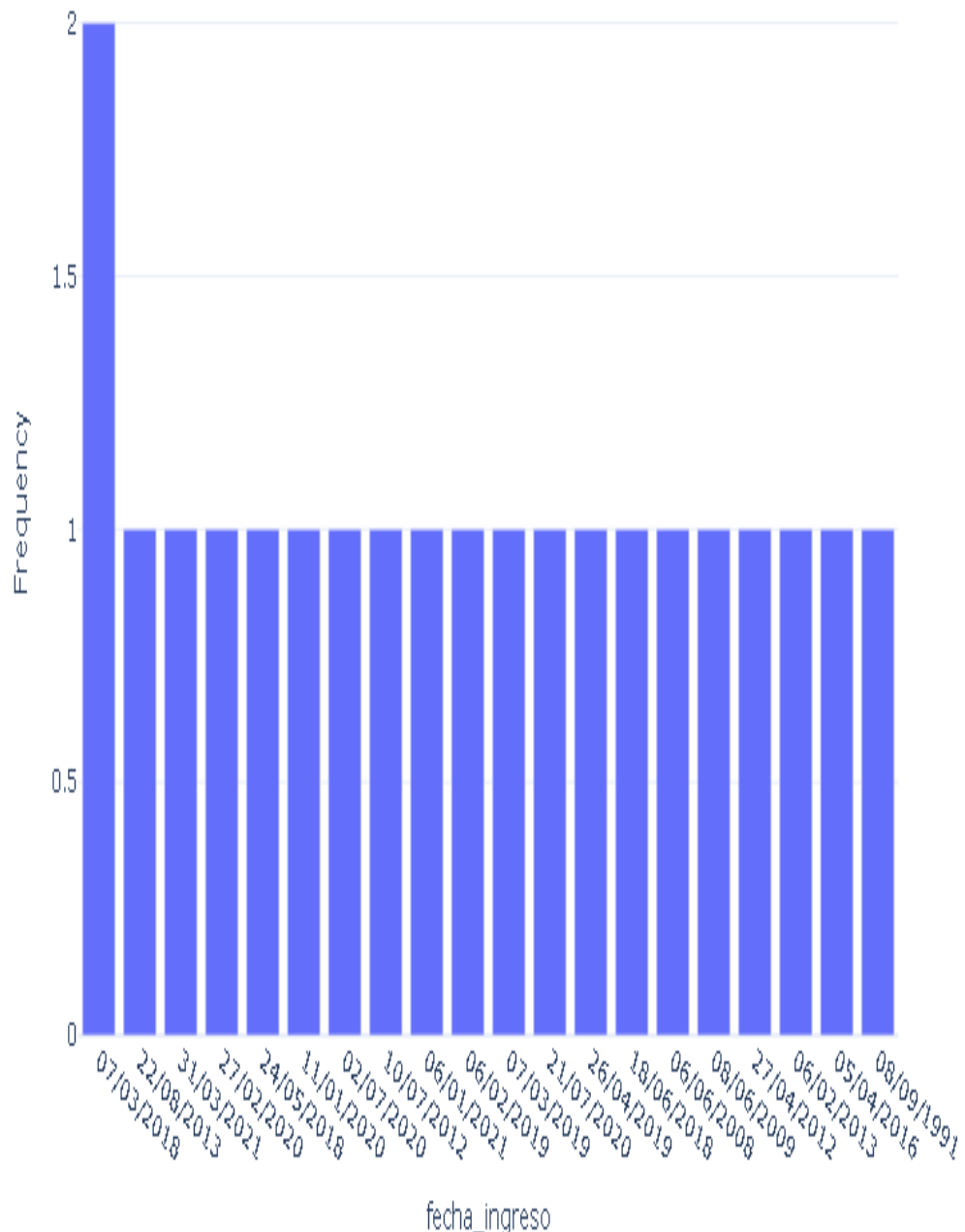


Figura: Distribución de fecha_ingreso

Variable: motivo

Estadísticas Descriptivas

Estadística	Valor
Observaciones	35
Valores faltantes	3077 (98.88%)
Categorías únicas	3
Moda	scacest
Frecuencia de moda	22

Tabla de Frecuencias (Top 10)

Categoría	Frecuencia	Porcentaje
scacest	22	62.86%
scasest	10	28.57%
otras	3	8.57%

Visualización

Frequencies of motivo

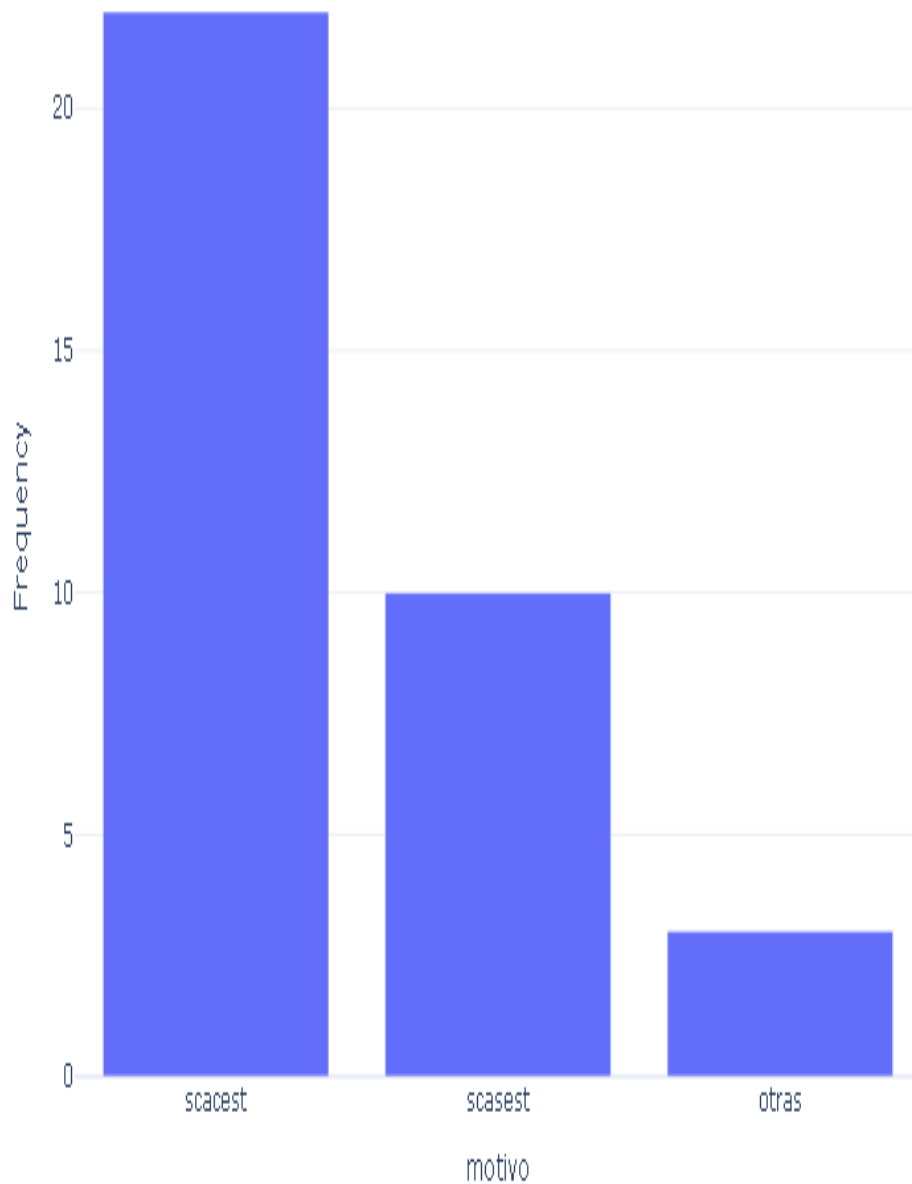


Figura: Distribución de motivo

Variable: fecha_egreso.1

Estadísticas Descriptivas

Estadística	Valor
Observaciones	35
Valores faltantes	3077 (98.88%)
Categorías únicas	35
Moda	03/09/2013
Frecuencia de moda	1

Tabla de Frecuencias (Top 10)

Categoría	Frecuencia	Porcentaje
03/09/2013	1	2.86%
11/01/2021	1	2.86%
03/05/2012	1	2.86%
05/03/2020	1	2.86%
31/05/2018	1	2.86%
16/01/2020	1	2.86%
08/07/2020	1	2.86%
17/07/2012	1	2.86%
06/04/2021	1	2.86%
13/03/2019	1	2.86%
(Otras categorías)

Visualización

Frequencies of fecha_egreso.1

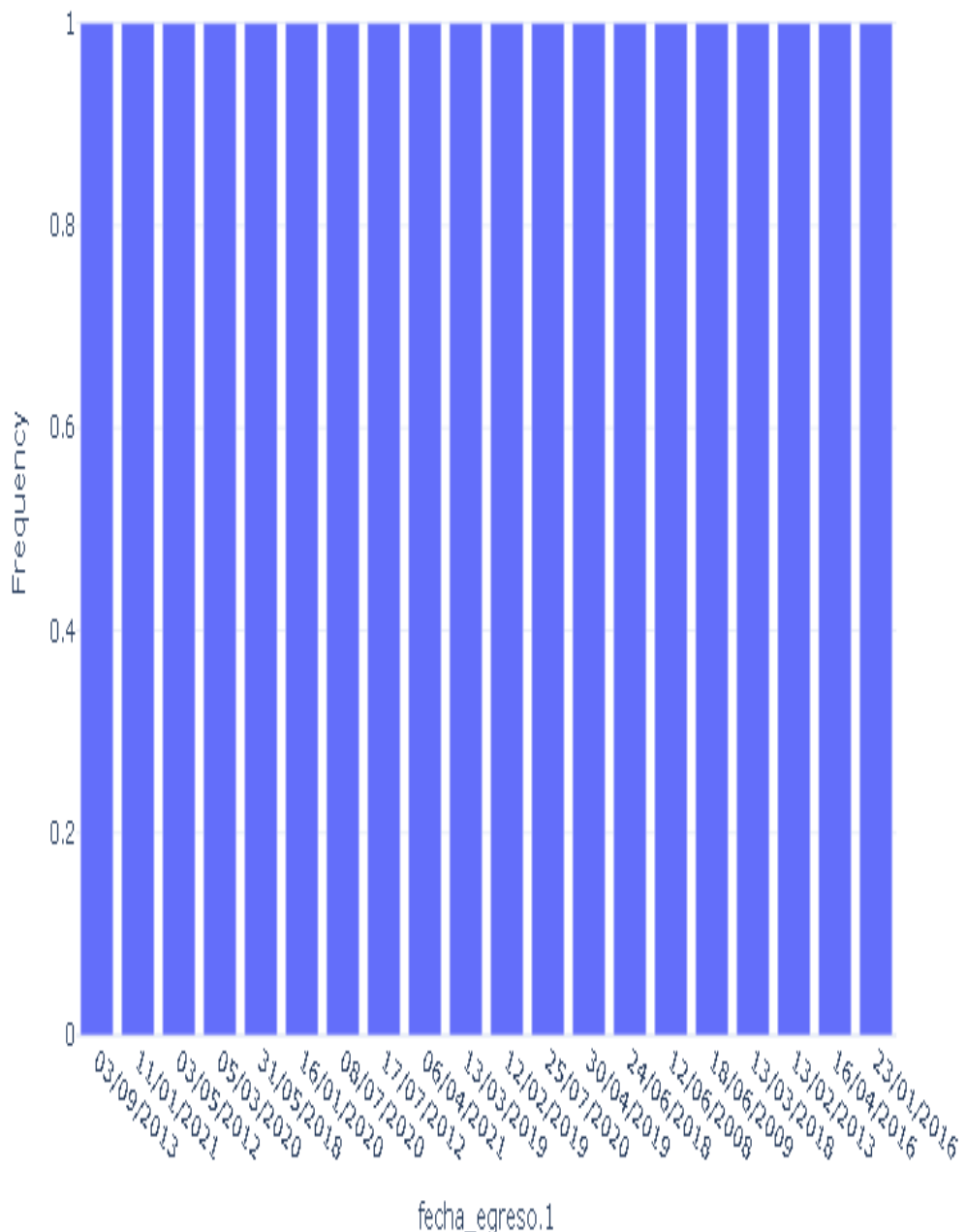


Figura: Distribución de fecha_egreso.1

Variable: llamada_emergencias

Estadísticas Descriptivas

Estadística	Valor
Observaciones	3,047
Valores faltantes	65 (2.09%)
Categorías únicas	2
Moda	no
Frecuencia de moda	2,576

Tabla de Frecuencias (Top 10)

Categoría	Frecuencia	Porcentaje
no	2,576	84.54%
si	471	15.46%

Visualización

Frequencies of llamada_emergencias

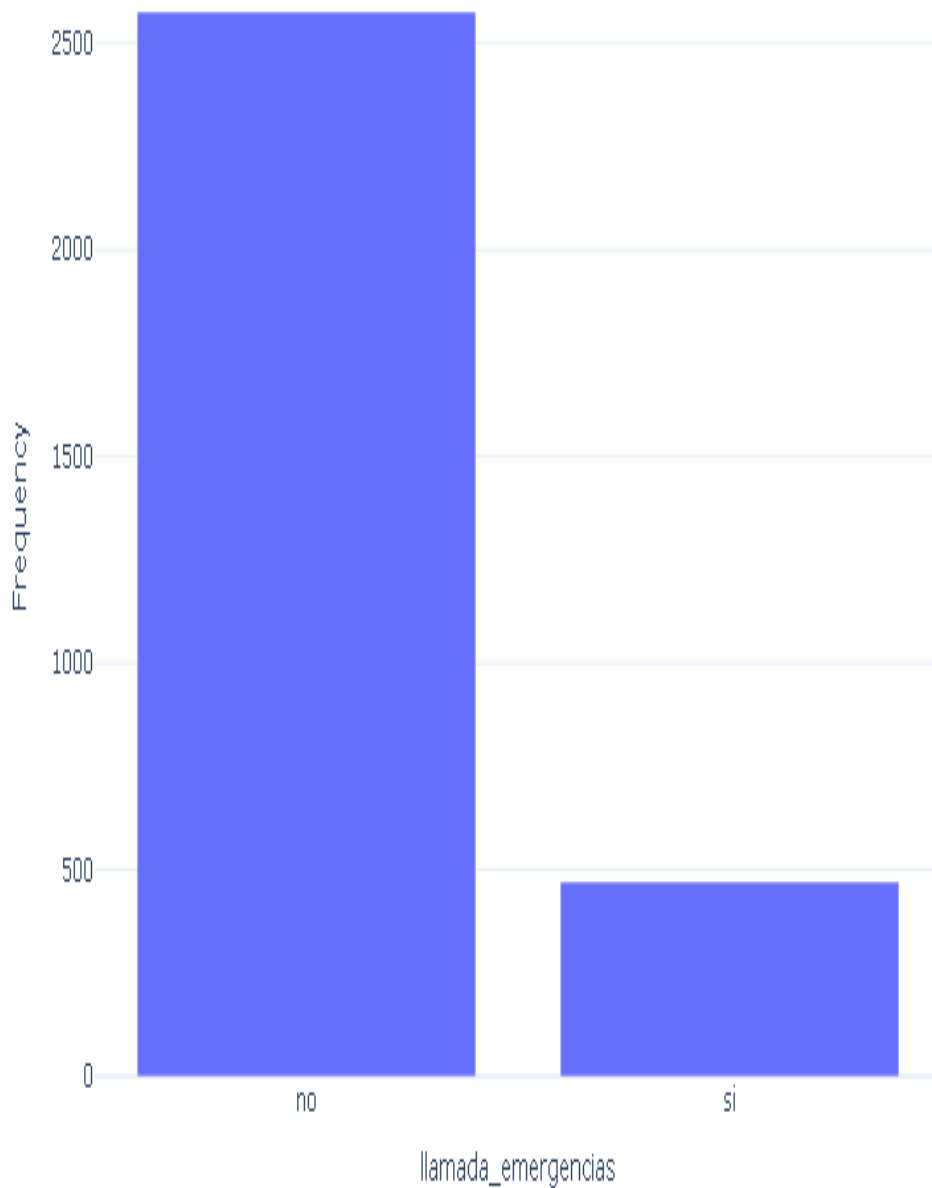


Figura: Distribución de llamada_emergencias

Variable: provincia.1

Estadísticas Descriptivas

Estadística	Valor
Observaciones	3,112
Valores faltantes	0 (0.00%)
Categorías únicas	15
Moda	Sancti Spíritus
Frecuencia de moda	1,255

Tabla de Frecuencias (Top 10)

Categoría	Frecuencia	Porcentaje
Sancti Spíritus	1,255	40.33%
La Habana	838	26.93%
Las Tunas	566	18.19%
Villa Clara	341	10.96%
Mayabeque	52	1.67%
Granma	12	0.39%
Artemisa	11	0.35%
Matanzas	8	0.26%
Holguín	7	0.22%
Camagüey	6	0.19%
(Otras categorías)

Visualización

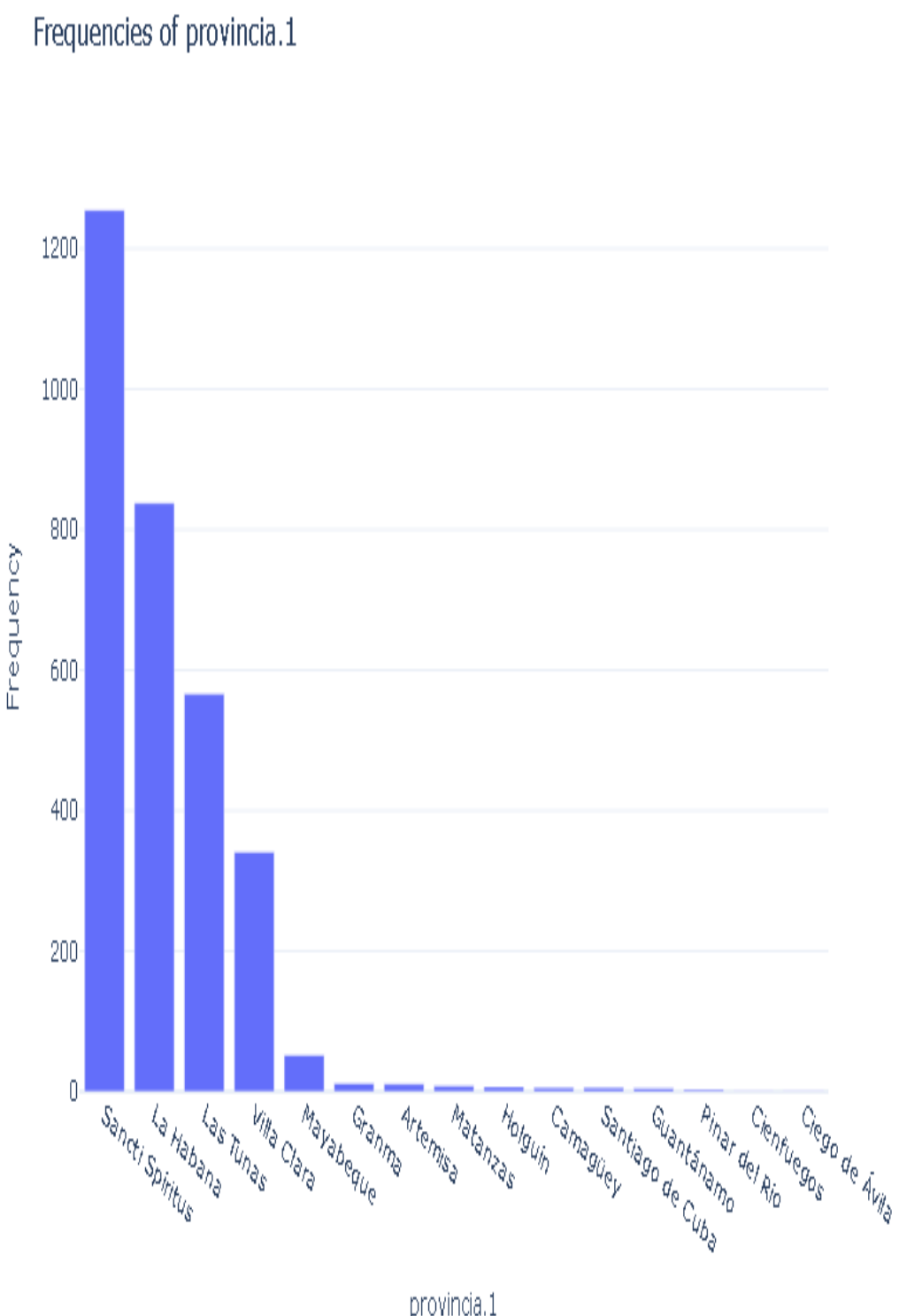


Figura: Distribución de provincia.1

Variable: nombre

Estadísticas Descriptivas

Estadística	Valor
Observaciones	3,112
Valores faltantes	0 (0.00%)
Categorías únicas	83
Moda	Sancti Spíritus
Frecuencia de moda	687

Tabla de Frecuencias (Top 10)

Categoría	Frecuencia	Porcentaje
Sancti Spíritus	687	22.08%
Boyeros	505	16.23%
Las Tunas	410	13.17%
Arroyo Naranjo	183	5.88%
Sagua la Grande	181	5.82%
Cabaiguán	172	5.53%
Taguasco	106	3.41%
Trinidad	89	2.86%
Jatibonico	81	2.60%
Quemado de Güines	58	1.86%
(Otras categorías)

Visualización

Frequencies of nombre

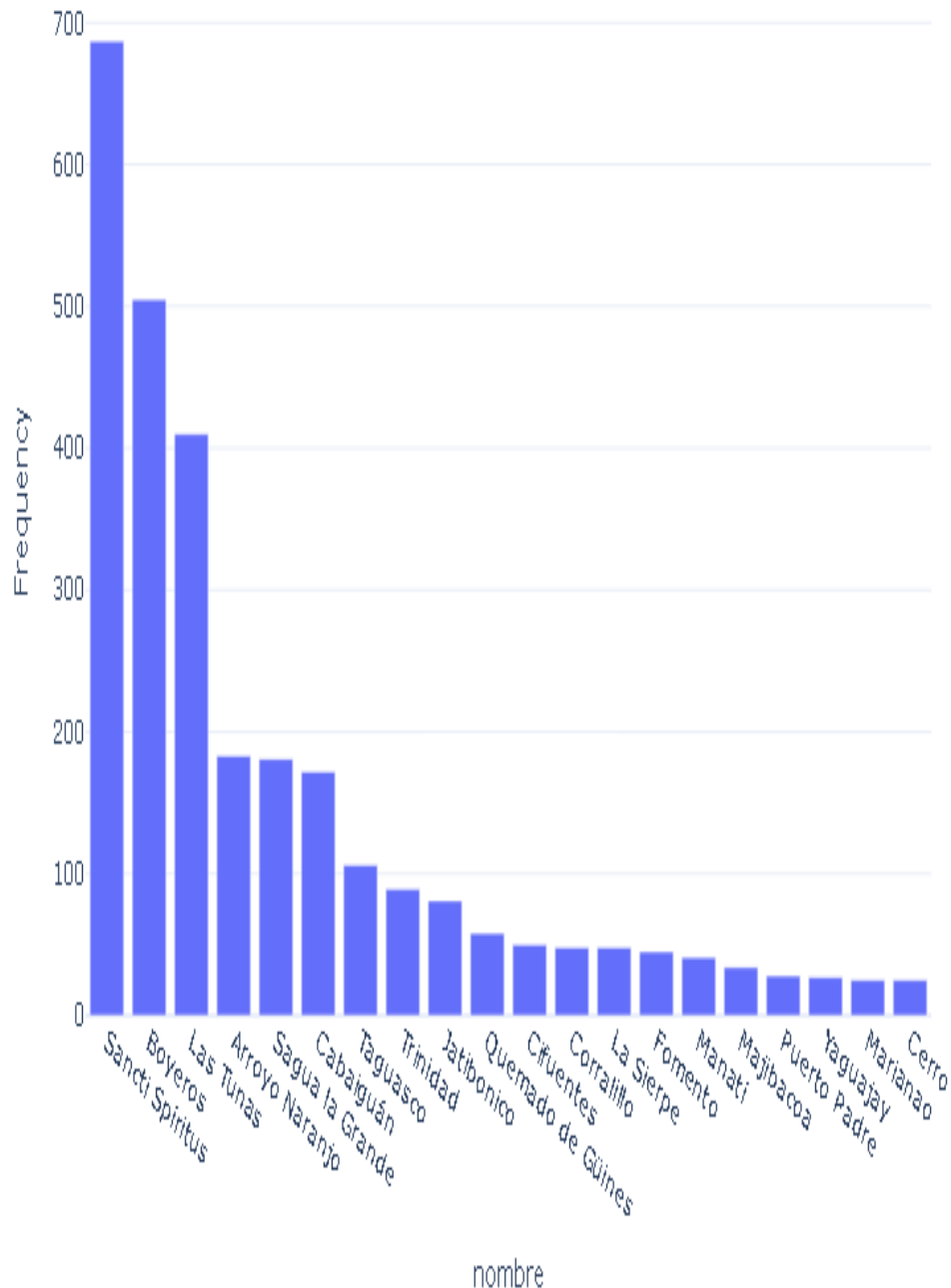


Figura: Distribución de nombre

4. Conclusiones

Este reporte ha presentado un análisis univariado completo del dataset, examinando cada variable de forma independiente.

Resumen de hallazgos:

- Se analizaron 151 variables numéricas y 44 variables categóricas.
- El dataset contiene 3,112 registros.
- Se identificaron valores faltantes, outliers y se evaluó la normalidad de las variables numéricas.

Próximos pasos:

- Realizar análisis bivariado para estudiar relaciones entre variables.
- Realizar análisis multivariado (correlaciones, PCA).
- Proceder con la limpieza y preprocesamiento de datos.